

بِسْمِ اللّٰهِ الرَّحْمٰنِ الرَّحِيْمِ



بنیادین ملی کتابخانه و اسناد  
جمهوری اسلامی ایران  
۱۳۷۸ - ۱۳۹۶



شماره ۲۶۳

# مقدمه‌ای بر طراحی بهین

جلد دوم

جاسپیر اس. آرورا

ترجمه

دکتر محمد حسین ابوالبشری

## فهرست مطالب

۳۶۱	فصل پنجم - روش‌های عددی برای طراحی بهین نامقید
۳۶۱	۵.۱ مقدمه
۳۶۵	۵.۲ مفاهیم عمومی مربوط به الگوریتم‌های عددی
۳۶۵	۵.۲.۱ یک الگوریتم کلی
۳۶۸	۵.۲.۲ پنداره گام کاهشی
۳۷۰	۵.۲.۳ همگرانی الگوریتمها
۳۷۰	۵.۲.۴ نرخ همگرانی
۳۷۰	۵.۲.۵ ارزیابی عددی گرادیانها
۳۷۳	۵.۳ مینیمم‌سازی یک بعدی
۳۷۳	۵.۳.۱ تعریف مسأله
۳۷۳	کاهش به تابع یک متغیره
۳۷۵	روش تحلیلی محاسبه اندازه گام
۳۷۶	روش‌های عددی محاسبه اندازه گام
۳۷۹	۵.۳.۲ جست و جوی بازه یکسان
۳۸۳	جاییگزین جست و جوی بازه یکسان
۳۸۴	۵.۳.۳ جست و جوی بخش طلایی
۳۸۴	محصور کردن اولیه مینیمم
۳۸۶	کاهشی بازه عدم اطمینان

۳۸۷	الگوریتم جست و جوی یک بعدی با روش بخش طلایی
۳۹۱	۵.۳.۴ <sup>*</sup> درون یابی چندجمله‌ای
۳۹۱	برازاندن منحنی درجه دوم
۳۹۵	۵.۴ روشن تندترین کاهش
۳۹۶	۵.۴.۱ خواص بردار گرادیان
۴۰۱	۵.۴.۲ الگوریتم تندترین کاهش
۴۰۳	معیار توقف جست و جوی خطی
۴۰۷	۵.۴.۳ <sup>*</sup> مقیاس‌بندی متغیرهای طراحی
۴۱۱	۵.۵ روش گرادیان مزدوج
۴۱۴	۵.۶ روش نیوتون
۴۲۳	۵.۶.۱ <sup>*</sup> بهبود مارکوارت
۴۲۴	۵.۷ <sup>*</sup> روشهای شبه نیوتون
۴۲۵	۵.۷.۱ <sup>*</sup> روش دیوبیدان - فلتچر - پاول
۴۲۹	۵.۷.۲ <sup>*</sup> روشهای بهنگام مستقیم
۴۳۲	۵.۸ کاربردهای مهندسی روشهای نامقید
۴۳۲	۵.۸.۱ <sup>*</sup> مینیمم سازی انرژی پتانسیل کل
۴۳۵	۵.۸.۲ حل معادلات غیرخطی
۴۳۷	۵.۹ <sup>*</sup> روشهای تبدیل برای طراحی بهین
۴۳۸	۵.۹.۱ روشهای مینیمم سازی نامقید دنباله‌ای
۴۴۰	۵.۹.۲ روشهای ضرایب (لاگرانژین افزایش یافته)
۴۴۱	تمرینهای فصل ۵
 افصل ششم - روشهای عددی برای طراحی بهین مقید	
۴۵۱	۶.۱ مقدمه
۴۵۴	۶.۲ مفاهیم اصلی و پنداره‌ها
۴۵۴	۶.۲.۱ مفاهیم اساسی مربوط به الگوریتمهای مسائل مقید
۴۵۷	۶.۲.۲ وضعیت قید در یک نقطه طراحی

۴۵۷	تید فعال
۴۵۷	تید غیرفعال
۴۵۷	تید نقض شده
۴۵۷	تید عفعال
۴۵۸	نرمال سازی تید ۶.۲.۳
۴۶۱	راهبرد تید پتانسیل ۶.۲.۴
۴۶۳	تابع کاهشی ۶.۲.۵
۴۶۳	همگرایی یک الگوریتم ۶.۲.۶
۴۶۴	خطی سازی مسئله مقید ۶.۳
۴۷۳	الگوریتم برنامه ریزی خطی دنباله ای ۶.۴
۴۷۳	پنداره اصلی ۶.۴.۱
۴۷۵	یک الگوریتم اس ال پی (SLP) ۶.۴.۲
۴۸۱	نگرشی بر الگوریتم SLP ۶.۴.۳
۴۸۲	زیرمسئله برنامه ریزی درجه دو ۶.۵
۴۸۲	تید اندازه گام درجه دو ۶.۵.۱
۴۸۴	زیرمسئله برنامه ریزی درجه دو (QP) ۶.۵.۲
۴۸۹	حل مسائل برنامه ریزی درجه دو ۶.۵.۳
۴۸۹	تعريف مسئله QP
۴۹۰	یک روش حل - شرایط کان - تاکر برای مسئله QP
۴۹۲	روش سیمپلکس برای حل مسائل QP
۴۹۸	روش تندترین کاهش مقید ۶.۶
۴۹۹	تابع کاهشی ۶.۶.۱
۵۰۱	به دست آوردن اندازه گام ۶.۶.۲
۵۰۸	الگوریتم سی اس دی (CSD) ۶.۶.۳
۵۱۷	نگرشی بر الگوریتم CSD ۶.۶.۴
۵۱۸	استفاده از راهبرد تید پتانسیل ۶.۶.۵
۵۲۳	روشهای شبې نیوتون مقید ۶.۷*

۵۲۴	به دست آوردن زیر مسأله برنامه ریزی درجه دو	۶.۷.۱
۵۲۷	تقریب همیان شبے نیوتون	۶.۷.۲
۵۲۹	الگوریتم تندترین کاهش مقید بهبود یافته	۶.۷.۳
۵۳۲	نگرشی بر روش‌های شبے نیوتون مقید	۶.۷.۴
۵۳۳	توابع کاهشی	
۵۳۵	روش‌های دیگر	۶.۸*
۵۳۵	روش جهت‌های قابل قبول	۶.۸.۱
۵۳۸	روش تصویر گرادیان	۶.۸.۲
۵۴۰	روش گرادیان کاهش یافته عمومی	۶.۸.۳
۵۴۲	تمرینهای فصل ۶	

۵۵۵	فصل هفتم - بهینه سازی طراحی تعاملی	
۵۵۵	۷.۱ مقدمه	
۵۵۷	۷.۲ نقش تعامل در بهینه سازی طراحی	
۵۵۷	۷.۲.۱ بهینه سازی طراحی تعاملی چیست؟	
۵۵۸	۷.۲.۲ نقش رایانه در بهینه سازی طراحی تعاملی	
۵۶۰	۷.۲.۳ چرا بهینه سازی طراحی تعاملی؟	
۵۶۰	۷.۳ الگوریتمهای بهینه سازی طراحی تعاملی	
۵۶۱	۷.۳.۱ الگوریتم کاهش هزینه	
۵۶۷	۷.۳.۲ الگوریتم تصحیح قید	
۵۶۹	۷.۳.۳ الگوریتم تصحیح قید در هزینه ثابت	
۵۷۲	۷.۳.۴ الگوریتم تصحیح قید برای افزایش مشخصی در هزینه	
۵۷۳	۷.۳.۵ تصحیح قید با حداقل افزایش در هزینه	
۵۷۵	۷.۳.۶ نگرشی بر الگوریتمهای تعاملی	
۵۷۶	۷.۴ قابلیتهای تعاملی مطلوب	
۵۷۷	۷.۴.۱ آماده سازی داده های تعاملی	
۵۷۷	۷.۴.۲ قابلیتهای تعاملی	

۵۷۹	۷.۴.۳ تصمیم سازی تعاملی
۵۸۰	۷.۴.۴ ترسیم تعاملی
۵۸۱	۷.۵ نرم افزار بهینه سازی طراحی تعاملی
۵۸۲	۷.۵.۱ ارتباط متقابل کاربر با برنامه آی دی زاین (IDESIGN)
۵۸۵	۷.۵.۲ قابلیتهای برنامه آی دی زاین (IDESIGN)
۵۸۷	۷.۶ مثالهایی از بهینه سازی طراحی تعاملی
۵۸۸	۷.۶.۱ رابطه سازی مسأله طراحی فنر
۵۸۹	تابع هزینه
۵۸۹	قید تغییر مکان
۵۸۹	قید تنش برشی
۵۹۰	قید بسامد تموج امواج
۵۹۰	قید قطر
۵۹۰	محدوده صریح متغیرهای طراحی
۵۹۰	تعریف استاندارد مسأله
۵۹۱	۷.۶.۲ حل بهین مسأله طراحی فنر
۵۹۳	۷.۶.۳ حل تعاملی مسأله طراحی فنر
۵۹۵	۷.۶.۴ استفاده از ترسیم تعاملی
۵۹۵	گرایش متغیرهای طراحی
۵۹۶	تاریخچه بیشترین نقص قید
۵۹۶	تاریخچه تابع هزینه
۵۹۷	تاریخچه پارامتر همگرایی
۵۹۸	تاریخچه توابع قیود
۵۹۸	نمودار حساسیت تابع هزینه
۵۹۹	حساسیت متغیرهای طراحی
۶۰۰	نمودار حساسیت قیود
۶۰۱	نتیجه گیری
۶۰۱	تمرینهای فصل ۷

۶۰۳	فصل هشتم - بهینه سازی طراحی عملی
۶۰۳	۸.۱ مقدمه
۶۰۴	۸.۲ رابطه سازی مسائل بهینه سازی عملی
۶۰۴	۸.۲.۱ راهنماییهای عمومی
۶۰۷	۸.۲.۲ مثالی از یک مسأله بهینه سازی طراحی عملی
۶۱۵	۸.۳ ارزیابی گرادیان
۶۱۶	مشتقات جزئی تنش برشی
۶۱۸	مشتقات جزئی تنش خمی
۶۲۰	مشتقات جابه جایها
۶۲۱	۸.۴ مباحثی چند در بهینه سازی طراحی عملی
۶۲۱	۸.۴.۱ انتخاب یک الگوریتم
۶۲۱	توانمندی
۶۲۲	راهبرد قید پتانسیل
۶۲۲	ویژگیهای یک الگوریتم خوب بهینه سازی
۶۲۴	۸.۴.۲ استفاده از نرم افزار عمومی
۶۲۴	۸.۵ انتخاب نرم افزار
۶۲۵	۸.۵.۱ ترکیب یک کاربرد با یک نرم افزار عمومی
۶۲۷	۸.۶ طراحی بهین یک قاب دو عضوی با بارهای خارج از صفحه
۶۲۹	۸.۷ طراحی بهین یک سازه سه میله‌ای برآورده شدن شرایط عملکرد چندگانه
۶۳۰	۸.۷.۱ سازه سه میله‌ای متقارن
۶۳۴	۸.۷.۲ سازه سه میله‌ای نامتقارن
۶۳۹	۸.۷.۳ مقایسه جوابها
۶۳۹	۸.۸ طراحی بهین متغیر گستته
۶۴۱	۸.۸.۱ بهینه سازی متغیر پیوسته
۶۴۲	۸.۸.۲ بهینه سازی متغیر گستته
۶۴۳	۸.۹ کنترل بهین سیستمها با برنامه ریزی غیرخطی

۶۴۳	یک مسئله کنترل بهین نمونه	۸.۹.۱
۶۴۶	جزم	
۶۴۶	ثابت فنر	
۶۴۹	مینیمم سازی خطای در متغیر حالت	۸.۹.۲
۶۵۰	رابطه سازی برای جواب عددی	
۶۵۲	نتایج عددی	
۶۵۴	اثر نرمال سازی مسئله	
۶۵۶	بحث نتایج	
۶۵۷	مسئله مینیمم سازی تلاش کنترلی	۸.۹.۳
۶۶۰	مسئله کنترل حداقل زمان	۸.۹.۴
۶۶۳	مقایسه سه رابطه سازی برای کنترل بهین حرکت سیستم	۸.۹.۵
۶۶۴	تمرینهای فصل*	
۶۷۳	<b>پیوست A - تحلیل اقتصادی</b>	
۶۷۳	A.1 ارزش زمانی نقدینگی	
۶۷۹	A.2 نمودار جریان نقدینگی	
۶۸۰	A.3 مبناهای اقتصادی برای مقایسه	
۶۸۱	مقایسه سال مبنای	A.3.1
۶۸۴	مقایسه ارزش فعلی	A.3.2
۶۸۷	تمرینهای پیوست A	
۶۹۵	<b>پیوست B - جبر بوداری و ماتریسی</b>	
۶۹۵	B.1 مقدمه	
۶۹۶	B.2 تعریف ماتریسها	
۶۹۸	B.3 انواع ماتریسها و عملیات آنها	
۶۹۸	B.3.1 ماتریس صفر	
۶۹۸	B.3.2 بردار	

۶۹۸	جمع ماتریسها	B.3.3
۶۹۹	ضرب ماتریسها	B.3.4
۷۰۱	ترانهاده یک ماتریس	B.3.5
۷۰۲	عملیات سطرو ستون مقدماتی	B.3.6
۷۰۲	ماتریس‌های معادل	B.3.7
۷۰۳	ضرب اسکالار - ضرب نقطه‌ای بردارها	B.3.8
۷۰۳	ماتریس مربعی	B.3.9
۷۰۴	افرازبندی ماتریسها	B.3.10
۷۰۶	حل «معادله خطی» مجھولی	B.4
۷۰۶	مقدمه	B.4.1
۷۰۷	دترمینانها	B.4.2
۷۰۹	خواص دترمینانها	
۷۱۰	ماینر اصلی	
۷۱۱	روش حذفی گوسی	B.4.3
۷۱۵	وارون یک ماتریس : حذف گوس - جردن	B.4.4
۷۱۹	حل ««معادله خطی»» مجھولی : نظریه عمومی	B.5
۷۱۹	رتبه یک ماتریس	B.5.1
۷۲۱	نظریه عمومی برای حل معادلات خطی	B.5.2
۷۲۸	مفاهیم مربوط به مجموعه بردارها	B.6
۷۲۸	استقلال خطی یک مجموعه از بردارها	B.6.1
۷۳۳	فضاهای برداری	B.6.2
۷۳۷	مقادیر ویژه و بردارهای ویژه	B.7
۷۳۸	نرم و عدد شرطی یک ماتریس	B.8*
۷۳۸	نرم بردارها و ماتریسها	B.8.1
۷۴۰	عدد شرطی یک ماتریس	B.8.2
۷۴۰	تمرینهای پیوست	B

۷۴۵	پیوست C - یک روش عددی برای حل معادله های غیرخطی
۷۴۶	یک معادله غیرخطی C.1
۷۴۹	معادله های غیرخطی چندگانه C.2
۷۵۵	تمرینهای پیوست C
۷۵۷	پیوست D - نمونه برنامه های رایانه ای
۷۵۷	مقدمه D.1
۷۵۷	جست و جوی بازه یکسان D.2
۷۶۰	جست و جوی بخش طلایی D.3
۷۶۳	روش تندترین کاهش D.4
۷۶۸	روش نیوتون بهبود یافته D.5
۷۷۳	مراجع
۷۷۹	باسندهای تمرینهای انتخابی
۷۸۹	واژه نامه انگلیسی - فارسی
۷۹۵	واژه نامه فارسی - انگلیسی
۸۰۱	نهايه



## فصل پنجم

### روشهای عددی برای طراحی بهین نامقید

#### ۵.۱ مقدمه

در بهینه سازی غیرخطی، بعضی یا تمام توابع مسأله (تابع هزینه و یا توابع قیود) غیرخطی اند. تعبیر برنامه ریزی غیرخطی (NLP) برای روشهای عددی که مسائل بهینه سازی غیرخطی را حل می کنند استفاده می شود. این فصل روی تشریح روشهای مربوط به مسائل نامقید مرکز است. فصل ۶ حاوی روشهای مربوط به مسائل مقید است.

روشهای عددی مسائل بهینه سازی غیرخطی بدین خاطر مورد نیازند که روشهای تحلیلی برای بعضی مسائل یا خیلی خسته کننده اند و یا اصلاً قابل کاربرد نیستند. در روشهای تحلیلی، که در فصل (۳) تشریح شد، مشارایط لازم را می نویسیم و آنها را برای به دست آوردن طراحیهای نامزد مینیمم محلی حل می کنیم. سه دلیل عمدۀ نامناسب بودن روشهای تحلیلی برای بسیاری از مسائل طراحی مهندسی عبارتند از :

۱. تعداد متغیرهای طراحی و قیود می تواند زیاد باشد. شرایط لازم تعداد زیادی معادله می دهنده که ممکن است حل آنها مشکل باشد. این حقیقت بخصوص برای مسائل مقید وقیع است که شرایط لازم باید برای حالتها بسیاری حل شوند صادق است. به علاوه، حل دقیق معادلات به خاطر غیرخطی بودن، مشکل است.

۲. توابع مسائل طراحی (هزینه و قید) می‌تواند بسیار غیرخطی باشد. بنابراین، اگر حتی ابعاد مسئله کوچک باشد، مجموعه شرایط لازم بسیار غیرخطی و پیچیده‌اند.

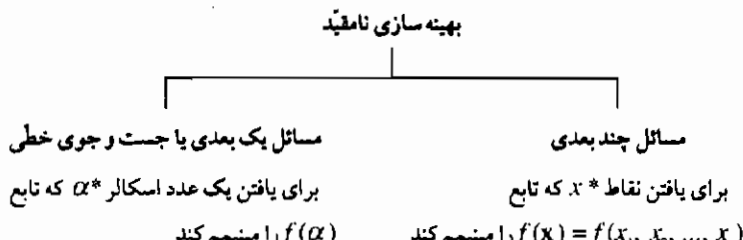
۳. در بسیاری از کاربردهای مهندسی، توابع هزینه و یا قید می‌تواند بر حسب متغیرهای طراحی ضمنی باشد. برای چنان مسائلی، شکل تابع بر حسب متغیرهای طراحی مستقل شاخته شده نیست. اما وقتی متغیرهای طراحی مشخص باشند این توابع را می‌توان محاسبه کرد. حل چنین توابعی به روشهای تحلیلی که براساس نوشتن شرایط لازم انجام می‌شود، مشکل است.

به این دلایل، ما باید روشهای عددی نظام مندی را برای طراحی بهین سیستمهای مهندسی تدوین کنیم. در این روشهایا، یک طرح اولیه حدم می‌زنیم و آن را تا برآورده شدن شرایط بهینگی بهبود می‌بخشیم.

روشهای عددی بسیاری برای بهینه‌سازی غیرخطی تدوین شده‌اند. بعضی از آنها از بعضی دیگر بهترند و پژوهش در زمینه یافتن روشهای برتر ادامه دارد. به دست آوردن جزئیات و نظریه روشهای مختلف از حد کتاب حاضر خارج است. بهر حال فهمیدن چند مفهوم اساسی، نظریه‌ها و روشهایی که در بیشتر الگوریتمها برای بهینه‌سازی محدود و نامقید استفاده می‌شوند مهم است. بنابراین، روشنی که در این فصل و فصل (۶) دنبال می‌شود عبارت است از تأکید بر مفاهیم اساسی در قالب مسائل نمونه. براساس این مفاهیم الگوریتمهای عددی متعددی می‌تواند برای طرحهای بهین سیستمهای مهندسی تدوین گردد. ما چند روش را شرح خواهیم داد.

در این فصل، مسائل بهینه‌سازی نامقید مورد بحث قرار می‌گیرند و برای این که دانشجویان به نوع محاسباتی که برای مسائل بهینه‌سازی غیرخطی مورد نیاز است آشنا شوند جزئیات عددی بعضی از الگوریتمها بررسی می‌شوند. بیشتر کتابخانه‌های مراکز رایانه‌ای یا چند برنامه رایانه‌ای استاندارد برای استفاده‌های عمومی دارند، یا این که می‌توانند آن برنامه‌ها را به راحتی به دست آورند. بنابراین، نوشتن برنامه الگوریتم باید به عنوان آخرین چاره مطرح باشد. بهر حال فهم روشهای پنداره‌های اساسی مهم است، زیرا بسیاری از آنها می‌توانند در مسائل بهینه‌سازی محدود به کار روند (یا تعیین داده شوند).

مسائل عددی متعددی با استفاده از برنامه‌های داده شده در پیوست D حل می‌شوند تا عملکرد الگوریتمهای مختلف و مقایسه آنها مورد مطالعه قرار گیرند. بسیاری از نتایج در شکل



شکل ۵.۱ دسته‌بندی مسائل بهیت سازی نامقید

جدولی داده می‌شوند. باید دانست که عملکرد هر الگوریتم به مقدار زیادی به جزئیات پیاده‌سازی عددی آن بستگی دارد. به علاوه، عملکرد عددی یک برنامه می‌تواند از یک رایانه به رایانه دیگر و از یک تلفیق گر<sup>۱</sup> به تلفیق گر دیگر متفاوت باشد. بنابراین، ممکن است نتایج عددی داده شده در جداول که از رایانه‌های مختلف به دست می‌آید، دقیقاً مثل هم نباشند. نتایجی که در این کتاب داده شده از یک ایستگاه کاری آپولو دی ان ۵۶<sup>۲</sup> به دست آمده است.

همچنان که در شکل ۵.۱ تعریف شده است، مسائل بهیت سازی نامقید به مسائل یک بعدی (جست و جوی خطی) یا چند بعدی تقسیم می‌شوند. در چند دهه اخیر روش‌های عددی حل مسائل تدوین و ارائه شده‌اند. با این همه در فاصله سالهای دهه ۱۹۵۰ و ۱۹۶۰ کار قابل ترجمه انجام شد، زیرا نشان داده شد که مسائل بهیت سازی محدود می‌توانند به رشتے ای از مسائل نامقید تبدیل شوند. بدین خاطر این روشها توجه زیادی را به خود جلب کردند و تلاشهای زیادی برای تدوین الگوریتم‌های کار و برنامه‌های رایانه‌ای صورت گرفت. بنابراین، فهم کامل روش‌های بهیت سازی نامقید مهم است.

خلاصه‌ای از مباحث این فصل در زیر می‌آید.

**بخش ۵.۲ مفاهیم عمومی مریبوط به الگوریتم‌های عددی.** پنداره الگوریتم عددی تکراری معرفی می‌شود. یک روش جست و جوی کلی برای مسائل طراحی بهین ارائه می‌گردد. الگوریتم برای مسائل مقید و نامقید کاربرد دارد. چون می‌خواهیم تابع هزینه را مینیمم کنیم، پنداره گام کاهشی معرفی می‌شود که به معنی تغییر طرح در هر چرخه است به شکلی که به کاهش تابع هزینه بینجامد. همگرایی یک الگوریتم و نرخ همگرایی باختصار

بحث می شوند. بیشتر الگوریتمهایی که در کتاب بحث شده اند به گرادیان تابع هزینه و قید نیاز دارند. گاهی ارزیابی تحلیلی گرادیان بسیار پر زحمت و یا حتی غیر ممکن است. بنابراین، گرادیانها باید با استفاده از تفاضل محدود به روش عددی ارزیابی گردند.

**بخش ۵.۳ مینیمم سازی یک بعدی.** بیشتر الگوریتمهای بهینه سازی به دو بخش تقسیم می شوند: زیر مسأله تعیین جهت جست و جو و تعیین طول گام. هنگامی که جهت جست و جو مشخص شد، تعیین طول گام یک مسأله مینیمم سازی یک بعدی است. سه الگوریتم ساده برای حل مسأله تشریع می شود: جست و جوی بازه یکسان، جست و جوی بخش طلایی و درون یابی چندجمله ای. روشهای مثال تشریع می شوند.

**بخش ۵.۴ روش تندترین کاهش.** این روش ساده ترین و قدیمی ترین روش محاسبه جهت جست و جوست و در آن از خواص گرادیان تابع هزینه استفاده می شود. ولی الگوریتم خیلی پویا نیست و بدین سبب برای کاربردهای عمومی توصیه نمی شود و در اینجا به خاطر سابقه موضوع ارائه می گردد. به علاوه، الگوریتمهای جدید بسیاری را می توان به عنوان روش تندترین کاهش تغییر یافته محسوب کرد. روش تندترین کاهش در قالب مثالهای تشریع می شود. مقیاس بندی متغیرهای طراحی در بسیاری از کاربردها تأثیری بسزادرد، بنابراین با مثالهای توضیح داده می شود.

**بخش ۵.۵ روش گرادیان مزدوج.** این یک روش بسیار ساده و مؤثر از روش تندترین کاهش بهبود یافته است. چگونگی بهبود یافتن تشریع شده و روش با ذکر مثال توضیح داده می شود.

**بخش ۵.۶ روش نیوتون.** این روش برای تعیین جهت جست و جو از هسیان تابع هزینه استفاده می کند. تدوین این روش با اختصار بیان شده و با مثالهای تشریع می شود. یک حالت بهبود یافته مفید از روش نیز بیان می شود.

**بخش ۵.۷ روشهای شبه نیوتون.** روش نیوتون به محاسبه مشتقهای مرتبه دوم تابع هزینه نیاز دارد. به علاوه ماتریس هسیان دقیق ممکن است منفرد یا نامعین بوده و اشکالات عددي به وجود آورد. روشهای شبه نیوتون برای تولید هسیان تقریبی، که در هر چرخه معین مشبّت باقی می ماند، تنها از اطلاعات مرتبه یک استفاده می کنند. دو نوع از این روشهای تشریع و بیان می شوند.

**بخش ۵.۸ کاربردهای مهندسی روشهای نامقید.** کاربردهای مهندسی مفید متعددی از

روشهای نامقید وجود دارد. ما چند نمونه از آنها را توضیح می‌دهیم. اوّلین آنها مینیمم‌سازی انرژی پتانسیل کل است که حالت تعادل سیستمهای مکانیکی و سازه‌ها را بیان می‌کند. این روش با مثال عددی ساده‌ای تشریح می‌شود. کاربرد دوم شامل حل یک مجموعه از معادله‌های غیرخطی است که در کاربردهای مهندسی بی شماری مطرح می‌شود. یکتابع نامقید که تابع اصلی را نیز شامل می‌شود تعریف می‌شود. مینیمم ساختن تابع، ریشه‌های مجموعه معادلات غیرخطی را می‌دهد. این روش هم با ارائه مثالی تشریح می‌شود.

**بخش ۵.۹** روشهای تبدیل برای طراحی بهین. از روشهای بهینه‌سازی نامقید می‌توان برای حل مسائل مقید استفاده کرد. این بخش چنین روشهایی را که مسئله مقید را به رشته‌ای از مسائل نامقید تبدیل می‌کنند، با ختصار توضیح می‌دهد. روشهای مینیمم‌سازی نامقید دنباله‌ای<sup>۱</sup> و روشهای ضرایب جدیدتر به طور خلاصه مرور می‌شوند.

## ۵.۲ مفاهیم عمومی مربوط به الگوریتمهای عددی

روشهای عددی برای طراحی بهین از نظر مفهوم با روشهای تحلیلی که در فصل (۳) تشریح شد، متفاوتند. در نگرشی تحلیلی مشاریط بهینگی را نوشت، و آنها را برای به دست آوردن طرحهای نامزد مینیمم محلی حل می‌کنیم. با استفاده از روشهای عددی، طرحی را به عنوان حدس اوّلیه برای نقطه بهین انتخاب کرده و آن را در چرخه‌های متوالی تغییر می‌دهیم تا شرایط بهینگی برآورده شوند. فرآیند ممکن است به چندین چرخه نیاز داشته باشد. پس در روشهای عددی می‌کوشیم تا شرایط بهینگی را با استفاده از یک فرآیند چرخه‌ای برآورده سازیم. در این بخش، چند مفهوم اساسی را که هم برای روشهای بهینه‌سازی مقید و هم نامقید به کار می‌روند توضیح می‌دهیم.

### ۵.۲.۱ یک الگوریتم کلی

تمامی روشهای عددی که در این فصل و فصل بعدی مطرح می‌شوند با روابط چرخه‌ای زیر قابل توضیحند:

$$\mathbf{x}^{(k+1)} = \mathbf{x}^{(k)} + \Delta \mathbf{x}^{(k)}; \quad k = 0, 1, 2, \dots \quad (5.1)$$

$$x_i^{(k+1)} = x_i^{(k)} + \Delta x_i^{(k)}; \quad k = 0, 1, 2, \dots \\ i = 1 \text{ to } n \quad (5.2)$$

در این معادله ها اندیس بالای  $\Delta x$  شماره چرخه، اندیس پایینی شماره متغیر طراحی،  $x$  طرح اولیه و  $\Delta x$  بیانگر تغییرات کوچک در طرح فعلی است. طرح چرخه ای که در معادله (۱.۵) یا (۲.۵) تشریح شد، تا برآورده شدن شرایط بهینگی یا به دست آمدن یک طرح قابل قبول ادامه می یابد.

رابطه چرخه ای هم برای مسائل مقید و هم برای مسائل نامقید کاربرد دارد. برای مسائل نامقید، محاسبه  $\Delta x$  بستگی به تابع هزینه و مشتقهایش در نقطه طراحی فعلی دارد. برای مسائل مقید، قیود نیز باید هنگام محاسبه تغییرات در طراحی  $\Delta x$  مورد توجه قرار گیرند. بنابراین، علاوه بر تابع هزینه و مشتقهای آن، توابع قید و مشتقهای آنها در به دست آوردن  $\Delta x$  نقش دارند. روش‌های متعددی برای محاسبه  $\Delta x$  برای مسائل مقید و نامقید وجود دارد. ما بعضی از روش‌های اساسی را بعداً در همین فصل تشریح خواهیم کرد.

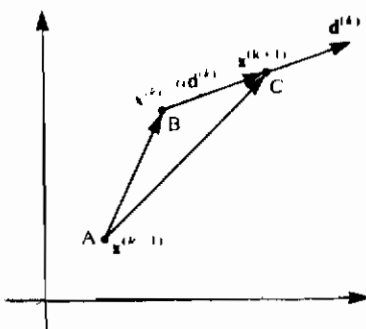
برای روش‌های بهینه سازی، تغییر در طراحی  $\Delta x$  به دو قسمت تجزیه می شود:

$$\Delta x^{(k)} = \alpha_k d^{(k)} \quad (5.3)$$

در آن  $d$  یک جهت جست و جوی مطلوب در حرکت در فضای طراحی و  $\alpha$  یک عدد اسکالر مثبت است که اندازه گام در آن جهت نامیله می شود. پس، فرآیند محاسبه  $\Delta x$  دوزیر مسئله جداگانه را شامل می شود: زیرمسئله یافتن جهت و زیرمسئله به دست آوردن اندازه گام (مقیاس بندی در امتداد جهت). فرآیند حرکت از یک نقطه طراحی به نقطه دیگر در شکل ۵.۲ تشریح شده است. در شکل، B نقطه طراحی فعلی،  $d$  جهت جست و جوی مطلوب و  $\alpha$  طول گام است. بنابراین، وقتی  $\alpha d$  به طرح فعلی اضافه شود ما به نقطه طراحی جدید در فضای طراحی می رسیم. تمامی فرآیند از نقطه C تکرار می شود.

روشهای زیادی برای محاسبه اندازه گام  $\alpha$  و بردار جهت جست و جو  $d$  وجود دارد. با ترکیبهای گوناگون روشها می توان الگوریتمهای بهینه سازی مختلفی تدوین کرد.

به طور خلاصه، پنداره اصلی روش‌های عددی برای مسائل بهینه سازی غیرخطی این است که با یک حدس منطقی برای طراحی بهین شروع شود. توابع هزینه و قیود و مشتقهای آنها در آن نقطه محاسبه می شوند. براساس آنها، طرح به نقطه جدیدی حرکت داده می شود.



شکل ۵.۲ نودار منهروس گامهای چرخه‌ای برای روش بهینه‌سازی

فرآیند ادامه پیدا می‌کند تا یا شرایط بهینگی یا سایر معیارهای توقف برآورده شوند. می‌توان دید که فرآیند چرخه‌ای نشان از یک جست و جوی سازمان یافته در فضای طراحی برای یافتن نقاط مینیمم محلی دارد. لذا این روشها اغلب فنون جست و جوی یا روش‌های مستقیم بهینه‌سازی نامیده می‌شوند.

فرآیند چرخه‌ای ذکر شده به عنوان یک الگوریتم کلی با قابلیت کاربرد در مسائل مقید و نامقید می‌تواند به شکل زیر خلاصه شود:

**گام ۱.** یک طراحی اوکیه<sup>(۱)</sup> منطقی حدس بزنید. شمارنده چرخه را برابر صفر قرار دهید<sup>(۲)</sup>.  $k = 0$

**گام ۲.** یک جهت جست و جو<sup>(۳)</sup>  $d$  در فضای طراحی محاسبه کنید. این محاسبه عموماً در مسائل نامقید به مقدار تابع هزیته و گرادیان آن و در مسائل مقید علاوه بر آنها، به توابع قید و گرادیان آنها نیاز دارد.

**گام ۳.** همگرایی الگوریتم را بررسی کنید. اگر همگرا شده است، فرآیند چرخه راقطع کنید. در غیر این صورت ادامه دهید.

**گام ۴.** یک اندازه گام مثبت  $\alpha$  محاسبه کنید.

**گام ۵.** طرح جدید را از رابطه زیر محاسبه کنید.

$$\mathbf{x}^{(k+1)} = \mathbf{x}^{(k)} + \alpha_k \mathbf{d}^{(k)} \quad (5.4)$$

شمارنده را یک شماره افزایش داده،  $k = k + 1$ ، و به گام ۲ بروید.  
در بخش‌های آینده این فصل، روش‌های محاسبه اندازه گام  $\alpha$  و جهت جست و جوی<sup>(۴)</sup>

را برای مسائل بهینه سازی نامقید بحث خواهیم کرد.

#### ۵.۲.۴ پنداشة گام کاهشی

ما قبلاً به  $\text{ا}^{(k)}$  به عنوان جهت مطلوب در تغییر طرح در فرآیند چرخه اشاره کرده‌ایم.

اکنون منظور از جهت مطلوب در تغییر طرح را توضیح می‌دهیم.

هدف از فرآیند بهینه سازی چرخه‌ای این است که به یک نقطه مینیمم برای تابع هزینه  $(x)^{(k)}$  برسیم. فرض می‌کنیم که در  $k$  امین چرخه هستیم و برایمان مشخص شده که  $x^{(k)}$  یک نقطه مینیمم نیست، یعنی شرایط بهینگی قضیه ۳.۴ برآورده نشده است. اگر  $x^{(k)}$  یک نقطه مینیمم نباشد آن‌گاه باید بتوانیم نقطه دیگر  $x^{(k+1)}$  را بیابیم که مقدار تابع هزینه کمتری نسبت به نقطه  $x^{(k)}$  داشته باشد. این بیان می‌تواند به شکل ریاضی زیر عنوان شود

$$f(x^{(k+1)}) < f(x^{(k)}) \quad (5.5)$$

$x^{(k+1)}$  را از معادله (۵) در نامعادله فوق جایگزین کنید تا نامعادله زیر به دست آید

$$f(x^{(k)} + \alpha_k d^{(k)}) < f(x^{(k)}) \quad (5.6)$$

با تقریب زدن طرف چپ معادله (۵.۶) از بسط تیلور خطی حول نقطه  $x^{(k)}$ ، داریم

$$f(x^{(k)}) + \alpha_k (e^{(k)} \cdot d^{(k)}) < f(x^{(k)}) \quad (5.7)$$

که  $\text{گرادیان}(x) = \nabla f(x^{(k)})$  در نقطه  $x^{(k)}$  و  $(\cdot)$  نشان دهنده ضرب نقطه‌ای دو بردار است.

چون در معادله (۵.۷) طرف چپ باید کوچکتر از طرف راست باشد، نتیجه می‌گیریم که جمله

دوم طرف چپ باید منفی باشد، یعنی

$$\alpha_k (e^{(k)} \cdot d^{(k)}) < 0 \quad (5.8)$$

چون  $0 < \alpha_k$  است، می‌تواند از نامعادله (۵.۸) حذف شود. همچنین چون  $e^{(k)}$  کمیتی معلوم است (گرادیان تابع هزینه)، جهت جست و جو  $d^{(k)}$  باید طوری محاسبه گردد تا نامعادله (۵.۸) برآورده شود. ازنظر هندسی، نامعادله نشان می‌دهد که زاویه بین بردارهای  $e^{(k)}$  و  $d^{(k)}$  باید بین  $90^\circ$  تا  $270^\circ$  باشد. به عبارت دیگر، هر تغییر کوچکی در آن جهت باید باعث کاهش تابع هزینه گردد.

حال می‌توانیم یک جهت مطلوب در تغییر طرح را به عنوان هر بردار  $d^{(k)}$  که

در نامعادله (۵.۸) صدق می‌کند تعریف کنیم. چنین بردارهایی جهت کاهش برای تابع هزینه نیز نامیده می‌شوند و نامعادله (۵.۸) شرط کاهش خوانده می‌شود. گامی از روش بهینه‌سازی چرخه‌ای براساس این جهتها را یک گام کاهشی می‌گویند. در یک نقطه طراحی جهتهای کاهش بسیاری می‌تواند وجود داشته باشد و هر الگوریتم بهینه‌سازی آن را به شکلی متفاوت محاسبه می‌کند.

جهت کاهش گاهی جهت پایین ته نیز نامیده می‌شود. مسئله مینیمم‌سازی ( $\mathbf{x}$ ) $f$  می‌تواند به عنوان یک مسئله تلاش برای رسیدن به پایین ته از یک نقطه بالا در نظر گرفته شود. از آنجایی که جهت "پایین ته" را پیدا کرده و در آن استداد تا حد امکان حرکت می‌کنیم. از پایین ترین نقطه در آن جهت، فرآیند را تکرار می‌کنیم تا به کف برسیم. روشی که براساس پنداره گام کاهشی است روش کاهشی نامیده می‌شود. روشن است که چنین روشی به نقطه ماکزیمم تابع همگرا نخواهد شد.

مفهوم جهتهای کاهشی در بیشتر روش‌های بهینه‌سازی عددی استفاده می‌شود. بنابراین باید به طور روشن فهمیده شود.

### مثال ۵.۱ شرط کاهش را امتحان کنید.

تابع زیر را در نظر بگیرید

$$f(\mathbf{x}) = x_1^2 - x_1x_2 + 2x_2^2 - 2x_1 + e^{(x_1+x_2)}$$

نشان دهید که بردار  $(1, 2) = \mathbf{d}$  در نقطه  $(0, 0)$  یک جهت کاهشی برای تابع  $f$  است.

حل. اگر  $(1, 2) = \mathbf{d}$  جهت کاهشی باشد، آن‌گاه باید در نامعادله (۵.۸) صدق کند.  
برای نشان دادن این مطلب، گرادیان تابع  $(\mathbf{x}) = f$  را در  $(0, 0)$  محاسبه می‌کنیم که عبارت است از

$$\mathbf{c} = (2x_1 - x_2 - 2 + e^{(x_1+x_2)}, -x_1 + 4x_2 + e^{(x_1+x_2)}) = (-1, 1)$$

بنابراین،

$$(\mathbf{c} \cdot \mathbf{d}) = (-1, 1) \begin{bmatrix} 1 \\ 2 \end{bmatrix} = -1 + 2 = 1 > 0.$$

پس، نامعادله (۵.۸) برآورده نشده و  $\mathbf{d}$  داده شده جهت کاهشی برای تابع  $(\mathbf{x}) = f$  نیست.

### ۵.۴.۳ همگرایی الگوریتمها

پندازه اصلی تمامی روشهای عددی بهین سازی این است که برای یافتن نقطه بهین در قالب یک فرآیند چرخه‌ای که رشته‌ای از طراحیها را تولید می‌کند، جست و جو می‌کند. مهم است که به این نکته دقت کنید که موفقیت یک روش در گرو تضمین همگرایی رشته به نقطه بهین است. خاصیت همگرایی به یک نقطه بهین محلی بدون توجه به نقطه شروع، همگرایی فراگیر روش عددی نامیده می‌شود. در عمل، به کارگیری روشهای عددی همگرا مورد نظر است، زیرا آنها بیشتر قابل اعتمادند. برای مسائل نامقید، یک الگوریتم همگرا باید در هر چرخه تابع هزینه را کاهش دهد تا به مینیمم برسد.

### ۵.۴.۴ نرخ همگرایی

در عمل، یک روش عددی ممکن است تاریخین به نقطه بهین چرخه‌های بسیار زیادی طی کند. بنابراین، به کارگیری روشهایی که نرخ همگرایی سریعتری دارند، مهم است. نرخ همگرایی یک الگوریتم معمولاً با تعداد چرخه‌ها و محاسبه تابع برای رسیدن به جواب قابل قبول اندازه گیری می‌شود. در الگوریتمهای سریعتر معمولاً اطلاعات مرتبه دوی توابع مسئله استفاده می‌شود که به نام روشهای نیوتون شناخته می‌شوند. بسیاری از الگوریتمها نیز اطلاعات مرتبه دو را تنها با استفاده از اطلاعات مرتبه یک تقریب می‌زنند، که با عنوان روشهای شبه نیوتون شناخته می‌شوند. ما چند نمونه از آنها را تشریح خواهیم کرد.

### ۵.۴.۵ ارزیابی عددی گرادیانها

اغلب محاسبه تحلیلی گرادیان یک تابع پیچیده، خسته کننده و طاقت فرساست. در این حالتها، تقریب گرادیان یا ماتریس هسیان تابع به کمک تفاضلهای محدود امکان پذیر است. در اینجا به طور خلاصه چنین روشهایی را توضیح می‌دهیم. فرض شده است که تابع پیوسته و قابل مشتق گیری باشد.

مشتق جزئی یک تابع چندمتغیره ( $f$ ) نسبت به متغیر  $x_i$  به شکل زیر تعریف می‌شود

$$\frac{\partial f}{\partial x_i} = \lim_{\delta x_i \rightarrow 0} \frac{f(x_1, \dots, x_i + \delta x_i, \dots, x_n) - f(x_1, \dots, x_i, \dots, x_n)}{\delta x_i} \quad (5.9)$$

در حالی که  $\delta x_i$  یک تغییر کوچک در متغیر  $x_i$  است. با استفاده از این تعریف مشتق جزئی، می‌توانیم گرادیان یکتابع را در یک نقطه داده شده به دست آوریم. عبارات متعددی را می‌توان براساس رابطه (۵.۹) تدوین کرد. ماروشاهای ساده تفاضل پیش رو، تفاضل پس رو و تفاضل مرکزی را توضیح خواهیم داد. در تمامی روشها،  $\delta x_i$  با یک تغییر محدود  $\Delta x_i$  جایگزین شده و یک مقدار مشتق تقریبی با استفاده از معادله (۵.۹) به دست می‌آید. تابع در دو نقطه همسایه ارزیابی شده و تفاضل مقادیر تابع به تغییر  $\Delta x_i$  تقسیم می‌شود. به این کار مشتق گیری عددی تابع نیز گفته می‌شود.

در روش تفاضل پیش رو، تغییر  $\Delta x_i$  به  $x_i$  اضافه می‌شود و مشتق جزئی در نقطه  $(x_1, \dots, x_n)$  به شکل زیر محاسبه می‌شود

$$(5.10) \quad \frac{\partial f}{\partial x_i} \approx \frac{f(x_1, \dots, x_i + \Delta x_i, \dots, x_n) - f(x_1, \dots, x_i, \dots, x_n)}{\Delta x_i}$$

معادله (۵.۱۰) برای تمامی  $x_i$  ها  $i = 1 \dots n$  استفاده شده تا تمامی مشتقان جزئی محاسبه گردد.

در روش تفاضل پس رو، تغییر  $\Delta x_i$  از  $x_i$  کم شده و مشتق جزئی در نقطه  $(x_1, \dots, x_n)$  به شکل زیر محاسبه می‌شود

$$(5.11) \quad \frac{\partial f}{\partial x_i} \approx \frac{f(x_1, \dots, x_i, \dots, x_n) - f(x_1, \dots, x_i - \Delta x_i, \dots, x_n)}{\Delta x_i}$$

در روش تفاضل مرکزی، تغییر  $\Delta x_i$  هم از  $x_i$  کم و هم به آن اضافه می‌گردد و مشتق جزئی در نقطه  $(x_1, \dots, x_n)$  محاسبه می‌گردد

$$(5.12) \quad \frac{\partial f}{\partial x_i} \approx \frac{f(x_1, \dots, x_i + \frac{1}{2}\Delta x_i, \dots, x_n) - f(x_1, \dots, x_i - \frac{1}{2}\Delta x_i, \dots, x_n)}{\Delta x_i}$$

دقت کنید که اگر تغییر  $\Delta x_i$  در متغیر  $x_i$  خیلی بزرگ باشد، ارزیابی گرادیان دقیق نیست. چندین راهکار برای انتخاب یک تغییر منطقی در متغیرهای طراحی وجود دارد. معمولاً، اگر تابع خیلی غیرخطی نباشد، تغییر ۱٪ تقریباً خوب کار می‌کند (یعنی،  $|\Delta x_i| = 0.01$ ). برای جزئیات بیشتر در مورد تعیین تغییرات متغیرها به مراجع گیل، ماری و رایت<sup>۱</sup> [۱۹۸۱] مراجعه کنید.

عیب اصلی محاسبه گرادیان به روش تفاضل محدود این است که تعداد دفعاتی که باید تابع ارزیابی شود به طور قابل توجهی افزایش می‌یابد و این یک الگوریتم بهینه سازی را غیر مؤثر می‌سازد. این افزایش به خاطر این است که برای هر نمودار  $\Delta x$  تابع باید دوباره محاسبه شود. همچنین دقت کنید که روش تفاضل مرکزی در مقایسه با روش‌های تفاضل پیش رو و یا پس رو به دو برابر ارزیابی تابع نیاز دارد.

**مثال ۵.۲ ارزیابی عددی گرادیان.** گرادیان تابع  $f(x_1, x_2) = x_1^2 + x_2^2$  را در نقطه  $(1, 2)$  به کمک روش عددی تفاضل محدود ارزیابی کرده و آن را با گرادیان تحلیلی مقایسه کنید. تغییر  $1\%$  برای متغیرهای طراحی در نظر بگیرید.

حل. مقدار دقیق گرادیان تابع در نقطه  $(1, 2)$  عبارت است از

$$\nabla f = (2x_1, 1) = (4, 1)$$

ما گرادیان تابع را با هر سه روش محاسبه خواهیم کرد. یک تغییر  $1\%$  در متغیرها به ما  $\Delta x_1 = 0.01$  و  $\Delta x_2 = 0.02$  را می‌دهد.

روشن تفاضل پیش رو:

$$\frac{\partial f}{\partial x_1} \approx \frac{f(2.02, 1) - f(2, 1)}{0.02} = \frac{0.0804}{0.02} = 4.02$$

$$\frac{\partial f}{\partial x_2} \approx \frac{f(2, 1.01) - f(2, 1)}{0.01} = \frac{0.01}{0.01} = 1.00$$

روشن تفاضل پس رو:

$$\frac{\partial f}{\partial x_1} \approx \frac{f(2, 1) - f(1.98, 1)}{0.02} = \frac{0.0796}{0.02} = 3.98$$

$$\frac{\partial f}{\partial x_2} \approx \frac{f(2, 1) - f(2, 0.99)}{0.01} = \frac{0.01}{0.01} = 1.00$$

روشن تفاضل مرکزی:

$$\frac{\partial f}{\partial x_1} \approx \frac{f(2.01, 1) - f(1.99, 1)}{0.02} = \frac{0.08}{0.02} = 4.00$$

$$\frac{\partial f}{\partial x_2} \approx \frac{f(2, 1.005) - f(2, 0.995)}{0.01} = \frac{0.01}{0.01} = 1.00$$

دقت کنید که برای تابع داده شده، مقدار گرادیان به دست آمده از هر سه روش، با تقریب خیلی خوبی به گرادیان دقیق نزدیک است. با این همه، روش تفاضل مرکزی بهترین تقریب را می‌دهد. همچنین دقت کنید که هر سه روش برای  $\frac{\partial f}{\partial x_2}$  مقدار دقیق را

داده اند. علت آن این است که تابع بر حسب  $x$  خطی است. برای توابع خطی، مشتق گیری عددی همیشه مقدار دقیق گرادیان را می دهد.

### ۵.۳ مینیمم سازی پک بعدی

#### ۵.۳.۱ تعریف مسئله

روش‌های بهینه‌سازی عددی نامقید برا اساس رابطه چرخه‌ای داده شده در معادله (۱.۵) قرار دارند. همچنان که قبلاً بحث شد، مسئله به دست آوردن تغییر در طراحی  $\Delta$  معمولاً به دو قسمت تجزیه می‌شود: مسئله یافتن جهت و مسئله به دست آوردن اندازه گام، چنان‌که در معادله (۱.۵) دیده شد. در این جانیاز به بحث روش‌های عددی برای حل هر دو مسئله داریم. در بند زیر، ما ابتدا مسئله تعیین اندازه گام را بحث می‌کنیم. این کار اغلب مسئله جست و جوی یک بعدی (یا جست و جوی خطی) نامیده می‌شود. چنین مسائلی از نظر حل ساده‌ترند که خود دلیلی برای مقدم داشتن بحث آنهاست. به دنبال روش‌های مینیمم سازی یک بعدی، روش‌های متعدد یافتن جهت جست و جوی  $\Delta$  در فضای طراحی، در بخش‌های ۴.۵ تا ۷.۵ تشریح می‌شود.

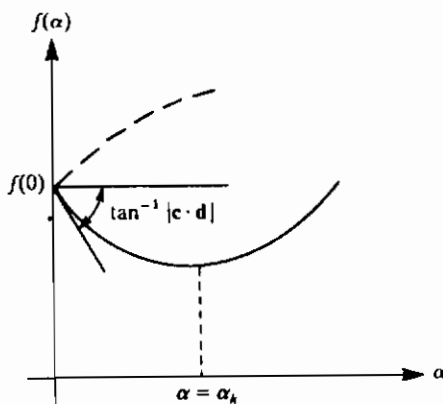
برای مسئله بهینه‌سازی چند متغیره، باید ابتدا مسئله یافتن جهت حل شود. آن گاه باید با جست و جوی برای مینیمم تابع در امتداد جهت داده شده در فضای طراحی، یک اندازه گام تعیین شود. این همیشه یک مسئله مینیمم سازی یک بعدی است.

۵.۳.۱.۱ کاهش به تابع پک متغیره. برای این که بینیم چگونه از جست و جوی خطی در مسائل چند بعدی استفاده خواهد شد، باید فرض کنیم که جهت مطلوب تغییر طراحی  $\Delta$  پیدا شده است. آن گاه در معادله‌های (۱.۵) و (۱.۳)، تنها مجھول عدد اسکالر  $\alpha$  است. با جای گزینی معادله (۱.۵) در تابع هزینه  $f(x)$ ، خواهیم داشت

$$f(\mathbf{x}^{(k+1)}) = f(\mathbf{x}^{(k)} + \alpha \mathbf{d}^{(k)})$$

حال، چون  $\Delta$  معلوم است، طرف راست فقط تابعی از پارامتر اسکالر  $\alpha$  می‌شود و ما می‌توانیم معادله قبلی را به شکل زیر بنویسیم

$$f(\mathbf{x}^{(k+1)}) = f(\mathbf{x}^{(k)} + \alpha \mathbf{d}^{(k)}) = \bar{f}(\alpha) \quad (5.13)$$

شکل ۰.۲ ترسیمه  $f(\alpha)$  بر حسب  $\alpha$ 

در حالی که  $f(\alpha)$  تابع جدیدی است که  $\alpha$  تنها متغیر مستقل آن است (بعداً ما "خط بالا"ی تابع یک متغیره را حذف خواهیم کرد). دقت کنید که در  $\alpha = 0$ ،  $f(x^{(k)}) = f(0)$ ، که مقدار فعلی تابع هزینه است. مهم است که کاهش یک تابع "متغیره به یک تابع یک متغیره در معادله (۵.۱۳) درک شود؛ زیرا این گام اساسی تقریباً در تمامی روشهای بهینه سازی کاربرد دارد. این پنداره را در بند بعدی بیشتر شرح خواهیم داد.

اگر  $x^{(k)}$  نقطه مینیمم نباشد، آن گاه، یافتن یک جهت کاهشی  $d$  در آن نقطه امکان پذیر است. یادآور می شود که یک حرکت کوچک در امتداد  $d$  تابع هزینه را کاهش می دهد. بنابراین، با استفاده از معادله های (۵.۵) و (۵.۱۳)، شرط کاهش تابع هزینه می تواند به شکل نامعادله زیر بیان شود:

$$f(\alpha) < f(0) \quad (5.14)$$

چون  $f(\alpha)$  یک تابع تک متغیره است، می توانیم  $f(\alpha)$  را بر حسب  $\alpha$  در یک صفحه رسم کنیم. برای برآورده شدن نامعادله (۵.۱۴) منحنی  $f(\alpha)$  بر حسب  $\alpha$  باید یک شیب منفی در نقطه  $\alpha = 0$  داشته باشد. چنین منحنی با خط پر در شکل ۰.۳ نشان داده شده است. باید درک شود که اگر جهت جست و جو درست باشد، ترسیمه  $f(\alpha)$  بر حسب  $\alpha$  نمی تواند منحنی خط چین باشد، زیرا هر  $\alpha$  ری مثبت باعث افزایش  $f(\alpha)$  می شود و نامعادله (۵.۱۴) نقض می شود. این نیز برخلاف این است که  $d$  جهتی است که کاهشی برای تابع هزینه. بنابراین،

ترسیمه  $(\alpha)f$  بحسب  $\alpha$  باید برای همه مسائل خط پر شکل ۵.۳ باشد. در حقیقت، شب منحنی  $(\alpha)f$  در  $\alpha = 0$  به شکل  $c^k \cdot d^k = (0)$  محاسبه می‌شود که منفی است، همچنان که در معادله (۵.۸) دیده شد.

**۵.۳.۱.۲ روش تحلیلی محاسبه اندازه گام بحث فوق نشان می‌دهد اگر  $d^k$  یک جهت کاهشی باشد، آن‌گاه  $\alpha$  در معادله (۵.۸)، باید همیشه یک عدد اسکالر مثبت باشد. پس، مسأله مینیمم‌سازی یک بعدی عبارت است از یافتن  $\alpha = \alpha^*$  چنان که  $(\alpha)f$  مینیمم شود. اگر  $(\alpha)f$  یک تابع ساده باشد، آن‌گاه، می‌توانیم روش تحلیلی (شرایط لازم و کافی بخش ۳.۳) را برای بدست آوردن  $\alpha^*$  استفاده کنیم. شرط لازم عبارت است از  $0 = df(\alpha^*)/d\alpha$ ، و شرط کافی عبارت است از  $0 > d^2f(\alpha^*)/d\alpha^2$ . در اینجا روش جست و جوی خطی تحلیلی را با مثالی تشرییح خواهیم کرد. دقت کنید که مشتق  $(x^{(k+1)})f$  در معادله (۵.۱۳) نسبت به  $\alpha$  رابطه زیر را می‌دهد**

$$\frac{df(x^{(k+1)})}{d\alpha} = \frac{\partial f^T(x^{(k+1)})}{\partial x} \frac{dx^{(k+1)}}{d\alpha} = \nabla f(x^{(k+1)}) \cdot d^{(k)}$$

پس، شرط لازم برای اندازه گام بین  $(df/d\alpha = 0)$  به مارابطه زیر را می‌دهد

$$\nabla f(x^{(k+1)}) \cdot d^{(k)} = 0, \quad \text{or} \quad c^{(k+1)} \cdot d^{(k)} = 0 \quad (5.15)$$

که نشان می‌دهد گرادیان تابع هزینه در نقطه جدید بر جهت جست و جو در  $k$ امین چرخه عمود است.

**مثال ۵.۳** به دست آوردن تحلیلی اندازه گام، فرض کنید جهت تغییر تابع

$$f(x) = 3x_1^2 + 2x_1x_2 + 2x_2^2 + 7 \quad (\text{الف})$$

در نقطه (۱، ۲) به شکل (۱، -۱) داده شده باشد. اندازه گام  $\alpha$  را برای مینیمم کردن  $(x)f$  در جهت داده شده محاسبه کنید.

حل. برای نقطه داده شده (۱، ۲)  $x^{(k)} = (1, 2)$ ،  $f(x^{(k)}) = 22$ ،  $d^k = (-1, -1)$ . ابتدا بررسی می‌کنیم تا بینیم آیا  $d^k$  جهت کاهشی است یا خیر. گرادیان تابع در (۱، ۲) عبارت است از  $c^{(k)} = (10, 10)$  و  $c^{(k)} \cdot d^k = 10(-1) + 10(-1) = -20 < 0$ . بنابراین (۱، -۱) جهت کاهشی است.

نقطه جدید  $x^{(k+1)}$  از معادله (۱.۵) عبارت است از

$$\begin{bmatrix} x_1 \\ x_2 \end{bmatrix}^{(k+1)} = \begin{bmatrix} 1 \\ 2 \end{bmatrix} + \alpha \begin{bmatrix} -1 \\ -1 \end{bmatrix} \quad (\text{ب})$$

یا، به شکل مؤلفه‌ای

$$x_1^{(k+1)} = 1 - \alpha; \quad x_2^{(k+1)} = 2 - \alpha \quad (\text{ب})$$

با جایگزینی معادله‌های (ب) در معادله (الف) داریم

$$f(x^{(k+1)}) = 3(1 - \alpha)^2 + 2(1 - \alpha)(2 - \alpha) + 2(2 - \alpha)^2 + 7$$

با ساده کردن معادله فوق خواهیم داشت

$$f(x^{(k+1)}) = 7\alpha^2 - 20\alpha + 22 = f(\alpha) \quad (\text{ت})$$

بنابراین، در امتداد جهت داده شده  $(-1, -1)$ ،  $f(x)$  تابعی از یک متغیر  $\alpha$  می‌شود.

همچنین از معادله (ت) مشاهده می‌شود:  $f(0) = 22$ ، که مقدار تابع هزینه در نقطه

فعلی است و  $f'(0) = -20 < 0$  که شیب  $f(\alpha)$  در  $\alpha = 0$  است (همچنین یادآور می‌شود

$$\text{که } f'(0) = c^T d^k.$$

اکنون با استفاده از شرایط لازم و کافی بهینگی برای  $f(\alpha)$ ، داریم

$$\frac{df}{d\alpha} = 14\alpha_k - 20 = 0; \quad \alpha_k = \frac{10}{7}$$

$$\frac{d^2f}{d\alpha^2} = 14 > 0$$

پس، شرط کافی در  $\alpha_k$  برآورده شده است. بنابراین،  $\alpha_k = \frac{10}{7}$  تابع  $f(x)$  را در امتداد  $(-1, -1)$  مینیمم می‌کند. نقطه جدید طراحی عبارت است از

$$\begin{bmatrix} x_1 \\ x_2 \end{bmatrix}^{(k+1)} = \begin{bmatrix} 1 \\ 2 \end{bmatrix} + \left(\frac{10}{7}\right) \begin{bmatrix} -1 \\ -1 \end{bmatrix} = \begin{bmatrix} -\frac{3}{7} \\ \frac{4}{7} \end{bmatrix} \quad (\text{ث})$$

با جایگزینی طراحی جدید  $\left(-\frac{3}{7}, \frac{4}{7}\right)$  در معادله (الف)، مقدار جدید تابع هزینه را

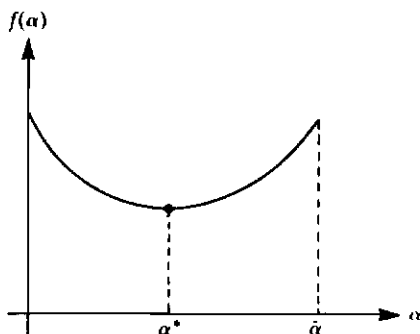
به دست می‌آوریم که عبارت است از  $\frac{54}{7}$ . این بهبود (کاهش) نسبت به تابع هزینه ۲۲

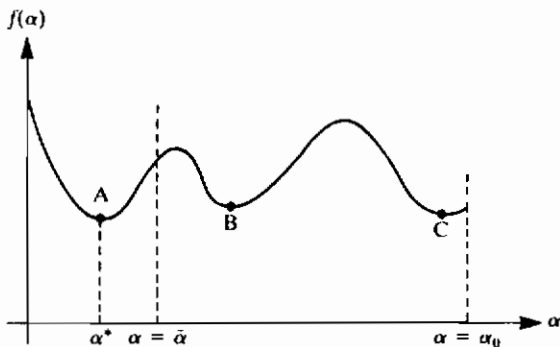
در نقطه طراحی قبلی چشمگیر است.

شکلی صریح برای تابع  $f(\alpha)$  ممکن بود. همچنین، شکل تابع  $(\alpha)f$  کاملاً ساده بود. استفاده از شرایط لازم و کافی برای یافتن مینیمم تابع  $(\alpha)f$  و محاسبه تحلیلی اندازه گام  $\alpha$  ممکن بود. برای خیلی از مسائل به دست آوردن عبارتی صریح برای  $(\alpha)f$  ممکن نیست. به علاوه، اگر شکل تابع  $(\alpha)f$  معلوم باشد، ممکن است آن قدر پیچیده باشد که حل تحلیلی آن ممکن نباشد. بنابراین، باید از یک روش عددی برای یافتن  $\alpha^*$  به منظور مینیمم کردن  $(\alpha)f$  در امتداد  $\alpha$  استفاده شود.

فرآیند جست و جوی خطی عددی خودش چرخه‌ای است و قبل از رسیدن به نقطه مینیمم به چند چرخه نیاز دارد. بیشتر روش‌های جست و جوی خطی براساس مقایسه مقادیر تابع در نقاط مختلف در امتداد جهت جست و جو قرار دارند. معمولاً، باید بعضی از فرضیات را روی شکل تابع جست و جوی خطی داشته باشیم تا با روش‌های عددی اندازه گام را محاسبه کنیم. برای مثال، باید فرض شود که یک مینیمم وجود دارد و در بازه مورد نظر بگانه است. تابعی با این خواص تابع تک حالتی نامیده می‌شود. شکل ۵.۴ ترسیمه چنین تابعی را که تا رسیدن به نقطه مینیمم کاهشی پیوسته دارد، نشان می‌دهد. با مقایسه شکل‌های ۵.۳ و ۵.۴ می‌بینیم که  $(\alpha)f$  در بعضی از بازه‌ها تابع تک حالتی است. بنابراین، یک مینیمم بگانه دارد.

بیشتر روش‌های جست و جوی یک بعدی فقط برای توابع تک حالتی کاربرد دارند. این محدودیت ممکن است جدی به حساب آید، اماً چنین نیست. برای توابعی که تک حالتی

شکل ۵.۴ تابع تک حالتی  $(\alpha)f$



شکل ۰.۵ تابع غیر تک حالتی  $f(\alpha)$  در بازه  $0 \leq \alpha \leq \bar{\alpha}$  (تک حالتی برای  $\bar{\alpha} \leq \alpha \leq 0$ ).

نیستند، مسامی توانیم فقط یک مینیمم محلی را که به نقطه شروع نزدیکترین است به دست آوریم. این مطلب در شکل ۰.۵ تشریح شده است که  $f(\alpha)$  در فاصله  $0 \leq \alpha \leq \alpha_0$  تک حالتی نیست. نقاط A، B و C جملگی مینیمم‌های محلی اند. اگر  $\alpha$  را محدود کنیم به شکلی که بین ۰ و  $\bar{\alpha}$  باشد، فقط یک مینیمم محلی A وجود دارد، زیرا  $f(\alpha)$  در فاصله  $0 \leq \alpha \leq \bar{\alpha}$  تک حالتی است. پس فرض تک حالتی بودن آن طور که به نظر می‌رسید یک محدودیت نیست.

پس مسئله جستجو عبارت است از یافتن  $\alpha$  در محدوده  $0 \leq \alpha \leq \bar{\alpha}$  که در آن تابع  $f(\alpha)$  مقدار مینیمم فراگیر داشته باشد. این نوع بیان مسئله باید بهبود یابد. چون ما با روشهای عددی سروکار داریم، امکان یافتن دقیق نقطه مینیمم  $\alpha^*$  ممکن نیست. در حقیقت، آنچه ما به دست می‌آوریم بازه‌ای است که مینیمم در آن قرار دارد، یعنی حدود پایین و بالای  $\alpha$  و  $\alpha^*$  تعیین می‌گردد. بازه  $(\alpha_l, \alpha_u)$  بازه عدم اطمینان نامیده می‌شود و با  $\alpha^* = \alpha_l + 0.5(\alpha_u - \alpha_l)$  نشان داده می‌شود. بیشتر روشهای عددی در یک فرآیند چرخه‌ای بازه عدم اطمینان را کاهش می‌دهند تا آن که از یک عدد مثبت کوچک مشخص  $\epsilon$  کوچکتر شود؛ یعنی  $\epsilon < 1$ . این دقت مطلوب برای تعیین مینیمم است. وقتی معیار توقف برآورده شد،  $\alpha^*$  را از رابطه  $0.5(\alpha_l + \alpha_u)$  به دست می‌آوریم. روشهایی که براساس این فلسفه بناسه شده‌اند گاهی روشهای کاهش بازه نامیده می‌شوند.

روشهای متعددی برای مینیمم‌سازی یک بعدی در دسترس است [کوپر و اشتبرگ<sup>۱</sup>]

۱۹۷۰]. ولی ما فقط سه روش مرتبه صفر را بحث خواهیم کرد. عبارت مرتبه صفر بر این نکته تأکید دارد که فقط مقادیر تابع برای یافتن مینیمم استفاده می‌شوند. مراحل اصلی این روشها به دو گام تقسیم می‌شوند: در گام اول، موقعیت نقطه مینیمم محصور می‌شود و بازه اولیه عدم اطمینان ایجاد می‌شود. در گام دوم، بازه عدم اطمینان با جدا کردن ناحیه‌ای که نمی‌تواند حاوی مینیمم باشد کوچکتر می‌شود. این کار با محاسبه و مقایسه مقادیر تابع در بازه عدم اطمینان انجام می‌شود. این دو گام را در زیر بخش‌های زیر باجزیات بیشتر تشریح خواهیم کرد.

### ۵.۳.۲ جست و جوی بازه پکسان

پندازه اصلی هر فنِ جست و جوی یک بعدی این است که پی در پی بازه عدم اطمینان را کاهش دهد تا به یک مقدار کوچک قابل قبول برسد. برای این که پندازه را به روشنی بحث کنیم، با یک روش بسیار ساده که جست و جوی بازه پکسان نامیده می‌شود شروع می‌کنیم. پندازه همان طور که در شکل ۵.۶ تشریح شده کاملاً ابتدائی است. در بازه  $\alpha \leq 0$ ، تابع  $f(\alpha)$  در نقاط متعددی با استفاده از یک شبکه یکنواخت محاسبه می‌شود. برای این کار، یک عدد کوچک  $\delta$  انتخاب می‌کنیم و تابع را با استفاده از نقاط  $5, 28, 38, \dots, 98$  و  $1 + q\delta, 1 + 2q\delta, \dots, 1 + 98q\delta$  و غیره محاسبه می‌کنیم. دو مقدار متوالی تابع مثلاً  $1 + q\delta$  و  $1 + (q+1)\delta$  را با هم مقایسه می‌کنیم. آن گاه اگر تابع در نقطه  $1 + q\delta$  از مقدار تابع در  $1 + (q+1)\delta$  بزرگتر است، یعنی

$$f(q\delta) > f((q+1)\delta)$$

هنوز از نقطه مینیمم رد نشده‌ایم. اما اگر تابع شروع به افزایش کرد، یعنی

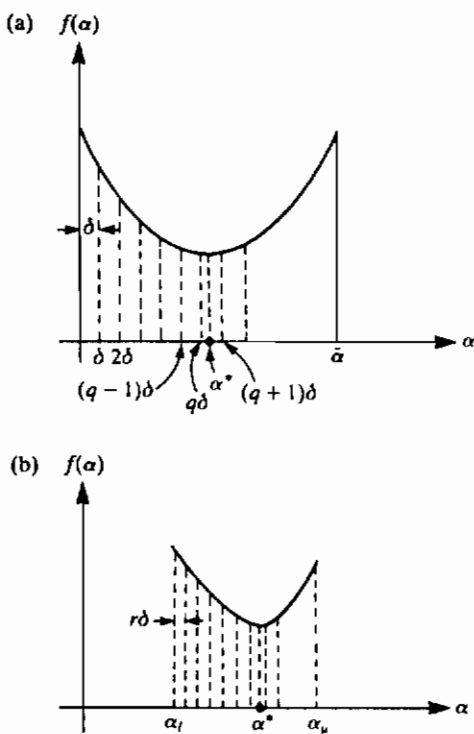
$$f(q\delta) < f((q+1)\delta) \quad (5.16)$$

آن گاه از نقطه مینیمم رد شده‌ایم.

دقّت کنید که تا شرایط معادله (۳.۱۶) برای دو نقطه  $1 + q\delta$  و  $1 + (q+1)\delta$  برآورده شود، مینیمم می‌تواند یا بین نقاط  $(1 - q)\delta$  و  $q\delta$  یا بین نقاط  $1 + q\delta$  و  $1 + (q+1)\delta$  باشد. برای این که هر دو احتمال را در نظر بگیریم، مینیمم را بین  $(1 - q)\delta$  و  $(1 + q)\delta$  در نظر می‌گیریم. پس حدود پایین و بالای بازه عدم اطمینان عبارتند از

$$\alpha_1 = (q - 1)\delta, \quad \alpha_2 = (q + 1)\delta \quad (5.17)$$

و بازه عدم اطمینان / عبارت است از  $\delta$ .



شکل ۵.۶ فرآیند بازه یکسان. (a) محصر کردن اولیه مینیمم؛ (b) کاهش بازه عدم اطمینان

به محض این که حدود بالا و پایین به دست آمدند، دوباره فرآیند جست و جو را از  $\alpha = \alpha_i$  با مقدار کاهشی برای نمود  $r\delta$  مثل  $r < 1$  است، شروع می‌کنیم. فرآیند گذشته تکرار می‌شود و مینیمم دوباره محصور می‌شود. بازه عدم اطمینان  $1/2r\delta$  کاهش پیدا می‌کند. این موضوع در شکل (b) ۵.۶ تشریح شده است. مقدار نمود بیشتر کاهش می‌یابد و فرآیند تکرار می‌شود تا بازه عدم اطمینان به مقداری به اندازه کافی کوچک  $\epsilon$  کاهش پیدا کند و شرایط دقیقت را برآورده کند. توجه کنید که این روش برای توابع تک حالتی همگراست و می‌توان برنامه رایانه‌ای آن را بسادگی نوشت. پیوست D شامل لیست یک برنامه رایانه‌ای برای جست و جو بازه یکسان است.

بازده روشی مانند جست و جوی بازه یکسان به تعداد ارزیابی مقدار تابع برای رسیدن به دقیقت مورد نظر بستگی دارد. واضح است که تعداد ارزیابی تابع به انتخاب اولیه مقدار

بستگی دارد. اگر  $\delta$  خیلی کوچک باشد، فرآیند ممکن است به چندبار ارزیابی تابع برای محصور کردن اولیه مینیمم نیاز داشته باشد. یک فایده  $\delta$  کوچکتر این است که بازه عدم اطمینان در پایان جست و جوی اولیه برای مینیمم، به اندازه مطلوب کوچک است. بهبود بخشیدن به درپیش بازه عدم اطمینان به تعداد ارزیابی تابع کمتری نیاز دارد. معمولاً شروع با یک مقدار بزرگتر  $\delta$  و محصور کردن سریع مینیمم بهتر است. بدین ترتیب فرآیند تاشرط دقت برآورده شود، ادامه پیدا می کند.

**مثال ۵.۲** جست و جوی بازه یکسان. برای تابع  $e^{\alpha} = 2 - 4\alpha + \alpha^2$ ، با استفاده از جست و جوی بازه یکسان و با دقت  $\epsilon = 0.001$  مینیمم را باید  $\delta = 0.5$  را استفاده کنید.

حل. با نوشتن شرایط لازم بهینگی داریم  $df/d\alpha = -4 + e^\alpha = 0$ . بنابراین،  $\alpha = 1.3863$  یک نامزد نقطه مینیمم است. این در حقیقت یک مینیمم محلی است، زیرا در آن  $d^2f/d\alpha^2 > 0$  است. ما این جواب را با استفاده از روش جست و جوی بازه یکسان تأیید می کنیم.

با استفاده از  $\delta = 0.5$ . تابع در اندازه گامهای آزمایشی مختلفی همچنان که در جدول ۱.۵ نشان داده شده محاسبه می شود. دیده می شود که تابع بعد از اندازه گام آزمایشی ۱.۵ شروع به افزایش می کند. بنابراین، حد پایینی اندازه گام ۱.۰ و حد بالایی ۰.۲ است. بازه عدم اطمینان عبارت است از  $1.0 = (2.0 - 1.0)$ ، (یعنی  $2\delta$ ).

برای کوچکتر کردن بازه عدم اطمینان،  $\delta = 0.05$  انتخاب می کنیم. چرخه های ۶ تا ۱۴ در جدول ۱.۵ با این مقدار به دست آمده اند. بازه عدم اطمینان به ۰.۱ (یعنی  $2\delta$ ) کاهش پیدا می کند. فرآیند کاهش بازه عدم اطمینان با دقت  $\epsilon = 0.005$  و سپس با  $\delta = 0.0005$  ادامه می پابد.

در پیوست D جزئیات یک برنامه رایانه ای برای مینیمم کردن تابع یک متغیره با استفاده از جست و جوی بازه یکسان آمده است. برنامه، چند داده برای الگوریتم تعریف کرده و برنامه فرعی اکوال<sup>۱</sup> را برای جست و جوی خطی بازه یکسان فرا می خواند. بعد از آن که مینیمم پیدا شد، نتایج را چاپ می کند. برنامه فرعی اکوال، الگوریتم جست و جوی بازه یکسان را اجرا می کند. برنامه فرعی اکوال برنامه فرعی فانکت<sup>۲</sup>

جدول ۰.۱ جستجوی بازه یکسان برای  $f(\alpha) = 2 - 4\alpha + e^{\alpha}$ 

	تعداد گامهای آزمایش	مقدار تابع	
1	0.000 000	3.000 000	$\delta = 0.5$
2	0.500 000	1.648 721	
3	$\alpha_l \rightarrow 1.000 000$	0.718 282	
4	1.500 000	0.481 689	
5	$\alpha_u \rightarrow 2.000 000$	1.389 056	
6	1.050 000	0.657 651	شروع از $\alpha_l = 1.0$
7	1.100 000	0.604 166	$\delta = 0.05$ با
8	1.150 000	0.558 193	
9	1.200 000	0.520 117	
10	1.250 000	0.490 343	
11	1.300 000	0.469 297	
12	$\alpha_l \rightarrow 1.350 000$	0.457 426	
13	1.400 000	0.455 200	
14	$\alpha_u \rightarrow 1.450 000$	0.463 115	
15	1.355 000	0.456 761	شروع از $\alpha_l = 1.35$
16	1.360 000	0.456 193	$\delta = 0.005$ با
17	1.365 000	0.455 723	
18	1.370 000	0.455 351	
19	1.375 000	0.455 077	
20	$\alpha_l \rightarrow 1.380 000$	0.454 902	
21	1.385 000	0.454 826	
22	$\alpha_u \rightarrow 1.390 000$	0.454 850	
23	1.380 500	0.454 890	شروع از $\alpha_l = 1.380$
24	1.381 000	0.454 879	$\delta = 0.0005$ با
25	1.381 500	0.454 868	
26	1.382 000	0.454 859	
27	1.382 500	0.454 851	
28	1.383 000	0.454 844	
29	1.383 500	0.454 838	
30	1.384 000	0.454 833	
31	1.384 500	0.454 829	
32	1.385 000	0.454 826	
33	1.385 500	0.454 824	
34	$\alpha_l \rightarrow 1.386 000$	0.454 823	
35	1.386 500	0.454 823	
36	$\alpha_u \rightarrow 1.387 000$	0.454 824	
37	1.386 500	0.454 823	

را برای ارزیابی مقدار تابع برای هر  $\alpha$  داده شده فرامی خواند. تابعی که مینیمم آن مورد نظر است می‌تواند در این زیربرنامه معرفی شود. با  $\delta = 0.5$  و  $\epsilon = 0.001$  ، مینیمم تابع  $f(\alpha) = 2 - 4\alpha + e^\alpha$  عبارت است از  $\alpha^* = 1.3865$  با  $f(\alpha^*) = 0.454823$  یا  $37$  بار ارزیابی تابع.

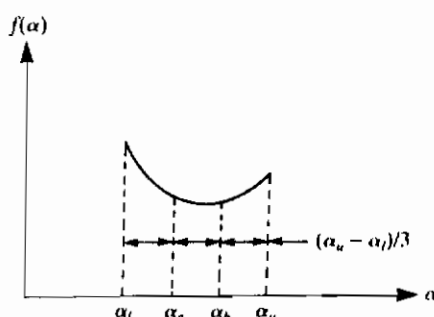
**۵.۳.۲.۱** جایگزین جست و جوی بازه پکسان. یک روش محاسباتی کمی متفاوت می‌تواند برای کاهش بازه عدم اطمینان دنبال شود تا مینیمم محصور شود. این روش بدین صورت است که تابع در دو نقطه مثل  $\alpha_a$  و  $\alpha_b$  در بازه عدم اطمینان ارزیابی می‌شود. نقاط  $\alpha_a$  و  $\alpha_b$  در فواصل  $1/3$  و  $2/3$  (در حالی که  $\alpha_a - \alpha_b = 1$ ) از حد پایینی  $\alpha$  قرار دارند؛ یعنی

$$\alpha_a = \alpha_l + \frac{1}{3}(\alpha_u - \alpha_l) = \frac{1}{3}(\alpha_u + 2\alpha_l) \quad (5.18)$$

$$\alpha_b = \alpha_l + \frac{2}{3}(\alpha_u - \alpha_l) = \frac{1}{3}(2\alpha_u + \alpha_l) \quad (5.19)$$

این موضوع در شکل ۵.۷ نشان داده شده است. آن گاه تابع در نقاط  $\alpha_a$  و  $\alpha_b$  ارزیابی می‌شوند. اکنون دو شرط زیر باید مورد توجه قرار گیرد:

۱. اگر تابع در  $\alpha_a$  از مقدار آن در  $\alpha_l$  کوچکتر است، یعنی  $f(\alpha_a) < f(\alpha_l)$  ، آن گاه مینیمم بین  $\alpha_l$  و  $\alpha_a$  قرار دارد. بازه  $\frac{1}{3}$  طرف راست بین  $\alpha_a$  و  $\alpha_u$  کنار گذاشته می‌شود. حدود جدید بازه عدم اطمینان عبارت است از  $\alpha'_l = \alpha_l$  و  $\alpha'_u = \alpha_a$  (علامت پرایم  $\alpha$  برای نشان دادن تجدیدنظر در حدود بازه عدم اطمینان است). بنابراین،  $\alpha'_l - \alpha'_u = \alpha_a - \alpha_l$ . روش با حدود جدید تکرار می‌شود.



شکل ۵.۷ فرآیند یک جایگزین برای جست و جوی بازه پکسان

۲. اگر تابع در  $\alpha_i$  از مقدار آن در  $\alpha_b$  بزرگتر است؛ یعنی  $f(\alpha_b) > f(\alpha_i)$ ، آن گاه مینیمم بین  $\alpha_i$  و  $\alpha_b$  قرار دارد. بازه بین  $\alpha_i$  و  $\alpha_b$  کنار گذاشته می‌شود. روش با  $\alpha'_i = \alpha_i$  و  $\alpha'_{ii} = \alpha_i - \alpha'_i$  تکرار می‌شود.

با محاسبات قبلی بازه عدم اطمینان بعد از هر دوبار ارزیابی تابع به  $1/13 = 0.0769$  کاهش می‌یابد. تمام مراحل فرآیند تا این کمربازه عدم اطمینان به مقداری قابل قبول کاسته شود، ادامه می‌یابد.

### ۵.۳.۳ جست و جوی بخش طلایی

**۵.۳.۳.۱** محصور کردن اولیه مینیمم در روش قبلی، نموده انتخاب شده اولیه برای محصور کردن مینیمم ثابت نگه داشته می‌شد. در صورتی که ۵ عددی کوچکی باشد این روش فرآیندی ناکارا است. یک روش جایگزین این است که در هر گام نمورا تغییر دهیم؛ یعنی آن را با عدد ثابت ۲ بزرگتر از ۱ ضرب کنیم. با این روش محصور شدن اولیه مینیمم سرعت یافته، اما طول بازه عدم اطمینان اولیه افزایش می‌یابد. روش بخش طلایی یکی از این روش‌های جست و جوی با بازه متغیر است. در این روش مقدار ۰ اختیاری گزینش نمی‌شود. مقدار ۰ را مساوی نسبت طلایی که از دنباله فیبوناچی<sup>۱</sup> به دست می‌آید، یعنی ۱.618 می‌گیرند. بعدها مقدار نسبت طلایی را به دست خواهیم آورد.

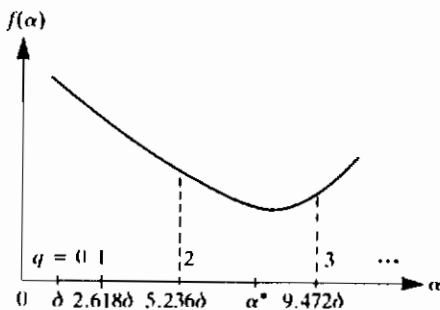
دنباله فیبوناچی به شکل زیر تعریف می‌شود

$$F_0 = 1; \quad F_1 = 1; \quad F_n = F_{n-1} + F_{n-2}, \quad n = 2, 3, \dots \quad (5.20)$$

هر عدد از دنباله فیبوناچی با جمع دو عدد قبلی به دست می‌آید، پس دنباله عبارت است از  $1, 1, 2, 3, 5, 8, 13, 21, 34, 55, 89, \dots$

با استفاده از این دنباله، روشی که جست و جوی فیبوناچی نامیده می‌شود می‌تواند تدوین شود [کوپر و اشتاینبرگ<sup>۲</sup>، ۱۹۷۰]. در اینجا از بحث این روش خودداری می‌کنیم. دنباله فیبوناچی ویژگی زیر را دارد

$$\frac{F_n}{F_{n-1}} \rightarrow 1.618 \text{ (or, } \frac{F_{n-1}}{F_n} \rightarrow 0.618\text{)}$$



شکل ۰.۸ محصور کردن ابتدایی نقطه مینیمم در روش بخش طلایی

بعنی، وقتی  $\delta$  بزرگ می‌شود، نسبت بین دو عدد متولی  $F_1$  و  $F_2$  در دنباله فیبوناچی به یک عدد ثابت  $1.618$  یا  $2 / (\sqrt{5} + 1)$  می‌رسد. این نسبت طلایی خواص جالب دیگری دارد که در روش جست و جوی یک بعدی به کار خواهد آمد.

شکل ۰.۹ فرآیند گذشته محصور کردن اولیه مینیمم را تشریح می‌کند. با شروع در  $\alpha = 0$ ، تابع  $f(\alpha)$  را در  $\delta > 0$  در حالی که  $0 < \delta$  یک عدد کوچک است ارزیابی می‌کنیم. مقدار  $(\delta)^q$  را با  $(0)^q$  مقایسه می‌کنیم. اگر کوچکتر است، آن گاه مقدار نمو در اندازه گام را برابر  $1.618\delta$  (یعنی نمو عبارت از  $1.618$  ضرب در نمو قبلی) می‌گیریم. بدین ترتیب ما مقادیر تابع را در نقاط زیر ارزیابی و آنها را مقایسه می‌کنیم:

$$q = 0; \quad \alpha_0 = \delta$$

$$q = 1; \quad \alpha_1 = \delta + 1.618\delta = 2.618\delta = \sum_{j=0}^1 \delta(1.618)^j$$

$$q = 2; \quad \alpha_2 = 2.618\delta + 1.618(1.618\delta) = 5.236\delta = \sum_{j=0}^2 \delta(1.618)^j$$

$$q = 3; \quad \alpha_3 = 5.236\delta + 1.618^3\delta = 9.472\delta = \sum_{j=0}^3 \delta(1.618)^j$$

 $\vdots$ 

به طور کلی، ارزیابی تابع را در نقاط زیر ادامه می‌دهیم

$$\alpha_q = \sum_{j=0}^q \delta(1.618)^j; \quad q = 0, 1, 2, \dots \quad (5.21)$$

باید فرض کنیم تابع در  $\alpha_q$  از مقدار آن در  $\alpha_{q-1}$  و  $\alpha_{q+1}$  کمتر است، یعنی

$$f(\alpha_{q-1}) < f(\alpha_{q-2}), \quad \text{و} \quad f(\alpha_{q-1}) < f(\alpha_q) \quad (5.22)$$

بنابراین، نقطه مینیمم رد شده است. در حقیقت نقطه مینیمم بین دو بازه قبلی یعنی بین  $\alpha_{q-2}$  و  $\alpha_{q-1}$  قرار دارد. بنابراین، حدود بالا و پایین بازه عدم اطمینان عبارتند از

$$\alpha_u = \alpha_q = \sum_{j=0}^q \delta(1.618)^j \quad (5.23)$$

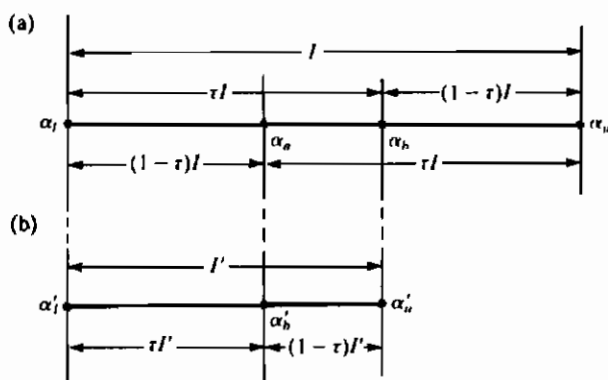
$$\alpha_l = \alpha_{q-2} = \sum_{j=0}^{q-2} \delta(1.618)^j \quad (5.24)$$

و بازه عدم اطمینان اوّلیه عبارت است از

$$\begin{aligned} I &= \alpha_u - \alpha_l \\ &= \sum_{j=0}^q \delta(1.618)^j - \sum_{j=0}^{q-2} \delta(1.618)^j \\ &= \delta(1.618)^{q-1} + \delta(1.618)^q \\ &= \delta(1.618)^{q-1}(1 + 1.618) \\ &= 2.618(1.618)^{q-1}\delta \end{aligned} \quad (5.25)$$

**۵.۳.۳.۲ کاهشی بازه عدم اطمینان.** کار بعدی این است که با استفاده از مقدار تابع که در چند نقطه در / محاسبه می شود و مقایسه آنها، شروع به کاهش بازه عدم اطمینان کنیم. این روش، مانند جست و جوی بازه یکسان جایگزین شکل ۵.۷، در بازه / دو مقدار تابع را استفاده می کند. تفاوت در این است که  $\alpha_u$  و  $\alpha_l$  در فاصله  $1/3$  از دو انتهای بازه عدم اطمینان قرار ندارند. در عوض، آنها به فاصله  $0.382$  (یا  $0.618$ ) از دو انتهای قرار گرفته اند. ضریب  $0.382$  به نسبت طلایی مربوط می شود که در زیر خواهیم دید.

برای این که بینیم ضریب  $0.618$  چگونه به دست می آید، دو نقطه که به طور قرینه از دو انتها قرار گرفته اند مانند آنچه در شکل (a) ۵.۹ نشان داده شده در نظر بگیرید - نقاط  $\alpha_u$  و  $\alpha_l$  به فاصله  $\tau$  از دو انتهای بازه قرار گرفته اند، با مقایسه مقادیر تابع در  $\alpha_u$  و  $\alpha_l$ ، طرف چپ ( $\alpha_r$   $\alpha_u$ ) یا طرف راست ( $\alpha_u$   $\alpha_l$ ) بازه باید کنار گذاشته شوند. بگذارید فرض کنیم طرف راست کنار گذاشته می شود مانند شکل (b) ۵.۹، پس  $\alpha_u$  و  $\alpha_l$  محدوده های پایین و بالای مینیمم هستند. بازه جدید عدم اطمینان عبارت است از  $I' = \tau$ . در بازه جدید فقط یک نقطه است که در آن مقدار تابع معلوم است. لازم است که این نقطه در فاصله  $\tau$  طرف چپ قرار بگیرید؛ بنابراین



شکل ۵.۹ جداسازی بازه در روش بخش طلایبی

$$\tau I' = (1 - \tau)I \quad (5.26)$$

چون  $\tau^2 = 1 - \tau$  ، معادله زیر به دست می‌آید

$$\tau^2 + \tau - 1 = 0 \quad (5.27)$$

ریشه مثبت این معادله عبارت است از

$$\tau = (-1 + \sqrt{5})/2 = 0.618 \quad (5.28)$$

پس دو نقطه در فواصل ۰.۶۱۸ و ۰.۳۸۲ از دو انتهای بازه قرار دارند.

وقتی اوّلین بازه عدم اطمینان مشخص شد، جست و جوی بخش طلایبی می‌تواند شروع شود. اگر محصور کردن اوّلیه با استفاده از نمو گام متغیر (با ضریب ۱.۶۱۸ که عبارت است از  $1/0.618$ ) انجام شود، آن گاه مقدار تابع در یکی از نقاط  $\alpha_{q-1}$  از قبل معلوم است. مشخص است که  $\alpha_q$  به طور خودکار نقطه  $\alpha_q$  است. این مطلب را با ضرب بازه اوّلیه / معادله (۵.۲۵) در ۰.۳۸۲ می‌توان دید. اگر روش قبلی برای محصور کردن اوّلیه مینیم استفاده شود، آن گاه نقاط  $\alpha_q$  و  $\alpha_{q+1}$  باید با روش بخش طلایبی محاسبه شوند.

### ۵.۳.۴.۳ الگوریتم جست و جوی یک بعدی با روش بخش طلایبی

گام ۱ . برای یک اندازه گام کوچک  $\delta$  انتخاب شده در  $\alpha$  ، فرض کنید  $\alpha$  کوچکترین عدد صحیحی باشد که در معادله (۵.۲۲) صدق می‌کند، در حالی که  $\alpha_{q-1} < \alpha_q < \alpha_{q+1}$  از

معادله ۲۱.  $\alpha = f(\alpha)$  محسوبه می‌شوند. حدود بالا و پایین  $\alpha^*$  (مقدار بهین اندازه گام) از معادله‌های ۲۲.  $\alpha = f(\alpha)$  و ۲۴.  $\alpha = f(\alpha)$  بدست می‌آیند.

گام ۲.  $f(\alpha)$  را محسوبه کنید، در حالی که  $\alpha = \alpha_i + 0.382I$  و  $I = \alpha_u - \alpha_l$  بازه عدم اطمینان. دقت کنید که در اولین چرخه،  $\alpha_u = \alpha_l + 0.618I$  پس  $f(\alpha)$  لازم نیست محاسبه شود.

گام ۳.  $f(\alpha)$  را مقایسه کرده، به گامهای ۴، ۵ یا ۶ بروید.

گام ۴. اگر  $f(\alpha) < f(\alpha^*)$ ، آن گاه نقطه بهین  $\alpha^*$  بین  $\alpha_l$  و  $\alpha_u$  قرار دارد یعنی  $\alpha^* \leq \alpha_l \leq \alpha^*$ . محدوده جدید برای بازه عدم اطمینان کاهش یافته عبارت است از  $\alpha_l = \alpha'_l$  و  $\alpha_u = \alpha'_u$ . همچنان،  $f(\alpha'_u) < f(\alpha'_l)$  را که در آن  $\alpha'_u = \alpha'_l + 0.382(\alpha'_u - \alpha'_l)$  محسوبه کرده و به گام ۷ بروید.

گام ۵. اگر  $f(\alpha) > f(\alpha^*)$ ، آن گاه نقطه بهین  $\alpha^*$  بین  $\alpha_l$  و  $\alpha_u$  قرار دارد یعنی  $\alpha^* \leq \alpha_u \leq \alpha^*$ . مشابه گام ۴، فرض کنید  $\alpha_l = \alpha'_l$  و  $\alpha_u = \alpha'_u$ ، پس  $f(\alpha'_u) < f(\alpha'_l)$  را محسوبه کنید که  $(\alpha'_u - \alpha'_l) = \alpha'_l + 0.618(\alpha'_u - \alpha'_l)$  و به گام ۷ بروید.

گام ۶. اگر  $f(\alpha) = f(\alpha^*)$ ، فرض کنید  $\alpha_l = \alpha_u = \alpha^*$  و به گام ۲ بروید.

گام ۷. اگر بازه جدید عدم اطمینان  $\alpha_l - \alpha_u = I'$  به اندازه کافی کوچک است و معیار همگرایی را براورد می‌کند (یعنی  $E < I'$ )، فرض کنید  $I' = \alpha^* - \alpha''^*$  و  $\alpha''^* = f(\alpha''^*)$  و محاسبات را متوقف کنید. در غیر این صورت، پرایم را از روی  $\alpha_l$ ،  $\alpha_u$  و  $\alpha''^*$  برداشته و به گام ۳ بروید.

**مثال ۵.۵** مینیمم‌سازی یکتابع با جست و جوی بعض طلایبی. مانند مثال ۴.۵ تابع  $y = 2 - 4x + e^{-x}$  را در نظر بگیرید، و برای یافتن مینیمم از روش جست و جوی بعض طلایبی با دقت ۰.۰۰۱ استفاده کنید.  $\delta = 0.5$  بگیرید. بازده روش جست و جوی نسبت طلایبی و جست و جوی بازه یکسان را با هم مقایسه نمایید.

حل. مقدار دقیق بهین  $x^*$  عبارت است از ۱.۳۸۶۳. در جست و جوی بعض طلایبی، ما ابتدا نیاز به محصور کردن نقطه مینیمم داریم، سپس کاهش متوالی بازه‌ای که مینیمم در آن قرار دارد تا این که آن را دقیقاً بیابیم. جدول ۵.۲ چرخه‌های مختلف روش را نشان می‌دهد. نقطه مینیمم در فقط چهار چرخه محصور شده همچنان که در قسمت اول جدول نشان داده شده است. بازه اولیه عدم اطمینان

عبارت است از  $2.118034 - 0.5 = 2.618034 - \alpha'' = 2.618034 / \alpha''$  زیرا در جدول ۲.۵،  $f(1.309017) > f(2.618034)$  است. دقت کنید که این بازه در مقایسه با بازه جست و جوی بازه یکسان به اندازه قابل توجهی بزرگتر است.

اکنون برای کاهش بازه عدم اطمینان، ابتدا  $\alpha''$  را محاسبه می کنیم که عبارت است از  $\alpha'' + 0.618 / f(\alpha'')$ ؛ همچنین،  $\alpha'' = \alpha'_i - 0.382 / f(\alpha'_i)$  (محاسبات در قسمت دوم جدول ۲.۵ نشان داده شده است). دقت کنید که  $\alpha''$  و  $\alpha'_i$  از قبل معلومند و لازم نیست دوباره محاسبه شوند. این اصلی ترین مزیت جست و جوی بخش طلایی است که وقتی بازه عدم اطمینان معلوم شد، تنها به یک بار ارزیابی تابع نیاز دارد. ما  $f(\alpha'_i) < f(\alpha'')$  و  $\alpha'' = 1.809017$  را محاسبه می کنیم. چون  $f(\alpha'_i) = 0.868376$  و  $\alpha'_i = 1.809017$  محدوده جدید بازه عدم اطمینان عبارت است از  $0.5 < \alpha'_i < \alpha'' = 1.809017$ . همچنین،  $\alpha'' = 1.309017$  که در آن مقدار تابع قبل معلوم بوده است. ما به محاسبه  $f(\alpha'')$  نیاز داریم که  $1.000 = f(\alpha'_i) - 0.382 / (\alpha'' - \alpha'_i)$ .

کوچکتر کردن بازه عدم اطمینان فرآیند تکراری است و می تواند با یک برنامه رایانه ای انجام شود.

برنامه فرعی گلد (GOLD) که روش جست و جوی بخش طلایی را اجرا می کند در پیوست D آمده است. مینیمم تابع  $f$  در  $1.386511 = \alpha^*$  و با  $0.454823 = \alpha^{\circ}$  به دست می آید که حاصل ۲۲ بار ارزیابی تابع است، چنان که در جدول ۲.۵ نشان داده شده است. تعداد دفعاتی که یک تابع ارزیابی می شود معیاری از بازده یک الگوریتم بهینه سازی است. دقت کنید که تعداد ارزیابی تابع در جست و جوی بخش طلایی از جست و جوی بازه یکسان کمتر است. این تأییدی است بر ادعای قبلی ما مبنی بر این که جست و جوی بخش طلایی برای یک دقت مشخص و طول گام اولیه معین کارترین روش است.

ممکن است به نظر رسد که اگر طول گام اولیه  $\delta$  در روشهای بازه یکسان یا بخش طلایی خیلی بزرگ باشد، جست و جوی خطی موفقیت آمیز نیست، یعنی  $(0, f(\delta))$  است. در واقع این نقص نشان می دهد که اولیه مناسب نیست و باید آن قدر آن را کاهش داد تا  $(0, f(\delta))$  شود. با این کار، همگرایی روشهای مرتبه صفر می تواند از نظر عددی تقویت شود. روشهای عددی در برنامه های فرعی اکوال و گلد که در پیوست D آمده است، گنجانده شده اند.

جدول ۰.۲ جست و جوی بخش طلایی برای تابع  $f(\alpha) = 2 - 4\alpha + e^{\alpha}$  مثال ۰.۵

محصور کردن اولیه میهم		مقدار تابع		
شماره	گام آزمون			
1	0.000 000	3.000 000		
2	$\alpha_1 \rightarrow 0.500 000$	1.648 721		
3	$\alpha_a \rightarrow 1.309 017$	0.466 464		
4	$\alpha_u \rightarrow 2.618 034$	5.236 610		

کاهش بازه عدم اطمینان					
شماره	$a_i; [f(a_i)]$	$a_a; [f(a_a)]$	$a_b; [f(a_b)]$	$a_u; [f(a_u)]$	$I$
1	0.500 000 [1.648 721]	1.309 017 [0.466 464]	1.809 017 [0.868 376]	2.618 034 [5.236 610]	2.118 034
2	0.500 000 [1.648 721]	1.000 000 [0.718 282]	1.309 017 [0.466 464]	1.809 017 [0.868 376]	1.309 017
3	1.000 000 [0.718 282]	1.309 017 [0.466 464]	1.500 000 [0.481 689]	1.809 017 [0.868 376]	0.809 017
4	1.000 000 [0.718 282]	1.190 983 [0.526 382]	1.309 017 [0.466 464]	1.500 000 [0.481 689]	0.500 000
5	1.190 983 [0.526 382]	1.309 017 [0.466 464]	1.381 966 [0.454 860]	1.500 000 [0.481 689]	0.309 017
6	1.309 017 [0.466 464]	1.381 966 [0.454 860]	1.427 051 [0.458 190]	1.500 000 [0.481 689]	0.190 983
7	1.309 017 [0.466 464]	1.354 102 [0.456 873]	1.381 966 [0.454 860]	1.427 051 [0.458 190]	0.118 034
8	1.354 102 [0.456 873]	1.381 966 [0.454 860]	1.399 187 [0.455 156]	1.427 051 [0.458 190]	0.072 949
9	1.354 102 [0.456 873]	1.371 323 [0.456 873]	1.381 966 [0.454 860]	1.399 187 [0.455 156]	0.045 085
10	1.371 323 [0.455 269]	1.381 966 [0.454 860]	1.388 544 [0.454 833]	1.399 187 [0.455 156]	0.027 864
11	1.381 966 [0.454 860]	1.388 544 [0.454 833]	1.392 609 [0.454 902]	1.399 187 [0.455 156]	0.017 221
12	1.381 966 [0.454 860]	1.386 031 [0.454 823]	1.388 544 [0.454 833]	1.392 609 [0.454 902]	0.010 643
13	1.381 966 [0.454 860]	1.384 479 [0.454 829]	1.386 031 [0.454 823]	1.388 544 [0.454 833]	0.006 57
14	1.384 479 [0.454 829]	1.386 031 [0.454 823]	1.386 991 [0.454 824]	1.388 544 [0.454 833]	0.004 065
15	1.384 479 [0.454 829]	1.385 438 [0.454 824]	1.386 031 [0.454 823]	1.386 991 [0.454 824]	0.002 512
16	1.385 438 [0.454 824]	1.386 031 [0.454 823]	1.386 398 [0.454 823]	1.386 991 [0.454 824]	0.001 553
17	1.386 031 [0.454 823]	1.386 398 [0.454 823]	1.386 624 [0.454 823]	1.386 991 [0.454 823]	0.000 960

$$\alpha^* = 0.5(1.386 398 + 1.386 624) = 1.386 511; f(\alpha^*) = 0.454 823.$$

## ۵.۳.۴۰ درون یابی چندجمله‌ای

روشهای مرتبه صفر که قبلاً تشریح شد ممکن است در خلال جست و جوی خطی برای یافتن یک اندازه گام مناسب به تعداد بسیار زیادی ارزیابی تابع نیاز داشته باشد. در مسائل طراحی مهندسی واقعی، ارزیابی تابع کار را بانه‌ای قابل توجهی را می‌طلبند. بنابراین، روش‌های مرتبه صفر مانند جست و جوی بازه یکسان برای بسیاری از کاربردهای عملی بازده خوبی ندارند. به جای ارزیابی مقدار تابع در گامهای آزمایشی متعدد، می‌توانیم یک منحنی از تعداد محدودی نقطه بگذرانیم. هر تابع پیوسته‌ای در یک بازه می‌تواند با برآورد ندن یک چندجمله‌ای با درجه به اندازه کافی بالا تقریب دلخواه را به دست دهد و مینیمم آن می‌تواند به طور دقیق به دست آید. نقطه مینیمم چندجمله‌ای تقریبی اغلب تخمین خوبی از مینیمم دقیق تابع جست و جوی خط ( $\alpha$ ) f است. پس، درون یابی چندجمله‌ای می‌تواند یک روش کارا برای جست و جوی یک بعدی باشد.

۵.۳.۴.۱ بوازندن معنی درجه دوم، بیشتر موقع تقریب تابع ( $\alpha$ ) f در بازه عدم اطمینان با یک منحنی درجه دو (یا، چندجمله‌ای درجه دو) رضایت‌بخش است. اگرچه برای دقت بیشتر ممکن است چندجمله‌ای از درجات بالاتر ساخت، در این جا خود را به ساده‌ترین حالت یعنی یک چندجمله‌ای درجه دو محدود خواهیم کرد. برای درون یابی یک تابع با منحنی درجه دو، نیاز به مقدار تابع در سه نقطه متفاوت داریم تا سه ضریب چندجمله‌ای درجه دو را به دست آوریم. باید همچنین فرض شود که تابع ( $\alpha$ ) f به اندازه کافی هموار و تک حالتی، و بازه اولیه عدم اطمینان ( $\alpha_0, \alpha_1$ ) معلوم است.

فرض کنید  $\alpha$  یک نقطه میانی در بازه  $(\alpha_0, \alpha_1)$  ، و  $f(\alpha) = q$  آن را در بازه  $(\alpha_0, \alpha_1)$  f مقادیر تابع در آن نقاط باشد. شکل ۱۰.۵ تابع ( $\alpha$ ) f و تقریب درجه دو ( $\alpha$ ) q آن را در بازه  $(\alpha_0, \alpha_1)$  نشان می‌دهد.  $\bar{\alpha}$  نقطه مینیمم تابع ( $\alpha$ ) q است، در حالی که  $\alpha^*$  نقطه مینیمم دقیق است. یک فرآیند چرخه‌ای می‌تواند برای بهبود دادن  $\bar{\alpha}$  به سوی  $\alpha^*$  مورد استفاده قرار گیرد.

هر تابع درجه دو ( $\alpha$ ) q را می‌تواند به شکل عمومی زیر بیان کرد

$$q(\alpha) = a_0 + a_1\alpha + a_2\alpha^2 \quad (5.29)$$

در حالی که  $a_0, a_1$  و  $a_2$  ضرایب مجهولند. چون مقدار تابع ( $\alpha$ ) q در نقاط  $\alpha_0, \alpha_1$  و  $\alpha_1, \alpha_2$  باید با مقدار تابع ( $\alpha$ ) f در آن نقاط مساوی باشد، ما سه معادله و سه مجهول  $a_0, a_1$  و  $a_2$  را به شکل

زیر داریم :

$$a_0 + a_1 \alpha_i + a_2 \alpha_i^2 = f(\alpha_i)$$

$$a_0 + a_1 \alpha_i + a_2 \alpha_i^2 = f(\alpha_i)$$

$$a_0 + a_1 \alpha_u + a_2 \alpha_u^2 = f(\alpha_u)$$

با حل دستگاه معادلات همزمان خطی برای به دست آوردن  $a_1$  و  $a_2$  داریم

$$\begin{aligned} a_2 &= \frac{1}{(\alpha_u - \alpha_i)} \left[ \frac{f(\alpha_u) - f(\alpha_i)}{(\alpha_u - \alpha_i)} - \frac{f(\alpha_i) - f(\alpha_l)}{(\alpha_i - \alpha_l)} \right] \\ a_1 &= \frac{f(\alpha_i) - f(\alpha_l)}{(\alpha_i - \alpha_l)} - a_2(\alpha_i + \alpha_l) \\ a_0 &= f(\alpha_l) - a_1 \alpha_l - a_2 \alpha_l^2 \end{aligned} \quad (5.30)$$

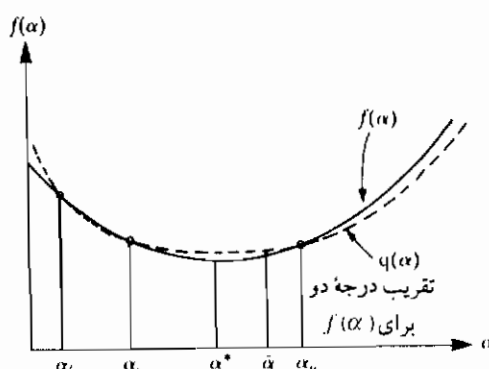
نقطه مینیمم  $\bar{\alpha}$  منحنی درجه دو  $q(\alpha)$  در معادله (5.29) با حل شرط لازم و بررسی شرط کافی  $d^2 q(\bar{\alpha}) / d\alpha^2 > 0$  محاسبه می شود. پس داریم،

$$\bar{\alpha} = -\frac{1}{2a_2} a_1; \quad \text{if } \frac{d^2 q}{d\alpha^2} = 2a_2 > 0 \quad (5.31)$$

یک فرآیند چرخه ای می تواند برای کوچک کردن بازه عدم اطمینان استفاده شود.

روش برازandن منحنی درجه دو اکنون می تواند به شکل یک الگوریتم محاسباتی

ارائه شود:



شکل ۵.۱۰ تقریب درجه دو برای تابع  $f(\alpha)$

**گام ۱.** محل بازه عدم اطمینان ( $\alpha_i, \alpha_{ii}$ ) را با انتخاب یک عدد کوچک  $\delta$  مشخص کنید.  
هر روش مرتبه صفری که قبلاً بحث شد می‌تواند به کار رود.

**گام ۲.** فرض کنید  $\alpha$  یک نقطه میانی در بازه  $(\alpha_i, \alpha_{ii})$  بوده و  $f(\alpha)$  مقدار تابع  $f(\alpha)$  در نقطه  $\alpha$  باشد.

**گام ۳.** ضرایب  $a_1, a_2$  را از معادله (۵.۳۰)،  $\bar{\alpha}$  را از معادله (۵.۳۱) و  $f(\bar{\alpha})$  را محاسبه کنید.

**گام ۴.** را با  $\bar{\alpha}$  مقایسه کنید. اگر  $\bar{\alpha} < \alpha$  است به گام ۵a یا ۵b بروید.  
در غیر این صورت به گام ۶a یا ۶b بروید.

**گام ۵a.** اگر  $f(\bar{\alpha}) < f(\alpha)$  است، آن گاه  $\bar{\alpha} \leq \alpha^* \leq \alpha_i$ . محدوده جدید بازه عدم اطمینان کاهش یافته عبارت است از  $\alpha_i = \bar{\alpha}, \alpha'_{ii} = \alpha$  و  $\alpha'_{ii} = \alpha$  و به گام ۷ بروید.

**گام ۵b.** اگر  $f(\bar{\alpha}) > f(\alpha)$  است، آن گاه  $\alpha_{ii} \leq \alpha^* \leq \alpha$ . محدوده جدید بازه عدم اطمینان کاهش یافته عبارت است از  $\alpha_{ii} = \bar{\alpha}, \alpha'_{ii} = \alpha$  و  $\alpha'_{ii} = \bar{\alpha}$  و به گام ۷ بروید.

**گام ۶a.** اگر  $f(\bar{\alpha}) < f(\alpha)$  است، آن گاه  $\bar{\alpha} \leq \alpha^* \leq \alpha_{ii}$ . محدوده جدید بازه عدم اطمینان کاهش یافته عبارت است از  $\bar{\alpha} = \alpha_i, \alpha'_{ii} = \alpha$  و  $\alpha'_{ii} = \alpha$  و به گام ۷ بروید.

**گام ۶b.** اگر  $f(\bar{\alpha}) > f(\alpha)$  است، آن گاه،  $\alpha_i \leq \alpha^* \leq \alpha_{ii}$ . محدوده جدید بازه عدم اطمینان کاهش یافته عبارت است از  $\alpha_i = \bar{\alpha}, \alpha'_{ii} = \alpha$  و  $\alpha'_{ii} = \bar{\alpha}$  و به گام ۷ بروید.

**گام ۷.** اگر دو تخمین متولی نقطه مینیمم  $f(\alpha)$  به اندازه کافی به هم نزدیکند عملیات را متوقف کنید، در غیر این صورت علامت پرایم را از روی  $\alpha'_i, \alpha'_{ii}$  و  $\alpha'_{ii}$  برداشته، به گام ۲ برگردید.

**مثال ۵.۶** مینیمم‌سازی یک بعدی با درون یابی درجه دو. نقطه مینیمم  $= 2 - 4\alpha + \alpha'^2$  را با درون یابی چندجمله‌ای بیابید. برای محصور کردن ابتدایی نقطه مینیمم از روش جست و جوی بخش طلایی با  $\delta = 0.5$  استفاده کنید.

حل.

چرخه ۱. از مثال ۵.۵ اطلاعات زیر معلوم است.

$$\alpha_i = 0.5 \quad \alpha_i = 1.309\ 017 \quad \alpha_{ii} = 2.618\ 034$$

$$f(\alpha_i) = 1.648\ 721 \quad f(\alpha_i) = 0.466\ 464 \quad f(\alpha_{ii}) = 5.236\ 610$$

ضرایب  $a_1, a_2$  را از معادله‌های (۵.۳۰) محاسبه می‌شوند

$$a_2 = \frac{1}{1.30902} \left( \frac{3.5879}{2.1180} - \frac{-1.1823}{0.80902} \right) = 2.410$$

$$a_1 = \frac{-1.1823}{0.80902} - (2.41)(1.80902) = -5.821$$

$$a_0 = 1.648271 - (-5.821)(0.50) - 2.41(0.25) = 3.957$$

بنابراین از معادله (۵.۳۱)،  $\bar{\alpha} < \alpha$  و  $f(\bar{\alpha}) = 1.2077$ . دقت کنید که  $f(\bar{\alpha}) < f(\alpha_i)$ . پس، محدوده جدید بازه عدم اطمینان کاوش یافته عبارت است از  $\alpha'_1 = \alpha_i = 1.309017$ ،  $\alpha''_1 = \alpha_i = 2.618034$ ،  $\alpha'_2 = \bar{\alpha} = 1.2077$  چرخه ۲. ما حدود جدیدی برای بازه عدم اطمینان داریم، نقطه میانی و مقادیر تابع در آن نقاط عبارتند از

$$\begin{aligned} \alpha_i &= 1.2077, & \alpha_i &= 1.309017, & \alpha''_1 &= 2.618034 \\ f(\alpha_i) &= 0.5149, & f(\alpha_i) &= 0.466464, & f(\alpha''_1) &= 5.23661 \end{aligned}$$

ضرایب  $a_0$ ،  $a_1$  و  $a_2$  مانند قبل محاسبه می‌شوند،  $a_0 = 5.7129$ ،  $a_1 = -7.8339$  و  $a_2 = 1.34014$ . پس  $\bar{\alpha} = 0.4590$  و  $f(\bar{\alpha}) = 1.29228$

از مقایسه با جواب بهین که در جدول ۵.۲ داده شده، مشاهده می‌کنیم که  $\bar{\alpha}$  و  $f(\bar{\alpha})$  به جواب نهایی کاملاً نزدیکند. یک چرخه بیشتر می‌تواند یک تقریب خوب از بهین بدهد. دقت کنید که تنها ۵ بار محاسبه تابع برای یک اندازه گام بهین نسبتاً دقیق برای  $f(\alpha)$  لازم است. بنابراین، استفاده از درون یابی چندجمله‌ای می‌تواند برای بهینه‌سازی یک بعدی کاملاً کارا باشد.

**مثال ۵.۷** بهینه‌سازی یک بعدی با درون یابی درجه دوی جایگزین. نقطه مینیمم تابع  $f(\alpha) = 2 - 4\alpha + e^\alpha$  را، با استفاده از (۰) و  $f''(0)$  برای برآورد یک منحنی درجه دو، پیدا کنید. در حالی که  $\alpha$  حد بالای نقطه مینیمم  $f(\alpha)$  است.

حل. فرض کنید معادله عمومی یک منحنی درجه دو  $a_0 + a_1\alpha + a_2\alpha^2$  باشد که  $a_0$ ،  $a_1$  و  $a_2$  ضرایب مجھول هستند. حد بالای  $\alpha$  را از جست و جوی بخش طلایع ۰.۶۱۸۰۳۴ انتخاب می‌کنیم. با استفاده از تابع داده شده  $f(\alpha)$ ، داریم  $f(0) = 3$ ،  $f'(0) = -3$  و  $f''(0) = 2.618034$ . حال مانند گذشته، برای به دست آوردن سه ضریب مجھول  $a_0$ ،  $a_1$  و  $a_2$  معادله زیر را داریم.

$$a_0 = f(0) = 3$$

$$a_0 + 2.618\ 034a_1 + 6.854a_2 = f(2.618\ 034) = 5.236\ 61$$

$$a_1 = f'(0) = -3$$

با حل همزمان سه معادله داریم،  $a_0 = 3$  ،  $a_1 = -3$  و  $a_2 = 1.4722$  . نقطه مینیمم منحنی سهموی با استفاده از معادله (۵.۳۱) عبارت است از  $\bar{x} = 1.0189$  و  $f(\bar{x}) = 0.69443$  . این تخمین می‌تواند مانند گذشته با استفاده از چرخه بهبود یابد. دقت کنید که در اینجا تخمین نقطه مینیمم تابع ( $\alpha$ ) تنها با دوبار محاسبه تابع پیدا شد. برای مسائل چندبعدی برای تعیین مقدار شبیب در  $\alpha = 0$  چون شبیب معلوم است، نیازی به محاسبه نیست.

#### ۵.۴ روش تندترین کاهش

در بخش گذشته فرض کردیم که یک جهت جست و جو در فضای طراحی معلوم است و ما به مسأله تعیین اندازه گام پرداختیم. در این بخش و بخش‌های آینده ماسؤال تعیین جهت جست و جوی  $d$  را مطرح خواهیم کرد. ویژگی اساسی  $d$  باید این باشد که تابع هزینه در صورت هر حرکت کوچکی در آن امتداد کاهش یابد. این جهت کاهشی نامیده خواهد شد. روش‌های متعددی به منظور تعیین جهت کاهشی برای مسائل بهینه‌سازی نامقید در دسترسند. روش تندترین کاهش یا روش گرادیان ساده‌ترین، قدیمی‌ترین و شاید شناخته شده‌ترین روش عددی برای بهینه‌سازی نامقید است. فلسفه روش، که توسط کوچی در ۱۸۴۷ معرفی شد، عبارت است از یافتن جهت  $d$  در چرخه فعلی که در آن امداد تابع ( $x$ ) حداقل به طور محلی با بیشترین سرعت کاهش یابد. به خاطر همین فلسفه است که این روش فن جست و جوی تندترین کاهش نامیده می‌شود. همچنین، خواص بردار گرادیان در فرآیند چرخه استفاده می‌شود که دلیل نام دیگر آن، یعنی: روش گرادیان است. روش تندترین کاهش یک روش مرتبه اول است، زیرا فقط گرادیان تابع هزینه محاسبه و برای یافتن جهت جست و جو استفاده می‌شود. بعداً، ما روش‌های مرتبه دو را که در آنها از هسیان تابع برای تعیین جهت استفاده می‌شود بحث خواهیم کرد. ابتدا و قبل از این که الگوریتمی برای روش بیان کنیم، به مطالعه خواص بردار گرادیان یک تابع اسکالر خواهیم پرداخت.

## ۵.۴.۱ خواص بردار گرادیان

بردار گرادیان تابع اسکالر  $f(x_1, x_2, \dots, x_n)$  در فصل (۳) تعریف شد. برای یادآوری، آن را دوباره به عنوان یک بردار ستونی تعریف می‌کنیم که عبارت است از :

$$\nabla f = \left[ \frac{\partial f}{\partial x_1}, \frac{\partial f}{\partial x_2}, \dots, \frac{\partial f}{\partial x_n} \right]^T = \mathbf{c} \quad (5.32)$$

برای ساده‌سازی علامت، از بردار  $\mathbf{c}$  برای نشان دادن گرادیان تابع اسکالر  $(x)f$  استفاده خواهیم کرد، یعنی  $\frac{\partial f}{\partial x_i} = c_i$ . در این چا اندیس بالا را برای نشان دادن نقطه‌ای که در آن بردار محاسبه شده، به کار می‌بریم؛ مانند

$$\mathbf{c}^{(k)} = \mathbf{c}(x^{(k)}) = \left[ \frac{\partial f(x^{(k)})}{\partial x_i} \right]^T \quad (5.33)$$

بردار گرادیان خواص متعددی دارد که در روش تندترین کاهش استفاده می‌شود. چون اثبات این خواص بسیار سازنده است، آنها را در این جا مطرح می‌کنیم.

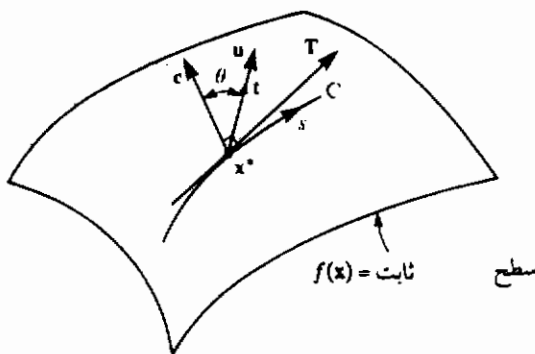
**خاصیت ۱.** بردار گرادیان  $\mathbf{c}$  یک تابع  $f(x_1, x_2, \dots, x_n)$  در نقطه

$f(x_1, x_2, \dots, x_n) = \text{const.}$  بر صفحه مماس بر سطح  $x^* = (x_1^*, x_2^*, \dots, x_n^*)$  عمود است.

این یک خاصیت مهم بردار گرادیان است که در شکل ۱۱.۵ به صورت ترسیمی نشان داده شده است. در شکل،  $f(\mathbf{x}) = \text{constant}$  نقطه‌ای روی سطح  $C$  یک منحنی روی سطح که از نقطه  $\mathbf{x}^*$  می‌گذرد،  $T$  بردار مماس بر منحنی  $C$  در نقطه  $\mathbf{x}^*$ ،  $\mathbf{c}$  بردار یکه، و  $\mathbf{T}$  بردار گرادیان در  $\mathbf{x}^*$  نشان داده شده است. براساس خاصیت فوق، بردار  $\mathbf{c}$  و  $\mathbf{T}$  برهمنمودند، یعنی ضرب نقطه‌ای آنها صفر است،  $\mathbf{c} \cdot \mathbf{T} = 0$ .

اثبات. برای نشان دادن این موضوع، یک منحنی  $C$  روی سطح  $f(x_1, x_2, \dots, x_n)$  در نظر می‌گیریم، همچنان که در شکل ۱۱.۵ نشان داده شده است. فرض کنید منحنی از نقاط  $(x_1^*, x_2^*, \dots, x_n^*) = \mathbf{x}^*$  بگذرد. همچنین، فرض کنید  $\mathbf{T}$  پارامتری در امتداد  $C$  باشد. آن گاه بردار مماس یکه  $\mathbf{T}$  در نقطه  $\mathbf{x}^*$  به صورت زیر بیان می‌شود

$$\mathbf{T} = \left[ \frac{\partial x_1}{\partial s}, \frac{\partial x_2}{\partial s}, \dots, \frac{\partial x_n}{\partial s} \right]^T \quad (\text{الف})$$

شکل ۵.۱۱ بردار گرادیان برای سطح ثابت  $f(x) = \text{ثابت}$  در نقطه  $x^*$ 

چون عدد ثابت  $= f(x)$ ، مشتق  $f$  در امتداد  $C$  صفر است، یعنی

$$\frac{df}{ds} = 0 \quad (\text{مشتق سویی})$$

یا با استفاده از قاعده زنجیره‌ای مشتق

$$\frac{df}{ds} = \frac{\partial f}{\partial x_1} \frac{\partial x_1}{\partial s} + \dots + \frac{\partial f}{\partial x_n} \frac{\partial x_n}{\partial s} = 0 \quad (\text{ب})$$

با نوشتن معادله (ب) به شکل برداری و مشخص کردن  $\partial f / \partial x_i$  و  $\partial x_i / \partial s$  (از معادله الف) به عنوان مؤلفه‌های بردار گرادیان و بردار مماس یکه، داریم

چون ضرب نقطه‌ای بردار گرادیان  $C$  در بردار مماسی  $T$  صفر است، بردارها برهم عمودند. اما  $T$  هر بردار مماسی در  $x^*$  است، پس  $C$  عمود بر صفحه مماس سطح عدد ثابت  $= f(x)$  در نقطه  $x^*$  است.

خاصیت ۲. خاصیت دوم این است که گرادیان نشان دهنده جهت بیشترین نرخ افزایش تابع  $(x)$  در نقطه  $x^*$  است.

اثبات. برای نشان دادن این خاصیت، فرض کنید  $\parallel$  یک بردار یکه در جهتی باشد که مماس بر سطح نباشد. این موضوع در شکل ۱۱.۵ نشان داده شده است. اگر،

یک پارامتر در امتداد  $\mathbf{u}$  باشد، مشتق  $(\mathbf{x})f$  در امتداد  $\mathbf{u}$  در نقطه  $\mathbf{x}$  (یعنی مشتق مربوط به جهت  $f$ ) عبارت است از

$$\frac{df}{dt} = \lim_{\epsilon \rightarrow 0} \frac{f(\mathbf{x} + \epsilon \mathbf{u}) - f(\mathbf{x})}{\epsilon} \quad (\text{پ})$$

که در آن  $\epsilon$  یک عدد کوچک است. با استفاده از بسط سری تیلور

$$f(\mathbf{x} + \epsilon \mathbf{u}) = f(\mathbf{x}) + \epsilon \left[ u_1 \frac{\partial f}{\partial x_1} + u_2 \frac{\partial f}{\partial x_2} + \dots + u_n \frac{\partial f}{\partial x_n} \right] + O(\epsilon^2)$$

که  $\|u\|$  ها مؤلفه های بردار یکه  $\mathbf{u}$  و  $(\epsilon^2)O$  جملات از درجه  $\epsilon^2$  هستند. معادله گذشته را دوباره به شکل زیر می نویسیم

$$f(\mathbf{x} + \epsilon \mathbf{u}) - f(\mathbf{x}) = \epsilon \sum_{i=1}^n u_i \frac{\partial f}{\partial x_i} + O(\epsilon^2) \quad (\text{ت})$$

با جای گزینی معادله (ت) در معادله (پ) و گرفتن حد، داریم

$$\frac{df}{dt} = \sum_{i=1}^n u_i \frac{\partial f}{\partial x_i} = \mathbf{c} \cdot \mathbf{u} = \mathbf{c}^T \mathbf{u} \quad (\text{ث})$$

با استفاده از تعریف ضرب نقطه ای برای معادله (ث) داریم

$$\frac{df}{dt} = \|\mathbf{c}\| \|\mathbf{u}\| \cos \theta \quad (\text{ج})$$

که  $\theta$  زاویه بین بردارهای  $\mathbf{c}$  و  $\mathbf{u}$  است. طرف راست معادله (ج) وقتی  $\theta = 0^\circ$  یا  $180^\circ$  باشد مقدار اکستروم (ماکزیمم، مینیمم) خواهد داشت. وقتی  $\theta = 90^\circ$  است، بردار  $\mathbf{u}$  در امتداد  $\mathbf{c}$  و  $\cos \theta = 0$  است. بنابراین، از معادله (ج)، وقتی که  $\theta = 90^\circ$  باشد  $df/dt$  نشان دهنده بیشترین نرخ افزایش  $(\mathbf{x})f$  است. به طور مشابه، وقتی  $\theta = 180^\circ$ ، بردار  $\mathbf{u}$  خلاف جهت  $\mathbf{c}$  است. بنابراین، از معادله (ج)، وقتی  $\theta = 180^\circ$  باشد  $df/dt$  نشان دهنده بیشترین نرخ کاهش  $(\mathbf{x})f$  است.

بنابراین خاصیت قبلی بردار گرادیان، اگر بخواهیم از صفحه عدد ثابت  $= (\mathbf{x})f$  دور شویم، تابع در امتداد بردار گرادیان نسبت به امتدادهای دیگر با سرعت بیشتری افزایش پیدا می کند. در شکل ۱۱.۵، حرکت در امتداد جهت  $\mathbf{e}$  در مقایسه با حرکت مشابه در امتداد  $\mathbf{u}$  افزایش بیشتری را در تابع سبب می شود. البته، هر حرکت کوچکی در امتداد  $T$  تغییری در تابع ایجاد

نمی کند، زیرا  $T$  مماس بر سطح است.

خاصیت ۳. بیشترین نرخ تغییرات  $(x)^f$  در نقطه  $x^*$  مقدار بردار گرادیان است.

اثبات. چون  $\|t\|$  یک بردار یکه است، بیشترین مقدار  $df/dt$  از معادله (ج) عبارت است از

$$\max \left| \frac{df}{dt} \right| = \|e\|$$

اما برای  $\theta = 0$ ،  $\|t\|$  عبارت است از جهت بردار گرادیان. بنابراین، مقدار گرادیان

نشان دهنده بیشترین نرخ تغییرات  $(x)^f$  می باشد.

این خواص نشان می دهد که بردار گرادیان در هر نقطه  $x^*$  نشان دهنده جهت بیشترین افزایش  $(x)^f$  است و نرخ افزایش، مقدار بردار است. بنابراین گرادیان جهت تندترین افزایش برای تابع  $(x)^f$  نامیده می شود.

**مثال ۵.۸** نشان دادن خواص بردار گرادیان. خواص بردار گرادیان را برای تابع

$$f(x) = 25x_1^2 + x_2^2 \text{ در نقطه } (0.6, 4)$$

حل. شکل ۱۲.۵ در صفحه ۲۶ خطوط هزینه ثابت ۲۵ و ۱۰۰ تابع  $f$  را نشان

می دهد. مقدار تابع در  $(0.6, 4)$  عبارت است از  $25 = f(0.6, 4)$ . گرادیان تابع

در  $(0.6, 4)$  عبارت است از

$$\begin{aligned} e &= \nabla f(0.6, 4) = (\partial f / \partial x_1, \partial f / \partial x_2) \\ &= (50x_1, 2x_2) = (30, 8) \end{aligned}$$

$$\|e\| = \sqrt{30^2 + 8^2} = 31.04835$$

بنابراین یک بردار یکه در امتداد گرادیان به شکل زیر است

$$C = e / \|e\| = (0.966235, 0.257663)$$

با استفاده از تابع داده شده، یک بردار مماس بر منحنی در نقطه  $(0.6, 4)$  عبارت است از

$$t = (-4, 15)$$

این بردار با استفاده از معادله منحنی  $25x_1^2 + x_2^2 = 25$  و نوشتن بردار مماس به شکل

$(\partial x_1 / \partial s, \partial x_2 / \partial s)$  که  $s$  پارامتری در امتداد منحنی است، به دست آمده است. بردار

مماس یکه عبارت است از

$$T = t / \|t\| = (-0.257663, 0.966235)$$

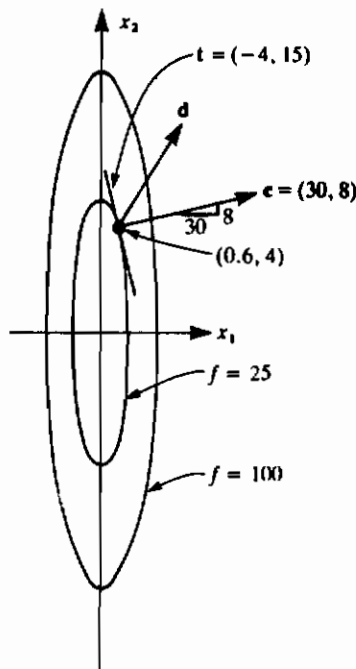
خاصیت ۱. اگر گرادیان بر مماس عمود باشد، آن‌گاه  $\mathbf{C} \cdot \mathbf{T} = 0$ . این در حقیقت برای داده‌های قبلی درست است. ما همچنین می‌توانیم شرطی را که اگر دو خط عمود باشند آن‌گاه  $m_1 m_2 = -1$  است استفاده کنیم که در آن  $m_1$  و  $m_2$  شیب دو خط است. برای محاسبه شیب مماس، معادله منحنی  $25x_1^2 + x_2^2 = 25$ ، یا  $x_2 = 5\sqrt{1 - x_1^2}$  را به کار می‌بریم. بنابراین، شیب مماس در نقطه  $(0.6, 4)$  عبارت است از

$$m_1 = dx_2/dx_1 = -5x_1/\sqrt{1 - x_1^2} = -\frac{1}{\sqrt{24}}$$

شیب بردار گرادیان عبارت است از  $m_2 = \frac{30}{8} = 3.75$ . پس  $m_1 m_2 = -1$  در حقیقت است و دو خط برهمنمودند.

خاصیت ۲. یک جهت دلخواه

$$\mathbf{d} = (0.501034, 0.865430)$$



شکل ۰.۱۲ خطوط هزینه ثابت تابع  $f = 25x_1^2 + x_2^2$  را نمایش می‌دهند.

## ۵.۴.۲ الگوریتم تندترین کاهش

۴۰۱

در نقطه  $(0.6, 4)$  مانند شکل ۱۲.۵ در نظر بگیرید. اگر  $\mathbf{C}$  جهت تندترین افزایش باشد، آن گاه تابع باید در امتداد  $\mathbf{C}$  با سرعت بیشتری نسبت به امتداد  $\mathbf{d}$  افزایش یابد. فرض کنید اندازه گام  $\alpha = 0.1$  باشد، دو نقطه زیر را در امتداد  $\mathbf{C}$  و  $\mathbf{d}$  محاسبه می کنیم

$$\mathbf{x}^{(1)} = \mathbf{x}^{(0)} + \alpha \mathbf{C}$$

$$= \begin{bmatrix} 0.6 \\ 4.0 \end{bmatrix} + 0.1 \begin{bmatrix} 0.966235 \\ 0.257663 \end{bmatrix} = \begin{bmatrix} 0.6966235 \\ 4.0257663 \end{bmatrix}$$

$$\mathbf{x}^{(2)} = \mathbf{x}^{(0)} + \alpha \mathbf{d}$$

$$= \begin{bmatrix} 0.6 \\ 4.0 \end{bmatrix} + 0.1 \begin{bmatrix} 0.501034 \\ 0.865430 \end{bmatrix} = \begin{bmatrix} 0.6501034 \\ 4.0865430 \end{bmatrix}$$

اکنون تابع را در این نقاط محاسبه کرده و آنها را با هم مقایسه می کنیم

$$f(\mathbf{x}^{(1)}) = 28.3389$$

$$f(\mathbf{x}^{(2)}) = 27.2657$$

چون  $f(\mathbf{x}^{(2)}) < f(\mathbf{x}^{(1)})$ ، تابع در امتداد  $\mathbf{C}$  با سرعت بیشتری افزایش پیدا می کند تا در امتداد  $\mathbf{d}$ .

خاصیت ۳. اگر مقدار بردار گرادیان نشان دهنده بیشترین نرخ تغییرات  $f$  باشد، آن گاه،  $(\mathbf{c} \cdot \mathbf{d}) > (\mathbf{c} \cdot \mathbf{c}) + (\mathbf{e} \cdot \mathbf{e}) = 964.0$ ،  $(\mathbf{c} \cdot \mathbf{c}) + (\mathbf{e} \cdot \mathbf{e}) = 21.9545$ . بنابراین، بردار گرادیان این خاصیت را نیز برآورده می کند.

دقت کنید که دو خاصیت آخر فقط به طور محلی معتبرند، یعنی فقط در همسایگی کوچک نقطه‌ای که گرادیان محاسبه شده است.

## ۵.۴.۳ الگوریتم تندترین کاهش

از خواص بردار گرادیان می توان برای تعریف یک الگوریتم چرخه‌ای برای مسائل بهینه سازی نامقید استفاده کرد. جهت بیشترین کاهش تابع هزینه در جهت منفی گرادیانش در نقطه داده شده  $\mathbf{x}$  می باشد. هر حرکت کوچک در جهت منفی گرادیان به بیشترین نرخ کاهش محلی تابع هزینه منجر می شود. پس منفی بردار گرادیان جهت تندترین کاهش را برای تابع هزینه نشان می دهد. این نتیجه در قضیه زیر خلاصه شده است.

قضیه ۵.۱ جهت تندترین کاهش. فرض کنید  $(x^f)$  تابع مشتق پذیری نسبت به  $x$  باشد.

آن گاه جهت تندترین کاهش  $(x^f)$  در هر نقطه عبارت است از

$$d = -c, \quad d_i = -c_i = \frac{-\partial f}{\partial x_i}; \quad i = 1 \text{ to } n \quad (5.34)$$

معادله (5.34) جهت تغییر در فضای طراحی را برای استفاده در معادله (۵.۴)

می دهد. براساس بحث گذشته، الگوریتم تندترین کاهش به شکل زیر بیان می شود.

گام ۱. طرح اوّلیه  $(x^{(0)})$  را تخمین بزنید و شمارنده چرخه  $0 = k$  قرار دهید. یک پارامتر همگرایی  $\epsilon > 0$  انتخاب کنید.

گام ۲. گرادیان  $(x^f)$  را در نقطه  $x^{(k)}$  از  $\nabla f(x^{(k)}) = \mathbf{c}^{(k)}$  محاسبه کنید. مقدار  $\|\mathbf{c}^{(k)}\|$  را نیز حساب کنید. اگر  $\epsilon < \|\mathbf{c}^{(k)}\|$ ، آن گاه فرآیند چرخه را متوقف کنید و  $x^{(k)} = x^*$  نقطه مینیمم است. در غیر این صورت به گام ۳ بروید.

گام ۳. فرض کنید جهت جست و جو در نقطه فعلی  $x^{(k)}$  عبارت باشد از  $d^{(k)} = -\mathbf{c}^{(k)}$ .

گام ۴. یک اندازه گام  $\alpha_k$  محاسبه کنید که  $(x^f + \alpha_k d^{(k)})$  را مینیمم کند. برای تعیین  $\alpha_k$  جست و جوی یک بعدی استفاده می شود.

گام ۵. طراحی را از رابطه  $x^{(k+1)} = x^{(k)} + \alpha_k d^{(k)}$  روز آمد کنید.  $1 + k = k + 1$  قرار داده و به گام ۲ بروید.

پنداره اصلی روش تندترین کاهش بسیار ساده است. با یک تخمین اوّلیه برای طرح مینیمم شروع می کنیم. جهت تندترین کاهش را در آن نقطه محاسبه می کنیم. اگر جهت غیر صفر باشد، در آن جهت تا جایی که ممکن است حرکت می کنیم تا تابع هزینه مینیمم شود. در نقطه طراحی جدید جهت تندترین کاهش را دوباره محاسبه کرده و تمامی فرآیند را تکرار می کنیم. دقت کنید چون  $d = -c$ ، شرط کاهش نامعادله (۵.۸) به طور خودکار برآورده شده است، چون  $0 < \|\mathbf{c}\|^2 = \mathbf{c} \cdot \mathbf{c}$ .

جالب است توجه کنید که جهتهای تندترین کاهش متوالی بر یکدیگر عمودند، یعنی

$$\mathbf{c}^{(k)} \cdot \mathbf{c}^{(k+1)} = 0 \quad (5.35)$$

این موضوع می تواند با استفاده از شرایط لازم به دست آوردن اندازه گام بهین بسادگی نشان داده شود. در گام ۴ الگوریتم، لازم است  $\alpha_k$  را برای مینیمم ساختن  $(x^f + \alpha_k d^{(k)})$  محاسبه

کنیم . شرط لازم  $df/d\alpha_k = 0$  است . با استفاده از قانون مشتق زنجیره‌ای ، داریم

$$\frac{df(\mathbf{x}^{(k+1)})}{d\alpha_k} = \left[ \frac{\partial f(\mathbf{x}^{(k+1)})}{\partial \mathbf{x}} \right]^T \frac{\partial \mathbf{x}^{(k+1)}}{\partial \alpha_k}$$

که رابطه زیر را می‌دهد

$$\mathbf{c}^{(k+1)} \cdot \mathbf{d}^{(k)} = 0, \quad \text{یا} \quad \mathbf{c}^{(k+1)} \cdot \mathbf{c}^{(k)} = 0 \quad (5.36)$$

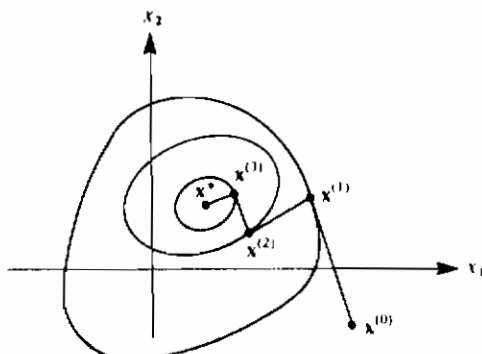
زیرا

$$\mathbf{c}^{(k+1)} = \frac{\partial f(\mathbf{x}^{(k+1)})}{\partial \mathbf{x}} \quad \text{و} \quad \frac{\partial \mathbf{x}^{(k+1)}}{\partial \alpha_k} = \frac{\partial}{\partial \alpha_k} (\mathbf{x}^{(k)} + \alpha_k \mathbf{d}^{(k)}) = \mathbf{d}^{(k)}$$

در حالت دو بعدی ،  $\mathbf{x} = (x_1, x_2)$  است . شکل ۵.۱۳ یک دید از فضای متغیرهای طراحی است . منحنیهای بسته در شکل ، ترازهای تابع هزینه  $f(\mathbf{x})$  است . شکل جهتهای تندترین کاهش متعددی را که برهم عمودند ، نشان می‌دهد .

**۵.۴.۲.۱ معیار توقف جست و جوی خطی** . اغلب برای انجام جست و جوی خطی در مسائل چندبعدی روش‌های عددی مینیمم سازی یک بعدی استفاده می‌شود . بسیاری از مسائل روش‌های عددی برای اندازه گام یک مقدار تقریبی یا غیر دقیق می‌دهند . پس ، برای تصمیم در مورد دقت یک روش عددی معیار توقف جست و جوی خطی در محاسبه اندازه گام کارساز است . برای مقدار دقیق اندازه گام رابطه (۵.۳۶) باید برقرار باشد ، یعنی

$$\mathbf{c}^{(k+1)} \cdot \mathbf{d}^{(k)} = 0 \quad (5.37)$$



شکل ۵.۱۳ مسیرهای تندترین کاهش متعدد

که  $\mathbf{c}^{(k+1)}$  گرادیان در  $\mathbf{x}^{(k+1)}$  و  $\mathbf{d}^{(k)}$  جهت حرکت در چرخه قبلی است. به دلیل خطاهای گرد کردن و قطع کردن در محاسبات رایانه‌ای، معیار توقف جست و جوی خطی معادله (۵.۳۷) به طور صریح برآورده نمی‌شود؛ با این همه، آن یک نشانه از دقّت محاسبه عددی اندازه گام است. دقّت کنید که معیار توقف جست و جوی خطی به چگونگی محاسبه جهت کاهش  $\mathbf{d}$  بستگی ندارد.

**مثال ۵.۹** استفاده از الگوریتم تندترین کاهش. تابع  $f(\mathbf{x}_1, \mathbf{x}_2) = x_1^2 + x_2^2 - 2x_1x_2$  را با استفاده از روش تندترین کاهش و با شروع از نقطه  $(1, 0)$  مینیمم کنید.

حل. برای حل مسأله، گامهای الگوریتم تندترین کاهش را دنبال می‌کنیم.

$$1. \text{ طراحی شروع عبارت است از } \mathbf{x}^{(0)} = (1, 0).$$

$$2. \mathbf{c}^{(0)} = (2x_1 - 2x_2, 2x_2 - 2x_1) = (2, -2); \|\mathbf{c}^{(0)}\| = 2\sqrt{2} \neq 0$$

$$\mathbf{d}^{(0)} = -\mathbf{c}^{(0)} = (-2, 2). \quad 3$$

۴. را طوری محاسبه می‌کنیم که  $f(\mathbf{x}^{(0)} + \alpha \mathbf{d}^{(0)})$  مینیمم شود که در آن  $\mathbf{x}^{(0)} + \alpha \mathbf{d}^{(0)} = (1 - 2\alpha, 2\alpha)$

$$\begin{aligned} f(\mathbf{x}^{(0)} + \alpha \mathbf{d}^{(0)}) &= (1 - 2\alpha)^2 + (2\alpha)^2 - 2(1 - 2\alpha)(2\alpha) \\ &= 16\alpha^2 - 8\alpha + 1 = f(\alpha) \end{aligned}$$

چون این یک تابع ساده از  $\alpha$  است، ما می‌توانیم برای به دست آوردن طول گام بهین از شرایط لازم و کافی استفاده کنیم. در حالت کلی باید جست و جوی یک بعدی عددی برای محاسبه  $\alpha$  استفاده شود.  $\alpha$  را با استفاده از روش تحلیلی محاسبه می‌کنیم، داریم

$$\frac{df(\alpha)}{d\alpha} = 0; \quad 32\alpha - 8 = 0 \text{ or } \alpha_0 = 0.25$$

$$\frac{d^2f(\alpha)}{d\alpha^2} = 32 > 0.$$

بنابراین، شرط کفايت برای مینیمم حاصل شده است.

۵. طراحی  $(\mathbf{x}_0 + \alpha_0 \mathbf{d}^{(0)})$  را روز آمد می‌کنیم:

$$x_1^{(1)} = 1 - 0.25(2) = 0.5$$

$$x_2^{(1)} = 0 + 0.25(2) = 0.5$$

با استفاده از عبارت گام ۲ مقدار  $c^{(1)}$  را به دست می آوریم، می بینیم که  $(0, 0)$  که معیار توقف را برآورده می کند. بنابراین،  $(0.5, 0.5)$  یک نقطه مینیمم برای مساله داده شده است.

مساله قبلی بسیار ساده است و نقطه بینیان تنها با چرخه به دست آمد. این امر بدین خاطر است که عدد شرطی هسبان تابع هزینه پک است (عدد شرطی پک عدد اسکالر مربوط به یک ماتریس است؛ به بخش ۸.۸ از پوست B مراجعه کنید). در چنین حالتی، روش تندترین کاهش با هر نقطه شروعی تنها در پک چرخه همگرا می شود. در حالت کلی، الگوریتم تا قابل ارزیابی به یک بین قابل قبول به چرخه های متعددی نیاز دارد.

#### مسئل ۵.۱۰ استفاده از الگوریتم تندترین کاهش. تابع

$$f(x_1, x_2, x_3) = x_1^2 + 2x_2^2 + 2x_3^2 + 2x_1x_2 + 2x_2x_3$$

تندترین کاهش و با طراحی شروع  $(10, 4, 2)$  مینیمم کنید. پارامتر همگرایی  $\epsilon$  را برابر  $0.005$  در نظر بگیرید. با جست و جوی بخش طلایی و با اندازه گام  $\delta = 0.05$  و دقت

یک جست و جوی خطی انجام دهید.

حل.

۱. فرض کنیم  $c = \nabla f = (2x_1 + 2x_2, 4x_2 + 2x_1, 4x_3 + 2x_2)$  باشد.

$$\|c^{(0)}\| = \sqrt{4048} = 63.6 > \epsilon^{(0)} = (12, 40, 48)$$

$$d^{(0)} = -c^{(0)} = (-12, -40, -48) . ۲$$

۳. را با جست و جوی بخش طلایی برای مینیمم کردن  $(x^{(0)} + \alpha d^{(0)})^T f$  محاسبه

$$\alpha_i = 0.1587 .$$

$$4. \text{ طراحی را روز آمد می کنیم}: x^{(1)} = x^{(0)} + \alpha_i d^{(0)} .$$

$$x^{(1)} = (0.0956, -2.348, 2.381)$$

$$\|c^{(1)}\| = 7.952 > \epsilon, c^{(1)} = (-4.5, -4.438, 4.828) . ۵$$

دقت کنید که  $d^{(0)} = 0 \cdot c^{(0)}$  و این نشان دهنده معیار توقف جست و جوی خطی

است. در الگوریتم تندترین کاهش باشد تا برآورده شدن معیار همگرایی گامها تکرار

جدول ۵.۳ حل بهین مثال ۵.۱۰ با برنامه تندترین کاهاش

x <sub>1</sub> شمار	x <sub>2</sub>	x <sub>3</sub>	f(x)	a	c
1 2.000 00E + 00	4.000 00E + 00	1.000 00E + 01	3.320 00E + 02	1.587 18E - 01	6.362 39E + 01
2 9.538 70E - 02	-2.348 71E + 00	2.381 55E + 00	1.075 03E + 01	3.058 72E - 01	7.959 22E + 00
3 1.473 84E + 00	-9.903 42E - 01	9.045 62E - 01	1.059 36E + 00	1.815 71E - 01	2.061 42E + 00
4 1.298 26E + 00	-1.134 77E + 00	6.072 28E - 01	6.737 57E - 01	6.499 89E - 01	8.139 10E - 01
5 1.085 73E + 00	-6.615 14E - 01	5.036 40E - 01	4.585 34E - 01	1.905 88E - 01	1.217 29E + 00
6 9.240 28E - 01	-7.630 36E - 01	3.718 42E - 01	3.172 18E - 01	5.880 53E - 01	5.631 54E - 01
7 7.346 84E - 01	-4.922 94E - 01	3.946 01E - 01	2.240 07E - 01	1.938 77E - 01	8.193 77E - 01
8 6.406 97E - 01	-5.484 01E - 01	2.794 74E - 01	1.589 46E - 01	5.725 54E - 01	3.991 41E - 01
9 5.350 08E - 01	-3.461 39E - 01	2.673 96E - 01	1.133 73E - 01	1.946 60E - 01	5.775 45E - 01
10 4.614 78E - 01	-3.890 14E - 01	1.939 50E - 01	8.091 74E - 02	5.697 67E - 01	2.848 37E - 01
11 3.789 02E - 01	-2.493 07E - 01	1.952 19E - 01	5.783 10E - 02	1.946 01E - 01	4.118 95E - 01
12 3.284 64E - 01	-2.786 95E - 01	1.402 91E - 01	4.131 41E - 02	5.720 88E - 01	2.033 39E - 01
13 2.715 19E - 01	-1.772 81E - 01	1.381 32E - 01	2.949 40E - 02	1.944 39E - 01	2.947 10E - 01
14 2.348 72E - 01	-1.987 04E - 01	9.963 96E - 02	2.104 99E - 02	5.726 50E - 01	1.451 12E - 01
15 1.934 49E - 01	-1.266 69E - 01	9.898 06E - 02	1.502 33E - 02	1.944 57E - 01	2.104 30E - 01
16 1.674 77E - 01	-1.418 72E - 01	7.125 41E - 02	1.071 97E - 02	5.717 77E - 01	1.035 80E - 01
17 1.381 96E - 01	-9.039 73E - 02	7.052 67E - 02	7.653 62E - 03	1.945 34E - 01	1.500 77E - 01
18 1.195 99E - 01	-1.012 63E - 01	5.081 80E - 02	5.463 41E - 03	5.708 32E - 01	7.395 59E - 02
19 9.866 59E - 02	-6.460 51E - 02	5.039 27E - 02	3.901 56E - 03	1.945 71E - 01	1.070 16E - 01
20 8.541 14E - 02	-7.232 89E - 02	3.631 34E - 02	2.786 93E - 03	5.721 47E - 01	5.280 78E - 02
21 7.044 12E - 02	-4.608 67E - 02	3.597 26E - 02	1.989 46E - 03	1.943 20E - 01	7.653 97E - 02
22 6.097 61E - 02	-5.162 11E - 02	2.592 30E - 02	1.419 91E - 03	5.743 72E - 01	3.766 50E - 02
23 5.022 96E - 02	-3.284 70E - 02	2.566 47E - 02	1.012 41E - 03	1.942 24E - 01	5.469 15E - 02
24 4.347 74E - 02	-3.680 93E - 02	1.848 53E - 02	7.219 39E - 04	5.744 09E - 01	2.685 89E - 02
25 3.581 70E - 02	-2.341 88E - 02	1.830 00E - 02	5.148 07E - 04	1.943 79E - 01	3.901 03E - 02
26 3.099 71E - 02	-2.624 87E - 02	1.317 57E - 02	3.670 49E - 04	5.714 30E - 01	1.916 85E - 02
27 2.557 04E - 02	-1.673 48E - 02	1.305 84E - 02	2.621 04E - 04	1.944 75E - 01	2.776 37E - 02
28 2.213 38E - 02	-1.874 14E - 02	9.409 25E - 03	1.871 31E - 04	5.725 54E - 01	1.368 15E - 02
29 1.824 92E - 02	-1.193 96E - 02	9.321 00E - 03	1.335 49E - 04	1.944 75E - 01	1.983 48E - 02
30 1.579 51E - 02	-1.337 52E - 02	6.714 12E - 03	9.530 54E - 05	5.718 73E - 01	9.766 61E - 03
31 1.302 74E - 02	-8.524 32E - 03	6.653 48E - 03	6.804 63E - 05	1.944 39E - 01	1.415 34E - 02
32 1.127 62E - 02	-9.547 93E - 03	4.793 62E - 03	4.856 93E - 05	5.726 20E - 01	6.970 01E - 03
33 9.296 91E - 03	-6.082 44E - 03	4.748 60E - 03	3.466 11E - 05	1.942 83E - 01	1.010 55E - 02

متغیرهای طراحی بهین به ترتیب : 3.42174E - 03 ، 8.04787E - 03 ، -6.81319E - 03 و -2.47347E - 05

مقدار تابع هزینه بهین : 4.97071E - 03

نرم گرادیان در بهین : 753

. تعداد کل ارزیابی تابع :

شود. برای پیاده کردن گامهای الگوریتم تندترین کاهاش، پیوست D حاوی یک برنامه اصلی و دو برنامه فرعی فانک و گرید، که توسط استفاده کننده ارائه می شود، می باشد. تاریخچه چرخه های مسأله که توسط برنامه تهیه شد در جدول ۵.۳ داده شده است. مقدار تابع بهین 0.0 است و نقطه بهین عبارت است از (0.0.0). دقت

کنید که برای رسیدن به نقطه بهین چرخه‌های متعدد و دفعات زیادی محاسبه تابع موردنیاز است.

روش تندترین کاهش بسیار ساده و توانمند (همگرا) است. با این‌همه، نفایصی هم دارد. این نواقص عبارتند از:

۱. حتی اگر همگرایی روش تضمین شده باشد، ممکن است برای مینیمم‌سازی حتی یک شکل درجه دوی معین مثبت هم تعداد زیادی چرخه لازم باشد؛ یعنی روش برای همگراشدن به نقطه بهین ممکن است بسیار کند باشد.

۲. اطلاعات چرخه قبل استفاده نمی‌شود. هر چرخه مستقل از سایر چرخه‌ها شروع می‌شود که ناکاراست.

۳. در هر چرخه برای تعیین جست وجو فقط اطلاعات مرتبه یک استفاده می‌شود. این یک دلیل کندبودن همگرایی روش است که اگر تنها جست وجوی خطی غیردقیق استفاده شده باشد می‌تواند بدتر هم شود. به علاوه، نرخ همگرایی بستگی به عدد شرطی هسیان تابع هزینه در نقطه بهین دارد. اگر عدد شرطی بزرگ باشد، نرخ همگرایی روش کند است.

۴. تجربه عملی کار با روش نشان داده است که در چند چرخه اولیه کاهش قابل توجهی در تابع هزینه به وجود می‌آید، ولی در چرخه‌های بعدی تابع هزینه بسیار کند کاهش می‌یابد.

۵. جهت تندترین کاهش (جهتی که تابع هزینه با سرعت بیشتری کاهش می‌یابد) ممکن است در یک‌دید محلی (در یک همسایگی کوچک) خوب باشد، ولی در یک‌دید فراگیر خوب نباشد.

در روش‌هایی که در بخشی‌ای بعدی بحث خواهد شد، سعی شده بعضی از این نواقص جبران شود.

۵.۴.۳<sup>۰</sup> مقیاس‌بندی متغیرهای طرّاحی

نرخ همگرایی روش تندترین کاهش حتی برای یک تابع هزینه درجه دو حداقل خطی است. شتاب بخشیدن به نرخ همگرایی روش تندترین کاهش به کمک مقیاس‌بندی متغیرهای طرّاحی امکان پذیر است. برای یک تابع هزینه درجه دو این امکان وجود دارد که متغیرهای طرّاحی را طوری مقیاس‌بندی کرد که عدد شرطی ماتریس هسیان با متغیرهای جدید طرّاحی، واحد شود. روش تندترین کاهش برای یک تابع درجه دو مثبت معین با عدد شرطی واحد تنها

جدول ۵.۴ حل بهین مثال ۵.۱۱ به روش تندترین کاهش :  $x^{(0)} = (1, 1)$

ردیف	شماره	$x_1$	$x_2$	$f(x)$	$\alpha$	$\ e\ $
۱		1.000 00E + 00	1.000 00E + 00	2.600 00E + 01	2.003 29E - 02	5.004 00E + 01
۲		-1.644 37E - 03	9.599 34E - 01	9.215 41E - 01	4.789 76E - 02	1.921 63E + 00
۳		3.773 64E - 02	4.036 27E - 02	3.723 01E - 02	2.003 29E - 02	1.888 55E + 00
۴		-6.205 22E - 05	3.874 55E - 02	1.501 31E - 03	4.815 11E - 01	7.755 31E - 02
۵		1.431 89E - 03	1.432 69E - 03	5.331 03E - 05	2.003 29E - 02	7.165 18E - 02

متغیرهای طراحی بهین به ترتیب :  $x_1 = 1.37529E - 06$  و  $x_2 = -2.35450E - 03$

مقدار تابع هزینه بهین :  $1.89157E - 06$

نرم گرادیان در بهین :  $2.75310E - 03$

تعداد دفعات ارزیابی تابع : ۱۱۱

در یک چرخه همگرا می شود. برای به دست آوردن نقطه بهین برای متغیرهای طراحی اصلی می توان متغیرهای طراحی تبدیل یافته را مقیاس بندی معکوس کرد. فایده مقیاس بندی متغیرهای طراحی را با دو مثال زیر شرح خواهیم داد.

مثال ۵.۱۱ اثر مقیاس بندی متغیرهای طراحی. تابع  $f(x_1, x_2) = 25x_1^2 + x_2^2$  را به روش

تندترین کاهش و با طراحی شروع  $(1, 1)$  مینیمم کنید. چگونه متغیرهای طراحی را برای افزایش نرخ همگرای مقیاس بندی می کنید؟

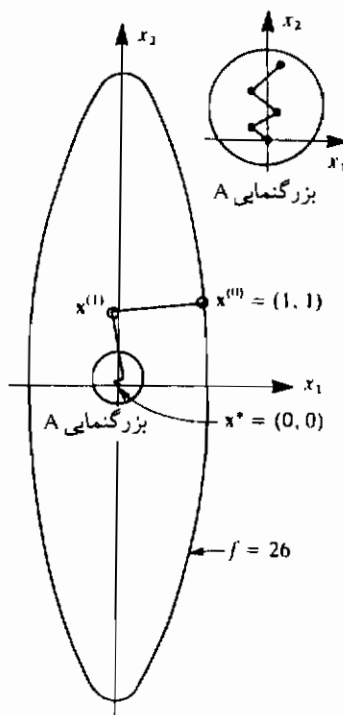
حل. مسأله را با برنامه رایانه ای روش تندترین کاهش (پیوست D) حل می کنیم.

تاریخچه فرآیند چرخه در جدول ۵.۵ داده شده است. به ناکارابودن روش برای چنین تابع هزینه درجه دوی ساده ای توجه کنید. شکل ۱۴.۵ خطوط هزینه ثابت تابع هزینه و پیشرفت روش را از طراحی اولیه نشان می دهد. هسبان  $f(x_1, x_2)$  عبارت است از

$$\mathbf{H} = \begin{bmatrix} 50 & 0 \\ 0 & 2 \end{bmatrix}$$

حال بیاییم متغیرهای طراحی جدید  $x_1$  و  $x_2$  را طوری تعریف کنیم که

$$\mathbf{x} = \mathbf{Dy} \quad \text{در حالی که} \quad \mathbf{D} = \begin{bmatrix} \frac{1}{\sqrt{50}} & 0 \\ 0 & \frac{1}{\sqrt{2}} \end{bmatrix}$$



شکل ۰.۱۴ تاریخچه چرخه برای مثال ۰.۱۱ با روش تندترین کاهش

دقّت کنید که به طور کلی اگر هسیان یک ماتریس قطری است، ما ممکن است از  $i = 1 \text{ تا } n$  برای  $D_{ii} = 1 / \sqrt{H_{ii}}$  استفاده کنیم پس،  $x_1 = y_1 / \sqrt{50}$  و  $x_2 = y_2 / \sqrt{2}$

$$f(y_1, y_2) = \frac{1}{2}(y_1^2 + y_2^2)$$

با روش تندترین کاهش نقطه مینیمم  $(y_1, y_2) f$  می‌تواند در یک چرخه به دست آید. نقطه بهین در فضای طراحی جدید عبارت است از  $(0, 0)$ . برای به دست آوردن نقطه بهین در فضای طراحی اصلی، باید متغیرهای طراحی تبدیل یافته را مقیاس بندی معکوس کنیم، یعنی

$$x_1^* = y_1 / \sqrt{50} = 0 \quad \text{و} \quad x_2^* = y_2 / \sqrt{2} = 0$$

**مثال ۵.۱۲ تأثیر ماتریس بندی مدل فیلترهای طراحی.**تابع  $f(x_1, x_2) = x_1^2 - 6x_1x_2 + 2x_2^2 - 5x_1 + 4x_2 + 2$  با طراحی شروع  $(-1, -1)$  مینیمم کنید. متغیرهای طراحی را طوری مقیاس بندی کنید که عدد شرطی ماتریس هسیان تابع  $f$  بر حسب متغیرهای جدید واحد شود.

حل. دقت کنید که تابع  $f$  در این مسأله برخلاف مسأله قبل شامل جمله حاصل ضرب  $x_1x_2$  است. پس، باید مقادیر ویژه و بردارهای ویژه ماتریس هسیان را محاسبه کنیم تا مقیاس بندی یا تبدیل مناسب متغیرهای طراحی را پیدا کنیم. هسیان  $H$  تابع  $f$  عبارت است از

$$H = \begin{bmatrix} 12 & -6 \\ -6 & 4 \end{bmatrix}$$

مقادیر ویژه هسیان می‌تواند محاسبه شود که عبارتند از ۰.۷۸۸۹ و ۱۵.۲۱۱. بردارهای ویژه مربوطه عبارت است از  $(0.4718, 0.8817)$  و  $(0.4718, -0.8817)$  بگذارید متغیرهای جدید  $y_1$  و  $y_2$  را با تبدیل زیر تعریف کنیم

$$x = Qy \quad (\text{الف})$$

که در آن

$$Q = \begin{bmatrix} 0.4718 & -0.8817 \\ 0.8817 & 0.4718 \end{bmatrix}$$

دقت کنید که ستونهای  $Q$  بردارهای ویژه ماتریس هسیان  $H$  است. تبدیل متغیرها که با معادله (الف) تعریف می‌شود تابع را بر حسب  $y_1$  و  $y_2$  می‌دهد

$$f(y_1, y_2) = 0.5(0.7889y_1^2 + 15.211y_2^2) + 1.1678y_1 + 6.2957y_2 + 2$$

عدد شرطی ماتریس هسیان متغیرهای جدید  $y_1$  و  $y_2$  هنوز واحد نیست. برای رسیدن به عدد شرطی واحد باید تبدیل دیگری از  $y_1$  و  $y_2$  تعریف کنیم، طوری که

$$y = Dz$$

که در آن

$$D = \begin{bmatrix} \frac{1}{\sqrt{0.7889}} & 0 \\ 0 & \frac{1}{\sqrt{15.211}} \end{bmatrix}$$

### سرانجام متغیرهای طراحی عبارتند از

$$y_1 = \frac{z_1}{\sqrt{0.7889}} \quad \text{و} \quad y_2 = \frac{z_2}{\sqrt{15.211}}$$

و  $y_2^2 + 1.6142z_1 + 1.3148z_2 = 0.5(z_1^2 + z_2^2) + 1.3148z_1 + 1.6142z_2$  دقت کنید که عدد شرطی هسیان بر حسب متغیرهای  $z_1$  و  $z_2$  واحد است. روش تندترین کاهش به جواب  $(z_1, z_2)^T$  در یک چرخه همگرا می شود که عبارت است از  $(-1.6158, -1.3158)$ . نقطه مینیمم در فضای طراحی اصلی با تبدیل معکوس زیر به دست می آید

$$\mathbf{x} = \mathbf{QDz}$$

که این در فضای طراحی اصلی نقطه مینیمم  $(\frac{3}{2}, -\frac{1}{2})$  را می دهد.

### ۵.۵ روش گرادیان مزدوج

روش گرادیان مزدوج، منسوب به فلتچر و ریوس<sup>[۱۹۶۴]</sup>، یک روش بسیار ساده و بهبود یافته مؤثری از روش تندترین کاهش است. در بخش قبل یادآوری شد که جهتهای تندترین کاهش دو گام متوالی برهم عمودند. این روش تندترین کاهش را آهسته می سازد هر چند که همگراست. جهتهای گرادیان مزدوج برهم عمود نیستند. در عوض، این جهتها، جهتهای متعامد تندترین کاهش را به شکل قطری می پسایند. بنابراین، آنها نرخ همگرای روش تندترین کاهش را به طور قابل توجهی بهبود می بخشدند. در حقیقت، جهتهای گرادیان مزدوج نسبت به ماتریس متقارن معین مثبت  $A$  متعامدند، یعنی  $\mathbf{d}^T A \mathbf{d} = 0$  برای تمامی  $\mathbf{d}$  ها و  $\mathbf{z} \neq 0$ .

الگوریتم گرادیان مزدوج به شکل زیر بیان می شود.

گام ۱. یک طرح اولیه مثل  $\mathbf{x}^{(0)}$  حدس بزنید. شمارنده چرخه را صفر قرار دهید  $k = 0$ . پارامتر همگرای  $\epsilon$  را انتخاب کنید. عبارت زیر را محاسبه کنید

$$\mathbf{d}^{(0)} = -\mathbf{c}^{(0)} \equiv -\nabla f(\mathbf{x}^{(0)})$$

بررسی کنید و بینید که آیا  $\| \mathbf{d}^{(0)} \| \leq \epsilon$  است یا نه. اگر هست متوقف شوید؛ در غیر این صورت، به گام ۲ بروید (دقّت کنید که گام ۱ گرادیان مزدوج و روش تندترین کاهش یکسان است).

روش‌های عددی برای طراحی بهین نامفاید.

**گام ۲.** گرادیان تابع هزینه را حساب کنید.

$$\mathbf{e}^{(k)} = \nabla f(\mathbf{x}^{(k)})$$

$\|\mathbf{e}^{(k)}\|$  را محاسبه کنید. اگر  $\epsilon < \|\mathbf{e}^{(k)}\|$  باشد آن گاه متوقف شوید؛ در غیر این صورت ادامه دهید.

**گام ۳.** جهت مزدوج جدید را محاسبه کنید

$$\mathbf{d}^{(k)} = -\mathbf{e}^{(k)} + \beta_k \mathbf{d}^{(k-1)} \quad (5.38)$$

در حالی که

$$\beta_k = (\|\mathbf{e}^{(k)}\| / \|\mathbf{e}^{(k-1)}\|)^2 \quad (5.39)$$

**گام ۴.**  $\alpha_i = \alpha$  را چنان باید که  $(\mathbf{x}^{(k)} + \alpha \mathbf{d}^{(k)})^T f$  مینیمم شود.

**گام ۵.** طرح را مانند زیر تغییر دهید

$$\mathbf{x}^{(k+1)} = \mathbf{x}^{(k)} + \alpha_k \mathbf{d}^{(k)} \quad (5.40)$$

$k = k + 1$  قرار داده و به گام ۲ بروید.

دقت کنید که جهت مزدوج در معادله (۵.۳۸) شرط کاهش نامعادله (۵.۸) را برآورده می‌کند. این را می‌توان با جایگزینی  $\mathbf{d}^{(k)}$  از معادله (۵.۳۸) در نامعادله (۵.۸)، و با استفاده از شرط تعیین اندازه گام معادله (۵.۱۵) نشان داد.

اوکین گام روش گرادیان همان گام روش تندترین کاهش است. تنها تفاوت بین گرادیان مزدوج و روش تندترین کاهش در معادله (۳.۳۸) است. در این گام جهت تندترین کاهش فعلی با اضافه کردن یک جهت مقیاس بندی شده به چرخه قبلی بهبود می‌یابد. ضریب مقیاس همچنان که در معادله (۵.۳۹) نشان داده شده است، با استفاده از طول بردار گرادیان تابع هزینه در دو چرخه به دست می‌آید. پس جهت مزدوج چیزی جز جسمت تندترین کاهش مایل شده نیست. این یک بهبود بسیار ساده است که به محاسبات اضافی کمی نیاز دارد. در هر حال این کار پیشرفتی، قابل توجه و مؤثر در نرخ روش تندترین کاهش است. بنابراین، روش گرادیان مزدوج همیشه باید بر روش تندترین کاهش ترجیح داده شود. در بعض آینده مثالی بحث خواهد شد که در آن نرخ همگرایی روش‌های تندترین کاهش، گرادیان مزدوج و نیوتون مقایسه می‌شود. در آن جا خواهیم دید که روش گرادیان مزدوج در مقایسه با دو روش دیگر بسیار بهتر است.

الگوریتم گرادیان مزدوج مینیمم را برای یک شکل درجه دوی معین مشتب که «متغیر طراحی دارد در چرخه می‌یابد. برای معادلات عمومی، توصیه می‌شود که برای پایداری

محاسبات، فرآیند چرخه هر  $(1+ii)$  چرخه اگر تا آن زمان مینیمم پیدا نشده بود مجدداً شروع شود. یعنی  $x^{(i+1)} = x^{(i)}$  قرار داده و فرآیند را از گام ۱ الگوریتم دوباره شروع کنید. الگوریتم خیلی ساده است و بر احتی قابل برنامه ریزی است و برای مسائل مینیمم سازی نامقید عمومی بسیار مناسب است. الگوریتم یک الگوریتم همگراست و در سیستم نرم افزار آی دی زاین<sup>۱</sup> [آرورا و سنج، ۱۹۸۷] جایی که یک جست و جوی خطی غیردقیق استفاده شده در دسترس است.

**مثال ۵.۱۳** استفاده از الگوریتم گرادیان مزدوج. مسئله مثال حل شده ۱۰.۵ را در نظر بگیرید:

$$\text{تابع } f(x_1, x_2, x_3) = x_1^2 + 2x_2^2 + 2x_3^2 + 2x_1x_2 + 2x_2x_3 \text{ را مینیمم کنید.}$$

دو چرخه از روش گرادیان مزدوج را انجام دهید و از طرح (2, 4, 10) شروع کنید.

حل. اوّلین چرخه از روش گرادیان مزدوج مانند مثال ۱۰.۵ است:

$$\mathbf{c}^{(0)} = (12, 40, 48); \quad \|\mathbf{c}^{(0)}\| = 63.6, \quad f(\mathbf{x}^{(0)}) = 332.0$$

$$\mathbf{x}^{(1)} = (0.0956, -2.348, 2.381)$$

چرخه دوم از گام ۲ الگوریتم گرادیان مزدوج شروع می شود:

$$\mathbf{c}^{(1)} = (-4.5, -4.438, 4.828), \quad f(\mathbf{x}^{(1)}) = 10.75$$

$$\|\mathbf{c}^{(1)}\| = 7.952 > \epsilon, \quad \text{پس ادامه می دیم},$$

$$\begin{aligned} \beta_1 &= [\|\mathbf{c}^{(1)}\| / \|\mathbf{c}^{(0)}\|]^2 \\ &= (7.952/63.3)^2 = 0.015633 \end{aligned}$$

$$\begin{aligned} \mathbf{d}^{(1)} &= -\mathbf{c}^{(1)} + \beta_1 \mathbf{d}^{(0)} \\ &= \begin{bmatrix} 4.500 \\ 4.438 \\ -4.828 \end{bmatrix} + (0.015633) \begin{bmatrix} -12 \\ -40 \\ -48 \end{bmatrix} = \begin{bmatrix} 4.31241 \\ 3.81268 \\ -5.57838 \end{bmatrix} \end{aligned}$$

طرح به شکل زیر روزآمد می شود

$$\mathbf{x}^{(2)} = \begin{bmatrix} 0.0956 \\ -2.348 \\ 2.381 \end{bmatrix} + \alpha \begin{bmatrix} 4.31241 \\ 3.81268 \\ -5.57838 \end{bmatrix}$$

جدول ۵.۰ تاریخچه چرخه‌های مثال ۵.۱۲ با روش گرادیان مزدوج

$$f(\mathbf{x}) = x_1^2 + 2x_2^2 + 2x_3^2 + 2x_1x_2 + 2x_2x_3$$

$x_0$	$x_1$	$x_2$	$x_3$	$f(\mathbf{x})$	$\ \mathbf{e}\ $
1	2.0000E + 00	4.0000E + 00	1.0000E + 01	3.3200E + 02	6.3624E + 01
2	9.5358E - 02	-2.3488E + 00	2.3814E + 00	1.0750E + 01	7.9593E + 00
3	1.4578E + 00	-1.1452E + 00	6.2143E - 01	7.5823E - 01	7.7937E - 01
4	-6.4550E - 10	-5.8410E - 10	-1.3150E - 10	6.8520E - 20	3.0512E - 05

اندازه گام برای مینیمم ساختن  $(\mathbf{x}^{(1)} + \alpha \mathbf{d}^{(1)})$  عبارت است از  $\alpha = 0.3156$ . با جای گزینی این در عبارت بالا، داریم  $(1.4566, -1.1447, 0.6205) = \mathbf{x}^{(2)}$ . با محاسبه گرادیان در این نقطه داریم  $\mathbf{e}^{(2)} = (0.6238, -0.4246, 0.1926)$ ,  $\|\mathbf{e}^{(2)}\| = 0.7788 > \epsilon$  و بدین خاطر نیاز به ادامه چرخه‌ها داریم. دقت کنید  $\mathbf{e}^{(2)}, \mathbf{d}^{(1)}$ .

مسئله با استفاده از روش گرادیان مزدوج که در سیستم نرم افزاری دی زاین در دسترس است با  $\epsilon = 0.005$  حل شده است. جدول ۵.۰ تاریخچه چرخه‌های گرادیان مزدوج را نشان می‌دهد. دیده می‌شود که بهین دقیق با فقط ۴ چرخه و ۱۰ بار محاسبه تابع به دست آمده است. اگر این را با روش تندترین کاهش که نتایج آن در جدول ۵.۳ داده شده مقایسه کنیم، نتیجه می‌گیریم که روش گرادیان مزدوج بمراتب عالی‌تر است.

## ۵.۶ روش نیوتن

برای تعیین جهت حرکت در روش تندترین کاهش، تنها از اطلاعات مشتق مرتبه اول برای نمایش تابع هزینه در یک نقطه استفاده می‌شود. اگر مشتقان مرتبه دو در دسترس باشند، ما می‌توانیم آنها را برای نمایش دقیقتر صفحه هزینه استفاده کنیم و جهت حرکت بهتری می‌تواند یافته شود. با ورود اطلاعات مرتبه دو می‌توان انتظار نرخ همگرانی بهتری داشت. به عنوان مثال، روش نیوتن که از ماتریس هسیان تابع استفاده می‌کند نرخ همگرانی درجه دو دارد. به عبارت دیگر، برای هر تابع درجه دوی معین مشبت، روش نیوتن تنها در یک چرخه همگرا می‌شود، و اندازه گام واحد خواهد بود.

پندازه اصلی روش نیوتن استفاده از بسط تیلور مرتبه دو برای تابع حول نقطه طراحی فعلی است. این بسط شامل عبارتی درجه دو برای تغییر طراحی  $\Delta x$  است. از حل معادلات

شرط لازم برای مینیمم سازی تابع، جهت حرکت در فضای طراحی محاسبه می‌شود. اندازه گام مناسب در این جهت یک چرخه از روش را کامل می‌کند.

در زیر، ما شناسه<sup>(۴)</sup>  $\mathbf{x}$  را از تمامی توابع حذف می‌کنیم، زیرا به دست آوردن روابط زیر در هر چرخه طراحی امکان پذیر است. با استفاده از بسط تیلور مرتبه دو برای تابع  $f(\mathbf{x})$ .

$$f(\mathbf{x} + \Delta\mathbf{x}) = f(\mathbf{x}) + \mathbf{c}^T \Delta\mathbf{x} + 0.5 \Delta\mathbf{x}^T \mathbf{H} \Delta\mathbf{x} \quad (5.41)$$

که در آن  $\Delta\mathbf{x}$  تغییر کوچکی در طراحی و  $\mathbf{H}$  هسیان تابع  $f$  در نقطه  $\mathbf{x}$  (که گاهی با  $\nabla^2 f$  نشان داده می‌شود) می‌باشد. معادله (۵.۴۱) یک تابع درجه دو بر حسب  $\Delta\mathbf{x}$  است. نظریه مسائل برنامه‌ریزی محدب در فصل (۳) تضمین می‌کند که اگر  $\mathbf{H}$  نیمه معین مثبت باشد، آن گاه  $\Delta\mathbf{x}$  ای وجود دارد که یک مینیمم فراگیر برای تابع معادله (۵.۴۱) است. به علاوه، اگر  $\mathbf{H}$  معین مثبت باشد آن گاه مینیمم معادله (۵.۴۱) یگانه است. با نوشتن شرایط بهینگی  $0 = \frac{\partial f}{\partial (\Delta\mathbf{x})}$  برای تابع معادله (۵.۴۱) داریم

$$\mathbf{c} + \mathbf{H}\Delta\mathbf{x} = \mathbf{0} \quad (5.42)$$

فرض می‌کنیم  $\mathbf{H}$  غیرمنفرد باشد، در آن صورت عبارت زیر را برای  $\Delta\mathbf{x}$  می‌یابیم

$$\Delta\mathbf{x} = -\mathbf{H}^{-1}\mathbf{c} \quad (5.43)$$

با استفاده از این مقدار  $\Delta\mathbf{x}$ ، تخمین جدید برای طراحی عبارت است از

$$\mathbf{x}^{(1)} = \mathbf{x}^{(0)} + \Delta\mathbf{x} \quad (5.44)$$

چون معادله (۵.۴۱) فقط یک تقریب برای  $f$  در نقطه<sup>(۵)</sup>  $\mathbf{x}$  است،  $\mathbf{x}^{(1)}$  شاید نقطه مینیمم دقیق برای  $f$  نباشد. بنابراین، فرآیند برای به دست آوردن تخمین بهتر باید تکرار شود تا به مینیمم برسد.

هر چرخه روش نیوتن به محاسبه هسیان تابع هزینه که یک ماتریس متقارن است نیاز دارد. بنابراین، روش نیوتن به  $2/(1 + n)/n$  بار محاسبه مشتق مرتبه دو ( $\mathbf{H}$ ) (یادآور می‌شود که  $n$  تعداد متغیرهای طراحی است) نیاز دارد. این کار می‌تواند حجم محاسبات قبل توجهی را دربر گیرد و ما باید سعی کنیم بازده روش را قبل از محاسبه مجدد اطلاعات مرتبه دو بهبود بخشیم. یک روش ساده برای بهبود روش استفاده از پارامتر طول گام در جهت  $\Delta\mathbf{x}$  است. طول گام می‌تواند طوری محاسبه شود که تابع هزینه را در جهت  $\Delta\mathbf{x}$  مینیمم کند. هر روش

جست و جوی یک بعدی می‌تواند بدین منظور استفاده شود. علاوه بر بهبود بازده، در صورتی که هسیان  $H$  در تمامی چرخه‌ها معین مثبت بماند استفاده از اندازه گام، روش را بسیار پایدار و همگرانی اش را برای یک نقطه مینیمم و با شروع از هر نقطه طراحی تضمین می‌کند. روش نیوتون کلاسیک اندازه گام در جهت  $\Delta x$  را واحد می‌گیرد. با این‌همه، یک گام کامل در امتداد  $\Delta x$  ممکن است به یک گام کاهشی برای تابع هزینه منجر نشود، یعنی  $(x + \Delta x)^f < f(x)$  ممکن است کوچکتر از  $f(x)$  نباشد. بنابراین، همگرانی روش نیوتون کلاسیک تضمین نمی‌شود.

الگوریتم نیوتون بهبود یافته به شکل زیر بیان می‌شود.

**گام ۱.** برای طراحی شروع<sup>(۱)</sup>  $x^0$  یک حدس مهندسی بزنید. شمارنده چرخه را  $k = 0$  قرار دهید. مقدار خطای  $\epsilon$  را برای معیار توقف انتخاب کنید.

**گام ۲.**  $c_i^{(k)} = \frac{\partial f(x^{(k)})}{\partial x_i}$  را برای  $i = 1 \text{ to } n$  محاسبه کنید. اگر  $\|c^{(k)}\| < \epsilon$  است آن‌گاه فرآیند چرخه را متوقف کنید. در غیر این صورت ادامه دهید.

**گام ۳.** ماتریس هسیان را از رابطه زیر محاسبه کنید.

$$H(x^{(k)}) = \left[ \frac{\partial^2 f}{\partial x_i \partial x_j} \right]; \quad i = 1 \text{ to } n; \quad j = 1 \text{ to } n$$

**گام ۴.** با استفاده از معادله<sup>(۲)</sup> (۵.۴۳) جهت حرکت را در فضای طراحی محاسبه کنید؛ یعنی

$$d^{(k)} = -H^{-1}c^{(k)} \quad (5.45)$$

دقّت کنید که محاسبه<sup>(۳)</sup>  $d$  در معادله فوق نمادی است. برای کارایی محاسباتی، به جای محاسبه معکوس ماتریس هسیان یک دستگاه معادلات همزمان خطی حل می‌شود.

**گام ۵.** طراحی را روزآمد کنید، یعنی  $x^{(k+1)} = x^{(k)} + \alpha d^{(k)}$  در حالی که  $\alpha$  برای مینیمم کردن  $(x^{(k)} + \alpha d^{(k)})^f$  محاسبه می‌شود. برای محاسبه  $\alpha$  یک روش جست و جوی یک بعدی ممکن است استفاده شود. برای شروع،  $\alpha = 1$  یک حدس اولیه خوب برای اندازه گام است.

**گام ۶.** شمارنده را یکی افزایش دهید،  $k = k + 1$  و به گام ۲ بروید.

در اینجا تأکید می‌شود که بجز وقتی  $H$  معین مثبت است، جهت  $d^{(k)}$  که از معادله (۵.۴۵) به دست می‌آید ممکن است کاهش تابع هزینه را به دنبال نداشته باشد. برای دیدن این،

$\mathbf{d}^{(k)}$  را از معادله (۵.۴۵) در شرط کاهشی معادله (۵.۸) جایگزین می‌کنیم، داریم

$$-\mathbf{c}^{(k)\top} \mathbf{H}^{-1} \mathbf{c}^{(k)} < 0$$

این شرط وقتی  $\mathbf{H}$  معین مثبت است همیشه برآورده خواهد شد. اگر  $\mathbf{H}$  معین منفی یا نیمه معین منفی باشد شرط همیشه تقضی می‌شود. با  $\mathbf{H}$  نامعین یا نیمه معین مثبت، شرط ممکن است برآورده شود و یا نشود، پس باید آن را بررسی کرد. اگر جهتی که در گام ۴ به دست آمد برای تابع هزینه کاهشی نباشد، آن گاه باید متوقف شویم، زیرا یک اندازه گام مثبت نمی‌تواند به دست آید.

مثال ۵.۱۳ استفاده از روش نیوتن بهبود یافته تابع ۷  $f(\mathbf{x}) = 3x_1^2 + 2x_1x_2 + 2x_2^2$

با استفاده از الگوریتم نیوتن بهبود یافته و با شروع از نقطه (10, 5) مینیمم کنید.

$$\epsilon = 0.0001 \text{ را به عنوان معیار توقف به کار ببرید.}$$

حل. گامهای روش نیوتن بهبود یافته را دنبال می‌کنیم.

۱. عبارت از (10, 5)  $\mathbf{x}^{(0)}$  عبارت است از

۲. بردار گرادیان  $\mathbf{c}^{(0)}$  در نقطه (10, 5) عبارت است از

$$\mathbf{c}^{(0)} = (6x_1 + 2x_2, 2x_1 + 4x_2) = (50, 50)$$

$$\|\mathbf{c}^{(0)}\| = \sqrt{50^2 + 50^2} = 50\sqrt{2} > \epsilon$$

بنابراین، معیار همگرایی برآورده نشده است.

۳. ماتریس هسیان در نقطه (10, 5) عبارت است از

$$\mathbf{H}^{(0)} = \begin{bmatrix} 6 & 2 \\ 2 & 4 \end{bmatrix}$$

دقّت کنید که هسیان معین مثبت است.

۴. جهت تغییر طراحی عبارت است از

$$\mathbf{d}^{(0)} = -\mathbf{H}^{-1} \mathbf{c}^{(0)} = \frac{-1}{20} \begin{bmatrix} 4 & -2 \\ -2 & 6 \end{bmatrix} \begin{bmatrix} 50 \\ 50 \end{bmatrix} = \begin{bmatrix} -5 \\ -10 \end{bmatrix}$$

دقّت کنید که چون  $\mathbf{H}$  معین مثبت است، جهت  $\mathbf{d}^{(0)}$  برای تابع هزینه کاهشی است.

۵. اندازه گام  $\alpha$  برای مینیمم شدن  $f(\mathbf{x}^{(0)} + \alpha \mathbf{d}^{(0)})$  محاسبه می‌شود:

$$\mathbf{x}^{(1)} = \mathbf{x}^{(0)} + \alpha \mathbf{d}^{(0)}$$

$$= \begin{bmatrix} 5 \\ 10 \end{bmatrix} + \alpha \begin{bmatrix} -5 \\ -10 \end{bmatrix} = \begin{bmatrix} 5 - 5\alpha \\ 10 - 10\alpha \end{bmatrix}$$

$$\frac{df}{d\alpha} = 0; \quad \text{یا} \quad \nabla f(\mathbf{x}^{(1)}) \cdot \mathbf{d}^{(0)} = 0$$

با استفاده از محاسبات گام ۲،  $\nabla f(\mathbf{x}^{(1)})$  عبارت است از

$$\nabla f(\mathbf{x}^{(1)}) = \begin{bmatrix} 6(5 - 5\alpha) + 2(10 - 10\alpha) \\ 2(5 - 5\alpha) + 4(10 - 10\alpha) \end{bmatrix} = \begin{bmatrix} 50 - 50\alpha \\ 50 - 50\alpha \end{bmatrix}$$

بنابراین

$$\nabla f(\mathbf{x}^{(1)}) \cdot \mathbf{d}^{(0)} = (50 - 50\alpha, 50 - 50\alpha) \begin{bmatrix} -5 \\ -10 \end{bmatrix} = 0$$

$$\text{یا } -5(50 - 50\alpha) - 10(50 - 50\alpha) = 0$$

از حل معادله فوق داریم  $\alpha = 1$ . دقت کنید که از روش جست و جوی بخش طلایی نیز  $\alpha = 1$  به دست می‌آید؛ بنابراین

$$\mathbf{x}^{(1)} = \begin{bmatrix} 5 - 5\alpha \\ 10 - 10\alpha \end{bmatrix} = \begin{bmatrix} 0 \\ 0 \end{bmatrix}$$

گرادیان تابع هزینه در  $\mathbf{x}^{(1)}$  عبارت است از

$$\mathbf{c}^{(1)} = \begin{bmatrix} 50 - 50\alpha \\ 50 - 50\alpha \end{bmatrix} = \begin{bmatrix} 0 \\ 0 \end{bmatrix}$$

چون  $\|\mathbf{c}^{(1)}\| < \epsilon$ ، روش نیوتون تنها در یک چرخه جواب داده است. چنین حالتی کمتر اتفاق می‌افتد و در اینجا به سبب درجه دو و معین مثبت بودن شکل تابع بوده است (هسیان همه جا معین مثبت است).

یک برنامه رایانه‌ای براساس روش نیوتون بهبود یافته در پیوست D داده شده که سه برنامه فرعی فانکت، گرید و هاسن<sup>۱</sup> را باید کاربر تهیه کند. این برنامه‌های فرعی به ترتیب تابع، گرادیان و ماتریس هسیان تابع هزینه را ارزیابی می‌کنند.

### منوال ۵.۱۵ استفاده از روش نیوتون بهبود یافته. تابع

$$f(\mathbf{x}) = 10x_1^4 - 20x_1^2x_2 + 10x_2^2 + x_1^2 - 2x_1 + 5$$

روش نیوتون بهبود یافته که در پیوست D داده شده و با شروع از نقطه  $(-1, 3)$  مینیمم

کنید. برای پیدا کردن اندازه گام از جست و جوی بخش طلایع با  $\delta = 0.05$  و دقت  $\epsilon = 0.005$  استفاده شود. برای معیار توقف در نظر بگیرید.

حل. دقت کنید که  $f(x)$  تابعی درجه دو از متغیرهای طراحی نیست. پس نمی‌توانیم انتظار داشته باشیم روش نیوتن در یک چرخه همگرا شود. گرادیان  $(x)f$  عبارت است از

$$\mathbf{c} = \nabla f(\mathbf{x}) = (40x_1^3 - 40x_1x_2 + 2x_1 - 2, -20x_1^2 + 20x_2)$$

و هسیان ماتریس  $(x)f$  عبارت است از

$$\mathbf{H} = \nabla^2 f(\mathbf{x}) = \begin{bmatrix} 120x_1^2 - 40x_2 + 2 & -40x_1 \\ -40x_1 & 20 \end{bmatrix}$$

تاریخچه چرخه روش نیوتن برای این مثال در جدول ۵.۶ داده شده است.

نقطه بهین (۱، ۱) و مقدار بهین  $(x)f$  عبارت است از ۴.۰. روش نیوتن در هفت چرخه به جواب بهین همگرا شده است. شکل ۱۵.۵ خطوط هزینه ثابت را برای تابع و پیشرفت روش را از نقطه طراحی شروع (۳، ۱) نشان می‌دهد. دقت کنید که اندازه گام در مرحله آخر فرآیند چرخه تقریباً برابر یک است. دلیل آن این است که تابع در نزدیکی نقطه بهین شکل تابع درجه دو دارد و اندازه گام برای تابع درجه دو، یک است.

نقاط ضعف روش نیوتن برای کاربردهای عمومی عبارت است از :

۱. به محاسبه مشتقات مرتبه دو در هر چرخه نیاز دارد که معمولاً بسیار وقت گیر است. حتی ممکن است در بعضی از کاربردها، محاسبه آنها امکان پذیر نباشد. همچنین، یک دستگاه معادلات خطی همزمان باید حل شود. بنابراین هر چرخه روش در مقایسه با روش تندترین کاوش به محاسبات زیادتری نیاز دارد.
۲. هیان تابع ممکن است در بعضی از چرخه‌ها مفرد باشد. پس معادله (۵.۴۳) نمی‌تواند برای محاسبه جهت جست و جو به کار رود. همچنین، در صورتی که هسیان معین مثبت نباشد، جهت نیوتن نمی‌تواند کاوش تابع هزینه را تضمین کند.

جدول ۰.۶ جواب بهین برای مثال ۰.۱۵ به روش نیوتن بهبود یافته:

$$f(\mathbf{x}) = 10x_1^4 - 20x_1^2x_2 + 10x_2^2 + x_1^2 - 2x_1 + 5; \mathbf{x}^{(0)} = (-1, 3)$$

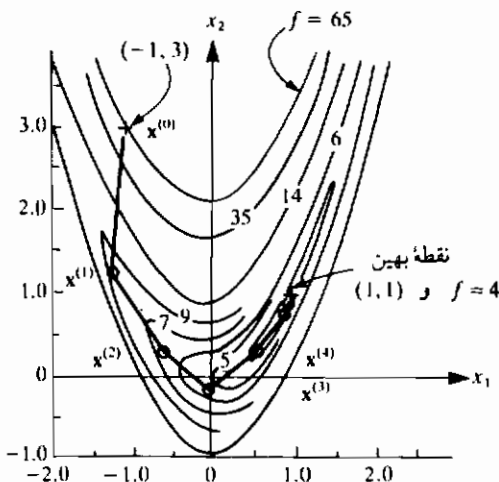
ردیف شماره	$x_1$	$x_2$	$f(\mathbf{x})$	$\alpha$	$\ \mathbf{e}\ $
1	-1.000 00E + 00	3.000 00E + 00	4.800 00E + 01	9.961 01E - 01	8.588 36E + 01
2	-1.051 08E + 00	1.109 96E + 00	8.207 21E + 00	1.901 81E - 01	3.885 43E + 00
3	-6.158 44E - 01	1.940 34E - 01	6.954 06E + 00	1.599 29E + 00	8.630 19E + 00
4	-6.655 13E - 02	-1.862 86E - 01	5.501 25E + 00	3.113 32E + 00	4.639 26E + 00
5	6.231 68E - 01	3.156 68E - 01	4.194 81E + 00	2.146 04E + 00	1.797 58E + 00
6	9.527 89E - 01	8.824 41E - 01	4.008 66E + 00	1.113 63E + 00	1.009 13E + 00
7	9.876 69E - 01	9.771 56E - 01	4.000 18E + 00	9.572 47E - 01	9.641 31E - 02

متغیرهای طراحی بهین:  $9.996\ 81E - 01, 9.998\ 80E - 01$

مقدار تابع هزینه بهین:  $4.000\ 00E + 00$

نرم گرادیان در بهین:  $3.268\ 83E - 03$

تعداد دفعات ارزیابی تابع: ۱۹۸



شکل ۰.۱۵ تاریخچه چرخه برای مثال ۰.۱۵ به روش نیوتن

۳. هر چرخه بدون استفاده از اطلاعات چرخه‌های گذشته کار می‌کند. گرادیانها و هسیانهایی که قبلاً محاسبه شده‌اند استفاده نمی‌شوند. بنابراین روشی بدون حافظه است.

۴. روش همگرا نیست مگر هیجان معین مثبت بماند و یک روش اندازه‌گیری اندازه گام

استفاده شود. با این همه، روش، نرخ همگرانی بالا (درجه دو) دارد. برای یک تابع درجه دوی کاملاً محدب، روش از هر نقطه شروع تنها با یک چرخه همگرا می‌شود.

**مثال ۵.۱۶ مقایسه روش‌های تندترین کاهش، نیوتن و گرادیان مزدوج.**تابع  $f(x_1, x_2) = 50(x_2 - x_1^2)^2 + (2 - x_1)^2$  را با شروع از نقطه  $(5, -5)$  مینیمم کنید. از روش‌های تندترین کاهش، نیوتن و گرادیان مزدوج استفاده کرده و عملکرد آنها را مقایسه کنید.

حل. می‌دانیم که جواب بهین برای مسأله عبارت است از  $(x_1, x_2) = (2, 4)$ . از عبارت دقیق گرادیان و  $\epsilon = 0.005$  استفاده می‌کنیم تا مسأله را با استفاده از روش‌های تندترین کاهش و نیوتن که در پیوست D آمده و روش گرادیان که در آی دی زاین (IDESIGN) در دسترس است حل کنیم. خلاصه نتایج نهایی هر سه روش در جدول ۵.۷ آمده است. برای روش تندترین کاهش،  $\delta = 0.05$  و معیار توقف جست و جوی خطی استفاده شده و برای روش نیوتن آنها به ترتیب عبارتند از ۰.۰۰۵ و ۰.۰۰۰۱. در هر دو روش از جست و جوی بخش طلایی استفاده شده است. دوباره می‌توان دید که روش تندترین کاهش ناکاراترین و گرادیان مزدوج کارترین روش برای این مسأله است. بنابراین، روش گرادیان مزدوج برای کاربردهای عمومی توصیه می‌شود.

جدول ۵.۸ و ۵.۹ تاریخچه چرخه‌ها را برای روش‌های گرادیان مزدوج و نیوتن نشان می‌دهند.

جدول ۵.۷ ارزیابی مقایسه‌ای سه روش برای مثال ۵.۱۶ :

$$f(\mathbf{x}) = 50(x_2 - x_1^2)^2 + (2 - x_1)^2$$

	تندترین کاهش	گرادیان مزدوج	روش نیوتن
$x_1$	1.9941E + 00	2.0000E + 00	2.0000E + 00
$x_2$	3.9765E + 00	3.9998E + 00	3.9999E + 00
$f$	3.4564E - 05	1.0239E - 08	2.5054E - 10
$\ \mathbf{c}\ $	3.3236E - 03	1.2860E - 04	9.0357E - 04
تعداد دفعات			
ارزیابی تابع	138 236	65	349
تعداد چرخه‌ها	9670	22	13

## روشهای عددی برای طراحی بهین نامقید

جدول ۰.۸ تاریخچه چرخه‌ها برای مثال ۰.۱۶ با روش گرادیان مزدوج در آی دی زاین:

$$f(\mathbf{x}) = 50(x_2 - x_1^2)^2 + (2 - x_1)^2$$

شماره	$x_1$	$x_2$	$f(\mathbf{x})$	$\ \mathbf{e}\ $
1	5.0000E + 00	-5.0000E + 00	4.500 90E + 04	3.015 56E + 04
2	8.3032E - 01	-4.5831E + 00	1.391 35E + 03	1.020 07E + 03
3	-2.6902E - 01	-3.9193E + 00	8.018 38E + 02	4.554 50E + 02
4	1.9543E - 01	4.2482E - 02	3.257 37E + 00	3.800 95E + 00
5	2.3653E - 01	2.0314E - 02	3.173 30E + 00	4.011 01E + 00
6	4.4392E - 01	1.2086E - 01	2.711 74E + 00	8.451 04E + 00
7	8.8952E - 01	7.2438E - 01	1.456 72E + 00	1.176 08E + 01
8	8.8169E - 01	7.7490E - 01	1.250 93E + 00	1.818 53E + 00
9	1.0894E + 00	1.1451E + 00	9.162 47E - 01	8.382 04E + 00
10	1.2857E + 00	1.5986E + 00	6.580 01E - 01	1.367 65E + 01
11	1.3261E + 00	1.7676E + 00	4.581 43E - 01	3.838 76E + 00
12	1.4782E + 00	2.1584E + 00	3.077 39E - 01	7.330 75E + 00
13	1.5795E + 00	2.4589E + 00	2.416 86E - 01	1.113 96E + 01
14	1.6437E + 00	2.7122E + 00	1.325 14E - 01	4.303 67E + 00
15	1.7595E + 00	3.0783E + 00	7.329 38E - 02	5.972 70E + 00
16	1.8439E + 00	3.3749E + 00	5.579 89E - 02	9.279 73E + 00
17	1.8946E + 00	3.5934E + 00	1.186 16E - 02	1.725 34E + 00
18	1.9453E + 00	3.7794E + 00	4.200 64E - 03	1.873 03E + 00
19	1.9950E + 00	3.9760E + 00	7.814 25E - 04	1.589 99E + 00
20	1.9923E + 00	3.9692E + 00	5.951 53E - 05	2.794 13E - 02
21	2.0000E + 00	3.9998E + 00	1.023 87E - 08	5.385 26E - 02
22	2.0000E + 00	3.9998E + 00	2.111 92E - 09	1.285 96E - 04

جدول ۰.۹ تاریخچه چرخه‌ها برای مثال ۰.۱۶ به روش نیوتن:

$$f(\mathbf{x}) = 50(x_2 - x_1^2)^2 + (2 - x_1)^2$$

شماره	$x_1$	$x_2$	$f(\mathbf{x})$	$\alpha$	$\ \mathbf{e}\ $
1	5.000 00E + 00	-5.000 00E + 00	4.500 90E + 04	9.999 89E - 01	3.015 56E + 04
2	4.999 00E + 00	2.498 97E + 01	8.994 01E + 00	1.033 37E - 01	6.338 85E + 00
3	4.699 31E + 00	2.199 34E + 01	7.692 35E + 00	1.414 99E + 00	9.054 99E + 01
4	4.317 82E + 00	1.853 55E + 01	5.956 92E + 00	2.538 87E + 00	9.860 86E + 01
5	3.819 68E + 00	1.450 82E + 01	3.645 37E + 00	1.994 32E + 00	6.659 34E + 01
6	3.424 14E + 00	1.164 95E + 01	2.310 69E + 00	2.417 33E + 00	5.484 39E + 01
7	3.019 93E + 00	9.063 13E + 00	1.201 82E + 00	2.212 92E + 00	3.681 41E + 01
8	2.682 27E + 00	7.149 53E + 00	5.670 42E - 01	2.511 19E + 00	2.593 46E + 01
9	2.371 13E + 00	5.593 55E + 00	1.789 43E - 01	2.504 77E + 00	1.464 02E + 01
10	2.130 97E + 00	4.526 55E + 00	2.763 54E - 02	2.398 58E + 00	6.593 78E + 00
11	2.002 64E + 00	4.014 35E + 00	7.218 96E - 04	9.862 71E - 01	1.555 90E + 00
12	1.998 45E + 00	3.993 85E + 00	2.451 27E - 06	9.947 86E - 01	1.718 63E - 02
13	2.000 00E + 00	3.999 99E + 00	2.505 38E - 10	—	9.035 71E - 04

۵.۶.۱۰ بهبود مارکوارت<sup>۱</sup>

چنان که قبلاً بیان شد روش نیوتون معاویب متعددی دارد که می‌تواند از نظر عددی مشکلاتی به بار آورد. به عنوان مثال، اگر هسیان تابع هزینه  $H$  معین مثبت نباشد جهتی که از معادله (۵.۴۵) به دست می‌آید ممکن است جهت کاهشی برای تابع هزینه نباشد. در آن حالت، نمی‌توان در آن امتداد گامی برداشت.

مارکوارت [۱۹۶۳] بهبودی برای فرآیند یافتن جهت پشننهاد کرد که مزایای روش‌های تندترین کاهش و نیوتون را دارد. این روش در فواصل دور از نقطه جواب مثل روش تندترین کاهش عمل می‌کند که برای آن فواصل بسیار خوب است. در تزدیکی نقطه جواب مثل روش نیوتون عمل می‌کند که در آن جا بسیار کارا است. در روش بهبود یافته، هسیان به شکل  $(H + \lambda I)$  بهبود می‌یابد که در آن  $\lambda$  عددی مثبت است. جهت جست و جو آن گاه از معادله (۵.۴۵) به شکل زیر محاسبه می‌شود

$$d^{(k)} = -(H + \lambda I)^{-1} e^{(k)} \quad (5.46)$$

دقّت کنید وقتی  $\lambda$  بزرگ است، اثر  $H$  در حقیقت ازین می‌رود و  $d^{(k)}$  می‌شود  $(\lambda^{-1})e^{(k)}$ ، که جهت تندترین کاهش است با اندازه گام  $(1/\lambda)$ . همچنان که الگوریتم پیش می‌رود،  $\lambda$  کاهش پیدا می‌کند (یعنی اندازه گام افزایش پیدا می‌کند). وقتی  $\lambda$  به اندازه کافی کوچک شود، اثر  $\lambda I$  ازین می‌رود و از معادله (۵.۴۶) جهت نیوتون به دست می‌آید. اگر جهت  $d^{(k)}$  معادله (۵.۴۶) تابع هزینه را کم نکند، آن گاه  $\lambda$  افزایش پیدا کرده (اندازه گام کاهش یافته) و جهت دوباره محاسبه می‌شود.

الگوریتم مارکوارت در گامهای زیر ارائه می‌شود.

**گام ۱.** حدسی مهندسی برای طراحی شروع  $x^{(0)}$  بزنید. شمارنده چرخه را مساوی صفر قرار دهید،  $k = 0$ . مقدار خطأ،  $\epsilon$  را به عنوان معیار توقف و  $\lambda$  را یک عدد بزرگ (مثل  $1.0E+04$ ) انتخاب کنید.

**گام ۲.**  $f(x^{(k)}) / \partial x_i ; i = 1 \text{ to } n$  را محاسبه کنید. اگر  $\|e^{(k)}\| < \epsilon$  است فرآیند چرخه را متوقف کنید. در غیر این صورت ادامه دهید.

**گام ۳.** از رابطه زیر ماتریس هسیان را محاسبه کنید.

$$\mathbf{H}(\mathbf{x}^{(k)}) = \left[ \frac{\partial^2 f}{\partial x_i \partial x_j} \right]; \quad i = 1 \text{ to } n; \quad j = 1 \text{ to } n$$

گام ۴. از رابطه زیر جهت تغییر را محاسبه کنید.

$$\mathbf{d}^{(k)} = -(\mathbf{H} + \lambda_k \mathbf{I})^{-1} \mathbf{c}^{(k)}$$

گام ۵. اگر  $(\mathbf{x}^{(k+1)} - \mathbf{x}^{(k)})^T \mathbf{f}'(\mathbf{x}^{(k)}) \mathbf{f}$  است، آن گاه به گام ۶ بروید. در غیر این صورت،  $\lambda_k = 2\lambda_k$  قرار دهید و به گام ۴ بروید.

گام ۶.  $\lambda_{k+1} = 0.5\lambda_k$  و  $k = k + 1$  قرار دهید و به گام ۲ بروید.

## ۵.۷۰ روشهای شبی نیوتن

در بخش ۴.۵ روشن ترین کاهش تشریح شد. بعضی از عیوب روش نیز بیان شد.

گفته شد که روش نرخ همگرایی پایینی دارد، زیرا فقط از اطلاعات مرتبه اول استفاده می‌شود. این نقص در روش نیوتن رفع شد، زیرا در آن اطلاعات مرتبه دوم استفاده می‌شود. روش نیوتن خاصیت همگرایی خوبی دارد. با این همه، این روش می‌تواند ناکارا باشد، زیرا به  $n/(n+1)$  بار محاسبه مشتق دوم («تعداد متغیرهای طراحی است») نیاز دارد. برای بیشتر مسائل طراحی مهندسی، محاسبه مشتقات مرتبه دوم می‌تواند نه تنها خسته کننده بلکه ناممکن باشد. به علاوه، هم روش ترین کاهش و هم نیوتن فرآیندهای خودآموزی نیستند. یعنی در هر دو روش هر چرخه با متغیرهای طراحی جدیدی شروع می‌شود و از اطلاعات چرخه‌های قبل استفاده نمی‌کند. همچنین، اگر هیان تابع در چرخه‌ای منفرد باشد، روش نیوتن دچار مشکل می‌شود.

روشهایی که در این زیربخش ارائه می‌شود فقط نیاز به محاسبه مشتقات اول دارند. ولی با استفاده از اطلاعات چرخه‌های گذشته، همگراشدن به طرف مینیمم، سرعت می‌یابد. یکی از روشها برای ماتریس مشتقات دوم تابع هزینه یک مقدار تقریبی به کار می‌برد. بنابراین، این روشها فرآیندهای خودآموزی دارند، زیرا آنها اطلاعات را از چرخه‌های قبلی جمع می‌کنند. با توجه به موارد پیش گفته شده، روشی که این جا ارائه می‌شود مزایای هر دو روش ترین کاهش و نیوتن را دارد. آنها همچنین روشهای شبی نیوتن یا به هنگام نامیده می‌شوند. آنها مشتقات مرتبه اول را برای تقریب زدن ماتریس هسیان به کار می‌برند.

این روشها در ابتدا برای تابع درجه دوی معین مثبت تدوین شدند. برای چنان توابعی این روشها حداکثر در «چرخه که» تعداد متغیرهای طراحی است به بین دقیق همگرا می‌شوند. این عملکرد مطلوب در مورد توابع هزینه کلی اتفاق نمی‌افتد. ولی یک تابع هزینه کلی نزدیک به نقطه مینیمم خود بسیار شبیه به یک تابع درجه دوی معین مثبت است. بنابراین وقتی که نزدیک نقطه بین هستیم عملکرد مشابهی را می‌توان برای آن توابع انتظار داشت. برای یک تابع غیر محدب تضمینی برای همگرایی در «چرخه وجود ندارد. اگر روش همگرا نبود، عموماً در هر  $(1 + n)$  امین چرخه دوباره شروع می‌شود.

چندین روش برای تقریب هسیان یا وارون آن وجود دارد. پنداره اصلی این است که تقریب فعلی را با تغییر طراحی و بردار گرادیان بهنگام کنیم؛ در حالی که خواص تقارن و معین مثبت حفظ شوند. معین مثبت بودن ضروری است، زیرا بدون آن جهت جست و جو ممکن است برای تابع هزینه کاهشی نباشد. ما در روش از مشهورترین آنها را در قالب روش‌های بهنگام تشریح خواهیم کرد.

### ۵.۷.۲ روش دیویدان-فلتچر-پاول<sup>۱</sup>

روشی که ابتدا توسط دیویدان [۱۹۵۹] پیشنهاد شد، توسط فلتچر و پاول [۱۹۶۳] تکمیل و اصلاح شد که آن روش در اینجا ارائه می‌شود. این روش یکی از قدرتمندترین روش‌های مینیمم سازی تابع عمومی  $(x)$  است. این روش وارون تقریبی هسیان  $(x)$  را با استفاده از تنها مشتقهای اوک تشکیل می‌دهد. این روش اغلب روش دی اف پی (DFP) (دیویدان، فلتچر و پاول) نامیده می‌شود. گامهای این روش عبارت است از:

گام ۱ . طراحی اوکیه  $(x)$  را حدس بزنید. به عنوان حدس اوکیه برای وارون هسیان تابع هزینه یک ماتریس متقاضن معین مثبت  $(A)$  انتخاب کنید. در فقدان اطلاعات بیشتر، ممکن است  $A = A^{(0)}$  انتخاب گردد. همچنین پارامتر همگرایی  $\epsilon$  را مشخص کنید.  $k = 0$  قرار دهد.  
بردار گرادیان را به شکل زیر محاسبه کنید

$$\mathbf{c}^{(0)} = \nabla f(\mathbf{x}^{(0)})$$

گام ۲ . نرم بردار گرادیان  $\|\mathbf{c}^{(k)}\|$  را محاسبه کنید . اگر  $\epsilon > \|\mathbf{c}^{(k)}\|$  آن گاه فرآیند چرخه را

متوقف کنید. در غیر این صورت ادامه دهد.

**گام ۳.** جهت جست و جو را محاسبه کنید

$$\mathbf{d}^{(k)} = -\mathbf{A}^{(k)} \mathbf{c}^{(k)}$$

**گام ۴.** اندازه گام بهین  $\alpha_i = \alpha$  را که تابع  $f(\mathbf{x}^{(k)}) + \alpha \mathbf{d}^{(k)}$  را مینیمم می‌کند محاسبه کنید.

**گام ۵.** طراحی را بهنگام کنید

$$\mathbf{x}^{(k+1)} = \mathbf{x}^{(k)} + \alpha_k \mathbf{d}^{(k)}$$

**گام ۶.** ماتریس  $\mathbf{A}^{(k+1)}$  را بهنگام کنید؛ تقریب وارون هسیان تابع هزینه عبارت است از

$$\mathbf{A}^{(k+1)} = \mathbf{A}^{(k)} + \mathbf{B}^{(k)} + \mathbf{C}^{(k)}; \quad n \times n$$

که در آن ماتریس تصحیح  $\mathbf{B}^{(k)}$  و  $\mathbf{C}^{(k)}$  به شکل زیر محاسبه می‌شوند.

$$\mathbf{B}^{(k)} = \frac{\mathbf{s}^{(k)} \mathbf{s}^{(k)T}}{(\mathbf{s}^{(k)} \cdot \mathbf{y}^{(k)})}; \quad \mathbf{C}^{(k)} = \frac{-\mathbf{z}^{(k)} \mathbf{z}^{(k)T}}{(\mathbf{y}^{(k)} \cdot \mathbf{z}^{(k)})}$$

با

$$\mathbf{s}^{(k)} = \alpha_k \mathbf{d}^{(k)} \quad (\text{تفییر در طراحی})$$

$$\mathbf{y}^{(k)} = \mathbf{c}^{(k+1)} - \mathbf{c}^{(k)} \quad (\text{تفییر در گرادیان})$$

$$\mathbf{c}^{(k+1)} = \nabla f(\mathbf{x}^{(k+1)})$$

$$\mathbf{z}^{(k)} = \mathbf{A}^{(k)} \mathbf{y}^{(k)}$$

**گام ۷.** قرار داده و به گام ۲ بروید.

دقّت کنید که اوّلین چرخه روش مانند اوّلین چرخه روش تندترین کاهش است.

فلتچر و پاول [۱۹۶۳] ثابت کردند که این الگوریتم خواص زیر را دارد است:

۱. ماتریس  $\mathbf{A}^{(k)}$  برای تمامی  $k$  ها معین مثبت است. این گویای این مطلب است که روش همیشه به یک نقطه مینیمم محلی همگرا می‌شود، زیرا

$$\frac{d}{d\alpha} f(\mathbf{x}^{(k)} + \alpha \mathbf{d}^{(k)})|_{\alpha=0} = -\mathbf{c}^{(k)T} \mathbf{A}^{(k)} \mathbf{c}^{(k)} < 0$$

تا وقتی که  $\mathbf{c}^{(k)} \neq 0$  باشد. این یعنی اگر  $\mathbf{c}^{(k)} = 0$  باشد،  $f(\mathbf{x}^{(k)})$  ممکن است با انتخاب

$\alpha > 0$  کاهش یابد (یعنی  $\mathbf{d}^{(k)}$  جهت کاهشی است).

۲. وقتی این روش در مورد یک شکل درجه دوی معین مثبت به کار رود،  $\mathbf{A}^{(k)}$  به وارون هسیان شکل درجه دو همگرا می شود.

مثال ۵.۱۲ کاربرد روش دی اف پی (DFP)، دو چرخه از روش دی اف پی (DFP) را برای مسئله مینیمم کردنتابع

$$f(\mathbf{x}) = 5x_1^2 + 2x_1x_2 + x_2^2 + 7$$

و با شروع از نقطه  $(1, 2)$  به دست آورید.

حل. گامهای الگوریتم را دنبال می کنیم.

#### چرخه ۱

$$\mathbf{x}^{(0)} = (1, 2); \mathbf{A}^{(0)} = \mathbf{I}, k = 0, \varepsilon = 0.001$$

$$\mathbf{c}^{(0)} = (10x_1 + 2x_2, 2x_1 + 2x_2) = (14, 6)$$

$$\|\mathbf{c}^{(0)}\| = \sqrt{14^2 + 6^2} = 15.232 > \varepsilon, \quad \text{پس ادامه می دهیم}$$

$$\mathbf{d}^{(0)} = -\mathbf{c}^{(0)} = (-14, -6)$$

.۴

$$\mathbf{x}^{(1)} = \mathbf{x}^{(0)} + \alpha \mathbf{d}^{(0)} = (1 - 14\alpha, 2 - 6\alpha)$$

$$f(\mathbf{x}^{(1)}) = f(\alpha) = 5(1 - 14\alpha)^2 + 2(1 - 14\alpha)(2 - 6\alpha) + (2 - 6\alpha)^2 + 7$$

$$\frac{df}{d\alpha} = 5(2)(-14)(1 - 14\alpha) + 2(-14)(2 - 6\alpha) + 2(-6)(1 - 14\alpha) + 2(-6)(2 - 6\alpha) = 0$$

$$\alpha = 0.0988$$

$$\frac{d^2f}{d\alpha^2} = 2348 > 0$$

بنابراین، اندازه گام عبارت است از  $\alpha = 0.0988$ .

$$\mathbf{x}^{(1)} = \mathbf{x}^{(0)} + \alpha \mathbf{d}^{(0)} = (-0.386, 1.407)$$

$$\mathbf{s}^{(0)} = \alpha_0 \mathbf{d}^{(0)} = (-1.386, -0.593)$$

$$\mathbf{c}^{(1)} = (-1.046, 2.042)$$

$$\mathbf{y}^{(0)} = \mathbf{c}^{(1)} - \mathbf{c}^{(0)} = (-15.046, -3.958)$$

$$\mathbf{z}^{(0)} = \mathbf{y}^{(0)} = (-15.046, -3.958)$$

$$\mathbf{s}^{(0)} \cdot \mathbf{y}^{(0)} = 23.20$$

$$\mathbf{y}^{(0)} \cdot \mathbf{z}^{(0)} = 242.05$$

.۵

.۶

## روشهای عددی برای طراحی بهین نامتبدّل

$$\begin{aligned} \mathbf{s}^{(0)} \mathbf{s}^{(0)T} &= \begin{bmatrix} 1.921 & 0.822 \\ 0.822 & 0.352 \end{bmatrix} \\ \mathbf{B}^{(0)} &= \frac{\mathbf{s}^{(0)} \cdot \mathbf{s}^{(0)T}}{\mathbf{s}^{(0)} \cdot \mathbf{y}^{(0)}} = \begin{bmatrix} 0.0828 & 0.0354 \\ 0.0354 & 0.0152 \end{bmatrix} \\ \mathbf{z}^{(0)} \mathbf{z}^{(0)T} &= \begin{bmatrix} 226.40 & 59.55 \\ 59.55 & 15.67 \end{bmatrix} \\ \mathbf{C}^{(0)} &= -\frac{\mathbf{z}^{(0)} \mathbf{z}^{(0)T}}{\mathbf{y}^{(0)} \cdot \mathbf{z}^{(0)}} = \begin{bmatrix} -0.935 & -0.246 \\ -0.246 & -0.065 \end{bmatrix} \\ \mathbf{A}^{(1)} &= \mathbf{A}^{(0)} + \mathbf{B}^{(0)} + \mathbf{C}^{(0)} = \begin{bmatrix} 0.148 & -0.211 \\ -0.211 & 0.950 \end{bmatrix} \end{aligned}$$

## چرخه ۲

$$\|\mathbf{e}^{(1)}\| = 2.29 > \epsilon, \quad \text{پس ادامه می‌دهیم} \quad .2$$

$$\mathbf{d}^{(1)} = -\mathbf{A}^{(1)} \mathbf{e}^{(1)} = (0.586, -1.719) \quad .3$$

۴. به دست آوردن اندازه گام : تابع  $(x^{(1)} + \alpha \mathbf{d}^{(1)})^T f(x)$  را مینیمم کنید :

.5

$$\begin{aligned} \mathbf{x}^{(2)} &= \mathbf{x}^{(1)} + \alpha \mathbf{d}^{(1)} \\ &= (-0.386, 1.407) + (0.455, -1.334) = (0.069, 0.073) \\ \mathbf{s}^{(1)} &= \alpha_1 \mathbf{d}^{(1)} = (0.455, -1.334) \quad .6 \\ \mathbf{e}^{(2)} &= (0.836, 0.284) \\ \mathbf{y}^{(1)} &= \mathbf{e}^{(2)} - \mathbf{e}^{(1)} = (1.882, -1.758) \\ \mathbf{z}^{(1)} &= \mathbf{A}^{(1)} \mathbf{y}^{(1)} = (0.649, -2.067) \\ \mathbf{s}^{(1)} \cdot \mathbf{y}^{(1)} &= 3.201 \\ \mathbf{y}^{(1)} \cdot \mathbf{z}^{(1)} &= 4.855 \\ \mathbf{s}^{(1)} \mathbf{s}^{(1)T} &= \begin{bmatrix} 0.207 & -0.607 \\ -0.607 & 1.780 \end{bmatrix} \\ \mathbf{B}^{(1)} &= \frac{\mathbf{s}^{(1)} \mathbf{s}^{(1)T}}{\mathbf{s}^{(1)} \cdot \mathbf{y}^{(1)}} = \begin{bmatrix} 0.0647 & -0.19 \\ -0.19 & 0.556 \end{bmatrix} \\ \mathbf{z}^{(1)} \mathbf{z}^{(1)T} &= \begin{bmatrix} 0.421 & -1.341 \\ -1.341 & 4.272 \end{bmatrix} \\ \mathbf{C}^{(1)} &= -\frac{\mathbf{z}^{(1)} \mathbf{z}^{(1)T}}{\mathbf{y}^{(1)} \cdot \mathbf{z}^{(1)}} = \begin{bmatrix} -0.0867 & 0.276 \\ 0.276 & -0.880 \end{bmatrix} \\ \mathbf{A}^{(2)} &= \mathbf{A}^{(1)} + \mathbf{B}^{(1)} + \mathbf{C}^{(1)} = \begin{bmatrix} 0.126 & -0.125 \\ -0.125 & 0.626 \end{bmatrix} \end{aligned}$$

می‌توان نشان داد که ماتریس  $\mathbf{A}$  کاملاً به وارون هسیان تابع هزینه نزدیک است. چرخه دیگری از روش دی اف پی (DFP) به جواب بهین (0.) خواهد رسید.

## ۵.۷.۲۱ روش‌های بهنگام مستقیم

در این روش‌ها، در هر چرخه هسیان بهنگام می‌شود و نه وارون آن. روش‌های بهنگام متعددی می‌تواند ارائه شود. ما روشی را که از همه مشهورتر و ثابت شده که در کاربردها مؤثرتر است ارائه خواهیم کرد. جزئیات به دست آوردن روش در مرجع گیل و دیگران<sup>[۱۹۸۱]</sup> ارائه شده است. روش یاد شده به عنوان بی‌اف‌جی‌اس (BFGS) (برایدن-فلتچر-گلدفرب-شنو)<sup>۳</sup> شناخته می‌شود و گامهای آن عبارت است از:

گام ۱. یک طراحی اوکیه<sup>(۰)</sup>  $\mathbf{x}$ -حدس بزنید. ماتریس معین مثبت متقارن  $\mathbf{H}^{(0)}$  را به عنوان حدسی برای هسیان تابع هزینه انتخاب کنید، در نبود اطلاعات بیشتر،  $\mathbf{I}$   $\mathbf{H}^{(0)} =$  در نظر بگیرید. پارامتر همگرایی  $\epsilon$  را انتخاب کنید. شمارنده  $k$  را مساوی صفر قرار دهید و بردار گرادیان را مانند زیر محاسبه کنید.

$$\mathbf{c}^{(0)} = \nabla f(\mathbf{x}^{(0)})$$

گام ۲. نرم بردار گرادیان  $\|\mathbf{c}^{(k)}\|$  را محاسبه کنید. اگر  $\epsilon > \|\mathbf{c}^{(k)}\|$  است، آن گاه فرآیند چرخه را متوقف کنید، در غیر این صورت ادامه دهید.

گام ۳. دستگاه معادلات خطی زیر را برای به دست آوردن جهت جست و جو حل کنید:

$$\mathbf{H}^{(k)} \mathbf{d}^{(k)} = -\mathbf{c}^{(k)}$$

گام ۴. اندازه گام بهین  $\alpha_k$  را برای مینیمم شدن  $f(\mathbf{x}^{(k)} + \alpha_k \mathbf{d}^{(k)})$  محاسبه کنید.

گام ۵. طراحی را بهنگام کنید

$$\mathbf{x}^{(k+1)} = \mathbf{x}^{(k)} + \alpha_k \mathbf{d}^{(k)}$$

گام ۶. تقریب هسیان تابع هزینه را بهنگام کنید

$$\mathbf{H}^{(k+1)} = \mathbf{H}^{(k)} + \mathbf{D}^{(k)} + \mathbf{E}^{(k)}$$

که در آن ماتریس تصحیح  $\mathbf{D}^{(k)}$  و  $\mathbf{E}^{(k)}$  عبارتند از

$$\mathbf{D}^{(k)} = \frac{\mathbf{y}^{(k)} \mathbf{y}^{(k)T}}{(\mathbf{y}^{(k)} \cdot \mathbf{s}^{(k)})}; \quad \mathbf{E}^{(k)} = \frac{\mathbf{c}^{(k)} \mathbf{c}^{(k)T}}{(\mathbf{c}^{(k)} \cdot \mathbf{d}^{(k)})}$$

با

$$\begin{aligned} \mathbf{s}^{(k)} &= \alpha_k \mathbf{d}^{(k)} && \text{(تغییر در طراحی)} \\ \mathbf{y}^{(k)} &= \mathbf{c}^{(k+1)} - \mathbf{c}^{(k)} && \text{(تغییر در گرادیان)} \\ \mathbf{c}^{(k+1)} &= \nabla f(\mathbf{x}^{(k+1)}) \end{aligned}$$

گام ۷. ۱.  $k = k + 1$  قرار داده و به گام ۲ بروید.

دوباره دقت کنید که اوّلین چرخه روش مانند اوّلین چرخه روش تندترین کاهش است. می‌توان نشان داد که اگر جست و جوی خطی دقیق استفاده شود، رابطه بهنگام کردن بی اف جی اس تقریب هسیان را معین مثبت نگه می‌دارد. در محاسبات عددی، به خاطر غیردقیق بودن جست و جوی خطی و خطاهای گرد کردن و قطع کردن ماتریس هسیان ممکن است منفرد یا نامعین شده و مشکلاتی بروز کند. بنابراین، باید در مقابل مشکلات عددی برای برنامه‌های رایانه‌ای تدبیری اندیشه‌یده شود تا محاسبات پایدار و همگرا باشد. روش عددی دیگری که بسیار مفید است بهنگام کردن ضرایب تجزیه شدن (ضرایب چالسکی) هسیان است به جای خود هسیان [گیل و دیگران، ۱۹۸۱]. بدین طریق معین مثبت بودن ماتریس از نظر عددی تضمین می‌شود.

**مثال ۵.۱۸** کاربرد روش بی اف جی اس. دو چرخه از روش بی اف جی اس را برای مسأله زیر انجام دهید. تابع

$$f(\mathbf{x}) = 5x_1^2 + 2x_1x_2 + x_2^2 + 7$$

را با شروع از نقطه  $(1, 2)$  مینیمم کنید.

حل. گامهای الگوریتم را دنبال می‌کنیم. دقت کنید که اوّلین چرخه، گام تندترین کاهش را برای تابع هزینه می‌دهد.

### چرخه ۱

$$\begin{aligned} \mathbf{x}^{(0)} &= (1, 2), \mathbf{H}^{(0)} = \mathbf{I}, \epsilon = 0.001, k = 0 \\ \mathbf{c}^{(0)} &= (10x_1 + 2x_2, 2x_1 + 2x_2) = (14, 6) \end{aligned} \quad .1$$

$$\|\mathbf{c}^{(0)}\| = \sqrt{14^2 + 6^2} = 15.232 > \epsilon \quad .2$$

$$\mathbf{d}^{(0)} = -\mathbf{c}^{(0)} = (-14, -6); \text{ زیرا } \mathbf{H}^{(0)} = \mathbf{I} \quad .3$$

۴. تعیین اندازه گام - مانند مثال ۱۷. ۵؛  $\alpha = 0.099$

$$\begin{aligned} \mathbf{x}^{(1)} &= \mathbf{x}^{(0)} + \alpha \mathbf{d}^{(0)} \\ &= (-0.386, 1.407) \end{aligned} .5$$

$$\mathbf{s}^{(0)} = \alpha_1 \mathbf{d}^{(0)} = (-1.386, -0.593) .6$$

$$\mathbf{c}^{(1)} = (-1.046, 2.042)$$

$$\mathbf{y}^{(0)} = \mathbf{c}^{(1)} - \mathbf{c}^{(0)} = (-15.046, -3.958)$$

$$\mathbf{y}^{(0)} \cdot \mathbf{s}^{(0)} = 23.20$$

$$\mathbf{c}^{(0)} \cdot \mathbf{d}^{(0)} = -232.0$$

$$\mathbf{y}^{(0)} \mathbf{y}^{(0)T} = \begin{bmatrix} 226.40 & 59.55 \\ 59.55 & 15.67 \end{bmatrix}$$

$$\mathbf{D}^{(0)} = \frac{\mathbf{y}^{(0)} \mathbf{y}^{(0)T}}{\mathbf{y}^{(0)} \cdot \mathbf{s}^{(0)}} = \begin{bmatrix} 9.760 & 2.567 \\ 2.567 & 0.675 \end{bmatrix}$$

$$\mathbf{c}^{(0)} \mathbf{c}^{(0)T} = \begin{bmatrix} 196 & 84 \\ 84 & 36 \end{bmatrix}$$

$$\mathbf{E}^{(0)} = \frac{\mathbf{c}^{(0)} \mathbf{c}^{(0)T}}{\mathbf{c}^{(0)} \cdot \mathbf{d}^{(0)}} = \begin{bmatrix} -0.845 & -0.362 \\ -0.362 & -0.155 \end{bmatrix}$$

$$\mathbf{H}^{(1)} = \mathbf{H}^{(0)} + \mathbf{D}^{(0)} + \mathbf{E}^{(0)} = \begin{bmatrix} 9.915 & 2.205 \\ 2.205 & 0.520 \end{bmatrix}$$

( $k = 1$ ) ۴ خط

$$\|\mathbf{c}^{(1)}\| = 2.29 > \varepsilon, \text{ پس ادامه می‌دهیم} .2$$

$$\mathbf{H}^{(1)} \mathbf{d}^{(1)} = -\mathbf{c}^{(1)}; \text{ or, } \mathbf{d}^{(1)} = (17.20, -76.77) .3$$

۴. تعیین اندازه گام :

$$\begin{aligned} \mathbf{x}^{(2)} &= \mathbf{x}^{(1)} + \alpha \mathbf{d}^{(1)} \\ &= (-0.0686, -0.0098) .5 \end{aligned}$$

$$\mathbf{s}^{(1)} = \alpha_1 \mathbf{d}^{(1)} = (0.317, -1.417) .6$$

$$\mathbf{c}^{(2)} = (-0.706, -0.157)$$

$$\mathbf{y}^{(1)} = \mathbf{c}^{(2)} - \mathbf{c}^{(1)}$$

$$= (0.340, -2.199)$$

$$\mathbf{y}^{(1)} \cdot \mathbf{s}^{(1)} = 3.224$$

$$\mathbf{c}^{(1)} \cdot \mathbf{d}^{(1)} = -174.76$$

$$\mathbf{y}^{(1)} \mathbf{y}^{(1)T} = \begin{bmatrix} 0.1156 & -0.748 \\ -0.748 & 4.836 \end{bmatrix}$$

$$\mathbf{D}^{(1)} = \frac{\mathbf{y}^{(1)} \mathbf{y}^{(1)T}}{\mathbf{y}^{(1)} \cdot \mathbf{s}^{(1)}} = \begin{bmatrix} 0.036 & -0.232 \\ -0.232 & 1.500 \end{bmatrix}$$

$$\mathbf{c}^{(1)} \mathbf{c}^{(1)T} = \begin{bmatrix} 1.094 & -2.136 \\ -2.136 & 4.170 \end{bmatrix}$$

$$\mathbf{E}^{(1)} = \frac{\mathbf{e}^{(1)} \mathbf{e}^{(1)T}}{\mathbf{e}^{(1)} \cdot \mathbf{d}^{(1)}} = \begin{bmatrix} -0.0063 & 0.0122 \\ 0.0122 & -0.0239 \end{bmatrix}$$

$$\mathbf{H}^{(2)} = \mathbf{H}^{(1)} + \mathbf{D}^{(1)} + \mathbf{E}^{(1)} = \begin{bmatrix} 9.945 & 1.985 \\ 1.985 & 1.996 \end{bmatrix}$$

می‌توان نشان داد که  $\mathbf{H}^{(2)}$  به هسیان تابع هزینه داده شده کاملاً نزدیک است. یک چرخه دیگر از روش بی اف جی اس به جواب بهین  $(0, 0)$  خواهد رسید.

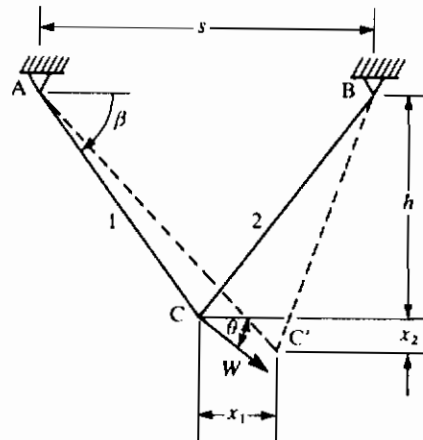
#### ۵.۸ کاربردهای مهندسی روشهای نامقید

مسائل مهندسی بسیاری است که در آنها از روشهای بهینه سازی نامقید استفاده می‌شود. به عنوان مثال، دستگاه معادلات همزمان خطی و غیرخطی می‌توانند با روشهای بهینه سازی نامقید حل شوند؛ پاسخ سیستمهای مکانیکی و سازه‌ای می‌تواند با مینیمم سازی انرژی پتانسیل کل محاسبه شود. این مسائل می‌توانند با روشهای نامقید رابطه سازی و حل گردند. بعضی از روشهای نیز در نرم افزارهای تجاری در دسترس، ارائه شده‌اند. به علاوه، روشهای بهینه سازی نامقید می‌تواند برای حل مسائل مقید استفاده شود. این مطلب در بخش ۹.۵ تشریح می‌شود. در این بخش، دو کاربرد از روشهای نامقید را بیان می‌کنیم.

#### ۵.۸.۱۰ مینیم سازی انرژی پتانسیل کل

حال تعادل سیستمهای مکانیکی و سازه‌ای با نقاط ایستای انرژی پتانسیل کل معین می‌شود. این به عنوان اصل ایستایی انرژی پتانسیل شناخته می‌شود. اگر در یک نقطه ایستای انرژی پتانسیل واقعاً مقدار مینیمم داشته باشد، حالت تعادل پایدار نامیده می‌شود. در مکانیک سازه‌ها، این اصول اهمیت اساسی دارند و زیربنای بسیاری از روشهای عددی تحلیل سازه‌ها را تشکیل می‌دهند.

برای تشریح این اصل، خرپای دو عضوی متقارنی را که در شکل ۱۶.۵ نشان داده شده در نظر می‌گیریم. سازه تحت تأثیر بار  $W$  در نقطه  $C$  است. تحت این بار، نقطه  $C$  به  $C'$  منتقل می‌شود. مسأله عبارت است از: محاسبه تغییر مکان  $x_1$  و  $x_2$  نقطه  $C$ . این کار می‌تواند با نوشتن انرژی پتانسیل کل خرپا بر حسب  $x_1$  و  $x_2$  و سپس مینیمم کردن آن انجام شود. وقتی تغییر مکانهای  $x_1$  و  $x_2$  مشخص شوند، نیرو و تنش اعضا می‌توانند با استفاده از آنها محاسبه گردد. فرض کنید



شکل ۵.۱۶ خربای دو عضوی

$E$  = ضرب ارجاعی ( $N/m^2$ ) (خاصیتی از ماده که تنش مواد را به کرنش آن مربوط می‌کند).

$s$  = دهانه خربا (m).

$h$  = ارتفاع خربا (m).

$A_1$  = مساحت سطح مقطع عضو ۱ ( $m^2$ ).

$A_2$  = مساحت سطح مقطع عضو ۲ ( $m^2$ ).

$\theta$  = زاویه‌ای که در آن بار  $W$  اعمال می‌شود (درجه).

$L$  = طول اعضا (m) ( $L^2 = h^2 + 0.25s^2$ ).

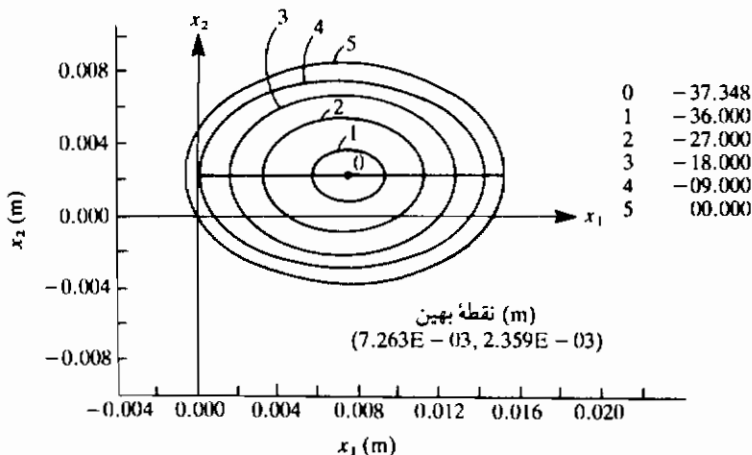
$W$  = بار (N).

$x_1$  = تغییر مکان افقی (m).

$x_2$  = تغییر مکان عمودی (m).

پس انرژی پتانسیل کل سیستم، با فرض تغییر مکانهای کوچک، عبارت است از

$$P(x_1, x_2) = \frac{EA_1}{2L} (x_1 \cos \beta + x_2 \sin \beta)^2 + \frac{EA_2}{2L} (-x_1 \cos \beta + x_2 \sin \beta)^2 - Wx_1 \cos \theta - Wx_2 \sin \theta, \quad N \cdot m \quad (\text{الف})$$



شکل ۵.۱۷ خطوط هزینه ثابت تابع انرژی پتانسیل  $P(x_1, x_2)$  برای خرپای دو عضوی

$$(P = 0, -9.0, -18.0, -27.0, -36.0, -37.348, \text{N.m})$$

در حالی که زاویه  $\beta$  در شکل ۵.۱۶ نشان داده شده است. مینیمم ساختن  $P$  نسبت به  $x_1$  و  $x_2$  تغییر مکانهای  $x_1$  و  $x_2$  را برای حالت تعادل خرپای دو بعدی می دهد.

**مثال ۵.۱۹** مینیمم سازی انرژی پتانسیل یک خرپای دو بعدی. برای مسئله خرپای دو عضوی داده های زیر را استفاده کنید.  $h = 1.0 \text{ m}$  ،  $A_1 = A_2 = 1.0E-05 \text{ m}^2$  ،  $E = 207 \text{ GPa}$  ،  $\theta = 30^\circ$  ،  $W = 10 \text{ kN}$  ،  $s = 1.5 \text{ m}$  در معادله (الف) داده شده مینیمم کنید : (i) به روش ترسیمی ، (ii) به روش تحلیلی ، و (iii) به روش گرادیان مزدوج .

حل. با جای گزینی داده های فوق در معادله (الف) و ساده کردن آن داریم (دققت کنید که

$$(\sin \beta = \frac{h}{L} \text{ و } \cos \beta = \frac{s}{2L})$$

$$\begin{aligned} P(x_1, x_2) &= \frac{EA}{L} (s/2L)^2 x_1^2 + \frac{EA}{L} (h/L)^2 x_2^2 - Wx_1 \cos \theta - Wx_2 \sin \theta \\ &= (5.962E+06)x_1^2 + (1.0598E+06)x_2^2 - (8.66E+03)x_1 - (5.00E+03)x_2, \quad \text{N.m} \end{aligned}$$

خطوط هزینه ثابت برای تابع در شکل ۵.۱۷ نشان داده شده است. جواب بهین از روی ترسیمه عبارت است از

## ۵.۸.۲ حل معادلات غیرخطی

۴۳۵

$$x_1 = (7.2634E-03) \text{ m}; \quad x_2 = (2.3359E-03) \text{ m}; \quad P = -37.348 \text{ N} \cdot \text{m}$$

با استفاده از شرایط لازم داریم

$$2(5.962E+06)x_1 - (8.66E+03) = 0, \quad x_1 = (7.2629E-03) \text{ m}$$

$$2(1.0598E+06)x_2 - (5.00E+03) = 0, \quad x_2 = (2.3589E-03) \text{ m}$$

روش گرادیان مزدوج داده شده در آی دی زاین نیز به جوابی مشابه همگرا می شود.

## ۵.۸.۳ حل معادلات غیرخطی

روشهای بهینه سازی نامقید می تواند برای یافتن ریشه های دستگاه معادلات غیرخطی استفاده شود. برای توضیح این موضوع، مادستگاه  $2 \times 2$  زیر را در نظر می گیریم:

$$F_1(x_1, x_2) = 0 \quad (\text{الف})$$

$$F_2(x_1, x_2) = 0 \quad (\text{ب})$$

تابعی تعریف می کنیم که مجموع مربعات توابع  $F_1$  و  $F_2$  است

$$f(x_1, x_2) = F_1^2(x_1, x_2) + F_2^2(x_1, x_2) \quad (\text{پ})$$

دقّت کنید اگر  $x_1$  و  $x_2$  ریشه های معادلات (الف) و (ب) باشد، آن گاه در معادله (پ)  $f = 0$  است. اگر  $x_1$  و  $x_2$  ریشه ها نباشند آن گاه تابع  $f$  نشان دهنده مجموع مربعات خطای در معادله های  $F_1 = 0$  و  $F_2 = 0$  است. پس، مسأله بهینه سازی عبارت است از یافتن  $x_1$  و  $x_2$  طوری که تابع  $f(x_1, x_2)$  معادله (پ) مینیمم شود. باید نشان دهیم که شرایط لازم مینیمم سازی ریشه های دستگاه معادلات غیرخطی را می دهد. شرایط لازم به مامعادله های زیر را می دهد

$$\frac{\partial f}{\partial x_1} = 2F_1 \frac{\partial F_1}{\partial x_1} + 2F_2 \frac{\partial F_2}{\partial x_1} = 0 \quad (\text{ت})$$

$$\frac{\partial f}{\partial x_2} = 2F_1 \frac{\partial F_1}{\partial x_2} + 2F_2 \frac{\partial F_2}{\partial x_2} = 0 \quad (\text{ث})$$

دقّت کنید که اگر  $F_1 = F_2 = 0$  باشد، شرایط لازم برآورده می شوند، یعنی  $x_1$  و  $x_2$  ریشه های معادله های  $F_1 = 0$  و  $F_2 = 0$  هستند. در این حالت  $f = 0$  است. همچنین دقّت کنید که اگر  $\frac{\partial F_i}{\partial x_j} = 0$  برای  $i, j = 1, 2$  باشد باز هم شرایط لازم برآورده می شود. اگر  $\frac{\partial F_i}{\partial x_j} \neq 0$  باشد،

و  $x_2$  نقاط ایستای توابع  $F_1$  و  $F_2$  هستند. برای اکثر توابع نقاط ایستای  $F_1$  و  $F_2$  ریشه‌های  $F_1 = 0$  و  $F_2 = 0$  نیستند، بنابراین می‌توانیم این حالت را در نظر نگیریم. در هر حالت، اگر  $x_1$  و  $x_2$  ریشه‌های معادلات باشند، آن‌گاه باید مقدار صفر داشته باشد. همچنین اگر مقدار بهین  $f$  صفر نباشد ( $f \neq 0$ )، آن‌گاه  $x_1$  و  $x_2$  نمی‌تواند ریشه‌های دستگاه غیرخطی باشد. پس اگر الگوریتم بهینه‌سازی با  $f \neq 0$  همگراشد، آن‌گاه نقطه بهین مسئله مینیمم‌سازی  $f$  ریشه‌های دستگاه غیرخطی نیست. الگوریتم باید از نقطه دیگری مجددآ شروع شود.

**مثال ۵.۲۰** ریشه‌های معادلات غیرخطی با مینیمم‌سازی نامقید.

ریشه‌های معادلات زیر را باید

$$F_1(\mathbf{x}) = 3x_1^2 + 12x_2^2 + 10x_1 = 0$$

$$F_2(\mathbf{x}) = 24x_1x_2 + 4x_2 + 3 = 0$$

حل. تابع خطای  $(\mathbf{x})f$  را به شکل زیر تعریف می‌کنیم

$$f(\mathbf{x}) = F_1^2 + F_2^2 = (3x_1^2 + 12x_2^2 + 10x_1)^2 + (24x_1x_2 + 4x_2 + 3)^2$$

برای مینیمم ساختن این تابع، ما می‌توانیم هریک از روشهایی را که قبلاً بحث کردیم استفاده کنیم. جدول ۵.۱۰ تاریخچه چرخه‌های روش گرادیان مزدوج که در نرم افزار آی دی زاین [آوروا و سنج، ۱۹۸۷] ارائه شده نشان می‌دهد. یک ریشه معادلات عبارت است از  $x_1 = 0.5404$ ،  $x_2 = -0.3980$  با شروع از نقطه  $(1, 1)$ . اما با شروع از نقطه  $(50, 50)$ - ریشه دیگری به دست می‌آید  $(0.03948, 3.331)$ . اما با شروع از نقطه دیگر  $(2, 3)$  برنامه به  $(-0.2812, 0.02063)$  با  $f = 4.351$  همگرا می‌شود. چون  $0 \neq f$  است، این نقطه یک ریشه دستگاه معادله‌های داده شده نیست. وقتی این اتفاق می‌افتد، ما از نقطه دیگری شروع کرده و مسئله را دوباره حل می‌کنیم.

دقّت کنید که روش قبلی می‌تواند برای یک دستگاه «معادله» مجھولی تعمیم داده شود. در این حالت، تابع خطای  $(\mathbf{x})f$  به شکل زیر تعریف می‌شود

$$f(\mathbf{x}) = \sum_{i=1}^n F_i^2(\mathbf{x})$$

جدول ۵.۱۰ ریشه‌های معادلات غیرخطی مثال ۰.۲۰ : روش گرادیان مزدوج

شماره	$x_1$	$x_2$	$F_1$	$F_2$	$f$
0	-1.0000	1.0000	5.0000	-17.0000	314.0000
1	-0.5487	0.4649	-1.9900	-1.2626	5.5530
2	-0.4147	0.5658	0.1932	-0.3993	0.1968
3	-0.3993	0.5393	-0.0245	-0.0110	7.242E - 4
4	-0.3979	0.5403	-9.377E - 4	-1.550E - 3	2.759E - 6
5	-0.3980	0.5404	-4.021E - 4	-3.008E - 4	1.173E - 8

۵.۹<sup>۰</sup> روشهای تبدیل برای طراحی بهین

روشهای بهینه سازی نامقید می‌توانند برای حل مسائل مقید به کار روند. پنداره اصلی عبارت است از ساختن یک تابع ترکیبی از توابع هزینه و قید. آن تابع پارامترهای معینی - که پارامترهای جریمه نامیده می‌شوند - نیز دارد که تابع ترکیبی را برای نقض قیود جریمه می‌کند. هرچه نقض بزرگتر باشد، جریمه بیشتر است. وقتی تابع ترکیبی برای یک مجموعه پارامترهای جریمه تعریف شدند، آن گاه آن تابع با استفاده از یکی از روشهای بهینه سازی نامقید مینیمیم می‌شود. سپس پارامترهای جریمه براساس شرایط معینی تنظیم شده و تابع ترکیبی دوباره تعریف شده و مینیمیم می‌شود. تا وقتی که بهبود قابل توجه دیگر در حدس نقطه بهینه به وجود نیاید، فرآیند ادامه می‌پاید.

روشهایی که براساس فلسفه پیشین قرار دارند به طور کلی روشهای مینیمیم سازی نامقید دنباله‌ای یا باختصار اس یو ام تی (SUMT) نامیده می‌شوند. می‌توان دید که پنداره اصلی اس یو ام تی بسیار ساده است. به خاطر سادگی آنها، در سالهای دهه ۱۹۶۰ و دهه ۱۹۷۰ اشتیاق قابل توجهی برای استفاده از این روشها در طراحی مهندسی بوده است. با این همه، روشهای مقید کاراتری در اوخر دهه ۱۹۷۰ و دهه ۱۹۸۰ تدوین شده و جایگزین اس یو ام تی گردیده‌اند. اخیراً روشها جان تازه‌ای گرفته و پژوهش برای بهبود بیشتر آنها ادامه دارد. یک بحث بسیار مختصراً از مفاهیم اساسی و فلسفه روش برای آشنایی اجمالی دانشجویان در کتاب آورده شده است. برای تفصیل بیشتر باید به کتابهای گیل و دیگران<sup>۱</sup> [۱۹۸۱]، رکلایتیز، راویندران و راگنسدل<sup>۲</sup> [۱۹۸۳]، و هفتکه و کامات<sup>۳</sup> [۱۹۸۵] مراجعه شود.

1. Gill et al.

2. Reklaitis, Ravindran and Ragsdell

3. Halitka and Kamat

عبارت "روش تبدیل" برای تشریح هر روشی که مسئله بهینه‌سازی مقید را با تبدیل آن به یک یا چند مسئله نامقید حل می‌کند استفاده می‌شود. آنها روشهای توابع جریمه (خارجی) و مانع (داخلی) و ضرایب (لاگرانژین افزایش یافته) را شامل می‌شود. برای یادآوری خواننده از مسئله اصلی مقیدی که می‌خواهیم حل کنیم، آن را به شکل زیر مجددًا شروع می‌کنیم: بردار  $x$  بعدی ( $x_1, x_2, \dots, x_n$ ) =  $x$  را برای مینیمم کردن تابع هزینه

$$f = f(x) \quad (5.47)$$

مشروط به قیود مساوی

$$h_i(x) = 0; \quad i = 1 \text{ to } p \quad (5.48)$$

و قیود نامساوی

$$g_i(x) \leq 0; \quad i = 1 \text{ to } m \quad (5.49)$$

پیاید.

تمامی روشهای تبدیل مسئله بهینه‌سازی مقید تعریف شده در معادله‌های (۵.۴۷) تا (۵.۴۹) را به یک مسئله نامقید تابع تبدیل:

$$\phi(x, r) = f(x) + P(h(x), g(x), r) \quad (5.50)$$

که در آن  $r$  بردار کنترل (جریمه) پارامترها و  $P$  یک تابع با مقدار حقیقی است که عمل جریمه آن توسعه  $r$  کنترل می‌شود، تبدیل می‌کنند. شکل تابع جریمه  $P$  به روش به کار رفته بستگی دارد. روش اصلی این است که یک حدس طراحی اوّلیه  $x^{(0)}$  انتخاب کرده و تابع  $\phi$  معادله (۵.۵۰) را تعریف کنیم. پارامتر کنترلی  $r$  نیز در ابتدا انتخاب می‌شود. تابع  $\phi$  با ثابت نگه داشتن  $r$  مینیمم می‌شود تا  $x$  به دست آید. آن‌گاه پارامتر  $r$  تنظیم شده و روش تکرار می‌شود تا وقتی که دیگر امکان بهبودی نباشد.

### ۵.۹.۱ روشهای مینیمم‌سازی نامقید دنباله‌ای

روشهای مینیمم‌سازی نامقید دنباله‌ای اصولاً از دو نوع تابع جریمه مختلف تشکیل شده‌اند. اوّلین آنها روش تابع جریمه و دومین روش تابع مانع نامیده می‌شود. پنداشة اصلی تابع جریمه عبارت است از تعریف تابع  $P$  در معادله (۵.۵۰) به طوری که اگر نقض قیدی وجود دارد،

جرائم بزرگی به تابع هزینه اضافه گردد. روشان است که توابع جرمیمه متعددی می‌توانند تعریف شود.

مشهورترین آنها تابع افت درجه دو است که به شکل زیر تعریف می‌شود

$$P(\mathbf{h}(\mathbf{x}), \mathbf{g}(\mathbf{x}), r) = r \left\{ \sum_{i=1}^p [h_i(\mathbf{x})]^2 + \sum_{i=1}^m [g_i^+(\mathbf{x})]^2 \right\} \quad (5.51)$$

که در آن  $(*)_i g_i^+(\mathbf{x}) = \max(0, g_i(\mathbf{x}))$  ، و  $r$  یک عدد اسکالار است. دقت کنید که  $0 \geq g_i^+(\mathbf{x}) \geq 0$  است؛ یعنی اگر نامساوی غیرفعال باشد  $(0 < g_i(\mathbf{x}))$  مقدار آن صفر است و اگر نامساوی نقض شود مثبت خواهد بود. می‌توان دید که اگر قید مساوی برآورده نشود، یعنی  $0 \neq h_i(\mathbf{x})$  ، یا قید نامساوی نقض شود یعنی  $0 > g_i(\mathbf{x})$  ، معادله  $(5.51)$  مقدار مثبتی برای تابع  $P$  می‌دهد، و تابع هزینه جرمیمه می‌شود؛ همچنان که در معادله  $(5.50)$  دیده می‌شود. نقطه طراحی شروع برای روش می‌تواند اختیاری باشد. روشاهایی که براساس فلسفه توابع جرمیمه بنای شده‌اند گاهی روشاهای خارجی نامیده می‌شوند، زیرا در ناحیه غیرقابل قبول چرخ می‌زنند.

رووشاهای تابع مانع تنها در مورد مسائلی که دارای قید نامساوی‌اند کاربرد دارند. توابع مانع مشهور عبارتند از

### ۱. تابع مانع وارون

$$P(\mathbf{g}(\mathbf{x}), r) = (1/r) \sum_{i=1}^m [-1/g_i(\mathbf{x})] \quad (5.52)$$

### ۲. تابع مانع لگاریتمی

$$P(\mathbf{g}(\mathbf{x}), r) = (-1/r) \sum_{i=1}^m \log(-g_i(\mathbf{x})) \quad (5.53)$$

اینها بدین خاطر روشاهای تابع مانع نامیده می‌شوند که یک مانع بزرگ در اطراف ناحیه قابل قبول می‌سازند. در حقیقت اگر هر یک از قیود نامساوی فعل شوند تابع  $P$  بی‌نهایت می‌شود. پس هرگاه فرآیند چرخه از یک نقطه قابل قبول شروع شود، نمی‌تواند به ناحیه غیرقابل قبول برود؛ زیرا فرآیند چرخه نمی‌تواند از مانع به این بزرگی عبور کند.

برای هر دو روش، می‌توان نشان داد که وقتی  $\mathbf{x}^* \rightarrow \mathbf{r}$  میل کند،  $\mathbf{x}^* \rightarrow (\mathbf{r}, \phi)$  میل خواهد کرد که  $\mathbf{x}^*(\mathbf{r}, \phi)$  مینیمم تابع تبدیل یافته  $(5.50)$  معادله  $(5.50)$  و  $\mathbf{x}^*$  جواب مسئله بهینه‌سازی مقید اصلی است.

مزایا و معایب روش تابع جریمه عبارتند از:

۱. در مسائل مقید عمومی کاربرد دارند، یعنی مسأله می‌تواند هم قیود مساوی و هم قیود نامساوی داشته باشد.
۲. نقطه طراحی شروع می‌تواند اختیاری باشد.
۳. روش در ناحیه غیرقابل قبول چرخ می‌زند: جایی که ممکن است توابع تعریف نشده باشند.
۴. اگر فرآیند چرخه زودتر قطع شود، طرح نهایی ممکن است قابل قبول و قابل استفاده نباشد.

مزایا و معایب روش تابع مانع عبارتند از:

۱. روش فقط برای مسائل با قید نوع مساوی کاربرد دارد.
۲. نقطه طراحی شروع باید قابل قبول باشد. با این‌همه روش می‌تواند برای به دست آوردن نقطه شروع مورد استفاده قرار گیرد [هاگ و آرورا، ۱۹۷۹].
۳. روش همیشه در ناحیه قابل قبول چرخ می‌زند، پس اگر زودتر از موقع متوقف شود، طراحی نهایی قابل قبول و بنابراین قابل استفاده است.

در مقالات دو روش فوق را روشهای مینیمم سازی نامقید دنباله‌ای یا اس‌یو ام تى می‌گویند [فیاکو و مک کورمیک، ۱۹۶۸]. این روشهای وقتی ۲ بزرگ است ضعف مشخصی دارند که خیلی جدی است. توابع جریمه و مانع در تزدیکی مرز ناحیه قابل قبول (مجموعه قید) جایی که معمولاً نقاط مینیمم قرار دارند خوب کار نمی‌کنند. انتخاب رشته<sup>(۱)</sup> نیز خود یک مسأله است. انتخاب<sup>(۲)</sup> و نرخی که<sup>(۳)</sup> باید به طرف بی‌نهایت برود می‌تواند به طور جدی محاسبات مربوط به یافتن جواب را تحت تأثیر قرار دهد. به علاوه، ماتریس هسیان تابع نامقید وقتی  $\infty \rightarrow$  میل کند بدخیم<sup>(۴)</sup> می‌شود. بعضی از این مشکلات با استفاده از توابع مانع تعمیم یافته [هفتکه و کامات، ۱۹۸۵] برطرف می‌شود.

#### ۵.۹.۴ روشهای ضرایب (لاگرانژین افزایش یافته)

برای تخفیف بعضی از مشکلات روشهایی که در بخش قبل ارائه شدند دسته‌ای دیگر از روشهای تبدیل در مقالات ارائه شده است. این روشهای روشهای ضرایب یا روشهای

1. Haug and Arora  
3. ill-conditioned

2. Fiacco and McCormick  
4. Halška and Kumat

لاگرانژین افزایش یافته نامیده می شوند. در این روشها، نیازی به کنترل پارامترهای  $r_i$  هنگامی که به سوی بی نهایت می کنند نیست. درنتیجه تابع تبدیل  $\phi$  شرایط خوبی داشته و منفرد نیست. روشاهای ضرایب مانند روشاهای اس یو ام تی همگرا هستند. یعنی آنها از هر نقطه که شروع شده باشند به یک مینیمم محلی همگرا می شوند. ثابت شده است که این روشها از دو روش قبلی بخش ۵.۹.۱ نرخ همگرایی سریعتری دارند. در روشاهای ضرایب، تابع جریمه به شکل زیر است

$$P(\mathbf{h}(\mathbf{x}), \mathbf{g}(\mathbf{x}), \mathbf{r}, \boldsymbol{\theta}) = \frac{1}{2} \sum_{i=1}^p r'_i (h_i + \theta'_i)^2 + \frac{1}{2} \sum_{i=1}^m r_i [(g_i + \theta_i)^+]^2 \quad (5.54)$$

که در آن  $0 < r_i < \infty$ ،  $\theta_i > 0$ ،  $r'_i = r_i$ ،  $\theta'_i = \theta_i$  پارامترهای مربوط به  $\alpha$  مین قید نامساوی و مساوی است. اگر  $0 = r_i = \theta_i = r'_i = r$  باشد، آن گاه معادله (5.54) به معادله افت درجه دوی مشهور که در معادله (5.51) داده شده تبدیل می شود که با میل  $\infty \rightarrow r$  همگرایی قطعی خواهد بود. اما هدف روشاهای ضرایب عبارت از محدود نگه داشتن  $r_i$  و  $\theta_i$  است. پنداره روشاهای ضرایب عبارت است از شروع با  $r_i = r$ ،  $\theta_i = \theta$  و مینیمم کردن تابع تبدیل معادله (5.50). آن گاه پارامترهای  $r_i = r$ ،  $\theta_i = \theta$  با استفاده از قواعدی تنظیم می شوند و تمامی فرآیند تا برآورده شدن شرایط بهینگی تکرار می شود. برای بحث با جزئیات بیشتر و کاربردهای روش، خواننده باید به مراجع [بلگاندا و آورا<sup>۱</sup>، ۱۹۸۴] و مراجعی که پیش از این اشاره شدند مراجعه کند.

## تمرینهای فصل ۵

### بخش ۵.۲ مفاهیم عمومی مربوط به الگوریتمهای عددی

#### ۱. با کلمه صحیح یا غلط پاسخ دهید.

۱. تمامی الگوریتمهای طراحی بهین برای شروع فرآیند چرخه نیاز به نقطه شروع دارند.
۲. در هر چرخه فرآیند چرخه ای یک بردار تغییر طراحی باید محاسبه شود.
۳. محاسبه تغییر طراحی می تواند به دو زیر مسئله تعیین اندازه گام و یافتن جهت تقسیم شود.
۴. جهت جست و جو نیاز به محاسبه گرادیان تابع هزینه دارد.

۵. اندازه گام در امتداد جهت جست و جو همیشه منفی است.
۶. اندازه گام در امتداد جهت جست و جو می تواند صفر باشد.
۷. در بهینه سازی نامقید، با یک گام کوچک دلخواه در امتداد جهت کاهشی تابع هزینه می تواند افزایش یابد.
۸. اگر نقطه فعلی مینیمم محلی نباشد همیشه یک جهت کاهشی وجود دارد.
۹. در بهینه سازی نامقید، در نقطه ای که گرادیان تابع هزینه صفر است می توان یک جهت کاهشی یافت.
۱۰. جهت کاهشی با گرادیان تابع هزینه زاویه  $90^\circ - 0^\circ$  می سازد.

مشخص کنید که آیا جهت داده شده در نقطه جهت کاهشی توابع زیر است یا خیر (تمامی محاسبات را نشان دهید) :

$f(\mathbf{x}) = 3x_1^2 + 2x_1 + 2x_2^2 + 7;$	$\mathbf{d} = (-1, 1)$ at $\mathbf{x} = (2, 1)$	۵.۲
$f(\mathbf{x}) = x_1^2 + x_2^2 - 2x_1 - 2x_2 + 4;$	$\mathbf{d} = (2, 1)$ at $\mathbf{x} = (1, 1)$	۵.۳
$f(\mathbf{x}) = x_1^2 + 2x_2^2 + 2x_3^2 + 2x_1x_2 + 2x_2x_3;$	$\mathbf{d} = (-3, 10, -12)$ at $\mathbf{x} = (1, 2, 3)$	۵.۴
$f(\mathbf{x}) = 0.1x_1^2 + x_2^2 - 10;$	$\mathbf{d} = (1, 2)$ at $\mathbf{x} = (4, 1)$	۵.۵
$f(\mathbf{x}) = (x_1 - 2)^2 + (x_2 - 1)^2;$	$\mathbf{d} = (2, 3)$ at $\mathbf{x} = (4, 3)$	۵.۶
$f(\mathbf{x}) = 10(x_2 - x_1^2)^2 + (1 - x_1)^2;$	$\mathbf{d} = (162, -40)$ at $\mathbf{x} = (2, 2)$	۵.۷
$f(\mathbf{x}) = (x_1 - 2)^2 + x_2^2;$	$\mathbf{d} = (-2, 2)$ at $\mathbf{x} = (1, 1)$	۵.۸
$f(\mathbf{x}) = 0.5x_1^2 + x_2^2 - x_1x_2 - 7x_1 - 7x_2;$	$\mathbf{d} = (7, 6)$ at $\mathbf{x} = (1, 1)$	۵.۹
$f(\mathbf{x}) = (x_1 + x_2)^2 + (x_2 + x_3)^2;$	$\mathbf{d} = (4, 8, 4)$ at $\mathbf{x} = (1, 1, 1)$	۵.۱۰
$f(\mathbf{x}) = x_1^2 + x_2^2 + x_3^2;$	$\mathbf{d} = (2, 4, -2)$ at $\mathbf{x} = (1, 2, -1)$	۵.۱۱
$f(\mathbf{x}) = (x_1 + 3x_2 + x_3)^2 + 4(x_1 - x_2)^2;$	$\mathbf{d} = (-2, -6, -2)$ at $\mathbf{x} = (-1, -1, -1)$	۵.۱۲
$f(\mathbf{x}) = 9 - 8x_1 - 6x_2 - 4x_3 + 2x_1^2 + 2x_2^2 + x_3^2 + 2x_1x_2 + 2x_2x_3;$ $\mathbf{d} = (-2, 2, 0)$ at $\mathbf{x} = (1, 1, 1)$		۵.۱۳
$f(\mathbf{x}) = (x_1 - 1)^2 + (x_2 - 2)^2 + (x_3 - 3)^2 + (x_4 - 4)^2;$ $\mathbf{d} = (2, -2, 2, -2)$ at $\mathbf{x} = (2, 1, 4, 3)$		۵.۱۴

### بخش ۵.۳ مینیمم سازی یک بعدی

۱۵. با کلمه صحیح یا غلط پاسخ دهید
  ۱. تعیین اندازه گام همیشه مسئله ای یک بعدی است.
  ۲. در بهینه سازی نامقید، شبیه تابع هزینه در امتداد جهت کاهشی در اندازه گام صفر همیشه ثابت است.
  ۳. گام بهین خارج از بازه عدم اطمینان قرار دارد.

۴. بعد از محصور کردن اولیه، جست و جوی بخش طلایی برای کاهش بازه عدم اطمینان به دوبار محاسبه تابع نیاز دارد.

۵. ۱۶ مینیمم تابع  $22 - 20\alpha + 2\alpha^2 = 7\alpha^2 - 20\alpha + 22$  را با استفاده از روش جست و جوی بازه یکسان با دقّت ۰.۰۰۱ باید.  $\delta = 0.05$  را به کار ببرید.

۵. ۱۷ برای تابع  $22 - 20\alpha + 2\alpha^2 = 7\alpha^2 - 20\alpha + 22$ ، به منظور یافتن مینیمم، روش بخش طلایی با دقّت ۰.۰۰۵ را استفاده کنید (بازه نهایی عدم اطمینان باید کمتر از ۰.۰۰۵ باشد).  $\delta = 0.05$  را به کار ببرید.

۵. ۱۸ برنامه‌ای به زبان فرترن بنویسید تا فرآیند جست و جوی بازه یکسان جایگزین را که در شکل ۵.۷ نشان داده شده برای هر تابع  $f(\alpha)$  اجرا کند. برای تابع  $f(\alpha) = 2 - 4\alpha + e^{-\alpha}$ ، برنامه فرترن خود را برای یافتن مینیمم با دقّت ۰.۰۰۱ استفاده کنید.  $\delta = 0.5$  را به کار ببرید.

۵. ۱۹ تابع  $f(x_1, x_2, x_3) = x_1^2 + 2x_2^2 + 2x_3^2 + 2x_1x_2 + 2x_2x_3$  را در نظر بگیرید. نشان دهید که آیا بردار  $d = (-12, -40, -48)$  در نقطه  $(10, 4, 2)$  یک جهت کاهشی برای آ است یا خیر. شبیه تابع در نقطه داده شده چیست؟ یک اندازه گام بهین در امتداد  $d$  با یک روش عددی باید.

۵. ۲۰ تابع  $f(x_1, x_2) = x_1^2 + x_2^2 - 2x_1 - 2x_2 + 4$  را در نظر بگیرید. در نقطه  $(1, 1)$ ، یک جهت جست و جوی  $d = (1, 2)$  فرض کنید. را به عنوان تابعی یک متغیره در نقطه داده شده و در امتداد  $d$  بیان کنید. یک اندازه گام بهین در امتداد  $d$  به صورت تحلیلی باید.

برای توابع زیر جهت تغییر در یک نقطه داده شده است. تابع یک متغیره‌ای (تابع جست و جوی خطی) باید که بتواند برای به دست آوردن اندازه گام بهین استفاده شود (تمام محاسبات را نشان دهید) :

$$f(\mathbf{x}) = 0.1x_1^2 + x_2^2 - 10; \quad d = (-1, -2) \text{ at } \mathbf{x} = (5, 1) \quad ۵.۲۱$$

$$f(\mathbf{x}) = (x_1 - 2)^2 + (x_2 - 1)^2; \quad d = (-4, -6) \text{ at } \mathbf{x} = (4, 4) \quad ۵.۲۲$$

$$f(\mathbf{x}) = 10(x_2 - x_1^2)^2 + (1 - x_1)^2; \quad d = (-162, 40) \text{ at } \mathbf{x} = (2, 2) \quad ۵.۲۳$$

$$f(\mathbf{x}) = (x_1 - 2)^2 + x_2^2; \quad d = (2, -2) \text{ at } \mathbf{x} = (1, 1) \quad ۵.۲۴$$

$$f(\mathbf{x}) = 0.5x_1^2 + x_2^2 - x_1x_2 - 7x_1 - 7x_2; \quad d = (7, 6) \text{ at } \mathbf{x} = (1, 1) \quad ۵.۲۵$$

$$f(\mathbf{x}) = (x_1 + x_2)^2 + (x_2 + x_1)^2; \quad d = (-4, -8, -4) \text{ at } \mathbf{x} = (1, 1, 1) \quad ۵.۲۶$$

$$f(\mathbf{x}) = x_1^2 + x_2^2 + x_3^2; \quad d = (-2, -4, 2) \text{ at } \mathbf{x} = (1, 2, -1) \quad ۵.۲۷$$

$$f(\mathbf{x}) = (x_1 + 3x_2 + x_3)^2 + 4(x_1 - x_2)^2; \quad d = (1, 3, 1) \text{ at } \mathbf{x} = (-1, -1, -1) \quad ۵.۲۸$$

$$f(\mathbf{x}) = 9 - 8x_1 - 6x_2 - 4x_3 + 2x_1^2 + 2x_2^2 + x_3^2 + 2x_1x_2 + 2x_2x_3; \quad 5.29$$

$$\mathbf{d} = (2, -2, 0) \text{ at } \mathbf{x} = (1, 1, 1)$$

$$f(\mathbf{x}) = (x_1 - 1)^2 + (x_2 - 2)^2 + (x_3 - 3)^2 + (x_4 - 4)^2; \quad 5.30$$

$$\mathbf{d} = (-2, 2, -2, 2) \text{ at } \mathbf{x} = (2, 1, 4, 3)$$

برای مسائل زیر، اندازه گام بهین<sup>\*</sup>  $\alpha$  را با استفاده از جست و جوی بازه یکسان با  $0.05 = \delta$  و  $\epsilon = 0.001$  در نقطه وجهت جست و جوی داده شده پیدا کنید (تمام محاسبات رانشان دهید) :

۵.۲۲ تمرین	۵.۳۲	۵.۲۱ تمرین	۵.۳۱
۵.۲۴ تمرین	۵.۳۴	۵.۲۳ تمرین	۵.۳۳
۵.۲۶ تمرین	۵.۳۶	۵.۲۵ تمرین	۵.۳۵
۵.۲۸ تمرین	۵.۳۸	۵.۲۷ تمرین	۵.۳۶
۵.۳۰ تمرین	۵.۴۰	۵.۲۹ تمرین	۵.۳۸

برای مسائل زیر، اندازه گام بهین<sup>\*</sup>  $\alpha$  را با استفاده از جست و جوی بخش طلایی با  $0.05 = \delta$  و  $\epsilon = 0.001$  در نقطه وجهت جست و جوی داده شده پیدا کنید (تمام محاسبات رانشان دهید) :

۵.۲۲ تمرین	۵.۴۲	۵.۲۱ تمرین	۵.۴۱
۵.۲۴ تمرین	۵.۴۴	۵.۲۳ تمرین	۵.۴۳
۵.۲۶ تمرین	۵.۴۶	۵.۲۵ تمرین	۵.۴۵
۵.۲۸ تمرین	۵.۴۸	۵.۲۷ تمرین	۵.۴۷
۵.۳۰ تمرین	۵.۵۰	۵.۲۹ تمرین	۵.۴۹

برنامه‌ای به زبان فرترن بنویسید که درون یابی چندجمله‌ای را با برآش منحنی درجه دو انجام دهد. تابع  $f(\alpha) = 7\alpha^2 - 20\alpha + 22$  را انتخاب کنید. روش بخش طلایی را برای محصور کردن اوّلیه نقطه مینیمم ( $\alpha_f$ ) و با  $\delta = 0.05$  به کار ببرید. از برنامه خود برای یافتن نقطه مینیمم ( $\alpha_f$ ) استفاده کنید. درباره دقّت جواب بحث کنید.

برای تابع  $f(\alpha) = 7\alpha^2 - 20\alpha + 22$ ، از دو مقدار تابع  $(0)f$  و  $(\alpha_f)f$  و شیب  $f$  در نقطه  $\alpha = 0$  استفاده کرده و منحنی درجه دوی را برآزاید. در اینجا  $\alpha_f$  یک حد بالایی برای نقطه مینیمم ( $\alpha_f$ ) است. از منحنی درجه دو برآزende شده، نقطه مینیمم

حدسی چیست؟ چند چرخه برای یافتن  $\alpha_f$  نیاز است؟ چرا؟

تحت چه موقعیتی روش درون یابی چندجمله‌ای نمی تواند برای مینیمم سازی یک بعدی استفاده شود؟

## ۵.۵۴ داریم

$$f(\mathbf{x}) = 10 - x_1 + x_1 x_2 + x_2^2$$

$$\mathbf{x}^{(0)} = (2, 4); \quad \mathbf{d}^{(0)} = (-1, -1)$$

برای جست و جوی یک بعدی، سه مقدار  $\alpha_i = 4$ ،  $\alpha_i = 2$ ،  $\alpha_i = 0$  به کار رفته اند. با استفاده از درون یابی چندجمله‌ای درجه دو

۱. در چه  $\alpha$  تابع مینیمم می‌شود؟ ثابت کنید این نقطه مینیمم است و نه ماکزیمم.
۲. در چه  $\alpha$ ،  $f(\alpha) = 15$  است؟

## پوش ۵.۳ روش تندترین کاهش

۵.۵۵ با کلمه صحیح با غلط پاسخ دهید

۱. روش تندترین کاهش همگراست.
۲. با شروع از نقطه‌ای که گرادیان تابع در آن غیر صفر است روش تندترین کاهش می‌تواند به یک مینیمم محلی همگراشد.
۳. جهت‌های تندترین کاهش بر هم عمودند.
۴. جهت تندترین کاهش عمود بر سطح هزینه است.

برای مسائل زیر، سه چرخه از روش تندترین کاهش را کامل کنید. از نقاط طراحی داده شده شروع کنید.

$f(x_1, x_2) = x_1^2 + 2x_2^2 - 4x_1 - 2x_1 x_2;$	طراحی شروع (1, 1)	۵.۵۶
$f(x_1, x_2) = 12.096x_1^2 + 21.504x_2^2 - 1.7321x_1 - x_2;$	طراحی شروع (1, 1)	۵.۵۷
$f(x_1, x_2) = 6.983x_1^2 + 12.415x_2^2 - x_1;$	طراحی شروع (2, 1)	۵.۵۸
$f(x_1, x_2) = 12.096x_1^2 + 21.504x_2^2 - x_2;$	طراحی شروع (1, 2)	۵.۵۹
$f(x_1, x_2) = 25x_1^2 + 20x_2^2 - 2x_1 - x_2;$	طراحی شروع (3, 1)	۵.۶۰
$f(x_1, x_2, x_3) = x_1^2 + 2x_2^2 + 2x_3^2 + 2x_1 x_2 + 2x_2 x_3;$	طراحی شروع (1, 1, 1)	۵.۶۱
$f(x_1, x_2) = 8x_1^2 + 8x_2^2 - 80\sqrt{x_1^2 + x_2^2 - 20x_2 + 100}$ $- 80\sqrt{x_1^2 + x_2^2 + 20x_2 + 100} - 5x_1 - 5x_2$		۵.۶۲

طراحی شروع (4, 6)؛ اندازه گام را می‌شود تقریبی گرفت و یا با استفاده از یک برنامه رایانه‌ای محاسبه کرد

$f(x_1, x_2) = 9x_1^2 + 9x_2^2 - 100\sqrt{x_1^2 + x_2^2 - 20x_2 + 100}$ $- 64\sqrt{x_1^2 + x_2^2 + 16x_2 + 64} - 5x_1 - 41x_2$	۵.۶۳
---	------

روشهای عددی برای طراحی بهین نامقید

طراحی شروع (5, 2)؛ اندازه گام را می‌شود تقریبی گرفت و یا با استفاده از یک برنامه رایانه‌ای محاسبه کرد.

$$f(x_1, x_2) = 100(x_2 - x_1^2)^2 + (1 - x_1)^2; \quad 5.64$$

$$f(x_1, x_2, x_3, x_4) = (x_1 - 10x_2)^2 + 5(x_3 - x_4)^2 + (x_2 - 2x_3)^4 + 10(x_1 - x_4)^4 \quad 5.65$$

طراحی شروع را (1, 2, 3, 4) بگیرید.

تمرینهای ۵.۶۵ را با برنامه رایانه‌ای که در پیوست D برای روش تندترین کاهش ارائه داده حل کنید.

۵.۶۷ سه تابع زیر را در نظر بگیرید:

$$f_1 = x_1^2 + x_2^2 + x_3^2; \quad f_2 = x_1^2 + 10x_2^2 + 100x_3^2; \quad f_3 = 100x_1^2 + x_2^2 + 0.1x_3^2$$

تابع  $f_1$ ،  $f_2$  و  $f_3$  را با استفاده از برنامه روش تندترین کاهش که در پیوست D داده شده مینیم کنید. برای تمامی توابع طراحی شروع را (1, 2, 1) انتخاب کنید. از مشاهده عملکرد روش روی توابع فوق چه نتیجه‌ای می‌گیرید؟ برای بهبود نرخ همگرایی روش چگونه متغیرهای طراحی را برای توابع  $f_2$  و  $f_3$  مقیاس بندی می‌کنید؟

۵.۶۸ گرادیان توابع زیر را در نقاط داده شده با روش‌های تفاضل پیشرو، پس رو و مرکزی با ۱٪ تغییر در نقطه محاسبه کرده و آنها را با گرادیان دقیق مقایسه کنید:

$$f(\mathbf{x}) = 12.096x_1^2 + 21.504x_2^2 - 1.7321x_1 - x_2 \text{ at } (5, 6) \quad .1$$

$$f(\mathbf{x}) = 50(x_2 - x_1^2)^2 + (2 - x_1)^2 \text{ at } (1, 2) \quad .2$$

$$f(\mathbf{x}) = x_1^2 + 2x_2^2 + 2x_3^2 + 2x_1x_2 + 2x_2x_3 \text{ at } (1, 2, 3) \quad .3$$

۵.۶۹ مسئله بهینه‌سازی زیر را در نظر بگیرید. عبارت

$$\sum_{i=1}^n u_i \frac{\partial f}{\partial x_i} \quad (\mathbf{c} \cdot \mathbf{u})$$

را با شرط

$$\sum_{i=1}^n u_i^2 = 1$$

ماکزیمم کنید. در این جا  $(u_1, u_2, \dots, u_n) = \mathbf{u}$  مؤلفه‌های یک بردار یکه هستند. این مسئله بهینه‌سازی را حل کنید و نشان دهید  $\mathbf{u}$  که تابع هدف فوق را ماکزیمم می‌کند در حقیقت در جهت گرادیان  $\mathbf{c}$  است.

**بخش ۵.۵ روش گرادیان مزدوج****۵.۷۰ با کلمه صحیح یا غلط پاسخ دهید**

۱. روش گرادیان مزدوج معمولاً از روش تندترین کاهش سریعتر همگرا می‌شود.
۲. جهتهای مزدوج با استفاده از گرادیانهای تابع هزینه محاسبه می‌شوند.
۳. جهتهای مزدوج برهم عمودند.
۴. در محاسبه دقیق اندازه گام، جهت مزدوج در  $k$  امین نقطه عمود بر گرادیان تابع هزینه در  $(k+1)$  امین نقطه است.
۵. جهت مزدوج در  $k$  امین نقطه عمود بر گرادیان تابع هزینه در  $(1-k)$  امین نقطه است.

برای مسائل زیر، دو چرخه از روش گرادیان مزدوج را کامل کنید.

- |      |            |      |            |
|------|------------|------|------------|
| ۵.۷۱ | تمرین ۵.۵۶ | ۵.۷۲ | تمرین ۵.۵۷ |
| ۵.۷۳ | تمرین ۵.۵۸ | ۵.۷۴ | تمرین ۵.۵۹ |
| ۵.۷۵ | تمرین ۵.۶۰ | ۵.۷۶ | تمرین ۵.۶۱ |
| ۵.۷۷ | تمرین ۵.۶۲ | ۵.۷۸ | تمرین ۵.۶۳ |
| ۵.۷۹ | تمرین ۵.۶۴ | ۵.۸۰ | تمرین ۵.۶۵ |

- ۵.۸۱ یک برنامه رایانه‌ای به زبان فرترن بنویسید که روش گرادیان مزدوج را اجرا کند (در واقع برنامه تندترین کاهش داده شده در پست D را بهبود بخشد). تمرینهای ۵.۷۱ تا ۵.۸۰ را با استفاده از برنامه حل کنید.

**بخش ۵.۶ روش نیوتن****۵.۸۲ با کلمه صحیح یا غلط پاسخ دهید**

۱. در روش نیوتن، محاسبه جهت جست وجو در هر نقطه‌ای همیشه امکان‌پذیر است.
۲. جهت نیوتن همیشه جهت کاهشی تابع هزینه است.
۳. روش نیوتن با شروع از هر نقطه و با اندازه گام واحد همگراست.
۴. روش نیوتن در هر نقطه فقط به اطلاعات گرادیان نیاز دارد.

برای مسائل زیر، یک چرخه از روش نیوتن بهبود یافته را کامل کنید؛ همچنین شرط کاهشی را

بررسی کنید.

۵.۰۷ تمرین	۵.۰۸۴	۵.۰۵۶ تمرین	۵.۰۸۳
۵.۰۹ تمرین	۵.۰۸۶	۵.۰۵۸ تمرین	۵.۰۸۵
۵.۰۸ تمرین	۵.۰۸۸	۵.۰۶۰ تمرین	۵.۰۸۷
۵.۰۹ تمرین	۵.۰۹۰	۵.۰۶۲ تمرین	۵.۰۸۹
۵.۰۹۲ تمرین	۵.۰۹۱	۵.۰۶۴ تمرین	۵.۰۹۱

۵.۰۹۳ یک برنامه رایانه‌ای به زبان فرترن برای الگوریتم نیوتن بهبود یافته بنویسید. برای جست و جوی خطی از جست و جوی بازه یکسان استفاده کنید. تمرینهای ۵.۰۸۳ تا ۵.۰۹۲ را با استفاده از برنامه حل کنید.

#### بخش ۵.۷ روش شبیه نیوتن

۵.۰۹۴ با کلمه صحیح یا غلط پاسخ دهید: برای مسائل نامقید

۱. روش دی اف پی تقریبی برای وارون هسیان تولید می‌کند.
۲. روش دی اف پی تقریبی معین مثبت برای وارون هسیان تولید می‌کند.
۳. روش دی اف پی یک جهت کاهشی برای تابع هزینه می‌دهد.
۴. روش بی اف جی اس تقریبی معین مثبت برای هسیان تابع هزینه تولید می‌کند.
۵. روش بی اف جی اس همیشه جهت کاهشی برای تابع هزینه می‌دهد.
۶. روش بی اف جی اس همیشه به هسیان تابع هزینه همگرا می‌شود.

برای مسائل زیر، دو چرخه از روش‌های دیویدان-فلتچر-پاول و بی اف جی اس را کامل کنید.

۵.۰۷ تمرین	۵.۰۹۶	۵.۰۵۶ تمرین	۵.۰۹۵
۵.۰۹ تمرین	۵.۰۹۸	۵.۰۵۸ تمرین	۵.۰۹۷
۵.۱۰ تمرین	۵.۱۰۰	۵.۰۶۰ تمرین	۵.۰۹۹
۵.۱۰۲ تمرین	۵.۰۶۳	۵.۰۶۲ تمرین	۵.۱۰۱
۵.۱۰۴ تمرین	۵.۰۶۵	۵.۰۶۴ تمرین	۵.۱۰۱

۵.۱۰۵ برنامه‌ای بنویسید که روش دیویدان-فلتچر-پاول را اجرا کند. تمرینهای ۵.۰۹۵ تا ۵.۱۰۴ را با استفاده از برنامه حل کنید.

- ۵.۱۰۶ یک برنامه رایانه‌ای برای اجرای روش بی اف جی اس بنویسید. تمرینهای ۵.۹۵ تا ۵.۱۰۴ را با استفاده از برنامه حل کنید.

#### بخش ۵.۸ کاربردهای مهندسی روش‌های نامقید

حالت تعادل سازه دو میله‌ای شکل ۱۶.۵ را با استفاده از داده‌های عددی زیر بیابید.

$$A_1 = 1.5 \text{ cm}^2, A_2 = 2.0 \text{ cm}^2, h = 100 \text{ cm}, s = 150 \text{ cm}, \quad 5.107$$

$$W = 100\,000 \text{ N}, \theta = 45^\circ, E = 21 \text{ MN/cm}^2$$

$$A_1 = 100 \text{ mm}^2, A_2 = 200 \text{ mm}^2, h = 1000 \text{ mm}, s = 1500 \text{ mm}, \quad 5.108$$

$$W = 50\,000 \text{ N}, \theta = 60^\circ, E = 210\,000 \text{ N/mm}^2$$

ریشه‌های معادلات غیرخطی زیر را با استفاده از روش گرادیان مزدوج بیابید:

$$F(x) = 3x - e^x = 0 \quad 5.109$$

$$F(x) = \sin x = 0 \quad 5.110$$

$$F(x) = \cos x = 0 \quad 5.111$$

$$F(x) = \frac{2x}{3} - \sin x = 0 \quad 5.112$$

$$F_1(\mathbf{x}) = 1 - \frac{10}{(x_1^2 x_2)} = 0, \quad F_2(\mathbf{x}) = 1 - \frac{2}{(x_1 x_2^2)} = 0 \quad 5.113$$

$$F_1(\mathbf{x}) = 5 - \frac{1}{8}x_1 x_2 - \frac{1}{4x_1^2}x_2^2 = 0, \quad F_2(\mathbf{x}) = -\frac{1}{16}x_1^2 + \frac{1}{2x_1}x_2 = 0 \quad 5.114$$



## فصل ششم

### روشهای عددی برای طراحی بهین مقید

#### ۶.۱ مقدمه

در فصل گذشته، مسأله مقید به دنباله ای از مسائل نامقید تبدیل شد. جوابهای مسائل نامقید به جواب مسأله مقید اصلی همگرا شد. برای حل مسأله مقید تبدیل شده، هر روش بهینه سازی عددی نامقید می تواند به کار رود.

در این فصل، ما روشهای عددی را - که گاهی روشهای ابتدایی نامیده می شوند - که مستقیماً مسأله بهینه سازی مقید اصلی را حل می کنند شرح می دهیم. مسأله مقیدی که ما می خواهیم حل کنیم در بخش ۲.۷ رابطه سازی شده است. برای سادگی کار، در اینجا مجدداً بیان می شود: یک بردار  $\mathbf{x}$  بعدی متغیر طراحی  $(x_1, \dots, x_n) = \mathbf{x}$  باید تابع هزینه

$$f = f(\mathbf{x}) \quad (6.1)$$

را مشروط به قیود مساوی

$$h_i(\mathbf{x}) = 0; \quad i = 1 \text{ to } p \quad (6.2)$$

قیود نامساوی

$$g_i(\mathbf{x}) \leq 0; \quad i = 1 \text{ to } m \quad (6.3)$$

### و محدودهٔ صریع متغیرهای طراحی

$$N = \{x \mid x \in S \quad \text{با} \quad \|x - x^*\| < \delta\} \quad (6.4)$$

که در آن  $x$  و  $x^*$  به ترتیب کوچکترین و بزرگترین مقدار مجاز امین متغیر طراحی است، مینیمم کند. دقت کنید که قیود محدودهٔ صریع متغیرهای طراحی معادله (۶.۴) کاملاً ساده‌هستند و در برنامه‌های روش‌های عددی براحتی می‌توان با آنها برخورد کرد. معمولاً این نوع برخورد از کارایی بیشتری برخوردار است. با این‌همه در بحث روش‌های عددی فرض می‌کنیم آنها در معادله (۶.۳) قیود نامساوی ملحوظ شده‌اند. دقت کنید که ماتنها روش‌هایی را بحث خواهیم کرد که با استفاده از آنها می‌توان مسائل مقید عمومی که در معادله‌های (۶.۱) تا (۶.۴) تعریف شدند، حل کرد.

مانند مسائل نامقید، روش‌های متعددی برای الگوی عمومی مسائل بهینه‌سازی مقید فوق مورد بحث قرار گرفته است. بیشتر روش‌ها مانند گذشته نگرش دوگامی را دنبال می‌کنند: گامهای تعیین جهت جست و جو و طول گام. دیدگاهی که این جا دنبال می‌شود عبارت است از تشریح پنداره‌ها و مفاهیم زیربنایی روش‌ها، و از بیان جامع روشها و محاسن و معایب آنها پرهیز می‌شود. تنها چند روش ساده که کاربری عمومی تری دارند با بیان مثالهایی مورد بحث قرار خواهند گرفت.

در بخش ۴.۵ روش تندترین کاهش را برای حل مسائل بهینه‌سازی نامقید تشریح کردیم. آن روش بسیار ساده بود. اما مستقیماً برای مسائل مقید کاربری نداشت. یک دلیل این است که ما باید هنگام محاسبه جهت جست و جو قیودی را در نظر بگیریم. در این فصل، ما روش تندترین کاهش مقید را تشریح خواهیم کرد که جهت تغییر طراحی را با در نظر گرفتن عملکرد محلی توابع قیود و هزینه محاسبه می‌کند. این روشها (و بسیاری از روش‌های دیگر) براساس خطی‌سازی مسئله حول حدس فعلی طرح بهین قرار دارند. بنابراین، خطی‌سازی مسئله بسیار مهم است و با جزئیات بحث خواهد شد. وقتی مسئله خطی شد، طبیعی است که سؤال شود آیا مسئله را می‌توان با استفاده از روش‌های برنامه‌ریزی خطی حل کرد یا خیر. بنابراین، ابتدا روشی را که یک توسعه ساده روش سیمپلکس برنامه‌ریزی خطی است شرح می‌دهیم. سپس توسعه روش تندترین کاهش را برای مسائل مقید به بحث خواهیم گذاشت.

خلاصه‌ای از مباحث این فصل در زیر می‌آید.

بخش ۲.۶ مفاهیم و پنداره‌های اساسی. این بخش حاوی مفاهیم اصلی، پنداره‌ها و

تعاریف عباراتی که در روش‌های عددی بهینه‌سازی مقید استفاده می‌شود است. وضعیت یک قید در یک نقطه طراحی تعریف می‌شود. قیود فعال، غیرفعال، نقض شده و فعال (مساوی و غیرمساوی) تعریف می‌شوند. نرمال‌سازی قیود و مزایای آن با مثال تشریح می‌شود. پنداره "راهبرد قید پتانسیل"، تابع کاهشی، و همگرامی الگوریتم تشریح می‌شوند.

**بخش ۳.۶ خطی سازی مسأله** استفاده از بسط سری تیلور برای خطی سازی یک مسأله بهینه‌سازی مقید غیرخطی گامی اساسی در اکثر روش‌های بهینه‌سازی عددی است. این مطلب را با مثال تشریح خواهیم کرد.

**بخش ۴.۶ الگوریتم برنامه ریزی خطی دنباله‌ای** وقتی خطی سازی مسأله تعریف شد، از روش سیمپلکس برنامه ریزی خطی می‌توان برای به دست آوردن جهت جست و جو استفاده کرد. این موضوع با مثالهایی توضیح داده می‌شود. پنداره حدود حرکت و لزوم آن تشریح می‌شود. یک برنامه ریزی خطی دنباله‌ای (اس ال پی، SLP) تعریف می‌شود. محاسب و معایب روش بحث می‌شوند.

**بخش ۵.۶ زیرمسأله برنامه ریزی درجه دو** زیربرنامه خطی شده تبدیل به یک زیرمسأله برنامه ریزی درجه دو (کیو پی QP) می‌شود که تابع هزینه درجه دو و قیود خطی دارد. محاسب زیرمسأله QP نسبت به زیرمسأله LP تشریح می‌شود. روشی برای حل مسائل QP براساس تعیین روش سیمپلکس برای LP شرح داده می‌شود.

**بخش ۶.۶ روش تندترین کاهش مقید** با استفاده از زیرمسأله QP الگوریتم تندترین کاهش مقید ارائه و با مثالهایی تشریح می‌شود. یک تابع کاهشی و شرط کاهش تعریف می‌شوند. یک روش ساده دو قسمتی برای به دست آوردن اندازه گام مناسب ارائه می‌شود. روش بسیار عمومی است و می‌تواند قیود مساوی و نامساوی را دربر گیرد و نقطه طراحی اولیه اختیاری باشد، یعنی می‌تواند قابل قبول یا غیرقابل قبول باشد.

**بخش ۷.۶ روش‌های شبه نیوتون مقید** در این بخش، الگوریتم تندترین کاهش مقید تعیین داده می‌شود تا شامل هسیان تابع لاگرانژ در تعریف زیرمسأله QP شود. چگونگی به دست آوردن زیرمسأله بیان شده و روش بهنگام کردن هسیان تقریبی تشریح می‌شود. پنداره روش‌های شبه نیوتون مقید کاملاً ساده و سرراست هستند، اما در عملکرد عددی بسیار مؤثرند. روش با یک مثال تشریح شده و جنبه‌های عددی بحث می‌شوند. این روش در فصل ۷ و ۸ برای مسائل طراحی متعددی استفاده می‌شود.

بخش ۶.۶ روشهای دیگر، روشهای متعدد دیگری برای مسائل بهینه سازی مقید تدوین شده و مورد ارزیابی قرار گرفته اند. به علاوه، شکلهای متفاوتی از روشها بحث شده است. ما به طور مختصر پنداره‌های اساسی سه روش-جهت قابل قبول، تصویر گرادیان و گرادیان کاهش یافته عمومی-را که برای حل بعضی از مسائل طراحی مهندسی به کار رفته اند شرح می‌دهیم.

## ۶.۲ مفاهیم اصلی و پنداره‌ها

### ۶.۲.۱ مفاهیم اساسی مربوط به الگوریتمهای مسائل مقید

در روشهای عددی مستقیم (جست و جو)، همچنان که برای روشهای نامقید در فصل ۵ شرح دادیم برای شروع فرآیند چرخه، یک طراحی انتخاب می‌کنیم؛ فرآیند چرخه را تازمانی که حرکت بیشتری امکان‌پذیر نباشد و شرایط بهینگی برآورده شوند ادامه می‌دهیم. بیشتر مفاهیم عمومی الگوریتمهای عددی چرخه‌ای که در بخش ۶.۵ بحث شد به روشهای مسائل بهینه سازی مقید قابل تعمیم هستند. بنابراین، تمامی آن مفاهیم باید دوباره مرور شوند.  
همه روشهای بحث شده در این فصل براساس دستورالعمل چرخه‌ای زیر قرار دارند؛ همچنان که در معادله‌های (۶.۵) و (۶.۶) برای مسائل نامقید نیز ارائه شد:

$$\mathbf{x}^{(k+1)} = \mathbf{x}^{(k)} + \Delta \mathbf{x}^{(k)}; \quad k = 0, 1, 2, \dots \quad (6.5)$$

$$x_i^{(k+1)} = x_i^{(k)} + \Delta x_i^{(k)}; \quad k = 0, 1, 2, \dots \quad i = 1 \text{ to } n \quad (6.6)$$

اندیس بالایی  $k$  نمایشگر شماره چرخه یا سیکل طراحی، اندیس پایینی  $i$  مربوط به  $i$  امین متغیر طراحی،  $\Delta \mathbf{x}$  حدس طراحی شروع،  $\Delta x_i$  نمایانگر تغییر کوچکی در طرح فعلی است. مانند روشهای عددی نامقید، تغییر طرح  $\Delta \mathbf{x}$  از دو قسمت تشکیل شده است:

$$\Delta \mathbf{x}^{(k)} = \alpha_k \mathbf{d}^{(k)} \quad (6.7)$$

که در آن  $\alpha_k$  عبارت است از اندازه گام در جهت جست و جوی  $\mathbf{d}^{(k)}$ . پس بهبود طراحی شامل جواب زیرمسائل جهت جست و جو و تعیین اندازه گام است. جواب هر دو زیرمسئله می‌تواند شامل مقادیر توابع هزینه و قید و گرادیان آنها در نقطه طراحی فعلی باشد.  
از نظر مفهومی، الگوریتم مسائل بهینه سازی مقید و نامقید براساس فلسفه چرخه‌ای

مشابهی قرار دارند. اما یک تفاوت مهم وجود دارد: برای مسائل مقید، باید هنگام تعیین جهت جست و جو و اندازه گام، قیود در نظر گرفته شوند. تغییر روش در تعیین هر کدام از آنها می‌تواند الگوریتم بهینه‌سازی متفاوتی را بدهد. ما به طور کلی یکی دو تا از این روشها را که الگوریتمها را در فضای طراحی پیش می‌برد بحث خواهیم کرد.

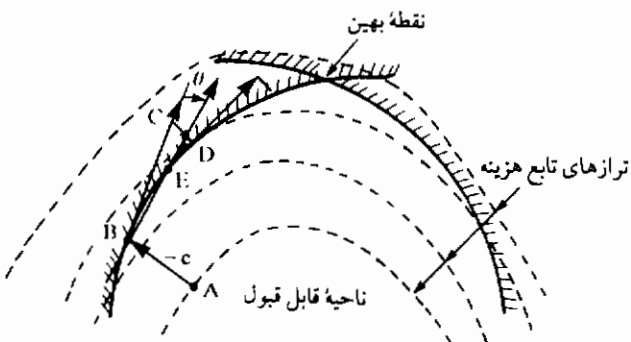
تمامی الگوریتمها به یک حدس طراحی برای شروع فرآیند چرخه نیاز دارند. طراحی شروع می‌تواند قابل قبول یا غیرقابل قبول باشد. اگر داخل فضای قابل قبول باشد، مانند نقطه A در شکل ۱.۶، آن گاه دو امکان وجود دارد:

۱. گرادیان تابع هزینه در نقطه صفر است، پس یک نقطه ایستای نامقید است. شرط کافی برای بهینگی نقطه را باید برسی کنیم.

۲. اگر نقطه فعلی ایستا نیست، آن گاه می‌توانیم تابع هزینه را با حرکت در امتداد جهت کاهشی کاهش دهیم؛ مثلاً، جهت تندترین کاهش (c-) همچنان که در شکل ۱.۶ نشان داده شده است. چنین چرخه‌هایی را تازمانی که به قیدی برخورد شود یا به نقطه مینیمم نامقید برسیم ادامه می‌دهیم.

در ادامه بحث فرض می‌کنیم که نقطه بهین در روی مرز مجموعه قید قرار دارد، یعنی بعضی از قیود در بهین فعال هستند.

زمانی که با مرز قیدی برخورد می‌شود مثل نقطه B، یک راهبرد این است که در امتداد محاس بر مرز حرکت شود، مثل جهت B-C در شکل ۱.۶. این به یک نقطه غیرقابل قبول می‌رسد که از آن جا دوباره قید تصحیح می‌شود تا به نقطه قابل قبولی مثل D در شکل ۱.۶.



شکل ۱.۶ گامهای منتهی الگوریتمهای بهینه‌سازی مقید که از یک نقطه قابل قبول شروع شده است

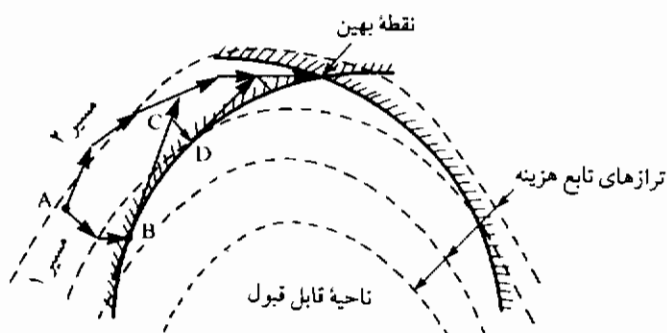
برسیم. از آن جا گامهای قبلی تکرار می‌شود تا به نقطهٔ بهین برسیم. راهکار دیگر عبارت است از مایل نمودن جهت مماسی  $C-B$  به اندازهٔ زاویهٔ مشخصی مثل  $\theta$  به طرف ناحیهٔ قابل قبول. آن گاه یک جست و جوی خطی در ناحیهٔ قابل قبول انجام می‌شود تا به نقطهٔ مرزی  $E$  برسیم؛ همچنان که در شکل ۱.۶ نشان داده شده است. آن گاه روش از آن جا تکرار می‌شود.

وقتی نقطهٔ شروع غیرقابل قبول است، مانند نقطهٔ  $A$  در شکل ۱.۶، آن گاه یک راهکار این است که قیود را تصحیح کنیم تا به مرز قید در نقطهٔ  $B$  برسیم. از آن جا، راهکاری را که در بند قبلی تشریع شد می‌توان دنبال کرد تا به نقطهٔ بهین برسیم. این مطلب در مسیر ۱ در شکل ۲.۶ نشان داده شده است. راهکار دوم عبارت است از کاربرد یک فرآیند چرخه‌ای در ناحیهٔ غیرقابل قبول با محاسبهٔ جهتهایی که نقاط طراحی متوالی را به نقطهٔ بهین نزدیکتر می‌کند و با مسیر ۲ در شکل ۲.۶ نشان داده شده است.

براساس راهکارهایی که تاکنون تشریع کردیم الگوریتمهای متعددی تدوین شده و مورد ارزیابی قرار گرفته‌اند. بعضی از الگوریتمها برای دسته‌ای از مسائل از بقیهٔ بهترند. تعدادی از الگوریتمها اگر مسأله فقط قیود نامساوی داشته باشد خوب کار می‌کنند، در صورتی که بعضی دیگر می‌توانند به طور همزمان قیود مساوی و نامساوی را در نظر بگیرند. در این کتاب، ما بیشتر روی الگوریتمهای عمومی که محدودیتی روی توابع هزینه یا قیود ندارند تکیه می‌کنیم.

بیشتر الگوریتمهایی که تشریح خواهیم کرد براساس چهار گام اساسی زیر قرار دارند:

۱. خطی سازی توابع هزینه و قید حول حدس طراحی بهین داده شده ( فعلی). بعضی از روشها نیاز به خطی سازی همهٔ آنها دارند، در صورتی که بعضی دیگر فقط به خطی سازی تعدادی از آنها اکتفا می‌کنند.



شکل ۲.۶ گامهای مفهومی الگوریتمهای بهین‌سازی مقید که از یک نقطه غیرقابل قبول شروع می‌شود.

۲. تعریف زیر مسأله تعین جهت جست وجو با استفاده از توابع هزینه و قید خطی شده (همه یا بخشی از آنها).

۳. حل زیر مسأله که جهت جست وجو را در فضای طراحی می دهد.

۴. محاسبه اندازه گامی که یک تابع کاهشی مناسب را در جهت جست وجو مینیمم کند (در بخش‌های ۶.۲.۵ و ۶.۶.۱ با جزئیات بیشتر تشریح می شود). برای مسائل نامقید، تابع هزینه به عنوان تابع کاهشی استفاده می شود. برای مسائل مقید، تابع کاهشی متعددی، مانند تابع هزینه، به کار رفته اند. بعضی از توابع کاهشی تابع هزینه را با اضافه کردن جملات جریمه استفاده می کنند که اثر نقض قید در آنها ملاحظه شده است.

### ۶.۲.۳ وضعیت قید در یک نقطه طراحی

یک قید نامساوی در نقطه طراحی می تواند فعال باشد یا غیرفعال باشد یا نقض شود و یا غیرفعال باشد. از طرف دیگر، یک قید مساوی در یک نقطه طراحی یا فعال یا نقض شده است.

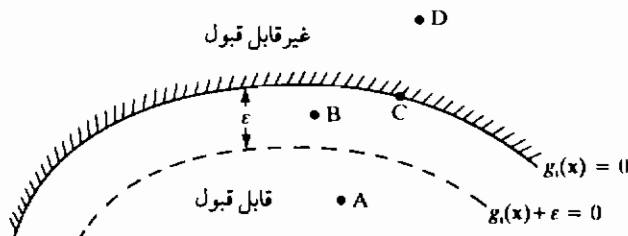
تعریف دقیق وضعیت قید در یک نقطه طراحی در تدوین و بحث روشهای عددی موردنیاز است. قید فعال. یک قید نامساوی  $0 \leq (x, g)$  در یک نقطه طراحی  $(x, g)$  فعال (یا محکم) گفته می شود اگر در نقطه به صورت مساوی برآورده شود؛ یعنی  $0 = (x, g)$ .

قید غیرفعال. یک قید نامساوی  $0 \leq (x, g)$  در نقطه طراحی  $(x, g)$  غیرفعال گفته می شود اگر در آن نقطه مقدار منفی داشته باشد؛ یعنی  $0 < (x, g)$ .

قید نقض شده. یک قید نامساوی  $0 \leq (x, g)$  در نقطه طراحی  $(x, g)$  را نقض شده گویند اگر در آن نقطه مقدار مثبت داشته باشد، یعنی  $0 > (x, g)$ . یک قید مساوی  $0 = (x, g)$  در یک نقطه طراحی  $(x, g)$  نقض شده است اگر در آن نقطه مقدار غیر صفر داشته باشد یعنی  $0 \neq (x, g)$ . دقت کنید که با این تعاریف، یک قید مساوی در هر نقطه طراحی همیشه یا فعال است یا نقض شده.

اکنون قیود  $\epsilon$  فعال را معرفی می کنیم. برای تعریف چنین قیودی، یک عدد کوچک مثبت  $\epsilon$  انتخاب می کنیم.

قید  $\epsilon$  فعال. هر قید نامساوی  $0 \leq (x, g)$  را در نقطه  $(x, g)$ ،  $\epsilon$  فعال گویند اگر  $0 < (x, g) + \epsilon \geq 0$  باشد، در حالی که  $0 < (x, g)$  یک عدد کوچک است. یک قید  $\epsilon$  فعال برای یک نقطه طراحی بسادگی این مفهوم را می رساند که نقطه طراحی در نزدیکی مرز قید در طرف قابل قبول (در کران  $\epsilon$ ، همچنان که در شکل ۳.۶ نشان داده شده) است.



شکل ۳.۶ وضعیت یک قید در نقاط طراحی A، B، C و D

برای درک پنداره وضعیت قید، به شکل ۳.۶ بر می‌گردیم. قید نامساوی  $g_i(x) \leq 0$  را در نظر بگیرید. مرز قید (که در فضای  $n$  بعدی یک سطح است)،  $g_i(x) = 0$ ، رسم می‌شود. یک مرز مصنوعی در فاصله  $\epsilon$  از مرز  $g_i(x) = 0$  و در داخل ناحیه قابل قبول نیز رسم می‌شود. چهار نقطه طراحی A، B، C و D را در نظر می‌گیریم، همچنان که در شکل ۳.۶ نشان داده شده است. برای نقطه طراحی A، قید  $g_i(x) < 0$  منفی بوده و حتی  $g_i(x) + \epsilon > 0$  است. پس، قید برای نقطه طراحی A، غیرفعال است. برای نقطه طراحی B،  $\epsilon$  فعال است. برای نقطه طراحی C،  $g_i(x) = 0$  است، همچنان که در شکل ۳.۶ نشان داده شده است. بنابراین، قید در آنجا فعال است. برای نقطه طراحی D،  $g_i(x)$  از صفر بزرگتر است، پس قید نقض شده است.

### ۶.۲.۳ نومال‌سازی قید

در محاسبات عددی نرمال‌سازی تمامی توابع قیود مطلوب است. همان‌طور که قبل آنکه شد، از قیود  $\epsilon$  فعال، فعل و نقض شده برای محاسبه یک جهت مطلوب در تغییر طرح استفاده می‌شود. معمولاً برای تمامی قیود از یک مقدار برای  $\epsilon$  (مثلاً 0.10) استفاده می‌شود. چون قیود مختلف از نظر بزرگی مرتبه‌های مختلفی دارند، استفاده از یک  $\epsilon$  مشابه برای تمامی قیود مناسب نیست مگر آن که آنها را نرمال کنیم. به عنوان مثال، یک قید تنش مثل

$$\sigma \leq \sigma_a \quad \text{یا} \quad \sigma - \sigma_a \leq 0 \quad (6.8)$$

و یک قید جابه‌جائی مثل

$$\delta \leq \delta_a \quad \text{یا} \quad \delta - \delta_a \leq 0 \quad (6.9)$$

در نظر بگیرید که  $\sigma =$  تنش محاسبه شده در یک عضو،  $\delta =$  تنش مجاز (تنش کارکرد)،  $\delta_{\text{خ}} =$  خیز محاسبه شده در یک نقطه و  $\delta_{\text{خ}} =$  خیز مجاز می باشد.

دقّت کنید که واحدهای دو قید با هم متفاوتند. قید معادله (۶.۸) شامل تنش است که واحد آن پاسکال ( $\text{Pa}$ ,  $\text{N}/\text{m}^2$ ) می باشد. به عنوان مثال تنش مجاز فولاد ۲۵۰ MPa است. قید دیگر معادله (۶.۹) شامل خیز سازه می باشد که ممکن است فقط چند سانتی متر باشد. به عنوان مثال خیز مجاز  $\delta$  ممکن است تنها ۲ cm باشد. پس، مقدار دو قید از نظر مرتبه بزرگی بسیار تفاوت دارد. اگر قیود نقض شوند، قضایت در مورد شدت نقض شدن شان مشکل است. می توانیم قیود را با تقسیم آنها بر مقادیر مجاز مربوطه شان نرمال کنیم و قید نرمال شده

$$R - 1.0 \leq 0 \quad (6.10)$$

را به دست آوریم که در آن برای قید تنش  $R = \sigma/\sigma_i$  و برای قید خیز  $R = \delta/\delta_i$  است. در اینجا، فرض شده هر دو  $\sigma_i$  و  $\delta_i$  مثبت باشند، در غیر این صورت جهت نامساوی تغییر می کند. برای قیود نرمال شده، وارسی قیود فعال با استفاده از یک  $\omega$  برای هر دوی آنها ساده است. قیود دیگری هستند که وقتی نسبت به مقدار اسمی شان نرمال می شوند باید به شکل

$$1.0 - R \leq 0 \quad (6.11)$$

نوشته شوند. به عنوان مثال، بسامد اصلی ارتعاشی  $\omega$  یک سازه و یا یک عضو سازه باید بالای مقدار حدی  $\omega_i$  باشد، یعنی  $\omega_i \geq \omega$ . وقتی قید نرمال شده و به شکل استاندارد "کوچکتر از" تبدیل شود مانند آنچه در معادله (۶.۱۱) داده شده می شود که در آن  $\omega_i/\omega = R$  است. در بحثهای بعدی، فرض شده که تمامی قیود مساوی و نامساوی به شکل نرمال شده معادلات (۶.۱۰) و (۶.۱۱) تبدیل شده اند.

قیدهایی وجود دارند که نمی توان آنها را نرمال کرد. برای این قیدها ممکن است مقادیر مجاز صفر باشد. به عنوان مثال، حد پایینی بعضی از متغیرها ممکن است صفر باشد. چنین قیدهایی نمی توانند نسبت به حد پایینی شان نرمال شوند، زیرا تقسیم بر صفر ممکن نیست. این قیود را می شود به شکل اصلی شان نگاه داشت.

نهال ۶.۱ نرمال سازی قید و وضعیت آن در یک نقطه. دو قید  $x_1^2 + x_2^2 / 2 = 18$  و  $0 \leq x_2 - 30000x_1 - 500 \bar{x}$  را در نظر بگیرید. در نقاط طراحی (۱.۱) و (۱.۴.۵) ، فعال بودن، نقض شدن، غیرفعال بودن قیود را بحث کنید.

از  $\epsilon = 0.1$  برای بررسی قبود عفعال استفاده کنید.

حل. قيد آن را نرمال کرده و آن را به شکل استاندارد در می آوریم. داریم

$$h = \frac{1}{18}x_1^2 + \frac{1}{36}x_2 - 1.0 = 0$$

با ارزیابی قيد در دو نقطه داریم،  $h(1, 1) = -0.9166$  ، و  $h(-4.5, -4.5) = 0$  . بنابراین قيد مساوی در  $(1, 1)$  نقض و در  $(-4.5, -4.5)$  فعال است.

قيد نامساوی هجتم تواند با تقسیم آن بر  $x_2$  ۳۰۰۰۰ نرمال شود زیرا  $x_2$  در نقطه دوم مقدار منفی دارد. با این موقعیت باید با دقت برخورد کنیم. برای نقطه  $(1, 1)$  ، می توانیم قید را بر  $x_2$  ۳۰۰۰۰ تقسیم کنیم و آن را به شکل زیر بنویسیم؛ زیرا  $x_2$  مثبت است،

$$g = \frac{x_1}{60x_2} - 1.0 \leq 0$$

در نقطه  $(1, 1)$  ،  $g = -0.9833 < 0$  ، بنابراین قيد غیرفعال است. حتی  $\epsilon = 0$  و قيد عفعال هم نیست.

برای تعیین وضعیت قيد نامساوی در نقطه دوم دوراه وجود دارد: در روش اول، چون می دانیم که مقدار منفی دارد، وقتی بر  $x_2$  ۳۰۰۰۰ تقسیم می شود، جهت نامساوی عوض شده و می شود  $0 \geq 1.0 - \frac{x_1}{60x_2}$ . حال می توانیم با ضرب آن در  $-1$  ، این را به قيد "نوع که" تبدیل کنیم یعنی

$$g = \frac{-x_1}{60x_2} + 1.0 \leq 0$$

اکنون  $g = 0.98370 ; -4.5$  ، بنابراین قيد نقض شده است.

روش دیگر عبارت است از تقسیم قيد با استفاده از مقدار قدر مطلق  $x_2$  ، یعنی اینها  $30000$  . در این حالت قيد می شود

$$g = \frac{x_1}{60|x_2|} - \frac{x_2}{|x_2|} \leq 0.$$

می توانیم یکتابع علامت تعریف کنیم، نظیر

$$\text{sign}(x_2) = \begin{cases} 1, & \text{if } x_2 > 0 \\ -1, & \text{if } x_2 < 0 \end{cases}$$

آن گاه قيد می شود

$$g = \frac{x_1}{60|x_2|} - \text{sign}(x_2) \leq 0$$

این شکل قید می‌تواند برای هر دو نقطه داده شده استفاده گردد. می‌توان نشان داد که با این شکل  $0 < g(1, 1) = -0.9833$  و  $0 = g(-4.5, -4.5)$ .

برای بعضی از انواع قیود، نرمال‌سازی آنها در محاسبات عددی واقعی ممکن است مطلوب نباشد. به عنوان مثال، وقتی قید  $0 \leq 500x_1 - 30000x_2$  با  $\leq 0$  جایگزین شود، طبیعت تابع عوض می‌شود. تابع اصلی خطی، ولی تابع نرمال شده غیرخطی است. از نظر عددی کار کردن با قیود خطی ساده‌تر است تا کار با قیود غیرخطی. هنگام نرمال‌سازی قیود در محاسبات عددی دقت و تجربه لازم است. اگر یک نرمال‌سازی کار نکرد، نرمال‌سازی دیگری باید انجام شود. در بعضی از حالات بولیزه برای قیود مساوی ممکن است استفاده کردن از قیود نرمال شده بهتر باشد. پس، در محاسبات عددی، برای بعضی از مسائل تجربیات نرمال‌سازی قیود باید به کار گرفته شوند.

## ۶.۲.۴ راهبرد الید پتانسیل

برای یافتن جهت جست وجو در روش‌های عددی بهینه‌سازی مقید، در هر چرخه طراحی، شخص نیاز به داشتن توابع هزینه و قیود و گرادیان آنها دارد. الگوریتمهای عددی بهینه‌سازی مقید را می‌توان براساس این که در هر چرخه طراحی گرادیان تمام قیود و یا زیرمجموعه‌ای از آنها را نیاز دارند، دسته‌بندی کرد. الگوریتمهای عددی که در هر چرخه طراحی فقط از گرادیان زیرمجموعه‌ای از قیود استفاده می‌کنند به الگوریتمهای که راهبرد قید پتانسیل را به کار می‌برند مشهورند. مجموعه قید پتانسیل، به طور کلی، شامل قیود فعال، غیرفعال و نقض شده در چرخه فعلی می‌شود. راهبردهای قید پتانسیل مختلفی می‌توانند وجود داشته باشد. به عنوان مثال، می‌توانیم یک راهبرد قید پتانسیل بسیار ساده‌ای را با تعریف یک مجموعه اندیسی، در چرخه، ام به شکل زیر تعریف کنیم:

$$I_k = \left[ \begin{array}{l} \{j \mid j = 1 \text{ to } p \\ \{i \mid g_i(x^{(k)}) + \varepsilon \geq 0, i = 1 \text{ to } m \} \end{array} \right] \quad (6.12)$$

دقت کنید که مجموعه اندیسی قید پتانسیل، معادله (۶.۱۲) تمامی قیود فعال، غیرفعال و نقض شده را شامل می‌شود. قیود مساوی طبق تعریف مجموعه، همیشه در آن وجود دارند.

همچنین دقت کنید که، شامل فهرست قیود مجموعه پتانسیل است.

**مثال ۶.۲** به دست آوردن مجموعه قید پتانسیل، شش قيد زیر را در نظر بگیرید:

$$g_1 = \frac{1}{18}x_1^2 + \frac{1}{36}x_2 - 1.0 \leq 0$$

$$g_2 = x_2 - 10 \leq 0$$

$$g_3 = -x_2 - 2 \leq 0$$

$$g_4 = -\frac{x_1}{60x_2} + 1.0 \leq 0$$

$$g_5 = -\frac{x_2}{x_1} + 1.0 \leq 0$$

$$g_6 = -x_1 \leq 0$$

فرض کنید  $x = (-4.5, 0.1)$  و  $\varepsilon = 0.1$ . مجموعه اندیسی قید پتانسیل، را که با معادله (۶.۱۲) تعریف می شود تشکیل دهد.

حل. بعد از نرمال سازی، قیود  $g_2$  و  $g_3$  عبارت خواهند بود از  $-x_2 / 2 - 1.0 \leq 0$  و  $x_2 / 10 - 1.0 \leq 0$ . با ارزیابی قیود در نقطه داده شده، داریم

$$g_1 = \frac{1}{18}(-4.5)^2 + \frac{1}{36}(-4.5) - 1.0 = 0 \quad (\text{فعال})$$

$$\bar{g}_2 = -\frac{4.5}{10} - 1.0 = -1.45 < 0 \quad (\text{غیرفعال})$$

$$\bar{g}_3 = -\frac{-4.5}{2} - 1.0 = 1.25 > 0 \quad (\text{نقض شده})$$

$$g_4 = -\frac{-4.5}{60(-4.5)} + 1.0 = 0.983 > 0 \quad (\text{نقض شده})$$

$$g_5 = -\frac{-4.5}{-4.5} + 1.0 = 0 \quad (\text{فعال})$$

$$g_6 = -(-4.5) = 4.5 > 0 \quad (\text{نقض شده})$$

بنابراین، می بینیم که  $g_1$  و  $g_5$  فعال و  $g_2$ ،  $g_3$  و  $g_6$  نقض شده اند. چون  $0 < \varepsilon < \bar{g}_2 + \varepsilon$  است پس آن  $\varepsilon$  فعال نیست. بنابراین

## ۶.۲.۵ تابع کاهشی

برای بهینه سازی نامقید، الگوریتمهای فصل (۵) در هر چرخه طراحی به کاهش تابع هزینه نیاز داشتند. با آن ضرورت، در فرآیند همیشه کاهش به طرف نقطه مینیمم وجود داشت. تابعی را که برای بازبینی و کنترل پیشرفت به طرف مینیمم به کار می رود تابع کاهشی یا تابع شایستگی می نامند. در مسائل بهینه سازی نامقید از تابع هزینه به عنوان تابع کاهشی استفاده می شود.

پنداره تابع کاهشی در بهینه سازی مقید نیز بسیار مهم است. ولی استفاده از تابع هزینه به عنوان تابع کاهشی برای بهینه سازی مقید بسیار وقت گیر است. بنابراین، توابع کاهشی دیگر پیشنهاد و استفاده شده اند. بعداً در این فصل بعضی از آن توابع را بررسی خواهیم کرد. در این موقعیت باید مقصود از تابع کاهشی به شکلی مطلوب درک شود. پنداره اصلی عبارت است از محاسبه یک جهت جست وجو<sup>(۱)</sup> و یک اندازه گام در امتداد آن طوری که تابع کاهشی باقی بماند. با این تضمین پیشرفت مورد نظر به سوی نقطه مینیمم همچنان باقی است. تابع کاهشی این خاصیت را نیز دارد که مقدار مینیمم آن با مینیمم تابع اصلی یکسان است.

## ۶.۲.۶ همگرایی یک الگوریتم

پنداره همگرایی یک الگوریتم در مسائل بهینه سازی مقید بسیار مهم است. ابتدا این پنداره را تعریف و سپس اهمیت آن را بحث کرده و آن گاه چگونگی رسیدن به آن را بیان می کنیم.

یک الگوریتم اگر با شروع از یک نقطه طراحی دلخواه به مینیمم بر سرده همگرا گویند. الگوریتمی را که اثبات شده با شروع از یک نقطه دلخواه همگرا می شود روش توانمند گویند. در کاربردهای عملی بهینه سازی چنین الگوریتمهای قابل اعتمادی بسیار مطلوبند. بسیاری از مسائل طراحی مهندسی نیاز به محاسبات عددی زیادی برای محاسبه توابع و گرادیانهای آنها دارند. ناکامی الگوریتم می تواند اثرات زیان باری روی فکر و برداشت طراحان داشته باشد و به از بین رفتن منابع ارزشمندی بینجامد. پس، برای کاربردهای عملی، تدوین الگوریتمهای همگرا بسیار مهم است. به همان اندازه تقویت همگرایی در پیاده سازی عددی الگوریتمها در نرم افزارهای بهینه سازی طراحی عمومی اهمیت دارد.

هر الگوریتم همگرا دو ویژگی زیر را دارد است :

۱. برای الگوریتم یک تابع کاهشی وجود دارد. پنداره عبارت است از این که تابع کاهشی در هر چرخه باید کاهش یابد. بدین طریق، پیشرفت به طرف نقطه مینیمم می تواند بازبینی و کنترل شود.
۲. جهت تغییرات طراحی <sup>(۴)</sup> یک تابع پیوسته از متغیرهای طراحی است. این نیز ضرورتی مهم است و ایجاب می کند که یک جهت کاهشی در هر چرخه در فضای طراحی یافت شود. جهت می تواند طوری یافته شود که کاهشی مناسب به طرف نقطه مینیمم بتواند ادامه داشته باشد. این ضرورت مانع از «نوسان» یا «زیگزاگ»<sup>(۵)</sup> در تابع کاهشی می شود.

علاوه بر دو ضرورت گذشته، برای تضمین همگرایی الگوریتم، این فرض که ناحیه قابل قبول (مجموعه قید) مسأله باید بسته و کراندار باشد لازم است برقرار باشد. اگر این دو ویژگی برقرار نباشند، الگوریتم ممکن است همگرا یا واگرا باشد. بسته بودن یک مجموعه بدین معنی است که تمامی نقاط مرزی در مجموعه باشند. کراندار بودن ایجاب می کند که عناصر مجموعه حد بالایی و پایینی داشته باشند. اگر تمامی توابع مسأله پیوسته باشند این ضرورتها برآورده می شوند. فرضهای گذشته با واقعیات بسیاری از کاربردهای طراحی مهندسی مطابقت دارند.

### ۶.۳ خطی سازی مسأله مقید

بیشتر روشهای عددی بهینه سازی مقید، در هر چرخه، تغییر طراحی را با حل یک زیرمسأله تقریبی که با نوشتمن بسط سری تیلور خطی برای توابع هزینه و قید به دست می آید محاسبه می کنند. این پنداره تقریب یا خطی سازی زیرمسأله محور اصلی تدوین روشهای بهینه سازی عددی است و باید بخوبی درک شود.

تمامی روشهای جست و جو یا یک طراحی حدسی شروع شده و در فرآیندی چرخه ای آن طراحی بهبود می یابد. فرض کنید  $x^{k+1}$  حدس طراحی در چرخه  $k$  ام و  $\Delta x^{k+1}$  تغییر مورد نظر در طراحی باشد. بسط سری تیلور را برای توابع هزینه و قیود حول نقطه  $x^k$  می نویسیم تا زیرمسأله تقریبی را به دست آوریم. داریم : تابع

$$f(\mathbf{x}^{(k)} + \Delta \mathbf{x}^{(k)}) \cong f(\mathbf{x}^{(k)}) + \nabla f^T(\mathbf{x}^{(k)}) \Delta \mathbf{x}^{(k)} \quad (6.13)$$

را با قیود مساوی خطی شده

$$h_j(\mathbf{x}^{(k)} + \Delta \mathbf{x}^{(k)}) \cong h_j(\mathbf{x}^{(k)}) + \nabla h_j^T(\mathbf{x}^{(k)}) \Delta \mathbf{x}^{(k)} = 0; \quad j = 1 \text{ to } p \quad (6.14)$$

و قید نامساوی خطی شده

$$g_j(\mathbf{x}^{(k)} + \Delta \mathbf{x}^{(k)}) \cong g_j(\mathbf{x}^{(k)}) + \nabla g_j^T(\mathbf{x}^{(k)}) \Delta \mathbf{x}^{(k)} \leq 0; \quad j = 1 \text{ to } m \quad (6.15)$$

که در آنها  $\nabla f$ ،  $\nabla h_j$  و  $\nabla g_j$  به ترتیب گرادیانهای توابع هزینه و زامین قید مساوی و زامین قید نامساوی بوده و « $\cong$ » نشانه تقریبی بودن مساوی است، مینیم کنید.

در بحث بعدی، چند علامت خلاصه شده را به شکل زیر معرفی می‌کنیم:

$$f_k = f(\mathbf{x}^{(k)}) \quad (6.16)$$

یعنی مقدار تابع هزینه در طراحی فعلی  $\mathbf{x}^{(k)}$ ،

$$e_j = -h_j(\mathbf{x}^{(k)}) \quad (6.17)$$

یعنی، منفی مقدار تابع قید مساوی زام در طراحی فعلی  $\mathbf{x}^{(k)}$ ،

$$b_j = -g_j(\mathbf{x}^{(k)}) \quad (6.18)$$

یعنی منفی مقدار تابع قید نامساوی زام در طراحی فعلی  $\mathbf{x}^{(k)}$ ،

$$c_i = \partial f(\mathbf{x}^{(k)}) / \partial x_i \quad (6.19)$$

یعنی، مؤلفه ام گرادیان تابع هزینه در طراحی فعلی  $\mathbf{x}^{(k)}$ ، که مشتق تابع هزینه نسبت به امین متغیر طراحی  $x_i$  است،

$$n_{ij} = \partial h_j(\mathbf{x}^{(k)}) / \partial x_i \quad (6.20)$$

یعنی، امین مؤلفه گرادیان قید مساوی زام در طراحی فعلی  $\mathbf{x}^{(k)}$ ، یا مشتق تابع قید مساوی زام نسبت به امین متغیر طراحی  $x_i$ ،

$$a_{ij} = \partial g_j(\mathbf{x}^{(k)}) / \partial x_i \quad (6.21)$$

یعنی، امین مؤلفه گرادیان قید نامساوی زام در طراحی فعلی  $\mathbf{x}^{(k)}$ ، یا مشتق زامین تابع قید نامساوی نسبت به امین متغیر طراحی  $x_i$ ، و

$$d_i = \Delta x_i^{(k)} \quad (6.22)$$

یعنی  $\mathbf{d}$  بردار تغییر طراحی // بعدی است یا جهت جست و جو.

همچنین دقت کنید که خطی سازی مسأله در هر چرخه طراحی انجام شده، پس شناسه  $\mathbf{x}^{(k)}$  و اندیس بالای  $k$  که شماره چرخه است برای بعضی از کمیتها حذف خواهد شد.

با استفاده از این علایم، زیرمسأله تقریبی که در معادله های (۶.۱۳) تا (۶.۱۵) داده شده به شکل زیر تعریف می شود: تابع

$$\bar{f} = \sum_{i=1}^n c_i d_i \quad (\bar{f} = \mathbf{c}^T \mathbf{d}) \quad (6.23)$$

را مشروط به قیود مساوی خطی شده

$$\sum_{i=1}^n n_{ij} d_i = e_j; \quad j = 1 \text{ to } p \quad (\mathbf{N}^T \mathbf{d} = \mathbf{e}) \quad (6.24)$$

و قیود نامساوی خطی شده

$$\sum_{i=1}^n a_{ij} d_i \leq b_j; \quad j = 1 \text{ to } m \quad (\mathbf{A}^T \mathbf{d} \leq \mathbf{b}) \quad (6.25)$$

مینیمم کنید؛ در حالی که ستونهای ماتریس  $(n \times p)$   $\mathbf{N}$  گرادیانهای قیود مساوی و ستونهای ماتریس  $(n \times m)$   $\mathbf{A}$  گرادیانهای قیود نامساوی هستند. دقت کنید چون  $j$  عدد ثابتی است که بر جواب زیرمسأله خطی شده تأثیر نمی گذارد، از معادله (۶.۲۳) حذف شده است. بنابراین،  $\bar{f}$  نشان دهنده تغییر خطی در تابع هزینه اصلی است.

فرض کنید  $n^{(j)}$  و  $a^{(j)}$  به ترتیب نشان دهنده گرادیانهای ز امین قید مساوی و ز امین قید نامساوی باشند. بنابراین، عبارتند از

$$\mathbf{n}^{(j)} = \left( \frac{\partial h_j}{\partial x_1}, \frac{\partial h_j}{\partial x_2}, \dots, \frac{\partial h_j}{\partial x_n} \right) \quad (6.26)$$

$$\mathbf{a}^{(j)} = \left( \frac{\partial g_j}{\partial x_1}, \frac{\partial g_j}{\partial x_2}, \dots, \frac{\partial g_j}{\partial x_n} \right) \quad (6.27)$$

ماتریسهای  $\mathbf{N}$  و  $\mathbf{A}$  نیز عبارتند از

$$\mathbf{N} = [\mathbf{n}^{(j)}]_{(n \times p)}; \quad \mathbf{A} = [\mathbf{a}^{(j)}]_{(n \times m)} \quad (6.28)$$

مثال ۶.۳ تعریف زیر مسأله خطی شده. مسأله بهینه سازی مثال ۲۸.۳ را در نظر بگیرید، تابع

$$f(\mathbf{x}) = x_1^2 + x_2^2 - 3x_1x_2$$

را نسبت به قیود

$$g_1(\mathbf{x}) = \frac{1}{6}x_1^2 + \frac{1}{6}x_2^2 - 1.0 \leq 0$$

$$g_2(\mathbf{x}) = -x_1 \leq 0$$

$$g_3(\mathbf{x}) = -x_2 \leq 0$$

مینیمم کنید. توابع هزینه و قیود را حول نقطه  $(1, 1) = \mathbf{x}^{(0)}$  خطی کرده و مسأله تقریبی را با استفاده از معادلات (۶.۲۳) تا (۶.۲۵) بررسی کنید.

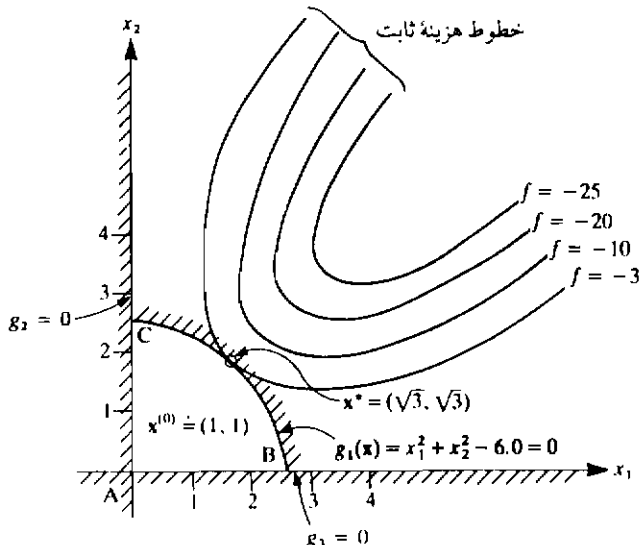
حل. حل تقریبی مسأله در شکل ۶.۶ نشان داده شده است. می‌توان دید که جواب بهین در نقطه  $(\sqrt{3}, \sqrt{3})$  با مقدار تابع هزینه ۳- قرار دارد. نقطه داده شده  $(1, 1)$  داخل ناحیه قابل قبول قرار دارد. گرادیان تابع هزینه و قید عبارتند از:

$$\nabla f = (2x_1 - 3x_2, 2x_2 - 3x_1)$$

$$\nabla g_1 = (\frac{1}{3}x_1, \frac{1}{3}x_2)$$

$$\nabla g_2 = (-1, 0)$$

$$\nabla g_3 = (0, -1)$$



شکل ۶.۴ نمایش هندسی هزینه و قیود مثال ۶.۳

با محاسبه مقدار توابع هزینه و قیود و گرادیان آنها در نقطه  $(1, 1)$  داریم

$$f(\mathbf{x}^{(0)}) = -1.0$$

$$b_1 = -g_1(\mathbf{x}^{(0)}) = \frac{2}{3}$$

$$b_2 = -g_2(\mathbf{x}^{(0)}) = 1$$

$$b_3 = -g_3(\mathbf{x}^{(0)}) = 1$$

$$\nabla f(\mathbf{x}^{(0)}) = (-1, -1), \quad \mathbf{c} = (-1, -1)$$

$$\nabla g_1(\mathbf{x}^{(0)}) = \left(\frac{1}{3}, \frac{1}{3}\right)$$

دقّت کنید نقطه طراحی داده شده  $(1, 1)$  در محدوده قابل قبول قرار دارد، زیرا تمامی قیود برآورده شده‌اند. ماتریس  $A$  و بردار  $b$  معادله‌های (۶.۲۵) به شکل زیر تعریف می‌شوند

$$\mathbf{A} = \begin{bmatrix} \frac{1}{3} & -1 & 0 \\ \frac{1}{3} & 0 & -1 \end{bmatrix}; \quad \mathbf{b} = \begin{bmatrix} \frac{2}{3} \\ 1 \\ 1 \end{bmatrix}$$

اکنون زیرمسأله خطی شده معادله‌های (۶.۲۳) تا (۶.۲۵) را می‌توان به شکل زیر نوشت، تابع

$$\bar{f} = [-1 \quad -1] \begin{bmatrix} d_1 \\ d_2 \end{bmatrix} \quad (6.29)$$

را نسبت به

$$\begin{bmatrix} \frac{1}{3} & \frac{1}{3} \\ -1 & 0 \\ 0 & -1 \end{bmatrix} \begin{bmatrix} d_1 \\ d_2 \end{bmatrix} \leq \begin{bmatrix} \frac{2}{3} \\ 1 \\ 1 \end{bmatrix} \quad (6.30)$$

مینیمم کنید. یا، با علایم بسط داده شده، داریم: تابع

$$\bar{f} = -d_1 - d_2$$

را نسبت به قیود

$$\frac{1}{3}d_1 + \frac{1}{3}d_2 \leq \frac{2}{3}$$

$$-d_1 \leq 1; \quad -d_2 \leq 1$$

مینیمم کنید. دو قید آخر زیرمسأله، نامنفی بودن متغیرهای طراحی را که در مسأله

بهینه‌سازی اصلی مورد نیاز بود تضمین می‌کند. دقّت کنید در صورتی که محدودیتی را روی تغییرات طرّاحی  $i = 1, 2, \dots, d$  اعمال نکنیم، زیرمسأله قبلی ممکن است بی‌کران باشد.

همچنین دقّت کنید که زیرمسأله خطی شده قبلی بر حسب متغیرهای  $d_1$  و  $d_2$  یعنی تغییرات متغیرهای طرّاحی است. ما می‌توانیم زیرمسأله را بر حسب متغیرهای اصلی  $x_1$  و  $x_2$  نویسیم. برای این کار، توابع اصلی مسأله را در نقطه با توابع تقریبی خطی شان جایگزین می‌کنیم. برای مسأله قبلی، خطی‌سازی مسأله اصلی در نقطه  $(1, 1) = \mathbf{x}^{(0)}$  با استفاده از بسط سری تیلور معادله (۱۱.۳)، به شکل زیر است:

$$\begin{aligned}\bar{f}(x_1, x_2) &= f(\mathbf{x}^{(0)}) + \nabla f \cdot (\mathbf{x} - \mathbf{x}^{(0)}) \\ &= -1 + [-1 \quad -1] \begin{bmatrix} (x_1 - 1) \\ (x_2 - 1) \end{bmatrix} \\ &= -x_1 - x_2 + 1 \\ \bar{g}_1(x_1, x_2) &= g_1(\mathbf{x}^{(0)}) + \nabla g_1 \cdot (\mathbf{x} - \mathbf{x}^{(0)}) \\ &= -\frac{2}{3} + [\frac{1}{3} \quad \frac{1}{3}] \begin{bmatrix} (x_1 - 1) \\ (x_2 - 1) \end{bmatrix} \\ &= \frac{1}{3}(x_1 + x_2 - 4) \leq 0 \\ \bar{g}_2 &= -x_1 \leq 0 \\ \bar{g}_3 &= -x_2 \leq 0\end{aligned}$$

در عبارات گذشته، علامت “-“ که بالای توابع است نشان دهنده تقریب خطی آنهاست. ناحیه قابل قبول برای مسأله خطی شده در نقطه (۱، ۱) و مسأله اصلی در شکل ۶.۵ نشان داده شده است. چون تابع هزینه خطی شده موازی اوّلین قید خطی شده  $\bar{g}_1$  است، جواب بهین مسأله خطی شده هر نقطه روی خط D-E در شکل ۶.۵ است.

مهم است به این نکته توجه کنید که تقریب خطی تابع مسأله از یک نقطه به نقطه دیگر متفاوت خواهد بود. بنابراین، ناحیه قابل قبول برای مسأله خطی با تغییر نقطه‌ای که در آن تقریب‌های خطی نوشته شده‌اند، تغییر می‌کند.

**مثال ۶.۴** خطی‌سازی مسأله طرّاحی بلک تیر مکعب مستطیلی. مسأله طرّاحی تیر مکعب مستطیلی را که در بخش ۲۰۸.۵ رابطه سازی شد در نقطه ۵۰، ۲۰۰ mm خطی کنید. حل. مسأله بعد از نرمال سازی به شکل زیر تعریف می‌شود. عرض (و عمق)، را برای

## مینیمم کردن

$$f(b, d) = bd$$

شرط به قیود

$$g_1 = \frac{(2.40E+07)}{bd^2} - 1.0 \leq 0$$

$$g_2 = \frac{(1.125E+05)}{bd} - 1.0 \leq 0$$

$$g_3 = \frac{d}{2b} - 1.0 \leq 0$$

$$g_4 = -b \leq 0$$

$$g_5 = -d \leq 0$$

پیدا کنید. در نقطه داده شده توابع مسئله عبارتند از

$$f(50, 200) = (1.00E+04)$$

$$g_1(50, 200) = 11.00 > 0 \quad (\text{نقض شده})$$

$$g_2(50, 200) = 10.25 > 0 \quad (\text{نقض شده})$$

$$g_3(50, 200) = 1.00 > 0 \quad (\text{نقض شده})$$

$$g_4(50, 200) = -50 < 0 \quad (\text{غیرفعال})$$

$$g_5(50, 200) = -200 < 0 \quad (\text{غیرفعال})$$

در محاسبات زیر، فرض خواهیم کرد که قیود  $g_1$  و  $g_2$  همچنان برآورده شده باقی می‌ماند،

یعنی طراحی در ربع اول باقی می‌ماند.

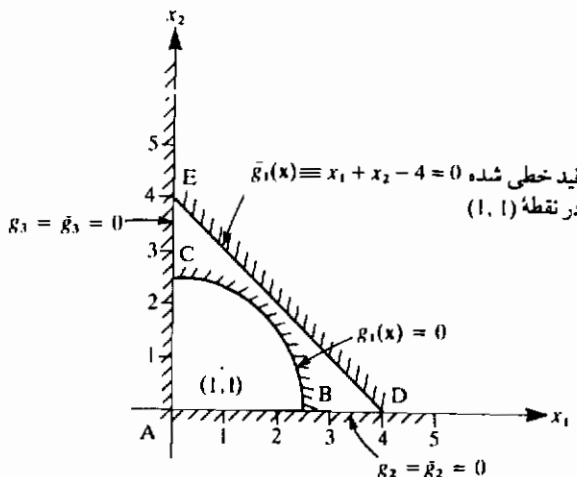
گرایانهای توابع عبارت می‌شوند از

$$\begin{aligned} \nabla f(50, 200) &= (d, b) \\ &= (200, 50) \end{aligned}$$

$$\begin{aligned} \nabla g_1(50, 200) &= (2.40E+07) \left( \frac{-1}{b^2 d^2}, \frac{-2}{bd^3} \right) \\ &= (-0.24, -0.12) \end{aligned}$$

$$\begin{aligned} \nabla g_2(50, 200) &= (1.125E+05) \left( \frac{-1}{b^2 d}, \frac{-1}{bd^2} \right) \\ &= (-0.225, -0.05625) \end{aligned}$$

$$\begin{aligned} \nabla g_3(50, 200) &= \frac{1}{2} \left( \frac{-1}{b^2} d, \frac{1}{b} \right) \\ &= (-0.04, 0.01) \end{aligned}$$



شکل ۶.۵ نمایش هندسی ناحیه قابل قبول خطی شده برای مثال ۶.۳

با استفاده از مقادیر توابع و گرادیانهایشان، بسط سری تیلور خطی، زیرمسئله خطی را در نقطه  $(0, 200)$  بر حسب متغیرهای اصلی می دهد

$$\bar{f}(b, d) = 200b + 50d - 10\,000$$

$$\bar{g}_1(b, d) = -0.24b - 0.12d + 47.00 \leq 0$$

$$\bar{g}_2(b, d) = -0.225b - 0.05625d + 32.75 \leq 0$$

$$\bar{g}_3(b, d) = -0.04b + 0.01d + 1.00 \leq 0$$

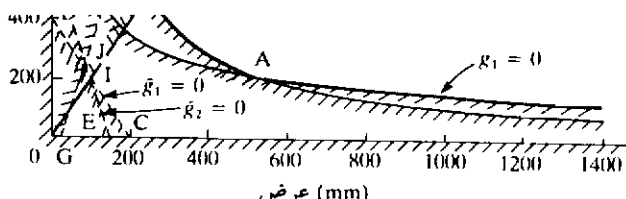
توابع قبود خطی شده در شکل ۶.۶ رسم شده و ناحیه قابل قبول آنها مشخص گردیده است. ناحیه قابل قبول برای قبود اصلی نیز مشخص شده است. دیده می شود که دوناحیه کاملاً با هم متفاوت هستند. چون تابع هزینه خطی شده موازی قید  $\bar{g}_2$  است، جواب بهین روی خط  $L-1$  قرار دارد. اگر نقطه  $1$  به عنوان جواب زیرمسئله انتخاب شود، آن گاه نقطه جدید غبارت است از

$$b = 95.28, \quad d = 201.10, \quad \bar{f} = 19.111$$

برای هر نقطه روی خط  $L-1$  تمامی قبود اصلی همچنان نقض شده اند. از آن طرف، برای قبود غیرخطی، چرخه های متعددی برای تصحیح نقض قبود و

رسیدن به ناحیه قابل قبول لازم است. این مطلب در مثالهای مختلفی در این فصل و فصل (۸) مشاهده خواهد شد.

نکته جالب توجه مربوط به سومین قید است؛ قید اصلی  $0 \leq 2b - d$  به شکل  $0 \leq 1 - d/2b$  نرمال شده است. نرمال سازی محدوده قید را تغییر نمی دهد؛ پس نمایش هندسی مسئله به همان شکل باقی می ماند، همان طور که از شکل ۶.۶ می توان دریافت. اما نرمال سازی، شکل تابع قید را تغییر می دهد و برخطی شدن آن تأثیر خواهد گذاشت. اگر قید نرمال نشود، خطی شدن آن برای تمامی نقاط طراحی تابعی مشابه تابع قید اصلی خواهد داد، یعنی  $0 \leq 2b - d$ . این در شکل ۶.۶ با خط K-N شان داده شده است. شکل خطی قیود نرمال شده فرق می کند، که در نقطه (50, 200) با خط G-H نشان داده شده است. این با قید اصلی کاملاً متفاوت است. فرآیند چرخه با قیود نرمال شده یا نشده می تواند به مسیرهای مختلفی برای نقطه بهین ختم شود. در نتیجه باید هنگام نرمال سازی قیود دقت کنیم تا جایی که امکان دارد شکل تابع قیود تغییر نکند.



شکل ۶.۶ ناحیه قابل قبول برای قید اصلی و خطی شده مسئله طراحی تیر مکعب مستطیل مثال ۶.۴

## ۶.۴ الگوریتم برنامه ریزی خطی دنباله‌ای

## ۶.۴.۱ پنداره اصلی

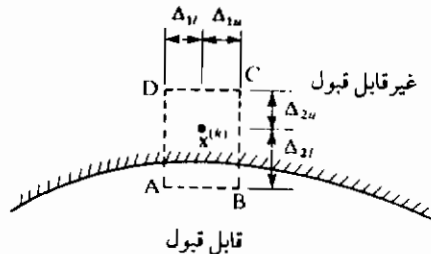
دقّت کنید که تمامی توابع در معادله‌های (۶.۲۳) تا (۶.۲۵) بر حسب متغیر  $d$  خطی هستند. بنابراین، روش‌های برنامه ریزی خطی می‌تواند برای حل آنها و به دست آوردن  $d$  استفاده شود. به چنین روشی که در آن در هر چرخه برای محاسبه تغییرات طراحی از برنامه ریزی خطی استفاده شود، روش‌های برنامه ریزی خطی دنباله‌ای یا به طور خلاصه اس‌ال پی (SLP) می‌گویند. در این بخش به طور خلاصه چنین روش‌هایی را تشریح خواهیم کرد.

برای حل LP به روش سیمپلکس استاندارد، پارامتر طرف راست  $r$  و  $b$  در معادلات (۶.۱۷) و (۶.۱۸) باید نامتفق باشند. اگر یکی از  $r$  و  $b$  متفق باشد باید قید مربوطه را در  $-1$  ضرب کنیم تا طرف راست را نامتفق کنیم. این کار جهت ناساواری معادله (۶.۲۵) را تغییر می‌دهد، یعنی قیدی از "نوع  $\geq$ " خواهد شد. باید دقّت کرد که مسأله‌ای که در معادله‌های (۶.۲۳) تا (۶.۲۵) تعریف شد ممکن است یک جواب کراندار نداشته باشد یا تغییرات در طراحی خیلی بزرگ باشد، که تقریب خطی را نامعتبر می‌سازد. بنابراین، روی تغییرات طراحی باید حدودی اعمال شود. چنین قبودی در مقالات بهینه سازی معمولاً «حدود حرکت»<sup>۱۱۱</sup> نامیده می‌شود. حدود حرکت را می‌توان به شکل زیر بیان کرد

$$-\Delta_{ii}^{(k)} \leq d_i \leq \Delta_{ii}^{(k)}; \quad i = 1 \text{ to } n \quad (6.31)$$

که در آن  $\Delta_{ii}^{(k)}$  و  $\Delta_{ii}^{(k)}$  به ترتیب بیشترین کاهش و افزایش مجاز در  $i$  امین متغیر طراحی و در  $k$  امین چرخه است. مسأله هنوز بر حسب  $d$  خطی است، پس روش‌های LP را می‌توان برای حل آن به کار برد. دقّت کنید که شماره چرخه  $k$  برای مشخص کردن  $\Delta_{ii}^{(k)}$  و  $\Delta_{ii}^{(k)}$  استفاده می‌شود. یعنی حدود حرکت در هر چرخه ممکن است تغییر کند. شکل ۷.۶ اثر اعمال حدود حرکت را روی تغییر طراحی<sup>۱۱۱</sup> نشان می‌دهد؛ برای باقی ماندن در محدوده مستطیلی ABCD تخمین طراحی جدیدی لازم است.

انتخاب حدود حرکت مناسب از اهمیت تعیین کننده‌ای برخوردار است، زیرا می‌تواند به منزله موقوفیت یا شکست الگوریتم SLP باشد. در تعیین آنها داشتن تجربه کاری با این روش، داشتن دید مهندسی و قدرت تشخیص مفید است. بنابراین، کسی که مسأله را حل می‌کند اگر



شکل ۶.۷ حدود حرکت خطی بر روی تغییرات طراحی

دید یک حدود حرکت مشخص به شکست یا طراحی نامناسب انجامید، نباید از به کار گرفتن حدود حرکت دیگری نگران باشد. بیشتر موقع برای متغیر طراحی واقعی  $\Delta x$  حد بالا و پایین مشخص می‌شود. بنابراین، حدود حرکت باید طوری انتخاب شود که در داخل محدوده مشخص شده باقی بماند. همچنین، چون تقریب‌های خطی برای توابع استفاده می‌شوند، تغییرات طراحی و حدود حرکت نباید بسیار بزرگ باشند. معمولاً مقادیر  $\Delta u$  و  $\Delta l$  ضریبی از مقدار متغیرهای طراحی انتخاب می‌شوند (این ضریب ممکن است از ۱ تا ۱۰۰٪ تغییر کند). اگر مسأله LP غیرقابل قبول شد، حدود حرکت باید آزاد شود (یعنی تغییرات بزرگتری در طراحی مجاز باشد) و زیرمسأله دوباره حل شود. معمولاً برای حل موفقیت آمیز مسأله باید انتخاب مناسب حدود حرکت و تنظیم آن در هر چرخه را با تجربه به دست آورد.

قبل از بیان الگوریتم SLP به نکته دیگری نیز باید توجه کرد. این نکته درباره علامت متغیر  $d$  (یا  $\Delta x, d$ ) است که می‌تواند مثبت یا منفی باشد؛ یعنی مقدار متغیرهای طراحی فعلی می‌تواند اضافه یا کم شوند. برای این که چنین تغییراتی امکان پذیر شود، متغیر LP و  $d$  را باید از نظر علامت به عنوان متغیری آزاد در نظر بگیریم. این کار می‌تواند براساس آنچه در بخش ۲.۴ توضیح داده شد انجام شود. هر متغیر آزاد  $d$  با  $d^+ - d^- = d$  در تمامی عبارات جایگزین می‌شود. آن گاه زیرمسأله LP تعریف شده در معادله‌های (۶.۲۳) تا (۶.۲۵) به شکل استاندارد تبدیل شده تاروش سیمپلکس استفاده شود.

باید معیار توقف زیر را برای روش SLP مشخص کنیم:

۱. تمامی قیود باید برآورده شوند. این می‌تواند به شکل زیر بیان شود

$$g_i \leq \varepsilon_1; i = 1 \text{ to } m \quad |h_i| \leq \varepsilon_1; i = 1 \text{ to } p$$

که () ع عدد مشخص کوچکی است که مقدار خطای نقض قید را تعریف می‌کند.

۲. تغییرات در طراحی باید تقریباً صفر باشد؛ یعنی  $\epsilon_i \leq \|d\| < 0$  که عدد کوچک مشخصی است.

در حالت مطلوب،  $\epsilon_i = \epsilon$  بهترین انتخاب برای بدست آوردن نقطه مینیمم دقیق است ولی در عمل در اجرای الگوریتم بهینه سازی توسط رایانه یک خطای مثبت کوچک برای این اعداد باید مشخص شود.

## ۶.۴.۳ SLP پک الگوریتم

الگوریتم برنامه ریزی خطی دنباله‌ای به شکل زیر بیان می‌شود:

**گام ۱.** یک طراحی شروع<sup>(۰)</sup>  $x^0$  حدس بزنید.  $0 = k$  قرار دهید. دو عدد مثبت کوچک برای  $\epsilon_i$  و  $\epsilon$  مشخص کنید.

**گام ۲.** توابع هزینه و قیود را در طراحی فعلی  $x^k$  محاسبه کنید، یعنی  $f_k$ ،  $f_j$ ؛  $j = 1 \text{ to } m$  و  $a_{ij} = j$  را آن چنان که در معادله‌های (۱۸.۶) تا (۱۸.۶) تعریف شده اند محاسبه کنید.

**گام ۳.** گراییان توابع هزینه و قید را در طراحی فعلی  $x^k$  محاسبه کنید؛ یعنی

$$c_i = \frac{\partial f}{\partial x_i}; \quad i = 1 \text{ to } n$$

$$n_{ij} = \frac{\partial h_j}{\partial x_i}; \quad j = 1 \text{ to } p; \quad i = 1 \text{ to } n$$

$$a_{ij} = \frac{\partial g_j}{\partial x_i}; \quad j = 1 \text{ to } m; \quad i = 1 \text{ to } n$$

را محاسبه کنید. (دقّت کنید که راهبرد قید پتانسیل استفاده نمی‌شود، زیرا گراییان تمامی قیود محاسبه می‌شوند. با این همه می‌توان برای مؤثر ساختن روش از آن راهبرد نیز استفاده کرد).

**گام ۴.** مقدار حدود حرکت<sup>(۱)</sup>  $\Delta_{ii}$  و<sup>(۲)</sup>  $\Delta_{ii}$  مناسب را کسری از طراحی فعلی انتخاب کنید.

**گام ۵.** زیرمسئله LP معادله‌های (۲۳.۶) تا (۲۵.۶) را تعریف کنید.

**گام ۶.** اگر نیاز است، زیرمسئله LP را به شکل استاندارد سیمپلکس تبدیل کنید (به بخش ۴.۰ رجوع کنید)، و با حل آن<sup>(۳)</sup>  $d$  را بدست آورید.

**گام ۷.** همگرایی را بررسی کنید. اگر  $\|g_i - g_i^*\| \leq \epsilon_i$ ؛  $i = 1 \text{ to } p$ ؛  $|f_k - f_k^*| \leq \epsilon$  و  $\|d\| \leq \epsilon$ ، آن‌گاه محاسبات را متوقف کنید. در غیر این صورت ادامه دهید.

### گام ۸. طراحی را به شکل

$$\mathbf{x}^{(k+1)} = \mathbf{x}^{(k)} + \mathbf{d}^{(k)}$$

بهنگام کرده،  $k + 1 = k + 1$  قرار دهید به گام ۲ بروید.

جالب است در اینجا توجه کنید که مسأله LP تعریف شده در معادله های (۶.۲۳) تا (۶.۲۵) می تواند با جایگزینی  $x_i - d_i = x_i^{(k)}$  به متغیرهای اصلی تبدیل شود. این کار در مثالهای ۶.۳ و ۶.۶ تشریح شد. حدود حرکت روی معادله (۶.۳۱) نیز می تواند به متغیرهای اصلی تبدیل شود. بدین طریق، حل مسأله LP مستقیماً حدسه نقطه طراحی جدید را می دهد.

**مثال ۶.۵** مطالعه الگوریتم برنامه ریزی خطی دنباله‌ای، مسأله ارائه شده در مثال ۶.۳ در نظر بگیرید، زیرمسأله خطی را در نقطه (3, 3) تعریف کرده و با اعمال حدود حرکت مناسب حل آن را بحث کنید.

حل. برای تعریف زیرمسأله خطی، کمیتهای زیر در نقطه داده شده (3, 3) محاسبه می شوند:

$$f(3, 3) = 3^2 + 3^2 - 3(3)(3) = -9$$

$$g_1(3, 3) = \frac{1}{6}(3^2) + \frac{1}{6}(3^2) - 1 = 2 > 0 \quad (\text{نقض شده})$$

$$g_2(3, 3) = -x_1 = -3 < 0 \quad (\text{غیرفعال})$$

$$g_3(3, 3) = -x_2 = -3 < 0 \quad (\text{غیرفعال})$$

$$\mathbf{c} = \nabla f = (2x_1 - 3x_2, 2x_2 - 3x_1) = (-3, -3)$$

$$\nabla g_1 = \left(\frac{2}{6}x_1, \frac{2}{6}x_2\right) = (1, 1)$$

$$\nabla g_2 = (-1, 0)$$

$$\nabla g_3 = (0, -1)$$

نقطه داده شده در ناحیه غیرقابل قبول است، زیرا اوکین قید نقض شده است. زیرمسأله خطی شده براساس معادله های (۶.۲۳) تا (۶.۲۵) به شکل زیر تعریف می شود. تابع

$$\bar{f} = [-3 \quad -3] \begin{bmatrix} d_1 \\ d_2 \end{bmatrix}$$

را با قیود

$$\begin{bmatrix} 1 & 1 \\ -1 & 0 \\ 0 & -1 \end{bmatrix} \begin{bmatrix} d_1 \\ d_2 \end{bmatrix} \leq \begin{bmatrix} -2 \\ 3 \\ 3 \end{bmatrix}$$

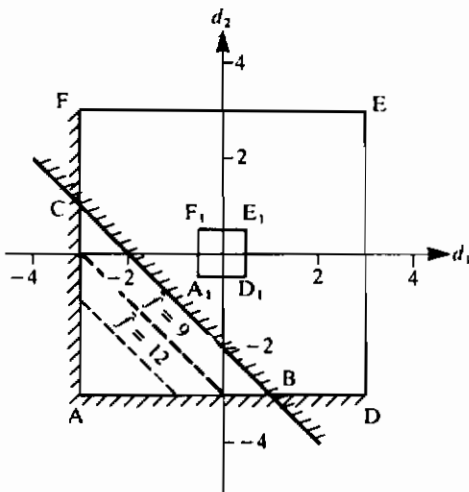
مینیمم کنید. زیر مسأله فقط دو متغیر دارد پس می تواند از روش ترسیمی حل شود، همچنان که در شکل ۶.۸ نشان داده شده است. وقتی این شکل و شکل ۶.۴ را با هم مقایسه کنیم یک تقریب خطی برای مسأله در نقطه (3, 3) را نشان می دهد. جواب قابل قبول زیر مسأله خطی شده باید در ناحیه ABC در شکل ۶.۸ قرار داشته باشد.تابع هزینه موازی خط B-C است، پس هر نقطه روی خط تابع را مینیمم می کند. ممکن است  $d_1 = -1$  و  $d_2 = -1$  را به عنوان جوابی که تمامی قیود را برآورده می کند انتخاب کنیم (دقّت کنید که تغییرات خطی در هزینه آن عبارت است از ۶).

اگر حدود حرکت ۱۰۰٪ انتخاب شود، یعنی

$$-3 \leq d_1 \leq 3; \quad -3 \leq d_2 \leq 3$$

آن گاه جواب زیر مسأله LP باید در ناحیه ADEF قرار داشته باشد. اگر حدود حرکت ۲۰٪ مقدار فعلی متغیرهای طراحی باشد، آن گاه جواب باید دو نامعادله زیر را برآورده کند

$$-0.6 \leq d_1 \leq 0.6; \quad -0.6 \leq d_2 \leq 0.6$$



شکل ۶.۸ حل ترسیمی زیر مسأله خطی شده مثال ۶.۵

در این حالت جواب باید در ناحیه  $A_1D_1E_1F_1$  قرار داشته باشد. دیده می شود که جواب قابل قبولی برای زیرمسئله خطی شده وجود نخواهد داشت، زیرا ناحیه  $A_1D_1E_1F_1$  خط  $B-C$  را قطع نمی کند. ما باید ناحیه  $A_1D_1E_1F_1$  را با افزایش حدود حرکت بزرگ کنیم. پس، توجه می کنیم که اگر حدود حرکت خیلی محدود باشد، زیرمسئله خطی شده ممکن است جوابی نداشته باشد.

اگر  $-d_1 = -d_2$  را انتخاب کیم، آن گاه طراحی بهبود یافته عبارت می شود از  $(2, 2)$ . این هنوز نقطه‌ای غیرقابل قبول است، همچنان که در شکل ۶.۴ نیز دیده می شود. بنابراین، هرچند قید خطی شده با  $-d_1 = -d_2$  برآورده شده، قید غیرخطی اصلی  $g_8$  همچنان نقض شده است.

**مثال ۶.۶** استفاده از برنامه ریزی خطی دنباله‌ای مسئله ارائه شده در مثال ۳.۶ را در نظر بگیرید. یک چرخه از الگوریتم SLP را انجام دهید. از  $\epsilon_2 = 0.001$  استفاده کنید و حدود حرکت را طوری انتخاب کنید که  $15\%$  تغییرات طراحی امکان پذیر باشد. فرض کنید نقطه شروع طراحی  $(1, 1) = x^{(0)}$  باشد.

حل. نقطه داده شده یک جواب قابل قبول مسئله است، همچنان که در شکل ۶.۶ دیده می شود. زیرمسئله خطی شده با حدود حرکت مناسب روی تغییرات طراحی  $d_1, d_2$  در نقطه  $x^{(0)}$  در مثال ۳.۶ به دست آمده که عبارت است از: تابع

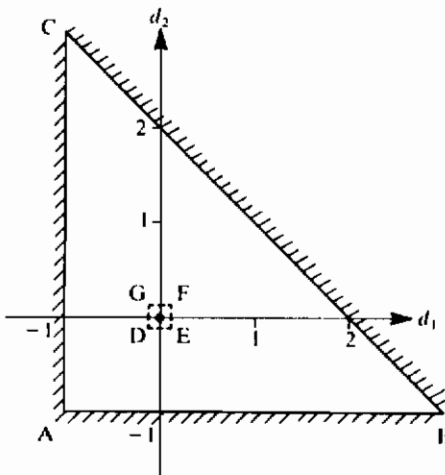
$$\bar{f} = -d_1 - d_2$$

را با قیود

$$\begin{aligned} \frac{1}{3}d_1 + \frac{1}{3}d_2 &\leq 3 \\ -(1 + d_1) &\leq 0 \\ -(1 + d_2) &\leq 0 \\ -0.15 \leq d_1 &\leq 0.15 \\ -0.15 \leq d_2 &\leq 0.15 \end{aligned}$$

مینیمم کنید.

حل ترسیمی زیرمسئله خطی شده در شکل ۹.۶ ارائه شده است. حدود حرکت  $15\%$  ناحیه جواب DEFG را می دهد. جواب بهین مسئله در نقطه F قرار دارد با  $d_1 = 0.15$



شکل ۶.۹ حل ترسیمی زیرمسئله خطی شده مثال ۶.۶

و  $d_2 = 0.15$ . دیده می شود که در این حالت در نظر گرفتن حدود حرکت بسیار بزرگتری امکان پذیر است.

مسئله را با استفاده از روش سیمپلکس حل می کنیم. دقت کنید که در زیرمسئله خطی شده، تغییرات طرایحی  $d_1$  و  $d_2$  از نظر علامت آزاد هستند. اگر بخواهیم مسئله را با روش سیمپلکس حل کنیم باید متغیرهای جدید A، B، C، D را طوری تعریف کنیم که

$$d_1 = A - B, \quad d_2 = C - D \quad \text{و} \quad A, B, C \quad \text{و} \quad D \geq 0$$

بنابراین، با جایگزینی این متغیرها در معادله های قبلی مسئله ZLP زیر را که به شکل استاندارد نوشته شده به دست می آوریم.تابع

$$\tilde{f} = -A + B - C + D$$

را با قیود

$$\frac{1}{2}(A - B + C - D) \leq 3$$

$$-A + B \leq 1.0$$

$$-C + D \leq 1.0$$

$$A - B \leq 0.15$$

روشهای عددی برای طراحی بهین مقید

$$B - A \leq 0.15$$

$$C - D \leq 0.15$$

$$D - C \leq 0.15$$

$$A, B, C, D \geq 0$$

مینیمم کنید. جواب مسأله LP فوق از روش سیمپلکس عبارت است از  $A = 0.15$  ،  $B = 0$  ،  $C = 0.15$  و  $D = 0$  بنابراین ،

$$d_1 = A - B = 0.15$$

$$d_2 = C - D = 0.15$$

بعد از بهنگام کردن طراحی داریم ،

$$\mathbf{x}^{(1)} = \mathbf{x}^{(0)} + \mathbf{d}^{(0)}$$

$$= (1.15, 1.15)$$

در طراحی جدید  $(1.15, 1.15)$  داریم ،

$$f(\mathbf{x}^{(1)}) = -1.3225$$

$$g_1(\mathbf{x}^{(1)}) = -0.6166$$

دقّت کنید که مقدار تابع هزینه برای طراحی جدید  $\mathbf{x}^{(1)}$  ، بدون این که قیود نقض شده باشند کاهش یافته است . این به مفهوم این است که طراحی جدید نسبت به قبلی بهبود یافته است . چون نرم تغییرات طراحی ،  $\|d\|_1 = 0.212$  بزرگتر از خطای قابل قبول  $(0.001)$  است ، باید چرخه های بیشتری را برای برآوردن معیار توقف انجام دهیم .

همچنین توجه کنید که زیرمسأله خطی شده در نقطه  $(1, 1)$  می تواند بر حسب متغیرهای اصلی نوشته شود . این در مثال ۶.۳ انجام شده و زیرمسأله خطی شده زیر به دست آمده است . تابع

$$\tilde{f} = -x_1 - x_2 + 1$$

را با قیود

$$\tilde{g}_1 = \frac{1}{2}(x_1 + x_2 - 4) \leq 0$$

$$\tilde{g}_2 = -x_1 \leq 0$$

$$\tilde{g}_3 = -x_2 \leq 0$$

مینیمم کنید . ۱۵٪ حدود حرکت نیز می تواند با استفاده از  $\Delta_{ii} \leq x_i - x_i^{(0)}$  می تواند با استفاده از  $\Delta_{ii} \leq x_i - x_i^{(0)}$

بر حسب متغیرهای اصلی تبدیل شود، داریم

$$-0.15 \leq (x_1 - 1) \leq 0.15 \quad 0.85 \leq x_1 \leq 1.15$$

$$-0.15 \leq (x_2 - 1) \leq 0.15 \quad 0.85 \leq x_2 \leq 1.15$$

با حل زیرمساله، جواب  $(1.15, 1.15)$  مشابه قبل به دست می آوریم.

#### ۶.۴.۴ نگوشی بر الگوریتم SLP

الگوریتم برنامه ریزی خطی دنباله‌ای یک روش ساده و سرراست برای حل مسائل بهینه‌سازی مقید است. الگوریتم برای حل مسائل مختلف طراحی مهندسی به کار رفته است. با این همه روش‌های پتری پیدا شده و جایگزین الگوریتم SLP شده‌اند. نکته‌های زیر محدودیتهاي مهم روش SLP را یادآور می‌شود:

۱. روش نمی‌تواند به عنوان یک جعبه سیاه برای مسائل طراحی مهندسی به کار رود. انتخاب حدود حرکت یک فرآیند آزمون و خطاست و برای رسیدن به آن یک حالت تعامل بهترین است. مثالهای گذشته نشان دادند که حدود حرکت می‌تواند آن قدر محدود کننده باشد که برای زیرمساله LP جوابی پیدا نشود. حدود حرکت می‌تواند از یک نقطه قابل قبول نیز نرخ همگرایی را کاهش دهد.

۲. روش همگرانیست، زیرا تابع کاهشی تعریف نمی‌شود و جست و جوی خطی در امتداد جهت جست و جو انجام نمی‌شود. بنابراین روش برای نقاط شروع اختیاری قابل اطمینان نیست.

۳. نرخ همگرایی و عملکرد روش SLP به مقدار زیادی به انتخاب حدود حرکت بستگی دارد.

۴. به کار بردن یک راهبرد قید پتانسیل در روش SLP برای بالا بردن کارایی آن امکان پذیر است. الگوریتمی که در این بخش بحث شد برای سادگی شامل چنین راهبردی نمی‌شد.

۵. اگر جواب بهین یک رأس از مجموعه قید نباشد، روش ممکن است بین دو نقطه مشخص دور بزند.

۶. اگرچه روش بسیار ساده است (هم از نظر مفهومی و هم از نظر عددی) ولی به عنوان روشی برای مسائل بهینه‌سازی عمومی توصیه نمی‌شود، زیرا در تعیین حدود حرکت ناتوان و نامطمئن است.

### ۶.۵ زیرمسئله برنامه‌ریزی درجه دو

همان طور که در بخش گذشته مشاهده شد الگوریتم SLP یک تعمیم ساده برنامه ریزی خطی برای حل مسائل بهینه سازی مقید عمومی است. با این همه این روش معایب متعددی دارد که از همه آنها مهمتر فقدان توانمندی لازم است. برای رفع این عیب، روشی را تدوین می‌کنیم که یک زیرمسئله برنامه‌ریزی درجه دو (QP) به طور چرخه‌ای حل شود و اندازه گامی پسداشود تا یک تابع کاہشی را در استداد جهت جست و جو مینیمم کند. در این بخش یک زیرمسئله QP را تعریف و روشی را برای حل آن پیشنهاد خواهیم کرد.

#### ۶.۵.۱ قید اندازه گام درجه دو

عملکرد روش برنامه ریزی خطی دنباله‌ای به اندازه زیادی به انتخاب حدود حرکت تغییرات طراحی بستگی دارد. این روش با شروع از یک طراحی اختیاری معلوم نیست که به یک مینیمم محلی همگرا شود. به علاوه، حدود حرکت باید در هر چرخه طراحی تنظیم شود. برای غلبه بر این مشکلات، روشهای دیگری برای یافتن تغییرات طراحی تدوین شده‌اند. بیشتر روشهای تقریب خطی معادله‌های (۶.۲۳) تا (۶.۲۵) را برای مسئله برنامه‌ریزی غیرخطی استفاده می‌کنند. به هر حال، حدود حرکت خطی معادله (۶.۳۱) به دلیل قید اندازه گام

$$\xi \leq \|d\| \quad (6.32)$$

که در آن  $\|d\|$  اندازه چهت جست و جو و  $\xi$  یک عدد مثبت کوچک مشخص است، شکل استاندارد را ندارد. معادله (۶.۳۲) قیدی را به اندازه بردار تغییر طراحی تحمیل می‌کند. بعداً خواهیم دید که پارامتر  $\xi$  لازم نیست که حتماً در معادله (۶.۳۲) مشخص شود. با استفاده از تعریف طول یک بردار و به توان دو رساندن هر دو طرف معادله (۶.۳۲)، قید اندازه گام درجه دو را برای  $d$  به شکل زیر به دست می‌آوریم

$$0.5 \sum_{i=1}^n (d_i)^2 \leq \xi^2 \quad (0.5d^T d \leq \xi^2) \quad (6.33)$$

ضریب ۰.۵ در طرف چپ آورده شده تا ضریب ۲ را که هنگام مشتق گیری در محاسبات بعدی به وجود می‌آید، از بین برد. این ضریب بر محاسبات جهت جست و جو تأثیر نمی‌گذارد، ولی محاسبات اندازه گام را کمی تحت تأثیر قرار می‌دهد. الگوریتم محاسباتی نهایی متأثر

نمی شود. شکل ۱۰.۶. قید اندازه گام درجه دو روی  $d$  را نشان می دهد که با حدود حرکت خطی نشان داده شده در شکل ۷.۶ کاملاً متفاوت است. می توان دید که طراحی جدید باید در کره بالایی به شعاع  $\sqrt{2}$  و به مرکز نقطه فعلی باشد. پس، زیر مسئله تقریبی که در هر چرخه طراحی باید حل شود به شکل زیر تعریف می شود:

تغییرات طراحی  $d_1, d_2, \dots, d_n$  را چنان محاسبه کنید که تابع هزینه خطی

$$\tilde{f} = \sum_{i=1}^n c_i d_i \quad (\tilde{f} = \mathbf{c}^T \mathbf{d}) \quad (6.34)$$

مشروط به قیود مساوی خطی شده

$$\sum_{i=1}^n n_{ij} d_i = e_j; \quad j = 1 \text{ to } p \quad (\mathbf{N}^T \mathbf{d} = \mathbf{e}) \quad (6.35)$$

و قیود نامساوی خطی شده

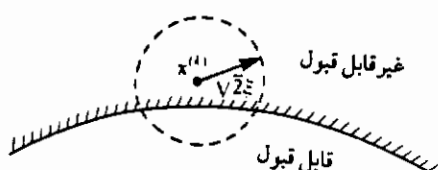
$$\sum_{i=1}^n a_{ij} d_i \leq b_j; \quad j = 1 \text{ to } m \quad (\mathbf{A}^T \mathbf{d} \leq \mathbf{b}) \quad (6.36)$$

و قید اندازه گام درجه دو

$$0.5 \sum_{i=1}^n (d_i^2) \leq \xi^2 \quad (0.5 \mathbf{d}^T \mathbf{d} \leq \xi^2) \quad (6.37)$$

مینیمم شود.

شکلها و خواص مختلفی از مسئله تقریبی در بخش‌های بعدی بحث می شوند. زیر مسئله غیر خطی است، زیرا قید اندازه گام خطی نیست. بنابراین، روش سیمپلکس که در فصل (۴) ارائه شد نمی تواند برای حل زیر مسئله به کار رود. اما همچنان که بعداً خواهیم دید آن را می توان بسط داد.



شکل ۱۰.۶. قید اندازه گام درجه دو روی تغییرات طراحی

## ٦.٥.٢ زیرمسئله برنامه ریزی درجه دو (QP)

یک مسئله برنامه ریزی درجه دو، تابع هزینه درجه دو و قیود خطی دارد. زیرمسئله یافتن جهت غیرخطی که در معادله های (٦.٣٤) تا (٦.٣٧) تعریف شد بدین شکل نیست ولی می تواند به آن تبدیل شود. زیرمسئله تعریف شده در معادله های (٦.٣٤) تا (٦.٣٧) یک عیب دارد، و آن این است که امکان دارد اگرچه خیلی کوچک باشد و طراحی فعلی غیرقابل قبول باشد، جواب نداشته باشد. این موضوع را می شود با مراجعت به شکل ٦.١٠ به طریق ترسیمی مشاهده کرد. اگر کره بالایی در شکل ٦.١٠ ناحیه قابل قبول را قطع نکند (یعنی شعاع خبلی کوچک باشد) آن گاه زیرمسئله غیرقابل قبول است. از طرف دیگر، مزیت حل زیرمسئله QP (که در زیر تعریف می شود) این است که همیشه جواب دارد (وقتی قیود سازگارند) و در حقیقت اگر مسئله محدب قطعی باشد، منحصر به فرد نیز هست. همچنین، روشهای عددی بسیاری برای حل مؤثر و دقیق مسئله QP وجود دارد. روش سیمپلکس بهبود یافته یا شرایط کان-تاکر و روشهای فصل (٣) می تواند برای مسائل ساده تر استفاده شود. نرم افزارهای تجاری متعددی برای حل مسائل QP موجود است، مانند کیوپی سول (QPSOL) [گیل، موری، سوندرز و رایت<sup>١</sup>، ١٩٨٤]، لیندو (LINDO) [شریج<sup>٢</sup>، ١٩٨١]، وی ای صفر شش ای (WE06A) [هوپر<sup>٣</sup>، ١٩٨١]، وی ای صفر چهار ان ای اف (E04NAF) [ناگ<sup>٤</sup>، ١٩٨٤].

این امکان وجود دارد که زیرمسئله QP معادل زیر رابطه سازی کنید که جوابش با زیرمسئله تعریف شده در معادله های (٦.٣٤) تا (٦.٣٧) یکسان است: تابع

$$\tilde{f} = \mathbf{c}^T \mathbf{d} + 0.5 \mathbf{d}^T \mathbf{d} \quad (٤.٣٨)$$

رابه شرط

$$\mathbf{N}^T \mathbf{d} = \mathbf{e} \quad (٦.٣٩)$$

$$\mathbf{A}^T \mathbf{d} \leq \mathbf{b} \quad (٦.٤٠)$$

مینیمم کنید. نشان دادن این که با نوشتن شرایط لازم K-T Fصل (٣) جواب زیرمسئله QP با جواب زیرمسئله قبلی، با ضریب لاگرانژ یک برای قید اندازه گام، معادل است؛ به عهده دانشجویان گذاشته می شود. دقت کنید که زیرمسئله QP محدب است و بنابراین انتظار

می‌رود که روش حل پایدار باشد. به علاوه، جواب زیر مسأله QP (اگر وجود داشته باشد) منحصر به فرد است، زیرا یک مسأله برنامه ریزی محدب قطعی (اکید) است.

### مثال ۶.۷ تعریف زیرمسأله QP

$$f(\mathbf{x}) = 2x_1^3 + 15x_2^2 - 8x_1x_2 - 4x_1$$

را نسبت به قیود

$$h(\mathbf{x}) = x_1^2 + x_1x_2 + 1.0 = 0$$

$$g(\mathbf{x}) = x_1 - \frac{1}{4}x_2^2 - 1.0 \leq 0$$

مینیمم کنید. توابع هزینه و قید را حول نقطه (1, 1) خطی کرده و زیرمسأله QP را تعریف کنید.

حل. شکل ۱۱.۶ نمایش هندسی مسأله را نشان می‌دهد. قید مساوی به شکل  $h = 0$  و قید نامساوی به شکل  $g = 0$  نشان داده شده است. ناحیه قابل قبول برای قید نامساوی تعریف شده و چندین خط هزینه ثابت نشان داده شده‌اند. چون قید مساوی باید برآورده شود، نقطه بهین باید روی منحنی  $h = 0$  قرار داشته باشد. دو جواب بهین عبارتند از

$$A: \mathbf{x}^* = (1, -2), f(\mathbf{x}^*) = 74$$

$$B: \mathbf{x}^* = (-1, 2), f(\mathbf{x}^*) = 78$$

گرادیان توابع هزینه و قیود عبارتند از

$$\nabla f = (6x_1^2 - 8x_2 - 4, 30x_2 - 8x_1)$$

$$\nabla h = (2x_1 + x_2, x_1)$$

$$\nabla g = (1, -x_2/2)$$

مقادیر توابع هزینه و قید و گرادیانها ایشان در نقطه (1, 1) عبارت است از

$$f(1, 1) = 5$$

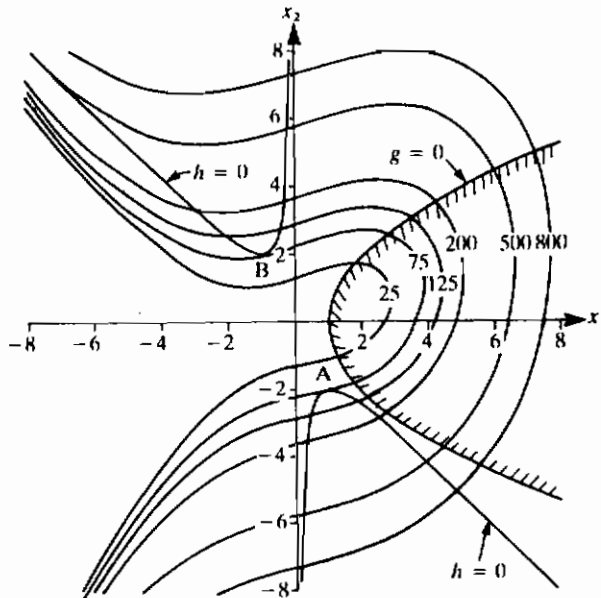
$$h(1, 1) = 3 \neq 0 \quad (\text{تفصیل شده})$$

$$g(1, 1) = -0.25 < 0 \quad (\text{غیرفعال})$$

$$\mathbf{c} = \nabla f = (-6, 22)$$

$$\nabla h = (3, 1)$$

$$\nabla g = (1, -0.5)$$



شکل ۶.۱۱ نمایش ترسیمی مثال ۶.۷

با استفاده از حدود حرکت ۵۰٪، زیرمسئله برنامه ریزی خطی بیان شده در معادله های (۶.۲۳) تا (۶.۲۵) به شکل زیر تعریف می شود: تابع

$$\tilde{f} = -6d_1 + 22d_2$$

را نسبت به قیود

$$3d_1 + d_2 = -3$$

$$d_1 - 0.5d_2 \leq 0.25$$

$$-0.5 \leq d_1 \leq 0.5$$

$$-0.5 \leq d_2 \leq 0.5$$

مینیمم کنید.

زیرمسئله QP معادله های (۶.۳۸) تا (۶.۴۰) به شکل زیر تعریف می شود: تابع

$$\tilde{f} = (-6d_1 + 22d_2) + 0.5(d_1^2 + d_2^2)$$

را نسبت به قیود

$$3d_1 + d_2 = -3$$

$$d_1 - 0.5d_2 \leq 0.25$$

مینیمم کنید.

دقت کنید که اگر راهبرد قید پتانسیل اعمال شود قید نامساوی لازم نیست که در تعریف زیرمسئله QP بباید، زیرا آن قید غیرفعال است. گرادیان قید و لازم نیست در نقطه طراحی داده شده محاسبه شود.

برای مقایسه جوابها، زیرمسئله های LP و QP گذشته به ترتیب در شکلهاي ۱۲.۶ و ۱۳.۶ رسم شده اند. در این شکلها، جواب باید قید مساوی خطی شده را برآورده کند، بنابراین باید روی خط C-D قرار داشته باشد. ناحیه قابل قبول برای قید نامساوی خطی شده نیز نشان داده شده است. بنابراین جواب زیرمسئله باید روی خط G-C باشد. در شکل ۱۲.۶ دیده می شود که با حدود حرکت ۰٪، زیرمسئله خطی شده غیرقابل قبول می شود. حدود حرکت ایجاب می کند که تغییرات داخل مربع HIJK قرار داشته باشد که خط G-C راقطع نمی کند. اگر حدود حرکت را ۱۰۰٪ کنیم، آن گاه نقطه L جواب بهین را می دهد که عبارت است از

$$d_1 = -\frac{2}{3}, \quad d_2 = -1.0, \quad \bar{f} = -18$$

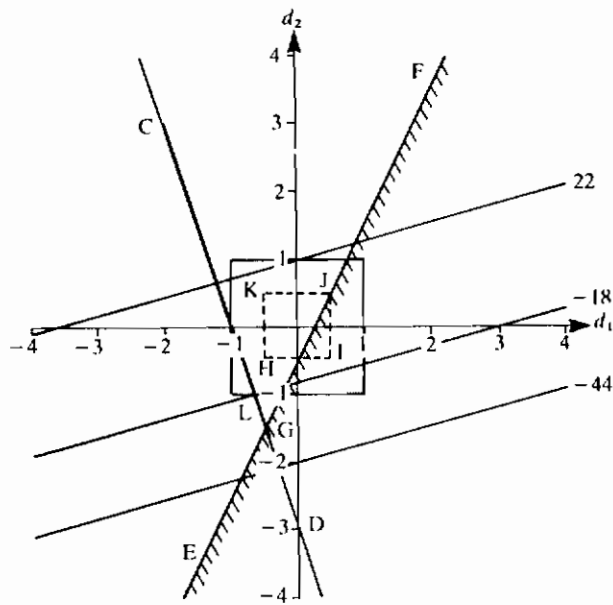
پس، می بینیم که تغییر طراحی با زیرمسئله خطی شده از حدود حرکت تأثیر پذیرفته است.

در زیرمسئله QP ، مجموعه قید ثابت می ماند ولی نیازی به حدود حرکت نیست همچنان که در شکل ۱۳.۶ نشان داده شده است. تابع هزینه اکنون یک تابع درجه دو است که جواب بهین را که نقطه G است، می دهد؛ یعنی

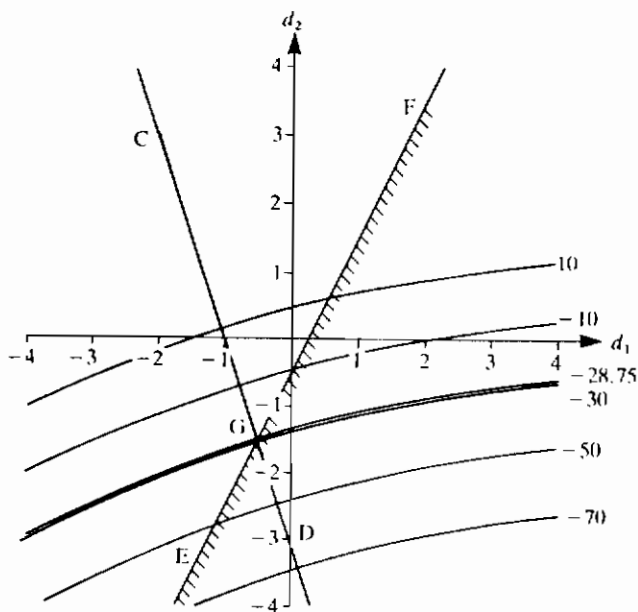
$$d_1 = -0.5, \quad d_2 = -1.5, \quad \bar{f} = -28.75$$

دقت کنید که جهت طراحی به دست آمده از زیرمسئله QP منحصر به فرد است، ولی در زیرمسئله LP به حدود حرکت بستگی دارد. در حالت کلی جهتهای به دست آمده از زیرمسئله های LP و QP با هم متفاوتند.

روشهای عددی برای طراحی بهین مقید



شکل ۱۲. حل زیرمسئله خطی شده مثال ۶.۷ در نقطه (۱، ۱).



شکل ۱۳. حل زیرمسئله برنامه ریزی درجه دو مثال ۶.۷ در نقطه (۱، ۱).

## ۶.۵.۳ حل مسائل برنامه‌ریزی درجه دو

**۶.۵.۳.۱ تعریف مسأله QP.** مسائل برنامه‌ریزی درجه دو (QP) در بسیاری از کاربردهای واقعی وجود دارند. به علاوه، بسیاری از الگوریتمهای برنامه‌ریزی غیرخطی کلی (که در بخش‌های بعدی بحث می‌شوند) در هر چرخه به حل زیرمسأله برنامه‌ریزی درجه دونیاز دارند. همان‌طور که در معادله‌های (۶.۳۸) تا (۶.۴۰) دیده می‌شود، هنگامی که یک مسأله غیرخطی، به خطی تبدیل شده و قید اندازه گام درجه دو اعمال می‌شود، زیرمسأله QP به وجود می‌آید. حل مؤثر یک مسأله QP بسیار مهم است، زیرا مسائل بزرگ را به وسیله آن می‌توان حل کرد. پس اگر پژوهش‌های قابل توجهی برای تدوین و ارائه الگوریتمهای متعدد برای حل مسائل QP انجام شده باشد تعجب آمیز نیست [گیل و دیگران<sup>۱</sup>، ۱۹۸۱؛ لوئن برگر<sup>۲</sup>، ۱۹۸۴]. همچنان که یادآور شدیم، برنامه‌های مناسبی نیز برای حل چنین مسائلی ارائه شده است.

در اینجا روشی را برای حل مسائل QP تشریع خواهیم کرد که تعمیم ساده‌ای از روش سیمپلکس است. روش‌های بسیار دیگری در دسترس هستند که می‌توان آنها را صورتی از روش یاد شده دانست. بعضی از برنامه‌های LP نیز این قابلیت را دارند و در آنها گزینه‌ای برای حل مسائل QP وجود دارد [شربیج<sup>۳</sup>، ۱۹۸۱]. روش حل در آنها معمولاً براساس روش سیمپلکس است.

می‌توانیم یک مسأله کلی QP را به شکل زیر تعریف کنیم؛ تابع

$$q(\mathbf{x}) = \mathbf{c}^T \mathbf{x} + 0.5 \mathbf{x}^T \mathbf{H} \mathbf{x} \quad (6.41)$$

را نسبت به قیود نامساوی و مساوی خطی

$$\mathbf{A}^T \mathbf{x} \leq \mathbf{b} \quad (6.42)$$

$$\mathbf{N}^T \mathbf{x} = \mathbf{e} \quad (6.43)$$

و

$$\mathbf{x} \geq \mathbf{0} \quad (6.44)$$

مینیمم کنیم که در آن،  $\mathbf{c} = \text{برداری "بعدی از اعداد ثابت داده شده، } \mathbf{x} = \text{بردار "بعدی از$

1. Gill et al.

2. Luenberger

3. Schrage

### روشهای عددی برای طراحی بهین مقید

مجهولها،  $b =$  بردار  $m \times 1$  بعدی از اعداد ثابت داده شده،  $e =$  بردار  $p \times 1$  بعدی از اعداد ثابت داده شده،  $H =$  ماتریس هسیان  $n \times n$  از اعداد ثابت،  $A =$  ماتریس  $m \times n$  از اعداد ثابت داده شده و  $N =$  ماتریس  $p \times n$  از اعداد ثابت داده شده می‌باشد.

توجه کنید که تمامی قیود نامساوی خطی به "شکل ۱" بیان می‌شوند. این کار ضرورت دارد، زیرا شرایط لازم کان-تاکر بخش ۳.۳ را خواهیم نوشت. آن جا برای قیود نامساوی "شکل ۱" را استفاده کردیم. همچنین دقت کنید که اگر ماتریس هسیان نیمه معین مثبت باشد، مسئله QP محدب است و هر جوابی (اگر وجود داشته باشد) یک نقطه مینیمم فراگیر است (که لازم نیست منحصر به فرد باشد). به علاوه، اگر ماتریس هسیان معین مثبت باشد، مسئله محدب قطعی (اکید) است. بنابراین مسئله یک جواب فراگیر منحصر به فرد دارد (اگر جوابی وجود داشته باشد). ما فرض خواهیم کرد که ماتریس  $H$  حداقل نیمه معین مثبت باشد. این در عمل فرضی غیرمنطقی نیست، زیرا در بسیاری از موارد صادق است. به عنوان مثال، در زیر مسئله QP معادله‌های (۶.۳۸) تا (۶.۴۰)، (ماتریس واحد)  $I = H$  است، بنابراین هسیان در واقع معین مثبت است. همچنین دقت کنید که متغیر  $x$  باید در معادله (۶.۴۴) نامنفی باشد. متغیرهایی که از نظر علامت آزادند می‌توانند به رویی که در بخش ۲.۴ تشریح شد مورد استفاده قرار گیرند.

**۶.۵.۳.۲ یک روش حل - شرایط کان-تاکر برای مسئله QP.** یک روش برای حل مسئله QP معادله‌های (۶.۴۱) تا (۶.۴۴) این است که ابتدا شرایط لازم کان-تاکر بخش ۳.۳ را نوشت و سپس آن را به شکلی که بتواند با گام ۱ روش سیمپلکس بخش ۴.۵ حل شود، تبدیل کنیم. برای نوشتن شرایط لازم، متغیر کمبود  $s$  را برای نامساوی‌های (۶.۴۲) معرفی کرده و آنها را به مساوی‌هایی به شکل زیر تبدیل می‌کنیم

$$A^T x + s = b; \quad s \geq 0 \quad (6.45)$$

یا، متغیر کمبود برای زامین نامساوی معادله (۶.۴۲) می‌تواند با استفاده از معادله (۶.۴۵) به شکل زیر بیان شود

$$s_i = b_i - \sum_{j=1}^n a_{ij} x_j \quad (s = b - A^T x) \quad (6.46)$$

توجه کنید که قیود نامنفی بودن معادله‌های (۶.۴۴) (وقتی به شکل استاندارد  $0 \leq x$  بیان شود) به متغیر کمبود نیازی ندارند، زیرا  $0 \leq x$  خودش متغیر کمبود است.

می‌توانیم تابع لاگرانژ را برای مسئله QP به شکل زیر تعریف کیم

$$L = \mathbf{c}^T \mathbf{x} + 0.5 \mathbf{x}^T \mathbf{H} \mathbf{x} + \mathbf{u}^T (\mathbf{A}^T \mathbf{x} + \mathbf{s} - \mathbf{b}) - \zeta^T \mathbf{x} + \mathbf{v}^T (\mathbf{N}^T \mathbf{x} - \mathbf{e})$$

که در آن  $\mathbf{u}$ ،  $\mathbf{v}$  و  $\zeta$  به ترتیب بردارهای ضرایب لاگرانژ قیود نامساوی معادله‌های (۶.۴۲) یا (۶.۴۶)، قیود مساوی معادله (۶.۴۳)، و قید ناممکن بودن ( $0 \leq \mathbf{x}$ ) هستند. شرط لازم کان-تاکر معادله‌های زیر را می‌دهد

$$\frac{\partial L}{\partial \mathbf{x}} = \mathbf{c} + \mathbf{Hx} + \mathbf{Au} - \zeta + \mathbf{Nv} = \mathbf{0} \quad (6.47)$$

$$\mathbf{A}^T \mathbf{x} + \mathbf{s} - \mathbf{b} = \mathbf{0} \quad (6.48)$$

$$\mathbf{N}^T \mathbf{x} - \mathbf{e} = \mathbf{0} \quad (6.49)$$

$$u_i s_i = 0; \quad i = 1 \text{ to } m \quad (6.50)$$

$$\zeta_i x_i = 0; \quad i = 1 \text{ to } n \quad (6.51)$$

$$s_i, u_i \geq 0 \text{ for } i = 1 \text{ to } m; \quad \zeta_i \geq 0 \text{ for } i = 1 \text{ to } n \quad (6.52)$$

چون ضرایب لاگرانژ  $\mathbf{v}$  مربوط به قیود مساوی از نظر علامت آزادند، می‌شود آنها را به دو متغیر دیگر تبدیل کرد؛ یعنی

$$\mathbf{v} = \mathbf{y} - \mathbf{z} \quad \text{با} \quad \mathbf{y}, \mathbf{z} \geq \mathbf{0} \quad (6.53)$$

اکنون، با نوشتن معادله‌های (۶.۴۷)، (۶.۴۸) و (۶.۴۹) به شکل ماتریسی، داریم

$$\begin{bmatrix} \mathbf{H} & \mathbf{A} & -\mathbf{I}_{(n)} & \mathbf{0}_{(n \times m)} & \mathbf{N} & -\mathbf{N} \\ \mathbf{A}^T & \mathbf{0}_{(m \times m)} & \mathbf{0}_{(m \times n)} & \mathbf{I}_{(m)} & \mathbf{0}_{(m \times p)} & \mathbf{0}_{(m \times p)} \\ \mathbf{N}^T & \mathbf{0}_{(p \times m)} & \mathbf{0}_{(p \times n)} & \mathbf{0}_{(p \times m)} & \mathbf{0}_{(p \times p)} & \mathbf{0}_{(p \times p)} \end{bmatrix} \begin{bmatrix} \mathbf{x} \\ \mathbf{u} \\ \zeta \\ \mathbf{s} \\ \mathbf{y} \\ \mathbf{z} \end{bmatrix} = \begin{bmatrix} -\mathbf{c} \\ \mathbf{b} \\ \mathbf{e} \end{bmatrix} \quad (6.54)$$

که در آن  $\mathbf{I}_{(n)}$  و  $\mathbf{I}_{(m)}$  به ترتیب ماتریسهای واحد  $n \times n$  و  $m \times m$ ، و  $\mathbf{0}$  ماتریسهای صفر از مرتبه‌های یاد شده می‌باشند. معادله (۶.۵۴) به شکل علایم ماتریسی خلاصه شده عبارت است از

$$\mathbf{B}\mathbf{X} = \mathbf{D} \quad (6.55)$$

که ماتریس  $B$  و بردارهای  $X$  و  $D$  از معادله (۶.۵۴) به شکل زیر خواهند بود

$$B = \begin{bmatrix} H & A & -I_{(n)} & 0_{(n \times m)} & N & -N \\ A^T & 0_{(m \times m)} & 0_{(m \times n)} & I_{(m)} & 0_{(m \times p)} & 0_{(m \times p)} \\ N^T & 0_{(p \times m)} & 0_{(p \times n)} & 0_{(p \times m)} & 0_{(p \times p)} & 0_{(p \times p)} \end{bmatrix}_{[(n+m+p) \times (2n+2m+2p)]} \quad (6.56)$$

$$X = \begin{bmatrix} x \\ u \\ \zeta \\ s \\ y \\ z \end{bmatrix}_{(2n+2m+2p)} \quad D = \begin{bmatrix} -c \\ b \\ e \end{bmatrix}_{(n+m+p)} \quad (6.57)$$

اکنون شرایط کان-تاکر به یافتن بردار  $X$  جواب سیستم معادله های خطی (۶.۵۵) مشروط به معادله های (۶.۵۰) تا (۶.۵۲) می انجامد. بر حسب متغیر جدید  $X$ ، شرط کمبود مکمل معادله (۶.۵۰) و (۶.۵۱)، به معادله زیر ختم می شود

$$X_i X_{n+m+i} = 0; \quad i = 1 \text{ to } (n+m) \quad (6.58)$$

و شرایط نامنفی بودن معادله (۶.۵۲) به شکل زیر ختم می شود

$$X_i \geq 0; \quad i = 1 \text{ to } (2n+2m+2p) \quad (6.59)$$

**۶.۵.۳.۳ روش سیمپلکس برای حل مسائل QP.** حل سیستم معادله های خطی معادله های (۶.۵۵) که کمبود مکمل معادله (۶.۵۸) و شرط نامنفی بودن معادله (۶.۵۹) را برا آورده می کند جواب مسأله QP اصلی است. توجه کنید که شرط کمبود مکمل معادله (۶.۵۸) بر حسب متغیرهای  $X$  غیرخطی هستند. بنابراین، ممکن است چنین به نظر برسد که روش سیمپلکس مربوط به LP نمی تواند برای حل معادله (۶.۵۵) به کار رود. اماً روشی که توسط ولف<sup>۱</sup> [۱۹۵۹] تدوین و توسعه دلی<sup>۲</sup> [۱۹۶۴] بهبود یافت، می تواند برای حل مسأله به کار رود. این روش در صورتی که ماتریس  $H$  در معادله (۶.۴۱) معین مثبت باشد، در چند گام محدود به جواب همگرا می شود. به علاوه می توان نشان داد [کانزی و کرل<sup>۳</sup>، ۱۹۶۶، ص ۱۲۳] که حتی اگر  $H$  نیمه معین مثبت نیز باشد در صورتی که بردار  $c$  در معادله (۶.۴۱) صفر باشد روش همگراست.

1. Wolfe

2. Hadley

3. Kunzi and Krelle

روش براساس گام I روش سیمپلکس فصل (۴) قرار دارد که در آن جا برای هر قيد مساوی یک متغیر مصنوعی معرفی کردیم و همچنین یکتابع هزینه مصنوعی تعریف شد که از آن برای به دست آوردن یک جواب قابل قبول اصلی اوکیه استفاده می شد. در اینجا هم ما متغیر مصنوعی  $\gamma$  را برای هریک از معادله های (۶.۵۵) به شکل زیر تعریف می کنیم

$$\mathbf{BX} + \mathbf{Y} = \mathbf{D} \quad (6.60)$$

در حالی که  $\mathbf{Y}$  یک بردار  $(n+m+p)$  بعدی است. بدین ترتیب تمامی  $X$  ها را در ابتدا به عنوان متغیر های غیر اصلی و تمامی  $\gamma$  ها را به عنوان متغیر های اصلی انتخاب می کنیم. توجه کنید که تمامی درایه های  $D$  باید برای قابل قبول بودن جواب اصلی اوکیه نامنفی باشند. اگر هریک از درایه های  $D$  منفی باشند، معادله مربوطه در معادله های (۶.۵۵) باید در ۱ - ضرب شود تا یک درایه نامنفی در طرف راست داشته باشد.

تابع هزینه مصنوعی برای مساله به شکل زیر تعریف می شود

$$w = \sum_{i=1}^{n+m+p} Y_i \quad (6.61)$$

برای استفاده از روش سیمپلکس، باید تابع هزینه مصنوعی را فقط بر حسب متغیر های غیر اصلی بیان کنیم. متغیر های اصلی  $\gamma$  را از معادله (۶.۶۱) با جایگزینی معادله (۶.۶۰) در آن حذف می کنیم، داریم

$$\begin{aligned} w &= \sum_{i=1}^{n+m+p} D_i - \sum_{j=1}^{2(n+m+p)} \sum_{i=1}^{n+m+p} B_{ij} X_j \\ &= w_0 + \sum_{j=1}^{2(n+m+p)} C_j X_j \end{aligned} \quad (6.62)$$

در حالی که

$$C_j = - \sum_{i=1}^{n+m+p} B_{ij} \quad \text{و} \quad w_0 = \sum_{i=1}^{n+m+p} D_i \quad (6.63)$$

پس  $w_0$  مقدار اوکیه تابع هزینه مصنوعی و  $C_j$  ضریب هزینه نسبی اوکیه است که با جمع کردن درایه های ستون زام ماتریس  $B$  و عرض کردن علامت آن به دست می آید.

قبل از این که بتوانیم از گام I روش سیمپلکس استفاده کنیم، نیاز به تدوین روشهای اعمال شرط کمبود مکمل معادله (۶.۵۸) داریم. در صورتی که  $X$  ها و  $X_{n+m+p}$  ها

به طور همزمان اصلی نباشد، شرایط برآورده می‌شود. یا، اگر آنها به طور همزمان اصلی اند، آن گاه یکی از آنها صفر است (جواب قابل قبول اصلی تباهیده). این شرایط می‌توانند هنگام به دست آوردن درایه لولا در روش سیمپلکس بررسی شوند.

پس روش حل مسائل  $QP$  به شکل زیر خلاصه می‌شود:

۱. با استفاده از مسئله  $QP$  معادله‌های (۶.۴۱) تا (۶.۴۴) ماتریس  $B$  معادله (۶.۵۶) را تعریف کنید.

۲. بردار  $D$  معادله (۶.۵۷) را تعریف کنید؛ مطمئن شوید که تمامی درایه‌ها نامنفی اند، یعنی  $D_i \geq 0$ . اگر درایه‌ای منفی بود، علامتش را عوض کرده و سطر مربوطه ماتریس  $B$  در معادله (۶.۵۰) را در ۱ - ضرب کنید.

۳. مقدار فعلی تابع هزینه مصنوعی و ضرایب هزینه مصنوعی را با استفاده از معادله‌های (۶.۶۳) محاسبه کنید.

۴. گام ۱ روش سیمپلکس فصل (۴) را کامل کنید. اگر تابع هزینه مصنوعی غیر صفر است و تمامی ضرایب هزینه نسبی نامنفی اند، یا نشود درایه لولا را به دست آورد، آن گاه مسئله اصلی غیرقابل قبول است.

۵. اگر جواب قابل قبولی برای معادله‌های (۶.۵۵)، (۶.۵۸) و (۶.۵۹) پیدا شده آن گاه از تعریف بردار  $X$  در معادله (۶.۵۷) استفاده کنید تا مقادیر بهین متغیرهای  $QP$  اصلی  $x$ ، ضرایب لاگرانژ  $\lambda$ ، و  $\gamma$  و متغیرهای کمبود  $s$  را بازیابی کنید.

روش گذشته در یک مسئله نمونه تشریح خواهد شد. در اینجا توجه به این نکته مفید است که یک روش کمی متفاوت برای حل شرایط لازم کان-تاکر برای مسئله  $QP$  توسط لمک<sup>۱</sup> [۱۹۶۵] تدوین شده است. آن روش به عنوان روش لولا می‌مکمل شناخته می‌شود. تجربیات عددی [راویندران و لی، ۱۹۸۱] نشان داده است که این روش وقتی ماتریس  $H$  نیمه معین مثبت است، از نظر محاسباتی بسیار پرجاذبه‌تر از دیگر روش‌های حل مسائل  $QP$  است.

**مثال ۶.۸ حل مسئله  $QP$ .** مسئله  $QP$  زیر را حل کنید:

تابع

$$f(x) = (x_1 - 3)^2 + (x_2 - 3)^2$$

(الف)

را مشروط به

$$x_1 + x_2 \leq 4 \quad (\text{ب})$$

$$x_1 - 3x_2 = 1 \quad (\text{پ})$$

$$x_1, x_2 \geq 0$$

مینیمم کنید.

حل. چون این یک مسأله دو متغیره است، با استفاده از شرایط کان-تاکر و روش بخش ۴.۳. نیز می‌تواند حل شود. مسأله را با استفاده از روش سیمپلکس حل کرده و برآورده شدن شرایط کان-تاکر را برای آن نشان خواهیم داد.

تابع هزینه می‌تواند به شکل زیر بیان شود

$$f(\mathbf{x}) = x_1^2 - 6x_1 + x_2^2 - 6x_2 + 18$$

از ثابت (۱۸) تابع هزینه صرف نظر کرده و تابع درجه دوی زیر را که به شکل

معادله ۶.۴۱ بیان شد، مینیمم می‌کنیم :

$$\mathbf{q}(\mathbf{x}) = [-6 \quad -6] \begin{bmatrix} x_1 \\ x_2 \end{bmatrix} + 0.5[x_1 \quad x_2] \begin{bmatrix} 2 & 0 \\ 0 & 2 \end{bmatrix} \begin{bmatrix} x_1 \\ x_2 \end{bmatrix} \quad (\text{ت})$$

از معادله های (ت)، (ب) و (پ)، مقادیر زیر را مشخص می‌کنیم :

$$\mathbf{c} = \begin{bmatrix} -6 \\ -6 \end{bmatrix}; \quad \mathbf{H} = \begin{bmatrix} 2 & 0 \\ 0 & 2 \end{bmatrix}$$

$$\mathbf{A} = \begin{bmatrix} 1 \\ 1 \end{bmatrix}; \quad \mathbf{b} = [4]$$

$$\mathbf{N} = \begin{bmatrix} 1 \\ -3 \end{bmatrix}; \quad \mathbf{e} = [1]$$

با استفاده از این مقادیر، ماتریس  $\mathbf{B}$  و بردارهای  $\mathbf{D}$  و  $\mathbf{X}$  معادله های (۶.۵۶) و (۶.۵۷)

به شکل زیر مشخص می‌شوند

$$\mathbf{B} = \left[ \begin{array}{cc|cc|cc|cc} 2 & 0 & 1 & -1 & 0 & 0 & 1 & -1 \\ 0 & 2 & 1 & 0 & -1 & 0 & -3 & 3 \\ \hline 1 & 1 & 0 & 0 & 0 & 1 & 0 & 0 \\ \hline 1 & -3 & 0 & 0 & 0 & 0 & 0 & 0 \end{array} \right]$$

$$\mathbf{D} = [6 \quad 6 \quad 4 \quad 1]^T$$

$$\mathbf{X} = [x_1 \quad x_2 \quad u_1 \quad \zeta_1 \quad \zeta_2 \quad s_1 \quad y_1 \quad z_1]^T$$

توجه کنید که چون تمامی مؤلفه‌های  $D$  نامنفی اند، برای نامنفی شدن طرف راست معادله (۶.۵۵) نیازی به ضرب هیچ کدام از سطرهای  $B$  در  $A$ - نیست.

جدول ۶.۱ جدول اویله سیمپلکس و چهار چرخه رسیدن به جواب بهین را نشان می‌دهد. دقت کنید که ضرایب هزینه نسبی  $C$  در جدول اویله با جمع کردن تمامی درایه‌ها در ستون  $Z$ ام و تغییر علامت آنها به دست می‌آید. همچنین، شرط کمبود مکمل معادله (۶.۵۸) ایجاب می‌کند که

$$X_1 X_4 = 0$$

$$X_2 X_5 = 0$$

$$X_3 X_6 = 0$$

یعنی  $X_1$  و  $X_2$ ،  $X_3$  و  $X_4$ ،  $X_5$  و  $X_6$  نمی‌توانند همزمان متغیر اصلی باشند. این شرایط را وقتی لولا را در گام اروش سیمپلکس به دست می‌آوریم اعمال می‌کنیم.

بعد از چهار چرخه روش سیمپلکس، تمامی متغیرهای مصنوعی غیراصلی شده وتابع هزینه مصنوعی صفر می‌شود. بنابراین جواب بهین عبارت است از

$$X_1 = \frac{13}{4}, \quad X_2 = \frac{1}{4}, \quad X_3 = \frac{3}{4}, \quad X_4 = \frac{4}{4}$$

$$X_5 = 0, \quad X_6 = 0, \quad X_7 = 0$$

جواب بهین مسئله QP اصلی عبارت است از

$$x_1 = \frac{13}{4}, \quad x_2 = \frac{1}{4}, \quad u_1 = \frac{3}{4}, \quad \zeta_1 = 0, \quad \zeta_2 = 0$$

$$s_1 = 0, \quad y_1 = 0, \quad z_1 = \frac{1}{4}, \quad v_1 = y_1 - z_1 = -\frac{1}{4}$$

$$f\left(\frac{13}{4}, \frac{1}{4}\right) = \frac{41}{8}$$

اکنون ببینیم شرایط کان-تاکر برای این جواب چگونه برآورده می‌شود. لاگرانژین مسئله با استفاده از معادله‌های (الف) تا (پ) عبارت است از

$$L = (x_1 - 3)^2 + (x_2 - 3)^2 + u_1(x_1 + x_2 - 4) + v_1(x_1 - 3x_2 - 1) \\ - \zeta_1 x_1 - \zeta_2 x_2$$

چون متغیر کمبود برای قید نامساوی صفر است، باید به صورت مساوی برآورده شود. بنابراین، با حل معادله‌های (پ) تا (پ)، داریم  $x_1 = \frac{3}{4}$ ،  $x_2 = \frac{13}{4}$ ،  $x_1 > 0$ . چون  $x_1 > 0$ ؛  $x_2 = \zeta_1 = 0$ . با مشتق گیری از لاگرانژین داریم

جدول ۶.۱ روش حل سیمپلکس برای مسئله QP مثال ۶.۸

	$X_1$	$X_2$	$X_3$	$X_4$	$X_5$	$X_6$	$X_7$	$X_8$	$Y_1$	$Y_2$	$Y_3$	$Y_4$	$D$
اولیه													
$Y_1$	2	0	1	-1	0	0	1	-1	1	0	0	0	6
$Y_2$	0	2	1	0	-1	0	-3	3	0	1	0	0	6
$Y_3$	1	1	0	0	0	1	0	0	0	0	1	0	4
$Y_4$	1	-3	0	0	0	0	0	0	0	0	0	1	1
	<u>-4</u>	0	-2	1	1	-1	2	-2	0	0	0	0	$w - 17$
اولین چرخه													
$Y_1$	0	<u>6</u>	1	-1	0	0	1	-1	1	0	0	-2	4
$Y_2$	0	2	1	0	-1	0	-3	3	0	1	0	0	6
$Y_3$	0	4	0	0	0	1	0	0	0	0	1	-1	3
$X_1$	1	-3	0	0	0	0	0	0	0	0	0	1	1
	0	<u>-12</u>	-2	1	1	-1	2	-2	0	0	0	4	$w - 13$
دومین چرخه													
$X_2$	0	1	<u><math>\frac{1}{6}</math></u>	<u><math>-\frac{1}{6}</math></u>	0	0	<u><math>\frac{1}{6}</math></u>	<u><math>-\frac{1}{6}</math></u>	<u><math>\frac{1}{6}</math></u>	0	0	<u><math>-\frac{1}{3}</math></u>	<u><math>\frac{2}{3}</math></u>
$Y_2$	0	0	<u><math>\frac{2}{3}</math></u>	<u><math>-\frac{1}{3}</math></u>	-1	0	<u><math>-\frac{10}{3}</math></u>	<u><math>-\frac{10}{3}</math></u>	<u><math>-\frac{1}{3}</math></u>	1	0	<u><math>-\frac{2}{3}</math></u>	<u><math>\frac{14}{3}</math></u>
$Y_3$	0	0	<u><math>-\frac{2}{3}</math></u>	<u><math>\frac{1}{3}</math></u>	0	1	<u><math>-\frac{2}{3}</math></u>	<u><math>-\frac{2}{3}</math></u>	<u><math>-\frac{1}{3}</math></u>	0	1	<u><math>\frac{1}{3}</math></u>	<u><math>\frac{1}{3}</math></u>
$X_1$	1	0	<u><math>\frac{1}{2}</math></u>	<u><math>-\frac{1}{2}</math></u>	0	0	<u><math>\frac{1}{2}</math></u>	<u><math>-\frac{1}{2}</math></u>	<u><math>\frac{1}{2}</math></u>	0	0	0	3
	0	0	0	-1	1	-1	4	<u>-4</u>	2	0	0	0	$w - 5$
سومین چرخه													
$X_2$	0	1	0	0	0	<u><math>\frac{1}{4}</math></u>	0	0	0	0	<u><math>\frac{1}{4}</math></u>	<u><math>-\frac{1}{4}</math></u>	<u><math>\frac{3}{4}</math></u>
$Y_2$	0	0	<u><math>\frac{4}{3}</math></u>	-3	-1	-5	0	0	3	1	-5	-1	3
$X_3$	0	0	-1	1	0	<u><math>\frac{1}{2}</math></u>	-1	1	-1	0	<u><math>\frac{1}{2}</math></u>	<u><math>\frac{1}{2}</math></u>	<u><math>\frac{1}{2}</math></u>
$X_1$	1	0	0	0	0	<u><math>\frac{1}{4}</math></u>	0	0	0	0	<u><math>\frac{1}{4}</math></u>	<u><math>\frac{1}{4}</math></u>	<u><math>\frac{1}{4}</math></u>
	0	0	<u>-4</u>	3	1	5	0	0	-2	0	6	2	$w - 3$
چهارمین چرخه													
$X_2$	0	1	0	0	0	<u><math>\frac{1}{4}</math></u>	0	0	0	0	<u><math>\frac{1}{4}</math></u>	<u><math>-\frac{1}{4}</math></u>	<u><math>\frac{5}{4}</math></u>
$X_3$	0	0	1	<u><math>-\frac{1}{4}</math></u>	<u><math>-\frac{1}{4}</math></u>	<u><math>-\frac{1}{4}</math></u>	0	0	<u><math>\frac{1}{4}</math></u>	<u><math>\frac{1}{4}</math></u>	<u><math>-\frac{1}{4}</math></u>	<u><math>-\frac{1}{4}</math></u>	<u><math>\frac{1}{4}</math></u>
$X_8$	0	0	0	<u><math>\frac{1}{4}</math></u>	<u><math>-\frac{1}{4}</math></u>	<u><math>-\frac{1}{4}</math></u>	-1	1	<u><math>-\frac{1}{4}</math></u>	<u><math>\frac{1}{4}</math></u>	<u><math>\frac{1}{4}</math></u>	<u><math>\frac{1}{4}</math></u>	<u><math>\frac{1}{4}</math></u>
$X_1$	1	0	0	0	0	<u><math>\frac{1}{4}</math></u>	0	0	0	0	<u><math>\frac{1}{4}</math></u>	<u><math>\frac{1}{4}</math></u>	<u><math>\frac{1}{4}</math></u>
	0	0	0	0	0	0	0	0	1	1	1	1	$w - 0$

$$\frac{\partial L}{\partial x_1} = 2(x_1 - 3) + u_1 + v_1 = 0$$

$$\frac{\partial L}{\partial x_2} = 2(x_2 - 3) + u_1 - 3v_1 = 0$$

باجای گزینش  $\frac{13}{4}$  ،  $x_1 = \frac{3}{4}$  و  $x_2 = \frac{3}{4}$  ،  $u_1 = -\frac{5}{4}$  در معادله های فوق می بینیم که آنها برآورده می شوند. بنابراین، جوابی که با استفاده از روش سیمپلکس به دست آمد تمامی شرایط کان-تاکر را برآورده می کند. همچنین دقّت کنید که چون تابع هزینه محدب قطعی (اکید) است، جوابی که به دست آمده منحصر به فرد و فراگیر است.

## ۶.۶ روش تندترین کاهش مقید

زیرمسئله QP که در معادله های (۶.۳۸) تا (۶.۴۰) بخش گذشته تعریف شد، می تواند برای تدوین یک الگوریتم کلّی برای مسائل بهینه سازی مقید به کار رود. در این بخش ما چنین روشی را تشریح می کنیم. یک تابع کاهشی و یک راه به دست آوردن اندازه گام برای این روش توضیح داده می شود. یک روش گام به گام ارائه خواهد شد که بتواند در یک رایانه پیاده شود.

دقّت کنید هنگامی که یا قیدی وجود ندارد و یا هیچ کدام از قیدها فعال نیستند، مینیمم ساختن تابع درجه دوی معادله (۶.۳۸) به ما  $d = -c$  را می دهد (با استفاده از شرایط لازم،  $\frac{\partial f}{\partial d} = 0$ ). این درست جهت تندترین کاهش بخش ۶.۵ برای مسائل نامقید است. وقتی قیود وجود دارند، اثر آنها در محاسبه جهت جست و جو باید در نظر گرفته شود. جهت جست و جو باید تمامی قیود خطی شده را برآورده سازد. چون جهت جست و جو جهت تندترین کاهش بهبود یافته است، جهت تندترین کاهش مقید نامیده می شود. وقتی یک تابع کاهشی و یک روش جست و جوی خطی مربوط به آن را تعریف کرده تا اندازه گام را در امتداد جهت جست و جو محاسبه کنیم، مراحل الگوریتم تندترین کاهش مقید روش خواهد شد. این مراحل قبل از بیان الگوریتم تشریح خواهد شد.

زیرمسئله QP و روش تندترین کاهش مقید (CSD) که در این بخش ارائه شد مقدماتی ترین و ساده ترین تفسیر روشهای برنامه ریزی درجه دو دنباله ای (SQP) نوین و قدرتمند است. تمامی امکانات الگوریتم در اینجا بحث نشد، زیرا ارائه پنداره های کلیدی

ساده و سرراست مورد نظر بوده است. مهم است توجه کنید که این روش صرف نظر از این که از یک نقطه قابل قبول یا غیرقابل قبول شروع شود، خوب کار می کند؛ همچنین می تواند قیود مساوی و نامساوی را در نظر بگیرد.

## ۶.۶.۲ تابع کاهشی

یادآوری می شود که در روش‌های بهینه‌سازی نامقید تابع هزینه به عنوان تابع کاهشی استفاده می شد که پیشرفت الگوریتم به طرف نقطه بهین را نشان می داد. برای مسائل مقید، تابع کاهشی معمولاً با اضافه کردن جرمیه‌ای برای نقض قید به مقدار تابع هزینه ساخته می شود. توابع کاهشی زیادی برای بهینه‌سازی مقید وجود دارد. در این بخش یکی از آنها را تشریح کرده و مزایای آن را نشان می دهیم.

یکی از ویژگیهای تابع کاهشی این است که مقدار آن در نقطه بهین باید با مقدار تابع هزینه یکسان باشد. همچنین باید طوری باشد که یک اندازه گام واحد در همسایگی نقطه بهین قابل قبول باشد. یک اندازه گام واحد نرخ همگرایی الگوریتم بهینه‌سازی را افزایش می دهد. ما تابع کاهشی شنیچنی<sup>۱</sup> را به خاطر ساده بودن و موفقیتش در حل بسیاری از مسائل طراحی معرفی خواهیم کرد [شنیچنی و دانی لین<sup>۲</sup>، ۱۹۷۸؛ بلگوندا و آرورا<sup>۳</sup>، ۱۹۸۴]. سایر توابع کاهشی در بخش ۷.۶ بحث خواهد شد.

تابع کاهشی شنیچنی  $\Phi$  در هر نقطه  $x$  به شکل زیر تعریف می شود

$$\Phi(x) = f(x) + RV(x) \quad (6.64)$$

که در آن  $R$  عددی مثبت است و پارامتر جرمیه (که در ابتدا توسط کاربر مشخص می شود) نامیده می شود،  $0 \leq V(x) \leq R$  عبارت است از بیشترین مقدار نقض قید در میان تمامی قیود یا صفر (بعداً تعریف می شود)، و  $(x)$  عبارت است از مقدار تابع هزینه در  $x$ . به عنوان یک مثال، تابع کاهشی در نقطه  $x^k$  در چرخه  $k$  ام به شکل زیر محاسبه می شود

$$\Phi_k = f_k + RV_k \quad (6.65)$$

که در آن  $f_k$  و  $V_k$  مقادیر  $(x)$   $\Phi$  و  $(x)$   $V$  در  $x^k$  هستند؛ یعنی

1. Pshenichny

2. Pshenichny and Danilin

3. Belegundu and Arora

$$\Phi_k = \Phi(\mathbf{x}^{(k)}); \quad V_k = V(\mathbf{x}^{(k)}) \quad (6.66)$$

و  $R$  بیشترین مقدار فعلی پارامتر جریمه است. دقت کنید که پارامتر جریمه ممکن است در فرآیند چرخه تغییر کند. در حقیقت، باید مطمئن شد که مقدار آن بزرگتر و یا مساوی مجموع تمامی ضرایب لاغرانژ زیرمسأله QP در نقطه  $\mathbf{x}^{(k)}$  است. این شرطی ضروری است که به شکل زیر نوشته می‌شود

$$R \geq r_k \quad (6.67)$$

که در آن  $r_k$  عبارت است از مجموع تمامی ضرایب لاغرانژ در  $k$  امین چرخه:

$$r_k = \sum_{i=1}^p |v_i^{(k)}| + \sum_{i=1}^m u_i^{(k)} \quad (6.68)$$

چون ضریب لاغرانژ  $v_i^{(k)}$  برای یک قید مساوی از نظر علامت آزاد است، در معادله (6.68) مقدار قدر مطلق آن استفاده شده.  $u_i^{(k)}$  ضریب  $i$  امین قید نامساوی است. پارامتر  $V_k \geq 0$  مربوط به بیشترین نقض قید در چرخه  $k$  است، با استفاده از مقادیر توابع قیود محاسبه شده در نقطه طراحی  $\mathbf{x}^{(k)}$  به دست می‌آید؛ یعنی

$$V_k = \max\{0; |h_1|, |h_2|, \dots, |h_p|; g_1, g_2, \dots, g_m\} \quad (6.69)$$

چون قید مساوی در صورتی که غیرصفر باشد نقض می‌شود، با هر  $h_i$  در معادله (6.69)، قدر مطلق استفاده می‌شود. دقت کنید که  $V_k$  همیشه نامنفی است، یعنی  $V_k \geq 0$ . اگر همه قیدها در  $\mathbf{x}^{(k)}$  برآورده شوند، آن‌گاه  $V_k = 0$ .

**مثال ۶.۹** محاسبه تابع کاهشی. یک مسأله طراحی به شکل زیر رابطه سازی شده است:

تابع

$$f(\mathbf{x}) = x_1^2 + 320x_1x_2$$

را با قیود

$$\frac{x_1}{60x_2} - 1 \leq 0$$

$$1 - \frac{x_1(x_1 - x_2)}{3600} \leq 0$$

$$-x_1 \leq 0; \quad -x_2 \leq 0$$

مینیمم کنید.

با فرض پارامتر جریمه  $R$  برابر 10 000 ، مقدار تابع کاهشی را در نقطه  $(40, 0.5) = x^{(0)}$  محاسبه کنید.

حل. توابع هزینه و قیود در نقطه داده شده  $(40, 0.5) = x^{(0)}$  محاسبه شده و عبارتند از

$$f_0 = f(40, 0.5) = (40)^2 + 320(40)(0.5) = 8000$$

$$g_1 = \frac{40}{60(0.5)} - 1 = 0.333 \quad (\text{نقض شده})$$

$$g_2 = 1 - \frac{40(40 - 0.5)}{3600} = 0.5611 \quad (\text{نقض شده})$$

$$g_3 = -40 < 0 \quad (\text{غیرفعال})$$

$$g_4 = -0.5 < 0 \quad (\text{غیرفعال})$$

پس، بیشترین نقض قید با استفاده از معادله (۶.۶۹) عبارت است از

$$V_0 = \max \{0; 0.333, 0.5611, -40, -0.5\} = 0.5611$$

با استفاده از معادله (۶.۶۵)، تابع کاهشی به شکل زیر محاسبه می‌گردد

$$\begin{aligned} \Phi_0 &= f_0 + RV_0 \\ &= 8000 + (10\,000)(0.5611) \\ &= 13\,611 \end{aligned}$$

## ۶.۶.۳ به دست آوردن اندازه گام

قبل از این که بتوان الگوریتم تندترین کاهش مقيّد را ارائه کرد، روش به دست آوردن اندازه گام باید معرفی شود. ما این روش را در آینده تشریح می‌کنیم. هنگام پیاده‌سازی الگوریتمها در عمل برای محاسبه اندازه گام بیشتر یک جست و جوی خطی غیردقیق که نسبتاً خوب کار می‌کند استفاده می‌شود. این روش و کاربرد آن را در مثالی شرح خواهیم داد. دقت کنید که روشهای جست و جوی خطی دقیقی که قبلاً تشریح شد، مثل جست و جوی بخش طلایی، نیز می‌تواند استفاده شود. ولی آن روشهای ممکن است ناکارا باشند، بنابراین در بیشتر روشهای بهینه سازی مقيّد جست و جوی خطی غیردقیق ترجیح داده می‌شود. یک رشته از اندازه‌های گام آزمایشی؛ مثل زیر تعریف می‌کنیم:

$$t_j = \left(\frac{1}{2}\right)^j; \quad j = 0, 1, 2, 3, 4, \dots \quad (6.70)$$

یعنی، رشته اندازه‌گامهای آزمایشی عبارتند از

$$\begin{aligned} j = 0; \quad t_0 &= (\frac{1}{2})^0 = 1 \\ j = 1; \quad t_1 &= (\frac{1}{2})^1 = \frac{1}{2} \\ j = 2; \quad t_2 &= (\frac{1}{2})^2 = \frac{1}{4} \\ j = 3; \quad t_3 &= (\frac{1}{2})^3 = \frac{1}{8} \\ j = 4; \quad t_4 &= (\frac{1}{2})^4 = \frac{1}{16} \\ &\vdots \end{aligned}$$

پس، با اندازه‌گام آزمایشی  $\alpha_k = 1$  شروع می‌کنیم. اگر شرط کاهشی مشخصی (که در بند زیر تعریف می‌شود) برآورده نشود، گام آزمایشی به اندازه نصف آزمایش قبلی، یعنی  $\alpha_{k+1} = \frac{1}{2}$  انتخاب می‌شود. اگر باز هم شرط کاهشی برآورده نشود، اندازه‌گام آزمایشی دوباره نصف می‌شود. این روش ادامه پیدا می‌کند تا شرط کاهشی برآورده شود.

در تدوین زیر، یک اندیس پایینی یا بالایی را برای مشخص کردن مقدار کمیتهای مشخصی در اندازه‌های گام آزمایشی به کار خواهیم برد. به عنوان مثال، فرض کنید، اندازه‌گام آزمایشی در  $k$  امین چرخه باشد. آن گاه نقطه طراحی آزمایشی که شرط کاهشی برای آن بررسی خواهد شد، به شکل زیر بیان می‌شود

$$\mathbf{x}^{(k+1,j)} = \mathbf{x}^{(k)} + t_j \mathbf{d}^{(k)} \quad (6.71)$$

در  $k$  امین چرخه، یک اندازه‌گام قابل قبول مانند  $\alpha_k = \alpha$  تعیین می‌کنیم که ز عبارت است از کوچکترین عدد صحیحی که شرط کاهشی زیر را برآورده می‌کند

$$\Phi_{k+1,j} \leq \Phi_k - t_j \beta_k \quad (6.72)$$

که در آن  $\Phi_{k+1,j} = \Phi(\mathbf{x}^{(k+1,j)})$  تابع کاهشی معادله (۶.۶۵) است که در اندازه‌گام آزمایشی  $\alpha$  و نقطه طراحی مربوط  $\mathbf{x}^{(k+1,j)}$  محاسبه می‌شود و عبارت است از

$$\begin{aligned} \Phi_{k+1,j} &= \Phi(\mathbf{x}^{(k+1,j)}) \\ &= f_{k+1,j} + RV_{k+1,j} \end{aligned} \quad (6.73)$$

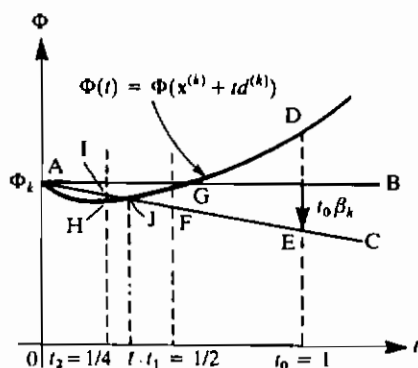
که در آن  $f_{k+1,j} = f(\mathbf{x}^{(k+1,j)})$  و  $V_{k+1,j}$  عبارت است از بیشترین نقض قید در نقطه طراحی آزمایشی که با استفاده از معادله (۶.۶۹) محاسبه می‌شود. دقت کنید که در محاسبه  $\Phi_{k+1,j}$  و  $V_{k+1,j}$  از معادله (۶.۷۲)، مقدار پارامتر جرمیمه  $R$  استفاده می‌شود. ثابت  $\beta$  در معادله (۶.۷۲) با

استفاده از جهت جست و جوی  $d^{(k)}$  به دست می‌آید

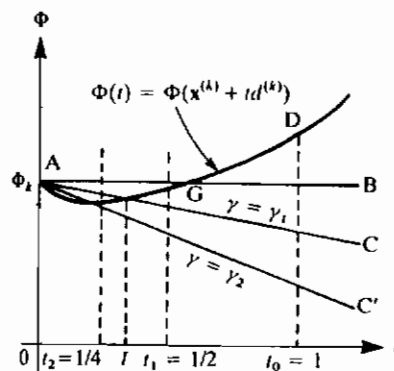
$$\beta_k = \gamma \|d^{(k)}\|^2 \quad (6.74)$$

که در آن  $\gamma$  یک عدد ثابت مشخص بین ۰ و ۱ است. بعداً اثر  $\gamma$  را روی فرآیند تعیین اندازه گام بررسی خواهیم کرد. دقت کنید که در  $k$  امین چرخه،  $\beta$  تعریف شده در معادله (۶.۷۴) عددی ثابت است. در حقیقت، تنها متغیر طرف راست نامعادله (۶.۷۲) است. اما وقتی  $\beta$  تغییر می‌کند، نقطه طراحی نیز تغییر می‌کند و مقادیر توابع هزینه و قید را متاثر می‌کند. بدین ترتیب مقدار تابع کاهشی طرف چپ نامساوی (۶.۷۲) تغییر می‌پابد.

نامساوی (۶.۷۲) شرط کاهشی نامیده می‌شود. این شرط مهمی است و باید در هر چرخه برآورده شود تا یک الگوریتم همگرا به دست آید. برای درک شرط (۶.۷۲)، شکل ۱۴.۶ را در نظر بگیرید که در آن کمیتهای مختلف به عنوان توابعی از  $t$  رسم شده‌اند. به عنوان مثال، خط افقی  $A-B$  نمایانگر  $\Phi$  است که مقدار تابع کاهشی در نقطه طراحی فعلی  $x^{(k)}$  است؛ خط  $A-C$  نمایانگر تابع  $\beta$ - است که مرکزش به نقطه  $A$  منتقل شده؛ و منحنی  $AHGD$  نمایانگر تابع  $\Phi$  است که به عنوان یک تابع از پارامتر  $t$  و به مرکز نقطه  $A$  رسم شده است. خط  $C$  و منحنی  $AHGD$  در نقطه  $t=0$  هم را قطع می‌کنند که مربوط به نقطه  $G$  روی محور  $t$  است. برای برآورده شدن شرط کاهشی نامعادله (۶.۷۲) منحنی  $AHGD$  باید زیر خط  $C-A$  باشد. این فقط قسمت  $J$  از منحنی  $AHGD$  را می‌دهد. پس از روی شکل در می‌یابیم که اندازه گام بزرگتر از  $t_0\beta_k$  از شرط کاهشی نامعادله (۶.۷۲) را برآورده نمی‌کند. برای



شکل ۱۴.۶ نایاش هندسی شرط کاهشی برای محاسبه اندازه گام در الگوریتم تندترین کاهش

شکل ۶.۱۵ اثر پارامتر  $\gamma$  روی به دست آوردن اندازه گام

نشان دادن این موضوع، نقاط D و E روی خط  $t = 1$  را در نظر بگیرید. نقطه D نمایانگر  $\Phi_{k+1,0} = \Phi(x^{(k+1,0)})$  و نقطه E نمایانگر  $(\Phi_k - t_i \beta_i)$  است. پس نقطه D نمایانگر طرف چپ و نقطه E نمایانگر طرف راست نامعادله (۶.۷۲) است. چون نقطه D بالاتر از نقطه E است، نامعادله (۶.۷۲) نقض شده است. به طور مشابه، نقاط G و F روی خط  $t = \frac{1}{2}$  شرط کاهشی را نقض می‌کنند. نقاط I و H روی خط  $t = \frac{1}{4}$  شرط کاهشی را برآورده می‌کنند، پس اندازه گام  $\alpha_k$  در k امین چرخه برای مثال شکل ۶.۱۴،  $\frac{1}{4}$  است.

در اثر  $\gamma$  روی به دست آوردن اندازه گام مهم است.  $\gamma$  به عنوان عددی مثبت بین ۰ و ۱ انتخاب می‌شود.  $\gamma$  های بزرگتر برای ثابت  $\beta_i$  در معادله (۶.۷۴) مقدار بزرگتری می‌دهد. از آن جا که  $\beta_i$  شبیه خط  $\beta_i$  است، در شکل ۶.۱۵ خط A-C-Rا با  $\gamma = \gamma_1$  و C-A-Rا با  $\gamma = \gamma_2$  مشخص می‌کنیم. پس، از شکل می‌بینیم که  $\gamma$  بزرگتر به منظور برآورده کردن شرط کاهشی نامعادله (۶.۷۲) تمايل به کاهش اندازه گام دارد.

برای بررسی شرط کاهشی در محاسبات واقعی، بهتر است نامعادله (۶.۷۲) به شکل

زیرنوشته شود

$$\Phi_{k+1,j} + t_j \beta_k \leq \Phi_k; \quad j = 0, 1, 2, \dots \quad (6.75)$$

ما این مراحل را برای محاسبه اندازه گام در مسأله نمونه زیر تشریح می‌کنیم.

**مثال ۶.۱۰** محاسبات اندازه گام در روش تلدوین گاهش مقید. مسأله طراحی مهندسی به شکل

زیر رابطه سازی شده است. تابع

$$f(\mathbf{x}) = x_1^2 + 320x_1x_2$$

را مشروط به قیود

$$g_1(\mathbf{x}) = \frac{x_1}{60x_2} - 1 \leq 0$$

$$g_2(\mathbf{x}) = 1 - \frac{x_1(x_1 - x_2)}{3600} \leq 0$$

$$g_3(\mathbf{x}) = -x_1 \leq 0$$

$$g_4(\mathbf{x}) = -x_2 \leq 0$$

مینیمم کنید. در نقطه طراحی  $\mathbf{x}^{(0)} = (40, 0.5)$ ، جهت جست و جو عبارت است از  $d^{(0)} = (25.6, 0.45)$ . بردار ضرایب لاگرانژ برای قیود عبارت است از  $\gamma = 0.5$ .  $\mathbf{u} = (4880, 19400, 0, 0)$ . فرض کرده و اندازه گام را برای تغییر طراحی با استفاده از روش جست و جوی خطی غیر دقیق محاسبه کنید.

حل. چون ضرایب لاگرانژ برای قیود داده شده است، مقدار اولیه پارامتر جرمیمه به شکل زیر محاسبه می شود

$$\begin{aligned} R &= \sum_{i=1}^4 u_i \\ &= 4880 + 19400 = 24280 \end{aligned}$$

به این نکته مهم توجه کنید که برای  $R$  در دو طرف شرط کاهاشی نامعادله (۶.۷۲) یا (۶.۷۵) باید مقداری مشابه استفاده شود. ثابت  $\beta_0$  معادله (۶.۷۴) به شکل زیر محاسبه می شود

$$\begin{aligned} \beta_0 &= 0.5(25.6^2 + 0.45^2) \\ &= 328 \end{aligned}$$

محاسبه  $\Phi$ : تابع هزینه و قیود در نقطه شروع  $\mathbf{x}^{(0)} = (40, 0.5)$  به شکل زیر محاسبه می شوند

$$f_0 = f(40, 0.5) = 40^2 + 320(40)(0.5) = 8000$$

$$g_1(40, 0.5) = \frac{40}{60(0.5)} - 1 = 0.333 \quad (\text{نقض شده})$$

$$g_2(40, 0.5) = 1 - \frac{40(40 - 0.5)}{3600} = 0.5611 \quad (\text{نقض شده})$$

روشهای عددی برای طراحی بهین متبّد

$$g_3(40, 0.5) = -40 < 0 \quad (\text{غيرفعال})$$

$$g_4(40, 0.5) = -0.5 < 0 \quad (\text{غيرفعال})$$

بیشترین نقض قید با استفاده از معادله (۶.۶۹) عبارت است از

$$\begin{aligned} V_0 &= \max \{0; 0.333, 0.5611, -40, -0.5\} \\ &= 0.5611 \end{aligned}$$

با استفاده از معادله (۶.۶۵)،تابع کامپیوچر فلی محاسبه می شود

$$\begin{aligned} \Phi_0 &= f_0 + RV_0 \\ &= 8000 + (24280)(0.5611) \\ &= 21624 \end{aligned}$$

اندازه گام آزمایشی  $\Delta = 1$ . فرض کنیم در معادله (۶.۷۰)،  $t_0 = 0$  باشد، بنابراین اندازه گام آزمایشی عبارت است از  $\Delta = 1$ . نقطه طراحی آزمایشی از معادله (۶.۷۱) به شکل زیر محاسبه می شود

$$\begin{aligned} x_1^{(1,0)} &= x_1^{(0)} + t_0 d_1^{(0)} \\ &= 40 + (1.0)(25.6) = 65.6 \\ x_2^{(1,0)} &= x_2^{(0)} + t_0 d_2^{(0)} \\ &= 0.5 + (1.0)(0.45) = 0.95 \end{aligned}$$

توابع هزینه و قیود در نقطه طراحی آزمایشی به شکل زیر محاسبه می شوند

$$\begin{aligned} f_{1,0} &= f(65.6, 0.95) \\ &= (65.6)^2 + 320(65.6)(0.95) = 24246 \end{aligned}$$

$$\begin{aligned} g_1(65.6, 0.95) &= \frac{65.6}{60(0.95)} - 1 \\ &= 0.151 > 0 \quad (\text{نقض شده}) \end{aligned}$$

$$\begin{aligned} g_2(65.6, 0.95) &= 1 - \frac{65.6(65.6 - 0.95)}{3600} \\ &= -0.1781 < 0 \quad (\text{غيرفعال}) \end{aligned}$$

$$g_3(65.6, 0.95) = -65.6 < 0 \quad (\text{غيرفعال})$$

$$g_4(65.6, 0.95) = -0.95 < 0 \quad (\text{غيرفعال})$$

بیشترین نقض قید با استفاده از معادله (۶.۶۹) عبارت است از

$$\begin{aligned} V_{1,0} &= \max \{0; 0.151, -0.1781, -65.6, -0.95\} \\ &= 0.151 \end{aligned}$$

تابع کاهشی در نقطه آزمایش با استفاده از معادله (۶.۷۳) محاسبه می شود

$$\begin{aligned} \Phi_{1,0} &= f_{1,0} + RV_{1,0} \\ &= 24\,246 + 24\,280(0.151) = 27\,912 \end{aligned}$$

برای شرط کاهشی معادله (۶.۷۵)، داریم

$$LHS = 27\,912 + 328 = 28\,240$$

$$RHS = 21\,624$$

چون  $LHS > RHS$  (طرف چپ از طرف راست بزرگتر است)، نامعادله (۶.۷۵) نقض شده است.

اندازه گام آزمایشی  $t_1 = 0.5$ ، فرض کنیم در معادله (۶.۷۰)،  $t_1 = 1$  زیباشد، بنابراین اندازه گام آزمایشی  $t_1 = 0.5$  است. نقطه طراحی آزمایشی جدید عبارت است از

$$\begin{aligned} x_1^{(1,1)} &= x_1^{(0)} + t_1 d_1^{(0)} \\ &= 40 + 0.5(25.6) = 52.8 \\ x_2^{(1,1)} &= x_2^{(0)} + t_1 d_2^{(0)} \\ &= 0.5 + 0.5(0.45) = 0.725 \end{aligned}$$

توابع هزینه و قیود در نقطه طراحی آزمایشی به شکل زیر محاسبه می شوند

$$\begin{aligned} f_{1,1} &= f(52.8, 0.725) \\ &= (52.8)^2 + 320(52.8)(0.725) = 15\,037 \end{aligned}$$

$$\begin{aligned} g_1(52.8, 0.725) &= \frac{52.8}{60(0.725)} - 1 \\ &= 0.2138 > 0 \quad (\text{نقض شده}) \end{aligned}$$

$$\begin{aligned} g_2(52.8, 0.725) &= 1 - \frac{52.8(52.8 - 0.725)}{3600} \\ &= 0.2362 > 0 \quad (\text{نقض شده}) \end{aligned}$$

$$g_3(52.8, 0.725) = -52.8 < 0 \quad (\text{غیرفعال})$$

$$g_4(52.8, 0.725) = -0.725 < 0 \quad (\text{غیرفعال})$$

بیشترین نقض قید با استفاده از معادله (۶.۶۹) عبارت است از

$$V_{1,1} = \max \{0; 0.2138, 0.2362, -52.8, -0.725\}$$

$$= 0.2362$$

تابع کاهشی در نقطه طراحی آزمایشی با استفاده از معادله (۶.۶۴) محاسبه می شود

$$\Phi_{1,1} = f_{1,1} + RV_{1,1}$$

$$= 15\ 037 + 24\ 280(0.2362) = 20\ 772$$

با محاسبه تابع کاهشی از معادله (۶.۷۵) داریم

$$LHS = 20\ 772 + (0.5)(328) = 20\ 936$$

$$RHS = 21\ 624$$

چون  $LHS < RHS$  ، نامعادله (۶.۷۵) برآورده شده است. بنابراین اندازه گام ۰.۵ قابل قبول است.

### ۶.۶.۳ الگوریتم سی اس دی (CSD)

اکنون می توانیم الگوریتم تندترین کاهش مقید (CSD) را به شکل گام به گام بیان کنیم.

ثابت شده است [شنیچنی و دانیلین<sup>۱</sup>، ۱۹۷۸] که نقطه جواب رشتہ  $\{x^k\}$  الگوریتم زیر یک نقطه کان-تاکر برای مسئله بهینه سازی مقید است که در معادله های (۶.۴) تا (۶.۱۱) تعریف شد. برای یک نقطه طراحی قابل قبول معیار همگرایی برای الگوریتم عبارت است از  $Q \leq d$ . در این جای  $d$  عدد مثبت کوچک است و  $d$  بردار جهت است که جواب زیرمسئله  $QP$  می باشد. روش تندترین کاهش مقید اکنون به شکل یک الگوریتم محاسباتی خلاصه می شود.

گام ۱ .  $k = 0$  قرار دهد. مقادیر اوکیه متغیرهای طراحی  $x^{(0)}$  را حدس بزنید. یک مقدار مناسب اوکیه برای پارامتر جریمه  $R_0$  ، یک ثابت  $\gamma$  بین ۰ و یک ( $1 < \gamma < 0$ ) و دو عدد کوچک  $\epsilon$  و  $\gamma$  که به ترتیب نقض قید مجاز و پارامتر همگرایی اند را انتخاب کنید.  $\gamma = 0.25$  و  $R_0 = 1$  انتخابی مناسب است.

گام ۲ . در  $x^{(k)}$  توابع هزینه و قیود و گرادیانهای آنها را محاسبه کنید. بیشترین نقض قید  $\gamma$  را همچنان که در معادله (۶.۶۹) تعریف شد، محاسبه کنید.

گام ۳ . با استفاده از مقادیر تابع هزینه و قیود و گرادیان آنها زیرمسئله  $QP$  را که در معادله های (۶.۳۸) تا (۶.۴۰) داده شده تعریف کنید. مسئله  $QP$  را برای به دست آوردن

جهت جست و جوی  $\mathbf{d}^{(k)}$  و ضرایب لاگرانژ  $v^{(k)}$  و  $u^{(k)}$  حل کنید.

گام ۴. معیار همگرایی

$$\|\mathbf{d}^{(k)}\| \leq \varepsilon_2$$

و بیشترین نقص قيد ۴ که  $v$  را بررسی کنید؛ اگر معیار بهینگی برآورده شده محاسبات را متوقف کنید، در غیر این صورت ادامه دهید.

گام ۵. برای بررسی شرط لازم معادله (۶.۶۷) در مورد پارامتر جریمه  $R$ ، مجموع  $r_i$  حاصل از ضرایب لاگرانژ را که در معادله (۶.۶۸) تعریف شد، محاسبه کنید.  
 $R = \max\{R_i, r_i\}$  قرار دهید. این همیشه شرط لازم معادله (۶.۶۷) را برآورده می‌کند.

گام ۶.  $x^{(k+1)} = x^{(k)} + \alpha_k d^{(k)}$  قرار دهید که در آن  $\alpha_k = \alpha$  یک اندازه گام مناسب است. مانند مسائل نامقید، اندازه گام می‌تواند با مینیمم ساختن تابع کاهشی معادله (۶.۶۴) در امتداد جهت جست و جوی  $d^{(k)}$  به دست آید. هر کدام از روش‌های بحث شده در بخش ۳.۵، مثل جست و جوی بخش طلایی، می‌تواند برای به دست آوردن اندازه گام به کار رود. اما معمولاً این روشها کارا نبوده و بندرت در کاربردهای عملی استفاده می‌شوند. اغلب، فقط یک جست و جوی خطی غیر دقیق که در بخش ۲.۶.۶ مطرح شد استفاده می‌شود.

گام ۷. مقدار پارامتر جریمه فعلی را ذخیره کنید  $R_{k+1} = R_k$ . شمارنده را به نگام کنید یعنی  $k = k + 1$ ، و به گام ۲ بروید.

الگوریتم CSD هرراه روش به دست آوردن اندازه گام ذکر شده در صورتی همگراست که مشتق دوم تمامی توابع قطعه به قطعه بیوسته (این را شرط لیپسچیتز<sup>۱</sup> می‌گویند) و مجموعه نقاط طراحی  $x^{(k)}$  کردار باشند به شکل زیر

$$\Phi(x^{(k)}) \leq \Phi(x^{(0)}); \quad k = 1, 2, 3, \dots$$

مثال ۶.۱۱ استفاده از الگوریتم تندترین کاهش مقید. مسئله مثال ۳.۶ را در نظر بگیرید. تابع

$$f(\mathbf{x}) = x_1^2 + x_2^2 - 3x_1x_2$$

را مشروط به قیود

$$g_1(\mathbf{x}) = \frac{1}{6}x_1^2 + \frac{1}{6}x_2^2 - 1.0 \leq 0$$

$$g_2(\mathbf{x}) = -x_1 \leq 0$$

$$g_3(\mathbf{x}) = -x_2 \leq 0$$

مینیمم کنید. فرض کنید  $(1) \underset{\text{طراحی اوکیه باشد. در روش تندترین کاهش مقید}}{x^{(0)} = (1, 1)}$  و  $\gamma = 0.5$  ،  $R_0 = 10$  را استفاده کنید. تنها دو چرخه را انجام دهید.

حل. توابع مسأله در شکل ۶.۴ رسم شده‌اند. جواب بهین مسأله عبارت است از  $f = -3$  ،  $\mathbf{u} = (3, 0, 0)$  ،  $\mathbf{x} = (\sqrt{3}, \sqrt{3})$

جهة ۱ ( $k = 0$ )

گام ۱ . داده‌های اوکیه به شکل زیر مشخص شده‌اند

$$\mathbf{x}^{(0)} = (1, 1); R_0 = 10; \gamma = 0.5 (0 < \gamma < 1); \varepsilon_1 = \varepsilon_2' = 0.001$$

گام ۲ . برای تشکیل زیرمسأله QP ، مقادیر توابع هزینه و قیود و گرادیانهای آنها باید در نقطه طراحی  $\mathbf{x}^{(0)}$  محاسبه شوند :

$$f(1, 1) = -1$$

$$g_1(1, 1) = -\frac{2}{3} < 0 \quad (\text{غیرفعال})$$

$$g_2(1, 1) = -1 < 0 \quad (\text{غیرفعال})$$

$$g_3(1, 1) = -1 < 0 \quad (\text{غیرفعال})$$

$$\nabla f(1, 1) = (-1, -1)$$

$$\nabla g_1(1, 1) = \left(\frac{1}{3}, \frac{1}{3}\right)$$

$$\nabla g_2(1, 1) = (-1, 0)$$

$$\nabla g_3(1, 1) = (0, -1)$$

دقّت کنید که تمامی قیود در نقطه شروع غیرفعالند، بنابراین از معادله ۶.۶۹،  $V_0 = 0$  محاسبه می‌شود، یعنی  $\max_{0 \leq d_1, d_2 \leq 1} \{0; -\frac{2}{3}(d_1 + d_2)\} = 0$ . قیود خطی شده در شکل ۶.۵ رسم شده و مجموعه قید خطی در شکل ۶.۹ ترسیم شده است.

گام ۳ . با استفاده از مقادیر قبلی، زیرمسأله QP معادله‌های ۶.۳۸) تا (۶.۴۰) در (۱) عبارت است از : تابع

$$\bar{f} = (-d_1 - d_2) + 0.5(d_1^2 + d_2^2)$$

را مشروط به قیود

$$\frac{1}{3}d_1 + \frac{1}{3}d_2 \leq \frac{2}{3}$$

$$-d_1 \leq 1; -d_2 \leq 1$$

مینیمم کنید.

دقّت کنید که زیر مسأله QP فوق محدب قطعی (اکید) است و بنابراین یک جواب یگانه دارد. عموماً باید از روش‌های عددی برای حل زیر مسأله استفاده شود. اما چون مسأله فعلی ساده است، می‌تواند با نوشتن شرایط لازم کسان - تاکر به شکل زیر حل شود:

$$L = (-d_1 - d_2) + 0.5(d_1^2 + d_2^2) + u_1[\frac{1}{3}(d_1 + d_2 - 2) + s_1^2] + u_2(-d_1 - 1 + s_2^2) + u_3(-d_2 - 1 + s_3^2)$$

$$\frac{\partial L}{\partial d_1} = -1 + d_1 + \frac{1}{3}u_1 - u_2 = 0$$

$$\frac{\partial L}{\partial d_2} = -1 + d_2 + \frac{1}{3}u_1 - u_3 = 0$$

$$\frac{1}{3}(d_1 + d_2 - 2) + s_1^2 = 0$$

$$(-d_1 - 1) + s_2^2 = 0; \quad (-d_2 - 1) + s_3^2 = 0$$

$$u_i, s_i = 0; \quad u_i \geq 0; \quad i = 1, 2, 3$$

در حالی که  $u_1, u_2$  و  $u_3$  ضرایب لاگرانژ سه قيد و  $s_1^2, s_2^2$  و  $s_3^2$  متغیرهای کمبود مربوطه هستند. با حل شرایط K-T قبلی بردار جهت  $(1, 1, 1)^T = d^{(0)} = (0, 0, 0)$  به دست می‌آید. این جواب با جواب ترسیمی شکل ۱۶.۶ مطابقت داد. ناحیه قابل قبول زیر مسأله، مثلث ABC، و جواب بهین در نقطه D است.

گام ۴. چون  $\epsilon_2 > \sqrt{2} \parallel d^{(0)} \parallel$ ، معیار همگرایی برآورده نشده است.

گام ۵.  $r_0 = \sum_{i=1}^m u_i^{(0)} = 0$  را به شکلی که در معادله (۶.۶۸) تعریف شده محاسبه کنید. برای برآوردن شرایط لازم نامعادله (۶.۶۷)،

$R = \max \{R_0, r_0\} = \max \{10, 0\} = 10$  قرار دهید. مهم است توجه داشته باشید که  $R = 10$  می‌باشد در تمامی مراحل چرخه اول استفاده شود تا شرط کاهشی معادله (۶.۷۲) یا (۶.۷۵) برآورده شود.

گام ۶. برای به دست آوردن اندازه گام، جست و جوی خطی غیر دقیق را به کار

می‌بریم که در بخش ۶.۶.۶ تشریح شد. مقدار فعلیتابع کاهشی  $\Phi$  معادله (۶.۶۵)

و ثابت  $\beta_0$  معادله (۶.۷۴) به شکل زیر محاسبه می‌شوند

روشهای عددی برای طراحی بهین مقید

$$\begin{aligned}\Phi_0 &= f_0 + RV_0 \\ &= -1 + (10)(0) = -1 \\ \beta_0 &= \gamma \|d^{(0)}\|^2 \\ &= 0.5(1+1) = 1\end{aligned}$$

با فرض اندازه گام آزمایشی  $\alpha = 1$ ، مقدار جدید تابع کاهشی را محاسبه کرده و شرط کاهشی معادله (۶.۷۲) را بررسی کنید:

$$\begin{aligned}x^{(1,0)} &= x^{(0)} + t_0 d^{(0)} \\ &= (2, 2)\end{aligned}$$

در نقطه طراحی آزمایشی، توابع هزینه و قیود را محاسبه کنید، آن‌گاه بیشترین نقض قید را برای محاسبه تابع کاهشی به دست آورید:

$$\begin{aligned}f_{1,0} &= f(2, 2) = -4 \\ V_{1,0} &= V(2, 2) \\ &= \max \{0; \frac{1}{2}, -2, -2\} = \frac{1}{2} \\ \Phi_{1,0} &= f_{1,0} + RV_{1,0} \\ &= -4 + (10)\frac{1}{2} = -\frac{3}{2} \\ \Phi_0 - t_0 \beta_0 &= -1 - 1 = -2\end{aligned}$$

چون  $\Phi_{1,0} > \Phi_0 - t_0 \beta_0$  شرط کاهشی نامعادله (۶.۷۲) برآورده نمی‌شود. حال فرض کنیم  $\alpha = j$  (یعنی اندازه گام را نصف کنید  $t_1 = 0.5$ ).

با در نظر گرفتن اندازه گام آزمایشی  $\alpha = 0.5$ ، مقدار جدید تابع کاهشی را محاسبه کرده و شرط کاهشی معادله (۶.۷۲) را بررسی کنید:

$$\begin{aligned}x^{(1,1)} &= x^{(0)} + t_1 d^{(0)} \\ &= (1.5, 1.5)\end{aligned}$$

در نقطه طراحی آزمایشی، توابع هزینه و قیود را محاسبه کنید، آن‌گاه بیشترین نقض قید را برای محاسبه تابع کاهشی به دست آورید:

$$\begin{aligned}f_{1,1} &= f(1.5, 1.5) = -2.25 \\ V_{1,1} &= V(1.5, 1.5) \\ &= \max \{0; -\frac{1}{4}, -1.5, -1.5\} = 0\end{aligned}$$

$$\begin{aligned}\Phi_{1,1} &= f_{1,1} + RV_{1,1}, \\ &= -2.25 + (10)0 = -2.25\end{aligned}$$

و

$$\Phi_0 - t_1 \beta_0 = -1 - 0.5 = -1.5$$

اکنون شرط کاهشی نامعادله (۶.۷۲) برآورده شده است (یعنی  $\Phi_0 - t_1 \beta_0 < \Phi_{1,1}$ )؛ پس  $\alpha_0 = 0.5$  و  $x^{(1)} = (1.5, 1.5)$

گام ۷.  $R_{0+1} = R_0 = 10$  قرار داده و به گام ۲ بروید.

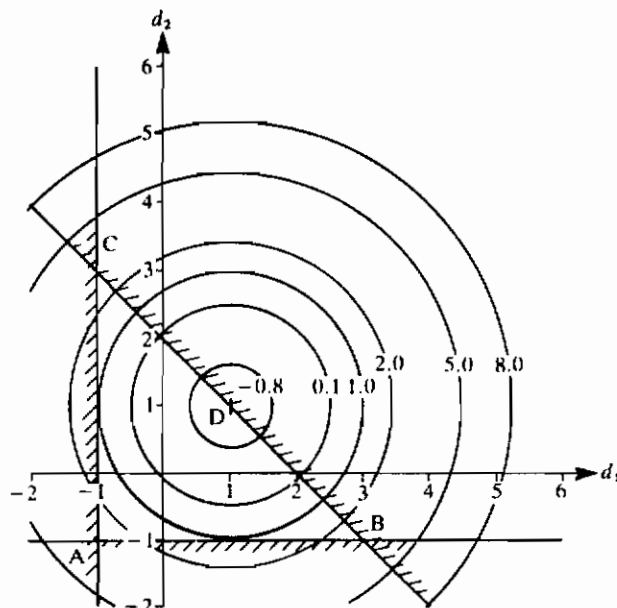
چرخه ۲ (k = 1). برای چرخه دوم، گامهای ۲ تا ۷ الگوریتم تکرار می شوند

به شکل زیر:

گام ۳. زیرمسئله QP معادله های (۶.۳۸) تا (۶.۴۰) در

به شکل زیر تعریف می شود: عبارت

$$(-1.5d_1 - 1.5d_2) + 0.5(d_1^2 + d_2^2).$$



شکل ۶.۱۶ حل زیرمسئله برنامه ریزی درجه دو مثال ۶.۱۱ در نقطه (۱).

## را مشروط به قیود

$$0.5d_1 + 0.5d_2 \leq 0.25$$

$$-d_1 \leq 1.5, -d_2 \leq 1.5$$

مینیمم کنید. چون تمامی قیود غیرفعالند، بیشترین تقاض از معادله (۶.۶۹)

عبارت است از  $V_1 = 0$ . تابع هزینه جدید عبارت است از  $f_1 = -2.25 f$ . جواب زیر مسئله

$$\text{QP} \text{ بالا عبارت است از } (\mathbf{u}^{(1)} = (2.5, 0, 0) \text{ و } \mathbf{d}^{(1)} = (0.25, 0.25))$$

گام ۴. چون  $\epsilon > 0$  ، معیار همگرایی برآورده نمی شود.

$$\text{گام ۵. فرض کنید } r_1 = \sum_{i=1}^m u_i^{(1)} = 2.5 \text{ . بنابراین ،}$$

$$R = \max \{R_1, r_1\} = \max \{10, 2.5\} = 10.$$

گام ۶. برای جست و جوی خطی، در نامعادله (۶.۷۲)،  $j = 0$  بگیرید (یعنی

$$(t_0 = 1)$$

$$\begin{aligned} \Phi_1 &= f_1 + RV_1 \\ &= -2.25 + 10(0) = -2.25 \end{aligned}$$

$$\begin{aligned} \beta_1 &= \gamma \|\mathbf{d}^{(1)}\|^2 \\ &= 0.5(0.125) = 0.0625 \end{aligned}$$

فرض کنید اندازه گام آزمایشی  $t_0 = 1$  باشد. مقدار جدید تابع کاهشی را محاسبه کرده و شرط کاهشی معادله (۶.۷۲) را بررسی کنید:

$$\begin{aligned} \mathbf{x}^{(2,0)} &\equiv \mathbf{x}^{(1)} + t_0 \mathbf{d}^{(1)} \\ &= (1.75, 1.75) \end{aligned}$$

$$\begin{aligned} f_{2,0} &\equiv f(1.75, 1.75) \\ &= -3.0625 \end{aligned}$$

$$\begin{aligned} V_{2,0} &\equiv V(1.75, 1.75) \\ &= \max \{0; 0.0208, -1.75, -1.75\} = 0.0208 \end{aligned}$$

$$\begin{aligned} \Phi_{2,0} &= f_{2,0} + RV_{2,0} \\ &= -3.0625 + (10)0.0208 = -2.8541 \end{aligned}$$

و

$$\begin{aligned} \Phi_1 - t_0 \beta_1 &= -2.25 - (1)(0.0625) \\ &= -2.3125 \end{aligned}$$

چون شرط کاهشی نامعادله (۶.۷۲) برآورده شده،

$$\alpha_1 = 1.0 \text{ and } \mathbf{x}^{(2)} = (1.75, 1.75)$$

گام ۷.  $k = 2$  و به گام ۲ بروید.

بیشترین نقض قيد در طراحی فعلی  $\mathbf{x}^{(2)} = (1.75, 1.75)$  عبارت است از ۰.۰۲۰۸، که از نقض قيد مجاز بیشتر است. نیاز به چرخه های بیشتری داریم تا به ناحیه قابل قبول برگردیم. توجه کنید نقطه بهین برای این مساله عبارت است از (۱.۷۳۲، ۱.۷۳۲). بنابراین، نقطه فعلی به نقطه بهین با  $f_2 = -3.0625$  بسیار نزدیک است.

مثال ۶.۱۲ اثر  $\gamma$  روی عملکرد الگوریتم CSD. برای مساله طراحی بهین مثال ۶.۱۱ اثر تغییرات پارامتر  $\gamma$  روی عملکرد الگوریتم CSD مطالعه کنید.

حل. در مثال ۶.۱۱،  $\gamma = 0.5$  استفاده شد. بینیم اگر یک مقدار بسیار کوچک (مثلاً ۰.۰۱) برای  $\gamma$  استفاده شود چه اتفاقی می افتد. تمامی محاسبات تا گام ۶ چرخه ۱ بدون تغییر می مانند. در گام ۶، مقدار  $\beta_0 = 0.01(2) = 0.02$  به  $\|\mathbf{d}^{(0)}\|^2 = \beta_0^2$  تغییر می کند. بنابراین،

$$\begin{aligned}\Phi_0 - t_0\beta_0 &= -1 - 1(0.02) \\ &= -1.02\end{aligned}$$

که کوچکتر از  $\Phi_1$  است؛ پس شرط کاهشی نامعادله (۶.۷۲) نقض شده است. بنابراین، اندازه گام در چرخه ۱، مانند گذشته ۰.۵ خواهد بود.

محاسبات در چرخه ۲ تا گام ۶ بدون تغییر می مانند در حالی که  $\beta_1 = \gamma \|\mathbf{d}^{(1)}\|^2 = 0.02(0.125) = 0.0025$ .

$$\begin{aligned}\Phi_1 - t_0\beta_1 &= -2.25 - (1)(0.0025) \\ &= -2.2525\end{aligned}$$

شرط کاهشی نامساوی (۶.۷۲) برآورده شده است. پس مقدار کوچک  $\gamma$  اثری روی دو چرخه اوّل ندارد.

بینیم اگر مقداری بزرگتر (مثلاً ۰.۹) برای  $\gamma$  انتخاب شود، چه اتفاقی می افتد. می توان نشان داد که در چرخه ۱، تفاوتی در محاسبات وجود ندارد. در گام ۲، اندازه گام به ۰.۵ کاهش پیدا می کند. بنابراین، نقطه طراحی جدید عبارت است از

$x^{(2)} = (1.625, 1.625)$  در این نقطه،  $f_2 = -2.641$  و  $g_1 = -0.1198$  و  $V_1 = 0$ . پس  $\gamma$  بزرگتر به اندازه گام کوچکتر می‌انجامد و نقطه طراحی جدید قطعاً قابل قبول باقی می‌ماند.

**مثال ۶.۱۳** اگر پارامتر جرمیه  $R$  روی الگوریتم CSD، برای مسأله طراحی بهین مثال ۶.۱۱، اثر تغییرات پارامتر  $R$  را روی عملکرد الگوریتم CSD مطالعه کنید.

حل. در مثال ۶.۱۱،  $R$  اولیه ۱۰ انتخاب شده است. ببینیم اگر  $R$  برابر ۱.۰ انتخاب شود، چه اتفاقی می‌افتد. در محاسبات تا گام ۵ در چرخه ۱ تغییری پیدا نمی‌شود، در گام ۶،

$$\begin{aligned}\Phi_{1,0} &= -4 + (1)\left(\frac{1}{3}\right) \\ &= -\frac{11}{3}\end{aligned}$$

$$\begin{aligned}\Phi_0 - t_0 \beta_0 &= -1 + (1)(0) \\ &= -1\end{aligned}$$

بنابراین،  $\alpha_0 = 1$  شرط کاهشی نامساوی (۶.۷۲) را برآورده می‌کند و طراحی جدید عبارت است از  $x^{(1)} = (2, 2)$ . این جواب با آنچه در مثال ۶.۱۱ به دست آمد متفاوت است.

## چرخه ۲

**گام ۳.** زیرمسأله QP معادله‌های (۶.۴۰) تا (۶.۴۱) در  $(2, 2)$  به شکل زیر تعریف می‌شود: عبارت

$$(-2d_1 - 2d_2) + 0.5(d_1^2 + d_2^2)$$

را مشروط به قیود

$$\begin{aligned}d_1 + d_2 &\leq -1 \\ -d_1 &\leq 2, \quad -d_2 \leq 2\end{aligned}$$

مینیمم کنید.

در نقطه (۲، ۲)،  $f_1 = \frac{1}{3}$  و  $V_1 = -4$ . جواب زیرمسأله QP عبارت است از  $\mathbf{u}^{(1)} = \left(\frac{27}{8}, 0, 0\right)$  و  $\mathbf{d}^{(1)} = (-0.25, 0.25)$ .

**گام ۴.** چون  $\|\mathbf{d}^{(1)}\| = 0.3535 > \epsilon$ ، معیار همگرایی برآورده نمی‌شود.

گام ۵. فرض کنید  $r_1 = \sum_{i=1}^3 \mu_i^{(1)} = \frac{27}{8}$  . بنابراین ،

$$R = \max \{R_1, r_1\} = \max \{1, \frac{27}{8}\} = \frac{27}{8}$$

گام ۶. برای جست و جوی خطی ، در نامساوی (۶.۷۲) ،  $0 = زفارمی دهیم$  .

یعنی  $t_0 = 1$  :

$$\Phi_1 = f_1 + RV_1 = -4 + (\frac{27}{8})(\frac{1}{2}) = -2.875$$

$$\begin{aligned} \Phi_{2,0} &= f_{2,0} + RV_{2,0} \\ &= -3.0625 + (\frac{27}{8})(0.0208) = -2.9923 \end{aligned}$$

$$\begin{aligned} \beta_1 &= \gamma \|\mathbf{d}^{(1)}\|^2 \\ &= 0.5(0.125) = 0.0625 \end{aligned}$$

$$\begin{aligned} \Phi_1 - t_0 \beta_1 &= -2.875 - (1)(0.0625) \\ &= -2.9375 \end{aligned}$$

چون شرط کاهشی برآورده شده است ،  $\alpha_i = 1.0$  و  $\alpha_i = 1.75$  .

گام ۷.  $R_2 = R_1 = \frac{27}{8}$  و به گام ۲ می رویم .

طرأحی در پایان چرخه دوم مانند مثال ۱۱.۶ است این چیزی جزو یک اتفاق نیست . می بینیم که یک  $R$  کوچکتر اندازه گام بزرگسرا در چرخه اول داد . در حالت کلی این می تواند تاریخچه فرآیند چرخه را تغییر دهد .

### ۶.۶.۵ نگرشی بر الگوریتم CSD

الگوریتم شنیچنی که قبلاً ارائه شد می تواند به عنوان یک الگوریتم مقید مشابه روش تندترین کاهش برای مسائل مقید در نظر گرفته شود . نکات زیر برای الگوریتم قابل توجه است :

۱. الگوریتم CSD یک روش مرتبه - اول برای بهینه سازی مقید است . الگوریتم با شروع از یک نقطه اختیاری به نقطه مینیمم محلی همگرا می شود . الگوریتم می تواند قیود مساوی و نامساوی را در نظر بگیرد .

۲. بنابر نظر شنیچنی ، راهبرد قید پتانسیل برای حفظ سادگی در الگوریتم معرفی نشده است . ولی این راهبرد می تواند بسادگی اضافه گردد . الگوریتم دارای راهبرد قید پتانسیل برای مسائل طرأحی مهندسی از کارایی بیشتری برخوردارند [بلگاندا و آرورا ، ۱۹۸۴] .

۳. برای یافتن اندازه گام به جای برآوردن شرط کاهشی، می‌شود با مینیمم ساختن تابع کاهشی از جست و جوی بخش طلایی استفاده کرد. با این همه، توجه کنید که برای الگوریتم‌های عددی بهینه‌سازی مقید روش بخش طلایی به خاطر ناکارا بودن توصیه نمی‌شود.
۴. در زیرمسئله QP، نرخ همگرایی الگوریتم CSD می‌تواند با اضافه کردن اطلاعات مرتبه بالاتر از توابع مسئله بیش از پیش بهبود یابد [لیم و آرورا<sup>۱</sup>، ۱۹۸۶]. این مطلب در بخش بعدی بحث خواهد شد.
۵. توجه به این نکته مهم است که اندازه گامی که با استفاده از معادله (۶.۷۰) به دست آمده نباید از یک بزرگتر باشد. با این همه، برای بسیاری از مسائل وقتی به اندازه گام اجازه بزرگتر بودن از یک داده شود، از نظر پیاده‌سازی و اجرای عددی، الگوریتم بسیار پویاتر و کارآثر است [لیم و آرورا<sup>۱</sup>، ۱۹۸۶]. این کار با تجویز مقدار منفی داشتن برای عدد صحیح ز در معادله (۶.۷۰) می‌تواند عملی شود. بنابراین در کاربردهای عملی، توصیه می‌شود که استفاده از اندازه گام بزرگتر از یک مورد ارزیابی قرار گیرد.
۶. توجه به این نکته مهم است که هرچند از جنبه نظری الگوریتم CSD باید با شروع از هر نقطه‌ای به طرف نقطه مینیمم محلی همگرا شود، ولی از نظر عددی می‌تواند کاملاً متفاوت باشد. این تفاوت به خاطر عدم اطمینان در انتخاب مقادیر  $\alpha$  و  $R_i$  است. برای مقدار خاصی از این مقادیر، اندازه گام ممکن است بسیار کوچک شود. اگر چنین حالتی اتفاق افتاد، انتخابهای دیگری باید مورد بررسی و آزمایش قرار گیرند.
۷. نقطه شروع نیز می‌تواند بر عملکرد الگوریتم تأثیر بگذارد. به عنوان مثال، زیرمسئله QP ممکن است در بعضی از نقاط جوابی نداشته باشد. این ضرورتاً به معنی غیرقابل قبول بودن مسئله اصلی نیست. ممکن است مسئله بسیار غیرخطی باشد و قیود خطی شده ناسازگار باشند و زیرمسئله غیرقابل قبولی بدهد. این مشکل می‌تواند یا با حذف موقت قیود ناسازگار یا با شروع از نقطه دیگر بر طرف گردد. برای بحث بیشتر پیرامون ملاحظات پیاده‌سازی الگوریتم، باید به مقاله سنج و آرورا<sup>۲</sup> [۱۹۸۸] مراجعه شود.

## ۶.۶.۵ استفاده از راهبرد لید پتانسیل

همچنان که قبل از این بیان شد، راهبرد مجموعه پتانسیل وقتی که تنها یک زیرمجموعه

از قبود در تعریف زیر مسأله وجود داشته باشد می تواند در الگوریتم CSD در نظر گرفته شود. روش عبارت است از محاسبه تمامی قبود مسأله و تعریف یک مجموعه پتانسیل به شکل معادله (۶.۱۲). راههای دیگری هم برای تعریف مجموعه پتانسیل وجود دارد و این روشها می تواند به جهت‌های متفاوت جست و جو و مسیرهای مختلف در رسیدن به نقطه بین متهی شود.

اثر اصلی استفاده از راهبرد مجموعه پتانسیل در یک الگوریتم روی بازدهی کلی فرآیند تکرار (چرخه) است. این مطلب بویژه برای کاربردهای بزرگ و پیچیده که ارزیابی گرادیان قبود از نظر محاسباتی هزینه بر هستند صادق است. در راهبرد مجموعه پتانسیل، تنها گرادیانهای قبود پتانسیل محاسبه می شوند و در تعریف زیر مسأله جهت جست و جوی استفاده می شوند. مسأله اصلی ممکن است صدها قید داشته باشد، ولی تنها تعدادی از آنها در مجموعه پتانسیل باشند. بنابراین در این راهبرد، نه تنها تعداد دفعات ارزیابی گرادیان کاهش می یابد که ابعاد زیر مسأله جهت جست و جو نیز به طور چشمگیری کم می شود. این کاهشها می تواند به صرفه جویی بیشتر در حجم محاسبات بینجامد. بنابراین، راهبرد مجموعه پتانسیل بسیار سودمند بوده و باید در کاربردهای عملی بینه سازی استفاده شود.

بعد از این و در فصل (۷)، جهت‌های جست و جو برای یک مسأله نمونه با تعریف زیر مسأله های QP با راهبرد مجموعه پتانسیل و بدون آن حل می شود. در آن جانشان داده می شود که دو جهت کاملاً متفاوت بوده و هر دو به طرف جواب بین می روند.

**مثال ۶.۱۲ طراحی یک تیر مکب مستطیلی با مساحت سطح مقطع مینیمم.** برای مسأله طراحی تیر با مساحت سطح مقطع مینیمم بخش ۲.۸.۵ ، با استفاده از الگوریتم CSD و شروع از نقاط (50، 200) میلی متر و (1000، 1000) میلی متر جواب بین می رایابید.

حل. مسأله در بخش ۲.۸.۵ رابطه سازی شده و به روش ترسیمی حل گردیده است. بعد از نرم‌السازی قبود مسأله به شکل زیر تعریف می شود. پنهانی  $b$  و ضخامت  $d$  را چنان بایابد که مساحت سطح مقطع

$$f(b, d) = bd$$

مینیمم گردد مشروط به قید تنش خمشی

$$\frac{(2.40E+07)}{bd^2} - 1.0 \leq 0$$

و قید تنش برشی

روشهای عددی برای طراحی بهین مقید

$$\frac{(1.125E+05)}{bd} - 1.0 \leq 0$$

و قید ضخامت

$$\frac{d}{2b} - 1.0 \leq 0$$

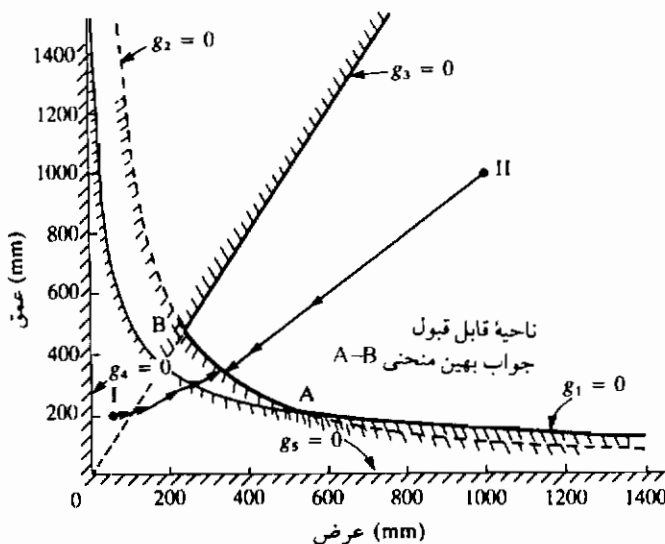
و محدوده متغیرهای طراحی

$$10 \leq b \leq 1000$$

$$10 \leq d \leq 1000$$

حل ترسیمی مسأله در شکل ۶.۱۷ آمده است. هر نقطه روی منحنی AB یک جواب بهین را می دهد.

مسأله با الگوریتم CSD که در بسته نرم افزاری IDESIGN ارائه شده [آرورا و سنج، ۱۹۸۷] و با شروع از نقاط داده شده، حل شده است. الگوریتم با استفاده از راهبرد مجموعه پتانسیل نصب شده است. داده های اوکیه به برنامه داده شده و تاریخی به همگرایی برنامه بدون توقف اجرا گردیده است. نتایج برنامه در جدول ۶.۳ و ۶.۴ خلاصه شده است.



شکل ۶.۱۷ تاریخچه فرآیند تکرار برای مسأله طراحی تیر مکعب مستطیل.

جدول ۶.۲ حاوی تاریخچه بیشترین مقدار نقض قید، پارامتر همگرایی، تابع هزینه و متغیرهای طراحی با شروع از نقطه (50, 200) است. نقطه شروع با بیشترین مقدار نقض قید ۱۱٪ غیرقابل قبول است. برنامه جواب بهین را در هشت چرخه می‌یابد. فعال بودن قید و متغیرهای طراحی در نقطه بهین نیز در جدول ۶.۶ مشخص شده است. مسیر فرآیند چرخه روی ترسیمه مسأله با شروع از نقطه ۱ نشان داده شده است، همچنان که در شکل ۱۷.۶ مشاهده می‌شود. الگوریتم از ناحیه غیرقابل قبول

جدول ۶.۲ تاریخچه فرآیند چرخه و جواب بهین برای مسأله طراحی تیر مکعب مستطیل با شروع از نقطه (200, 50) میلی متر

۱	بیشترین نقض	پارامتر همگرایی	هزینه	عرض	عمق
1	1.100 00E + 01	1.000 00E + 00	1.000 00E + 04	5.000 0E + 01	2.000 0E + 02
2	4.819 71E + 00	1.000 00E + 00	1.957 07E + 04	9.287 6E + 01	2.107 2E + 02
3	1.995 55E + 00	1.000 00E + 00	3.755 57E + 04	1.571 2E + 02	2.390 3E + 02
4	7.023 40E - 01	1.000 00E + 00	6.608 55E + 04	2.302 0E + 02	2.870 7E + 02
5	1.715 08E - 01	2.414 74E + 01	9.603 01E + 04	2.880 1E + 02	3.334 3E + 02
6	1.724 81E - 02	2.979 67E + 00	1.105 92E + 05	3.121 6E + 02	3.542 9E + 02
7	2.180 08E - 04	3.859 68E - 02	1.124 75E + 05	3.151 4E + 02	3.569 9E + 02
8	3.581 47E - 08	6.342 75E - 06	1.125 00E + 05	3.151 7E + 02	3.569 5E + 02

فعال بودن قید	ضریب لاگرانژ
فعال بودن شماره	فعال بودن شماره
1 خیر	-4.023 36E - 01
2 آری	3.581 47E - 08
3 خیر	-4.337 34E - 01

فعال بودن متغیر طراحی	ضریب لاگرانژ			
طراطی	حد پایین	حد بالا	ضریب لاگرانژ	
فعال بودن شماره	فعال بودن شماره	حد پایین	حد بالا	
1 خیر	3.151 75E + 02	1.000 00E + 01	1.000 00E + 03	0.000 00E + 00
2 خیر	3.569 45E + 02	1.000 00E + 01	1.000 00E + 03	0.000 00E + 00

$$\text{تابع هزینه در بهین} = 1.125 \text{ 000E} + 05$$

تعداد دفعات فرآخوان برای ارزیابی تابع هزینه ۸ . (USERMF)

تعداد دفعات فرآخوان برای ارزیابی گرادیان تابع هزینه ۸ . (USERMG)

تعداد دفعات فرآخوان برای ارزیابی تابع قید ۸ . (USERCF)

تعداد دفعات فرآخوان برای ارزیابی گرادیان تابع قید ۸ . (USERCG)

کل تعداد دفعات ارزیابی گرادیان = ۱۴ .

### روشهای عددی برای طراحی بهین مفید

مرحله به مرحله تا رسیدن به جواب بهین به پیش می‌رود که با جواب تحلیلی به دست آمده در بخش ۳.۸.۲ مطابقت دارد.

توجه به این نکته جالب است که اگرچه شروع از نقطه اوّل تعداد چرخه بیشتری (۸) در مقایسه با نقطه دوم (۶) لازم دارد تا به نقطه بهین برسد، ولی تعداد فرآخوان ارزیابی تابع برای نقطه اوّل کمتر است. تعداد کل دفعات ارزیابی گرادیان برای دو نقطه به ترتیب برابر است با ۱۴ و ۳. دقت کنید که اگر از راهبرد مجموعه پتانسیل استفاده نمی‌شد، تعداد کل دفعات ارزیابی گرادیان برای دو نقطه به ترتیب ۲۴ و ۱۸ بود که

**جدول ۳.۶ تاریخچه فرآیند چرخه و جواب بهین برای مسئله طراحی تیر مکعب مستطیل با شروع از نقطه (1000, 1000) میلی متر**

I	بیشترین نقض	پارامتر همگرایی	هزینه	عرض	عمق
1	0.000 00E + 00	1.000 00E + 03	1.000 00E + 06	1.0000E + 03	1.0000E + 03
2	0.000 00E + 00	5.050 00E + 02	2.550 25E + 05	5.0500E + 02	5.0500E + 02
3	0.000 00E + 00	3.812 50E + 02	1.453 52E + 05	3.8125E + 02	3.8125E + 02
4	3.386 21E - 03	5.650 12E - 01	1.121 20E + 05	3.3484E + 02	3.3484E + 02
5	8.551 55E - 06	1.434 12E - 03	1.124 99E + 05	3.3541E + 02	3.3541E + 02
6	5.484 72E - 11	9.198 03E - 09	1.125 00E + 05	3.3441E + 02	3.3541E + 02

فعال بودن قید	فعال بودن شماره	مقدار	ضریب لاگرانژ
۱ خیر		-3.639 63E - 01	0.000 00E + 00
۲ آری		5.484 72E - 11	1.125 00E + 05
۳ خیر		-5.000 00E - 01	0.000 00E + 00

فعال بودن متغیر طراحی	فعال بودن شماره	طرافقی	حد پایین	حد بالا	ضریب لاگرانژ
۱ خیر		3.354 10E + 02	1.000 00E + 01	1.000 00E + 03	0.000 00E + 00
۲ خیر		3.354 10E + 02	1.000 00E + 01	1.000 00E + 03	0.000 00E + 00

$$\text{تابع هزینه در بهین} = 1.125 \ 000E + 05$$

تعداد دفعات فرآخوان برای ارزیابی تابع هزینه ۱۲ = . (USERMG)

تعداد دفعات فرآخوان برای ارزیابی گرادیان تابع هزینه ۶ = . (USERMF)

تعداد دفعات فرآخوان برای ارزیابی تابع قید ۱۲ = . (USERCF)

تعداد دفعات فرآخوان برای ارزیابی گرادیان تابع قید ۳ = . (USERCG)

کل تعداد دفعات ارزیابی گرادیان = ۳.

بسیار زیادتر از تعداد دفعات ارزیابی گرادیان با IDESIGN است که راهبرد مجموعه پتانسیل را به کار می‌برد. روشن است که برای کاربردهای بزرگ، راهبرد مجموعه پتانسیل می‌تواند روی بازده محاسبات برای یک الگوریتم بهینه سازی تأثیری قابل توجه داشته باشد.

#### ۶.۷۱ روش‌های شبیه نیوتن مقید

تاکنون ما در تعریف تعیین جهت جست وجو در زیرمسئله فقط تقریب خطی توابع هزینه و قید را به کار برده‌ایم. نرخ همگرایی الگوریتم‌هایی که براساس چنان زیرمسئله‌هایی قرار دارند می‌تواند آهسته باشد. این امکان وجود دارد که تقریبهای درجه دو برای توابع هزینه و قیود در تعریف زیرمسئله استفاده شود. این کار به احتمال زیاد نرخ همگرایی الگوریتم را بهبود می‌بخشد، زیرا در تعیین جهت جست وجو اطلاعات انحنای توابع استفاده می‌شود. این همه، به نظر می‌رسد حل زیرمسئله با تعریف تقریب درجه دو برای توابع به اندازه حل مسئله بهینه سازی غیرخطی اصلی مشکل است. بنابراین برای بحث در این راستا ضرورت و مزیتی وجود ندارد.

به نظر می‌رسد زیرمسئله QP، که در بخش ۶.۵.۲ تعریف شد، می‌تواند مقداری تغییر یابد تا اطلاعات انحنای تابع لاگرانژ را برای تابع هزینه درجه دوی معادله (۶.۳۸) تعریف کند [ولیسون<sup>۱</sup>، ۱۹۶۳]. اما قیود غیرخطی اصلی با قیود خطی تقریب زده می‌شود، مانند آنچه در معادله‌های (۶.۳۹) و (۶.۴۰) آمده است. بنابراین برای تعریف زیرمسئله QP جدید، نیاز به ارزیابی ماتریس هسیان تابع لاگرانژ داریم. این روش تا اینجا با دو مشکل رویه روت است:

۱. مشتقات مرتبه دوی همه قیود و تابع هزینه باید ارزیابی گردد، که معمولاً محاسبات بسیار طولانی و خسته‌کننده‌ای است.
۲. ضرایب لاگرانژی که برای همه قیود حدس زده می‌شود باید برای محاسبه هسیان تابع لاگرانژ معلوم باشند. این ضرایب معمولاً بعد از حل زیرمسئله QP معلوم می‌گردند.

در روشهایی که براساس فلسفه فوق قرار دارند، بزرگترین گشایش وقتی اتفاق می‌افتد که می‌بینیم هسیان تابع لاگرانژ می‌تواند با استفاده از اطلاعات درجه اول تقریب زده شود [هان<sup>۱</sup>، ۱۹۷۶، ۱۹۷۷؛ پاول<sup>۲</sup>، ۱۹۷۸a، ۱۹۷۸b]. این پنداره بسیار شبیه موردنی است که در روشهای شبه نیوتن نامقید در بخش ۷.۵ استفاده شد. برای بهنگام کردن تقریب هسیان تابع لاگرانژ از گرادیان تابع لاگرانژ در دو نقطه و تغییرات طراحی استفاده می‌کنیم. ما این روشها را روشهای شبه نیوتن مفید می‌نامیم. در مقالات اینها را متغیرهای متريک مفید (CVM)، برنامه ریزی درجه دو دنباله‌ای (SQP)، یا برنامه ریزی درجه دو برگشتی (RQP) نیز می‌نامند. صورتهای مختلفی از روش را می‌توان ارائه کرد. با این همه ما یک روش را براساس فلسفه فوق تشریح می‌کنیم.

#### ۶.۷.۱ به دست آوردن زیرمسئله برنامه ریزی درجه دو

راههای متفاوتی برای به دست آوردن زیرمسئله برنامه ریزی درجه دو (QP) که باید در هر چرخه بهینه سازی حل شود وجود دارد. فهم جزئیات به دست آوردن زیرمسئله QP در استفاده از روش شبه نیوتن مفید ضروری نیست. بنابراین خوانندگانی که به نحوه به دست آوردن آن علاقه مند نیستند از این زیربخش بگذرند.

معمول است که زیرمسئله QP را با در نظر گرفتن مسئله بهینه سازی طراحی با قيد مساوی به دست می‌آورند، یعنی مینیمم کردن تابع  $f(\mathbf{x})$  مشروط به قیود  $h_i(\mathbf{x}) = 0; i = 1 \text{ to } p$ .  

$$f(\mathbf{x}) = 0; \quad i = 1 \text{ to } p \quad (6.76)$$

قیود نامساوی بعداً براحتی در زیرمسئله وارد می‌شوند. روش به دست آوردن زیرمسئله QP عبارت است از نوشتن شرایط لازم کان-تاکر برای مسئله تعريف شده در معادله (۶.۷۶) و حل آنها به روش نیوتن وقتی که معادله‌ها غیرخطی‌اند. هر چرخه از روش نیوتن آن گاه می‌تواند به عنوان معادل حل یک زیرمسئله QP تعییر شود. در روش به دست آوردن زیر فرض می‌کنیم که توابع دوبار مشتق پذیر پیوسته بوده و گرادیان تمامی قیود به طور خطی مستقلند.

تابع لاگرانژ برای مسئله بهینه سازی تعريف شده در معادله (۶.۷۶) عبارت است از

$$L(\mathbf{x}, \mathbf{v}) = f(\mathbf{x}) + \sum_{i=1}^p v_i h_i(\mathbf{x}) = f(\mathbf{x}) + \mathbf{v} \cdot \mathbf{h}(\mathbf{x}) \quad (6.77)$$

که  $v_i$  ضریب لagger ایز و این قید مساوی  $0 = h_i(x)$  است. دقت کنید که  $v_i$  از نظر علامت آزاد است. شرایط لازم کان-تاکر روابط زیر را می‌دهد

$$\nabla L(x, v) = \mathbf{0}, \quad \nabla f(x) + \sum_{i=1}^p v_i \nabla h_i(x) = \mathbf{0} \quad (6.78)$$

و

$$h_i(x) = 0; \quad i = 1 \text{ to } p \quad (6.79)$$

توجه کنید که معادله (6.78) در واقع نمایشگر «معادله» است، زیرا بعد بردار متغیر طراحی،  $n$  است. این معادله‌ها به اضافه  $p$  قید مساوی در معادله (6.79)،  $(n+p)$  معادله  $(n+p)$  مجهولی را ( $n$ ) متغیر طراحی  $x$  و  $p$  ضریب لagger ایز  $v_i$  تشکیل می‌دهند. اینها معادله‌های غیرخطی اند و برای حل آنها روش نیوتون رافسون (پیوست C) می‌تواند استفاده گردد. می‌توان معادله‌های (6.78) و (6.79) را به شکل خلاصه تر زیر نوشت

$$\mathbf{F}(y) = \mathbf{0} \quad (6.80)$$

که در آن  $\mathbf{F}$  و  $y$  به شکل زیر تعریف می‌شوند

$$\mathbf{F} = \begin{bmatrix} \nabla L \\ \mathbf{h} \end{bmatrix}_{(n+p \times 1)} \quad , \quad \mathbf{y} = \begin{bmatrix} \mathbf{x} \\ \mathbf{v} \end{bmatrix}_{(n+p \times 1)} \quad (6.81)$$

اکنون با استفاده از روش چرخه‌ای (بخش 2 پیوست C)، فرض می‌کنیم  $y^{(k)}$  در  $k$  این چرخه معلوم بوده و یک تغییر  $\Delta y^{(k)}$  مورد نظر است. با استفاده از بسط سری تیلور برای معادله (6.80)،  $\Delta y^{(k)}$  عبارت است از جواب دستگاه خطی زیر (مراجعه کنید به معادله C.12 در پیوست C):

$$\nabla \mathbf{F}^T(y^{(k)}) \Delta y^{(k)} = -\mathbf{F}(y^{(k)}) \quad (6.82)$$

که در آن  $\nabla \mathbf{F}$  عبارت است از ماتریس  $(n+p) \times (n+p)$  جاکوبین برای معادله‌های غیرخطی که این ستون آن گرادیان تابع  $y_i F_i(y)$  نسبت به بردار  $y$  است. با جای گزینی تعریفهای  $\mathbf{F}$  و  $y$  از معادله‌های (6.81) در معادله (6.82)، داریم

$$\begin{bmatrix} \nabla^2 L & \mathbf{N} \\ \mathbf{N}^T & \mathbf{0} \end{bmatrix}^{(k)} \begin{bmatrix} \Delta \mathbf{x} \\ \Delta \mathbf{v} \end{bmatrix}^{(k)} = -\begin{bmatrix} \nabla L \\ \mathbf{h} \end{bmatrix}^{(k)} \quad (6.83)$$

که در آن اندیس بالایی  $k$  مشخص کننده این است که مقادیر در  $k$  امین چرخه محاسبه شده‌اند،  $\nabla^2 L$  عبارت است از ماتریس  $n \times n$  همیان تابع لاگرانژ،  $N$  عبارت است از یک ماتریس  $p \times n$  که در معادله (۶.۲۸) تعریف شده که ستون  $i$  ام آن گرادیان قید مساوی  $h_i$  است،  $\Delta v^{(k)} = v^{(k+1)} - v^{(k)}$  و  $\Delta x^{(k)} = x^{(k+1)} - x^{(k)}$  می‌تواند با نوشتن اوّلین

سطر به شکل

$$\nabla^2 L \Delta x^{(k)} + N \Delta v^{(k)} = -\nabla L \quad (6.84)$$

به گونه دیگری درآید. با جای گزینی  $\Delta v^{(k)} = v^{(k+1)} - v^{(k)}$  و  $\nabla L$  از معادله (۶.۷۸) در معادله (۶.۸۴) داریم

$$\nabla^2 L \Delta x^{(k)} + N(v^{(k+1)} - v^{(k)}) = -\nabla f(x^{(k)}) - Nv^{(k)} \quad (6.85)$$

یا، معادله به شکل زیر ساده می‌شود

$$\nabla^2 L \Delta x^{(k)} + Nv^{(k+1)} = -\nabla f(x^{(k)}) \quad (6.86)$$

با ترکیب معادله (۶.۸۲) با سطر دوم معادله (۶.۸۳)، داریم

$$\begin{bmatrix} \nabla^2 L & N \\ N^T & \mathbf{0} \end{bmatrix}^{(k)} \begin{bmatrix} \Delta x^{(k)} \\ v^{(k+1)} \end{bmatrix} = -\begin{bmatrix} \nabla f \\ h \end{bmatrix}^{(k)} \quad (6.87)$$

جواب معادله (۶.۸۷)، تغییری در طراحی  $\Delta x^{(k)}$  و مقدار جدیدی بردار ضریب لاگرانژ  $v^{(k+1)}$  است. روش چرخه‌ای تا برآورده شدن معیار همگرایی ادامه می‌یابد.

اکنون نشان داده می‌شود که معادله (۶.۸۷) نیز جواب مسأله QP مشخصی است که در چرخه  $k$  ام تعریف می‌شود. عبارت

$$\nabla f^T \Delta x + 0.5 \Delta x^T \nabla^2 L \Delta x \quad (6.88)$$

را با قیود مساوی خطی

$$h_i + n^{(i)T} \Delta x = 0; \quad i = 1 \text{ to } p \quad (6.89)$$

مینیمم کنید. در معادله فوق  $n^{(i)}$  گرادیان تابع  $h_i$  است. تابع لاگرانژ برای مسأله ای که در معادله‌های (۶.۸۸) و (۶.۸۹) تعریف شد، عبارت است از

$$\bar{L} = \nabla f^T \Delta x + 0.5 \Delta x^T \nabla^2 L \Delta x + \sum_{i=1}^p v_i (h_i + n^{(i)T} \Delta x) \quad (6.90)$$

شرایط لازم کان - تاکر با فرض  $\Delta \mathbf{x}$  به عنوان متغیر مجهول روابط زیر را من دهد

$$\nabla \tilde{L} = \mathbf{0}; \quad \nabla f + \nabla^2 L \Delta \mathbf{x} + \mathbf{N} \mathbf{v} = \mathbf{0} \quad (6.91)$$

و

$$h_i + \mathbf{n}^{(i)\top} \Delta \mathbf{x} = 0 \quad (6.92)$$

می توان دید اگر معادله های (۶.۹۱) و (۶.۹۲) را ترکیب کرده و آنها را به شکل ماتریسی بنویسیم، معادله (۶.۸۷) به دست خواهد آمد. پس، مسئله مینیمم کردن  $(\mathbf{x})^f$  با شرط  $p$  می تواند با حل چرخه ای زیرمسئله QP که در معادله های (۶.۸۸) و (۶.۸۹) تعریف شد، حل شود.

دقیقاً مانند روش نیوتن برای مسائل نامقید، برای داشتن یک الگوریتم همگرا، باید جواب جهت جست و جو و اندازه گامی باشد که با مینیمم کردن یکتابع کاهشی مناسب تعیین می گردد. با تعریف  $\mathbf{d}$  به عنوان جهت جست و جو به جای  $\Delta \mathbf{x}$  و با در نظر داشتن قیود مساوی، زیرمسئله QP برای مسئله کلی بهینه سازی به شکل زیر تعریف می شود. عبارت

$$\mathbf{c}^T \mathbf{d} + 0.5 \mathbf{d}^T \mathbf{H} \mathbf{d} \quad (6.93)$$

را نسبت به قیود معادله های (۶.۳۹) و (۶.۴۰)، یعنی

$$\mathbf{n}^{(i)\top} \mathbf{d} = e_i; \quad i = 1 \text{ to } p \quad (6.94)$$

$$\mathbf{a}^{(i)\top} \mathbf{d} \leq b_i; \quad i = 1 \text{ to } m \quad (6.95)$$

مینیمم کنید. در روابط فوق علاوه بخش ۶.۳ استفاده شده و  $\mathbf{H}$  ماتریس هسیان  $L^2$  یا مقدار تقریبی آن است. معمولاً یک راهبرد قید پتانسیل می تواند در کاهش تعداد نامساویها در معادله (۶.۹۵) استفاده شود، همچنان که در بخش ۶.۶.۵ بحث شد. ما درباره این نکته در آینده بیشتر بحث خواهیم کرد.

## ۶.۷.۳ تقریب هسیان شبې نیوتن

دقیقاً مانند روشهای شبې نیوتن بخش ۶.۵ برای مسائل نامقید، می توان برای مسائل مقید هسیان تابع لاگرانژ را تقریب زد. فرض می کنیم هسیان تقریبی  $\mathbf{H}^{(k)}$  در چرخه  $k$  ام در دسترس است و می خواهیم آن را بهنگام کنیم به  $\mathbf{H}^{(k+1)}$ . رابطه BFGS بخش ۶.۵ می تواند

برای بهنگام کردن مستقیم هسیان استفاده شود. توجه به این نکته مهم است که هسیان بهنگام شده باید معین مثبت نگاه داشته شود، زیرا با این خاصیت زیرمسئله QP تعریف شده در معادله های (۶.۹۳) تا (۶.۹۵) محدود قطعی (اکید) می ماند. بنابراین یک جهت جست و جوی یگانه به دست می آید. رابطه بهنگام BFGS استاندارد ممکن است به هسیان منفرد یا نامعین متنه شود. برای غلبه بر این مشکل، پاول<sup>۱</sup> [۱۹۷۸a] یک تغییر در رابطه BFGS استاندارد پیشنهاد کرد. هر چند تغییر بر اساس یک دید فنی و شهودی قرار دارد، در بیشتر کاربردها خوب کار می کند. مارابطه تغییر یافته BFGS را ارائه خواهیم کرد.

قبل از ارائه رابطه نهایی چندین کمیت اسکالر و بردار باید محاسبه شوند. اینها را

به شکل زیر تعریف می کنیم :

$$\mathbf{s}^{(k)} = \alpha_k \mathbf{d}^{(k)}; \quad \text{بردار تغییرات در طراحی} \quad (6.96)$$

(توجه :  $\alpha_k$  اندازه گام است)

$$\mathbf{z}^{(k)} = \mathbf{H}^{(k)} \mathbf{s}^{(k)}; \quad \text{یک بردار} \quad (6.97)$$

$$\mathbf{y}^{(k)} = \nabla L(\mathbf{x}^{(k+1)}, \mathbf{u}^{(k)}, \mathbf{v}^{(k)}) - \nabla L(\mathbf{x}^{(k)}, \mathbf{u}^{(k)}, \mathbf{v}^{(k)}); \quad (6.98)$$

اختلاف گرادیانهای تابع لاغرانژ در دو نقطه

$$\xi_1 = \mathbf{s}^{(k)} \cdot \mathbf{y}^{(k)}; \quad \text{یک اسکالر} \quad (6.99)$$

$$\xi_2 = \mathbf{s}^{(k)} \cdot \mathbf{z}^{(k)}; \quad \text{یک اسکالر} \quad (6.100)$$

$$\theta = 1 \text{ if } \xi_1 \geq 0.2\xi_2; \quad \theta = \frac{0.8\xi_2}{\xi_2 - \xi_1} \text{ در غیر این صورت} \quad (6.101)$$

$$\mathbf{w}^{(k)} = \theta \mathbf{y}^{(k)} + (1 - \theta) \mathbf{z}^{(k)}; \quad \text{یک بردار} \quad (6.102)$$

$$\xi_3 = \mathbf{s}^{(k)} \cdot \mathbf{w}^{(k)}; \quad \text{یک اسکالر} \quad (6.103)$$

$$\mathbf{D}^{(k)} = \frac{1}{\xi_3} \mathbf{w}^{(k)} \mathbf{w}^{(k)\top}; \quad n \times n \quad \text{یک ماتریس} \quad (6.104)$$

$$\mathbf{E}^{(k)} = \frac{1}{\xi_2} \mathbf{z}^{(k)} \mathbf{z}^{(k)\top}; \quad n \times n \quad \text{یک ماتریس} \quad (6.105)$$

### ۶.۷.۳ الگوریتم تندترین کاهش مقید بهبود یافته

۵۲۹

با تعریفهای گذشته از ماتریس‌های  $D^{(k)}$  و  $E^{(k)}$ ، هسیان به شکل زیر بهنگام می‌شود.

$$\mathbf{H}^{(k+1)} = \mathbf{H}^{(k)} + \mathbf{D}^{(k)} - \mathbf{E}^{(k)} \quad (6.106)$$

معلوم است که اگر  $\mathbf{H}$  در معادله (۶.۹۹) منفی باشد، رابطه اصلی BFGS می‌تواند به هسیان نامعین بینجامد. استفاده از بردار بهبود یافته  $w^{(k)}$  که در معادله (۶.۱۰۲) ارائه شد این مشکل را کمتر خواهد کرد.

به خاطر مزیت وجود هسیان در یک الگوریتم بهینه‌سازی، در مقالات اخیر، روشهای بهنگام کردن متعددی تدوین و ارائه شده است [گبل<sup>۱</sup> وغیره، ۱۹۸۱]. به عنوان مثال، ضرایب چولسکی هسیان می‌توانند مستقیماً بهنگام شوند. هنگام پیاده‌سازی عددی، استفاده از چنین روشهایی مفید است، زیرا پایداری عددی را می‌توان تضمین کرد.

### ۶.۷.۴ الگوریتم تندترین کاهش مقید بهبود یافته

الگوریتم CSD بخش ۶.۶ اخیراً توسعه یافته و بهنگام شدن هسیان و راهبرد مجموعه پتانسیل را در آن گنجانده‌اند [بلگاندا و آرورا<sup>۲</sup>، ۱۹۸۴a؛ لیم و آرورا<sup>۳</sup>، ۱۹۸۶؛ ثانه‌دار، آرورا و سنج<sup>۴</sup>، ۱۹۸۶]. الگوریتم اصلی از راهبرد مجموعه پتانسیل استفاده نمی‌کرد [هان<sup>۵</sup>، ۱۹۷۶، ۱۹۷۷؛ پاول<sup>۶</sup>، ۱۹۷۸a, b, c]. الگوریتم جدید از نظر عددی به طور وسیعی مورد بحث قرار گرفته و از نظر محاسباتی جنبه‌های متعددی در آن ملحوظ شده تا آن را مناسب و کارا سازد. در ادامه، ما یک الگوریتم بسیار اساسی را با توسعه ساده‌ای از الگوریتم CSD تشریح می‌کنیم. از این الگوریتم جدید که از یک راهبرد مجموعه پتانسیل استفاده می‌کند بنام بی‌ال‌بی‌ای (PLBA) [شنیچنی-لیم-بلگاندا-آرورا<sup>۷</sup>] یاد می‌کنیم:

گام ۱. مانند الگوریتم CSD بخش ۶.۶ بجز این که برای حدس اوکیه هسیان تقریبی نیز ماتریس واحد در نظر بگیرید یعنی  $\mathbf{I} = \mathbf{H}^{(0)}$ .

گام ۲. مقادیر توابع هزینه و قید گرادیان را در  $x^*$  محاسبه کنید. مقدار نقض قید ماکریم  $V$  را همچنان که در معادله (۶.۶۹) تعریف شد، محاسبه کنید. اگر  $V > k$  است،

1. Gill

2. Belegundu and Arora

3. Lim and Arora

4. Thanedar, Arora and Tseng

5. Han

6. Powell

7. Pshenichny-Lim-Belegundu-Arora

با استفاده از معادله های (۶.۹۶) تا (۶.۱۰۶) هسیان تابع لاگرانژ را بهنگام کنید. اگر  $k = 0$  است، از بهنگام کردن صرف نظر کنید و به گام ۳ بروید.

گام ۳. زیر مسئله QP معادله های (۶.۹۳) تا (۶.۹۵) را تعریف و آنها را حل کنید تا

جهت جست وجو  $\mathbf{d}^{(k)}$  و ضرایب لاگرانژ  $v^{(k)}$  و  $\mathbf{u}^{(k)}$  به دست آید.  
گام ۴-۷. مانند الگوریتم CSD بخش ۶.۶.

بنابراین می بینیم که تنها تفاوت بین دو الگوریتم عبارت است از گامهای ۲ و ۳. استفاده از الگوریتم را با یک مسئله نمونه شرح می دهیم.

**مثال ۶.۱۵** استفاده از روش شبکه نیوتن مقید. دو چرخه از الگوریتم PLBA را برای

مثال ۱۱.۶ کامل کنید: تابع

$$f(\mathbf{x}) = x_1^2 + x_2^2 - 3x_1x_2$$

را مشروط به قیود

$$g_1(\mathbf{x}) = x_1^2 + x_2^2 - 1.0 \leq 0$$

$$g_2(\mathbf{x}) = -x_1 \leq 0$$

$$g_3(\mathbf{x}) = -x_2 \leq 0$$

مینیمم کنید. نقطه شروع عبارت است از (۱، ۱)،  $R_0 = 10$ ،  $\gamma = 0.5$ ،  $\varepsilon_1 = \varepsilon_2 = 0.001$

حل. اوّلین چرخه الگوریتم PLBA مانند الگوریتم CSD است. برای مثال ۱۱.۶.

نتایج چرخه اوّل عبارت است از:

$$\mathbf{d}^{(0)} = (1, 1); \quad \alpha_0 = 0.5, \quad \mathbf{x}^{(0)} = (1.5, 1.5)$$

$$\mathbf{u}^{(0)} = (0, 0, 0); \quad R_1 = 10, \quad \mathbf{H}^{(0)} = \mathbf{I}.$$

چرخه ۲. در نقطه  $\mathbf{x}^{(1)} = (1.5, 1.5)$ ، توایع قید و هزینه و گرادیان آنها عبارت است از:

$$f = -6.75$$

$$g_1 = -0.25$$

$$g_2 = -1.5$$

$$g_3 = -1.5$$

$$\nabla f = (-1.5, -1.5)$$

$$\nabla g_1 = (0.5, 0.5)$$

$$\nabla g_2 = (-1, 0)$$

$$\nabla g_3 = (0, -1)$$

### ۶.۷.۳ الگوریتم تندترین کاهش مقید بهبودیافته

برای بهنگام کردن ماتریس هسیان، بردارهای معادله های (۶.۹۶) و (۶.۹۷) را به شکل زیر تعریف می کنیم.

$$\begin{aligned}\mathbf{s}^{(0)} &= \alpha_0 \mathbf{d}^{(0)} \\ &= (0.5, 0.5) \\ \mathbf{z}^{(0)} &= \mathbf{H}^{(0)} \mathbf{s}^{(0)} \\ &= (0.5, 0.5)\end{aligned}$$

چون بردار ضریب لاغرانژ  $\mathbf{u}^{(0)} = (0, 0, 0)$  است، گرادیان لاغرانژین  $\nabla L$  همان گرادیان تابع هزینه  $\mathbf{f}$  است. بنابراین، بردار  $\mathbf{y}^{(0)}$  معادله (۶.۹۸) عبارت است از

$$\begin{aligned}\mathbf{y}^{(0)} &= \nabla f(\mathbf{x}^{(1)}) - \nabla f(\mathbf{x}^{(0)}) \\ &= (-0.5, -0.5)\end{aligned}$$

همچنین کمیتهاي اسکالر معادله های (۶.۹۹) و (۶.۱۰۰) عبارتند از

$$\begin{aligned}\xi_1 &= \mathbf{s}^{(0)} \cdot \mathbf{y}^{(0)} \\ &= -0.5 \\ \xi_2 &= \mathbf{s}^{(0)} \cdot \mathbf{z}^{(0)} \\ &= 0.5\end{aligned}$$

چون  $\xi_2 < 0.25$  است،  $\theta$  معادله (۶.۱۰۱) به شکل زیر محاسبه می شود

$$\begin{aligned}\theta &= 0.8(0.5)/(0.5 + 0.5) \\ &= 0.4\end{aligned}$$

بردار  $\mathbf{w}^{(0)}$  در معادله (۶.۱۰۲) عبارت است از

$$\begin{aligned}\mathbf{w}^{(0)} &= 0.4(-0.5, -0.5) + (1 - 0.4)(0.5, 0.5) \\ &= (0.1, 0.1)\end{aligned}$$

کمیت اسکالر  $\beta_i$  در معادله (۶.۱۰۳) عبارت است از  $\beta_i = 0.1 \cdot (0.5, 0.5) \cdot (0.1, 0.1) = 0.1$  دو ماتریس تصحیح معادله های (۶.۱۰۴) و (۶.۱۰۵) به شکل زیر محاسبه می شوند

$$\mathbf{D}^{(0)} = \begin{bmatrix} 0.1 & 0.1 \\ 0.1 & 0.1 \end{bmatrix}; \quad \mathbf{E}^{(0)} = \begin{bmatrix} 0.5 & 0.5 \\ 0.5 & 0.5 \end{bmatrix}$$

بالاخره، از معادله (۶.۱۰۶) هسیان بهنگام شده عبارت است از

$$\begin{aligned}\mathbf{H}^{(1)} &= \begin{bmatrix} 1 & 0 \\ 0 & 1 \end{bmatrix} + \begin{bmatrix} 0.1 & 0.1 \\ 0.1 & 0.1 \end{bmatrix} - \begin{bmatrix} 0.5 & 0.5 \\ 0.5 & 0.5 \end{bmatrix} \\ &= \begin{bmatrix} 0.6 & -0.4 \\ -0.4 & 0.6 \end{bmatrix}\end{aligned}$$

گام ۳. با هسیان بهنگام شده و داده‌های دیگری که قبلًاً محاسبه شده، زیر مسئله QP معادله‌های (۶.۹۳) تا (۶.۹۵) به شکل زیر تعریف می‌شود. عبارت

$$-1.5d_1 - 1.5d_2 + 0.5(0.6d_1^2 - 0.8d_1d_2 + 0.6d_2^2)$$

را نسبت به قیود

$$0.5d_1 + 0.5d_2 \leq 0.25$$

$$-d_1 \leq 1.5, -d_2 \leq 1.5$$

مینیمم کنید. زیر مسئله QP محدب قطعی (اکید) است و یک جواب یگانه دارد. با استفاده از شرایط  $K-T$  جواب زیر مسئله QP به شکل زیر به دست می‌آید

$$\mathbf{d}^{(1)} = (0.25, 0.25), \quad \mathbf{u}^{(1)} = (2.9, 0, 0)$$

این جواب مانند جواب مثال ۱۱.۶ است. بنابراین گامهای باقی مانده محاسبات مشابهی دارند.

دیده می‌شود که در این مثال، وارد کردن هسیان تقریبی در چرخه دوم جهت جست و جو را تغییر نداد. در حالت کلی، جهتهای متفاوت و همگرایی بهتری خواهد داد.

#### ۶.۷.۴ نگرشی بر روشهای شبه نیوتن مقید

روشهای شبه نیوتن اخیراً تدوین شده‌اند. آنها به عنوان کاراترین و قابل اطمینان‌ترین روشهای شناخته شده اند که کاربردی عمومی دارند. شیتکوفسکی<sup>۱</sup> و همکارانش [۱۹۸۳ و ۱۹۸۱] این روشهای را در سطح وسیعی تحلیل و با استفاده از مجموعه‌ای از مسائل آزمایشی برنامه‌ریزی غیرخطی، آنها را در مقایسه با سایر روشهای ارزیابی نموده‌اند. نتایج آنها گویای این واقعیت است که روشهای شبه نیوتن نسبت به دیگر روشهای مزایای بسیاری دارند. لیم و آورا<sup>۲</sup>

[۱۹۸۶]، ثانه دار<sup>۱</sup> و دیگران [۱۹۸۶]، ثانه دار، آرورا، سنج، لیم و پارک<sup>۲</sup> [۱۹۸۷] و آرورا و سنج<sup>۳</sup> [۱۹۸۷a] روش‌های را برای دسته‌ای از مسائل طراحی مهندسی ارزیابی کرده‌اند. جبرئیل و بلترachi<sup>۴</sup> [۱۹۸۷] نیز جنبه‌های تکمیلی متعددی از الگوریتم تشدیرین کاهشی مقید (CSD) شبیچنی<sup>۵</sup> و از جمله بهنگام کردن شبه‌نیوتن هسیان لاگرانژین را مورد بحث قرار داده‌اند. به طور کلی این بحث‌ها حکایت از ممتاز بودن روش‌های شبه‌نیوتن دارد. بنابراین روش‌های شبه‌نیوتن برای کاربردهای عمومی طراحی مهندسی توصیه می‌شوند.

پیاده‌سازی و نصب عددی یک الگوریتم نوعی مهارت و هنر است. در یک نرم افزار باید ابزار و ویژگیهای: دقت، قدرت تشخیص و قضاوت، نگاهبانی از خود و سادگی کار با آن طراحی و در نظر گرفته شود. محاسبات عددی باید به طور مناسبی پیاده شوند. هرگام از الگوریتم باید تحلیل شده و روش‌های عددی مناسب برای آن تدوین شود تا مقصود از آن گام برآورده شود. عملکرد نرم افزار باید با حل مسائل متفاوت متعددی به طور مناسب ارزیابی گردد. جنبه‌های بسیاری از پیاده‌سازی و نصب عددی الگوریتمها توسط گیل<sup>۶</sup> و دیگران [۱۹۸۱] بحث شده است.

گامهای الگوریتم PLBA اخیراً تحلیل شده است [سنج و آرورا<sup>۷</sup>، ۱۹۸۸]. راهبردهای قید پتانسیل متفاوتی در نظر گرفته شده و ارزیابی گردیده‌اند. توابع کاهشی متعددی بحث شده‌اند. روش‌های جبران ناسازگاریها در زیر مسأله QP تدوین و ارزیابی شده‌اند. نتیجه این ارزیابیها و تکامل یافته‌ها در دسترس بودن الگوریتمی توانمند برای کاربردهای طراحی مهندسی است.

**۶.۷.۴.۱ توابع کاهشی** توابع کاهشی نقشی مهم در روش‌های شبه‌نیوتن مقید بازی می‌کنند. به این دلیل آنها را با اختصار بررسی خواهیم کرد. تابع کاهشی معادله (۶.۶۴) می‌تواند از تابع لاگرانژ مسأله که در معادله‌های (۱.۶) تا (۶.۳) تعریف شد، به دست آید:

$$L(\mathbf{x}) = f(\mathbf{x}) + \sum_{i=1}^p v_i h_i + \sum_{i=1}^m u_i g_i \quad (6.107)$$

- 
1. Thanedar
  3. Arora and Tseng
  5. Pshenichny
  7. Tseng and Arora

2. Thanedar, Arora, Tseng, Limand Park
4. Gebrielle and Beltracchi
6. Gill

که در آن  $\| \cdot \|$  ضرایب لاغرانژ قیود مساوی هستند که از نظر علامت آزادند و  $0 \leq u_i \leq v_i$  ضرایب لاغرانژ قیود نامساوی است. با استفاده از مقادیر مطلق  $|v_i|$ ،  $|u_i|$  می‌توانیم تابع کاهشی معادله (۶.۶۴) را از معادله (۶.۱۰۷) به شکل زیر به دست آوریم

$$\begin{aligned} L(\mathbf{x}) &\leq f(\mathbf{x}) + \sum_{i=1}^p |v_i h_i| + \sum_{i=1}^m u_i g_i \\ &\leq f(\mathbf{x}) + \left( \sum_{i=1}^p |v_i| + \sum_{i=1}^m u_i \right) V(\mathbf{x}) \\ &\leq f(\mathbf{x}) + RV = \Phi(\mathbf{x}) \end{aligned} \quad (6.108)$$

بنابراین تابع لاغرانژ حد پایین تابع کاهشی  $\Phi(\mathbf{x})$  معادله (۶.۶۴) است. توجه کنید که  $\Phi(\mathbf{x})$  مشتق پذیر نیست.

تابع کاهشی غیرمشتق پذیر دیگری توسط هان<sup>۱</sup> [۱۹۷۷] و پاول<sup>۲</sup> [۱۹۷۸] پیشنهاد شده است. این تابع را با  $\Phi_H$  نشان می‌دهیم و آن را در چرخه  $k$  ام به شکل زیر تعریف می‌کنیم:

$$\Phi_H = f(\mathbf{x}^{(k)}) + \sum_{i=1}^p r_i^{(k)} |h_i| + \sum_{i=1}^m \mu_i^{(k)} \max \{0, g_i\} \quad (6.109)$$

که در آن  $r_i^{(k)} \geq |v_i^{(k)}|$  پارامترهای جریمه برای قیود مساوی و  $\mu_i^{(k)} \geq u_i^{(k)}$  پارامترهای جریمه قیود نامساوی است. پارامترهای جریمه گاهی بسیار بزرگ می‌شوند، از این جهت پاول [۱۹۸۷]<sup>۳</sup> روشی را برای تنظیم آنها به شکل زیر پیشنهاد کرد:

$$r_i^{(0)} = |v_i^{(0)}|; \quad \mu_i^{(0)} = u_i^{(0)} \quad (6.110)$$

$$\begin{aligned} \text{چرخه‌های بعدی} : \quad r_i^{(k)} &= \max \{|v_i^{(k)}|, \frac{1}{2}(r_i^{(k-1)} + |v_i^{(k)}|)\} \\ \mu_i^{(k)} &= \max \{\mu_i^{(k)}, \frac{1}{2}(\mu_i^{(k-1)} + u_i^{(k)})\} \end{aligned} \quad (6.111)$$

شیتکوفسکی<sup>۴</sup> [۱۹۸۱] پیشنهاد کرده است که از تابع لاغرانژین افزایش یافته  $\Phi_A$  به عنوان تابع کاهشی استفاده شود:

$$\Phi_A = f(\mathbf{x}) + P_1(\mathbf{v}, \mathbf{h}) + P_2(\mathbf{u}, \mathbf{g}) \quad (6.112)$$

که در آن

1. Han

2. Powell

3. Chittkowski

$$P_1(\mathbf{v}, \mathbf{h}) = \sum_{i=1}^p (v_i h_i + \frac{1}{2} r_i h_i^2) \quad (6.113)$$

$$P_2(\mathbf{u}, \mathbf{g}) = \sum_{i=1}^m \begin{cases} (u_i g_i + \frac{1}{2} \mu_i g_i^2), & \text{if } (g_i + u_i/\mu_i) \geq 0 \\ \frac{1}{2} u_i^2 / \mu_i, & \text{در غیر این صورت} \end{cases} \quad (6.114)$$

و پارامترهای جریمه،  $r$  و  $\mu$  قبلاً در معادله‌های (۱۱۰.۶) و (۱۱۱.۶) تعریف شده‌اند. یکی از مزایای  $\Phi_A$  این است که تابع و گرادیان آن پیوسته‌اند.

#### ۶.۸۰ روش‌های دیگر

در مقالات مختلف، روش‌های دیگر و صورتهای متنوعی از آنها برای بهینه‌سازی مقید تدوین و ارزیابی شده‌اند. برای جزئیات بیشتر می‌شود به مراجع گیل و دیگران<sup>[۱]</sup>، لوئن برگر<sup>[۲]</sup> و رکلاتیس و دیگران<sup>[۳]</sup> [۱۹۸۳] رجوع کرد. در این بخش، با خصار پنداره‌های اصلی سه روش را که برای مسائل طراحی مهندسی با موفقیت به کار رفته‌اند بحث می‌کنیم.

#### ۶.۸۰.۱ روش جهتهای قابل قبول

روش جهتهای قابل قبول یکی از روش‌های قدیمی مقدماتی برای حل مسائل بهینه‌سازی مقید است. پنداره اصلی روش عبارت است از حرکت از یک طراحی قابل قبول به یک طراحی قابل قبول بهبود یافته. بنابراین، با داشتن طراحی قابل قبول  $x^{(k)}$ ، یک "جهت قابل قبول بهبود یافته"  $d^{(k)}$  طوری تعیین می‌شود که برای اندازه گام به اندازه کافی کوچک ( $\alpha > 0$ )، دو خاصیت زیر برآورده شوند (i) طراحی جدید،  $x^{(k+1)} = x^{(k)} + \alpha d^{(k)}$  قابل قبول باشد، و (ii) تابع هزینه جدید از تابع هزینه قدیمی کوچک‌تر باشد، یعنی  $f(x^{(k+1)}) < f(x^{(k)})$ . وقتی  $d^{(k)}$  مشخص شد، یک جستجوی خطی انجام می‌شود تا مشخص شود که چقدر می‌توان در اندازه  $d^{(k)}$  پیش رفت. این کار به یک طراحی قابل قبول جدید  $x^{(k+1)}$  می‌انجامد، و فرآیند از آن‌جا تکرار می‌شود.

روش براساس الگوریتم کلی تشریح شده در بخش ۶.۲.۱ قرار دارد که یافتن تغییرات طراحی به زیرمسائلهای تعیین جهت جستجو و اندازه گام تقسیم می‌شود. جهت با تعریف

1. Gill et al.

2. Luenberger

3. Reklaitis et al.

یک زیرمسأله که در نقطه قابل قبول فعلی خطی شده، تعیین می‌شود و اندازه گام طوری تعیین می‌شود که تابع هزینه علاوه بر کاهش قابل قبول بماند. چون از تقریب‌های خطی استفاده می‌شود، در ناحیه قابل قبول ماندن نسبت به قیود مساوی مشکل است. بنابراین، روش بیشتر برای مسائل مقید با قیدهای نامساوی به کار می‌رود. برای مواردی که قیود مساوی وجود دارند مراحلی به این روشها اضافه شده است. با این همه، ما فقط برای مسائل با قیدهای نامساوی روشی را تشریح خواهیم کرد.

اکنون یک زیرمسأله که جهت قابل قبول را در نقطه طراحی فعلی بهبود می‌بخشد تعریف می‌کنیم. یک جهت قابل قبول بهبود یافته جهتی است که تابع هزینه را کاهش داده و برای یک اندازه گام کوچک قطعاً قابل قبول باقی بماند. بنابراین یک جهت کاهشی برای تابع هزینه بوده و در همان حال نقطه اش در داخل ناحیه قابل قبول است. جهت قابل قبول بهبود یافته  $d$  شرایط  $0 < d^T \mathbf{a}^{(i)} \leq \beta$  را برابر آورده می‌کند که در آن  $\mathbf{d}$  مجموعه قید پتانسیل در نقطه فعلی است، همان طور که در معادله (۶.۱۲) تعریف شده است. جهت قابل قبول بهبود یافته می‌تواند با مینیمم کردن ماکریسم  $d^T \mathbf{c}'$  و  $d^T \mathbf{a}^{(i)}$  برای  $i \in I_k$  به دست آید. اگر این ماکریسم را با  $\beta$  نشان دهیم، زیرمسأله پیدا کردن جهت به شکل زیر تعریف می‌شود

$$\min_{\mathbf{d}} \beta \quad (6.115)$$

$$\mathbf{c}'^T \mathbf{d} \leq \beta \quad (6.116)$$

$$\mathbf{a}^{(i)^T} \mathbf{d} \leq \beta \quad i \in I_k \quad (6.117)$$

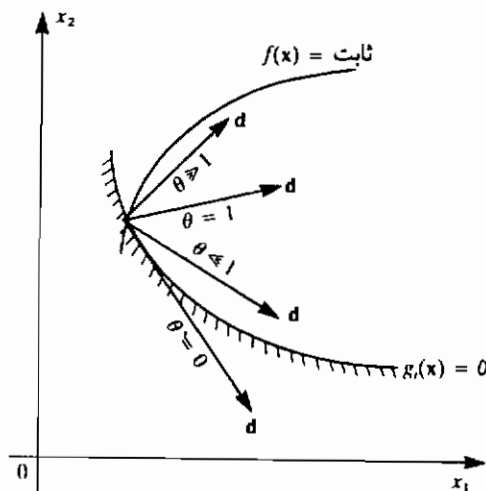
$$-1 \leq d_j \leq 1; \quad j = 1 \text{ to } n \quad (6.118)$$

نرمال سازی قید معادله (۶.۱۱۸) به این خاطر معرفی شده که یک جواب کران دار به دست آید. شکل‌های دیگر نرمال سازی قیود نیز می‌تواند به کار رود. فرض کنیم  $(\mathbf{d}, \beta)$  یک جواب بهین برای مسئله فوق باشد. اگر  $0 < \beta < \mathbf{b}$  باشد، آن گاه  $\mathbf{d}$  یک جهت قابل قبول بهبود یافته است. اگر  $\mathbf{b} = \mathbf{0}$  باشد، آن گاه نقطه طراحی فعلی شرایط لازم کان - تاکر را برابر آورده می‌کند.

الگوریتم‌های جست و جوی خطی متفاوت بسیاری وجود دارند که می‌شود برای به دست آوردن اندازه گام مناسب در جهت جست و جو به کار گرفته شوند. همچنین، برای تخمین یک جهت قابل قبول بهتر  $\mathbf{d}^k$ ، قیود معادله (۶.۱۱۷) می‌توانند به شکل  $\theta, \beta \leq d^k \leq \mathbf{a}^{(i)^T} \mathbf{d} \leq \theta, \beta$

یان شوند که در آن  $\theta > 0$  ضرایب "سوق دادن" هستند. هرچه  $\theta$  بزرگتر باشد، بردار جهت  $d$  به ناحیه قابل قبول بیشتر سوق داده می‌شود. دلیل معرفی  $\theta$  عبارت است از جلوگیری چرخه‌ها از برخورد مکرر به مرز قیود که همگرایی را آهسته می‌کند. شکل ۶.۱۸. اهمیت فیزیکی  $\theta$  را در زیر مسأله یافتن جهت نشان می‌دهد. آن شکل یک فضای طراحی دو متغیره را با یک قید فعال نشان می‌دهد. اگر  $\theta$  صفر در نظر گرفته شود، آن گاه طرف راست معادله  $(\alpha, \beta) = 0$  (شکل ۶.۱۷) صفر می‌شود. در این حالت جهت  $d$  تمايل به دنبال کردن قیود فعال دارد، یعنی به سطح قید مماس است. از طرف دیگر، اگر  $\theta$  خیلی بزرگ باشد، جهت  $d$  به دنبال کردن خطوط تابع هزینه تمايل دارد. بنابراین، مقدار کوچک  $\theta$  به جهتی که تابع هزینه را سرعت کاهش می‌دهد خواهد انجامید. با این‌همه به خاطر غیرخطی بودن ممکن است سطح قید مشابهی را دربر گیرد. مقادیر بزرگ  $\theta$  خطر این که قید مشابهی را مجدداً دربر گیرد کاهش خواهد داد، ولی تابع هزینه را با آن سرعت کاهش نخواهد داد. مقدار  $\theta = 1$  برای بیشتر مسائل به نتیجه قابل قبولی می‌انجامد.

معایب روش عبارتند از: (i) یک نقطه قابل قبول شروع مورد نیاز است. اگر این نقطه معلوم نباشد باید یک الگوریتم مخصوص برای یافتن چنین نقطه‌ای استفاده شود. و (ii) قیود مساوی را نمی‌شود باسانی اعمال کرد و روش‌های مخصوصی برای در نظر گرفتن آنها مورد نیاز است.



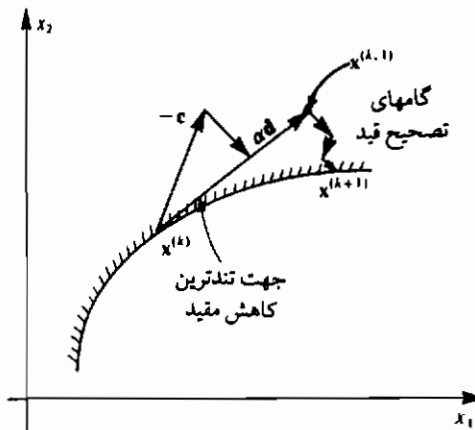
شکل ۶.۱۸ اثر ضریب سوق دهنی  $\theta$  روی جهت جستجوی  $d$  در روش جهت‌های قابل قبول.

## ۶.۸.۲ روش تصویر گرادیان

روش تصویر گرادیان توسط روزن<sup>۱</sup> در سال ۱۹۶۱ تدوین شد. درست مثل روش جهتهای قابل قبول، این روش نیز از اطلاعات درجه اول مسأله در نقطه فعلی استفاده می‌کند. روش جهتهای قابل قبول برای یافتن جهت جست و جو حل یک LP را در هر چرخه نیاز دارد. در بعضی از کاربردها این محاسبات می‌تواند پرهزینه باشد. بنابراین، روزن تصمیم گرفت روشی ارائه کند که به حل LP نیاز نداشته باشد. پندارهای این امکان وجود داشته تدوین کند که در آن بردار جهت بتواند بآسانی محاسبه شود، هرچند این امکان وجود داشته باشد که جهت به دست آمده به خوبی جهتی که از روش جهتهای قابل قبول به دست می‌آید، نباشد. بنابراین، در روش تصویر گرادیان، عبارتی صریح برای جهت جست و جو در دسترس است.

مراحل اساسی در روش تصویر گرادیان عبارت است از یک نقطه اوّلیه. اگر نقطه در داخل ناحیه قابل قبول باشد، جهت تندترین کاهش تابع هزینه به کار می‌رود تا به یک مرز قید برخورد شود. اگر نقطه شروع غیرقابل قبول است آن گاه گام تصحیح قید استفاده می‌شود تا به یک مجموعه قید برسد. وقتی نقطه روی مرز است، جهت که به سطح قید مماس است استفاده می‌شود تا طراحی را تغییر دهد. این جهت با تصویر کردن جهت تندترین کاهش تابع هزینه در امتداد صفحه مماس محاسبه می‌شود. این کار در بخش ۶.۶ جهت تندترین کاهش مقید (CSD) نامیده شد. در جهت منفی گرادیان تصویر شده گام برداشته می‌شود. چون جهت بر سطح قید مماس است، نقطه جدید غیرقابل قبول خواهد بود. بنابراین باید برای رسیدن به ناحیه قابل قبول چندین گام تصحیحی برداشته شود.

فرآیند چرخه‌ای روش تصویر گرادیان در شکل ۱۹.۶ تشریح شده است. در نقطه  $x^{(k)}$ -جهت تندترین کاهش و  $x^{(k)}$ -جهت منفی گرادیان تصویر شده (تندترین کاهش مقید) است. یک گام دلخواه نقطه  $x^{(k+1)}$  را به  $x^{(k)}$  می‌برد که از آن جا مراحل تصحیح قید برای رسیدن به نقطه قابل قبول  $x^{(k+1)}$  انجام می‌شود. با مقایسه روش تصویر گرادیان و تندترین کاهش مقید بخش ۶.۶، مشاهده می‌کنیم که در یک نقطه قابل قبول که بعضی از قیود فعلی هستند، هر دو روش جهات یکسانی دارند. تنها تفاوت در تعیین اندازه گام است.



شکل ۶.۱۹ گامهای روش تصویر گرادیان

فلسفه پنداهه روش تصویر گرادیان بسیار خوب است؛ یعنی جهت جست و جو بر احتی قابل محاسبه است، اگرچه ممکن است به خوبی جهت قابل قبول نباشد. با این همه، این روش از نظر محاسباتی به میزان زیادی غیرقابل اطمینان است. مشخص کردن اندازه گام اختیاری و فرآیند تصحیح قید بسیار طولانی و خسته کننده است. عیب جدی خسته کننده بودن همگرا کردن الگوریتم است. به عنوان مثال، هنگام انجام گامهای تصحیح قید، باید مطمئن بود که  $(x^{(k+1)}, f(x^{(k+1)}))$  است. اگر این شرط برآورده نشود و یا قیود تصحیح نشوند، آن گاه اندازه گام باید کاهش یافته و تمامی فرآیند تکرار شود. این کار می‌تواند بسیار طولانی، خسته کننده و ناکارا باشد. با وجود این عیب، این روش برای محدوده وسیعی از مسائل طراحی مهندسی با موفقیت بسیاری به کار رفته است [هاگ و آرورا<sup>۱</sup>، ۱۹۷۹]. علاوه بر این، صورتهای متفاوتی از این روش در مقالات بحث شده است [گیل و دیگران<sup>۲</sup>، ۱۹۸۱؛ لابرگر<sup>۳</sup>، ۱۹۸۴، بلگاندا و آرورا<sup>۴</sup>، ۱۹۸۵]. روش و صورتهای متفاوت آن برای نصب در یک محیط تعاملی بسیار مناسب هستند. ما در فصل (۷) روی این جنبه بحث خواهیم کرد.

1. Haug and Arora

2. Gill et al.

3. Luenberger

4. Bolegundu and Arora

## ۶.۸.۳ روش گرادیان کاهش یافته عمومی

در سال ۱۹۶۷، ولف<sup>۱</sup> روش گرادیان کاهش یافته را براساس روش ساده حذف متغیر برای مسائل با قيد مساوی تدوین کرد [عبادی<sup>۲</sup>، ۱۹۷۰]. روش گرادیان کاهش یافته عمومی (GRG) تعمیمی از روش گرادیان کاهش یافته برای در نظر گرفتن قیود نامساوی غیرخطی است. در این روش، یک جهت جست و جو یافت می شود، طوری که برای هر حرکت کوچکی قید فعلی همچنان فعلی بماند. اگر بعضی از قیود به دلیل غیرخطی بودن توابع آنها کاملاً برآورده نشوند، روش نیوتون-رافسون برای برگشتن به مرز قید استفاده می شود. بنابراین، روش GRG می تواند چیزی شبیه روش تصویر گرادیان تصور شود.

از آن جا که قیود نامساوی همیشه می توانند با اضافه کردن متغیرهای کمبود به قیود مساوی تبدیل شوند، می توانیم یک الگوی قیود مساوی NLP استفاده کنیم. همچنین می توانیم راهبرد قید پتانسیل را به کار بگیریم و همه قیود زیر مسئله را قید مساوی لحاظ کنیم. زیر مسئله یافتن جهت در روش GRG به طریق زیر می تواند تعریف شود [عبادی و کارپتر<sup>۳</sup>، ۱۹۶۹]: بردار متغیر اصلی  $x = [y^T, z^T]^T$  تقسیم می کنیم که  $y_{(n-p)}$  و  $z_{(p)}$  به ترتیب بردارهای مستقل و وابسته متغیرهای طراحی هستند. تغییرات مرتبه اول توابع هزینه و قید (که به عنوان مساوی در نظر گرفته شده اند) عبارت است از

$$\Delta f = \frac{\partial f^T}{\partial y} \Delta y + \frac{\partial f^T}{\partial z} \Delta z \quad (6.119)$$

$$\Delta h_i = \frac{\partial h_i^T}{\partial y} \Delta y + \frac{\partial h_i^T}{\partial z} \Delta z \quad (6.120)$$

چون با یک طراحی قابل قبول شروع کردیم، هر تغییری در متغیرها باید مساویهای فعلی را دست کم تا مرتبه اول برآورده کند؛ یعنی  $\Delta h_i = 0$ . بنابراین معادله (۶.۱۲۰) می تواند به شکل ماتریسی زیر نوشته شود

$$\Delta f = \left( \frac{\partial f^T}{\partial y} - \frac{\partial f^T}{\partial z} B^{-T} A^T \right) \Delta y \quad (6.121)$$

که در آن ستونهای ماتریسهای  $A_{(n-p) \times p}$  و  $B_{(n-p) \times p}$  به ترتیب گرادیانهای قیود مساوی نسبت به  $y$  و  $z$  هستند. معادله (۶.۱۲۱) را می توان به عنوان معادله ای که با معلوم بودن  $\Delta y$  (تغییر متغیر

مستقل)  $\Delta z$  (تغییر متغیر وابسته) را می دهد، در نظر گرفت. با جای گزینی  $\Delta z$  از معادله (۶.۱۲۱) در معادله (۶.۱۱۹) می توانیم  $df/dy$  را تعیین کیم

$$\frac{df}{dy} = \frac{\partial f}{\partial y} - \mathbf{A}\mathbf{B}^{-1} \frac{\partial f}{\partial z}$$

با

$$\mathbf{A}^T \Delta y + \mathbf{B}^T \Delta z = 0, \quad \text{با} \quad \Delta z = -(\mathbf{B}^{-T} \mathbf{A}^T) \Delta y \quad (6.122)$$

این عموماً به عنوان گرادیان کاهش یافته عمومی شناخته می شود و می توان آن را به عنوان گرادیان یکتابع نامقید در نظر گرفت.

در جست وجوی خطی، تابع هزینه به عنوان تابع کاهشی لحاظ می شود. برای مقدار آزمایشی  $\alpha$ ، متغیرهای طراحی با استفاده از  $\Delta y = -\alpha df/dy$  و  $\Delta z$  از رابطه (۶.۱۲۱) بهنگام می شوند. اگر طراحی آزمایشی قابل قبول نباشد، آن گاه متغیرهای طراحی مستقل را ثابت نگاه داشته و متغیرهای وابسته را در طی چند تکرار و با اعمال روش نیوتن-رافسون (NR) (معادله (۶.۱۲۱)) تغییر می دهیم تا یک نقطه طراحی قابل قبول به دست آوریم. اگر طراحی قابل قبول جدید شرط کاهشی را برآورده کند، آن گاه جست وجوی خطی قطع می شود؛ در غیر این صورت، اندازه گام آزمایشی قبلی کنار گذاشته می شود و روش با یک اندازه گام کاهش یافته تکرار می شود. مشاهده می گردد که اگر در رابطه (۶.۱۲۲)،  $df/dy = 0$  باشد، شرایط کان-تاکر بهینگی برای مسئله NLP اصلی برآورده می شوند.

مشکل اصلی محاسباتی در الگوریتم GRG در چرخه های نیوتن-رافسون (NR) هنگام جست وجوی خطی اتفاق می افتد. به عبارت روشنتر، گرادیان قیود باید مجدداً محاسبه شوند و هنگام جست وجوی خطی جاکوبین ماتریس  $B$  باید در هر چرخه NR وارون شود. این کارها هزینه سنگینی دارند. تاکنون طرحهای عددی کارائی پیشنهاد شده است: به عنوان مثال، استفاده از رابطه شبه نیوتن برای بهنگام کردن  $B$  بدون محاسبه مجدد گرادیانها، و تنها با استفاده از مقادیر توابع قیود. اگر مجموعه متغیرهای مستقل در هر چرخه تغییر یابند این کار می تواند مشکلاتی به بار آورد. مشکل دیگر انتخاب یک نقطه شروع قابل قبول است. برای شروع از نقاط اختیاری باید از الگوریتمهای ویژه ای استفاده گردد، مانند آنچه در روش جهتهای قابل قبول استفاده شد.

در شایستگی و ناشایستگی روش گرادیان کاهش یافته در مقالات مختلف، نظریات روشنی وجود ندارد. به عنوان مثال، افرادی ممتاز بودن این روش نسبت به روش تصویر گرادیان را ادعای کرده اند در حالی که توسط سارجینت<sup>[۱۹۷۴]</sup> این دو مشابه و اثمند شده اند. سر در گمی وقتی پیش می آید که روش گرادیان کاهش یافته را برای حل مسائل نامقید به کار می برمی؛ بعضی از الگوریتمها قیود نامساوی را با اضافه کردن متغیرهای کمبود نامنفی به قیود مساوی تبدیل می کنند، در حالی که بعضی دیگر راهبرد قید پتانسیل را بر می گزینند. اگر یک راهبرد قید پتانسیل استفاده شود، روش گرادیان کاهش یافته در حقیقت مانند روش تصویر گرادیان است [بلگاندا و آرورا<sup>۱۹۸۵</sup>]. از طرف دیگر، اگر قیود نامساوی به مساوی تبدیل شوند، عملکرد آن با روش تصویر گرادیان بسیار متفاوت می شود. متأسفانه، مسئله قیود نامساوی در بیشتر کاربردهای مهندسی باید با استفاده از راهبرد قید پتانسیل حل شوند، زیرا اضافه کردن متغیرهای کمبود به نامساویها، فعال بودن همه قیود را در هر چرخه ایجاب می کند که در این صورت باید مشتق گیری شوند. در کاربردهای بسیار بزرگ این کار به دلیل محاسبات حجمی و ذخیره اطلاعاتی که باید انجام پذیرد، عملی نیست. بنابراین، همان طور که بلگاندا و آرورا<sup>[۱۹۸۵]</sup> ابراز کرده اند، تفاوت قائل شدن بین روشهای تصویر گرادیان و گرادیان کاهش یافته در حل بسیاری از مسائل بهینه سازی مهندسی لازم نیست.

## تمرینهای فصل ۶

### بخش ۶.۲ مفاهیم و پندارهای اساسی

#### ۱. با کلمه صحیح یا غلط پاسخ دهد.

۱. اساس فلسفه چرخه عددی برای حل مسائل مقید و نامقید مشابه است.
۲. تعیین اندازه گام در مسائل نامقید مسئله ای یک بعدی است.
۳. برای مسائل مقید، تعیین اندازه گام یک مسئله چند بعدی است.
۴. اگر  $0 > {}^{(1)}x_i g_i$  باشد، قید نامساوی  $0 \leq {}^{(1)}x_i g_i$  در  ${}^{(1)}x$  نقض می شود.
۵. اگر  $0 > {}^{(1)}x_i g_i$  باشد، قید نامساوی  $0 \leq {}^{(1)}x_i g_i$  در  ${}^{(1)}x$  فعال است.

۶. اگر  $0 > (x^{(k)})_{i,j}$  باشد، قید مساوی  $0 = (x^{(k)})_{i,j}$  در  $x^{(k)}$  نقض می شود.
۷. در بهین یک قید مساوی همیشه فعال است.
۸. در بررسی قیود فعال نرمال سازی قیود مفید است.
۹. راهبرد قید پتانسیل یعنی فقط یک زیرمجموعه از قیود در زیرمسئله یافتن جهت استفاده می شود.
۱۰. در مسائل بهینه سازی مقید، جهت جست و جو تنها با استفاده از گرادیان هزینه به دست می آید.
۱۱. در مسائل بهینه سازی مقید، جهت جست و جو تنها با استفاده از گرادیانهای قیود به دست می آید.
۱۲. در مسائل مقید، برای محاسبه جهت جست و جو از تابع کاهاشی استفاده می شود.
۱۳. در مسائل مقید، برای محاسبه یک نقطه قابل قبول از تابع کاهاشی استفاده می شود.
۱۴. در مسائل مقید، تابع هزینه می تواند به عنوان یک تابع کاهاشی مورد استفاده قرار گیرد.
۱۵. برای همگرایی الگوریتمها، روی یک تابع کاهاشی، جست و جوی یک بعدی باید انجام پذیرد.
۱۶. یک الگوریتم توانمند همگرایی را تضمین می کند.
۱۷. مجموعه قید باید محدود و کران دار باشد تا همگرایی الگوریتمها را تضمین کند.
۱۸. الگوریتمها کارا از راهبرد قید پتانسیل استفاده می کنند.
۱۹. قید  $-2 \leq x_1 + x_2 \leq 1.0$  می تواند به شکل  $(-2)/(x_1 + x_2) \leq 1.0$  نرمال شود.
۲۰. قید  $9 \leq x_1^2 + x_2^2 \leq 3$  در  $x_1$  و  $x_2$  فعال است.

### بخش ۶.۳ خطی سازی مسائل مقید

#### ۶.۲ با کلمه صحیح با غلط پاسخ دهید

۱. خطی سازی تابع هزینه و قید گامی اساسی در حل مسائل بهینه سازی غیرخطی است.
۲. مسائل مقید عمومی نمی توانند با حل یک رشته از زیرمسائل برنامه ریزی خطی حل شوند.
۳. به طور کلی، زیرمسئله خطی شده بدون حدود حرکت، ممکن است بدون کران باشد.
۴. همگرایی روش برنامه ریزی خطی دنباله ای برای مسائل مقید عمومی تضمین شده است.
۵. حدود حرکت در روش برنامه ریزی خطی دنباله ای ضروری است.

۶. در الگوریتم برنامه ریزی خطی دنباله‌ای قیود مساری می‌توانند لحاظ شوند.

در مسائل زیر، در نقاط داده شده یک تقریب خطی ساخته و آن را روی ترسیمه مسئله اصلی نشان دهید:

### ۶.۳ مسئله طراحی تیر بخش ۲.۸.۵ را در نظر بگیرید: تابع

$$f(b, d) = bd$$

را نسبت به قیود

$$g_1 = \frac{(2.40E+08)}{bd^2} - 10 \leq 0$$

$$g_2 = \frac{(2.25E+05)}{bd} - 2 \leq 0$$

$$g_3 = d - 2b \leq 0$$

$$10 \leq b \leq 1000; \quad 10 \leq d \leq 1000$$

مینیمم کنید. در روابط بالا، «عرض و»، ضخامت تیر است (برحسب میلی متر). یک تقریب خطی برای مسئله در نقطه (250, 300) میلی متر بسازید. زیر مسئله خطی شده و مسئله اصلی را روی یک کاغذ ترسیم رسم کنید.

۶.۴ یک مسئله طراحی پایه تابلو با مینیمم جرم در بخش ۲.۶.۷ رابطه سازی شد که عبارت بود از یافتن شعاع متوسط  $R$  و ضخامت  $t$  برای مینیمم شدن

$$\text{جرم} = 2\rho l\pi R t$$

مشروط به قید تنش

$$\frac{P}{2\pi R t} \leq \sigma_s$$

و قید بار کمانش

$$P \leq \frac{\pi^3 E R^3 t}{4l^2}$$

و محدودیتهای ساده روی متغیرهای طراحی به شکل زیر

$$5 \leq R \leq 100 \text{ cm}; \quad 0.5 \leq t \leq 5 \text{ cm}$$

فرض کنید  $\sigma_s = 250 \text{ MPa}$  ،  $l = 500 \text{ cm}$  ،  $E = 210 \text{ GPa}$  ،  $P = 50 \text{ kN}$  و

۶.۴ در نقطه  $R = 12 \text{ cm}$  و  $\rho = 7850 \text{ kg/m}^3$  برای مسأله یک تقریب خطی بسازید.

- یک مسأله پایه دیواری با حجم مینیمم در بخش ۳.۸.۱ رابطه سازی شد که عبارت بود از یافتن مساحت سطح مقطع  $A_1$  و  $A_2$  (cm<sup>2</sup>) برای مینیمم ساخن
- $$\text{عبارت بود از یافتن مساحت سطح مقطع } A_1 \text{ و } A_2 \text{ (cm}^2\text{) برای مینیمم ساخن}$$
- $$50A_1 + 40A_2 = \text{حجم}$$

مشروط به قیود تش

$$\frac{125}{A_1} - 1 \leq 0$$

$$\frac{100}{A_2} - 1 \leq 0$$

و قید ناممکن بودن متغیرهای طراحی

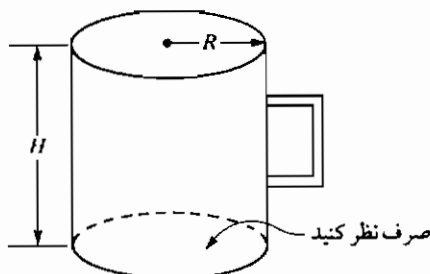
$$-A_1 \leq 0; \quad -A_2 \leq 0$$

در نقطه  $150 \text{ cm}^2 = A_1 = A_2 = 150 \text{ cm}^2$  برای مسأله یک تقریب خطی بسازید.

- زیرمسأله خطی شده و مسأله اصلی را روی یک کاغذ ترسیم رسم کنید.
- برای ساختن یک ساختمان اداری چند طبقه یک زمین  $100 \times 100$  در دست است.
- حدائق مساحت مورد نیاز در تمامی طبقات  $20000 \text{ m}^2$  است. براساس دستورالعمل منطقه‌ای، ارتفاع ساختمان حداقل می‌تواند  $21$  متر باشد و مساحت توپگاه بیرون ساختمان باید دست کم  $25\%$  مساحت تمامی طبقات باشد. تصمیم براین است که ارتفاع هر طبقه حداقل  $3.5$  متر باشد. هزینه ساخت بر حسب میلیون دلار ( $0.6h + 0.001A$ ) تخمین زده می‌شود که در آن  $A$  مساحت سطح مقطع ساختمان در هر طبقه و  $h$  ارتفاع ساختمان است. مسأله طراحی کمترین هزینه را رابطه سازی کرده (مانند تمرین ۲.۱) و آن را به شکل نرم‌افزار دستاری تبدیل کنید و در نقطه  $12$ ،  $A = 4000$  یک تقریب خطی بسازید. زیرمسأله خطی شده و مسأله اصلی را روی یک کاغذ ترسیم رسم کنید.

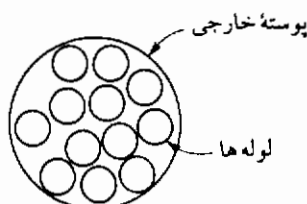
- لیوان نوشابه‌ای را که در شکل ۷.E۶ نشان داده شده طوری طراحی کنید که ظرفیت آن ماقزیم باشد (مانند تمرین ۲.۳). ارتفاع و شعاع لیوان باید بیشتر از  $20$  سانتی متر باشد. شعاع لیوان باید حداقل  $5$  سانتی متر باشد. مساحت سطح جانبی

نباشد بیشتر از  $900$  سانتی متر مربع باشد (از مساحت کف و دسته لیوان صرف نظر کنید). مسأله طراحی بهین را رابطه سازی کرده، آن را به شکل نرمال استاندارد تبدیل کنید؛ و در نقطه شعاع  $= 6$  سانتی متر و ارتفاع  $= 15$  سانتی متر یک تقریب خطی بسازید. زیرمسأله خطی شده و مسأله اصلی را روی یک کاغذ ترسیم رسم کنید.



شکل ۷. لیوان نوشابه

۶.۸ کارخانه‌ای برای افزایش سطح انتقال حرارت مبدل‌های پوسته و لوله به طول اتولیدی خود آنها را مجددآ طراحی می‌کند. یک دید از مقطع آن در شکل ۸ نشان داده شده است. محدودیتهای مشخصی در مسأله طراحی وجود دارد. حداقل شعاع لوله‌های در دسترس  $0.5\text{ cm}$  بوده و همه آنها باید از یک اندازه باشند. به علاوه، مساحت سطح مقطع تمامی لوله باید از  $2000$  سانتی متر مربع تجاوز کند، زیرا باید فضای مناسب در داخل پوسته بیرونی وجود داشته باشد. برای ماکزیمم شدن سطح تبادل حرارت و به دست آوردن تعداد لوله‌ها و شعاع هر لوله مسأله را رابطه سازی کنید (مانند تمرین ۲.۴). مسأله را به شکل نرمال استاندارد تبدیل کرده و در نقطه شعاع  $= 2$  و تعداد لوله  $= 100$  تقریب خطی بسازید. زیرمسأله خطی شده و مسأله اصلی را روی یک کاغذ ترسیم رسم کنید.



شکل ۸. سطح مقطع یک مبدل پوسته و لوله

۶.۹ بعد از برنده شدن در یک منافقه برای ساختن یک توقفگاه، تصمیم گرفتیم که در منطقه بازسازی شده مرکز شهر یک توقفگاه بسازیم. قیمت زمین  $200W + 100D$  است که در آن  $W$  پهنازی زمین در امتداد خیابان و  $D$  طول آن بر حسب متر می باشد.

پهنازی در امتداد خیابان  $100$  متر و بیشترین طول در دسترس  $200$  متر است. می خواهیم مساحت زمین حداقل  $10000$  متر مربع باشد. برای خوش منظر بودن، شهرداری اجازه نمی دهد که طول زمین بیشتر از دو برابر عرض آن باشد. مسأله طراحی را برای مینیمم شدن هزینه رابطه سازی کرده (مانند تمرین ۲.۵)، آن را به شکل نرمال استاندارد تبدیل کنید؛ و در نقطه  $100 = W$  و  $100 = D$  یک تقریب خطی بسازید. زیر مسأله خطی شده و مسأله اصلی را روی یک کاغذ ترسیم رسم کنید.

۶.۱۰ یک قوطی نوشابه سر باز طراحی کنید که  $600$  سانتی متر مکعب گنجایش داشته باشد و مساحت ورق فلزی به کار رفته در آن حداقل باشد. این قوطی استوانه ای به ارتفاع داخلی  $= h$ ، و شعاع  $= r$  است. نسبت ارتفاع به قطر باید کمتر از  $1.0$  و بیشتر از  $1.5$  باشد. ارتفاع باید از  $20$  سانتی متر بیشتر شود. مسأله بهینه سازی طراحی را رابطه سازی کرده (مانند تمرین ۲.۹)، آن را به شکل نرمال استاندارد تبدیل کنید؛ و در نقطه  $6 = r$ ،  $16 = h$  یک تقریب خطی بسازید. زیر مسأله خطی شده و مسأله اصلی را روی یک کاغذ ترسیم رسم کنید.

۶.۱۱ یک کانتینر حمل و نقل را با ابعاد  $b \times b \times h$  برای مینیمم شدن نسبت زیر طراحی کنید: (هزینه حمل بار برای رفت)/(هزینه رفت و برگشت کانتینر به تنهایی). از داده های زیر استفاده کنید:

$$\text{سطح/ جرم کانتینر} : 80 \text{ kg/cm}^2$$

$$\text{ماکزیمم مقدار } b : 10 \text{ m}$$

$$\text{ماکزیمم مقدار } h : 18 \text{ m}$$

$$\text{جرم خالص } \$18/\text{kg} : \text{هزینه رفت، بر یا خالی}$$

$$150 \text{ kg/m}^3 : \text{جرم بار}$$

مسأله بهینه سازی طراحی را رابطه سازی کرده (مانند تمرین ۲.۱۰)، آن را به شکل نرمال استاندارد تبدیل کنید؛ و در نقطه  $5 = b$  و  $10 = h$  یک تقریب خطی بسازید. زیر مسأله خطی شده و مسأله اصلی را روی یک کاغذ ترسیم رسم کنید.

۶.۱۲ برای عملیات استخراج معدن یک واگن مکعب مستطیل روباز برای حمل مواد نیاز است. داده های مسأله عبارتند از :

هزینه ساخت

بدنه ها : \$50/m<sup>2</sup>

دو انتهای : \$60/m<sup>2</sup>

کف : \$90/m<sup>2</sup>

قیمت بیمه : ۲۵٪ هزینه ساخت

عمر مفید : ۲۰ سال

نگهداری سالیانه : سطح خارجی \$12/m<sup>2</sup>

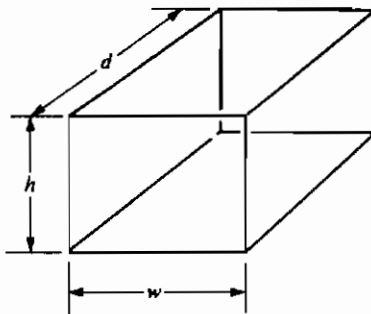
حداصل حجم موردنیاز : 150 m<sup>3</sup>

نرخ بهره : ۱۲٪ در سال

مسأله به دست آوردن ابعاد کانتینر را برای مینیمم شدن هزینه رابطه سازی کنید (مانند تمرین ۱۱.۲). مسأله را به شکل نرمال استاندارد تبدیل کرده و در نقطه عرض = ۵، طول = ۵ و ارتفاع = ۵ یک تقریب خطی بسازید.

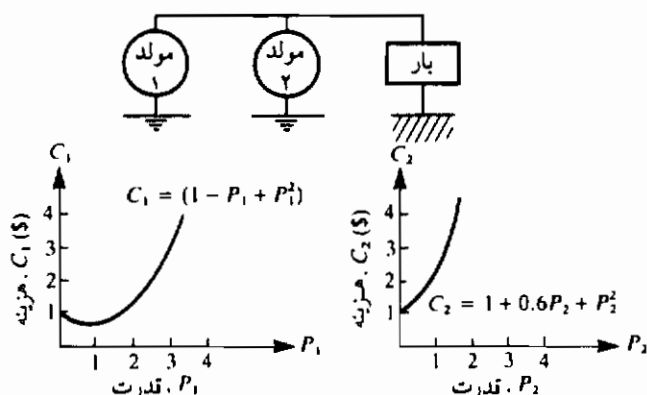
۶.۱۳ مخزن استوانه ای شکلی طراحی کنید که دو طرف آن بسته و حجم آن ۱۵۰ m<sup>3</sup> باشد. هزینه ساخت متناسب با مساحت ورق مصرفی و برابر ۴۰۰ دلار در متر مربع است. قرار است مخزن در اتباری که سقف آن شبی دار است گذاشته شود. بنابراین ارتفاع  $H$  مخزن با رابطه  $\frac{D}{2} - 10 \leq H \leq 10$  محدود می شود که در آن  $D$  قطر مخزن است. مسأله طراحی مینیمم کردن هزینه رابطه سازی کنید (مانند تمرین ۲.۱۲). مسأله را به شکل نرمال استاندارد تبدیل کرده و در نقطه  $H = 8$  و  $D = 4$  یک تقریب خطی بسازید. زیر مسأله خطی شده و مسأله اصلی را روی یک کاغذ ترسیم رسم کنید.

۶.۱۴ قاب فولادی نشان داده شده در شکل ۱۴.E۶ را طوری طراحی کنید که هزینه آن مینیمم گردد. هزینه عضوهای افقی در یک بعد  $w = \$20$  و در بعد دیگر  $\$30d$  است. هزینه ستونهای عمودی  $\$50h$  است. قاب باید حداصل  $600 m^3$  حجم را پوشاند. مسأله بهینه سازی طراحی را رابطه سازی کرده (مانند تمرین ۱۳.۲) و آن را به شکل نرمال استاندارد تبدیل کنید. در نقطه  $10 = w = d$  و  $h = 4$  یک تقریب خطی بسازید.



شکل E6.14 قاب فولادی

۶. ۱۵ دو مولد الکتریکی به هم متصل شده اند تا قدرت کلی مورد نیاز بار را تولید کنند. هزینه هر مولد تابعی از قدرت خروجی آن است، همچنان که در شکل E6. ۱۵ نشان داده شده است. تمامی هزینه ها و قدرتها بر اساس یک واحد بیان شده است. قدرت مورد نیاز حداقل ۶۰ واحد می باشد. مسأله طراحی را برای مینیمم شدن هزینه رابطه سازی کرده (مانند تمرین ۱۴. ۲۰)، آن را به شکل نرمال استاندارد تبدیل کنید؛ و در نقطه  $P_1 = P_2 = 1$  یک تقریب خطی بسازید. زیرمسأله خطی شده و مسأله اصلی را روی یک کاغذ ترسیم رسم کنید.



شکل E6.15 مولد برق

### بخش ۶.۴ الگوریتم برنامه ریزی خطی دنباله‌ای

برای مسائل زیر دو چرخه از الگوریتم برنامه ریزی خطی دنباله‌ای را کامل کنید (حدود حرکت را ۵۰٪ بگیرید و در صورت لزوم آن را تنظیم کنید) :

۶.۱۷	تمرین	۶.۳	تمرین
۶.۱۹	تمرین	۶.۵	تمرین
۶.۲۱	تمرین	۶.۷	تمرین
۶.۲۳	تمرین	۶.۹	تمرین
۶.۲۵	تمرین	۶.۱۱	تمرین
۶.۲۷	تمرین	۶.۱۳	تمرین
۶.۲۸	تمرین	۶.۱۵	تمرین

### بخش ۶.۵ زیرمسئله برنامه ریزی درجه دو

مسئل P زیر را با استفاده از روش سیمپلکس توسعه یافته حل کنید :

$f(\mathbf{x}) = (x_1 - 3)^2 + (x_2 - 3)^2$	تابع	۶.۲۹	
$x_1 + x_2 \leq 5$	رانت به قیود		
$x_1, x_2 \geq 0$	مبهم کنید.		
$f(\mathbf{x}) = (x_1 - 1)^2 + (x_2 - 1)^2$	تابع	۶.۳۰	
$x_1 + 2x_2 \leq 6$	رانت به قیود		
$x_1, x_2 \geq 0$	مبهم کنید.		
$f(\mathbf{x}) = (x_1 - 1)^2 + (x_2 - 1)^2$	تابع	۶.۳۱	
$x_1 + 2x_2 \leq 2$	رانت به قیود		
$x_1, x_2 \geq 0$	مبهم کنید.		
$f(\mathbf{x}) = x_1^2 + x_2^2 - x_1x_2 - 3x_1$	تابع	۶.۳۲	
$x_1 + x_2 \leq 3$	رانت به قیود		
$x_1, x_2 \geq 0$	مبهم کنید.		
$f(\mathbf{x}) = (x_1 - 1)^2 + (x_2 - 1)^2 - 2x_2 + 2$	تابع	۶.۳۳	

$x_1 + x_2 \leq 4$	رانت به قیود
$x_1, x_2 \geq 0$	بنیم کند.
$f(x) = 4x_1^2 + 3x_2^2 - 5x_1x_2 - 8x_1$	۶.۳۴ تابع
$x_1 + x_2 = 4$	رانت به قیود
$x_1, x_2 \geq 0$	بنیم کند.
$f(x) = x_1^2 + x_2^2 - 2x_1 - 2x_2$	۶.۳۵ تابع
$x_1 + x_2 - 4 = 0$	رانت به قیود
$x_1 - x_2 - 2 = 0$	بنیم کند.
$x_1, x_2 \geq 0$	۶.۳۶ تابع
$f(x) = 4x_1^2 + 3x_2^2 - 5x_1x_2 - 8x_1$	رانت به قیود
$x_1 + x_2 \leq 4$	بنیم کند.
$x_1, x_2 \geq 0$	۶.۳۷ تابع
$f(x) = x_1^2 + x_2^2 - 4x_1 - 2x_2$	رانت به قیود
$x_1 + x_2 \geq 4$	بنیم کند.
$x_1, x_2 \geq 0$	۶.۳۸ تابع
$f(x) = 2x_1^2 - 6x_1x_2 + 9x_2^2 - 18x_1 + 9x_2$	رانت به قیود
$x_1 - 2x_2 \leq 10$	بنیم کند.
$4x_1 - 3x_2 \leq 20$	۶.۳۹ تابع
$x_1, x_2 \geq 0$	رانت به قیود
$f(x) = x_1^2 + x_2^2 - 2x_1 - 2x_2$	بنیم کند.
$x_1 + x_2 - 4 \leq 0$	۶.۴۰ تابع
$2 - x_1 \leq 0$	رانت به قیود
$x_1, x_2 \geq 0$	بنیم کند.
$f(x) = 2x_1^2 + 2x_2^2 + x_3^2 + 2x_1x_2 - x_1x_3 - 0.8x_2x_3$	رانت به قیود
$1.3x_1 + 1.2x_2 + 1.1x_3 \geq 1.15$	بنیم کند.
$x_1 + x_2 + x_3 = 1$	
$x_1 \leq 0.7$	
$x_2 \leq 0.7$	
$x_3 \leq 0.7$	
$x_1, x_2, x_3 \geq 0$	

در تمرینهای زیر، زیرمسئله برنامه ریزی خطی و درجه دورا بیابید و آنها را روی یک کاغذ ترسیم رسم کنید. جهت جست و جو را برای زیرمسئله یافته و آنها را روی ترسیم مسئله اصلی نشان دهید.

۶.۴۱	تمرین ۶.۳
۶.۴۲	تمرین ۶.۴
۶.۴۳	تمرین ۶.۵
۶.۴۴	تمرین ۶.۶
۶.۴۵	تمرین ۶.۷
۶.۴۶	تمرین ۶.۸
۶.۴۷	تمرین ۶.۹
۶.۴۸	تمرین ۶.۱۰
۶.۴۹	تمرین ۶.۱۱
۶.۵۰	تمرین ۶.۱۲
۶.۵۱	تمرین ۶.۱۳
۶.۵۲	تمرین ۶.۱۴
۶.۵۳	تمرین ۶.۱۵

#### بغض ۶.۶ روش تندترین کاهش مقید

##### ۶.۵۴ با کلمه صحیح یا غلط پاسخ دهید

۱. وقتی قیود فعال وجود دارند اساس روش تندترین کاهش مقید (CSD) برای جهت جست و جو، استفاده از گرادیان تابع هزینه است.
۲. روش تندترین کاهش مقید دو زیرمسئله را حل می کند: تعیین جهت جست و جو و اندازه گام.
۳. در روش CSD تابع هزینه به عنوان تابع کاهشی استفاده می شود.
۴. زیرمسئله QP در روش CSD محدب قطعی است.
۵. برای زیرمسئله QP در روش CSD اگر جهت جست و جوی موجود باشد یگانه است.
۶. در روش CSD نقض قید در تعیین اندازه گام نقش ایفا نمی کند.
۷. در روش CSD ضرایب لاگرانژ زیرمسئله در تعیین اندازه گام نقش دارند.
۸. هنگام جست و جوی خطی در روش CSD مقدار قید باید محاسبه شوند.
۹. در روش CSD جست و جوی خطی غیردقیق استفاده می شود.
۱۰. در روش CSD راهبرد قید پتانسیل می تواند استفاده گردد.

برای مسائل زیر، دو چرخه از روش تندترین کاهش مقید را برای نقطه شروع داده شده کامل

کنید (فرض کنید  $A = R_0$  و  $\gamma = 0.5$ ) :

۶.۵۶	تمرین ۴	۶.۳	تمرین ۵
۶.۵۸	تمرین ۶	۶.۵	تمرین ۷
۶.۶۰	تمرین ۸	۶.۷	تمرین ۹
۶.۶۲	تمرین ۱۰	۶.۹	تمرین ۱۱
۶.۶۴	تمرین ۱۲	۶.۱۱	تمرین ۱۳
۶.۶۶	تمرین ۱۴	۶.۱۳	تمرین ۱۵
		۶.۱۵	

#### بخش ۶.۷ روش‌های شبه نیوتن محدود

برای مسائل زیر، دو چرخه از روش شبه نیوتن را کامل کرده و جهت‌های جست و جور را با جهت‌هایی که از الگوریتم CSD به دست آمده مقایسه کنید (توجه کنید که اولین چرخه برای هر دو روش یکسان است؛ فرض کنید  $A = R_0$  و  $\gamma = 0.5$ ) :

۶.۶۹	تمرین ۴	۶.۳	تمرین ۶
۶.۷۱	تمرین ۶	۶.۵	تمرین ۷
۶.۷۳	تمرین ۸	۶.۷	تمرین ۹
۶.۷۵	تمرین ۱۰	۶.۹	تمرین ۱۱
۶.۷۷	تمرین ۱۲	۶.۱۱	تمرین ۱۳
۶.۷۹	تمرین ۱۴	۶.۱۳	تمرین ۱۵
		۶.۱۵	



## فصل هفتم

### بهینه سازی طراحی تعاملی

#### ۷.۱ مقدمه

روشهای بهینه سازی، به تعبیری، جنبه‌های آزمون و خطای خسته کننده فرآیند طراحی را خودکار می‌کنند؛ بنابراین به مهندس اجازه تمرکز بیشتر روی جنبه‌های خلاقیت و نوآوری می‌دهد. روش‌های بهینه سازی با جمع بین سرعت رایانه و الگوریتمهای محاسباتی طراحی‌های را به روشی نظام مند به وجود می‌آورند که بازده بالایی داشته (نه فقط قانع کننده باشد) و در دنیای پر رقابت امروزی مورد نیاز هستند. روش‌های بهینه سازی تقریباً در هر موقعیت طراحی مهندسی می‌توانند به کار روند، مانند طراحی بدنه هواپیماها، ساختمانها، سازه‌های مربوط به خودرو، اجزای موتور، مبدل‌های حرارتی، توسعه زمینها، پروژه‌های استحصال آب، فرآیندهای شیمی، مدارهای الکترونیک و بسیاری دیگر.

بیشتر روش‌های عددی بهینه سازی طراحی شامل محاسبات تکراری قابل توجهی هستند. این روش‌ها باید به نرم افزارهای رایانه‌ای تبدیل شوند. عملکرد و توانمندی روش‌ها از خطاهای گرد کردن و قطع کردن تأثیر می‌پذیرد. بیشتر الگوریتمهای بهینه سازی فقط تا حد خاصی همگرا هستند، یعنی الگوریتمی که برای مسائل بهینه سازی عمومی در تعداد محدودی چرخه همگرا شود وجود ندارد. به علاوه، آنها در گامهای محاسباتی یکنواخت نیستند، زیرا یک الگوریتم می‌تواند بسته به دانش، تجربه و اولویت‌های برنامه نویس به روش‌هایی متفاوت نصب و اجرا

گردد. مشکل آفرین تر این که وقتی یک نرم افزار روی دورایانه نصب می شود و یا هنگامی که مترجمهای متفاوتی در یک رایانه به کار گرفته می شوند، عملکرد نرم افزار ممکن است تغییر کند. تمامی این مشکلات و نبود یکنراختی بر ضرورت کنترل عملکرد یک الگوریتم و تعامل با آن در کاربردهای عملی دلالت می کند.

به منظور کنترل پیشرفت فرآیند طراحی بهین، به نرم افزارها و ساخت افزارهای مناسب نیاز است. نرم افزار باید ابزار تعاملی مناسب را برای طراح فراهم کند تا او بتواند در صورت نیاز فرآیند طراحی را تغییر دهد. اطلاعات طراحی باید به شکلی جامع نمایش داده شوند. ابزارهای کمکی مناسب نیز باید در دسترس باشند. نمایش هندسی داده ها و اطلاعات مختلف می تواند فرآیند تصمیم گیری تعاملی را آسانتر کند؛ بنابراین باید در دسترس باشد.

در این فصل ما فرآیند بهینه سازی طراحی تعاملی را تشریح می کنیم. نقش طراح و الگوریتم در تعامل توضیح داده می شود. قابلیت تعامل و ابزار تصمیم بحث می شود و از مثالهای ساده برای تشریح کاربرد آنها در فرآیند طراحی استفاده می شود. این بحثها ویژگیهای یک نرم افزار بهینه سازی طراحی تعاملی را مشخص می کند.

در زیر خلاصه ای از مطالب این فصل آمده است.

**بخش ۲.۷ نقش تعامل در بهینه سازی طراحی.** فرآیند بهینه سازی طراحی تعاملی تعریف و نقش نرم افزار و ساخت افزار رایانه ای مناسب مطرح می شود. مزایای تعامل طراح و این که چرا مفید است مورد بحث قرار می گیرد.

**بخش ۳.۷ الگوریتمهای بهینه سازی طراحی تعاملی.** الگوریتمهای متعدد مناسب برای طراحی تعاملی تشریح و با مثالهایی توضیح داده می شود. با استفاده از این الگوریتمها، طراح می تواند طراحی قابل قبول را بیابد، کاهش مشخصی در تابع هزینه را به وجود آورد، و تصحیح قیود را بدون تغییر در هزینه و یا افزایش مشخصی در هزینه انجام دهد. اینها روشهای بسیار مفیدی هستند و، هرگاه به طور مناسبی نصب شوند، می توانند برای هدایت فرآیند طراحی تعاملی به سمت طراحی بهتر و در نهایت طراحی بهین به کار روند.

**بخش ۴.۷ قابلیتهای تعاملی مطلوب.** قابلیتهای مفید برای تعامل طراح تشریح می شود. اینها شامل فراهم کردن داده ها، تصمیم سازی، و ابزار ترسیم می شوند.

**بخش ۵.۷ نرم افزار بهینه سازی طراحی تعاملی.** در این بخش، یک نرم افزار که قابلیتهای تعاملی مختلف دارد تشریح می شود. چگونگی ارتباط برقرار کردن کاربر با برنامه توضیح

داده می شود.

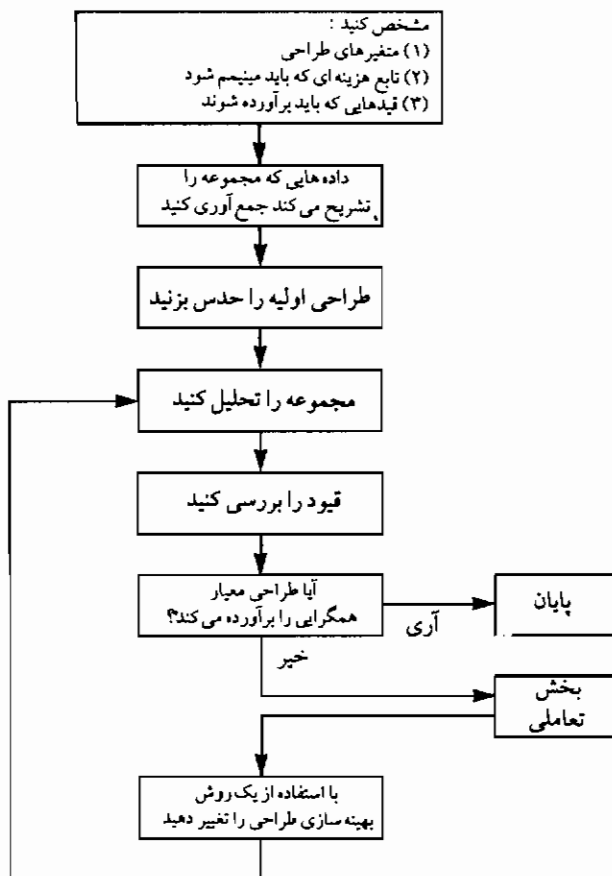
بخش ۷.۶ مثالهای از بهینه سازی طراحی تعاملی. برای تشریع استفاده از قابلیت‌های تعاملی متفاوت، مثالی از طراحی فن حلقوی انتخاب شده است. مسأله به طور کامل رابطه سازی می شود. برای حل مسأله قابلیت‌های مختلف نرم افزار (اعم از اجرای یکسره و تعاملی) مورد بررسی قرار می گیرد. استفاده از تصمیم گیری تعاملی و ترسیم شرح داده می شود.

## ۷.۲ نقش تعامل در بهینه سازی طراحی

### ۷.۲.۱ بهینه سازی طراحی تعاملی چیست؟

در فصل (۱) فرآیند طراحی مهندسی را تشریع کردیم. تفاوت بین فرآیند طراحی بهین و طراحی قراردادی بیان شد. فرآیند طراحی بهین نیاز به الگوریتمهای محاسباتی هوشمند دارد. با این همه بیشتر الگوریتمها در گامهای محاسباتی خود عدم قطعیت‌هایی دارند. بنابراین، کنترل تعاملی پیشرفت آنها و راهنمایی فرآیند طراحی بهین کاری عاقلانه است. الگوریتمهای بهینه سازی طراحی تعاملی براساس استفاده از ورودیهای طراحی فرآیند تعاملی استوار است. به عبارتی آنها الگوریتمهای بدون پایان هستند که در آنها طراح می تواند آنچه را بر حسب شرایط طراحی فعلی مورد نیاز تشخیص داد، مشخص کند. آنها باید در نرم افزارهایی که قابلیت متوقف کردن فرآیند تعاملی را دارند و می توانند وضعیت طرح را برای کاربر گزارش کنند، نصب و اجرا گردد. به دستور طراح، داده های مربوط و شرایط موجود باید روی رایانه های تصویری نمایش داده شود. گزینه های مختلف باید برای طراح موجود باشد تا تصمیم گیری و تغییر داده های طرح را سهولت بخشد. باید امکان شروع مجدد و یا قطع فرآیند وجود داشته باشد. با چنین تسهیلاتی طراح کنترل خود را روی فرآیند بهینه سازی طراحی کامل می کند. آنها می توانند فرآیند را برای به دست آوردن طرح بهتر و در نهایت بهترین طرح راهنمایی کنند.

واضح است که برای بهینه سازی طراحی تعاملی، الگوریتمهای مناسب باید در نرم افزارهای بسیار انعطاف پذیر و با کاربری آسان نصب شوند. باید برای طراح این امکان وجود داشته باشد که با الگوریتم رابطه متقابل برقرار کند و ترتیب محاسبات را تغییر دهد. ما در بخش ۷.۳ الگوریتمهایی را که برای تعامل طراح مناسب هستند تشریع خواهیم کرد. شکل ۱. ۷ یک نمودار جزیانی مفهومی برای فرآیند بهینه سازی طراحی تعاملی است. آن یک حالت تکامل یافته از



شکل ۷.۱ فرآیند طراحی بهین تعاملی

شکل ۱.۳ است که در آن یک جعبه تعاملی اضافه شده است. طراح توسط این جعبه با فرآیند طراحی ارتباط برقرار می کند. قابلیتهای تعامل مطلوب و استفاده از آنها را بعداً در این فصل بررسی خواهیم کرد.

#### ۷.۲.۴ نقش رایانه در بهینه سازی طراحی تعاملی

همان طور که قبلاً بحث کردیم، با ورود رایانه های با سرعت بالا و الگوریتم های محاسباتی، فلسفه اصلی طراحی قراردادی آزمون و خطا تغییر یافت. روش طراحی نوین با

نوین با دو کلمه الگو و تحلیل مشخص می‌شود. وقتی مسئله طراحی به طور مناسبی رابطه سازی شد، روش‌های عددی می‌توانند برای بهینه کردن سیستم استفاده شوند. روش‌ها تکراری هستند و تا همگراشدن به جواب بهین رشته‌ای از نقاط طراحی تولید می‌کنند. آنها برای نصب رایانه‌ای بسیار مناسبند تا از سرعت رایانه برای انجام محاسبات تکراری استفاده کنند.

برای کاربردهای عملی انتخاب الگوریتم‌های بهینه سازی توانمند بسیار مهم است. در غیر این صورت عدم موفقیت فرآیند طراحی بدون شک به اتفاق متابع رایانه‌ای و از همه مهمتر از بین وقت و روحیه طراحی می‌انجامد.

الگوریتم بهینه سازی شامل یک فرآیند حد است، زیرا بعضی از پارامترها با نزدیک شدن به طراحی بهین به سمت صفر می‌کنند. ظهور چنین فرآیندهای حدی در نصب رایانه‌ای مشکل است، زیرا ممکن است به پدیدار شدن اعداد بسیار بزرگ و بسیار کوچک بینجامد که رایانه از ادامه کار باز می‌ماند. به عبارت دیگر فرآیندهای حدی هرگز نمی‌توانند در یک رایانه به طور دقیق برآورده شوند و چنین صفر و یا بی‌نهایتهایی باید در رایانه به ترتیب با اعداد بسیار کوچک و بسیار بزرگ تعریف شوند. این مقادیر نسبی اند و به رایانه مورد استفاده بستگی دارند.

غلب اثبات همگرایی یا نزدیکی الگوریتم بهینه سازی چرخه‌ای براساس عملیات ریاضی دقیق و تحت شرایط محدودی انجام می‌پذیرد. بنابراین عملکرد نظری یک الگوریتم ممکن است در عمل، به خاطر عملیات غیر دقیق ریاضی که خطاهای گرد کردن و قطع کردن را در نمایش اعداد باعث می‌شود، اصلاً معتبر نباشد. این بحث ضرورت برنامه نویسی مناسب و کنترل تعاملی الگوریتم‌های را که حتی از جنبه نظری همگرا می‌باشند نیز روشن می‌سازد.

حتی اگر نظریه‌های بهینه سازی فراوانی برای مسائل برنامه ریزی غیرخطی وجود داشته باشند، لزوماً به ما چگونگی نصب و پیاده کردن گامهای مشخص آن را در برنامه رایانه‌ای بیان نمی‌کنند. بنابراین ما باید راهکارها و قواعدی را براساس تجربیات عملی و عددی تدوین کنیم. اطلاعات بالرزشی هنگام فرآیند بهینه سازی چرخه‌ای تولید می‌شود. این اطلاعات می‌توانند در مشخص کردن طراحی و تولید اطلاعات بیشتر راجع به مسئله مورد استفاده قرار گیرد که محاسبه آن در غیر این صورت مشکل بود. به عنوان مثال، در روش‌های شب نیوتون برای بهینه سازی نامقید، اطلاعات مرتبه بالاتر تقریبی از داده‌های محاسبه شده تولید می‌شود. برای به کار بستن تمامی اطلاعاتی که در فرآیند بهینه سازی طراحی چرخه‌ای به وجود می‌آید،

روش جاری، تدوین سیستم‌های هوشمند مبتنی بر دانش است که قدرت تصمیم را در یک سیستم تقویت می‌کند. چنین سیستم‌های نرم افزاری می‌توانند فرآیند طراحی تعاملی را به میزان قابل توجهی ساده کند.

#### ۷.۴.۳ چرا بهینه سازی طراحی تعاملی؟

فرآیند طراحی می‌تواند کاملاً پیچیده باشد. اغلب مسأله نمی‌تواند برای تحلیل کامل به شکل صریح بیان شود و در داده‌های طراحی عدم قطعیتهایی وجود دارد. لازم نیست جواب مسأله وجود داشته باشد. در بسیاری از مواقع، رابطه سازی مسأله باید به عنوان قسمتی از فرآیند طراحی ارائه شود. بنابراین، بهینه کردن یک مسأله غیر دقیق تا آخر و انجام یکسره آن نه مطلوب است و نه مفید. این که در پایان کار مشخص شود داده‌های غلط استفاده شده اند و یا قیدی ناخودآگاه حذف شده، چیزی جز به هدر دادن منابع ارزشمند نیست. لازم است یک الگوریتم تعاملی و نرم افزاری که قابلیت ایجاد رابطه متقابل با طراحی دارد داشته باشیم. چنین قابلیت می‌تواند در طراحی عملی بسیار مفید باشد. با استفاده از این قابلیتها، نه تنها طراحیهای بهتر را می‌توان به دست آورد بلکه دید بیشتری از عملکرد می‌توان پیدا کرد. رابطه سازی مسأله می‌تواند با دقت بیشتر انجام شده و طراحیهای نامناسب و بی معنی کنار گذاشته شود. ما چند الگوریتم تعاملی و سایر قابلیتهای مناسب را برای تشریح مفید بودن تعامل طراحی در فرآیند طراحی توضیح خواهیم داد.

#### ۷.۳ الگوریتم‌های بهینه سازی طراحی تعاملی

از بخت قبل روشن است که برای قابلیت تعامل مفید، الگوریتم‌های مناسب باید در یک نرم افزار که خوب طراحی شده، نصب و پیاده شود. بعضی از الگوریتم‌های بهینه سازی برای تعامل طراح مناسب نیستند. به عنوان مثال، روش تندترین کاهش مقید بخش ۶.۶ و روش شبه نیوتن بخش ۷.۶ برای تعامل مناسب نیستند. گامهای آنها به تغییری غیرقابل انعطاف هستند که برای طراح شناس کمی وجود دارد که بتواند فرآیند طراحی چرخه‌ای را تغییر دهد. با این همه، زیرمسأله  $QP$  و مفاهیم اساسی که در آن جا بحث شد می‌توانند در طراحی الگوریتم‌های مناسب برای موقعیتهایی که رابطه متقابل را طلب می‌کند استفاده شوند. ما این الگوریتمها را ایان کرده و با مثالهایی شرح می‌دهیم.

### ۷.۲.۱ الگوریتم کاهش هزینه

۵۶۱

بسته به شرط طراحی در چرخه فعلی، طراح ممکن است یکی از چهار سؤال زیر را پرسد:

۱. اگر طراحی فعلی قابل قبول است ولی بهین نیست، آیا تابع هزینه می‌تواند٪ کاهش یابد؟
۲. اگر طراحی اولیه در شروع غیرقابل قبول است، آیا یک طراحی قابل قبول با هر هزینه‌ای می‌تواند به دست آید؟
۳. اگر طراحی فعلی غیرقابل قبول است، آیا یک طراحی قابل قبول می‌تواند بدون افزایش هزینه به دست آید؟
۴. اگر طراحی فعلی غیرقابل قبول است، آیا یک طراحی قابل قبول می‌تواند تنها با ۸٪ جریمه در مقدار هزینه به دست آید؟

در اینجا الگوریتم‌هایی را برای پاسخ به این سؤالات بیان خواهیم کرد. دیده خواهد شد که الگوریتم‌ها از نظر مفهومی کاملاً ساده و برای پیاده کردن آسان هستند. در حقیقت، آنها حالت بهبود یافته روش‌های تندترین کاهش مقید (CSD) و شبکه نیوتون بخش‌های ۶.۶ و ۶.۷ هستند. با این روش باشد که اگر نرم افزاری تعاملی با قابلیت اجرای مراحل فوق در دسترس باشد، طراح می‌تواند فرآیند را گام به گام به سوی طراحی بهتر و درنهایت یک طرح بهین هدایت کند.

### ۷.۳.۱ الگوریتم کاهش هزینه

یک زیرمسأله برای الگوریتم کاهش هزینه می‌تواند با تقریب هسیان  $H$  و یا بدون آن تعریف شود. بدون بهنگام کردن هسیان، مسأله در معادله‌های  $(6.38)$  تا  $(6.40)$  تعریف شد و، با بهنگام کردن هسیان، در معادله‌های  $(6.93)$  تا  $(6.95)$  تعریف می‌شود. هر چند بهنگام کردن هسیان می‌تواند به کار رود، ما زیرمسأله کاهش هزینه را بدون آن تعریف خواهیم کرد تا بحث و ارائه آن ساده باشد. چون مسأله کاهش هزینه از یک نقطه قابل قبول یا تقریباً قابل قبول حل می‌شود، طرف راست بردار  $\mathbf{e}$  در معادله  $(6.40)$  صفر است. پس با زیرمسأله QP کاهش هزینه به شکل زیر تعریف می‌شود. تابع

$$\mathbf{c}^T \mathbf{d} + 0.5 \mathbf{d}^T \mathbf{d} \quad (7.1)$$

رانسبت به قیود

$$\mathbf{N}^T \mathbf{d} = \mathbf{0} \quad (7.2)$$

$$\mathbf{A}^T \mathbf{d} \leq \mathbf{b} \quad (7.3)$$

مینیمم کنید.

ستونهای ماتریس‌های  $N$  و  $A$  به ترتیب حاوی گرادیانهای قیود مساوی و نامساوی هستند، و ۷.۲) ضرب عددی  $d$  در ستونهای  $N$  را صفر می‌دهد. بنابراین،  $d$  عمود بر گرادیانهای تمامی قیود مساوی است. چون گرادیانهای ماتریس  $N$  عمود بر سطوح قیود مربوطه هستند، جهت جست و جوی  $d$  روی صفحه مماس بر قیود مساوی قرار دارد. بردار طرف راست  $b$  برای قیود نامساوی در معادله ۷.۳) حاوی درایه‌های صفر برای قیود فعال و درایه‌های مثبت برای قیود غیرفعال است. اگر قید فعالی با حالت مساوی برآورده شده باقی بماند (یعنی  $d = 0$ )، جهت  $d$  در صفحه مماس بر قید است. در غیر این صورت باید به طرف ناحیه قابل قبول برای قیود باشد.

زیرمسأله QP که در معادله‌های ۷.۱) تا ۷.۳) تعریف شد، می‌تواند در برگیرنده راهبرد قید پتانسیل باشد، همچنان که در بخش ۶.۶ تشریح شد. زیرمسأله تعیین جهت کاهش هزینه می‌تواند با هر کدام از برنامه‌های فرعی ارائه شده در بخش ۶.۵.۳ حل شود. در مسائل نمونه، ما زیرمسأله QP را با استفاده از شرایط کان-تاکر حل می‌کنیم. روش کاهش هزینه از یک نقطه قابل قبول را الگوریتم کاهش هزینه (CR) می‌نامیم.

بعد از این که جهت تعیین شد، اندازه گام می‌تواند با جست و جوی خطی بر روی تابع کاهشی مناسب محاسبه گردد. یا، می‌توانیم کاهش مشخصی را در تابع هزینه در نظر بگیریم و اندازه گام را به آن طریق به دست آوریم. به عنوان مثال، می‌توانیم یک کاهش کسری  $\alpha$  در تابع هزینه (برای ۵% کاهش،  $\alpha = 0.05$ ) در نظر بگیریم، و براساس آن اندازه گام را محاسبه کنیم. فرض کنید  $\alpha$  اندازه گام در امتداد  $d$  باشد. آن گاه تغییرات مرتبه اوک در هزینه با استفاده از بسط سری تیلور عبارت است از  $\alpha \cdot d$ . با مساوی قرار دادن این با کاهش مورد نظر در هزینه یعنی  $\alpha \gamma f$ ، اندازه گام به شکل زیر محاسبه می‌گردد

$$\alpha = \frac{|\gamma f|}{|\mathbf{c} \cdot \mathbf{d}|} \quad (7.4)$$

توجه کنید که برای داشتن اندازه گام منطقی،  $\mathbf{d} \cdot \mathbf{c}$  نباید در معادله ۷.۴) صفر باشد.

**مثال ۷.۱** گام کاهش هزینه. مسأله بهینه سازی طراحی زیر را در نظر بگیرید. تابع

$$f(\mathbf{x}) = x_1^2 - 3x_1x_2 + 4.5x_2^2 - 10x_1 - 6x_2$$

را نسبت به قیود

$$x_1 - x_2 \leq 3$$

$$x_1 + 2x_2 \leq 12$$

$$x_1, x_2 \geq 0$$

مینیمم کنید.

از نقطه قابل قبول (4, 4)، جهت کاهش هزینه را محاسبه کرده و نقطه طراحی جدید که ۱۰٪ کاهش هزینه را در بر داشته باشد به دست آورید.

حل. قیود را می توان به شکل استاندارد زیر نوشت

$$g_1 = \frac{1}{3}(x_1 - x_2) - 1.0 \leq 0$$

$$g_2 = \frac{1}{2}(x_1 + 2x_2) - 1.0 \leq 0$$

$$g_3 = -x_1 \leq 0$$

$$g_4 = -x_2 \leq 0$$

جواب بهین مسأله با استفاده از شرایط کان-تاکر به شکل زیر محاسبه می شود

$$\mathbf{x}^* = (6, 3); \quad \mathbf{u}^* = (17, 16, 0, 0); \quad f(\mathbf{x}^*) = -55.5$$

در نقطه داده شده (4, 4)،

$$f(4, 4) = -24$$

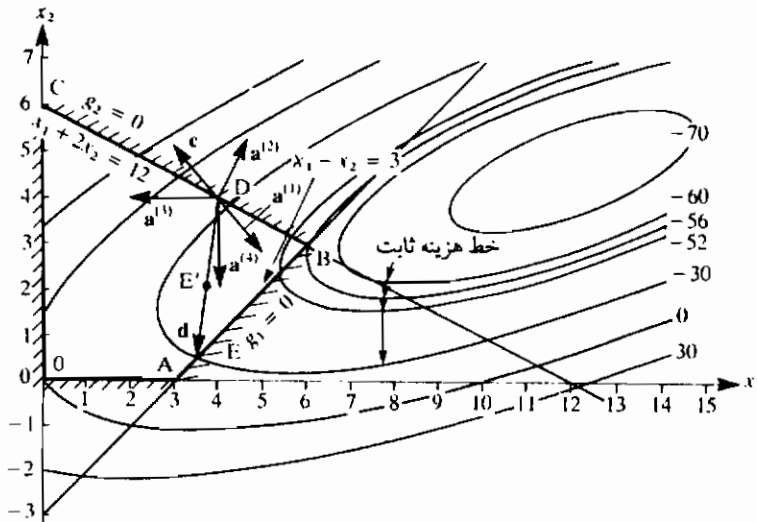
$$g_1 = -1.0 < 0 \quad (\text{غیرفعال})$$

$$g_2 = 0 \quad (\text{active})$$

$$g_3 = -4.0 < 0 \quad (\text{غیرفعال})$$

$$g_4 = -4.0 < 0 \quad (\text{غیرفعال})$$

بنابراین، قید  $g_2$  غیال و سایر قیود غیرفعالند. تابع هزینه بسیار بزرگتر از مقدار بهین است. قیود مسأله در شکل ۷.۲ رسم شده اند. ناحیه قابل قبول قبول عبارت است از OABC. چند خط هزینه ثابت در آن جا نشان داده شده است. جواب بهین در نقطه B (6, 3) قرار دارد. نقطه داده شده (4, 4) با حرف D و روی خط B-C در شکل ۷.۲ نشان داده شده است.



شکل ۷.۲ ناجه قابل قبول برای مثال ۷.۱. گام کاهش هزینه از نقطه D

گرادیان توابع هزینه و قیود در نقطه D (4, 4) به شکل زیر محاسبه می شوند

$$\begin{aligned} \mathbf{c} &= (2x_1 - 3x_2 - 10, -3x_1 + 9x_2 - 6) \\ &= (-14, 18) \end{aligned}$$

$$\mathbf{a}^{(1)} = \left(\frac{1}{2}, -\frac{1}{2}\right)$$

$$\mathbf{a}^{(2)} = \left(\frac{1}{12}, \frac{1}{6}\right)$$

$$\mathbf{a}^{(3)} = (-1, 0)$$

$$\mathbf{a}^{(4)} = (0, -1)$$

این گرادیانها در شکل ۷.۲ در نقطه D نشان داده شده اند. جهت هر گرادیان قید به طرفی است که مقدار تابع قید افزایش پیدا می کند. با استفاده از این مقادیر زیر مسئله معادله های (۱.۷) تا (۷.۳) به شکل زیر تعریف می شود: عبارت

$$(-14d_1 + 18d_2) + 0.5(d_1^2 + d_2^2)$$

را به شرط

$$\begin{bmatrix} \frac{1}{2} & -\frac{1}{2} \\ \frac{1}{12} & \frac{1}{6} \\ -1 & 0 \\ 0 & -1 \end{bmatrix} \begin{bmatrix} d_1 \\ d_2 \end{bmatrix} \leq \begin{bmatrix} 1 \\ 0 \\ 4 \\ 4 \end{bmatrix}$$

مینیمم کنید.

جواب زیر مسأله QP با استفاده از شرایط کان-تاکر یا روش سیمپلکس بخش ۵.۵ عبارت است از

$$\mathbf{d} = (-0.5, -3.5); \quad \mathbf{u} = (43.5, 0, 0, 0)$$

در نقطه جواب تنها یک قید فعال است و ضریب لاگرانژ مقدار مثبت دارد. جهت  $\mathbf{d}$  در شکل ۲.۷ نشان داده شده است. چون قید دوم غیرفعال است،  $\mathbf{d}^\top \mathbf{a}^{(2)}$  براساس معادله (۷.۳) باید منفی باشد و مقدار آن عبارت است از  $(-0.625)$ . بنابراین، جهت  $\mathbf{d}$  به طرف ناحیه قابل قبول قید دوم است که در شکل ۲.۷ مشاهده می شود.

اندازه گام از معادله (۷.۴) محاسبه می شود و براساس  $10\%$  کاهش ( $\gamma = 0.1$ )

تابع هزینه عبارت است از

$$\alpha = \frac{|0.1(-24)|}{|(14, -18) \cdot (-0.5, -3.5)|} = 0.3/7$$

بنابراین، نقطه طراحی جدید عبارت است از

$$\mathbf{x}^{(1)} = \begin{bmatrix} 4 \\ 4 \end{bmatrix} + \frac{0.3}{7} \begin{bmatrix} -0.5 \\ -3.5 \end{bmatrix} = \begin{bmatrix} 3.979 \\ 3.850 \end{bmatrix}$$

که در امتداد  $\mathbf{d}$  بسیار به نقطه D نزدیک است. تابع هزینه در این نقطه به شکل زیر محاسبه می شود

$$f(\mathbf{x}^{(1)}) = -26.304$$

که تقریباً  $10\%$  از مقدار آن در نقطه فعلی (4, 4) کمتر است. می توان دید که همه قیود در نقطه جدید غیرفعالند.

جهت  $\mathbf{d}$  در نقطه D به طرف ناحیه قابل قبول است، چنان که در شکل ۲.۷ می توان دید. هر حرکت کوچکی در امتداد  $\mathbf{d}$  به یک طراحی قابل قبول می انجامد. اگر اندازه گام را یک بیکریم (که اگر جست و جوی خطی غیردقیق بخش ۶.۶ انجام شود به دست می آید)، آن گاه نقطه جدید عبارت است از  $(0.5, 0.5)$  که در شکل ۲.۷ با حرف E نشان داده شده است. در نقطه E قید g<sub>۱</sub> فعال و تابع هزینه مقدار 29.875 را خواهد داشت که از مقدار قبلی 26.304 کمتر است. اگر جست و جوی خطی دقیق

انجام دهیم آن گاه مقدار محاسبه شده  $\alpha$  عبارت خواهد بود از ۰.۵۵۸۶ و نقطه جدید عبارت است از (3.7207, 2.0449) که در شکل ۷.۲ با نقطه E مشخص شده است. تابع هزینه در این نقطه عبارت است از ۳۹.۶۴۱- که هنوز از اندازه گام واحد بهتر است.

**مثال ۷.۲** گام کاهش هزینه با لبود پتانسیل. برای مثال ۱، گام کاهش هزینه را تنها با در نظر گرفتن قیود نامساوی پتانسیل محاسبه کنید.

حل. همان طور که قبلاً در بخش ۶.۶ بحث شد، در بعضی از الگوریتمها در تعریف زیر مسئله پیدا کردن جهت فقط قیود نامساوی پتانسیل در نقطه فعلی در نظر گرفته می‌شوند. جهتی که از این زیر مسئله به دست می‌آید، با جهتی که در زیر مسئله همه قیود در نظر گرفته شود متفاوت است.

برای این مسئله، در نقطه (4, 4) فقط قید دوم فعال است ( $g_2 = 0$ ). زیر مسئله QP با فعال بودن این قید به شکل زیر تعریف می‌شود: عبارت

$$(-14d_1 + 18d_2) + 0.5(d_1^2 + d_2^2)$$

رانسبت به قید

$$\frac{1}{2}d_1 + \frac{1}{6}d_2 \leq 0$$

مینیمم کنید.

با حل مسئله به کمک شرایط کان-تاکر داریم

$$\mathbf{d} = (14, -18); \quad u = 0$$

چون ضریب لاگرانژ برای قید صفر است، فعال نیست؛ بنابراین  $\mathbf{d} = -\mathbf{c}$  جواب زیر مسئله است. این جهت جست و جو به طرف ناحیه قابل قبول در امتداد جهت منفی گرادیان تابع هزینه است؛ همچنان که در شکل ۷.۲ دیده می‌شود. یک اندازه گام مناسب می‌تواند در امتداد جهت محاسبه شود.

اگر بخواهیم قید فعال بماند (یعنی  $0 = d_1/12 + d_2/6$ )، آن گاه جواب زیر مسئله عبارت است از

$$\mathbf{d} = (18.4, -9.2); \quad u = -52.8$$

این جهت مماس بر قید است، یعنی در امتداد خط D-B در شکل ۷.۲.

## ۷.۳.۲ الگوریتم تصویح لید

اگر در یک نقطه طراحی، مقدار نقض قید خیلی بزرگ باشد، دانستن این که یک طراحی قابل قبول می‌تواند به دست آید، ممکن است مفید باشد. الگوریتمهای متفاوتی می‌توانند برای تصویح نقض قید استفاده شود. ماروشی را که نسبت به روش تندترین کاهش مقید بخش ۶.۶ تفاوت کمی دارد تشریح خواهیم کرد. یک زیرمسئله QP که تصویح قید را می‌دهد می‌تواند از معادله‌های (۷.۳۸) تا (۷.۴۰) با حذف عبارت مربوط به تابع هزینه به دست آید. به عبارت دیگر، ما هیچ محدودیتی روی تغییرات تابع هزینه نمی‌گذاریم و زیرمسئله را به شکل زیر تعریف می‌کنیم. عبارت

$$0.5\mathbf{d}^T \mathbf{d} \quad (7.5)$$

رامشروط به قیود

$$\mathbf{N}^T \mathbf{d} = \mathbf{e} \quad (7.6)$$

$$\mathbf{A}^T \mathbf{d} \leq \mathbf{b} \quad (7.7)$$

مینیمم کنید.

جواب زیرمسئله جهتی با کوتاهترین فاصله از یک نقطه غیرقابل قبول تا مرز قید (تقریب خطی) را می‌دهد. معادله (۷.۵) در واقع می‌گوید: جهت  $\mathbf{d}$  را که کوتاهترین مسیر را از نقطه فعلی تا ناحیه قابل قبول می‌دهد بیابیم. معادله‌های (۷.۶) و (۷.۷) کار تصویح قید را انجام می‌دهند. توجه کنید که راهبرد قید پتانسیل که در بخش ۶.۶ بیان شد، این جایز قابل استفاده است. بعد از این که جهت پیدا شد، یک اندازه گام می‌تواند به دست آید که بهبود یافتن نقض قید را تضمین کند. این روش را الگوریتم تصویح قید (CC) خواهیم خواند.

دقت کنید که معمولاً تصویح قید، افزایشی را در هزینه به وجود خواهد آورد. با این همه، بعضی از حالتهای غیرمعمول می‌تواند باشد که در آنها تصویح قید همراه با کاهش تابع هزینه است.

**مثال ۷.۳** گام تصویح لید. برای مثال ۱.۷، از نقطه غیرقابل قبول (۹.۳) گام تصویح قید را محاسبه کنید.

حل. ناحیه قابل قبول مسئله و نقطه شروع (F) در شکل ۷.۳ نشان داده شده است. گرادیانهای قید و هزینه نیز در آن جانشان داده شده است. در نقطه (۹.۳)، داده‌های

زیر محاسبه می‌شوند:

$$f(9, 3) = -67.5$$

$$g_1 = 1 > 0 \quad (\text{نقض شده})$$

$$g_2 = 0.25 > 0 \quad (\text{نقض شده})$$

$$g_3 = -9 < 0 \quad (\text{غیرفعال})$$

$$g_4 = -3 < 0 \quad (\text{غیرفعال})$$

$$\mathbf{c} = (-1, -6)$$

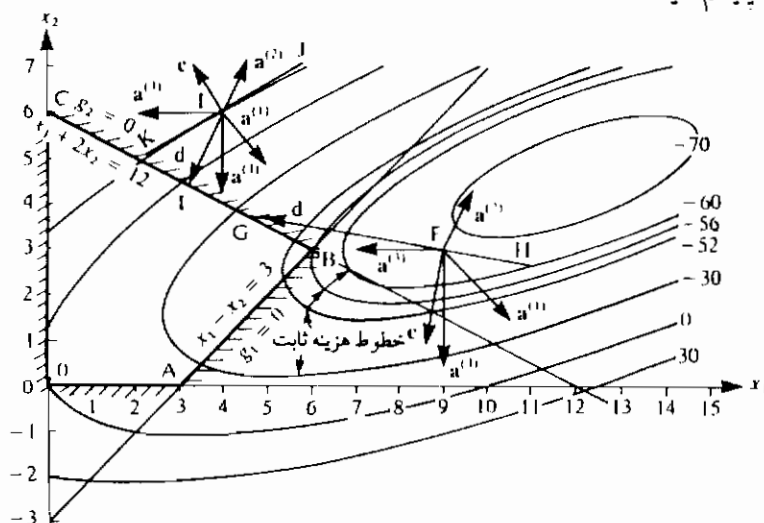
و گرادیانهای قیود مانند مثال ۷.۱ هستند. گرادیانهای هزینه و قید در نقطه F در شکل ۷.۳ نشان داده شده‌اند. پس، زیرمسأله QP تصحیح قید معادله‌های (۷.۵) تا (۷.۷) به شکل زیر تعریف می‌شود. عبارت

$$0.5(d_1^2 + d_2^2)$$

را مشروط به قیود

$$\begin{bmatrix} \frac{1}{3} & -\frac{1}{3} \\ \frac{1}{12} & \frac{1}{6} \\ -1 & 0 \\ 0 & -1 \end{bmatrix} \begin{bmatrix} d_1 \\ d_2 \end{bmatrix} \leq \begin{bmatrix} -1 \\ -0.25 \\ 9 \\ 3 \end{bmatrix}$$

مینیمم کنید.



شکل ۷.۳ ناحیه قابل قبول برای مثال ۷.۱. گامهای تصحیح قید و هزینه ثابت از نقطه F: گام هزینه ثابت از نقطه A

با استفاده از شرایط لازم کان-تاکر، جواب زیر مسأله QP عبارت است از

$$\mathbf{d} = (-3, 0); \quad \mathbf{u} = (6, 12, 0, 0)$$

دقت کنید که کوتاهترین مسیر از نقطه F تا ناحیه قابل قبول امتداد خط F-B است و زیر مسأله QP در حقیقت این جواب را می دهد. نقطه طراحی جدید عبارت است از

$$\mathbf{x}^{(1)} = \begin{bmatrix} 9 \\ 3 \\ 3 \\ 0 \end{bmatrix} + \begin{bmatrix} -3 \\ 6 \\ 3 \\ 3 \end{bmatrix}$$

که در شکل ۷.۳ نقطه B است. در نقطه جدید، قیود  $g_1$  و  $g_2$  فعال و  $g_3$  و  $g_4$  غیرفعالند. بنابراین، تنها یک گام هر دو نقض را دقیقاً تصویب می کند. این به خاطر خطی بودن تمامی قیود در مثال فعلی است. به طور کلی ممکن است چرخه های متعددی برای تصویب نقض قید نیاز باشد. دقت کنید که نقطه جدید در واقع نمایانگر جواب بهین است.

### ۷.۳.۴ الگوریتم تصویب قید در هزینه ثابت

بعضی از مواقع، مقادیر نقض قیود خیلی زیاد نیستند. دانستن این که یک طراحی قابل قبول می تواند بدون افزایش هزینه به دست آید، مفید است. این زیر مسأله هزینه ثابت نامیده می شود که می تواند با اضافه کردن قید دیگری به زیر مسأله QP داده شده در معادله های (۷.۵) تا (۷.۷) تعریف شود. قید اضافی عبارت است از این که هزینه خطی شده یا ثابت بماند و یا کاهش یابد، یعنی تغییر خطی شده در هزینه ( $\mathbf{d} \cdot \mathbf{c}$ ) نامثبت باشد که به شکل زیر بیان می شود

$$\mathbf{c} \cdot \mathbf{d} \leq 0 \quad (7.8)$$

این قید یا شرط عمود بودن جهت  $\mathbf{d}$  را بر گرادیان تابع هزینه بیان می کند ( $\mathbf{c} \cdot \mathbf{d} = 0$  یعنی  $\mathbf{c} \perp \mathbf{d}$ )، یا یک زاویه بین  $90^\circ$  و  $270^\circ$  بین آنها را (یعنی  $0 < \mathbf{c} \cdot \mathbf{d} < 0$ ). ما این مطلب را در مسأله نمونه ای که بعداً بحث می شود خواهیم دید.

اگر نامساوی (۷.۸) فعال باشد (یعنی ضرب عددی صفر شود، که به معنی عمود بودن  $\mathbf{d}$  بر  $\mathbf{c}$  است)، آن گاه تغییری در مقدار تابع هزینه خطی شده وجود نخواهد داشت. ولی ممکن است تغییراتی در تابع هزینه اصلی به خاطر غیر خطی بودن وجود داشته باشد. اگر قید غیرفعال

باشد، آن‌گاه همراه تصحیح قید، کاهاشی در تابع هزینه خطی شده وجود دارد. این موقعیتی مطلوب است. بنابراین، مشاهده می‌کنیم که مسئله هزینه ثابت نیز یک زیرمسئله QP است که در معادله‌های (۷.۵) تا (۷.۸) تعریف شد. این مسئله کوتاهترین مسیر تا ناحیه قابل قبول را جست و جو می‌کند که یا تابع هزینه را کاهاش می‌دهد یا آن را بدون تغییر نگاه می‌دارد. ما این روش را الگوریتم تصحیح در هزینه ثابت (CCC) خواهیم نامید.

دقّت کنید که زیرمسئله QP هزینه ثابت اگر خطوط هزینه ثابت فعلی ناحیه قابل قبول را قطع نکنند می‌تواند غیرقابل قبول باشد. این در عمل می‌تواند پیش آید. بنابراین زیرمسئله QP باید به طور مناسبی حل شود. اگر غیرقابل قبول شد، آن‌گاه قید معادله (۷.۸) باید آزاد گردد و به تابع هزینه خطی شده اجازه داد که برای به دست آوردن یک نقطه قابل قبول افزایش یابد. این موضوع در زیربخش آینده بحث خواهد شد.

#### مثال ۷.۲ تصحیح قید در هزینه ثابت. برای مثال ۳.۷، گام هزینه ثابت را از نقطه غیرقابل قبول (۹.۳) محاسبه کنید.

حل. برای به دست آوردن گام هزینه ثابت از نقطه F در شکل ۳.۷، به زیرمسئله QP که در مثال ۳.۷ داده شد شرط اضافه معادله (۷.۸) (یعنی  $0 \leq c \cdot d$ ) را اعمال می‌کنیم. با جای گزینی مقدار  $c$ ، قید عبارت است از

$$-d_1 - 6d_2 \leq 0 \quad (7.9)$$

که این شرط را اعمال می‌کند که تابع هزینه یا در ۶۷.۵- ثابت بماند یا بیشتر کاهاش پیدا کند. از ترسیمه مسئله در شکل ۳.۷ مشاهده می‌کنیم که مقدار تابع هزینه ۶۷.۵- در نقطه (۹.۳) زیر هزینه بهین ۵۵.۵- است. بنابراین، مقدار تابع هزینه فعلی حد پایینی مقدار تابع هزینه بهین را می‌دهد. با این‌همه، خط تابع هزینه خطی شده که در شکل ۳.۷ با G-H نشان داده شده است ناحیه قابل قبول را قطع می‌کند. پس، زیرمسئله QP مثال ۳.۷ با شرط قید اضافی جواب قابل قبول دارد. نامساوی معادله (۷.۸) ایجاب می‌کند که جهت  $d$  یا روی خط H-G باشد (اگر قید فعال است) یا بالای آن قرار گیرد (اگر قید غیرفعال است). در حالتی که غیرفعال باشد زاویه بین  $c$  و  $d$  بین  $90^\circ$  و  $270^\circ$  خواهد بود. اگر زیرخط G-H باشد، نامساوی (۷.۸) را نظر می‌کند. توجه کنید که کوتاهترین مسیر از نقطه F تا ناحیه قابل قبول در امتداد خط F-B

است. اما این مسیر زیر خط  $G-H$  است و برای زیر مسأله  $QP$  ما قابل قبول نیست.  
با حل مسأله توسعه شرایط کان-تاکر، جواب زیر مسأله  $QP$  را به شکل زیر  
به دست می آوریم

$$\mathbf{d} = (-4.5, 0.75); \quad \mathbf{u} = (0, 83.25, 0, 0, 2.4375)$$

بنابراین نقطه جدید عبارت است از  
 $\mathbf{x} = (4.5, 3.75) \quad \text{با} \quad f = -34.6$

در نقطه جدید ( $G$  در شکل ۷.۳)، تمامی قبود غیرفعالند بجز قید دوم ( $g_2$ ). شرط هزینه ثابت معادله (۷.۸) نیز فعال است که بیانگر آن است که جهت  $\mathbf{d}$  عمود بر بردار گرادیان هزینه  $\mathbf{c}$  است. همان طور که در شکل ۷.۳ دیده می شود، این در حقیقت درست است. توجه کنید که به خاطر طبیعت بسیار غیرخطی تابع هزینه در نقطه  $F(9, 3)$ ، تابع هزینه جدید به مقدار قابل توجهی افزایش می یابد. بنابراین جهت  $\mathbf{d}$  در واقع یک جهت هزینه ثابت نیست. گرچه نقطه جدید تمامی نقضها را تصحیح می کند، تابع هزینه از نقطه بهین بیشتر می شود که مطلوب نیست. در واقع، از نقطه  $F$  بهتر است که فقط مسأله تصحیح قید را حل کنیم، همچنان که در مثال ۷.۲ انجام دادیم. برای آن جهت، افزایش در هزینه کمتر است. پس، در حالتها بی مشخص، بهتر است که فقط زیر مسأله تصحیح قید را حل کرد.

**مثال ۷.۵** تصحیح لید در هزینه ثابت. نقطه شروع دیگری مثل (۴, 6) را برای مثال ۷.۴ در نظر گرفته و از آن جا گام هزینه ثابت را محاسبه کنید.

جواب. در شکل ۷.۳، نقطه شروع با نشان داده شده است. داده های زیر در نقطه (۴, 6) محاسبه می شوند:

$$f(4, 6) = 30$$

$$g_1 = -1 \quad (\text{غیرفعال})$$

$$g_2 = 1 > 0 \quad (\text{نقض شده})$$

$$g_3 = -4 < 0 \quad (\text{غیرفعال})$$

$$g_4 = -6 < 0 \quad (\text{غیرفعال})$$

$$\mathbf{e} = (-20, 36)$$

و گرادیانهای قیود مشابه مثال ۱.۷ هستند. گرادیانهای هزینه و قیود در شکل ۳ و در نقطه I نشان داده شده اند. توجه کنید که مقدار تابع هزینه در نقطه I بالاتر از مقدار بهین است. بنابراین، قید هزینه ثابت معادله (۱.۸) ممکن است برای جواب زیرمسئله فعال نباشد، یعنی ممکن است بتوانیم قیود را تصحیح کرده و همزمان تابع هزینه را نیز کاهش دهیم.

زیرمسئله QP داده شده در معادله های (۱.۵) تا (۱.۸) به شکل زیر تعریف می شود. عبارت

$$0.5(d_1^2 + d_2^2)$$

را مشروط به

$$\begin{bmatrix} 1 & -1 \\ 1 & 6 \\ -1 & 0 \\ 0 & -1 \end{bmatrix} \begin{bmatrix} d_1 \\ d_2 \end{bmatrix} \leq \begin{bmatrix} 3 \\ -1 \\ 4 \\ 6 \end{bmatrix}$$

$$-20d_1 + 36d_2 \leq 0$$

مینیمم کنید.

با نوشتن شرایط کان-تاکر برای زیرمسئله QP جواب را به شکل زیر به دست می آوریم  
 $\mathbf{d} = (-0.8, -1.6); \quad \mathbf{u} = (0, 9.6, 0, 0, 0)$

دقت کنید که تنها قید دوم فعال است. بنابراین، نقطه جدید باید دقیقاً روی معادله قید  $12 = 12 + 2x_2$  باشد که در شکل ۱.۳ (با نقطه L) نشان داده شده است. قید هزینه ثابت فعال نیست (جهت  $\mathbf{d}$  زیرخط J-K در شکل ۱.۳ قرار دارد و با  $\alpha$  زاویه بزرگتر از  $90^\circ$  می سازد). پس مقدار تابع هزینه جدید باید در نقطه جدید (3.2, 4.4) کاهش یافته باشد و مقدارش در واقع 3.28- است که نسبت به 30 کاهش قابل توجهی دارد.

#### ۷.۳.۴ الگوریتم تصحیح قید برای افزایش مشخصی در هزینه

چنان که در زیر بخش گذشته مشاهده شد، زیرمسئله هزینه ثابت می تواند غیرقابل قبول باشد. در آن حالت، مقدار فعلی تابع هزینه باید اجازه افزایش داشته باشد. این کار با تغییر کوچکی در نامساوی (۱.۸) بسادگی عملی می شود، یعنی

$$\mathbf{c}^T \mathbf{d} \leq \Delta \quad (7.10)$$

که  $\Delta$  حد مشخص افزایش هزینه است. مقدار افزایش هزینه می‌تواند براساس این شرط که هزینه خطی شده در یک نقطه قابل قبول - اگر مشخص باشد - نباید بیشتر از هزینه قبلی باشد، تعیین شود. مجددداً دقت کنید که زیرمسئله  $QP$  در این حالت، اگر مقدار افزایش هزینه مشخص شده در  $\Delta$  کافی نباشد، می‌تواند غیرقابل قبول باشد. بنابراین، ممکن است  $\Delta$  نیاز به تنظیم داشته باشد. ما این روش را الگوریتم تصحیح قید در هزینه مشخص ( $CCS$ ) خواهیم نامد.

**مثال ۷.۶** تصحیح قید بروای افزایش مشخص در هزینه. برای مثال ۴.۷، گام تصحیح قید از نقطه غیرقابل قبول (۹.۳) را با  $10\%$  افزایش در هزینه محاسبه کنید.

حل. چون مقدار فعلی تابع هزینه  $-67.5$  است،  $10\%$  افزایش در هزینه مقدار  $\Delta$  را در معادله  $(7.10)$ ،  $6.75$  می‌دهد. بنابراین، با استفاده از  $(-1, -6) = \mathbf{c}$  که در مثال ۳ محاسبه شد، قید معادله  $(7.10)$  عبارت است از

$$-d_1 - 6d_2 \leq 6.75$$

قیود دیگر و تابع هزینه مانند آنچه در مثال ۳.۷ تعریف شد، هستند. با استفاده از شرایط کان-تاکر مسئله حل می‌شود و جواب زیرمسئله عبارت است از

$$\mathbf{d} = (-3, 0); \quad \mathbf{u} = (6, 12, 0, 0, 0)$$

در این جواب، دو قید اول فعال و قید معادله  $(7.10)$  غیرفعال است. دقت کنید که این جواب مانند جواب مثال ۳.۷ است. بنابراین نقطه جدید نمایانگر جواب بهین است.

این امکان وجود دارد که زیرمسئله‌ای تعریف شود که افزایش هزینه را مینیمم کرده و در همان حال قیود را نیز تصحیح کند. زیرمسئله به شکل زیر تعریف می‌شود. تابع

$$f_L = \mathbf{c}^T \mathbf{d}$$

را مشروط به قیود معادلات  $(7.6)$  و  $(7.7)$  مینیمم کنید که در آن  $f_L$  تغییر خطی تابع هزینه است. این مسئله ممکن است بدون کران باشد؛ پس باید حدود حرکت زیر را اعمال کنیم تا یک مسئله کران دار داشته باشیم.

$$-\Delta_i \leq d_i \leq \Delta_i; \quad i = 1 \text{ to } n$$

در اینجا  $\Delta$  نشان دهنده مقدار ماکزیمم و مینیمم  $d$  است. زیر مسأله فوق خطی است، بنابراین از هر برنامه LP می‌توان برای حل آن استفاده کرد. برای یافتن اندازه گام مناسب، می‌توان یک جستجوی خطی در امتداد  $\Delta$  انجام داد.

**مثال ۷.۷** تصحیح قید با حداقل افزایش در هزینه. برای مثال ۴.۷، مسأله تصحیح قید را از نقطه  $(9, 3)$  که در شکل ۷.۳ نشان داده شده است با مینیمم افزایش در هزینه حل کنید.

حل. در نقطه  $(9, 3)$  داده‌های زیر در مثال ۴.۷ محاسبه شده‌اند:

$$f(9, 3) = -67.5$$

$$g_1 = 1 > 0 \quad ; \quad (\text{نقض شده})$$

$$g_2 = 0.25 > 0 \quad ; \quad (\text{نقض شده})$$

$$g_3 = -9 < 0 \quad ; \quad (\text{غیرفعال})$$

$$g_4 = -3 < 0 \quad ; \quad (\text{غیرفعال})$$

$$\mathbf{c} = (-1, -6).$$

بنابراین، زیر مسأله به شکل زیر تعریف می‌شود. تابع

$$f_L = -d_1 - 6d_2$$

را مشروط به قیود

$$\frac{1}{3}d_1 - \frac{1}{3}d_2 \leq -1$$

$$\frac{1}{12}d_1 + \frac{1}{6}d_2 \leq -0.25$$

$$-d_1 \leq 9$$

$$-d_2 \leq 3$$

$$-\Delta_1 \leq d_1 \leq \Delta_1; \quad -\Delta_2 \leq d_2 \leq \Delta_2$$

مینیمم کنید.

زیر مسأله برنامه ریزی خطی می‌تواند با استفاده از روش سیمپلکس فصل (۴) حل شود. ما با استفاده از برنامه LINDO [شیریج<sup>۱</sup>، ۱۹۸۱]، مسأله

غیرقابل قبول است و محدوده‌های حرکت بیش از حد محدودکننده هستند و نقطه قابل قبول نمی‌تواند به دست آید. چون مسأله دو متغیر دارد، شخص می‌تواند بر احتی تمامی توابع را روی کاغذ رسم کند و نشان دهد که زیرمسأله خطی شده فوق جوابی ندارد. وقتی  $\Delta_1 = \Delta_2 = 3$  است، جواب زیر به دست می‌آید:

$$d_1 = -3, \quad d_2 = 0, \quad f_1 = 3$$

و قيد دوم با ضریب لاگرانژ ۳۶ فعال است. حد پایینی  $d_1$  نیز با ضریب لاگرانژ ۲.۰ فعال است. وقتی  $d_1$  و  $d_2$  به نقطه شروع (۹، ۳) اضافه شوند، نقطه جدید عبارت است از (۶، ۳). این در حقیقت نقطه بهمین است با مقدار تابع هزینه ۵۵.۵. دقت کنید که چون  $f_1 = 3$  است، فرض شده که تابع هزینه از ۶۷.۵- فقط به اندازه ۳ واحد افزایش یافته است. با این همه، به خاطر غیرخطی بودن، تابع در حقیقت ۱۲ واحد افزایش یافته است.

دقت کنید که چون ضریب لاگرانژ برای حد پایینی قید  $d_1 = 2$  است، قضیه حساسیت قید ۱۴.۳. پیش‌بینی می‌کند اگر  $\Delta_1$  به ۴ تغییر یابد،  $f_1$  به اندازه ۲ واحد کم خواهد شد و مقدار آن ۱ می‌شود. این واقعیت چیزی است که اتفاق می‌افتد. با  $\Delta_1 = \Delta_2 = 4$ ، جواب زیرمسأله به شکل زیر به دست می‌آید

$$d_1 = -4, \quad d_2 = 0.5, \quad f_1 = 1.0$$

و قيد دوم با ضریب لاگرانژ ۳۶ فعال است. حد پایینی روی  $d_1$  هنوز فعال است با ضریب لاگرانژ ۲.۰. نقطه جدید عبارت است از (۵. ۳.۵) با تابع هزینه ۴۳.۳۷۵-. برای این نقطه تابع هزینه در حقیقت به اندازه ۲۴.۱۲۵ افزایش می‌یابد در مقایسه با ۱ که با جواب زیرمسأله خطی شده پیش‌بینی شد.

#### ۷.۳.۶ نگرشی بر الگوریتمهای تعاملی

ما الگوریتمهای مختلفی را که برای بهینه سازی طراحی تعاملی مفیدند بحث کرده ایم. آنها برای مسائلی با قیود خطی و توابع هزینه درجه دو تشریع شدند. این الگوریتمها محدودیتهای مشخصی دارند که باید بروشنا فهمیده شوند:

۱. تمامی الگوریتمها برای توابع هزینه و قيد از تقریب خطی استفاده می‌کنند. بنابراین

برای مسائل بسیار غیرخطی، جواب زیرمسأله‌ها فقط برای ناحیه کوچکی در اطراف نقطه فعلی معتبرند.

۲. اندازه گام محاسبه شده در معادله (۷.۴) که با استفاده از کاهش  $\varepsilon$  در تابع هزینه محاسبه شد، براساس تقریب خطی تابع هزینه قرار دارد. با اندازه گام محاسبه شده، مقدار واقعی کاهش تابع هزینه بسته به غیرخطی بودن تابع هزینه ممکن است بزرگتر یا کوچکتر از  $\varepsilon$  باشد.

۳. در مسئله تصحیح قید مثال ۷.۳، برای تصحیح تمامی قیود تنها یک گام مورد نیاز است. این به خاطر خطی بودن تمامی قیود است. وقتی قیود غیرخطی باشند، معمولاً گامهای متعددی برای رسیدن به ناحیه قابل قبول باید برداشته شود. مسئله طراحی فر که بعداً در همین فصل حل می‌شود، این حقیقت را بازگو می‌کند.

۴. تصحیح قید در اکثر مواقع با افزایش تابع هزینه همراه است. با این همه، در حالت‌های خاصی ممکن است به کاهش تابع هزینه بینجامد. این حالت بسیار نادر است و به غیرخطی بودن توابع و نقطه شروع بستگی دارد.

۵. شرط هزینه ثابت معادله (۷.۸) براساس تابع هزینه خطی شده قرار دارد. حتی اگر این قید در جواب زیرمسأله فعال باشد، ممکن است در نقطه جدید در مقدار تابع هزینه اصلی تغییراتی باشد. این به دلیل غیرخطی بودن توابع هزینه و قیود است. این پدیده را در مثالهای ۷.۷ تا ۷.۷ مشاهده کردیم.

۶. برای بعضی از نقاط غیرقابل قبول، بهتر است که زیرمسئله تصحیح قید به جای زیرمسئله هزینه ثابت حل شود.

۷. همچنان که در مثالهای ۱.۷ و ۲.۷ دیده شد، در نقطه داده شده جهت‌های کاهش هزینه متعددی وجود دارد. این جهات به تعریف زیرمسئله  $QP$  بستگی دارند. تعیین بهترین جهت ممکن مشکل است.

۸. ضرایب لانگرانژی که هنگام حل زیرمسئله  $QP$  محاسبه می‌شوند می‌توانند از مقادیر آنها در جواب بهینه مسئله اصلی کاملاً متفاوت باشند. این حقیقت می‌تواند در حل مثالهای ۱-۷.۷ مشاهده شود.

## ۷.۴ قابلیت‌های تعاملی مطلوب

نرم افزارهای تعاملی بهینه‌سازی طراحی باید انعطاف‌پذیر و استفاده آنها برای فرد آسان

و راحت باشد. امکانات کمک در برنامه باید در دسترس باشد که می‌تواند روی صفحه رایانه و یا به وسیله دستور مشخص و یا به هر دو صورت باشد. ما قابلیتهای متعدد مطلوب را برای چنین نرم افزارهای تعاملی شرح خواهیم داد.

اول از همه، برنامه باید بتواند مسائل برنامه‌ریزی غیرخطی عمومی و همچنین نامقید را حل کند، باید بتواند قیود مساوی و نامساوی و همچنین محدوده‌های متغیرهای طراحی را در نظر بگیرد. باید گزینه‌های انتخاب الگوریتمهای را که به طور مناسبی نصب و پیاده شده‌اند داشته باشد. باید اشتباهات کاربر را متوجه شود و به طور غیرمعمول از اجرا خارج نشود.

#### ۷.۴.۱ آماده‌سازی داده‌های تعاملی

نرم افزار باید برای آماده‌سازی داده‌های تعاملی و امکان تغییر آنها قسمتی را در نظر گرفته باشد. دستورات وارد کردن داده‌ها باید روشن باشند. مقدار حداقلی از داده‌ها باید مورد نیاز باشد. کاربر باید بتواند هر داده‌ای را که قبل وارد کرده تغییر دهد. روشی گام به گام برای نشان دادن صفحه رایانه که در آن انتخاب و وارد کردن داده‌ها انجام می‌شود، باید وجود داشته باشد. یا، باید بتوان داده‌ها را به شکل یک فرآیند پرداخت و پاسخ وارد کرد. سیستم باید به شکلی باشد که از اشتباهات طراح مصون باشد. اگر داده غیر مناسبی پیدا شد، باید پامهایی داده شود. روش کار با یک نرم افزار تعاملی باید چنان ساده باشد که یک مبتدی بتواند آن را برای دنبال کند.

#### ۷.۴.۲ قابلیتهای تعاملی

همان طور که پیشتر مشاهده شد، بسیار مطلوب است که تعامل طراح در فرآیند طراحی به کمک رایانه وجود داشته باشد. چنین گفتمانی می‌تواند بسیار سودمند، و از نظر نیروی انسانی و منابع رایانه‌ای مفروض به صرفه باشد. برای استفاده از سیستمهای نرم افزاری تعاملی در مهندسی دو سؤال مطرح می‌شود: (i) مزایا و معایب تعامل چیست، و (ii) چه نوع از قابلیتهای تعاملی باید فراهم باشد؟ ما هر دو سؤال را مطرح می‌کنیم.

تمامی نرم افزارهای بهینه سازی طراحی با کاربری عمومی درباره مسئله‌ای که می‌خواهد حل شود به داده‌های زیر نیاز دارند: (i) داده‌های ورودی مثل تعداد متغیرهای

طراحی، تعداد قیود و غیره، (ii) توابع هزینه و قیود، (iii) گرادیان توابع هزینه و قیود. اگر گرادیانها در دسترس نباشند، آن گاه سیستم باید به طور خودکار آنها را به روش تفاضل محدود به طور تقریبی به دست آورد، همان‌طور که در فصل (۵) تشریح شد. اگر اشتباہی در داده‌های ورودی یا تعریف مسأله وجود داشته باشد، در حل مسأله خط‌traجخ خواهد داد. سیستم بهینه سازی باید تا حد امکان چنین اشتباہاتی را شناسایی کند.

کنترل و بازبینی فرآیند بهین از طریق تعامل نیز بسیار مفید است. تاریخچه تابع هزینه و توابع قید، متغیرهای طراحی، بیشترین نقض قید، پارامتر همگرایی باید بازبینی و کنترل شوند. وقتی این تاریخچه به شکل ترسیمی نمایش داده شود، می‌تواند کمک بزرگی در تصمیم گیری‌های مشخص داشته باشد. اگر پیشرفت فرآیند طراحی قانع کننده نباشد (ممکن است در رابطه سازی و مدل کردن مسأله بی‌دقیقی و یا خطای وجود داشته باشد)، لازم است طراحی را متوقف کرده و رابطه سازی مسأله را بررسی کرد. این کار نیروی انسانی و امکانات رایانه‌ای را از هدر رفتن حفظ می‌کند. همچنین اگر الگوریتمی پیشرفت قانع کننده‌ای نداشته باشد، باید بتوان الگوریتم دیگری را اجرا کرد. سیستم باید بتواند براساس تحلیل خواسته‌ها پیشنهادهایی برای تغییر طراحی بدهد. بنابراین، بازبینی تعاملی فرآیند چرخه یک قابلیت مهم است که یک نرم افزار بهینه سازی طراحی باید دارا باشند.

طراح باید بتواند فرآیند حل مسأله رانیز هدایت کند. به عنوان مثال، برنامه را می‌توان پس از اجرای تعداد مشخصی چرخه متوقف کرد تا بررسی شود که آیا پیشرفت فرآیند قانع کننده است یا خیر. اگر چنان که انتظار می‌رود پیش نرفته بود، باید این امکان فراهم باشد که برای تغییر روش محاسبات بتوان تصمیم گرفت. اگر نقض قیدی وجود دارد، طراح ممکن است بخواهد ببیند آیا بدون جریمه‌ای برای تابع هزینه می‌شود آن را تصحیح کرد یا خیر. اگر این کار ممکن نباشد باید با جریمه‌ای برای تابع هزینه، تصحیح قید عملی باشد. وقتی طراحی در ناحیه قابل قبول است، سیستم باید این توانایی را داشته باشد که محاسباتی را انجام دهد تا مشخص کند آیا می‌شود در صدی از هزینه را کاهش داد و همچنان در ناحیه قابل قبول باقی ماند یا خیر. اگر فرآیند چرخه پیشرفت خوبی نداشته باشد، آن گاه باید طراح بتواند برنامه را از هر چرخه قابلی یا هر طرح دیگر مجددآ شروع کند. در نقطه بهین، جریمه محکمتر کردن قیود یا مزیت آزادساختن آن نمایش داده شود. این اطلاعات از ضرایب لاگرانژ قیود در دسترس هستند. در بهینه سازی عملی، این قابلیت‌های تعاملی می‌توانند بسیار مفید باشند.

در بین فرآیند چرخه برای یک مسئله طراحی باید امکان تغییر داده‌های ورودی وجود داشته باشد. بعد از بازبینی چند چرخه از فرآیند ممکن است تغییر پارامترهای مسئله یا برنامه ضرورت پیدا کند. این تغییر باید بدون قطع برنامه ممکن باشد. ضرایب حساسیت طراحی تابع هزینه و قید پتانسیل باید به شکل قابل استفاده‌ای نمایش داده شوند، مثلاً به شکل نمودارهای ستونی نرمال شده. این اطلاعات حساسیت نسبی متغیرهای طراحی را نشان خواهد داد. طراح باید بتواند وضعیت متغیرهای طراحی را نیز به دست آورد و اگر لازم بود آنها را هنگام کار تغییر دهد. وقتی اطلاعات مربوط به روند تغییر اطلاعات به صورت ترسیمی نمایش داده شوند می‌توانند طراح را در به دست آوردن نگرشی از عملکرد مسئله کمک کنند. پس این قابلیت باید در دسترس باشد.

همچنین باید امکان استفاده از نرم افزار بهینه سازی طراحی تعاملی به صورت غیرتعاملی و با حداقل اطلاعات ورودی نیز وجود داشته باشد. سیستم باید بتواند برای پارامترها بهترین مقادیر از قبل تعیین شده‌ای را که توسط متخصصان و تجربیات عددی تعیین گشته‌اند ارائه دهد.

## ۷.۴.۴ تضمیم‌سازی تعاملی

وقتی برنامه به صورت تعاملی اجرا می‌شود، گزینه‌های متنوعی باید برای طراح در دسترس باشد. فهرستی از قابلیتهایی که می‌تواند طراح را در تضمیم‌سازی کمک کند عبارت است از:

۱. ممکن است طراح بخواهد رابطه سازی مسئله یا داده‌های طراحی را مجددآ مورد آزمایش و بازبینی قرار دهد. بنابراین باید در هر چرخه‌ای امکان خروج از اجرای برنامه وجود داشته باشد.
۲. در هر چرخه باید امکان نمایش وضعیت طراحی نظیر مقادیر فعلی متغیرها، تابع هزینه، بیشتر مقدار نقض قید و داده‌های دیگری از این قبیل وجود داشته باشد.
۳. باید در هر چرخه امکان تغییر داده‌ها از قبیل متغیرهای طراحی و محدوده آنها، معیار همگرایی و سایر داده‌ها وجود داشته باشد.
۴. طراح باید بتواند مقادیر متغیرهای طراحی را در هر مقداری ثابت نگه دارد. همچنین باید امکان رهاساختن متغیرهای طراحی ثابت شده نیز وجود داشته باشد.

۵. طراح باید بتواند الگوریتم را برای یک چرخه و یا چند چرخه محدود اجرا کند.
۶. باید امکان شروع مجدد از هر چرخه ای وجود داشته باشد.
۷. باید امکان تعریض الگوریتم هنگام فرآیند چرخه موجود باشد.
۸. طراح باید بتواند  $x\%$  کاهش تابع هزینه از یک نقطه قابل قبول را داشته باشد.
۹. طراح باید بتواند تصحیح قیود در هر چرخه ای را انجام دهد.
۱۰. طراح باید بتواند یک گام هزینه ثابت داشته باشد.
۱۱. طراح باید بتواند تصحیح قیود با حد  $x\%$  افزایش در هزینه را انجام دهد.
۱۲. طراح باید بتواند نمایشهای ترسیمی مختلف را داشته باشد.

#### ۷.۴.۴ ترسیم تعاملی

نمایش نموداری داده ها راه آسان تعبیر یافته ها و استنباط نتایج است. ترسیم تعاملی می تواند در تصمیم سازی طراحی در فرآیند بهینه سازی دنباله ای نقش مهمی را بازی کند. نمایشهای ترسیمی ممکن عبارتند از:

۱. ترسیمه تاریخچه تابع هزینه، پارامترهای همگرایی و بیشترین نقض قیود. این نمودارها پیشرفت فرآیند چرخه ای را به طرف نقطه بهین نشان می دهند.
۲. تاریخچه متغیرهای طراحی. این تاریخچه می تواند برای مشاهده گرایش متغیرهای طراحی و احتمالاً استنباط مقادیر آنها مورد استفاده قرار گیرد.
۳. تاریخچه تابع قید می تواند نمایش داده شود. این کار می تواند قیودی را که در فرآیند طراحی نقشی ندارند، نشان دهد. تاریخچه قید غالب را نیز نشان می دهد.
۴. ضرایب حساسیت توابع هزینه و قید را می توان به شکل نمودارهای ستونی نمایش داد. اینها چیزی جز گرادیانهای نرمал شده توابع هزینه و قیود نیستند و متغیرها و توابع حساس و غیرحساس را نشان می دهند.

می توان دید که با استفاده از قابلیت ترسیم تعاملی، طراحان می توانند پیشرفت فرآیند بهینه سازی را مشاهده کنند. طراحان می توانند عملکرد مسأله طراحی را بهتر درک کنند و در صورت لزوم رابطه سازی را بهتر کنند. این قابلیتها را با آوردن مثالهای نمونه بیشتر بحث خواهیم کرد.

## ۷.۵ نرم افزار بهینه سازی طراحی تعاملی

بندهای قبلی در حقیقت مشخصات یک نرم افزار بهینه سازی طراحی تعاملی با کاربری عمومی را تشریح کردند. براساس آنها، یک سیستم نرم افزار می‌تواند طراحی و پیاده شود. روشن است که برای تأمین تمامی انعطاف پذیریها و قابلیتها، نرم افزار، بسیار بزرگ و پیچیده خواهد شد. برای رسیدن به اهداف یادشده بسیاری از جدیدترین روش‌های طراحی نرم افزار و مدیریت داده‌ها، باید مورد استفاده قرار گیرند. فرآیند طراحی نرم افزار، پیاده سازی و ارزیابی آن می‌تواند بسیار پرهزینه و وقت گیر بوده و معادل چندین نفر - سال باشد.

در این بخش، نرم افزاری را با اختصار تشریح می‌کنیم که بعضی از قابلیتهای را که قبل از گفته شد داراست. سایر نرم افزارهای در دسترس برای داشتن قابلیتهای فوق ممکن است به طور مشابهی تجهیز شوند. برنامه فعلی آی دیزاین (IDESIGN) نامیده می‌شود که به منزله بهینه سازی طراحی تعاملی سیستمهای مهندسی<sup>۱</sup> است. این برنامه تجهیزات تعاملی و ترسیمی دارد که برای بهینه سازی به وسیله کامپیوتر و طراحی مناسب است [آرورا<sup>۲</sup>، ۱۹۸۴؛ آرورا و سنج<sup>۳</sup>، ۱۹۸۷]. با برنامه IDESIGN، رایانه و تجربیات طراحی می‌توانند برای تنظیم متغیرها جهت بهبود هدف طراحی و برآوردن قیود استفاده شوند. برنامه IDESIGN شامل چهار الگوریتم بهینه سازی غیرخطی مدرن و پیشرفته است. نصب و پیاده سازی مؤثر و قابل اعتماد الگوریتمها طی سالیان متعدد آزمایش به دست آمده است. حالتهای ساده بهینه سازی خطی و نامقید نیز می‌توانند توسط برنامه انجام شود.

برنامه IDESIGN مجّهـز به قابلیتهایی است که به مهندس امکان تعامل و کنترل فرآیند بهینه سازی را می‌دهد. شخص می‌تواند به هر طراحی قبلی برگردد و یا یک طراحی آزمایشی جدید را به طور دستی وارد کند. اطلاعات طراحی می‌توانند به شکل‌های مختلف نشان داده شده و یا توسط نمودارها نمایش داده شوند. سیستم طوری طراحی شده که کاربرهای ماهر و سبتدی هر دو از آن بهره می‌گیرند. افراد مبتدی می‌توانند هر بار به گزینه‌ای در صفحه رایانه که با دستور العمل همراه است پاسخ دهند. افراد ماهر می‌توانند برای داده‌ها پرونده ورودی تشکیل دهند و از صفحات نمایشی ردشوند. نرم افزار پاسخهای نامناسب را تشخیص داده و به فرد

فرصت تصحیح می‌دهد. ورودی و خروجی می‌تواند در یک پرونده "گویا"<sup>۱</sup> برای مراجعة کاربر منعکس شود. برای مسائل خیلی بزرگ و اجرای یکسره ورودی نیز می‌تواند در یک پرونده دریافت شود.

برنامه IDESIGN به زبان فرترن ۷۷<sup>۲</sup> با دقّت مضاعف نوشته شده است. با داشتن چندین زیر برنامه، وابستگی احتمالی آن به سخت افزار و سیستم عامل بر طرف شده است. برنامه در رایانه های مختلفی (IBM, PRIME, VAX, APOLLO, CDC) و تحت سیستمهای عامل متعددی (PRIMOS, VMS, AEGIS) با موفقیت تلفیق و اجرا شده است. با استفاده از برنامه، مسائل طراحی مختلف بخش ۷.۶ و فصل (۸) را می‌توانیم بهینه کنیم.

#### ۷.۵.۱ ارتباط متقابل کاربر با برنامه IDESIGN

برنامه IDESIGN از یک برنامه اصلی و تعدادی برنامه فرعی استاندارد که نیازی به تغییر توسعه کاربر ندارد، تشکیل شده است. به منظور حل یک مسئله طراحی (برای تعریف مناسب IDESIGN به بخش ۱.۶.۲.۳ مراجعه کنید.) کاربر باید برنامه های فرعی اضافی دیگری برای برنامه اصلی تهیه کند. داده های ورودی مثل طراحی اویی، حد بالا و پایین متغیر های طراحی، پارامتر های مسئله و مقدار پارامتر هایی که برای فرآخوان گزینه های مختلف برنامه لازم است، نیز باید تهیه گردند. داده های ورودی و گزینه های موجود در برنامه در دستور العمل کاربر [[آورا و سنج، ۱۹۸۷a]] تشریح شده است.

کاربر باید مسئله طراحی را با چهار برنامه فرعی فرترن زیر توضیح دهد:

USERMF : برنامه فرعی ارزیابی تابع مینیمم شونده (هزینه)

USERCF : برنامه فرعی ارزیابی توابع قیود

USRMG : برنامه فرعی ارزیابی گرادیان تابع مینیمم شونده (هزینه)

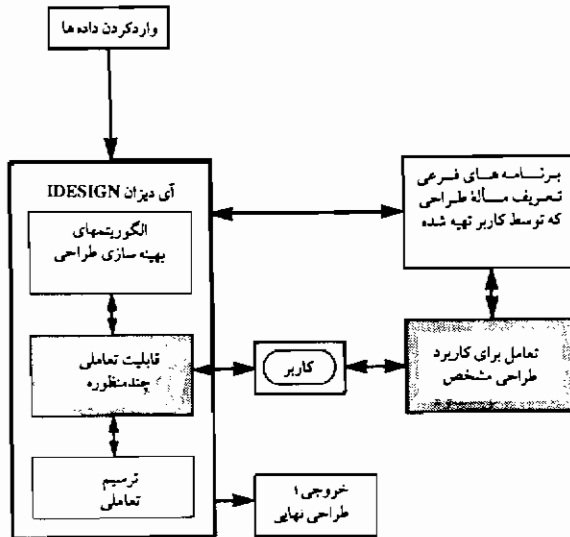
USERCG : برنامه فرعی ارزیابی گرادیان توابع قیود

برنامه فرعی پنجمی نیز ممکن است توسعه کاربر برای تحلیل پس بهینگی جواب بهین و به دست آوردن خروجی بیشتر با استفاده از شکل ویژه فراهم گردد.

1. dialogue

2. FORTRAN77

3. Arora and Tseng



شکل ۷.۴ آرایش مفهومی بهینه سازی طراحی تعاملی با IDESIGN

شکل ۷.۴ یک آرایش مفهومی از بهینه سازی طراحی تعاملی با برنامه IDESIGN را نشان می دهد. برای ایجاد یک سیستم طراحی کاربری مشخص، طراح باید برای تعریف مسئله و توابع هزینه و قیود و گرادیانهای آنها برنامه هایی فرعی به زبان فرترن تهیه کند. طراح در تهیه این برنامه های فرعی کاملاً آزاد و انعطاف پذیر است، مشروط به این که تناسب شناسه برای برقراری ارتباط با IDESIGN رعایت شود. به عنوان مثال آرایه های اضافی می توانند تعریف شوند، برنامه های دیگری و یا برنامه های فرعی می توانند فراخوان شوند، و ورودی های بیشتری وارد شوند. در میان این برنامه های فرعی، طراح ممکن است دستورهای تعاملی بیشتری که ویژه کاربری خاص است، نیز به کار بگیرد.

قابلیت تعامل چندمنظوره همان طور که در قسمت چپ شکل ۷.۴ نشان داده شده، در IDESIGN وجود دارد. در این قسمت، دستورالعملهای تعاملی که به کاربرد خاصی محدود نمی شوند وجود دارند. فهرستی از این دستورالعملها که هم اکنون در دسترس هستند در جدول ۷.۱ آمده است. با استفاده از این دستورها، طراح قادر است فرآیند را به صورت تعاملی به سوی طراحی قابل قبول هدایت کند. در میان این دستورها، دستور CH/XXX بسیار مفید است، زیرا به طراح این اجازه را می دهد که مقدار متغیرهای طراحی و حد بالا و پایین آنها، الگوریتم، و معیار همگرایی را تغییر دهد. این دستور برای به دست آوردن توصیه

IDESIGN برای بهترین تغییرهای طراحی که قبود را تصحیح کند نیز می‌تواند استفاده شود. دستورهای PLOT می‌توانند برای مشاهده تمایل متغیرهای طراحی، به دست آوردن قبود بحرانی، و به دست آوردن متغیرهای حساس و غیرحساس در توابع هزینه و قبود استفاده شوند.

جدول ۷.۱ دستورهای تعاملی در برنامه IDESIGN

دستور	منظور
CON	IDESIGN را ادامه بده
DIS	داده‌ها را نمایش ده
HELP	به کاربر کمک کن
QUIT	اجرای برنامه IDESIGN را متوقف کن
PLOT/NO.	1 = NO تاریخچه هزینه 2 = NO تاریخچه پارامتر همگرایی 3 = NO تاریخچه بیشترین نقض قید 4 = NO تاریخچه متغیرهای طراحی 5 = NO تاریخچه قبود
CH/XXX	6 = NO نمودار ستونی حسابیت قبود و هزینه را رسم کن متغیرها یا پارامترها را تغییر ده XXX = نام خلاصه شده پارامتر برو به بین
OPT	برنامه IDESIGN را ادامه بده XX = تعداد چرخه‌ها؛ اگر XX / حذف شود، برنامه IDESIGN با OK/FEA
OK/XX	به نقطه طراحی بعدی می‌رود XXX شروع مجدد از چرخه شماره؛ CR مسئله کاهش هزینه را حل می‌کند CC مسئله تصحیح قید را حل می‌کند CCC مسئله تصحیح قید را در هزینه ثابت حل می‌کند CCS مسئله تصحیح قید با کرانی بر افزایش هزینه حل می‌کند
RS/XXX	
CC	
CCC	
CCS	

می توان دید که ابزارهای تعاملی گذشته می تواند برای به دست آوردن نگرشی از عملکرد یک مسأله طراحی خاص استفاده شوند. با به دست آوردن این دانش، طراح شاید بتواند مفاهیم طراحی جای گزینی را ارائه کند که کارتر و ازنظر اقتصادی مقرر شون به صرفه تر باشند.

#### ۷.۵.۳ قابلیتهای برنامه آی دی زاین (IDESIGN)

آی دی زاین (IDESIGN) یک برنامه بهینه سازی کلی است که از اوخر سال ۱۹۷۰ در حال تدوین بوده است. الگوریتمهای برنامه ریزی غیر خطی نوین و پیشرفته و دیگر قابلیتها به آن اضافه شده است. گزینه ها و ابزارهای با کاربری آسان بیشماری دارد که با وارد کردن داده ها در دسترس قرار می گیرند. برنامه برای حل دسته های متفاوتی از مسائل طراحی بهین مورد استفاده قرار گرفته است:

۱. مسائل طراحی مهندسی با مقیاس کوچک که توابع هزینه و قید صریح دارند، مانند آنچه قبلًا در این کتاب تشریح شد.
۲. مسائل طراحی سازه ها که با استفاده از اجزای محدود مدل می شوند، مانند خرپاها، قابها، اجزای محدود مختلط، پلها، ساختمانهای صنعتی، ساختمانهای بلند، صفحات باربر، اجزای ماشین و بسیاری دیگر [آورا و هاگ<sup>۱</sup>، ۱۹۷۹؛ آورا و ثانه دار<sup>۲</sup>، ۱۹۸۶]. جزئیات بیشتری از این کاربردیها در فصل (۸) نیز ارائه می شود.
۳. کاربردهای بهینه سازی پاسخ دینامیکی، مانند مسائل جلوگیری از ارتعاش، پاسخ حالت یکنواخت، طراحی برای مقاوم بودن در مقابل زلزله، طراحی برای بدترین حالت و پاسخ گذرا [هوشی و آورا<sup>۳</sup>، ۱۹۸۴؛ لیم و آورا<sup>۴</sup>، ۱۹۸۷؛ سنج و آورا<sup>۵</sup>، ۱۹۸۷].
۴. کاربردهای مکانیک زیستی، مانند مسائل توزیع نیرو و ماهیچه ها و تعیین نیروی تماسی [پدرسن<sup>۶</sup> و غیره، ۱۹۸۷].
۵. کنترل بهینه سیستمها، سازه ای، مکانیکی و کاربردهای هوا-فضا. جزئیات بیشتر از این کاربردها در فصل (۸) بررسی می شوند.
۶. مسائل شناسایی سیستم، مانند مسائل مدل سازی محیطی و مصالح.

1. Arora and Haug

2. Arora and Thanedar

3. Hsieh and Arora

4. Lim and Arora

5. Tseng and Arora

6. Pederson

نوع مسأله و الگوریتمها . برنامه می تواند مسائل برنامه ریزی غیرخطی کلی که در معادله های (۱ . ۴) تا (۶ . ۶) رابطه آن ارائه شد، مسائل برنامه ریزی خطی و مسائل نامقید را حل کند. اگرچه برنامه گزینه ای برای حل مسائل برنامه ریزی خطی دارد، ولی الگوریتم استفاده شده به کارایی روش سیمپلکس نیست. بنابراین، برای مسائل برنامه ریزی خطی بزرگ، استفاده از برنامه ای که براساس روش سیمپلکس قرار دارد توصیه می شود. الگوریتمهای زیر موجود می باشند :

۱. الگوریتم مرزیندی تابع هزینه [آرورا<sup>۱</sup>، ۱۹۸۴].
۲. روش خطی شنیچنی [بخش ۶ . ۶؛ بلگاندا و آرورا<sup>۲</sup>، ۱۹۸۴].
۳. الگوریتم برنامه ریزی درجه دو دنباله ای که برای تابع لاگرانژ اطلاعات مرتبه دوی تقریبی تولید کرده و به کار می برد [بخش ۶ . ۷؛ لیم و آرورا<sup>۳</sup>، ۱۹۸۶].
۴. یک روش ترکیبی که الگوریتمهای مرزیندی تابع هزینه و برنامه ریزی درجه دوی دنباله ای را باهم ترکیب می کند [ثانه دار<sup>۴</sup> و دیگران، ۱۹۸۶].
۵. روش گرادیان مزدوج برای مسائل نامقید (بخش ۵ . ۵).

اگر الگوریتمی توسط کاربر مشخص نشود، برنامه به طور خودکار بهترین الگوریتم را استفاده می کند.

قابلیت تعاملی . بخش وسیعی از قابلیتهای تعاملی همچنان که قبلًا بحث شد، در دسترسند. به عنوان مثال داده های ورودی می توانند وارد شده و ویراستاری گرددند، پارامترهای مسأله و گزینه های برنامه می توانند تغییر یابند، مشاوره به منظور بهبود بخشنیدن به طراحی اولیه در دسترس است، و نمودارها و منحنیهای مختلف می توانند روی صفحه رسم شوند.

ارزیابی گرادیان . قابلیتهای زیر برای ارزیابی گرادیان و آزمایش عبارت گرادیان در دسترس است :

۱. اگر کاربر عبارت گرادیان را در برنامه های فرعی USERCG و USERMG معرفی نکند، برنامه به طور خودکار آنها را محاسبه می کند. برای این محاسبات روش تفاضل محدود (پیش رو، پس رو، یا مرکزی) که در بخش ۴ . ۵ تشریح شد، با مقدارهای مشخص شده

---

1. Arora

2. Belegundu and Arora

3. Lim and Arora

4. Thanedar

(داده‌های ورودی) مورد استفاده قرار می‌گیرد.

۲. گزینه‌ای در IDESIGN در دسترس است که مقدار بهینه‌<sup>۳</sup> را برای ارزیابی گردیدن به روش تفاضل محدود برای توابع هزینه و قید می‌دهد.

۳. اگر کاربز عبارت گردیدن را در برنامه‌های فرعی USERMG و USERCG معرفی کرده باشد، گزینه‌ای برای تأیید آنها در دسترس است؛ یعنی ارزیابی گردیدن با روش تفاضل محدود مقایسه می‌شود. اگر در عبارت گردیدن خطای وجود داشت، گزینه‌ای در دسترس است که یا برنامه را متوقف کند و یا محاسبات را ادامه دهد.

این گزینه‌ها نشان داده‌اند که در کاربردهای عملی بسیار مفیدند.

خروجی . خروجی برنامه می‌تواند در سطوح مختلف گرفته شود. این سطوح در داده‌های ورودی مشخص می‌شود. حداقل خروجی، طرح نهایی، متغیرهای طراحی، فعال بودن قیود، تاریخچه تابع هزینه، پارامتر همگرایی، و بیشترین نقض قید را می‌دهد. جزئیات بیشتر در هر چرخه، مانند ماتریس گردیدن و دیگر نتایج در آن چرخه نیز می‌تواند به دست آید. در اصل خروجی اطلاعات جزئی برای بازنگری برنامه استفاده می‌شود.

## ۷.۶ مثالهایی از بهینه سازی طراحی تعاملی

در این بخش با حل مسأله بهینه سازی طراحی فتر استفاده از قابلیت‌های تعاملی را تشریح خواهیم کرد. رابطه سازی دقیق مسأله بحث خواهد شد. داده‌های عددی داده خواهد شد تا مسأله با استفاده از حل یکسره یا قابلیت‌های تعاملی IDESIGN حل شود. قابلیت‌های برنامه با استفاده از چندین مسأله طراحی در فصل (۸) و چندین منبع دیگر [آرورا و بالانزیگر<sup>۱</sup>، ۱۹۸۶، ۱۹۸۷؛ آرورا و سنج<sup>۲</sup>، ۱۹۸۷، ۱۹۸۸؛ سنج و آرورا<sup>۳</sup>، ۱۹۸۷] نیز تشریح می‌شود.

از فن حلقوی در بسیاری از کاربردهای عملی استفاده می‌شود. روش‌های تحلیل و طراحی چنین قطعات مکانیکی در طول سالها تدوین و ارائه شده است (به عنوان مثال به مراجع زیر نگاه کنید: اسپات<sup>۴</sup>، ۱۹۵۳؛ وهل<sup>۵</sup>، ۱۹۶۳؛ شبکلی<sup>۶</sup>، ۱۹۷۷، هاگ و آرورا<sup>۷</sup>،

1. Arora and Baenziger

2. Arora and Tseng

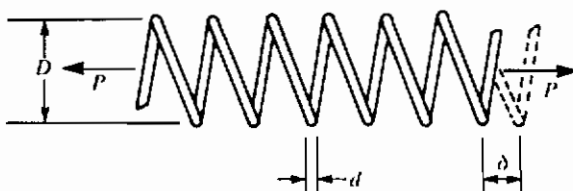
3. Tseng and Arora

4. Spoll

5. Wahl

6. Shigley

7. Haug and Arora



شکل ۷.۵ یک فنر حلقوی

۱۹۷۹). به عنوان مثال طراحی بهین، فنر حلقوی را در نظر بگیرید که تحت کشش یا فشار قرار دارد؛ مانند آنچه در شکل ۷.۵ نشان داده شده است. مسأله عبارت است از طراحی فنری با کمترین جرم که باری مشخص را بدون شکستن تحمل کرده و سایر شرایط عملکردی را نیز برآورده کند.

#### ۷.۶.۱ رابطه سازی مسأله طراحی فنر

برای رابطه سازی مسأله طراحی فنر حلقوی، اصطلاحات و داده های زیر تعریف می شوند:

$$Q = 2$$

تعداد حلقه های غیرفعال

$$P = 10 \text{ lbs}$$

نیروی اعمال شده

$$G = (1.15E + 07) \text{ lb/in}^2$$

ضریب ارتجاعی برشی

$$\delta$$

تغییر مکان در امتداد محور فنر

$$\Delta = 0.5 \text{ in}$$

حداقل تغییر مکان فنر

$$\gamma = 0.285 \text{ lb/in}^3$$

وزن مخصوص فنر

$$g = 386 \text{ in/sec}^2$$

شتاب نقل

$$\rho = (7.383\ 42E-04) \text{ lb-sec}^2/\text{in}^4$$

چگالی مصالح ( $\rho = \gamma/g$ )

$$\tau_a = (8.0E + 04) \text{ lb/in}^2$$

تنش برشی مجاز

$$\omega$$

بسامد تموّج امواج

$$\omega_0 = 100 \text{ Hz}$$

حد پایین بسامد تموّج امواج

$$\bar{D} = 1.5 \text{ in}$$

حد قطر خارجی

سه متغیر طراحی مسأله عبارتند از قطر مفتول (in) =  $d$  ، قطر متوسط حلقه (in) =  $D$  و

تعداد حلقه های فعال =  $N$ .

برای فنر تحت کشش یا فشار، مفتول می‌پسجد. بنابراین، قید تنش برشی باید اعمال شود. عبارات طراحی زیر را برای فنر داریم:

$$P = K\delta \quad \text{معادله نیرو و تغییر مکان} \quad (7.11)$$

$$K = \frac{d^4 G}{8D^3 N} \quad \text{ثابت فنر} \quad (7.12)$$

$$\tau = \frac{8kPD}{\pi d^3} \quad \text{تنش برشی} \quad (7.13)$$

$$k = \frac{(4D - d)}{(4D - 4d)} + \frac{0.615d}{D} \quad \text{ضریب تمرکز تنش وهل} \quad (7.14)$$

$$\omega = \frac{d}{2\pi D^2 N} \sqrt{\frac{G}{2\rho}} \quad (7.15)$$

عبارت ضریب تمرکز تنش وهل  $k$  در معادله (7.14) به طور تجربی به دست آمده و برای در نظر گرفتن تنشهای بالای غیرمعمول در نقاط مشخصی از فنر به کار می‌رود. این عبارات می‌توانند برای تعریف قیود مسئله استفاده شوند.

تابع هزینه. مسئله عبارت است از مینیمم کردن جرم فنر (چگالی  $\times$  حجم)

$$M = (N + Q)\pi^2 D d^2 \rho \quad (7.16)$$

قید تغییر مکان. اغلب لازم است که تغییر مکان فنر تحت بار  $P$  حداقل به اندازه  $\Delta$  باشد. بنابراین، قید عبارت است از این که تغییر مکان محاسبه شده بیشتر یا مساوی  $\Delta$  باشد. این شکل از قیود در طراحی فنرها معمول است. در کاربردهای بسیاری، عمل فنر عبارت است از ذخیره یک نیروی متوسط و قوتی که تغییر مکان زیادی تحت تأثیر حرکت اتفاق می‌افتد. از نظر ریاضی، این عملکرد ( $\Delta \leq \delta$ ) به شکل نامساوی و با استفاده از معادله‌های (7.11) و (7.12) بیان می‌شود

$$\frac{8PD^3 N}{d^4 G} \geq \Delta \quad (7.17)$$

قید تنش برشی. برای جلوگیری از تنش اضافی مصالح، تنش برشی در مفتول باید بیشتر از  $\varepsilon$  نباشد. با استفاده از معادله‌های (7.13) و (7.14) قید به عبارت ریاضی به شکل

زیر بیان می‌شود

$$\frac{8PD}{\pi d^3} \left[ \frac{(4D-d)}{(4D-4d)} + \frac{0.615d}{D} \right] \leq \tau_a \quad (V. 18)$$

قید بسامد تمواج امواج، می‌خواهیم که در عملکرد دینامیکی فنر از تشدید نیز جلوگیری شود. اگر بسامد تمواج امواج (در امتداد فنر) را تا حد امکان بزرگ در نظر بگیریم، می‌تواند از پیش آمدن تشدید جلوگیری کند. در مسئله حاضر، باید بسامد تمواج امواج فنر حداقل  $\omega_0$  (هرتز) باشد. با استفاده از معادله (V. 15)، این قید ( $\omega_0 \geq \omega$ ) به شکل ریاضی عبارت است از

$$\frac{d}{2\pi D^2 N} \sqrt{\frac{G}{2\rho}} \geq \omega_0 \quad (V. 19)$$

قید قطر. قطر خارجی فنر باید از  $\bar{D}$  بیشتر باشد، بنابراین

$$D + d \leq \bar{D} \quad (V. 20)$$

محدوده صریح متغیرهای طراحی. برای جلوگیری از مشکلات عملی، ماروی قطر مفتول، قطر فنر و تعداد حلقه‌ها حد ماقریزم و مینیمم قرار می‌دهیم:

$$d_{\min} \leq d \leq d_{\max}; \quad D_{\min} \leq D \leq D_{\max}; \quad N_{\min} \leq N \leq N_{\max} \quad (V. 21)$$

پس مسئله طراحی فنر با مینیمم جرم عبارت است از انتخاب متغیرهای طراحی  $d$ ،  $D$  و  $N$  برای مینیمم شدن جرم معادله (V. 16)، مشروط به ده قید نامساوی معادله‌های (V. 17) تا (V. 21).

تعريف استاندارد مسئله. بعد از نرمال‌سازی قبود، با استفاده از داده‌های تعریف شده و نوشتن آنها به شکل استاندارد بخش ۲.۷، رابطه سازی طراحی بهینه مسئله فنر به شکل زیر خواهد بود. تابع

$$f = (N + 2)Dd^2 \quad (V. 22)$$

رانسبت به قید تغییر مکان

$$g_1 = 1.0 - \frac{D^3 N}{(71875 d^4)} \leq 0 \quad (V. 23)$$

قید تنش برثی

## ۷.۶.۲ حل بهین مسأله طراحی فنر

۵۹۱

$$g_2 = \frac{D(4D - d)}{12566d^3(D - d)} + \frac{2.46}{12566d^2} - 1.0 \leq 0 \quad (7.24)$$

قید بسامد تمواج امواج

$$g_3 = 1.0 - \frac{140.54d}{D^2 N} \leq 0 \quad (7.25)$$

و قید قطر خارجی

$$g_4 = \frac{D + d}{1.5} - 1.0 \leq 0 \quad (7.26)$$

مینیمم کنید. کرانهای بالا و پایین متغیرهای طراحی عبارت است از :

$$0.05 \leq d \leq 0.20 \text{ in}$$

$$0.25 \leq D \leq 1.30 \text{ in} \quad (7.27)$$

$$2 \leq N \leq 15$$

توجه کنید که عدد ثابت  $\pi/4$  درتابع هزینه معادله (7.22) حذف شده است. این ضریب مقدار تابع هزینه را تغییر می دهد بدون این که اثری روی جواب بهین داشته باشد. مسأله سه متغیر طراحی و ۱۰ قید نامساوی معادله های (7.23) تا (7.27) دارد. اگر بخواهیم مسأله را به صورت تحلیلی و با استفاده از شرایط کان-تاکر بخش ۴.۳ حل کنیم، لازم است <sup>۲</sup> حالت در نظر بگیریم که بسیار وقت گیر و خسته کننده است.

## ۷.۶.۳ حل بهین مسأله طراحی فنر

هر برنامه مناسبی می تواند برای حل مسأله تعريف شده در معادله های (7.22) تا (7.27) به کار رود. ما مسأله را با استفاده از الگوریتم برنامه ریزی درجه دوی دنباله ای بخش ۷.۶ که در نرم افزار IDESIGN موجود است، حل می کنیم. تاریخچه فرآیند طراحی چرخه ای در جدول ۷.۲ نشان داده شده است. جدول شماره چرخه (Iter)، بیشترین نقض قید (Max. vio.)، پارامتر همگرایی (Conv. parm.)، تابع هزینه (Cost)، و متغیرهای طراحی را در هر چرخه نشان می دهد. جدول همچنین چگونگی فعل بودن قیود در نقطه بهین که آیا فعل است یا نه، و مقدار تابع قید و ضرایب لاگرانژ را می دهد. چگونگی فعل بودن متغیرهای طراحی در نقطه بهین و مقدار تابع هزینه نهایی و تعداد دفعات فراخوان برنامه های فرعی که توسط کاربر تهیه شده نیز در جدول آمده است.

جدول ۷.۲ تاریخچه فرآیند بهینه سازی چرخه ای برای مسئله طراحی فنر در حالت اجرای یکره

	بیشترین نقض چرخه	پارامتر همگرایی	هزینه	<i>d</i>	<i>D</i>	<i>N</i>
1	9.617 91E - 01	1.000 00E + 00	2.080 00E - 01	2.0000E - 01	1.3000E + 00	2.0000E + 00
2	2.488 14E + 00	1.000 00E + 00	1.301 22E - 02	5.0000E - 02	1.3000E + 00	2.0038E + 00
3	6.898 74E - 01	1.000 00E + 00	1.226 13E - 02	5.7491E - 02	9.2743E - 01	2.0000E + 00
4	1.603 01E - 01	1.422 46E - 01	1.207 98E - 02	6.2522E - 02	7.7256E - 01	2.0000E + 00
5	1.239 63E - 02	8.922 16E - 03	1.728 14E - 02	6.8435E - 02	9.1481E - 01	2.0336E + 00
6	1.973 57E - 05	6.477 93E - 03	1.764 75E - 02	6.8770E - 02	9.2373E - 01	2.0396E + 00
7	9.254 86E - 06	3.214 48E - 02	1.762 48E - 02	6.8732E - 02	9.2208E - 01	2.0460E + 00
8	2.271 39E - 04	7.688 89E - 02	1.750 88E - 02	6.8542E - 02	9.1385E - 01	2.0782E + 00
9	5.143 38E - 03	8.802 80E - 02	1.694 69E - 02	6.7635E - 02	8.7486E - 01	2.2346E + 00
10	8.790 64E - 02	8.870 76E - 02	1.448 39E - 02	6.3848E - 02	7.1706E - 01	2.9549E + 00
11	9.070 17E - 02	6.668 81E - 02	1.319 58E - 02	6.0328E - 02	5.9653E - 01	4.0781E + 00
12	7.207 05E - 02	7.906 47E - 02	1.265 17E - 02	5.7519E - 02	5.1028E - 01	5.4942E + 00
13	6.745 01E - 02	6.868 92E - 02	1.228 89E - 02	5.4977E - 02	4.3814E - 01	7.2798E + 00
14	2.817 92E - 02	4.504 82E - 02	1.248 15E - 02	5.3497E - 02	4.0092E - 01	8.8781E + 00
15	1.578 25E - 02	1.942 56E - 02	1.254 65E - 02	5.2424E - 02	3.7413E - 01	1.0202E + 01
16	5.859 35E - 03	4.930 63E - 03	1.262 54E - 02	5.1790E - 02	3.5896E - 01	1.1113E + 01
17	1.496 87E - 04	2.692 44E - 05	1.267 72E - 02	5.1698E - 02	3.5692E - 01	1.1289E + 01
18	0.000 00E + 00	9.769 24E - 08	1.267 87E - 02	5.1699E - 02	3.5695E - 01	1.1289E + 01

## فعال بودن قید

	فعال بودن شماره	مقدار	ضریب لاگرانژ
1	آری	-4.663 82E - 09	1.077 17E - 02
2	آری	-2.462 86E - 09	2.440 46E - 02
3	خیر	-4.047 92E + 00	0.000 00E + 00
4	خیر	-7.275 68E - 01	0.000 00E + 00

## فعال بودن متغیر طراحی

	فعال بودن شماره	طراحی	حد پایین	حد بالا	ضریب لاگرانژ
1	پایین	5.169 87E - 02	5.000 00E - 02	2.000 00E - 01	0.000 00E + 00
2	پایین	3.569 50E - 01	2.500 00E - 01	1.300 00E + 00	0.000 00E + 00
3	خیر	1.128 95E + 01	2.000 00E + 00	1.500 00E + 01	0.000 00E + 00

مقدار تابع هزینه در بهین = 1.267 868E - 02

تعداد دفعات فرآخوان برای ارزیابی تابع هزینه = 18 . (USERMF)

تعداد دفعات فرآخوان برای ارزیابی گرادیان تابع هزینه = 18 . (USERMG)

تعداد دفعات فرآخوان برای ارزیابی توابع قبود = 18 . (USERCF)

تعداد دفعات فرآخوان برای ارزیابی گرادیان توابع قبود = 18 . (USERCG)

تعداد کل دفعات ارزیابی گرادیان = 34 .

### ۷.۶.۳ حل تعاملی برای مسأله طرّاحی فنر

۵۹۳

برای مسأله فعلی، معیارهای توقف زیر به کار رفته است:

۱. بیشترین نقض قید (Max. vio.) باید از  $4 \times 10^{-6}$  کمتر باشد، یعنی در گام ۴ الگوریتم داده شده در بخش ۷.۶.۷، عبارت است از  $04 - 1.00E$ .
۲. طول بردار جهت (Conv. parm.) باید از  $4 \times 10^{-6}$  کمتر باشد، یعنی در گام ۴ الگوریتم داده شده در بخش ۷.۶.۷، عبارت است از  $03 - 1.00E$ .

حدس طرّاحی در شروع عبارت است از  $(0.2, 1.3, 2.0)$  در حالی که بیشترین نقض قید  $96.2\%$  و مقدار تابع هزینه  $0.208$  است. در چرخه ششم، یک طرّاحی قابل قبول (بیشترین نقض قید عبارت است از  $05 - 1.97E$ ) بدست می‌آید که مقدار تابع هزینه آن  $(02 - 1.764E)$  است. توجه کنید که در این مثال، تصحیح قید با کاهش قابل توجه (با ضرب  $10$ ) تابع هزینه همراه است. با این همه، اغلب، تصحیح قید به افزایش هزینه می‌انجامد. برنامه برای رسیدن به طرّاحی بهین  $12$  چرخه دیگر انجام می‌دهد. در نقطه بهین، قیود تغییر مکان و تنش برشی معادله‌های  $(7.23)$  و  $(7.24)$  فعال هستند. مقدار ضرایب لاغر اثر عبارت است از  $(02 - 0.077E)$  و  $(02 - 2.440E)$ . متغیر طرّاحی اوّل (قطر مفتول) به کران پایینی خودش نزدیک است.

### ۷.۶.۴ حل تعاملی برای مسأله طرّاحی فنر

در زیربخش گذشته، مسأله طرّاحی فنر با یک اجرای یکسره حل شد و طرح در فرآیند چرخه کنترلی نداشت. برنامه تارسیدن به نقطه بهین  $18$  چرخه را انجام داد. ما همین مسأله را به صورت تعاملی و با شروع از همان نقطه، حل خواهیم کرد. روش عبارت خواهد بود از توقف برنامه در هر چرخه، تحلیل شرایط طرّاحی، و اعمال یک دستور تعاملی برای انجام گام مشخص. در کاربرد فعلی، فقط مقدار تابع هزینه و بیشترین نقض قید مورد بازبینی قرار گرفته و برای تصمیم سازی استفاده می‌شود. در کاربردهای پیشرفته، تاریخچه متغیرهای طرّاحی و سایر نمودارهایی که در زیربخش آینده تشریح می‌شوند نیز می‌توانند در تصمیم سازی استفاده شوند. به عنوان مثال، مقادیر متغیرهای طرّاحی می‌تواند با مشاهده گرایش آنها بروز یابی شود. این مطلب در زیربخش آینده تشریح خواهد شد.

جدول ۷.۳ حاوی تاریخچه متغیرهای طرّاحی، بیشترین نقض قید، پارامتر همگرایی و تابع هزینه است. جدول همچنین الگوریتم تعاملی استفاده شده در هر چرخه را نشان می‌دهد.

### جدول ۷.۳ فرآیند حل تعاملی برای مسئله طراحی فنر

		بیشترین نقطه الگوریتم چرخه	پارامتر همگرایی	هزینه	$d$	D	N
1	CC	9.61791E - 01	1.00000E + 00	2.08000E - 01	2.0000E - 01	1.3000E + 00	2.0000E + 00
2	CC	2.48814E + 00	1.00000E + 00	1.30122E - 02	5.0000E - 02	1.3000E + 00	2.0038E + 00
3	CC	6.89874E - 01	1.00000E + 00	1.22613E - 02	5.7491E - 02	9.2743E - 01	2.0000E + 00
4	CC	1.60301E - 01	1.00000E + 00	1.20798E - 02	6.2522E - 02	7.7256E - 01	2.0000E + 00
5	CC	3.70554E - 01	1.00000E + 00	1.03315E - 02	5.8477E - 02	5.1558E - 01	3.8601E + 00
6	CC	5.06054E - 01	1.00000E + 00	7.96802E - 03	5.0000E - 02	2.9195E - 01	8.9170E + 00
7	CR	0.00000E + 00	1.67623E - 02	1.47352E - 02	5.5455E - 02	4.3220E - 01	9.0837E + 00
8	CCC	3.53358E - 02	1.67623E - 02	1.19685E - 02	5.2692E - 02	3.8896E - 01	9.0828E + 00
9	CCC	4.24950E - 04	1.67623E - 02	1.27298E - 02	5.3485E - 02	4.0151E - 01	9.0831E + 00
10	CCS	1.08957E - 04	1.67623E - 02	1.27290E - 02	5.3395E - 02	3.9916E - 01	9.1854E + 00
11	CR	0.00000E + 00	5.49055E - 05	1.27300E - 02	5.3396E - 02	3.9918E - 01	9.1854E + 00

فعال بودن قید

فعال بودن شماره	مقدار	ضریب لاگرانژ
1 آری	-2.94670E - 09	1.09581E - 02
2 آری	-1.36188E - 09	2.45745E - 02
3 خیر	-4.12384E + 00	0.00000E + 00
4 خیر	-6.98284E - 01	0.00000E + 00

فعال بودن متغیر طراحی

فعال بودن شماره	طراحی	حد پایین	حد بالا	ضریب لاگرانژ
1 پایین	5.33956E - 02	5.00000E - 02	2.00000E - 01	0.00000E + 00
2 خیر	3.99178E - 01	2.50000E - 01	1.30000E + 00	0.00000E + 00
3 خیر	9.18539E + 00	2.00000E + 00	1.50000E + 01	0.00000E + 00

تابع هزینه در بهین = 1.273000E - 02

تعداد دفعات فرآخوان ارزیابی تابع هزینه ۱۱ = (USERMF)

تعداد دفعات فرآخوان ارزیابی گرادیان تابع هزینه ۱۱ = (USERMG)

تعداد دفعات فرآخوان ارزیابی قید ۱۱ = (USERCF)

تعداد دفعات فرآخوان ارزیابی گرادیان توابع قيد ۱۱ = (USERCG)

تعداد کل دفعات ارزیابی گرادیان = 20

CC ، گام تصحیح قید؛ CR ، گام کاهش هزینه؛ CCC ، تصحیح قید در هزینه ثابت؛ و CCS ، تصحیح قید در هزینه مشخص.

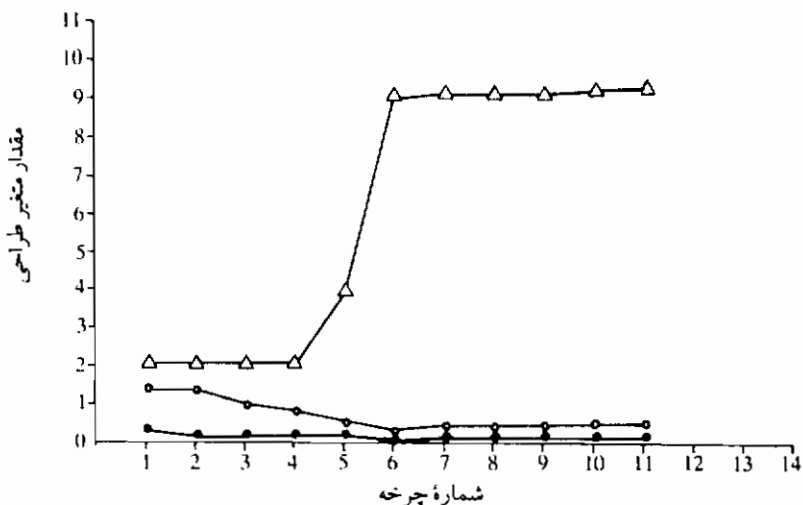
هدف اوکیه عبارت است از به دست آوردن یک طراحی قابل قبول. بنابراین در شش چرخه اول الگوریتم تصحیح قید (CC) اجرا شده است. در چرخه هفتم طراحی قابل قبول به دست می آید. توجه کنید که در شش چرخه اول تصحیح قید با کاهش تابع هزینه همراه است.

در چرخه هفتم، الگوریتم کاهش هزینه (CR) با ۲۰٪ کاهش در تابع هزینه اجرا شده است. در چرخه هشتم تابع هزینه کاهش می‌باید ولی دوباره نقض قید ظاهر می‌شود. برای دو چرخه بعدی، تصحیح قید در هزینه ثابت (CCC) به کار رفته که یک طراحی نسبتاً قابل قبول در دهمین چرخه به دست می‌دهد. در چرخه دهم، تصحیح قید با افزایشی مشخص (CCS) دیده می‌شود. در چرخه یازدهم، تمامی قیود برآورده می‌شوند و پارامتر همگرایی بسیار کوچک است، بنابراین برنامه متوقف شده است. تابع هزینه به بهین واقعی نزدیک است. با این همه، نقطه طراحی متفاوت است. معلوم می‌شود که برای این مسأله طراحی‌های نزدیک به بهین متعددی در همسایگی بهین واقعی وجود دارد.

## ۷.۶.۴ استفاده از ترسیم تعاملی

نمایش ترسیمی حجم زیاد داده‌ها، روش بسیار راحت تعبیر نتایج و نتیجه‌گیری است. ترسیم تعاملی می‌تواند نقش مهمی در تصمیم سازی فرآیند طراحی بازی کند. کاربرد احتمالی ترسیم تعاملی را در فرآیند بهینه سازی طراحی با استفاده از مسأله طراحی فنر به عنوان نمونه تشریح می‌کنیم. مسأله طراحی فنر را برای ده چرخه و با شروع از نقطه (2.0, 0.2, 1.3, 2.0) اجرا می‌کنیم. در چرخه دهم برنامه متوقف شده و کنترل اجرا به طراح متنقل می‌شود. از دستورهای مختلف ترسیم منحنی که در برنامه IDESIGN وجود دارد برای نمایش داده‌ها روی صفحه استفاده می‌شوند. تمامی محاسبات با رایانه APOLLO DN460 انجام شده است. در زیر، ابزارهای مختلف ترسیمی و امکان استفاده از آنها را در طراحی عملی تشریح خواهیم کرد.

گرایش متغیرهای طراحی. تاریخچه متغیرهای طراحی وقتی روی صفحه نمایش داده شوند تمايل آنها را نشان می‌دهد. به عنوان مثال، شکل ۷.۶.۷ تغییرات متغیرهای طراحی را بر حسب تعداد چرخه‌ها نشان می‌دهد. شکل نشان می‌دهد که متغیر طراحی ۱ در چرخه اول کاهش یافته و آن گاه تقریباً ثابت می‌ماند. اگر اطلاعات در یک چرخه میانی نمایش داده شده بودند، متغیر می‌توانست مقدار ثابتی را دارا باشد، زیرا تغییر زیادی نداشت. متغیر طراحی ۲ در چند چرخه اول کاهش یافته و آن گاه تقریباً ثابت می‌ماند. متغیر<sup>۳</sup> در سه چرخه اول تغییر نکرده آن گاه برای دو چرخه بعدی بسرعت افزایش یافته است. با استفاده از اطلاعات مربوط به گرایش متغیرها، طراح می‌تواند مقدار متغیر طراحی را بدون استفاده از رایانه برونویابی کند.



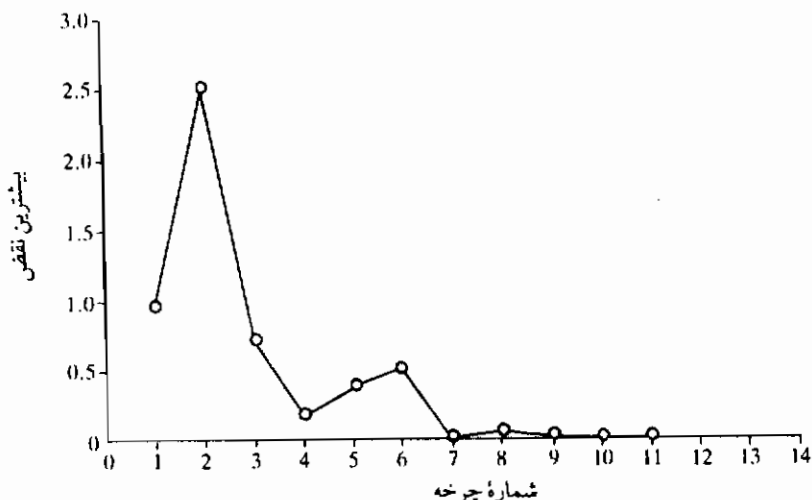
شکل ۷.۶ تاریخچه متغیرهای طراحی برای فنر.  $\Delta$ : N, ○: D, ●: d, ●: f

نتیجه می‌گیریم که با استفاده از تاریخچه متغیر طراحی، می‌توانیم تصمیم گیری زیر را انجام دهیم:

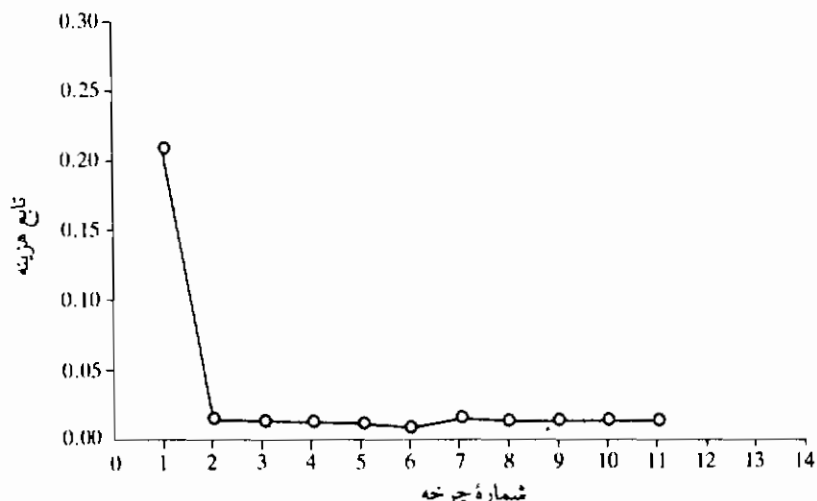
۱. براساس نمایش گرایش متغیرهای طراحی، می‌توانیم مقدار آنها را با بروز یابی بدست آوریم.
۲. اگر یک متغیر طراحی تغییر نکند، می‌توانیم آن را برای چند چرخه ثابت در نظر گرفته و فقط بقیه متغیرها را بهینه کنیم.

تاریخچه بیشترین نقض قید. شکل ۷.۷ ترسیمه‌ای از بیشترین نقض قید را بر حسب تعداد چرخه‌ها برای مسئله طراحی فنر نشان می‌دهد. با استفاده از این منحنی، می‌توانیم طراحیهای قابل قبول را مشخص کنیم. به عنوان مثال، طراحیهای بعد از چرخه هفتم قابل قبول هستند. تمامی طراحیهای چرخه‌های قبلی مقداری نقض قید داشته‌اند.

تاریخچه تابع هزینه. شکل ۷.۸ تاریخچه تابع هزینه را برای ده چرخه اول مسئله طراحی فنر نشان می‌دهد. این شکل نشان می‌دهد که تابع هزینه در چرخه اول به میزان چشمگیری کاهش می‌یابد. بعد از آن بکندی تغییر می‌کند و چنین به نظر می‌رسد که نزدیک بهین است. فرآیند چرخه می‌توانست در یک طراحی قابل قبول متوقف شود.

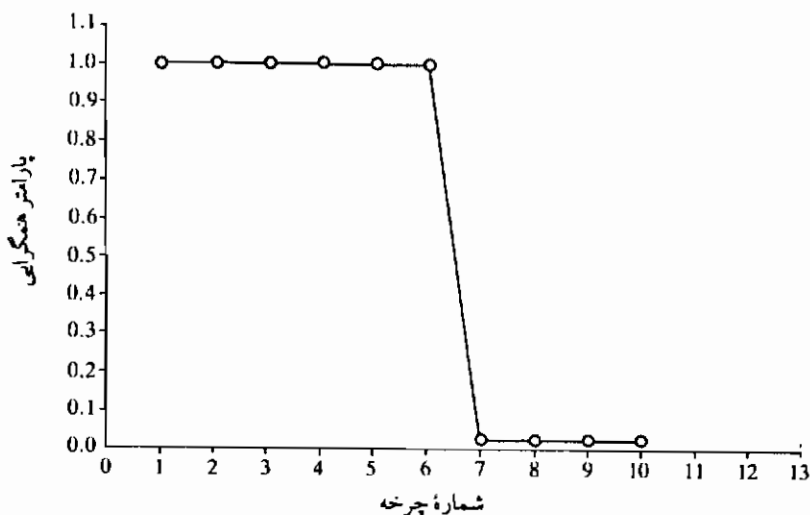


شکل ۷.۷ تاریخچه بیشترین نقض قید برای مسأله طراحی فر



شکل ۷.۸ تاریخچه تابع هزینه برای مسأله طراحی فر

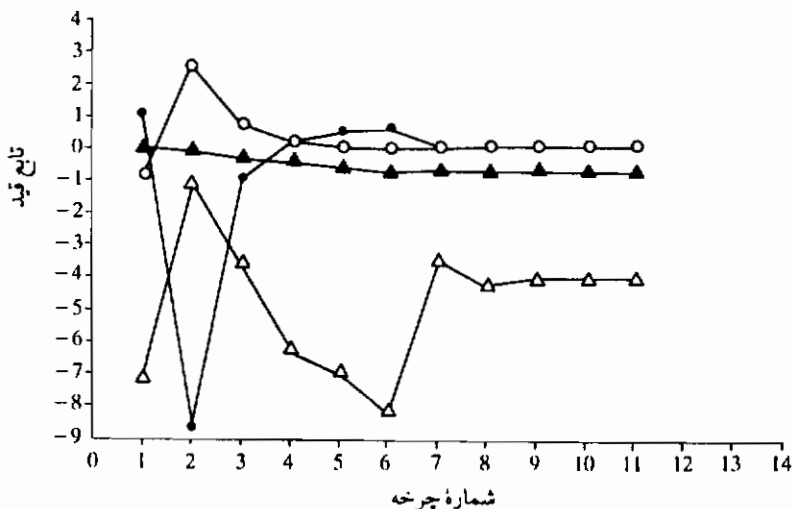
تاریخچه پارامتر همگرایی. شکل ۷.۹ تاریخچه پارامتر همگرایی را برای مسأله طراحی فر نشان می دهد. این پارامتر وقتی به بهین می رسمیم باید نزدیک صفر شود. دیده می شود که پارامتر در هفتمین چرخه نزدیک صفر است، بنابراین جواب کاملاً بهین نزدیک است و فرآیند چرخه می تواند متوقف شود.



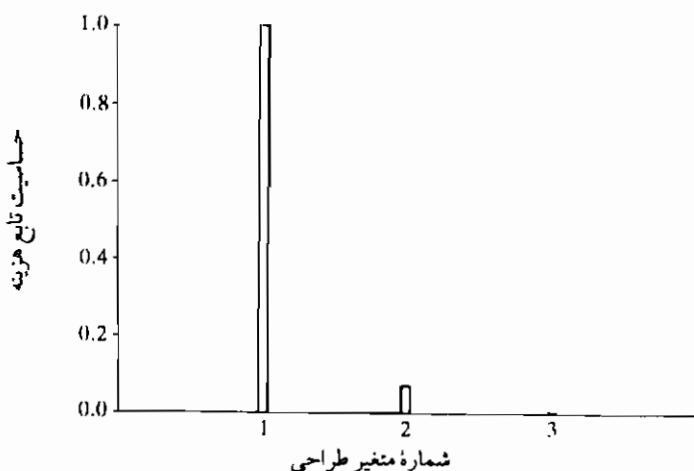
شکل ۷.۹ تاریخچه پارامتر همگرایی برای مسأله طراحی فنر

تاریخچه توابع قبود. شکل ۱۰. ۷ تاریخچه چهار قید مسأله طراحی فنر را نشان می دهد. مقدار کمتر از صفر نشان دهنده قید غیرفعال و بزرگتر از صفر نشان دهنده نقض شدن قید است. دیده می شود که قید اول و چهارم در ابتدا نقض شده اند، ولی در چرخه های بعدی قید اول و دوم فعالند. قید سوم هرگز فعال نبوده و نقض هم نشده و می تواند حذف شود. این قید بر جواب و یا فرآیند بهینه سازی تأثیر نمی گذارد. پس با استفاده از تاریخچه توابع قبود، می توانیم قیدهایی را شناسایی کنیم که در به دست آوردن جواب بهین نقش ویژه دارند. طراح می تواند این قیدها را بیشتر تحلیل کند تا ببیند که آیا می توان آنها را برای بهبود بخشیدن به جواب بهین تنظیم کرد.

نمودار حساسیت تابع هزینه . شکل ۱۱. ۷ یک نمودار ستونی نرمال شده حساسیت تابع هزینه را به متغیرهای طراحی نشان می دهد. نمودار با رسم مقدار نسبی مؤلفه های گرادیان تابع هزینه به دست آمده است (مشتقها نسبت به متغیرهای طراحی). برای مسأله طراحی فنر، تابع هزینه از همه بیشتر به اوکین متغیر طراحی و از همه کمتر به سومین متغیر طراحی حساسیت نشان می دهد. با دانستن این موضوع، طراح می تواند تصمیم بگیرد که متغیر سوم را ثابت در نظر گرفته و تنها متغیر اول و دوم را بهینه کند.

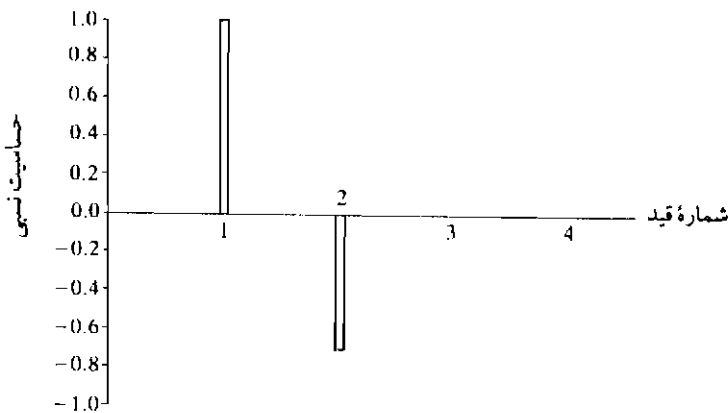


شکل ۷.۱۰ توابع قبود برای مسئله طراحی فنر.



شکل ۷.۱۱ حساسیت تابع هزینه نسبت به متغیرهای طراحی برای مسئله طراحی فنر

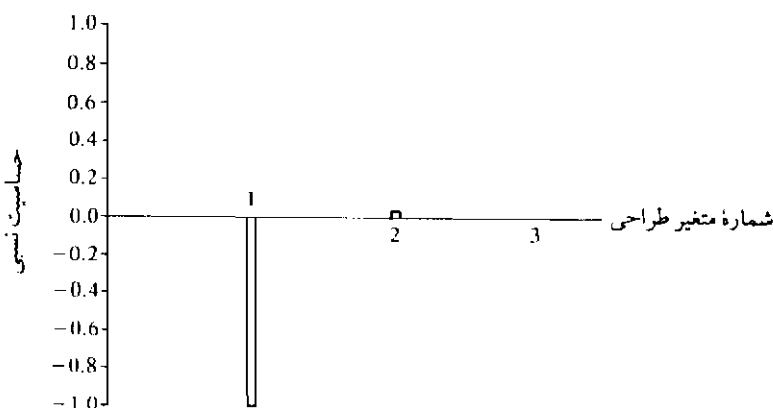
حساسیت متغیرهای طراحی نسبت به قیدهای مختلف. دانستن این که اگر یک متغیر طراحی تغییر کند، برای قیدهای مختلف چه انفاقی می‌افتد، ممکن است مفید باشد. شکل ۷.۱۲ چنین نمودار ستونی نرمال شده را برای متغیر طراحی ۱ (قطر مفتول) در مسئله



شکل ۷.۱۲ حساسیت قبود نسبت به متغیر طراحی ۱ برای مسئله طراحی فنر

طراحی فنر نشان می‌دهد. این نمودار چگونگی تغییر چهار قبید را با تغییر کوچکی در متغیر طراحی ۱ نشان می‌دهد. به عنوان مثال، افزایش کمی در متغیر طراحی، مقدار قبید اول را افزایش و مقدار قبید دوم را کاهش می‌دهد. نمودار ستوانی با رسم مشتقات نرمال شده تماسی قبود فعلی نسبت به متغیر طراحی اول به دست آمده است.

نمودار حساسیت قبود، شکل ۷.۱۳. ترسیمه مؤلفه‌های گرادیان نرمال شده برای قبید دوم مسئله طراحی فنر است. این منحنی نشان می‌دهد که اگر هریک از متغیرهای طراحی تغییر



شکل ۷.۱۳ حساسیت قبید شماره ۲ نسبت به متغیرهای طراحی برای مسئله طراحی فنر

کنند برای مقدار تابع قید چه پیش می‌آید. به عنوان مثال، افزایش متغیر ۱ (قطر مفتول) مقدار قید را بسرعت کاهش می‌دهد. افزایش مقدار متغیر طراحی ۲ مقدار قید ۲ را افزایش می‌دهد.

نتیجه گیری. دیده می‌شود که ترسیمهای مختلف و نمودارهای ستونی اطلاعات بسیار سودمندی را جمع به مسأله طراحی می‌دهند. این اطلاعات می‌توانند در سرعت بخشنیدن به فرآیند طراحی بهین و درک بیشتر عملکرد سیستم موردن استفاده قرار گیرند. شواهد به دست آمده می‌تواند به مفاهیم نوین و طراحی بهتر سیستم بینجامد.

## تمرینهای فصل ۷

**بخش ۱. ۷. ۱. الگوریتمهای یهینه‌سازی طراحی تعاملی**

**۱. ۷. ۱. مسأله مقید زیر را در نظر بگیرید : تابع**

$$f(\mathbf{x}) = 2x_1 + 3x_2 - x_1^3 - 2x_2^2$$

را مشروط به قیود

$$x_1 + 3x_2 \leq 6$$

$$5x_1 + 2x_2 \leq 10$$

$$x_1, x_2 \geq 0$$

مینیمم کنید. توابع مسأله را روی کاغذ رسم ترسیم کرده و ناحیه قابل قبول را مشخص کنید. نقطه بهین را تعیین کنید.

۲. برای تمرین ۱. ۷. ۱، در نقطه قابل قبول  $(0, 2)$ ، جهت کاهش هزینه را محاسبه کرده و نقطه جدیدی را که  $10\%$  کاهش در تابع هزینه به وجود می‌آورد به دست آورید. جهت را روی کاغذ رسم نشان داده و حل خود را شرح دهید.

۳. برای تمرین ۱. ۷. ۱، در نقطه غیرقابل قبول  $(3, 3)$ ، جهت تصحیح قید را محاسبه کرده و آن را روی کاغذ ترسیم نشان داده و حل خود را شرح دهید.

۴. برای تمرین ۱. ۷. ۱، در نقطه غیرقابل قبول  $(0.8, 2)$ ، جهت هزینه ثابت را محاسبه کرده و آن را روی کاغذ ترسیم نشان داده و حل خود را شرح دهید.

۵. برای تمرین ۱. ۷. ۱، در نقطه غیرقابل قبول  $(0.8, 0.8)$ ، جهت تصحیح قید را با فقط  $10\%$  افزایش در تابع هزینه محاسبه کرده و آن را روی کاغذ ترسیم نشان داده و حل خود را شرح دهید.

## ۷.۶ مسأله مقید زیر را در نظر بگیرید؛ عبارت

$$2x_1 + 4x_2 - x_1^2 - x_2^2$$

را مشروط به قیود

$$2x_1 + 3x_2 \leq 6$$

$$x_1 + 4x_2 \leq 5$$

$$x_1, x_2 \geq 0.$$

ماکریم کنید. تابع مسأله را روی کاغذ ترسیم رسم کرده و ناحیه قابل قبول را مشخص کنید. نقطه بهین را تعیین کنید.

۷.۷ برای تمرین ۷.۶ ، در نقطه قابل قبول  $(0, 1.25)$  ، جهت کاهش هزینه را محاسبه کرده و نقطه جدیدی را که  $10\%$  کاهش در تابع هزینه باعث شود به دست آورید. جهت را روی کاغذ ترسیم نشان داده و حل خود را شرح دهید.

۷.۸ برای تمرین ۷.۶ ، در نقطه غیرقابل قبول  $(4, 2)$  ، جهت تصحیح قید را محاسبه کرده، آن را روی کاغذ ترسیم نشان داده و حل خود را شرح دهید.

۷.۹ برای تمرین ۷.۶ ، در نقطه غیرقابل قبول  $(1, 2)$  ، جهت هزینه ثابت را محاسبه کرده، آن را روی کاغذ ترسیم نشان داده و حل خود را شرح دهید.

۷.۱۰ برای تمرین ۷.۶ ، در نقطه غیرقابل قبول  $(2, 2)$  ، جهت تصحیح قید را که تنها  $10\%$  افزایش در تابع هزینه داشته باشد محاسبه کنید. جهت را روی کاغذ رسم نشان داده و حل خود را شرح دهید.

## فصل هشتم

### بهینه سازی طراحی عملی

#### ۸.۱ مقدمه

ما تاکنون مسائل طراحی مهندسی ساده‌ای را برای تشریح مفاهیم بهینه سازی و روش‌های محاسباتی در نظر گرفتیم. برای تمامی توابع مسأله، فرض شده بود که عبارت صریحی بر حسب متغیرهای طراحی وجود دارد. با وجود آن که بعضی از مسائل می‌توانند بر حسب توابع صریح رابطه سازی شوند، کاربردهای پیچیده متعدد دیگری وجود دارند که بستگی صریح توابع مسأله به متغیرهای طراحی مشخص نیست. به علاوه، سیستمهای پیچیده، الگوهای تحلیل بزرگ و تخصصی تری را نیاز دارند. تعداد متغیرهای طراحی می‌تواند بسیار زیاد باشد. بررسی تحدب مسأله تقریباً غیرممکن است. حتی وجود طراحیهای قابل قبول تضمین نمی‌شود، چه رسد به جواب بهین. محاسبه توابع مسأله می‌تواند حجم محاسباتی بالایی را نیاز داشته باشد. در حالتهای زیادی برنامه‌های ویژه بزرگی باید برای محاسبه توابع استفاده شود. در فصلهای گذشته نیز دیدیم که الگوریتمهای محاسباتی نوین، به گرادیان توابع هزینه و قیود نیاز دارند. وقتی شکل صریحی از توابع مسأله معلوم نیست، ارزیابی گرادیانها به روش‌های خاصی نیاز دارد که باید تدوین شده و در نرم افزارهای مناسبی پیاده شوند. بالاخره، برای ایجاد توانایی طراحی بهین برای یک دسته خاص از مسائل طراحی، اجزای نرم افزاری مختلف نیز باید به طور مناسبی با هم ترکیب شوند.

در این فصل، بحث طراحی بهینه سیستمهای مهندسی عملی پیچیده مطرح می‌شود. رابطه سازی مسأله، ارزیابی گرادیان، و بحثهای عملی دیگر مانند انتخاب الگوریتم و نرم افزار به بحث گذاشته می‌شوند. مسأله مهم آمیختگی یک کاربرد خاص با نرم افزار بهینه سازی طراحی بحث می‌شود و کاربردهای طراحی مهندسی متعددی تشریع می‌شوند. در زیر عناوین این فصل را می‌آوریم.

**بخش ۲.۱. رابطه سازی مسائل بهینه سازی طراحی عملی.** این بخش راهنماییهای عمومی برای رابطه سازی متناسب یک مسأله طراحی را ارائه می‌کند. بیشتر مسائل عملی پیچیده بوده و توابع هزینه و قید ضمنی دارند. پنдарه‌ها با مسأله نمونه تشریع می‌شوند.

**بخش ۲.۲. ارزیابی گرادیان.** این بخش به بیان روش‌های ارزیابی گرادیانهای قیود ضمنی می‌پردازد. یک مثال عددی برای تشریع یکی از روش‌ها آورده می‌شود.

**بخش ۲.۳. بحثهای درباره کاربردهای عملی.** شاخصهای خوبی یک الگوریتم برای کاربردهای عملی تشریع می‌شود. این شاخصها عبارتند از توانمندی، بازده، عمومیت داشتن و سهولت استفاده.

**بخش ۲.۴. استفاده از نرم افزار عمومی.** برای حل مسائل طراحی عملی به اجزای نرم افزاری زیادی نیاز است. مباحثی درباره ساختار نرم افزارهای بهینه سازی طراحی عمومی ارائه می‌شوند. مسأله آمیختگی یک کاربرد با یک نرم افزار بهینه سازی عمومی مورد بحث قرار می‌گیرد.

**بخش ۲.۵-۸.۶ کاربردهای عملی.** این بخشها کاربردهای طراحی مختلفی را شرح می‌دهند. مسائل ابتدا تعریف شده، سپس رابطه سازی و حل می‌شوند تا قدرت روش‌های بهینه سازی عددی تشریع شود.

## ۲.۱ رابطه سازی مسائل بهینه سازی عملی

### ۲.۱.۱ راهنماییهای عمومی

رابطه سازی مسأله در یک طراحی گامی مهم است و باید الگویی واقع بینانه برای سیستم مهندسی مورد نظر تعریف کرد. بخش ریاضی روش‌های بهینه سازی می‌تواند به سادگی به موقعیتهایی برسد که یک قانون فیزیکی را بی معنی یا نقص کند. بنابراین برای تبدیل صحیح کار طراحی به یک الگوی ریاضی، طراح باید از دید مهندسی، مهارت و تجربه استفاده کند.

نکات زیر می‌تواند به عنوان اصول راهنمای برای ساختن الگوی ریاضی که با کار طراحی در دنیای واقعی همخوانی داشته باشد مورد استفاده قرار گیرد.

۱. هنگامی که طراحی از نظر مفهوم آماده شد، باید روی طراحی جزئیات سیستم کار کنیم تا وظیفه خواسته شده را انجام داده باشیم. برای شروع، تمامی پارامترهای احتمالی یا مجهولات باید به عنوان متغیرهای طراحی بالقوه مورد توجه قرار گیرند و تا حد ممکن از هم مستقل باشند. همچنین، برای کارکرد قابل اطمینان سیستم باید انواع معیارهای شکست و دیگر ضرورت‌های فنی به عنوان قید در نظر گرفته شوند. به طور خلاصه، باید انعطاف پذیری و آزادی قابل توجهی قبل از تحلیل احتمالات مختلف وجود داشته باشد. به تدریج که آگاهی بیشتری راجع به مسأله پیدا کردیم، متغیرهای طراحی اضافی و غیرضرور می‌توانند به عنوان ثابت در نظر گرفته شوند یا از الگو حذف شوند. بالاخره، تنها توابع هزینه و قید قابل ملاحظه می‌توانند در الگوی بهینه سازی طراحی موردنظر باشند.
۲. وجود یک جواب بهینه برای یک الگوی بهینه سازی طراحی بر ابسطه سازی آن بستگی دارد. اگر قیود خیلی محدود کننده باشند، ممکن است جوابی برای مسأله وجود نداشته باشد. در چنین حالتی، قیود باید آزاد شوند و محدوده متابع بزرگتری برای قیدهای مساوی در نظر گرفته شود. سؤال از یگانگی جواب فراگیر برای مسأله به تحدب قطعی توابع هزینه و قیود بستگی دارد. در عمل، بیشتر مسائل طراحی مهندسی محلب نیستند؛ بنابراین بهینگی فراگیر یک جواب محلی نمی‌تواند تضمین شود. ععمولاً جوابهای بهین محلی چندگانه وجود دارد. این حالت یک موقعیت نامطلوب نیست، زیرا به طراح آزادی بیشتری می‌دهد تا جواب مناسب را از میان چند جواب موجود انتخاب کند.
۳. در محاسبات عددی، گاهی پیدا کردن یک طراحی قابل قبول نسبت به قیود نامساوی آسانتر از یافتن آن نسبت به قیود مساوی است. این البته به ساختار مسأله و غیرخطی بودن توابع بستگی دارد. قیدی که به صورت نامساوی بیان می‌شود فضای قابل قبول بسیار بزرگتری را نسبت به وقتی که همان قید به صورت مساوی بیان می‌شود تعریف می‌کند. در حالتی که تعداد قیود مساوی مسأله از تعداد متغیرهای طراحی بیشتر باشد، جوابی وجود نخواهد داشت، مگر آن که بعضی از قیود به هم واپسیه باشند.
۴. نمایش مسائل طراحی مهندسی به وسیله الگوی بهینه سازی طراحی برنامه ریزی غیرخطی استاندارد با یک تابع هدف تک مقداری حقیقی مشروط به یک دسته از قیود مساوی و

نامساوی آن چنان که به نظر می‌رسد محدودکننده نیست. مسئله بهینه‌سازی همزمان بیش از یک تابع هدف (مسائل چند هدفه) می‌تواند با معرفی ضرایب وزنی به توابع هدف مختلف و ترکیب آنها به صورت یک تابع هدف واحد به شکل یک مسئله استاندارد تبدیل شود. یا، مهمترین معیار می‌تواند به عنوان تابع هزینه و بقیه به صورت قیود در نظر گرفته شوند. با تغییر محدوده‌های توابع هزینه‌ای که به صورت قید در نظر گرفته شده‌اند، منحنيهای کمکی می‌تواند رسم شود و برای طراحی نهایی سیستم به کار رود.

۵. به منظور کاهش تعداد متغیرهای طراحی در یک الگوی بهینه‌سازی، پنداش ارتباط دادن متغیرهای طراحی سودمند است. اگر یکی از متغیرهای طراحی بتواند بر حسب دیگر متغیرها بیان شود، آن گاه آن متغیر می‌تواند از الگو حذف شود. همچنین اگر طراحی بتواند تقارنی را در سیستم شناسایی کند، ممکن است در کاهش تعداد متغیرهای طراحی مؤثر باشد.

۶. تابع هزینه ممکن است برای بسیاری از سیستمهای بازارهای، مکانیکی، خودرویی و هواضایی، وزن، حجم، تنش در نقطه خاص، عملکرد، قابل اطمینان بودن سیستم وغیره باشد. قیود می‌تواند بر روی تنشها، کرنشها، تغییر مکانها، بسامدهای ارتعاشی، محدودیتهای ساخت و سایر معیارهای عملکردی باشد.

۷. داشتن توابع هزینه و قیود پیوسته و مشتق پذیر مهم است. اگر تابع پیوسته یا مشتق پذیر نباشد آن گاه نظریه‌های بهینه‌سازی معمولی کارساز نیستند. در موقع شخصی، ممکن است بتوان یک تابع مشتق ناپذیر مثل  $|x|$  را با یک تابع هموار<sup>۲</sup> بدون تغییر فاحشی در تعریف مسئله عرض کرد.

۸. در حالت کلی یافتن قیود وابسته و حذف آنها از روابط مشکل است. الگوریتمهای نوین بهینه‌سازی و نرم افزارهای مربوط می‌توانند مشکلاتی را که از ناحیه قیود وابسته ناشی می‌شود برطرف کنند. همچنین، قیود مساوی می‌تواند برای کاهش تعداد متغیرهای طراحی و با نوشتن یک متغیر بر حسب متغیرهای دیگر مورد استفاده قرار گیرد. با این همه، چنین کاری تنها برای مسائل کوچکتر که در آنها عبارت صریحی برای قیود وجود دارد مناسب است. در کاربردهای پیچیده‌تر، قیود مساوی باید نگاه داشته شده و در الگوریتم بهینه‌سازی موردنظر قرار گیرند.

۹. در مسائل طراحی مهندسی، به خاطر محدودیتهای عملی غالب برای متغیرهای طراحی

حد بالا و پایین در نظر گرفته می شود. اگر حد پایین برای متغیر طراحی وجود نداشته باشد، آن گاه می توان یک عدد منفی خیلی بزرگ را برای حد پایین در نظر گرفت، و به طور مشابه اگر حد بالایی در تعریف مسأله داده نشده باشد یک عدد مثبت بزرگ را می توان به عنوان حد بالایی در نظر گرفت.

۱۰. در مسائل برنامه ریزی غیرخطی، متغیرهای طراحی اغلب پیوسته فرض می شوند. در عمل اغلب متغیرها گستته و عدد صحیحند. به عنوان مثال، به دلیل محدودیتهاي ساخت، اجزای سازه ای و قطعات یدکی برای بیشتر سیستمهاي مهندسي تنها در شکلها و اندازه های مشخصی در دسترس هستند. بنابراین، وقتی جواب بهین را به دست آورдیم، می توانیم قطعاتی را که از نظر اندازه به مقدار بهین نزدیکترند انتخاب کنیم. یا، می توان روش بهینه سازی بیان شده در بخش ۲.۷ را برای به دست آوردن جواب عملی استفاده کرد.
۱۱. به طور کلی، نرمال سازی تمامی قیود نسبت به مقادیر حدی شان مطلوب است. در محاسبات عددی، این کار به عملکرد پایدارتری می انجامد. بنابراین، تا حد امکان، در کاربردهای عملی تمامی قیود باید نرمال سازی شوند..

#### ۸.۲.۳ مثالی از یک مسأله بهینه سازی طراحی عملی

رابطه سازی طراحی بهین سیستمهاي مهندسي پیچیده، ابزار و روشهاي کلی تری نسبت به آنچه قبلاً بحث شد نیاز دارد. ما این ابزار و روشها را با در نظر گرفتن یک دسته از مسائل که کاربرد وسیعی در مهندسی خودرو، هوای فضا، مکانیک و سازه دارند، تشریح خواهیم کرد. این زمینه های کاربردی مهم برای تشریح روشهاي رابطه سازی مسائل و توضیح چگونگی برخورد با قیود ضمیمی انتخاب شده اند. نحوه ارزیابی مقدار توابع قیود و گرادیانهاي آنها باید بیان شوند. خوانندگانی که با این کاربردها آشنایی ندارند باید از مطالب به عنوان اصول راهنمایی برای زمینه مورد علاقه خود استفاده کنند، زیرا در دیگر کاربردهای عملی، تحلیلها و روشهاي مشابهی باید مورد استفاده قرار گیرند.

زمینه کاربردی که ما برای تشریح انتخاب کرده ایم طراحی بهین سیستمهاي است که با روشهاي اجزای محدود مدل شده اند. مرسوم است که برای تحلیل سیستمهاي سازه ای پیچیده از روشهايی استفاده شود که در بسیاری از بسته بندیهاي نرم افزاری تجاری در دسترس هستند.

جایه جایی، تنشها و کرنشها در نقاط مختلف، بسامد ارتعاشی، و بار کمانش برای سیستم را می‌توان محاسبه کرد و قیودی روی آنها گذاشت. ما برای این زمینه کاربردی یک رابطه سازی طراحی بهین را شرح خواهیم داد.

فرض کنید  $\mathbf{x}$  نمایشگر یک بردار  $\mathbf{U}$  مؤلفه‌ای از پارامترهای طراحی سیستم باشد. این مؤلفه‌ها ممکن است ضخامت اعضا، مساحت سطح مقطع، پارامترهایی که شکل سیستم را مشخص می‌کند، و سختی و خواص مصالح اجزا باشند. وقتی  $\mathbf{x}$  مشخص شد، طرحی از سیستم معلوم می‌شود. برای تحلیل سیستم (محاسبه تنشها، کرنشها و بسامدها، نیروهای کمانش و جایه جاییها)، روش این است که ابتدا جایه جاییها را در چند نقطه کلیدی-نقاط شبکه یا گره-مدل اجزای محدود محاسبه شود. از روی این جایه جاییها، می‌توان کرنش (جایه جایی نسبی ذرات مصالح) و تنش را در نقاط مختلف سیستم به دست آورد که در کتابهای متعدد [کوک<sup>۱</sup>، ۱۹۸۱؛ هیوبنر و ترنتون<sup>۲</sup>، ۱۹۸۲؛ گرندین<sup>۳</sup>، ۱۹۸۶] چگونگی به دست آوردن آنها آمده است.

فرض کنید  $\mathbf{U}$  برداری باشد که  $\mathbf{U}$  مؤلفه آن جایه جایی‌ای نقاط کلیدی سیستم باشند. معادله اصلی که بردار جایه جایی  $\mathbf{U}$  را برای یک سیستم ارتعاشی خطی به دست می‌دهد- که معادله تعادل بر حسب جایه جایی‌ها نامیده می‌شود- عبارت است از

$$\mathbf{K}(\mathbf{x})\mathbf{U} = \mathbf{F}(\mathbf{x}) \quad (8.1)$$

که در آن  $\mathbf{K}(\mathbf{x})$  یک ماتریس  $\times /$  است و ماتریس سختی نامیده می‌شود و  $\mathbf{F}(\mathbf{x})$  بردار نیروی مؤثر است که  $/$  مؤلفه دارد. ماتریس سختی  $\mathbf{K}(\mathbf{x})$  یک خاصیت سیستم سازه است که آشکارا به متغیرهای طراحی، خواص مصالح و هندسه سیستم بستگی دارد. برای اجزای محدود مختلف روش‌های نظام مندی برای محاسبه خودکار ماتریس سختی تدوین شده است. بردار نیروی  $\mathbf{F}(\mathbf{x})$  نیز، در حالت کلی، می‌تواند به متغیرهای طراحی وابسته باشد. ما روش‌های محاسبه  $\mathbf{K}(\mathbf{x})$  را به دلیل مربوط نبودن به مقصود اصلی این کتاب بحث نخواهیم کرد. هدف این است که توضیح دهیم چگونه بعد از به دست آمدن مدل اجزای محدود (یعنی معادله ۸.۱) طراحی می‌تواند بهینه شود. این هدف را با فرض این که مدل اجزای محدود سیستم به دست آمده دنبال می‌کنیم.

می‌توان دید که وقتی بردار طراحی  $\mathbf{x}$  مشخص شد، با حل دستگاه معادلات خطی

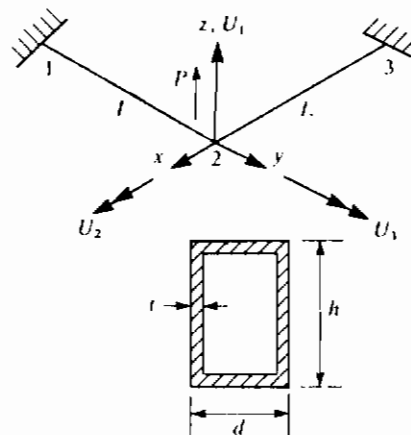
معادله (۸.۱)، جابه جاییهای  $U$  می توانند محاسبه شود. توجه کنید که یک  $x$  دیگر، در حالت کلی، مقادیر متفاوتی برای جابه جاییهای  $U$  خواهد داد. بنابراین  $U$  تابعی از  $x$  است؛ با این همه، شکل تابعی صریح آن نمی تواند نوشته شود. یعنی،  $U$  یک تابع ضمنی از متغیرهای طراحی  $x$  است. تنش، در نقطه‌ $\sigma$  ام با استفاده از جابه جایها محاسبه می شود و تابع صریحی از  $U$  و  $x$  است، یعنی  $(x, U)$ . با این همه، چون  $U$  یک تابع ضمنی از  $x$  است،  $\sigma$  نیز یک تابع ضمنی از متغیرهای طراحی  $x$  می شود. قیود مربوط به تنش و جابه جایی می توانند به شکل تابع زیر نوشته شود.

$$g_i(x, U) \leq 0 \quad (8.2)$$

در کاربردهای متعددی از مهندسی خودرو، هوا-فضا، مکانیک و سازه، مقدار مصالح استفاده شده باید مینیمم شود تا سیستم کارا و مغرون به صرفه باشد. بنابراین، تابع هزینه معمول در این دسته از کاربردها وزن، جرم یا حجم مصالح سیستم است. این معمولاً یک تابع صریح از متغیرهای طراحی  $x$  است. توابع هزینه ضمنی، مانند تنش، جابه جایی، بسامد ارتعاش، و غیره، نیز می توانند با معرفی متغیرهای طراحی مصنوعی [هاگ و آورا<sup>۱</sup>] مورد استفاده قرار گیرند. ما فرض می کنیم این کار انجام شده و تنها توابع هزینه صریح را در نظر می گیریم.

به طور خلاصه، یک رابطه سازی کلی برای مسائل طراحی با توابع صریح و ضمنی از متغیرهای طراحی به شکل زیر تعریف می شود: یک بردار  $\sigma$  بعدی  $x$  از متغیرهای طراحی باید که تابع هزینه  $(x)$  را مینیمم کند و قیود طراحی ضمنی معادلات (۸.۲) با  $U$  ای که در دستگاه معادلات (۸.۱) صدق می کند را برآورده کرده و دیگر محدودیتهای عملی را نیز نقض نکند. توجه کنید که اگر قیود مساوی هم وجود داشته باشند می توانند مانند فصل گذشته در نظر گرفته شوند. ما روش رابطه سازی مسأله را با یک مسأله نمونه تشریح می کنیم.

**مثال ۸.۱** طراحی یک قاب دو عضوی. طراحی یک قاب دو عضوی مانند شکل ۸.۱ را که تحت تأثیر بارهای خارج از صفحه قرار دارد در نظر بگیرید. چنین قابهایی در کاربردهای متعددی از مهندسی خودرو، هوا-فضا، مکانیک و سازه مطرح می شود. می خواهیم مسأله مینیمم سازی حجم قاب را مشروط به محدودیتهای تنش و ابعاد رابطه سازی کنیم [بارتل<sup>۲</sup>، ۱۹۶۹].



شکل ۸.۱ قاب دو عضوی

حل. چون سازه بهین قرینه خواهد بود، دو عضو قاب یکسان هستند. همچنین مشخص شده است که مقاطع مربع مستطیل توخالی با سه متغیر طراحی  $d =$  عرض عضو (اینج)،  $h =$  ارتفاع عضو (اینج) و  $t =$  ضخامت دیواره (اینج) برای اعضا استفاده خواهد شد. بنابراین، بردار متغیر طراحی عبارت است از  $\mathbf{x} = (d, h, t)$ .

حجم سازه به عنوان تابع هزینه در نظر گرفته شده که یکتابع صریح از متغیرهای طراحی است و عبارت است از

$$f(\mathbf{x}) = 2L(2dt + 2ht - 4t^2) \quad (8.3)$$

برای محاسبه تنشها، باید مسئله را تحلیل کنیم. اعضا تحت تأثیر دو تنش خمشی و پیچشی قرار دارند و باید قید تنش مرکب در نقاط ۱ و ۲ اعمال شود. فرض کنید ۵ و ۶ به ترتیب تنشهای ماکریم خمشی و برشی در اعضا باشند. معیار گسیختگی برای عضو براساس نظریه تنش مرکب است که به شرط تسلیم وان میسز<sup>۱</sup> (یا انرژی اعوجاج<sup>۲</sup> ماکریم) معروف است [کراندل<sup>۳</sup> و دیگران، ۱۹۷۸]. با این معیار، تنش

1. von Mises  
3. Crandall

2. distortion

مشوئر  $\sigma$  برابر است با  $\sqrt{\sigma^2 + 3\tau^2}$  و قیدتش به صورت نرمال شده زیر نوشته می شود،

$$\frac{1}{\sigma_*^2} (\sigma^2 + 3\tau^2) - 1.0 \leq 0 \quad (8.4)$$

که در آن  $\sigma$  تنش طراحی مجاز است.

تشها از گشتاورها و لنگرهای انتهای عضوها محاسبه می شوند که با استفاده از روش اجزای محدود به دست می آیند. سه جایه جایی گره عمومیت یافته (تغییر مکانها و پیچنها) برای مدل اجزای محدود که در شکل ۸.۱ نشان داده شده به شکل زیر تعریف می شوند،  $U_1 =$  جایه جایی عمودی در گره ۲،  $U_2 =$  چرخش حول خط ۲-۳ و  $U_3 =$  چرخش حول خط ۲-۱. با استفاده از این متغیرها، معادله تعادل (معادله ۸.۱) برای مدل اجزای محدود که جایه جاییهای  $U_1$ ،  $U_2$  و  $U_3$  را می دهد به شکل زیر است (برای جزئیات روش به دست آوردن معادله ها با استفاده از معادلات تعادل اعضا به کتابهای نویسندهای زیر مراجعه کنید؛ کوک<sup>۱</sup>، ۱۹۸۱؛ هاگ و آرورا<sup>۲</sup>، ۱۹۷۹؛ هیوبنر و تورنتون<sup>۳</sup>، ۱۹۸۲؛ گرندین<sup>۴</sup>، ۱۹۸۶) :

$$\frac{EI}{L^3} \begin{bmatrix} 24 & -6L & 6L \\ -6L & \left(4L^2 + \frac{GJ}{EI} L^2\right) & 0 \\ 6L & 0 & \left(4L^2 + \frac{GJ}{EI} L^2\right) \end{bmatrix} \begin{bmatrix} U_1 \\ U_2 \\ U_3 \end{bmatrix} = \begin{bmatrix} P \\ 0 \\ 0 \end{bmatrix} \quad (8.5)$$

که در آن  $E$  = ضریب ارتجاعی،

$L$  = طول عضو،

$G$  = ضریب ارتجاعی برشی،

$P$  = بار در گره ۲،

$$in^4, \frac{1}{12} [dh^3 - (d-2t)(h-2t)^3] = I \quad (8.6)$$

$$\text{in}^4, \frac{2t(d-t)^2(h-t)^2}{(d+h-2t)} = J \quad (8.7)$$

$$\text{مساحت برای محاسبه تنش برشی پیچشی } A = \text{in}^2, (d-t)(h-t)$$

از معادله (۸.۵)، مساتریس سختی  $(x)K$  و بردار نیرو  $(x)F$  معادله (۸.۱) می‌تواند مشخص شود. توجه کنید که در مثال فعلی، بردار نیرو  $F$  به متغیرهای طراحی بستگی ندارد.

از معادله (۸.۵) می‌توان دید که  $U$  یک تابع ضمنی از  $x$  است. اگر  $K$  بتواند صریحاً بر حسب متغیرهای طراحی معکوس شود، آن‌گاه  $U$  می‌تواند به عنوان تابعی صریح از  $x$  نوشته شود. این در مثال فعلی ممکن است؛ ولی ما برای بحث روش‌های ارزیابی قیود و گرادیانهای آنها شکل ضمنی را در نظر خواهیم گرفت.

برای یک طراحی داده شده، وقتی  $U_1$ ،  $U_2$  و  $U_3$  از معادله (۸.۵) محاسبه شد، گشتاور، و لنگر خمشی در نقاط ۱ و ۲ برای عضو ۲-۱ به شکل زیر محاسبه می‌شوند

$$T = -\frac{GJ}{L} U_3, \quad \text{lb-in} \quad (8.8)$$

$$M_1 = \frac{2EI}{L^2} (-3U_1 + U_2 L), \quad (\text{لنگر در انتهای ۱}) \quad (8.9)$$

$$M_2 = \frac{2EI}{L^2} (-3U_1 + 2U_2 L), \quad (\text{لنگر در انتهای ۲}) \quad (8.10)$$

با استفاده از این لنگرهای تنشهای برشی و خمشی به شکل زیر محاسبه می‌شوند

$$\tau = \frac{T}{2At}, \quad \text{psi} \quad (8.11)$$

$$\sigma_1 = \frac{1}{2I} M_1 h, \quad (\text{تش خمشی در انتهای ۱}) \quad (8.12)$$

$$\sigma_2 = \frac{1}{2I} M_2 h, \quad (\text{تش خمشی در انتهای ۲}) \quad (8.13)$$

پس قیود تنش معادله (۸.۴) در نقاط ۱ و ۲ عبارتند از

$$g_1(x, U) = \frac{1}{\sigma_*^2} (\sigma_1^2 + 3\tau^2) - 1.0 \leq 0 \quad (8.14)$$

$$g_2(x, U) = \frac{1}{\sigma_*^2} (\sigma_2^2 + 3\tau^2) - 1.0 \leq 0 \quad (8.15)$$

می‌توان دید که چون لنگرهای  $T$ ،  $M_1$  و  $M_2$  توابع ضمنی از متغیرهای طراحی هستند، تنشها نیز توابع ضمنی هستند. آنها همچنین توابع صریحی از متغیرهای طراحی هستند، همچنان که در معادلات (۸.۱۲) و (۸.۱۳) دیده می‌شود. بنابراین، قبود تنش معادلات (۸.۱۴) و (۸.۱۵) هم توابع ضمنی و هم صریح از متغیرهای طراحی هستند. این نکته مهم است، زیرا ارزیابی گرادیان برای توابع قبود ضمنی به روشهای خاصی نیاز دارد که در بخش بعدی تشریح می‌شوند.

علاوه بر دو قید تنش، قبود حد بالا و پایین زیر برای متغیرهای طراحی

اعمال می‌شوند:

$$2.5 \leq d \leq 10.0$$

$$2.5 \leq h \leq 10.0$$

$$0.1 \leq r \leq 1.0$$

مشاهده می‌شود که به دست آوردن شکل صریح تابع قید  $g$  و  $h$  بر حسب متغیرهای طراحی  $d$ ،  $h$  و  $r$  حتی برای این مسأله ساده بسیار مشکل است. ما برای داشتن یک شکل صریح از تنشها  $\sigma_1$  و  $\sigma_2$  به شکل صریح جابه جایهای  $U_1$ ،  $U_2$  و  $U_3$  در معادله‌های (۸.۸) تا (۸.۱۰) نیاز داریم. برای داشتن یک شکل صریح برای  $U_1$  و  $U_3$ ، باید ماتریس ضرایب معادله تعادل (۸.۵) را به طور صریح وارون کنیم. هرچند این کار برای مثال فعلی ناممکن نیست، در حالت کلی، انجام این کار به احتمال زیاد ناممکن است. بنابراین مشاهده می‌کنیم که قبود توابع ضمنی از متغیرهای طراحی هستند.

برای تشریح روش، یک نقطه طراحی مثل (۲.۵، ۲.۵، ۰.۱) انتخاب می‌کنیم و جابه جایهای و تنشها را محاسبه می‌کنیم. با استفاده از داده‌های مسأله، کمیتها زیر را که در محاسبات بعدی مورد نیازند محاسبه می‌کنیم:

$$I = \frac{1}{12}[2.5^4 - 2.3^4] = 0.9232 \text{ in}^4$$

$$J = \frac{1}{4.8} [2(0.1)(2.4)^2(2.4)^2] = 1.3824 \text{ in}^4$$

$$A = (2.4)(2.4) = 5.76 \text{ in}^2$$

$$GJ = (1.154E+07)(1.3824) = (1.5953E+07)$$

$$EI = (3.0E+07)(0.9232) = (2.7696E+07)$$

$$4L^2 + \frac{GJ}{EI} L^2 = \left(4 + \frac{1.5953}{2.7696}\right) 100^2 = (4.576E+04)$$

با استفاده از داده های فوق، معادله تعادل (معادله ۵.۸)، عبارت است از

$$27.696 \begin{bmatrix} 24 & -600 & 600 \\ -600 & 45760 & 0 \\ 600 & 0 & 45760 \end{bmatrix} \begin{bmatrix} U_1 \\ U_2 \\ U_3 \end{bmatrix} = \begin{bmatrix} -10000 \\ 0 \\ 0 \end{bmatrix}$$

با حل معادله گذشته، سه جابه جایی عمومی گره ۲ عبارتند از

$$U_1 = -43.68190 \text{ in}$$

$$U_2 = -0.57275$$

$$U_3 = 0.57275$$

با استفاده از معادله های (۸.۸) تا (۱۰.۸)، پیچش در اعضا و لنگر خمی در نقاط ۱ و ۲ عبارتند از

$$T = -\frac{1.5953E+07}{100} (0.57275) = -(9.1371E+04) \text{ lb-in}$$

$$M_1 = \frac{2(2.7696E+07)}{(100)(100)} [-3(-43.68190) - 0.57275(100)] \\ = (4.08631E+05) \text{ lb-in}$$

$$M_2 = \frac{2(2.7696E+07)}{(100)(100)} [-3(-43.6819) - 2(0.57275)(100)] \\ = (9.1373E+04) \text{ lb-in}$$

چون  $M_1 > M_2$  است،  $\sigma_1$  بزرگتر از  $\sigma_2$  است، همچنان که در معادله های (۸.۱۲) و (۸.۱۳) دیده می شود. بنابراین، تنها لازم است قید ۱۴ معادله (۸.۸) را اعمال کنیم. تنش برشی پیچشی و تنش خمی در نقطه ۱ از معادله های (۱۱.۸) و (۱۲.۸)

محاسبه می شود؛ داریم

$$\tau = \frac{-(9.13731E+04)}{2(5.76)(0.1)} = -(7.9317E+04) \text{ psi}$$

$$\sigma_1 = \frac{(4.08631E+05)(2.5)}{2(0.9232)} = (5.53281E+05) \text{ psi}$$

اگر تنش مجاز  $\sigma$  را  $40000 \text{ psi}$  در نظر بگیریم، قید تنش مؤثر معادله (۸.۱۴) عبارت است از

$$g_1 = \frac{1}{(4.0E+04)^2} [(5.53281E+05)^2 + 3(-7.9317E+04)^2] - 1 \\ = (2.0212E+02) > 0$$

بنابراین، در نقطه طراحی داده شده قید به طور جدی نقض شده است.

### ۸.۴ ارزیابی گرادیان

برای استفاده از روش بهینه سازی نوین، نیاز به ارزیابی گرادیانهای توابع قیود داریم. وقتی توابع قیود بر حسب متغیرهای طراحی ضمنی باشند، باید روش‌های خاصی را برای ارزیابی گرادیانها تدوین و استفاده کنیم. ما با استفاده از کاربرد اجزای محدود بخش ۲.۸ روشن را راههای خواهیم داد.

تابع قید ( $U_i(x)$ ) معادله (۲.۸) را در نظر بگیرید. با استفاده از قاعده مشتق گیری زنجیری، مشتق کلی  $g_i$  نسبت به زامین متغیر طراحی عبارت است از

$$\frac{dg_i}{dx_j} = \frac{\partial g_i}{\partial x_j} + \frac{\partial g_i^T}{\partial U} \frac{dU}{dx_j} \quad (8.16)$$

در حالی که

$$\frac{\partial g_i}{\partial U} = \left[ \frac{\partial g_i}{\partial U_1} \frac{\partial g_i}{\partial U_2} \cdots \frac{\partial g_i}{\partial U_l} \right]^T \quad (8.17)$$

و

$$\frac{dU}{dx_j} = \left[ \frac{\partial U_1}{\partial x_j} \frac{\partial U_2}{\partial x_j} \cdots \frac{\partial U_l}{\partial x_j} \right]^T \quad (8.18)$$

بنابراین، برای محاسبه گرادیان قید، ما نیاز به محاسبه مشتقهای جزئی  $\partial g_i / \partial x_j$  و مشتقهای کلی  $dU/dx_j$  داریم. محاسبه مشتقهای جزئی  $\partial g_i / \partial x_j$  و  $\partial g_i / \partial U$  با استفاده از شکل تابع  $g_i(x, U)$  ساده است. برای محاسبه  $dU/dx_j$ ، از معادله تعادل (۱.۸) مشتق می‌گیریم

$$\frac{\partial K(x)}{\partial x_j} U + K(x) \frac{dU}{dx_j} = \frac{\partial F}{\partial x_j} \quad (8.19)$$

یا، معادله را می‌توان به شکل زیر مرتب کرد

$$K(x) \frac{dU}{dx_j} = \frac{\partial F}{\partial x_j} - \frac{\partial K(x)}{\partial x_j} U \quad (8.20)$$

معادله می‌تواند برای محاسبه  $dU/dx_j$  استفاده شود. اگر بستگی صریح  $K$  به  $x$  معلوم باشد مشتق ماتریس سختی  $\partial K(x)/\partial x_j$  می‌تواند بسادگی محاسبه شود. دقیق کنید معادله (۸.۲۰)

باید برای هر متغیر طراحی حل شود. وقتی  $dU/dx$ ها معلوم باشند، گرادیان قیود از معادله (۸.۱۶) محاسبه می‌شود. بردار مشتق در معادله (۸.۱۶) اغلب گرادیان طراحی نامیده می‌شود. روش را با یک مسأله نمونه تشریح خواهیم کرد.

باید یادآور شد کارهای چشمگیری برای تدوین و پیاده‌سازی روش‌های مؤثر محاسبه مشتقات توابع ضمنی نسبت به متغیرهای طراحی انجام شده است [آرورا و هاگ، ۱۹۷۹؛ عادل من و هفتکه، ۱۹۸۶]. موضوع به طور کلی به عنوان تحلیل حساسیت طراحی شناخته می‌شود. برای بالابردن بازده و پیاده‌سازی مناسب عددی، مقالات قبلی باید مورد مشورت قرار گیرند. برای محاسبه خودکار گرادیانهای طراحی در نرم‌افزار عمومی روش‌های برنامه‌ریزی شده‌اند.

**مثال ۸.۲** ارزیابی گرادیالها برای قاب دو عضوی. گرادیان قید تنش ( $U$ )،  $g_1$  قاب دو عضوی

مثال ۱. ۸ را در نقطه طراحی (۲.۵، ۲.۵، ۰.۱) محاسبه کنید.

حل. مسأله در مثال ۱. ۸ رابطه سازی شده است. مدل اجزای محدود در آن جا تعریف شده و جایهای گرهها و تنش اعضا محاسبه شده‌اند. ما معادله‌های (۸.۱۶) و (۸.۲۰) را برای ارزیابی گرادیان قید تنش معادله (۸.۱۴) به کار خواهیم برد.

مشتقات جزئی قیود معادله (۸.۱۴) نسبت به  $x$  و  $U$  عبارت خواهد بود از

$$\frac{\partial g_1}{\partial x} = \frac{1}{\sigma_e^2} \left[ 2\sigma_1 \frac{\partial \sigma_1}{\partial x} + 6\tau \frac{\partial \tau}{\partial x} \right] \quad (8.21)$$

$$\frac{\partial g_1}{\partial U} = \frac{1}{\sigma_e^2} \left[ 2\sigma_1 \frac{\partial \sigma_1}{\partial U} + 6\tau \frac{\partial \tau}{\partial U} \right] \quad (8.22)$$

با استفاده از معادله‌های (۸.۸) تا (۸.۱۳)، مشتقات جزئی  $\tau$  و  $\sigma_1$  نسبت به  $x$  و  $U$  به شکل زیر محاسبه می‌شود.

مشتقات جزئی تنش بوسی. با مشتق گیری عبارت تنش برشی در معادله (۸.۱۱) نسبت به متغیرهای طراحی  $x$ ، داریم

$$\frac{\partial \tau}{\partial x} = \frac{1}{2A_1} \frac{\partial T}{\partial x} - \frac{T}{2A_1^2 t} \frac{\partial A}{\partial x} - \frac{T}{2A_1 t^2} \frac{\partial t}{\partial x} \quad (8.23)$$

در حالی که مشتقات جزئی گشتاور  $T$  نسبت به متغیر طراحی  $x$  عبارت است از

$$\frac{\partial T}{\partial \mathbf{x}} = -\frac{GU_3}{L} \frac{\partial J}{\partial \mathbf{x}} \quad (8.24)$$

که  $\frac{\partial J}{\partial \mathbf{x}}$  به شکل زیر محاسبه می شود

$$\frac{\partial J}{\partial d} = \frac{4t(d-t)(h-t)^2(d+h-2t) - 2t(d-t)^2(h-t)^2}{(d+h-2t)^2} = 0.864$$

$$\frac{\partial J}{\partial h} = \frac{4t(d-t)^2(h-t)(d+h-2t) - 2t(d-t)^2(h-t)^2}{(d+h-2t)^2} = 0.864$$

$$\begin{aligned} \frac{\partial J}{\partial t} &= \frac{2(d-t)^2(h-t)^2 - 4t(d-t)(h-t)^2 - 4t(d-t)^2(h-t)}{(d+h-2t)} \\ &- \frac{2t(d-t)^2(h-t)^2(-2)}{(d+h-2t)^2} = 12.096 \end{aligned}$$

بنابراین،  $\frac{\partial J}{\partial \mathbf{x}}$  به شکل زیر در خواهد آمد

$$\frac{\partial J}{\partial \mathbf{x}} = \begin{bmatrix} 0.864 \\ 0.864 \\ 12.096 \end{bmatrix}$$

و معادله (۸.۲۴) عبارت  $\frac{\partial T}{\partial \mathbf{x}}$  را می دهد

$$\begin{aligned} \frac{\partial T}{\partial \mathbf{x}} &= -\frac{(1.154E+07)}{100} (0.57275) \begin{bmatrix} 0.864 \\ 0.864 \\ 12.096 \end{bmatrix} \\ &= -(6.610E+04) \begin{bmatrix} 0.864 \\ 0.864 \\ 12.096 \end{bmatrix} \end{aligned}$$

کمیتهای دیگری که برای تکمیل محاسبات در معادله (۸.۲۳) لازم هستند عبارتند از  $\frac{\partial A}{\partial \mathbf{x}}$  و  $\frac{\partial I}{\partial \mathbf{x}}$  ، که به شکل زیر محاسبه می شوند

$$\frac{\partial A}{\partial \mathbf{x}} = \begin{bmatrix} (h-t) \\ (d-t) \\ -(h-t) - (d-t) \end{bmatrix} = \begin{bmatrix} 2.4 \\ 2.4 \\ -4.6 \end{bmatrix}$$

$$\frac{\partial I}{\partial \mathbf{x}} = \begin{bmatrix} 0 \\ 0 \\ 1 \end{bmatrix}$$

با جایگزینی کمیتهای مختلف در معادله (۸.۲۳)، مشتق جزئی  $\tau$  را نسبت به  $x$  به دست می آوریم

$$\frac{\partial \tau}{\partial x} = \frac{1}{2AI} \left[ \frac{\partial T}{\partial x} - \frac{T}{A} \frac{\partial A}{\partial x} - \frac{T}{I} \frac{\partial I}{\partial x} \right] = \begin{bmatrix} -1.653E+04 \\ -1.653E+04 \\ 3.580E+04 \end{bmatrix}$$

اگر از عبارت تنش برشی  $\tau$  در معادله (۸.۱۱) نسبت به جایه جایهای عمومی  $U$  مشتق بگیریم، داریم

$$\frac{\partial \tau}{\partial U} = \frac{1}{2AI} \frac{\partial T}{\partial U}$$

که در آن

$$\frac{\partial T}{\partial U} = \begin{bmatrix} 0 \\ 0 \\ -GJ/L \end{bmatrix} = \begin{bmatrix} 0 \\ 0 \\ -1.5953E+05 \end{bmatrix}$$

بنابراین،  $\partial \tau / \partial U$  عبارت است از

$$\frac{\partial \tau}{\partial U} = \begin{bmatrix} 0 \\ 0 \\ -1.3848E+05 \end{bmatrix}$$

مشتقهای جزئی تنش خمی. با مشتق گیری عبارت  $\sigma_1$  که در معادله (۸.۱۲) آمده نسبت به متغیر طراحی  $x$ ، داریم

$$\frac{\partial \sigma_1}{\partial x} = \frac{h}{2I} \frac{\partial M_1}{\partial x} + \frac{M_1}{2I} \frac{\partial h}{\partial x} - \frac{M_1 h}{2I^2} \frac{\partial I}{\partial x} \quad (8.25)$$

در حالی که  $\partial h / \partial x$  و  $\partial M_1 / \partial x$  عبارتند از

$$\frac{\partial M_1}{\partial x} = \frac{2E}{L^2} (-3U_1 + U_2 L) \frac{\partial I}{\partial x}$$

$$\frac{\partial I}{\partial d} = \frac{1}{12} [h^3 - (h - 2d)^3]$$

$$= 0.288167$$

$$\begin{aligned}\frac{\partial I}{\partial h} &= \frac{1}{4}[dh^2 - (d - 2t)(h - 2t)^2] \\ &= 0.8645 \\ \frac{\partial I}{\partial t} &= \frac{(h - 2t)^3}{6} + \frac{(h - 2t)^2(d - 2t)}{2} \\ &= 8.11133 \\ \frac{\partial h}{\partial \mathbf{x}} &= \begin{bmatrix} 0 \\ 1 \\ 0 \end{bmatrix}\end{aligned}$$

با جایگزینی کمیتهای مختلف در معادله (۸.۲۵) داریم

$$\frac{\partial \sigma_1}{\partial \mathbf{x}} = \begin{bmatrix} 0 \\ 2.2131E+05 \\ 0 \end{bmatrix}$$

با مشتق گیری از عبارت  $\sigma_1$  در معادله (۸.۱۲) نسبت به جایه‌جاییهای عمومی  $\mathbf{U}$ ، داریم

$$\frac{\partial \sigma_1}{\partial \mathbf{U}} = \frac{h}{2I} \frac{\partial M_1}{\partial \mathbf{U}}$$

در حالی که  $\frac{\partial M_1}{\partial \mathbf{U}}$  از معادله (۸.۹) عبارت است از

$$\frac{\partial M_1}{\partial \mathbf{U}} = \frac{2EI}{L^2} \begin{bmatrix} -3 \\ L \\ 0 \end{bmatrix}$$

بنابراین،  $\frac{\partial \sigma_1}{\partial \mathbf{U}}$  عبارت است از

$$\frac{\partial \sigma_1}{\partial \mathbf{U}} = \frac{Eh}{L^2} \begin{bmatrix} -3 \\ L \\ 0 \end{bmatrix} = \begin{bmatrix} -2.25E+05 \\ 7.50E+05 \\ 0 \end{bmatrix}$$

با جایگزینی کمیتهای مختلف در معادله‌های (۸.۲۱) و (۸.۲۲)، مشتقات جزئی قبیرد را به شکل زیر به دست می‌آوریم

$$\frac{\partial g_1}{\partial \mathbf{x}} = \begin{bmatrix} 4.9167 \\ 157.973 \\ -10.648 \end{bmatrix}$$

$$\frac{\partial g_1}{\partial U} = \begin{bmatrix} -15.561 \\ 518.700 \\ 41.19 \end{bmatrix}$$

مشتقهای جایه‌جاییها برای محاسبه مشتقهای جایه‌جاییها از معادله (۸.۲۰) استفاده می‌کنیم. چون بردار نیرو به متغیرهای طرّاحی بستگی ندارد، در معادله (۸.۲۰)،  $\frac{\partial F}{\partial x_j} = 0$  for  $j = 1, 2, 3$ . برای محاسبه  $U \frac{\partial K(x)}{\partial x_j}$  در طرف راست معادله (۸.۲۰)، از معادله (۸.۵) نسبت به متغیرهای طرّاحی مشتق می‌گیریم. به عنوان مثال، مشتق معادله (۸.۵) نسبت به  $d$  بردار زیر را می‌دهد:

$$\frac{\partial K(x)}{\partial d} U = \begin{bmatrix} -3.1214E+03 \\ -2.8585E+04 \\ 2.8585E+04 \end{bmatrix}$$

به طور مشابه، با مشتق گیری نسبت به  $h$  و  $r$ ، در نهایت داریم

$$\frac{\partial K(x)}{\partial x} U = (1.0E+3) \begin{bmatrix} -3.1214 & -9.3642 & -87.861 \\ -28.585 & 28.454 & 3.300 \\ 28.585 & -28.454 & -3.300 \end{bmatrix}$$

چون  $K(x)$  از قبل در مثال ۱.۸. معلوم است، از معادله (۸.۲۰) برای محاسبه  $dU/dx$  استفاده می‌کنیم

$$\frac{dU}{dx} = \begin{bmatrix} 16.909 & 37.645 & 383.42 \\ 0.2443 & 0.4711 & 5.0247 \\ -0.2443 & -0.4711 & -5.0247 \end{bmatrix}$$

در نهایت، با جایگزینی تمامی کمیتها در معادله (۸.۱۶)، گرادیان متغیرهای طرّاحی برای قید تنش مؤثر معادله (۸.۱۴) را به شکل زیر به دست می‌آوریم

$$\frac{dg_1}{dx} = \begin{bmatrix} -141.55 \\ -202.87 \\ -3577.30 \end{bmatrix}$$

همان‌طور که در مثال ۱.۸. یادآوری شد، قید تنش معادله (۸.۱۴) در نقطه طرّاحی داده شده کاملاً نقض شده است. علامت مشتق متغیرهای طرّاحی بالا نشانگر

این است که تمامی متغیرها باید برای کاهش نقض قید در نقطه (2.5, 2.5, 0.1) افزایش پیدا کنند.

#### ۸.۴ مباحثی چند در بهینه سازی طراحی عملی

موضوعات مختلفی در بهینه سازی طراحی عملی باید مورد توجه قرار گیرد. به عنوان مثال، در مورد انتخاب یک الگوریتم و نرم افزار باید دقت شود. انتخاب نامناسب هر کدام از آنها می تواند به شکست فرآیند طراحی بهین و بی نتیجه شدن فنون بهینه سازی بینجامد. در این بخش موضوعاتی را که می توانند اثرات چشمگیری بر کاربردهای عملی روشهای بهینه سازی داشته باشند، بحث می کنیم.

##### ۸.۴.۱ انتخاب یک الگوریتم

الگوریتمهای زیادی برای بهینه سازی عملی ارائه شده و مورد ارزیابی قرار گرفته اند. هنگام انتخاب یک الگوریتم برای بهینه سازی عملی باید جنبه های مختلفی مانند توانمندی، کارایی، عمومیت و سادگی استفاده را مورد توجه قرار دهیم.

**۸.۴.۱.۱ توانمندی مشخصه های یک الگوریتم** توانمند در بخش ۶.۲.۶ بحث شد. برای کاربردهای عملی استفاده از روشی که از جنبه نظری همگرایی آن تضمین شده باشد بسیار مهم است. به روشی که چنین تضمینی را با شروع از هر نقطه حدس اولیه طراحی داشته باشد توانمند می گویند. الگوریتمهای توانمند در مقایسه با الگوریتمهایی که همگرایی آنها ثابت نشده معمولاً در هر چرخه به محاسبات بیشتری نیاز دارند. الگوریتمهای تقریبی که همگرایی آنها ثابت نشده، معمولاً باید برای مسئله مورد نظر به میزان قابل توجهی تنظیم شوند تا به یک جواب بهین منطقی برسند، و در بسیاری از موارد به جوابهای غیربهین همگرا می شوند. بنابراین اگرچه الگوریتمهای تقریبی زمان محاسباتی کمتری صرف می کنند، ولی در عملکردشان به مقدار قابل توجهی عدم اطمینان وجود دارد. معمولاً به کارگیری آنها در یک مسئله خاص به میزان قابل توجهی تجربه و تنظیم نیاز دارد. این کارها می تواند یک آشفتگی خاطر غیر ضرور ایجاد کند که وقت طراح را می گیرد. بنابراین، از دید کلی، چنین الگوریتمهای تقریبی در واقع از نظر استفاده پر هزینه تر هستند. توصیه می شود که در کاربردهای عملی فقط الگوریتمهای نیرومند

استفاده شود، یعنی در انتخاب یک الگوریتم و نرم افزار مربوط، نیرومندی نسبت به بازده باید از اولویت بالاتری برخوردار باشد.

**۸.۴.۱.۲ راهبرد قید پتانسیل برای محاسبه جهت جست و جو در روشهای عددی بهینه سازی مقید، باید توابع هزینه و قیود و گرادیانهای آنها معلوم باشد. الگوریتمهای عددی بسته به این که در چرخه طراحی گرادیان همه قیود و یا فقط زیرمجموعه‌ای از آنها را نیاز داشته باشند به درسته تقسیم می‌شوند. به الگوریتمهای عددی که تنها گرادیان یک زیرمجموعه از قیود را لازم دارند، الگوریتمهایی که راهبرد قید پتانسیل را استفاده می‌کنند می‌گویند. مجموعه قید پتانسیل، در حالت کلی در چرخه فعلی، شامل قیود فعلی، تقریباً فعلی و نقض شده می‌باشد. برای بحث بیشتر در موضوع راهبرد مجموعه پتانسیل به بخش ۶.۲.۴ مراجعه کنید.**

#### ۸.۴.۲ ویژگیهای یک الگوریتم خوب بهینه سازی

براساس بحث گذشته، ویژگیهای یک الگوریتم خوب برای کاربردهای طراحی عملی به شکل زیر تعریف می‌شود.

۱. قابل اطمینان بودن. الگوریتم باید برای کاربردهای طراحی عمومی قابل اعتماد باشد، زیرا چنین الگوریتمهایی با شروع از هر طراحی اولیه حدس زده شده به نقطه مینیمم همگرا می‌شوند. قابل اطمینان بودن یک الگوریتم در صورتی تضمین می‌شود که از جنبه نظری همگرایی آن ثابت شود.

۲. کلی بودن. الگوریتم باید کلی باشد، یعنی باید بتواند قیود مساوی و نامساوی را در نظر بگیرد. به علاوه، نباید محدودیتی روی شکل توابع مسئله تحمیل کند.

۳. سهولت استفاده. الگوریتم از نظر استفاده باید هم برای طراحان باتجربه و هم برای طراحان مبتدی آسان باشد. از دیدگاه عملی، این یک ضرورت بسیار مهم است، زیرا الگوریتمی که به گزینش یک پارامتر تنظیمی نیاز داشته باشد، کاربردش بسیار مشکل است. انتخاب مناسب پارامترها معمولاً نه تنها دانش کامل و درک ساختار ریاضی الگوریتم را می‌طلبد، که نیاز به تجربه کردن برای هر مسئله دارد. چنین الگوریتمی برای کاربردهای طراحی عملی نامناسب است.

۴. بازدهی. الگوریتم باید برای کاربردهای مهندسی عمومی بازده بالایی داشته باشد.

یک الگوریتم با بازده بالا ویژگیهای زیر را دارد (i) نرخ همگرایی آن به نقطه مینیمم بیشتر است، و (ii) در یک چرخه طراحی به کمترین مقدار محاسبات نیاز دارد. نرخ همگرایی می‌تواند با وارد کردن اطلاعات مرتبه دوم مسأله در الگوریتم شتاب بیشتری بگیرد. ولی وارد کردن اطلاعات مرتبه دوم حجم محاسبات در هر چرخه را افزایش می‌دهد. بنابراین، میان بازده محاسبات در یک چرخه و نرخ همگرایی باید تعادلی به وجود آید. بعضی از الگوریتمهای موجود از اطلاعات مرتبه دوم استفاده می‌کنند، در حالی که بعضی دیگر چنین نیستند. بازده بالا در یک چرخه یعنی داشتن کمترین حجم محاسبات برای جهت جست و جو و اندازه گام. یک راه برای رسیدن به بازده بالا استفاده از راهبرد قید پتانسیل در محاسبات جهت جست و جوست. الگوریتمهای وجود دارند که از این راهبرد در محاسبات خودشان استفاده می‌کنند، در حالی که بعض دیگر استفاده نمی‌کنند. وقتی راهبرد قید پتانسیل استفاده می‌شود، زیر مسأله یافتن جهت فقط نیاز به گرادیانهای قید پتانسیل دارد. در غیر این صورت، گرادیان تمامی قبود مورد نیاز است که در بیشتر کاربردهای عملی بازده را پایین می‌آورد.

راه دیگری که برای بهبود بخشیدن به بازده در یک چرخه مورد استفاده قرار می‌گیرد عبارت است از پایین نگه داشتن تعداد محاسبات مقدار تابع در به دست آوردن اندازه گام. این کار با استفاده از روش‌های به دست آوردن اندازه گام که فراخوان کمتری برای محاسبه مقدار تابع دارند، عملی است مانند جست و جوی خطی غیردقیق.

طراح قبل از انتخاب یک الگوریتم بهینه سازی برای کاربردهای عملی نیاز به پاسخگویی به پرسش‌های زیر دارد :

۱. آیا الگوریتم همگرایی ثابت شده‌ای دارد؟ یعنی، آیا از جنبه نظری همگرا شدنش به یک بهین با شروع از هر طراحی حدس زده شده تضمین می‌شود؟ آیا طراحی شروع می‌تواند غیرقابل قبول باشد؟

۲. آیا الگوریتم می‌تواند یک مسأله بهینه سازی عمومی را بدون محدودیتی روی توابع قبود حل کند؟ آیا الگوریتم می‌تواند قبود مساوی و نامساوی را در نظر بگیرد؟

۳. آیا استفاده کردن از الگوریتم ساده است؟ به عبارت دیگر، آیا برای هر مسأله نیاز به تنظیم دارد؟

۴. آیا الگوریتم از یک راهبرد قید پتانسیل استفاده می‌کند؟

## ۸.۵ استفاده از نرم افزار عمومی

همچنان که در بخش‌های گذشته دیدیم، در سیستمهای عملی برای به دست آوردن جواب بهین به تحلیل رایانه‌ای قابل توجهی نیاز است. برای یک کاربرد مشخص، نرم افزار ارزیابی توابع و گرادیانهای مساله و نرم افزار بهینه سازی باید با هم ترکیب شوند تا یک توان طراحی بهین به وجود آورند. بسته به کاربرد، هریک از اجزای نرم افزاری می‌تواند بسیار بزرگ باشد. بنابراین، برای به وجود آوردن یک مجموعه بهینه سازی طراحی، باید بهترین نرم افزارهای تخصصی و نوین با هم ترکیب شوهد.

برای تحلیل سازه‌هایی که توسط اجزای محدود مدل شده بودند و در مثالی در بخش ۸.۲.۲ بحث شد، باید بسته‌های نرم افزاری تحلیل بزرگ استفاده شوند. از پاسخهای محاسبه شده، توابع قیود باید ارزیابی و برنامه‌های برای محاسبه گرادیانها تدوین شوند. تمام اجزای نرم افزاری باید ترکیب شوند تا توان طراحی بهین برای سازه‌هایی که با اجزای محدود مدل شده‌اند به وجود آید.

در این بخش ما مطالعی پیرامون انتخاب یک نرم افزار بهینه سازی عمومی را به بحث خواهیم گذاشت. همچنین مواجهه نرم افزار با یک کاربرد خاص را بحث خواهیم کرد.

### ۸.۵.۱ انتخاب نرم افزار

قبل از انتخاب یک نرم افزار بهینه سازی عمومی برای ترکیب با دیگر نرم افزارهای ویژه مساله، باید جنبه‌های مختلفی مدنظر قرار گیرد. مهمترین پرسش مربوط به الگوریتم بهینه سازی و کیفیت پیاده شدن آن است. ویژگیهای یک الگوریتم خوب در بخش ۸.۲.۴ ارائه شد. نرم افزار باید دست کم حاوی یک الگوریتم با تمامی ویژگیهای بیان شده باشد. الگوریتم باید به طور مناسبی پیاده شده باشد زیرا اگر الگوریتم خوبی بد پیاده شود چندان مفید نیست. اثبات همگرایی بیشتر الگوریتمها بر اساس فرضهای مشخصی است. این فرضهای باید هنگام پیاده کردن الگوریتم دقیقاً انجام شود. به علاوه، بیشتر الگوریتمها از نظر عددی عدم اطمینانهایی در مراحل مختلف دارند که باید مورد توجه قرار گیرند و روش‌های مناسبی برای پیاده سازی عددی آنها تدوین شود. همچنین مورد آزمایش قرار دادن نرم افزار برای کاربردهای گوناگون و با مشکلات متفاوت نیز مهم است.

وجود ابزارهای با کاربری آسان دیگر نیز مطلوب است. به عنوان مثال، امکان تعامل هنگام فرآیند چرخه، ترسیم تعاملی و سایر ابزارهایی که تصمیم سازی طراحی را سهولت

می بخشنند بسیار مطلوب هستند. موضوع بینه سازی طراحی تعاملی و دیگر ابزارهای آن به طور مفصل در فصل (۷) عنوان شدند. نحوه ارائه اطلاعات مربوط به نرم افزار نیز بسیار مهم است. دستورالعمل کاربر با چه کیفیتی نوشته شده؟ چه مسائل نمونه ای حل شده و توضیحات آن با چه کیفیتی مستندسازی شده؟ آیا پیاده سازی برنامه روی سیستمهای رایانه ای مختلف ساده است یا مشکل؟ همه این سوالات باید قبل از انتخاب نرم افزار بحث شوند.

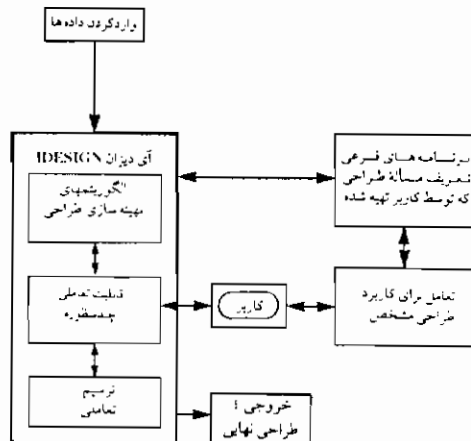
#### ۸.۵.۳ ترکیب یک کاربرد با یک نرم افزار عمومی

در هر برنامه عمومی برای بهینه سازی لازم است به شکلی کاربرد طراحی مورد نظر را در نرم افزار وارد کرد. سهولت وارد کردن اجزای نرم افزاری برای کاربریهای مختلف می تواند انتخاب آن را تحت تأثیر قرار دهد. همچنین، مقدار داده هایی که باید برای برنامه آماده شود تا بتوان برنامه را استفاده کرد، مهم است.

کتابخانه های عمومی مختلفی از برنامه ها در دسترسند که شامل برنامه های فرعی متنوعی هستند و الگوریتمهای مختلفی در آنها به کار گرفته شده است. هر کاربری لازم است که یک برنامه اصلی بنویسد تا برنامه های فرعی را فرا بخواند. برنامه های فرعی ارزیابی تابع و گرادیان نیز باید نوشته شود. بارها از برنامه فرعی خارج شده و دوباره با شرایط دیگری به آن وارد می شود. برنامه اصلی بسیار پیچیده شده و در معرض خطای کاربر است. به علاوه، در این حالت برای تعامل کاربر شناس کمی وجود دارد زیرا کاربر باید قابلیت تعامل خاص خودش را تدوین کند. رویکرد دیگر عبارت است از تدوین یک برنامه رایانه ای که گزینه هایی برای انتخاب الگوریتمها و ابزارها داشته باشد. هر کاربردی از طریق یک ورودی استاندارد که از "فراخوانهای برنامه های فرعی" تشکیل شده به برنامه متصل می شود. کاربر تنها چند برنامه فرعی که مسأله طراحی را تشریع می کند آماده می کند. تمامی اطلاعات و داده هایی که بین برنامه و برنامه های فرعی در جریان است از طریق شناسه برنامه های فرعی است. به عنوان مثال، متغیرهای طراحی به برنامه فرعی فرستاده می شوند و خروجی مورد انتظار مقدار توابع قید و گرادیانهای آنهاست. بیشتر قابلیتهای تعاملی، ترسیمی و دیگر ابزار با کاربری آسان در برنامه قرار دارند. مسأله کلیدی در گنجانیدن این ابزارها این است که طراح با انتخاب پارامترهای مختلف برای به اجرا در آوردن برنامه در گیر ویژگیهای خاص الگوریتم نشود. با تمهید تهیه کنندگان الگوریتمها، طراحان و استفاده کنندگان از این کار آسوده شده اند تا بتوانند وقت خود را روی رابطه سازی مسأله و معروفی آن برای برنامه متمرکز کنند.

هر دو روشی که تا به حال گفته شد در گذشته برای بسیاری از کاربردهای عملی بهینه سازی با موفقیت انجام می شده است. در بیشتر حالات، انتخاب روشها تحت تأثیر در دسترس بودن آنها بوده است. ما از برنامه IDESIGN که براساس روش دوم است برای حل چندین مسأله بهینه سازی طراحی استفاده خواهیم کرد. شکل ۸.۲ نشان می دهد که چگونه یک کاربرد می تواند در برنامه IDESIGN وارد شود. همان طور که در بخش ۷.۵ تشریح شد، برنامه به برنامه های فرعی که توسط کاربر تهیه می شود تا یک مجموعه قابل اجرا را به وجود بیاورد. برنامه های فرعی که توسط کاربر تهیه می شود برای مسائلی که توابع صریح دارند ساده، و برای مسائلی که توابع ضمنی دارند پیچیده است. برای مقادیر تابع و گرادیانهای آنها که مورد نیاز IDESIGN است، ممکن است برنامه های فرعی یا خارجی فراخوانده شوند. این کار انجام شده و چندین مسأله پیچیده نیز حل شده که در مقالات متشر شده اند [سنچ و آرورا (Tseng and Arora) ۱۹۸۷، ۱۹۸۸].

علاوه بر قابلیتهای تعاملی عمومی که در IDESIGN موجود است، کاربر می تواند ابزارهای تعاملی بیشتری برای کاربردهای مشخص بنویسد، همچنان که در شکل ۸.۲ نشان داده شده است. داده های ورودی کاربرد مورد نظر در برنامه وارد می شود تا آن قابلیتها را اجرا کند. با استفاده از این بحثها چندین مسأله عملی در زمینه های مختلف با این برنامه حل شده اند. در بخش های بعدی این فصل، مسائل طراحی متعددی را بیان کرده و با توضیحاتی که برای برنامه IDESIGN گفتم حل می کنیم.



شکل ۸.۲ وارد کردن یک کاربری طراحی در IDESIGN. IDESIGN با برنامه های فرعی که توسط طراح تهیه شده ترکیب شده تا یک مجموعه قابل اجرا به وجود آورد.

#### ۸.۶ طراحی بهین یک قاب دو عضوی با بارهای خارج از صفحه

شکل ۸.۱ یک قاب دو عضوی را که تحت تأثیر بارهای خارج از صفحه است نشان می‌دهد. اعضای قاب تحت تأثیر بارهای پیچشی، خمشی و برشی هستند. هدف مسأله عبارت است از طراحی سازه‌ای که تحت بارهای وارد مقاوم بوده و کمترین حجم را داشته باشد. مسأله در بخش ۸.۲ با استفاده از نگره اجزای محدود رابطه سازی شده است. در تعریف قید تنش، معیار تسلیم و ان میز<sup>۱</sup> استفاده شده و از تنش برشی حاصل از بار جانی صرف نظر شده است.

رابطه‌ها و معادله‌های به دست آمده در بخش ۸.۲ و ۸.۳ برای تدوین برنامه‌های فرعی برنامه IDESIGN مورد استفاده قرار گرفته‌اند. برای بهینه‌سازی مسأله از داده‌های ارائه شده در آن جا استفاده شده است. دو طراحی شروع بسیار متفاوت (۰.۱، ۰.۲، ۰.۳) و (۰.۴، ۰.۵) به کار گرفته شده اند تا اثر آنان روی همگرایی مشاهده شود. برای نقطه شروع اوّل همه متغیرها در حد پایینی خود و برای نقطه دوم، تمامی آنها در حد بالایی خود هستند. هر دو نقطه شروع به جواب بهین مشابهی همگرا می‌شوند با مقدار متغیرهای طراحی تقریباً یکسان و ضرایب لاگرانژ قیود فعلی یکسان، همچنان که در جداول ۱ و ۲ دیده می‌شود (برای توضیح علایم به کار رفته شده در جدولها به بخش ۷.۶ مراجعه کنید). ولی تعداد چرخه‌ها و دفعات فرآخوان تابع و ارزیابی گرادیان برای دو نقطه شروع کاملاً متفاوت است. برای اولین نقطه شروع، قید تنش به طور جدی نقض شده است (با ۲۰۱۲%). برای آوردن طراحی به نزدیک ناحیه قابل قبول چرخه‌های متعددی انجام شده است. برای نقطه شروع دوم، قید تنش برآورده شده و برنامه برای یافتن جواب بهین تها شش چرخه انجام داده است. توجه کنید که هر دو جواب گزارش شده در جدولهای ۱ و ۲ با استفاده از گزینه برنامه‌ریزی درجه دوی دنباله‌ای (SQP) موجود در IDESIGN به دست آمده است. همچنین یک معیار همگرایی بسیار کوچک استفاده شده تا نقطه بهین دقیقی به دست آید.

بحث گذشته نشان می‌دهد که طراحی اولیه حدس زده شده برای فرآیند چرخه می‌تواند اثر بسزایی بر نرخ همگرایی یک الگوریتم بگذارد. در بسیاری از کاربردهای عملی، یک طراحی شروع خوب در دسترس است یا می‌تواند پس از تحلیلهای اولیه به دست آید. استفاده از چنین طراحیهایی برای الگوریتمهای بهینه‌سازی مطلوب است، زیرا می‌تواند مقدار زیادی از حجم محاسبات بکاهد.

جدول ۸.۱ تاریخچه فرآیند چرخه و جواب بهینه برای یک قاب دو عضوی، نقطه شروع (0.10, 0.25, 0.25)

	بیشترین نقص چرخه	پارامتر همگرایی	هزینه	<i>d</i>	<i>k</i>	<i>t</i>
1	2.021 19E + 02	1.000 00E + 00	1.920 00E + 02	2.5000E + 00	2.5000E + 00	1.0000E - 01
2	8.578 97E + 01	1.000 00E + 00	2.318 57E + 02	2.5000E + 00	3.4964E + 00	1.0000E - 01
3	3.587 17E + 01	1.000 00E + 00	2.854 19E + 02	2.5000E + 00	4.8355E + 00	1.0000E - 01
4	2.329 76E + 01	1.000 00E + 00	3.506 78E + 02	5.7019E + 00	3.2651E + 00	1.0000E - 01
5	1.238 49E + 01	1.000 00E + 00	3.689 07E + 02	4.0394E + 00	5.3833E + 00	1.0000E - 01
6	1.186 48E + 01	1.000 00E + 00	3.738 86E + 02	2.5000E + 00	7.0472E + 00	1.0000E - 01
7	2.715 33E + 01	1.000 00E + 00	3.834 11E + 02	7.2853E + 00	2.5000E + 00	1.0000E - 01
8	1.252 10E + 01	1.000 00E + 00	4.037 73E + 02	6.5039E + 00	3.7904E + 00	1.0000E - 01
9	6.626 98E + 00	1.000 00E + 00	4.238 16E + 02	4.5737E + 00	6.2217E + 00	1.0000E - 01
10	5.932 94E + 00	1.000 00E + 00	4.396 60E + 02	2.5000E + 00	8.6915E + 00	1.0000E - 01
11	1.720 46E + 01	1.000 00E + 00	4.573 49E + 02	9.1337E + 00	2.5000E + 00	1.0000E - 01
12	7.639 27E + 00	1.000 00E + 00	4.810 71E + 02	8.5316E + 00	3.6952E + 00	1.0000E - 01
13	3.532 62E + 00	1.000 00E + 00	5.038 13E + 02	7.1404E + 00	5.6550E + 00	1.0000E - 01
14	2.256 09E + 00	1.000 00E + 00	5.244 50E + 02	3.7077E + 00	9.6036E + 00	1.0000E - 01
15	2.982 13E + 00	1.000 00E + 00	5.748 22E + 02	1.0000E + 01	4.5705E + 00	1.0000E - 01
16	1.275 17E + 00	1.000 00E + 00	5.975 47E + 02	8.4379E + 00	6.7008E + 00	1.0000E - 01
17	6.788 24E - 01	1.000 00E + 00	6.144 56E + 02	5.5614E + 00	1.0000E + 01	1.0000E - 01
18	1.589 21E - 01	6.222 70E - 01	6.762 20E + 02	7.1055E + 00	1.0000E + 01	1.0000E - 01
19	1.472 60E - 02	7.012 49E - 02	7.011 11E + 02	7.7278E + 00	1.0000E + 01	1.0000E - 01
20	1.560 97E - 04	7.593 55E - 04	7.039 16E + 02	7.7979E + 00	1.0000E + 01	1.0000E - 01

فعال بودن قید

فعال بودن شماره	مقدار	ضریب لاگرانژ
1 آری	1.560 97E - 04	1.946 31E + 02

فعال بودن متغیر طراحی

فعال بودن شماره	طراحی	حد پایین	حد بالا	ضریب لاگرانژ
1 خیر	7.797 91E + 00	2.500 00E + 00	1.000 00E + 01	0.000 00E + 00
2 بالا	1.000 00E + 01	2.500 00E + 00	1.000 00E + 01	7.897 73E + 01
3 پایین	1.000 00E - 01	1.000 00E - 01	1.000 00E + 00	3.190 90E + 02

$$\text{تابع هزینه در بهینه} = 7.039\ 163E + 02$$

تعداد فرآخوان ارزیابی تابع هزینه = 20 = (USERMF)

تعداد فرآخوان ارزیابی گردیدن تابع هزینه = 20 = (USERMG)

تعداد فرآخوان ارزیابی توابع قیود = 20 = (USERCF)

تعداد فرآخوان ارزیابی گردیدن توابع قیود = 20 = (USERCG)

تعداد فرآخوان ارزیابی گردیدن در کل = 20

جدول ۸.۲ تاریخچه فرآیند چرخه و جواب بهین برای یک قاب دو بعدی، شروع از نقطه (۱۰، ۱۰، ۱)

	پارامتر همگرایی	بیشترین نقض چرخه	هزینه	<i>a</i>	<i>b</i>	<i>c</i>
۱	۰.۰۰۰ ۰۰E + ۰۰	۶.۴۰۰ ۰۰E + ۰۳	۷.۲۰۰ ۰۰E + ۰۳	۱.۰۰۰E + ۰۱	۱.۰۰۰E + ۰۱	۱.۰۰۰E + ۰۰
۲	۰.۰۰۰ ۰۰E + ۰۰	۲.۲۷۸ ۷۳E + ۰۱	۷.۸۷۵ ۰۰E + ۰۲	۹.۹۴۳۸E + ۰۰	۹.۹۴۳۸E + ۰۰	۱.۰۰۰E - ۰۱
۳	۱.۲۵۰ ۲۰E - ۰۲	۱.۳۱۹ ۹۳E + ۰۰	۷.۱۳۰ ۶۳E + ۰۲	۹.۰۱۳۳E + ۰۰	۹.۰۱۳۳E + ۰۰	۱.۰۰۰E - ۰۱
۴	۲.۱۹۹ ۴۸E - ۰۲	۱.۰۳۶ ۴۳E - ۰۱	۶.۹۹۷ ۳۴E + ۰۲	۷.۶۹۳۳E + ۰۰	۱.۰۰۰E + ۰۱	۱.۰۰۰E - ۰۱
۵	۳.۴۴۱ ۱۵E - ۰۴	۱.۶۷۳ ۴۹E - ۰۳	۷.۰۳۸ ۸۰E + ۰۲	۷.۷۹۷۰E + ۰۰	۱.۰۰۰E + ۰۱	۱.۰۰۰E - ۰۱
۶	۹.۴۰۴ ۶۹E - ۰۸	۴.۳۰۵ ۱۳E - ۰۷	۷.۰۳۹ ۴۷E + ۰۲	۷.۷۹۸۷E + ۰۰	۱.۰۰۰E + ۰۱	۱.۰۰۰E - ۰۱

فعال بودن قید		ضریب لاگرانژ	
فعال بودن شماره	مقدار	ضریب لاگرانژ	
۱ آری	۹.۴۰۴ ۶۹E - ۰۸	۱.۹۴۶ ۳۰E + ۰۲	

فعال بودن متغیر طراحی		ضریب لاگرانژ		
فعال بودن شماره	طرراحی	حد پایین	حد بالا	
۱ خیز	۷.۷۹۸ ۶۷E + ۰۰	۲.۵۰۰ ۰۰E + ۰۰	۱.۰۰۰ ۰۰E + ۰۱	۰.۰۰۰ ۰۰E + ۰۰
۲ بالا	۱.۰۰۰ ۰۰E + ۰۱	۲.۵۰۰ ۰۰E + ۰۰	۱.۰۰۰ ۰۰E + ۰۱	۷.۸۹۷ ۶۷E + ۰۱
۳ پایین	۱.۰۰۰ ۰۰E - ۰۱	۱.۰۰۰ ۰۰E - ۰۱	۱.۰۰۰ ۰۰E + ۰۰	۳.۱۹۰ ۹۰E + ۰۲

$$\text{تابع هزینه در بهین} = 7.039\ 466E + 02$$

تعداد فراخوان ارزیابی تابع هزینه = ۹ = (USERMF)

تعداد فراخوان ارزیابی گرادیان تابع هزینه = ۶ = (USERMG)

تعداد فراخوان ارزیابی توابع قید = ۹ = (USERCF)

تعداد فراخوان ارزیابی گرادیان توابع قید = ۴ = (USERCG)

تعداد فراخوان ارزیابی گرادیان در کل = ۴

#### ۸.۷ طراحی بهین یک سازه سه میله ای برآورده شدن شرایط عملکرد چندگانه

در بخش گذشته، طراحی یک سیستم سازه ای را بحث کردیم که تنها یک شرط عملکردی داشت، یعنی مصالح نباید در مقابل بارهای واردہ گسیخته شوند. در این بخش ما کاربرد مشابهی را بحث می کنیم که سیستم باید تحت شرایط مختلفی کار کند. مسئله ای که انتخاب کرده ایم عبارت است از سازه سه میله ای که در بخش ۲.۶.۸ رابطه سازی شد. سازه در شکل ۲.۵ نشان داده شده است. ضرورتهای طراحی عبارتند از مینیمم کردن وزن سازه و برآورده شدن قید تنش اعضا، خیز گره ۴، کمانش اعضا، بسامد ارتعاشی و کرانهای صریح روی متغیرهای طراحی. سازه را با فرض تقارن و بدون آن بهینه کرده و جوابها را باهم مقایسه می کنیم. یک معیار همگرایی کوچک استفاده خواهد شد تا طراحیهای بهین دقیق را به دست آوریم.

## ۸.۷.۱ سازه سه میله‌ای مقارن

یک رابطه سازی کامل برای سازه متقارن که در آن عضوهای ۱ و ۳ مشابه هستند در بخش ۲.۶.۸ بحث شد. در کاپرد فعلی، سازه برای تحمل سه بار گذاری و با قیود گذشته طراحی می‌شود. جدول ۸.۳ تمامی داده‌های را که برای طراحی سازه استفاده می‌شود ارائه می‌دهد. تمامی عباراتی که برای IDESIGN به صورت برنامه در آمده‌اند در بخش ۲.۶.۸ ارائه شده‌اند. توابع قیود به طور مناسبی نرمال شده و به شکل استاندارد بیان گردیده‌اند.

برای مطالعه اثر اعمال قیود بیشتر روی عملکرد، سه حالت طراحی زیر تعریف شده‌اند (دقت کنید که قیود صریح روی متغیرهای طراحی در همه حالات اعمال می‌شوند).

حالت ۱. فقط قیود تنش (تعداد کل قیود = ۱۳).

جدول ۸.۳ داده‌های طراحی برای سازه سه میله‌ای

$\sigma_{1a} = \sigma_{3a} = 5000 \text{ psi}$	تش مجاز :
$\sigma_{2a} = 20\,000 \text{ psi}$	جایه جایی مجاز :
$u_a = 0.005 \text{ in}$	ضریب ارجاعی :
$v_a = 0.005 \text{ in}$	وزن مخصوص :
$E = (1.00E + 07) \text{ psi}$	عدد ثابت :
$\gamma = (1.00E - 01) \text{ lb/in}^3$	حد پایینی طراحی :
$\beta = 1.0$	حد بالایی طراحی :
$(0.1, 0.1, 0.1) \text{ in}^2$	طراحی شروع :
$(100, 100, 100) \text{ in}^2$	حد پایینی سامد :
$(1, 1, 1) \text{ in}^2$	
2500 Hz	
3	شرایط بارگذاری :
زاویه، $\theta$ (درجه)	
45	90
(lb) $P$	40 000
بار ،	30 000
	20 000

حالت ۲ . قیود تنش و جابه جایی (تعداد کل قیود = ۱۹).

حالت ۳ . تمام قیود-تش، جابه جایی، کمانش اعضا و بسامد (تعداد کل قیود = ۲۹).

جدول ۸.۴ تاریخچه فرآیند چرخه و جواب نهایی برای یک سازه سه میله‌ای متقارن، حالت ۱ - قیود تنش

	پارامتر همگرایی	بیشترین نقص چرخه	هزینه	$A_1 = A_3$	$A_2$
1	4.656 80E + 00	1.000 00E + 00	3.828 43E + 00	1.0000E + 00	1.0000E + 00
2	2.145 31E + 00	1.000 00E + 00	6.720 82E + 00	1.9528E + 00	1.1973E + 00
3	8.742 38E - 01	1.000 00E + 00	1.126 58E + 01	3.3986E + 00	1.6531E + 00
4	2.784 05E - 01	1.090 96E + 00	1.652 72E + 01	5.0449E + 00	2.2580E + 00
5	4.979 00E - 02	2.611 72E - 01	2.012 46E + 01	6.1359E + 00	2.7697E + 00
6	2.289 84E - 03	5.786 37E - 02	2.107 24E + 01	6.3971E + 00	2.9788E + 00
7	2.899 32E - 05	3.885 94E - 02	2.111 63E + 01	6.3874E + 00	3.0501E + 00
8	2.204 83E - 04	3.972 59E - 03	2.110 68E + 01	6.3140E + 00	3.2482E + 00
9	1.586 18E - 06	5.341 72E - 05	2.111 14E + 01	6.3094E + 00	3.2657E + 00

فعال بودن قید	فعال بودن شماره	مقدار	ضریب لاگرانژ
1 آری		1.586 18E - 06	2.111 14E + 01
2 خیر		-7.320 69E - 01	0.000 00E + 00
3 خیر		-8.169 82E - 01	0.000 00E + 00
4 خیر		-6.117 57E - 01	0.000 00E + 00
5 خیر		-6.117 57E - 01	0.000 00E + 00
6 خیر		-8.058 79E - 01	0.000 00E + 00
7 خیر		-8.660 35E - 01	0.000 00E + 00
8 خیر		-4.999 99E - 01	0.000 00E + 00
9 خیر		-9.084 91E - 01	0.000 00E + 00

فعال بودن متغیر طراحی	فعال بودن شماره	طراحی	حد پایین	حد بالا	ضریب لاگرانژ
1 خیر		6.309 42E + 00	1.000 00E - 01	1.000 00E + 02	0.000 00E + 00
2 خیر		3.265 69E + 00	1.000 00E - 01	1.000 00E + 02	0.000 00E + 00

$$\text{تابع هزینه در بهین} = 2.111 143E + 01$$

تعداد فرآخون ارزیابی تابع هزینه (USERMF) = 9

تعداد فرآخون ارزیابی گرادیان تابع هزینه (USERMG) = 9

تعداد فرآخون ارزیابی توابع قیود (USERCF) = 9

تعداد فرآخون ارزیابی گرادیان توابع قیود (USERCG) = 9

تعداد فرآخون ارزیابی گرادیان در کل = 19

جدول A.۰ تاریخچه فرآیند چرخه و جواب نهایی برای یک سازه سه میله‌ای متقارن،

## حالت ۲ - قبود تنش و جابه‌جایی

فعال بودن قيد	بیشترین نقطه چرخه	پارامتر همگرایی	هزینه	$A_1 = A_3$	$A_2$
1	6.999 92E + 00	1.000 00E + 00	3.828 43E + 00	1.0000E + 00	1.0000E + 00
2	3.266 63E + 00	1.000 00E + 00	6.905 98E + 00	1.8750E + 00	1.6027E + 00
3	1.416 50E + 00	1.000 00E + 00	1.145 04E + 01	3.3105E + 00	2.0868E + 00
4	5.234 73E - 01	1.000 00E + 00	1.693 91E + 01	5.2511E + 00	2.0868E + 00
5	1.338 70E - 01	1.000 00E + 00	2.204 25E + 01	7.0554E + 00	2.0868E + 00
6	1.413 63E - 02	2.802 30E - 01	2.339 85E + 01	7.8884E + 00	1.0868E + 00
7	1.242 55E - 02	2.058 97E - 02	2.289 35E + 01	7.9984E + 00	2.7066E - 01
8	1.506 50E - 04	3.054 85E - 04	2.296 95E + 01	7.9999E + 00	3.4230E - 01
9	2.268 86E - 08	4.538 76E - 08	2.297 04E + 01	7.9999E + 00	3.4320E - 01

فعال بودن شماره	فعال بودن شماره	مقدار	ضریب لاگرانژ
1 آری	-2.860 00E - 02	0.000 00E + 00	
2 خیر	-9.714 00E - 01	0.000 00E + 00	
3 خیر	-7.643 00E - 01	0.000 00E + 00	
4 آری	1.332 27E - 15	1.697 04E + 01	
5 آری	-5.720 00E - 02	0.000 00E + 00	
6 خیر	-5.000 00E - 01	0.000 00E + 00	
7 خیر	-5.000 00E - 01	0.000 00E + 00	
8 خیر	-7.500 00E - 01	0.000 00E + 00	
9 خیر	-1.000 00E + 00	0.000 00E + 00	
10 آری	2.268 86E - 08	6.000 00E + 00	
11 خیر	-9.857 00E - 01	0.000 00E + 00	
12 خیر	-5.143 00E - 01	0.000 00E + 00	
13 خیر	-8.821 50E - 01	0.000 00E + 00	
14 خیر	-5.000 00E - 01	0.000 00E + 00	
15 خیر	-5.286 00E - 01	0.000 00E + 00	

فعال بودن متغیر طراحی	طراحی	حد پایین	حد بالا	ضریب لاگرانژ
1 خیر	7.999 92E + 00	1.000 00E - 01	1.000 00E + 02	0.000 00E + 00
2 خیر	3.432 00E - 01	1.000 00E - 01	1.000 00E + 02	0.000 00E + 00

$$\text{تابع هزینه در بهین} = 2.297\ 040E + 01$$

تعداد فرآخوان ارزیابی تابع هزینه  $9 = (\text{USERMF})$

تعداد فرآخوان ارزیابی گردابیان تابع هزینه  $9 = (\text{USERMG})$

تعداد فرآخوان ارزیابی تابع قبود  $9 = (\text{USERCF})$

تعداد فرآخوان ارزیابی گردابیان تابع قبود  $9 = (\text{USERCG})$

تعداد فرآخوان ارزیابی گردابیان در کل = 48

جدول ۸.۶ تاریخچه فرآیند چرخه و جواب نهایی برای یک سازه سه عضوی، حالت ۳ - تمامی قبود

	بیشترین نقطه چرخه	پارامتر همگرایی	هزینه	$A_1 = A_3$	$A_2$
1	6.999 92E + 00	1.000 00E + 00	3.828 43E + 00	1.000 0E + 00	1.0000E + 00
2	2.888 48E + 00	1.000 00E + 00	7.292 79E + 00	2.057 3E + 00	1.4738E + 00
3	1.231 13E + 00	1.000 00E + 00	1.203 39E + 01	3.585 6E + 00	1.8923E + 00
4	4.377 71E - 01	1.694 16E + 00	1.763 00E + 01	5.564 1E + 00	1.8923E + 00
5	1.021 80E - 01	6.728 96E - 01	2.142 17E + 01	7.258 3E + 00	8.9226E - 01
6	8.669 19E - 03	4.809 65E - 02	2.282 44E + 01	7.931 2E + 00	3.9172E - 01
7	7.387 41E - 05	3.187 76E - 04	2.296 91E + 01	7.999 3E + 00	3.4362E - 01
8	5.456 57E - 09	2.315 29E - 08	2.297 04E + 01	7.999 9E + 00	3.4320E - 01

## فعال بودن قید

فعال بودن شماره	فعال بودن شماره	مقدار	ضریب لاگرانژ
1	خیر	-1.569 67E - 01	0.000 00E + 00
2	آری	-2.860 00E - 02	0.000 00E + 00
3	خیر	-9.714 00E - 01	0.000 00E + 00
4	خیر	-7.643 00E - 01	0.000 00E + 00
5	آری	5.456 57E - 09	1.697 04E + 01
6	آری	-5.720 00E - 02	0.000 00E + 00
7	خیر	-5.000 00E - 01	0.000 00E + 00
8	خیر	-5.000 00E - 01	0.000 00E + 00
9	خیر	-7.500 00E - 01	0.000 00E + 00
10	خیر	-1.000 00E + 00	0.000 00E + 00
11	آری	0.000 00E + 00	6.000 00E + 00
12	خیر	-9.857 00E - 01	0.000 00E + 00
13	خیر	-5.143 00E - 01	0.000 00E + 00
14	خیر	-8.821 50E - 01	0.000 00E + 00
15	خیر	-5.000 00E - 01	0.000 00E + 00
16	خیر	-5.286 00E - 01	0.000 00E + 00

## فعال بودن متغیر طراحی

فعال بودن شماره	طراحی	حد پایین	حد بالا	ضریب لاگرانژ
1	خیر	7.999 92E + 00	1.000 00E - 01	1.000 00E + 02
2	خیر	3.432 00E - 01	1.000 00E - 01	1.000 00E + 02

$$\text{تابع هزینه در بهین} = 2.297 \ 040E + 01$$

تعداد فرآخوان ارزیابی تابع هزینه  $8 = (\text{USERMF})$

تعداد فرآخوان ارزیابی گردابیان تابع هزینه  $8 = (\text{USERMG})$

تعداد فرآخوان ارزیابی توابع قبود  $8 = (\text{USERCF})$

تعداد فرآخوان ارزیابی گردابیان توابع قبود  $8 = (\text{USERCG})$

تعداد فرآخوان ارزیابی گردابیان در کل = 5()

جدول ۸.۶.۸ شامل تاریخچه فرآیند چرخه، نحوه فعال بودن قیود و متغیرهای طراحی در طراحی نهایی، و تابع هزینه بهین سه حالت، با روش SQP در IDESIGN است. قیود فعال در نقطه بهین و ضرایب لاگرانژ آنها (برای قیدهای نرمال شده) عبارتند از:

حالت ۱. تنش در عضو ۱ تحت بارگذاری ۱، ۲۱.۱۱.

حالت ۲. تنش در عضو ۱ تحت بارگذاری ۱، ۰.۰؛ جابه جایی افقی تحت بارگذاری ۱، ۱۶.۹۷؛ جابه جایی عمودی تحت بارگذاری ۱، ۶.۰۰؛ جابه جایی افقی تحت بارگذاری ۱، ۰.۰، ۲.

حالت ۳. مانند حالت ۲.

دقّت کنید که مقدار تابع هزینه در نقطه بهین در حالت ۲ نسبت به حالت ۱ افزایش پیدا کرده است. این با فرضیه این که "قیود بیشتر روی سیستم، ناحیه قابل قبول را کاهش داده و مقدار بالاتری برای تابع هزینه بهین می دهد" مطابقت دارد. تفاوتی بین جوابهای حالت ۲ و ۳ وجود ندارد زیرا هیچ کدام از قیود اضافی حالت ۳ فعال نیستند.

#### ۸.۷.۲ سازه سه‌میله‌ای نامتقارن

وقتی شرط متقارن بودن سازه (یکسان بودن عضو ۱ و ۳) را نداشته باشیم، ما برای مسأله سه متغیر طراحی خواهیم داشت در حالی که برای حالت متقارن دو متغیر طراحی وجود داشت. این سه متغیر طراحی عبارتند از مساحت‌های  $A_1$ ،  $A_2$  و  $A_3$  به ترتیب برای اعضای ۱، ۲، ۳. در این حالت فضای طراحی توسعه می‌یابد، بنابراین می‌توانیم نسبت به مساحت‌های گذشته طراحی بهین بهتری را انتظار داشته باشیم. داده‌های استفاده شده در مسأله مانند آنچه در جدول ۸.۸ آمده می‌باشد. سازه برای سه حالت زیر بهینه می‌شود (دقّت کنید که قیدهای محدودیت‌های متغیرهای طراحی در همه حالات وجود دارند).

حالت ۴. تنها قیدهای تنش (تعداد کل قیود = ۱۵).

حالت ۵. قیود تنش و جابه جایی (تعداد کل قیود = ۲۱).

حالت ۶. تمامی قیود-تنش، جابه جایی، کمانش، و بسامد (تعداد کل قیود = ۳۱).

سازه می‌تواند با توجه به تعادل گره ۴ و یاروشهای اجزای محدود عمومی [کوک،

۱۹۸۱] تحلیل شود. با استفاده از روش عمومی، عبارات زیر برای جابه‌جایی، تنش اعضا، و بسامدهای ارتعاشی اصلی به دست می‌آیند (توجه کنید که علاوه در بخش ۲.۶.۸ تعریف شده‌اند) :

جابه‌جاییها :

$$u = \frac{l}{E} \left[ \frac{(A_1 + 2\sqrt{2}A_2 + A_3)P_u + (A_1 - A_3)P_v}{A_1A_2 + \sqrt{2}A_1A_3 + A_2A_3} \right], \quad \text{in}$$

$$v = \frac{l}{E} \left[ \frac{-(A_1 - A_3)P_u + P_v(A_1 + A_3)}{A_1A_2 + \sqrt{2}A_1A_3 + A_2A_3} \right], \quad \text{in}$$

تش اعضا :

$$\sigma_1 = \frac{(\sqrt{2}A_2 + A_3)P_u + A_3P_v}{A_1A_2 + \sqrt{2}A_1A_3 + A_2A_3}, \quad \text{psi}$$

$$\sigma_2 = \frac{-(A_1 - A_3)P_u + (A_1 + A_3)P_v}{A_1A_2 + \sqrt{2}A_1A_3 + A_2A_3}, \quad \text{psi}$$

$$\sigma_3 = \frac{-(A_1 + \sqrt{2}A_2)P_u + A_1P_v}{A_1A_2 + \sqrt{2}A_1A_3 + A_2A_3}, \quad \text{psi}$$

پایین ترین مقدار ویژه :

$$\xi = \frac{3E}{2\sqrt{2}\rho l^2} \left[ \frac{A_1 + \sqrt{2}A_2 + A_3 - [(A_1 - A_3)^2 + 2A_2^2]^{1/2}}{\sqrt{2}(A_1 + A_3) + A_2} \right]$$

بسامد اصلی :

$$\omega = \frac{1}{2\pi} \sqrt{\xi}, \quad \text{Hz}$$

جداول ۸.۹ تا ۸.۷ حاوی تاریخچه فرآیند چرخه، نحوه فعال بودن قیود و متغیرهای طراحی در طراحی نهایی، و هزینه بهین برای سه حالت است که با روش SQP در IDESIGN به دست آمده است. قیود فعال در نقطه بهین و ضرایب لاغرانژ مربوطه (برای قیود نرمال شده) عبارتند از

حالت ۴. تنش در عضو ۱ تحت بارگذاری ۱، ۱۱.۰۰؛ تنش در عضو ۳ تحت بارگذاری

حالت ۵. جابه جایی افقی تحت بارگذاری ۱ ، ۱۱.۹۶ ؛ جابه جایی عمودی تحت بارگذاری ۲ ، ۸.۵۸ .

جدول ۸.۷ تاریخچه فرآیند چرخه و جواب نهایی برای یک سازه سه میله‌ای نامتقارن، حالت ۴ . قیود تنش

	بیشترین نقص چرخه	پارامتر همگرایی	هزینه	$A_1$	$A_2$	$A_3$
1	4.656 80E + 00	1.000 00E + 00	3.828 43E + 00	1.0000E + 00	1.0000E + 00	1.0000E + 00
2	2.106 35E + 00	1.000 00E + 00	6.514 95E + 00	1.9491E + 00	1.4289E + 00	1.6473E + 00
3	8.511 50E - 01	1.000 00E + 00	1.008 09E + 01	3.4599E + 00	1.9566E + 00	2.2849E + 00
4	2.687 61E - 01	1.313 59E + 00	1.352 03E + 01	5.2718E + 00	2.4566E + 00	2.5513E + 00
5	4.698 96E - 02	2.307 91E - 01	1.548 78E + 01	6.5854E + 00	2.5261E + 00	2.5799E + 00
6	2.124 93E - 03	8.464 22E - 02	1.595 71E + 01	6.9464E + 00	2.4233E + 00	2.6233E + 00
7	1.174 23E - 04	5.201 74E - 02	1.597 28E + 01	6.9820E + 00	2.3237E + 00	2.6694E + 00
8	4.031 39E - 04	2.524 83E - 03	1.596 20E + 01	7.0220E + 00	2.1322E + 00	2.7572E + 00
9	4.809 86E - 07	6.270 73E - 05	1.596 84E + 01	7.0236E + 00	2.1383E + 00	2.7558E + 00

فعال بودن قید	فعال بودن شماره	مقدار	ضریب لاگرانژ
1 آری		4.809 86E - 07	1.100 20E + 01
2 خیر		-8.385 71E - 01	0.000 00E + 00
3 خیر		-6.457 16E - 01	0.000 00E + 00
4 خیر		-6.575 54E - 01	0.000 00E + 00
5 خیر		-6.961 93E - 01	0.000 00E + 00
6 خیر		-1.272 18E - 01	0.000 00E + 00
7 خیر		-8.228 58E - 01	0.000 00E + 00
8 خیر		-7.942 85E - 01	0.000 00E + 00
9 آری		4.809 18E - 07	4.966 50E + 00

فعال بودن متغیر طراحی	فعال بودن شماره	طراحی	حد پایین	حد بالا	ضریب لاگرانژ
1 خیر		7.023 59E + 00	1.000 00E - 01	1.000 00E + 02	0.000 00E + 00
2 خیر		2.138 31E + 00	1.000 00E - 01	1.000 00E + 02	0.000 00E + 00
3 خیر		2.755 79E + 00	1.000 00E - 01	1.000 00E + 02	0.000 00E + 00

$$\text{تابع هزینه در بهین} = 1.596\ 844E + 01$$

تعداد فرآخوان ارزیابی تابع هزینه (USERMF)

تعداد فرآخوان ارزیابی گرادیان تابع هزینه (USERMG)

تعداد فرآخوان ارزیابی توابع قیود (USERCF)

تعداد فرآخوان ارزیابی گرادیان توابع قیود (USERCG)

تعداد فرآخوان ارزیابی گرادیان در کل = 26

جدول ۸.۸ تاریخچه فرآیند چرخه و جواب نهایی برای یک سازه سه میله ای نامتقارن،  
حالت ۰ . قیود تنش و جایه‌جایی

	بیشترین نقض چرخه	پارامتر همگرایی	هزینه	$A_1$	$A_2$	$A_3$
1	6.999 92E + 00	1.000 00E + 00	3.828 43E + 00	1.000 0E + 00	1.0000E + 00	1.0000E + 00
2	3.265 89E + 00	1.000 00E + 00	6.773 40E + 00	1.963 4E + 00	1.6469E + 00	1.6616E + 00
3	1.410 09E + 00	1.000 00E + 00	1.102 22E + 01	3.603 5E + 00	2.2775E + 00	2.5799E + 00
4	5.106 70E - 01	1.000 00E + 00	1.578 74E + 01	5.805 2E + 00	2.3814E + 00	3.6743E + 00
5	1.223 08E - 01	8.954 54E - 01	1.944 06E + 01	7.783 7E + 00	2.0911E + 00	4.4842E + 00
6	9.560 69E - 03	7.643 35E - 02	2.043 20E + 01	8.679 2E + 00	1.7974E + 00	4.4975E + 00
7	2.035 55E - 04	7.951 90E - 02	2.054 81E + 01	8.808 4E + 00	1.8341E + 00	4.4244E + 00
8	2.367 02E - 04	1.448 77E - 02	2.053 92E + 01	8.884 8E + 00	1.9071E + 00	4.2900E + 00
9	2.187 02E - 05	3.830 28E - 04	2.054 32E + 01	8.910 8E + 00	1.9299E + 00	4.2508E + 00
10	6.721 42E - 09	1.425 07E - 06	2.054 36E + 01	8.910 6E + 00	1.9295E + 00	4.2516E + 00

## فعال بودن قید

	فعال بودن شماره	مقدار	ضریب لاگرانژ
1	خیر	-1.954 61E - 01	0.000 00E + 00
2	خیر	-8.477 31E - 01	0.000 00E + 00
3	خیر	-8.045 39E - 01	0.000 00E + 00
4	آری	6.721 42E - 09	1.196 42E + 01
5	خیر	-3.909 23E - 01	0.000 00E + 00
6	خیر	-6.769 85E - 01	0.000 00E + 00
7	خیر	-7.500 00E - 01	0.000 00E + 00
8	خیر	-3.230 15E - 01	0.000 00E + 00
9	خیر	-6.460 30E - 01	0.000 00E + 00
10	آری	6.721 41E - 09	8.579 42E + 00
11	خیر	-9.022 69E - 01	0.000 00E + 00
12	خیر	-8.404 35E - 01	0.000 00E + 00
13	خیر	-2.640 08E - 01	0.000 00E + 00
14	خیر	-1.662 77E - 01	0.000 00E + 00
15	خیر	-3.617 39E - 01	0.000 00E + 00

## فعال بودن متغیر طراحی

	فعال بودن شماره	طراحی	حد پایین	حد بالا	ضریب لاگرانژ
1	خیر	8.910 58E + 00	1.000 00E - 01	1.000 00E + 02	0.000 00E + 00
2	خیر	1.929 54E + 00	1.000 00E - 01	1.000 00E + 02	0.000 00E + 00
3	خیر	4.251 57E + 00	1.000 00E - 01	1.000 00E + 02	0.000 00E + 00

$$\text{تابع هزینه در بهین} = 2.054 363E + 01$$

تعداد فرآخوان ارزیابی تابع هزینه  $10 = (\text{USERMF})$

تعداد فرآخوان ارزیابی گرادیان تابع هزینه  $10 = (\text{USERMG})$

تعداد فرآخوان ارزیابی توابع قیود  $10 = (\text{USERCF})$

تعداد فرآخوان ارزیابی گرادیان توابع قیود  $10 = (\text{USERCG})$

تعداد فرآخوان ارزیابی گرادیان در کل  $= 43$

جدول A.۹ تاریخچه فرآیند چرخه و جواب نهایی برای یک سازه سه میله‌ای نامتعارف،

## حالت ۶ - تمامی قبود

	هزینه	$A_1$	$A_2$	$A_3$
۱	6.999 92E + 00	1.000 00E + 00	3.828 43E + 00	1.0000E + 00
۲	2.888 48E + 00	1.000 00E + 00	7.292 79E + 00	2.0573E + 00
۳	1.225 37E + 00	1.000 00E + 00	1.175 48E + 01	3.7189E + 00
۴	4.274 37E - 01	1.673 31E + 00	1.634 91E + 01	6.0225E + 00
۵	9.441 47E - 02	3.900 47E - 01	1.977 44E + 01	7.6958E + 00
۶	7.387 41E - 03	3.013 29E - 02	2.093 20E + 01	8.2455E + 00
۷	6.754 06E - 05	2.255 16E - 04	2.104 82E + 01	8.2901E + 00
۸	6.466 97E - 09	1.881 51E - 08	2.104 94E + 01	8.2905E + 00
				1.2013E + 00
				5.7442E + 00

## فعال بودن تبید

فعال بودن شماره	مقدار	ضریب لاگرانژ
۱ آری	2.997 88E - 09	6.731 33E + 00
۲ خیر	-1.141 25E - 01	0.000 00E + 00
۳ خیر	-8.070 62E - 01	0.000 00E + 00
۴ خیر	-8.858 75E - 01	0.000 00E + 00
۵ آری	6.466 97E - 09	1.327 73E + 01
۶ خیر	-2.282 49E - 01	0.000 00E + 00
۷ خیر	-5.907 14E - 01	0.000 00E + 00
۸ خیر	-7.500 00E - 01	0.000 00E + 00
۹ خیر	-4.092 86E - 01	0.000 00E + 00
۱۰ خیر	-8.185 73E - 01	0.000 00E + 00
۱۱ آری	1.234 90E - 09	7.772 13E + 00
۱۲ خیر	-9.429 38E - 01	0.000 00E + 00
۱۳ خیر	-8.607 69E - 01	0.000 00E + 00
۱۴ خیر	-3.860 13E - 01	0.000 00E + 00
۱۵ خیر	-3.289 51E - 01	0.000 00E + 00
۱۶ خیر	-4.430 75E - 01	0.000 00E + 00

## فعال بودن متغیر طراحی

فعال بودن شماره	طراحی	حد پایین	حد بالا	ضریب لاگرانژ
۱ خیر	8.290 52E + 00	1.000 00E - 01	1.000 00E + 02	0.000 00E + 00
۲ خیر	1.201 30E + 00	1.000 00E - 01	1.000 00E + 02	0.000 00E + 00
۳ خیر	5.744 23E + 00	1.000 00E - 01	1.000 00E + 02	0.000 00E + 00

تابع هزینه در بهین =  $2.104 943E + 01$ 

تعداد فرآخوان ارزیابی تابع هزینه = (USERMF)

تعداد فرآخوان ارزیابی گرادیان تابع هزینه = (USERMG)

تعداد فرآخوان ارزیابی توابع قبود = (USERCF)

تعداد فرآخوان ارزیابی گرادیان توابع قبود = (USERCG)

تعداد فرآخوان ارزیابی گرادیان در کل = 48

جدول ۸.۱۰ مقایسه هزینه‌های بهین برای شش حالت یک سازه سه میله‌ای

	سازه متقارن					سازه نامتقارن	
	حالت ۱	حالت ۲	حالت ۳	حالت ۴	حالت ۵	حالت ۶	
وزن (lb) بهین	21.11	22.97	22.97	15.97	20.54	21.05	
NIT <sup>a</sup>	9	9	8	9	10	8	
NCF <sup>a</sup>	9	9	8	9	10	8	
NGE <sup>a</sup>	19	48	50	26	43	48	

NIT<sup>a</sup> ، تعداد چرخه‌ها ؛ NCF ، تعداد فراخوان برای ارزیابی تابع ؛ NGE ، تعداد کل ارزیابی گردیان

حالات ۶. قید بسامد، 6.73 ؛ جابه جایی افقی تحت بارگذاری ۱، 13.28 ؛ جابه جایی عمودی تحت بارگذاری ۲، 7.77.

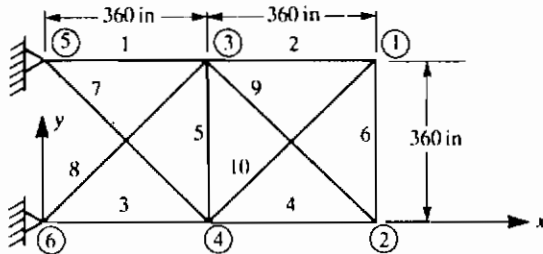
دقّت کنید که وزن بهین برای حالت ۵ بیشتر از حالت ۴، و برای حالت ۶ بیشتر از حالت ۵ است. این با برداشت‌های قبلی هماهنگ و سازگار است؛ تعداد قبود در حالت ۵ بیشتر از حالت ۴ است، و برای حالت ۶ بیشتر از حالت ۵ است.

#### ۸.۷.۳ مقایسه جوابها

جدول ۸.۱۰ حاوی مقایسه جوابهای شش حالت است. چون هر سازه نامتقارن فضای طراحی بزرگتری نسبت به حالت متقارن دارد، جوابهای بهین باید بهتر باشند، و چنین نیز هستند، حالت ۴ از ۱ بهتر است و حالت ۵ از ۲، و حالت ۶ از ۳. این نتایج نشان می‌دهد که برای یک جواب عملی بهتر، باید با تعریف متغیرهای طراحی بیشتر، انعطاف‌پذیری بیشتری در فرآیند طراحی به وجود آورد.

#### ۸.۸ طراحی بهین متغیر گسته

در بسیاری از کاربردهای عملی بهینه سازی، متغیرهای طراحی برای یک مسئله باید از مجموعه‌ای از مقادیر داده شده انتخاب گردد. به عنوان مثال، اجزای سازه‌ای باید از انواع که در بازار موجود است، انتخاب گرددند. این کار بهینه سازی متغیر گسته نامیده می‌ش



شکل ۸.۳ خریای یک سرگیردار ده میله‌ای

برای اقتصادی کردن هزینه‌های ساخت در طراحی ضرورت دارد. این موضوع در بخش ۲.۷.۶ به طور خلاصه بحث شد. ماروشی را که در آن جا تشریع شد برای یک مسئله ساده طراحی توضیح می‌دهیم.

زمینه کاربردی که انتخاب کرده‌ایم عبارت است از طراحی بهینه سیستمهای هوای فضا، خودرو، مکانیک و سازه با استفاده از الگوی اجزای محدود. مسئله عبارت است از طراحی یک سیستم با کمترین وزن که قیود متنوعی روی مشخصه‌های عملکرد آن وجود دارد. به عنوان کاربردی نمونه، یک سازه یک سرگیردار ده میله‌ای را که در شکل ۸.۳ نشان داده شده در نظر می‌گیریم. بارگذاری و سایر داده‌های طراحی مسئله در جدول ۸.۱۱ داده شده است. مجموعه مقادیر گستته از کتابچه مؤسسه امریکایی فولاد سازه‌ای نیز در جدول ۸.۱۱ داده شده است. طراحی نهایی سازه باید از این مجموعه انتخاب گردد. مساحت سطح مقطع هر عضو به عنوان یک متغیر طراحی در نظر گرفته شده که در کل ده متغیر طراحی خواهد شد. قیود روی تنش عضو (۱۰)، جایه‌جایی‌های گره‌ها (۸)، کمانش عضو (۱۰)، بسامد ارتعاشی (۱)، و کرانهای صریح متغیرهای طراحی (۲۰) اعمال می‌شوند. اینها در مجموع ۴۹ قید را تشکیل می‌دهند. در اعمال قید کمانش،  $\text{گشتاور ماند}^{\beta_1} = 1$  در نظر گرفته شده که  $\beta$  عدد ثابت و  $A$  مساحت سطح مقطع عضو است. رابطه سازی مسئله کاملاً شبیه مسئله سازه معلوم نیست. بنابراین، باید برای تحلیل سازه و محاسبه گرادیان قیود از روش‌های اجزای محدود که در بخش‌های ۸.۲ و ۸.۳ تشریع شدند، استفاده کنیم.

## جدول ۸.۱۱ داده های طراحی برای سازه ده میله ای

$E = (1.00E + 07)$ psi	ضریب ارجاعی
$\gamma = (1.0E - 01)$ lb/in <sup>3</sup>	وزن مخصوص مصالح
$\pm 2.0$ in	حد جایه جایی
25 000 psi	حد تنش
22 Hz	حد بسامد
1.62 in <sup>2</sup>	حد پاریسی متغیر های طراحی
وجود ندارد	حد بالایی متغیر های طراحی
1.0	$I = \beta A^2$ ثابت
نیرو در جهت y (lbs)	شماره گرده
50 000	۱
-150 000	۲
50 000	۳
-150 000	۴

(in) اندازه اعضای موجود<sup>۲</sup> : 1.62, 1.80, 1.99, 2.13, 2.38, 2.62, 2.63, 2.88, 293, 3.09, 3.13, 3.38, 3.47, 3.55, 3.63, 3.84, 3.87, 3.88, 4.18, 4.22, 4.49, 4.59, 4.80, 4.97, 5.12, 5.74, 7.22, 7.97, 11.50, 13.50, 13.90, 14.20, 15.50, 16.00, 16.90, 18.80, 19.90, 22.00, 22.90, 26.50, 30.00, 33.50.

## ۸.۸.۱ بهینه سازی متغیر پوسته

برای مقایسه جوابها، ابتدا مسأله بهینه سازی متغیر پوسته حل می شود. برای استفاده از برنامه IDESIGN ، برنامه های فرعی USER با استفاده از مطالب بخش های ۸.۲ و ۸.۳ تهیه می شوند تا مقدار توابع و گرادیان های آنها را ارزیابی کنند. جواب بهین با استفاده از یک معیار همگرایی دقیق و طراحی شروع یکنواخت<sup>۲</sup> ۱.۶۲ in<sup>2</sup> به شکل زیر به دست می آید

متغیر های طراحی : ۲۸.۲۸ ، ۲۸.۷۳۷ ، ۲۷.۲۶۲ ، ۱.۶۲ ، ۱۳.۵۹۵ ، ۴.۰۰۲۶ ، ۱.۶۲ ، ۱۹.۱۳ ، ۱۷.۵۴۴

تابع هزینه بهین : 5396.5 lbs

تعداد چرخه : ۱۹

تعداد تحلیل : ۲۱

بیشترین نقض قید در بهین : (8.024E - 10)

پارامتر همگرایی در بهین : (2.660E - 5)

### قیود فعال در بهینه سازی و ضرایب لاغر از آنها

سامد، 392.4

تشن در عضو ۲ ، 38.06

جایه جایی در گره ۲ در جهت z ، 4967

حد پایینی عضو ۲ ، 7.829

حد پایینی عضو ۵ ، 205.1

حد پایینی عضو ۱۰ ، 140.5

### ۸.۸.۲ بهینه سازی متغیر گستته

ما روش بهینه سازی عددی تطبیقی را که در بخش ۲.۷.۶ تشریح شد به کار می بریم تا جواب متغیر گسته را به دست آوریم. روش کار عبارت است از استفاده از برنامه IDESIGN در حالت تعاملی اش. شرایط طراحی مورد بررسی و بازبینی قرار می گیرد و تصمیمهایی در ارتباط با ثابت کردن متغیرهای طراحی که تغییر نمی کنند گرفته می شود. تسهیلات تعاملی به کار رفته عبارتند از: تاریخچه متغیرهای طراحی، بیشترین نقض قید، و تابع هزینه.

جدول ۱۲ اطلاعات مختصری از شرایط طراحی در چرخه های مختلف و تصمیم گیریها را ارائه می دهد. می توان دید که برای پنج چرخه اول نقض قید بسیار بزرگ است، بنابراین الگوریتم تصحیح قید (CC) برای تصحیح قیود استفاده شده است. در چرخه ششم، معلوم می شود که متغیرهای طراحی ۵ و ۱۰ تغییر نمی کنند، بنابراین آنها در مقدار فعلی خودشان ثابت می شوند. به طور مشابه، در چرخه های دیگر، مقدار متغیرها از مجموعه در دسترس جایگزین می شوند. در چرخه چهاردهم، تمامی متغیرها مقادیر گسته دارند، نقض قید حدود ۱.۴% است و وزن سازه عبارت است از ۵424.69، که افزایشی کمتر از ۱٪ نسبت به بهین واقعی دارد. این یک جواب نهایی کاملاً قابل قبولی است.

لازم به یادآوری است که با متغیرهای گسته، امکان به دست آوردن جوابهای متعددی در نزدیکی نقطه بهین واقعی وجود دارد. یک سری متفاوت از متغیرهای ثابت می تواند یک جواب دیگر باشد. به عنوان مثال، با شروع از جواب بهین که با متغیرهای پیوسته به دست آمده. جوابهای گسته قابل قبول زیر از طریق تعاملی به دست می آید:

## جدول ۸.۱۲ حل تعاملی سازه ده عضوی با متغیرهای گسته

شماره چرخه	بیشترین نقض (%)	تابع هزینه	الگوریتم استفاده شده	متغیرها در اندازه های داخل کمان ثابت شده اند
1	1.274E + 04	679.83	CC	همه آزاد
2	4.556E + 03	1019.74	CC	همه آزاد
3	1.268E + 03	1529.61	CC	همه آزاد
4	4.623E + 02	2294.42	CC	همه آزاد
5	1.144E + 02	3441.63	CC	همه آزاد
6	2.020E + 01	4722.73	CC	5(1.62), 10(1.62)
7	2.418	5389.28	CCC	2(1.80)
11	1.223E - 01	5402.62	SQP	1(30.0), 6(3.84), 7(13.5)
13	5.204E - 04	5411.13	SQP	3(26.5), 9(19.9)
14	1.388	5424.69	—	4(13.5), 8(16.9)

CC ، الگوریتم تصحیح قید؛ CCC ، تصحیح قید با هزینه ثابت؛ SQP ، برنامه ریزی درجه دوی دنباله ای

۱. ۳۰.۰ ، ۱.۶۲ ، ۲۶.۵ ، ۱۳.۹ ، ۱۳.۵ ، ۴.۱۸ ، ۱.۶۲ ، ۱۸.۸ ، ۱۸.۸ ، ۱.۶۲ ، ۱.۶۲

هزینه = ۵۴۸۵.۶ ، بیشترین نقض = ۴.۱۶۷٪ برای تنش در عضو ۲.

۲. مانند (۱) بجز ۸ امین متغیر طراحی که عبارت است از ۱۶.۹؛ هزینه = ۵۳۸۸.۹ و بیشترین

نقض قید = ۰.۵۸٪.

۳. مانند (۱) بجز متغیر طراحی ۲ و ۶ که عبارتند از ۲.۳۸ و ۲.۶۲؛ هزینه = ۵۴۵۶.۸؛ بیشترین  
نقض قید = ۳.۷۴٪ برای تنش در عضو ۲.

۴. مانند (۳) بجز متغیر طراحی ۲ که عبارت است از ۲.۶۲؛ هزینه = ۵۴۶۵.۴؛ همه قیدها  
برآورده می شوند. دیده می شود که تسهیلات تعاملی که در فصل (۷) تشریح شد،  
می توانند در به دست آوردن طراحیهای مهندسی عملی به کار گرفته شوند.

## ۸.۹ کنترل بهین سیستمها با برنامه ریزی غیرخطی

## ۸.۹.۱ یک مسئله کنترل بهین نمونه

همان طور که در بخش ۱.۶ بیان شد مسائل کنترل بهین طبیعتی دینامیک دارند. بعضی  
مختصر از تفاوت مسائل کنترل بهین و طراحی بهین در آن جا ارائه شد. بعضی از مسائل کنترل  
بهین می توانند توسط روشهای برنامه ریزی غیرخطی که در فصلهای (۶) و (۷) بحث شد،

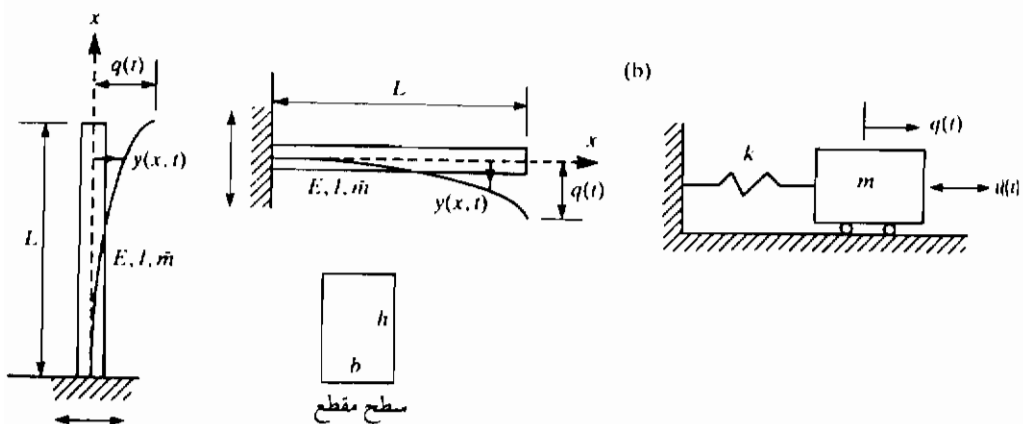
رابطه سازی و حل شوند. در این بخش، یک مسأله ساده کنترل بهین را که کاربردهای عملی متعددی دارد مورد توجه قرار می‌دهیم. رابطه سازیهای مختلفی از مسأله ارائه می‌شود و جوابهای بهین به دست آورده می‌شوند و درباره آنها بحث می‌شود.

زمینه کاربردی که ما برای تشریع استفاده از روش‌های برنامه‌ریزی غیرخطی برای این دسته از مسائل انتخاب کردۀ این عبارت است از کنترل ارتعاشی سیستمها. این دسته‌ای مهم از مسائلی است که در کاربردهای متعدد در عمل وجود دارد. به عنوان مثال، می‌توان از کنترل سازه‌ها تحت اثر زلزله و بارهای حاصل از باد، کنترل ارتعاشی ایزارهای حساس در اثر بارهای انفجاری و ورودیهای ناگهانی، کنترل سازه‌های فضایی بزرگ، کنترل دقیق ماشینها و مانند اینها نام برد. برای تجزیه و تحلیل این مسائل، یک نمونه ساده از سیستم را در نظر خواهیم گرفت تا رابطه سازی اساسی و روش‌های حل را تشریع کنیم. با استفاده از این روشها، می‌توان نمونه‌های پیچیده‌تری برای مشابه سازی دقیق‌تر سیستمهای واقعی مورد تجزیه و تحلیل قرار داد.

برای تجزیه و تحلیل مسائل کنترل بهین، توانایی تحلیل پاسخ دینامیکی باید موجود باشد. در این کتاب، فرض می‌کنیم که دانشجویان اطلاعاتی در زمینه تحلیل ارتعاشی سیستمها دارند. بویژه، ما سیستمهای را به عنوان یک سیستم جرم - فنر خطی با یک درجه آزادی مدل می‌کنیم. این کار به یک معادله دیفرانسیلی خطی مرتبه دو منجر می‌شود که حل تحلیلی آن موجود است [کلاف و پنзین<sup>۱</sup>، ۱۹۷۵]. برای دانشجویان مسروق مختصری بر حل معادلات دیفرانسیل خطی ارزشمند خواهد بود.

برای تشریع فرآیند رابطه سازی و حل، یک سازه یک سر گیردار را که در شکل ۸.۴ نشان داده شده، در نظر می‌گیریم. داده‌های مسأله و علایم مختلفی که در شکل ۸.۴ استفاده شده در جدول ۸.۱ تعریف شده‌اند. سازه یک نمونه ایده‌آل شده بسیاری از سیستمهای که در عمل استفاده می‌شوند. طول سازه عبارت است از  $L$  و سطح مقطع آن مستطیلی با عرض  $w$  و ارتفاع  $h$ . سیستم ابتدا در  $\theta = 0$  در حالت سکون است. سازه تحت تأثیر بار ناگهانی قرار می‌گیرد که در اثر یک موج شوک یا حالت‌های دیگر به وجود آمده است. مسأله عبارت است از کنترل ارتعاشی سیستم طوری که جایه‌جاییها بسیار بزرگ نباشند و سیستم با روش کنترل شده‌ای به سکون برگردد. سیستم، گیرنده‌ها و تنظیم کننده‌های مناسبی دارد که نیروی لازم را

برای کم کردن ارتعاشات تولید می کند و سیستم را به حالت سکون می رساند. نیروی کنترلی می تواند به وسیله مستهلک کننده ها یا تکیه گاههای ارتجاعی لزج که در امتداد طول سازه به طور مناسبی طراحی شده باشند نیز تولید شود. ماجزئیات طراحی ساز و کار به وجود آوردن نیروی کنترلی را بحث نخواهیم کرد و تنها به بیان مسأله به دست آوردن شکل بهین نیروی کنترلی اکتفا می کنیم.



شکل ۸.۴ نمونه یک سیستم تحت تأثیر یک ورودی ناگهانی. (a) سازه یک سر گیردار تحت تأثیر ورودی ناگهانی. (b) مدل یک درجه آزادی معادل.

### جدول ۸.۱۳ داده های مسأله کنترل بهین

$L = 1.0 \text{ m}$	طول سازه
$h = 0.02 \text{ m}$	عرض سطح مقطع
$E = 200 \text{ GPa}$	ضریب ارتجاعی
$\rho = 7800 \text{ kg/m}^3$	چگالی
$I = (6.667E - 09) \text{ m}^4$	گشتاور ماند
$\bar{m} = 1.56 \text{ kg/m}$	جرم بر واحد طول
$u(t)$ باید تعیین شود	تابع کنترلی
$u_{\text{d}} = 30 \text{ N}$	حد تابع کنترلی
$v_0 = 1.5 \text{ m/s}$	سرعت اولیه

معادله حاکمی که حرکت سیستم را بیان می‌کند یک معادله دیفرانسیل با مشتقات جزئی مرتبه دو است. برای ساده‌سازی تحلیل، از روش جداسازی متغیرها استفاده می‌کنیم، وتابع خیز  $(t, x)$  را به شکل زیر بیان می‌کنیم

$$y(x, t) = \psi(x)q(t) \quad (8.26)$$

در حالی که  $(x)$  تابع معلومی است که تابع شکل نامیده می‌شود، و  $(t)$  جابه‌جایی سرآزاد سازه یک سرگیردار است، همچنان که در شکل ۸.۴ نشان داده شده است. توابع شکل مختلفی می‌تواند مورد استفاده قرار گیرد؛ ما از تابع شکل زیر استفاده خواهیم کرد

$$\psi(x) = \frac{1}{2}(3\xi^2 - \xi^3); \quad \xi = \frac{x}{L} \quad (8.27)$$

با استفاده از انرژیهای جنبشی و پتانسیل سیستم،  $(x)$  معادله (۸.۲۷)، و داده‌های جدول ۸.۳، ثابت‌های جرم و فتر برای یک سیستم معادل یک درجه آزادی که در شکل ۸.۴ نشان داده شده به شکل زیر محاسبه می‌شود [کلاف و پنزین، ۱۹۷۵]:

جرم

$$\begin{aligned} &= \frac{1}{2} \int_0^L \bar{m} \dot{y}^2(t) dx \\ &= \frac{1}{2} \left[ \int_0^L \bar{m} \psi^2(x) dx \right] \dot{q}^2(t) \\ &= \frac{1}{2} m \dot{q}^2(t) \end{aligned}$$

در حالی که جرم  $m$  به شکل زیر تعیین می‌شود

$$\begin{aligned} m &= \int_0^L \bar{m} \psi^2(x) dx \\ &= \frac{33}{140} \bar{m} L \\ &= \frac{33}{140} (1.56)(1.0) = 0.3677 \text{ kg} \end{aligned}$$

ثابت فتر

$$\begin{aligned} &= \frac{1}{2} \int_0^L EI[y''(x)]^2 dx \\ &= \frac{1}{2} \left[ \int_0^L EI(\psi''(x))^2 dx \right] q^2(t) \\ &= \frac{1}{2} k q^2(t) \end{aligned}$$

در حالی که ثابت فر به شکل زیر محاسبه می شود

$$\begin{aligned} k &= \int_0^L EI(\psi''(x))^2 dx \\ &= \frac{3EI}{L^3} \\ &= 3(2.0E+11)(6.667E-09)/(1.0)^3 = 4000 \text{ N/m} \end{aligned}$$

در رابطه های فوق "نقطه" روی یک متغیر نشانگر مشتق نسبت به زمان و "پریم" نشانگر مشتق نسبت به مختصات  $x$  است.

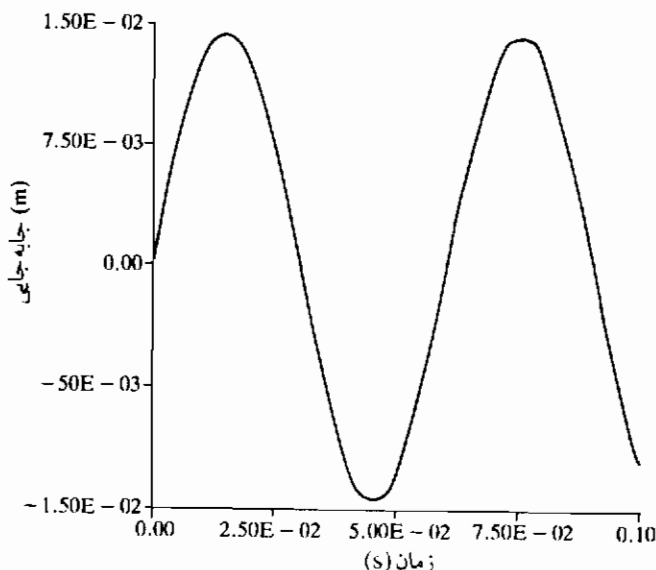
معادله حرکت سیستم یک درجه آزادی با شرایط اولیه (جابه جایی اولیه  $q_0$ ، سرعت اولیه  $\dot{q}_0$ ) به شکل زیر خواهد بود

$$m\ddot{q}(t) + kq(t) = u(t) \quad (8.28)$$

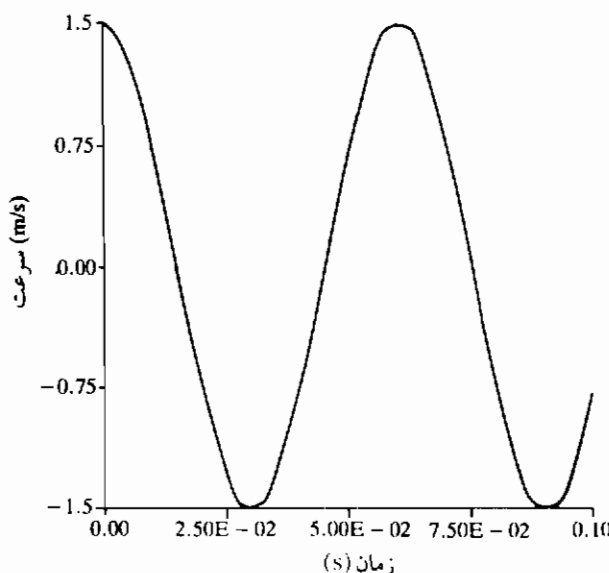
$$q(0) = q_0, \quad \dot{q}(0) = v_0 \quad (8.29)$$

در حالی که  $(t)$  نیروی کترلی مورد نیاز برای کم کردن ارتعاشاتی است که به خاطر سرعت اولیه  $v_0$  به وجود آمده (بار ناگهانی به سیستم به صورت یک سرعت اولیه معادل تبدیل می شود که با تقسیم ضربه نیرو بر جرم محاسبه می شود). دقت کنید که از استهلاک سازه ای سیستم چشم پوشی شده است. بنابراین، اگر نیروی کترلی  $(t)$  استفاده نشود، ارتعاش سیستم ادامه می یابد. شکل ۸.۵ و ۸.۶ پاسخ جابه جایی و سرعت سیستم را برای ۰.۱۰ ثانیه اول وقتی  $t = 0$  است یعنی، هیچ ساز و کار کترلی استفاده نمی شود نشان می دهد.

مسأله کترلی عبارت است از به دست آوردن تابع نیروی  $(t)$  طوری که سیستم در زمان معین به حالت سکون برسد. مسأله را به شکل زیر می توانیم بیان کنیم: نیروی کترلی که زمان به حالت سکون رسانند سیستم را مینیمم می کند به دست آورید. ما این رابطه سازیهای مختلف را در بندهای آینده بحث خواهیم کرد.



شکل ۸.۵ پاسخ جایه‌جایی سیستم یک درجه آزادی معادل به بار ناگهانی بدون نیروی کنترلی



شکل ۸.۶ پاسخ سرعت سیستم یک درجه آزادی معادل به بار ناگهانی بدون نیروی کنترلی

در اینجا توجه می‌کنیم که برای مسئله ساده‌ فوق، روش‌های حل دیگری بجز روش‌های برنامه‌ریزی غیرخطی وجود دارد [مایرویچ<sup>۱</sup>، ۱۹۸۵]. آن روش‌ها ممکن است برای مسائل ساده بهتر باشند. ولی، ما رابطه سازی برنامه‌ریزی غیرخطی را برای حل مسئله استفاده خواهیم کرد تا علومیت روش را تشریح کنیم.

## ۸.۹.۲ مینیمم سازی خطای در متغیر حالت

به عنوان یک رابطه سازی، ما شاخص عملکرد (تابع هزینه) را، مینیمم سازی خطای در متغیر حالت (پاسخ) در بازه زمانی  $0$  و  $T$  تعریف می‌کنیم که عبارت است از

$$f_1 = \int_0^T q^2(t) dt \quad (8.30)$$

قیود در روی پاسخ نهایی، پاسخ جابه جایی و نیروی کترلی عبارتند از:

$$\text{قد جابه جایی: } |q(t)| \leq q_u \quad \text{در بازه زمانی } 0 \text{ تا } T \quad (8.31)$$

$$q(T) = q_T \quad \text{قد جابه جایی نهایی:} \quad (8.32)$$

$$q(T) = v_T \quad \text{قد سرعت نهایی:} \quad (8.33)$$

$$|u(t)| \leq u_u \quad \text{قد نیروی کترلی:} \quad (8.34)$$

در حالی که <sup>۱</sup> بیشترین جابه جایی مجاز سیستم،  $v_T$  و  $q_T$  اعداد ثابت کوچک، و <sup>۲</sup> حد نیروی کترلی است. پس، مسئله طراحی عبارت است از محاسبه تابع کترلی ( $t$ ) در بازه زمانی  $0$  تا  $T$  شاخص عملکرد معادله (۸.۳۰) با شرایط قیود معادله‌های (۸.۳۱) تا (۸.۳۴) و برآورده شدن معادله‌های حرکت (۸.۲۸) و شرایط اوکیه معادله (۸.۲۹) مینیمم شود. دقت کنید که قیود معادله‌های (۸.۲۸) و (۸.۳۴) طبیعتاً دینامیک است و باید در کل بازه زمانی  $0$  تا  $T$  برآورده شود. شاخص عملکرد دیگر می‌تواند به عنوان مجموع مربعات جابه جایی و سرعت تعریف شود، یعنی:

$$f_2 = \int_0^T [q^2(t) + \dot{q}^2(t)] dt \quad (8.35)$$

## ۸.۹.۲.۱ رابطه سازی برای جواب عددی، برای به دست آوردن نتایج عددی، داده های زیر

استفاده می شوند:

$T = 0.10 \text{ s}$	زمان مجاز برای متوقف کردن حرکت
$v_0 = 1.5 \text{ m/s}$	سرعت اولیه
$q_0 = 0.0 \text{ m}$	جا به جایی اولیه
$q_s = 0.01 \text{ m}$	جا به جایی مجاز
$u_f = 0.0 \text{ m/s}$	سرعت نهایی
$q_f = 0.0 \text{ m}$	جا به جایی نهایی
$u_a = 30.0 \text{ N}$	حد نیروی کنترلی

برای این مسأله، معادله حرکت کاملاً ساده و حل تحلیلی آن می تواند با استفاده از انتگرال دوهامل<sup>۱</sup> [کلاف و پنزین<sup>۲</sup>، ۱۹۷۵] به شکل زیر نوشته شود:

$$q(t) = \frac{1}{\omega} v_0 \sin \omega t + q_0 \cos \omega t + \frac{1}{m\omega} \int_0^t u(\eta) \sin \omega(t-\eta) d\eta \quad (8.36)$$

$$\dot{q}(t) = v_0 \cos \omega t - q_0 \omega \sin \omega t + \frac{1}{m} \int_0^t u(\eta) \cos \omega(t-\eta) d\eta \quad (8.37)$$

در کاربردهای پیچیده تر، معادله حرکت باید با استفاده از روش های عددی انتگرال گیری شود [شمپین و گردون<sup>۳</sup>، ۱۹۷۵؛ هاشی و آرورا<sup>۴</sup>، ۱۹۸۴].

چون شکل صریح جا به جایی و سرعت بر حسب متغیر طرآحی  $(t)$  معلوم است، می توانیم مشتقات آنها را با دیفرانسیل گیری معادله های (۸.۳۶) و (۸.۳۷) نسبت به  $(\eta)$  محاسبه کنیم، در حالی که  $\eta$  نقطه ای بین (۰) و ( $t$ ) می باشد، داریم

$$\begin{aligned} \frac{dq(t)}{du(\eta)} &= \frac{1}{m\omega} \sin \omega(t-\eta) \quad \text{برای } t \geq \eta \\ &= 0 \quad \text{for } t < \eta \end{aligned} \quad (8.38)$$

$$\begin{aligned} \frac{d\dot{q}(t)}{du(\eta)} &= \frac{1}{m} \cos \omega(t-\eta) \quad \text{برای } t \geq \eta \\ &= 0 \quad \text{برای } t < \eta \end{aligned} \quad (8.39)$$

1. Duhamel

2. Clough and Penzien

3. Shampine and Gordon

4. Hsieh and Arora

در عبارات فوق،  $(\eta - \delta)(t) = \delta(t)/du$  استفاده شده است، در حالی که  $\delta(\eta - t)$  تابع دیرک دلتا است. برای اعمال قیود مسأله عبارت مشتق می‌تواند به سادگی برنامه ریزی شود. برای کاربردهای عمومی‌تر، مشتقات باید با استفاده از روش‌های محاسبات عددی به دست آیند. چندین روش توسعه شده و آرورا<sup>۳</sup> [۱۹۸۴] و سنج و آرورا<sup>۴</sup> [۱۹۸۷] تدوین و ارائه شده‌اند که برای کاربردهای پیچیده‌تر می‌تواند به کار رود.

معادله‌های (۸.۳۶) تا (۸.۳۹) برای تدوین برنامه‌های فرعی که باید توسط کاربر برای برنامه IDESIGN تهیه شود استفاده می‌شوند. روش‌های متعددی برای حل مسأله به روش عددی مورد نیاز است. اول از همه، یک شبکه باید برای تقسیم‌بندی زمان، و لحظاتی که جابه‌جایی، سرعت و نیروی کترولی ارزیابی خواهند شد استفاده شود. روش‌های درون‌یابی، مانند منحنی برآش درجه سه، منحنی برآش B [دی بوئر<sup>۵</sup>، ۱۹۷۸] و غیره می‌تواند برای ارزیابی توابع در نقاطی غیراز نقاط گره‌ها استفاده شوند.

مشکل دیگر در ارتباط با قید جابه‌جایی دینامیک معادله (۸.۳۱) است. قید باید در میان کل بازه زمانی بین ۰ تا  $T$  اعمال شود. برای چنین قیدهایی تحلیلهای متعددی مورد بحث قرار گرفته است [هاشی و آرورا<sup>۶</sup>، ۱۹۸۴؛ سنج و آرورا<sup>۷</sup>، ۱۹۸۷]. به عنوان مثال، قید می‌تواند یا با قیود متعددی که در هر نقطه مینیمم محلی تابع (۸.۳۶) اعمال می‌شوند جایگزین شود، یا با یک قید انتگرالی جایگزین شود؛ و یا در هر نقطه گره اعمال شود.

به علاوه روش‌های عددی فوق، یک روش محاسبه انتگرال عددی، مانند جمع ساده، قاعده ذوزنقه‌ای، قاعده سیمسون<sup>۸</sup>، تربیع گوسی<sup>۹</sup> و غیره، باید برای محاسبه انتگرال‌های معادله‌های (۸.۳۰)، (۸.۳۶) و (۸.۳۷) انتخاب شود. براساس یک بررسی اولیه، روش‌های عددی زیر، به دلیل سادگی آنها، برای حل مسأله فعلی انتخاب شده‌اند:

انتگرال عددی : روش سیمسون

قیود دینامیکی : در هر نقطه گره اعمال می‌شود

متغیر طراحی (نیروی کترولی) : مقدار آن در هر نقطه گره

1. Dirac delta

2. Hsieh and Arora

3. Tseng and Arora

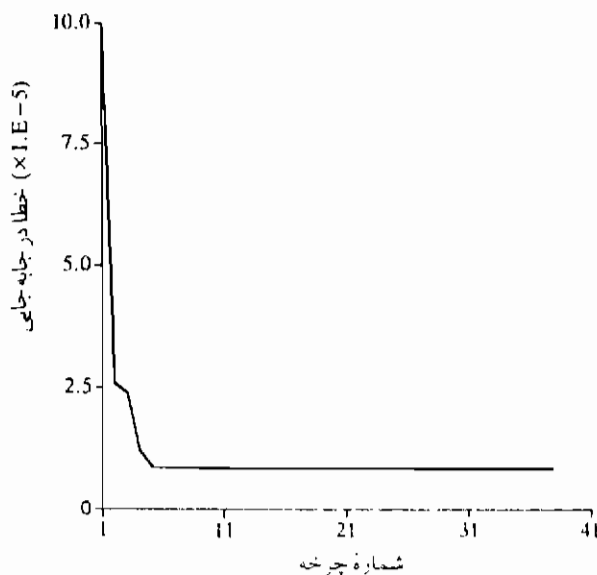
4. De Boor

5. Hsieh and Arora

6. Tseng and Arora

7. Simpson

8. Gaussian quadrature



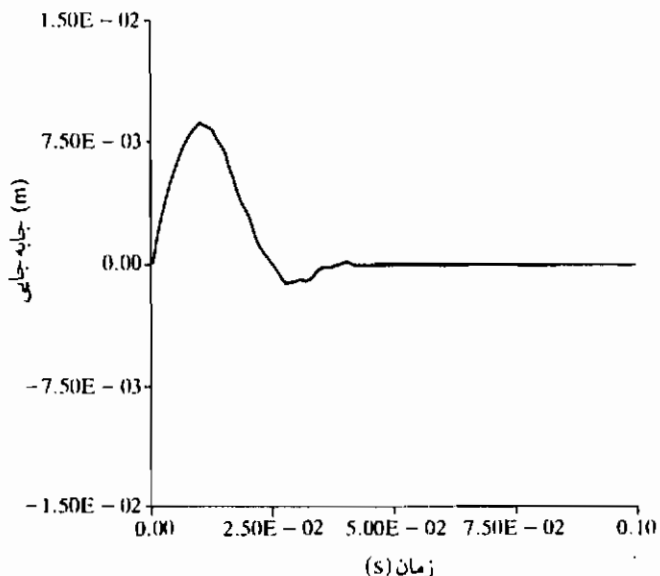
شکل ۸.۷ تاریخچه تابع هزینه برای مسئله کنترل بهینه سینم ساختن خطای در متغیر حالت (تابع هزینه ۱)

**۸.۹.۲.۲ نتایج عددی.** با استفاده از روش‌های فوق و داده‌های عددی، مسئله با استفاده از روش SQP بخش ۷.۶ که در بسته نرم افزاری IDESIGN موجود است، حل می‌شود. تعداد نقاط گرهی ۴۱ انتخاب شده، بنابراین ۴۱ متغیر طراحی وجود دارد. قید جایه جایی معادله (۸.۳۱) در نقاط گرهی اعمال می‌شود و حد آن  $m = 0.01$  در نظر گرفته می‌شود. به عنوان یک حدس اولیه، (۱) را برابر صفر قرار می‌دهیم؛ بنابراین قیود معادله‌های (۸.۳۱) تا (۸.۳۳) نقض می‌شوند. الگوریتم تنها در سه چرخه یک طراحی قابل قبول پیدا می‌کند. در این سه چرخه، تابع هزینه معادله (۸.۳۰) نیز کاهش می‌یابد. الگوریتم در چرخه یازدهم به نزدیک نقطه بهینه می‌رسد. به خاطر معیار همگرایی دقیق، ۲۷ چرخه دیگر انجام می‌شود تا معیار همگرایی مشخص شده را براورد کند. تاریخچه تابع هزینه در شکل ۸.۷ ترسیم شده است. برای تمامی مقاصد عملی جواب چیزی در حدود ۱۵ امین تا ۳۰ امین چرخه به دست می‌آید. بنابراین، اگر IDESIGN در حالت تعاملی اجرامی شد، طراحی می‌توانست فرآیند چرخه را در ۱۷ امین چرخه قطع کند.

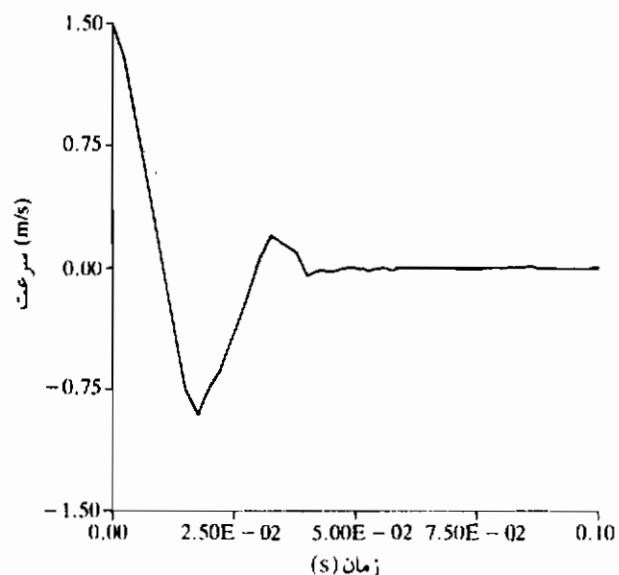
پاسخ جایه جایی و سرعت نهایی و تاریخچه نیروی کنترلی در شکل‌های ۸.۸ تا ۸.۱۰

#### ۸.۹.۲ مینیمم‌سازی خطای خطا در متغیر حالت

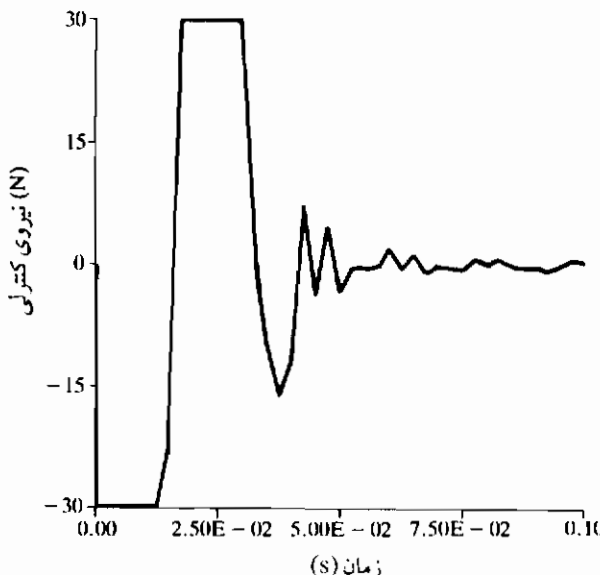
۶۵۳



شکل ۸.۸ پاسخ جایه‌جایی در بهین با مینیمم‌سازی خطای خطا در متغیر حالت به عنوان شاخص عملکرد (تابع هزبته  $f_1$ )



شکل ۸.۹ پاسخ سرعت در بهین با مینیمم‌سازی خطای خطا در متغیر حالت به عنوان شاخص عملکرد (تابع هزبته  $f_1$ )



شکل ۸.۱۰. نیروی کنترلی بهین برای مینیمم کردن خطای در متغیر حالت در اثر ورودی ناگهانی (تابع هزینه  $J_1$ )

نشان داده شده است. می توان دید که جایه جایی و سرعت در حدود ۰.۰۵ ثانیه به صفر می رسد، بنابراین سیستم در آن نقطه به حالت سکون می رسد. نیروی کنترلی نیز بعد از آن نقطه مقدار صفر دارد و در نقاط متعددی در آن بازه به مقدار حدی خودش می رسد. مقدار تابع هزینه نهایی عبارت است از  $8.536E - 07$ .

**۸.۹.۲.۳ اثرباره نرمال سازی مسأله.** برای کاربرد فعلی، نرمال سازی مسأله و بهینه سازی آن با متغیرهای نرمال شده مفید است. ما این نرمال سازی را با اختصار بحث خواهیم کرد، زیرا می تواند در دیگر کاربردها نیز مفید باشد. بدون نرمال سازی در این مسأله، تابع هزینه و گرادیان آن و توابع قید و گرادیانهای آنها مقادیری بسیار کوچک دارند. الگوریتم یک مقدار بسیار کوچکی ( $1.0E - 09$ ) برای پارامتر همگرایی نیاز دارد تا همان جواب بهینی برسد که با مسأله نرمال شده می رسد. به علاوه، نرخ همگرایی بدون نرمال سازی بسیار کند است. این مشکل عددی به خاطر شرایط بدینیم مسأله بود که با روش نرمال سازی برطرف شده و در زیر تشریح می شود.

تبدیل متغیر مستقل زمان به شکل زیر تعریف می شود

$$t = \tau T \quad \text{or} \quad \tau = \frac{t}{T} \quad (8.40)$$

در حالی که  $\tau$  متغیر مستقل نرمال شده است. با این تبدیل، وقتی  $t$  بین ۰ و  $T$  تغییر می‌کند،  $\tau$  بین ۰ و ۱ تغییر می‌کند. جایه‌جایی به شکل زیر نرمال می‌شود

$$q(t) = T q_{\max} \bar{q}(\tau) \quad \text{با} \quad \bar{q}(\tau) = \frac{q(t)}{T q_{\max}} \quad (8.41)$$

در حالی که  $(\tau) \bar{q}$  جایه‌جایی نرمال شده و  $q_{\max}$  عبارت است از ۰.۰۱۵. مشتقات جایه‌جایی نسبت به زمان به شکل زیر تبدیل می‌شوند

$$\dot{q}(t) = q_{\max} \dot{\bar{q}}(\tau)$$

$$\dot{q}(0) = q_{\max} \dot{\bar{q}}(0) \quad \text{با} \quad \dot{\bar{q}}(0) = \frac{v_0}{q_{\max}} \quad (8.43)$$

$$\ddot{q}(t) = \frac{1}{T} q_{\max} \ddot{\bar{q}}(\tau) \quad (8.44)$$

نیروی کنترلی به شکل زیر نرمال می‌شود

$$u(t) = u_{\max} \bar{u}(\tau), \quad \text{با} \quad \bar{u}(\tau) = \frac{u(t)}{u_{\max}} \quad (8.45)$$

با این نرمال‌سازی، وقتی  $(t) u$  بین  $-u_{\max}$  و  $u_{\max}$  تغییر کند  $(\tau) \bar{u}$  بین -۱ و ۱ تغییر می‌کند. اگر تبدیلهای فوق را در معادله‌های (۸.۲۸) و (۸.۲۹) جایگزین کنیم، خواهیم داشت

$$\bar{m} \ddot{\bar{q}}(\tau) + \bar{k} \bar{q}(\tau) = \bar{u}(\tau) \quad (8.46)$$

$$\bar{q}(0) = \frac{q_0}{T q_{\max}}, \quad \dot{\bar{q}}(0) = \frac{v_0}{q_{\max}} \quad (8.47)$$

$$\bar{k} = \frac{kT}{u_{\max}} q_{\max}, \quad \bar{m} = \frac{m}{Tu_{\max}} q_{\max}$$

قیود معادله‌های (۸.۳۱) تا (۸.۳۴) نیز به شکل زیر نرمال می‌شوند

$$|\dot{\bar{q}}(\tau)| \leq \frac{q_0}{T q_{\max}} \quad \text{در بازه} \quad 0 \leq \tau \leq 1 \quad (8.48)$$

$$\dot{\bar{q}}(1) = \frac{1}{T q_{\max}} q_T \quad (8.49)$$

$$\hat{q}(1) = \frac{1}{q_{\max}} : \text{قید سرعت نهایی} \quad (8.50)$$

$$|\tau(\bar{u})| \leq 1 : \text{قید نیروی کنترلی} \quad (8.51)$$

همچنان که پیشتر بیان شد، با نرمال سازی فوق، عملکرد الگوریتم عددی به میزان چشمگیری بهبود می‌یابد و به سرعت به جواب بهین همگرا می‌شود. بنابراین، وقتی امکان نرمال سازی وجود دارد عموماً نرمال سازی مسأله توصیه می‌شود. توجه کنید که به غیر از آنچه در بالا ارائه شد، شکل‌های مختلفی از نرمال سازی امکان پذیر است. اگر شکلی کار نکرد، شکل دیگری باید آزمایش شود. مانند نرمال سازی را در دو رابطه سازی دیگر که در بخش‌های ۸.۹.۴ و ۸.۹.۳ بحث می‌شوند به کار می‌بریم.

**۸.۹.۴ بحث تابع جواب نهایی مسأله می‌تواند با تعداد نقاط گره و معیار همگرایی متاثر شود. جوابی که در قبل ارائه شد با استفاده از ۴۱ نقطه گرهی و معیار همگرایی (03 - 1.0E) به دست آمده بود. یک معیار همگرایی دقیق‌تر مانند (06 - 1.0E) نیز با چند چرخه بیشتر همان جواب را می‌دهد.**

تعداد نقاط گرهی نیز می‌تواند بر دقت جواب نهایی تأثیر بگذارد. استفاده از ۲۱ نقطه گرهی نیز تقریباً جوابی مشابه می‌دهد. شکل نیروی کنترلی نهایی کمی متفاوت بود. مقدار تابع هزینه کمی بالاتر از حالت ۴۱ نقطه گرهی بود.

توجه به این نکته نیز مهم است که اگر حد<sup>۷</sup> جابه جایی در معادله (۸.۳۱) خوبی دقیق باشد مسأله غیرقابل قبول می‌شود. به عنوان مثال، وقتی<sup>۸</sup> مقدارش  $m = 0.008$  باشد، مسأله با ۴۱ نقطه گرهی غیرقابل قبول می‌شود. ولی با ۲۱ نقطه گرهی یک جواب به دست آمد. این موضوع همچنین نشان می‌دهد که وقتی تعداد نقاط گرهی کم است قید جابه جایی ممکن است بین نقاط گرهی نقض شود، هرچند در آن نقاط برآورده شده باشد. بنابراین، نقاط گرهی باید به تعداد مناسب انتخاب گردد.

بحث گذشته نشان می‌دهد که برای اعمال قبود به شکل دقیق‌تر، نقاط ماکزیمم محلی واقعی باید انتخاب و قیود در آن جا اعمال شوند. برای پیدا کردن نقاط ماکزیمم محلی واقعی، روش‌های درون‌یابی یا نیمه کردن بازه‌ای که نقطه ماکزیمم قرار دارد را می‌توان به کار برد [هاشی و آرورا<sup>۹</sup>، ۱۹۸۴]. گرادیان قبود نیز باید در نقاط ماکزیمم محاسبه شوند. برای مسأله فعلی،

پاده کردن روش قبل چندان مشکل نیست، زیرا شکل تحلیلی پاسخ معلوم است. برای کاربردهای عمومی تر، باید برای پاده سازی روش فوق کار محاسباتی و برنامه ریزی بیشتری انجام شود.

توجه به این نکته نیز مفید است که با نقاط شروع متعدد دیگری برای نیروی کترلی مثل  $N = -30 \text{ N}$ ،  $u(t) = 30 \text{ N}$  نیز به جواب مشابهی که در شکل‌های ۸.۸ تا ۸.۱۰ داده شد می‌رسیم. حجم محاسبات به نوعی متفاوت است. با رایانه Apollo DN460 و با  $u(t) = 0$  به عنوان نقطه شروع زمان محاسبات<sup>۱</sup> برای ۲۱ نقطه گره ۴۶ ثانیه و برای ۴۱ نقطه گره ۲۱ ثانیه بود.

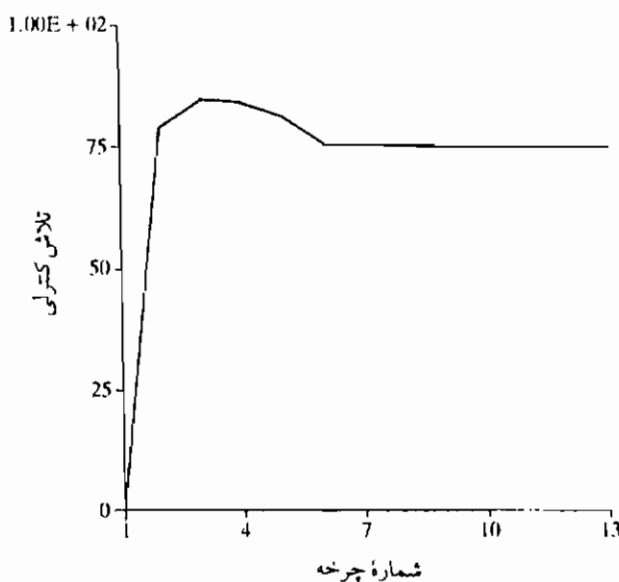
توجه به این نکته جالب است که در نقطه بین، قید دینامیک معادله (۸.۳۱) در هیچ یک از نقاط گره زمانی فعال نیست و در بسیاری از چرخه‌های میانی نقض شده است. قید پاسخ نهایی معادله‌های (۸.۳۲) و (۸.۳۳) نیز در بین برآورده شده‌اند با ضرایب لاگرانژ نرمال شده  $-7.97E - 04$  و  $5.51E - 05$ . چون ضرایب تقریباً صفرند، قیود می‌توانند بدون متأثر کردن جواب بین به نوعی آزاد گردند. این می‌تواند در پاسخ جایه‌جانی و سرعت نهایی که به ترتیب در شکل‌های ۸.۸ و ۸.۹ نشان داده شده، مشاهده گردد. چون سیستم بعد از  $0.05 = t$  ثانیه در حالت سکون است، اعمال قیود نهایی معادله‌های (۸.۳۲) و (۸.۳۳) اثری ندارد.

نیروی کترلی در نقاط گرهی متعددی در مقدار حدی خودش یعنی ( $N = 30 \text{ N}$ ) است؛ به عنوان مثال، در شش نقطه گرهی اول در حد پایین خودش و در شش نقطه گرهی بعدی در حد بالای خودش است. ضریب لاگرانژ برای قید در ابتدا بیشترین مقدار خود را دارد و به تدریج بعد از ۱۳ امین نقطه گرهی به صفر می‌رسد. براساس قضیه ۳.۱۴ حساسیت تغییر قید، در صورت برداشته شدن حد نیروی کترلی برای یک زمان کوتاه بعد از وارد شدن بار ناگهانی، تابع هزینه بین به میزان قابل ملاحظه‌ای می‌تواند کاهش پیدا کند.

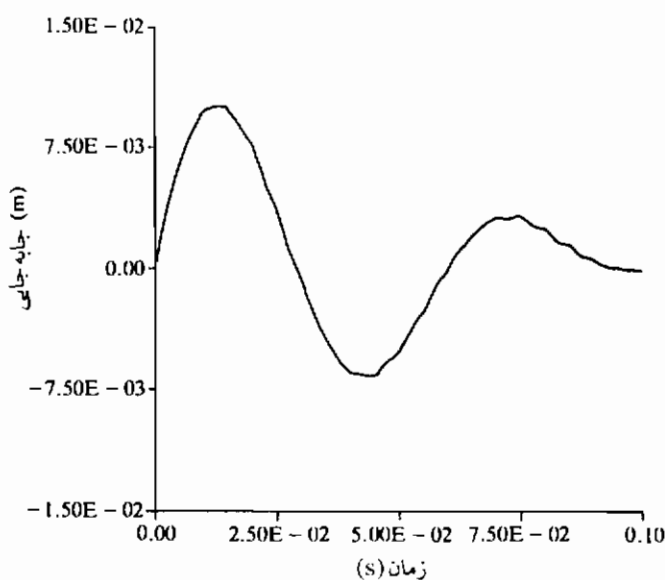
## ۸.۹.۳ مسأله مینیمم سازی تلاش کترلی

رابطه سازی دیگری برای مسأله امکان پذیر است و آن مینیمم کردن کل تلاش کترلی است که به شکل زیر تعریف می‌شود

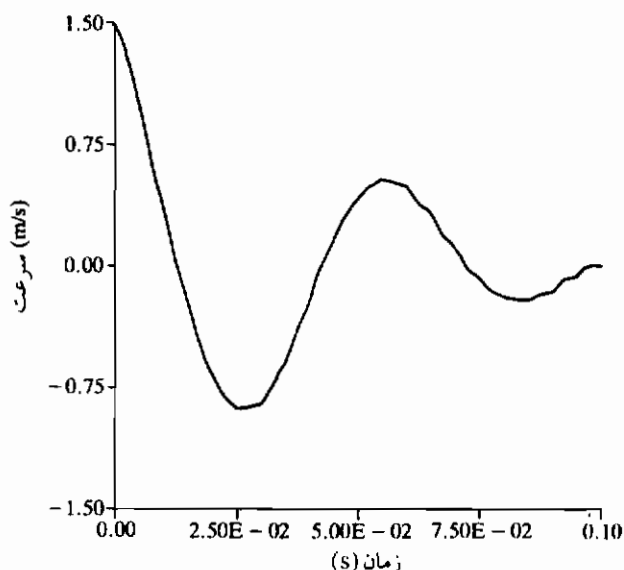
$$f_3 = \int_0^T u^2(t) dt \quad (8.52)$$



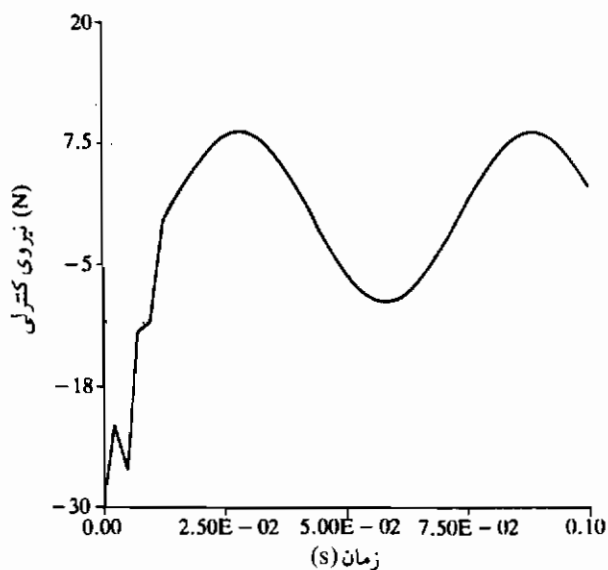
شکل ۸.۱۱ تاریخچه تابع هزینه برای مسئله کنترل بهینه مینیمم‌سازی تلاش کنترلی (تابع هزینه  $J$ )



شکل ۸.۱۲ پاسخ جا به جایی در بهینه با مینیمم‌سازی تلاش کنترلی به عنوان شاخص عملکرد (تابع هزینه  $J$ )



شکل ۸.۱۳ پاسخ سرعت در بهین با مینیمم سازی تلاش کنترلی به عنوان شاخص عملکرد (تابع هزینه  $J_c$ )



شکل ۸.۱۴ نیروی کنترلی بهین برای مینیمم سازی تلاش کنترلی برای به حالت سکون رساندن سبستم بعد از ورودی ناگهانی (تابع هزینه  $J_c$ )

قیود مانند آنچه در معادله های (۸.۳۱) تا (۸.۳۴) و معادله های (۸.۲۸) و (۸.۲۹) تعریف شد می باشد. روش های عددی برای بدست آوردن یک جواب بهین برای مسأله مانند آن چیزی است که در بخش ۸.۹.۲ تشریح شد.

این رابطه سازی مسأله کاملاً خوش خیم است. با شروع از نقاط مختلفی جواب بهین مشابهی به دست می آید، آن هم خیلی زود (۹-۲۷ چرخه). شکل های ۱۴-۸.۱۱-۸.۱۱-۸.۱۱ ناریخچه هزینه، پاسخ های جایی و سرعت، نیروی کترولی در جواب بهین را که با شروع از  $t = 0$  و  $41$  نقطه گرهی به دست آمده ارائه می دهد. تلاش کترولی نهایی ۷.۴۸ بسیار کمتر از حالت اول است که ۲۸.۷۴ بود. ولی سیستم در ۰.۱۰ ثانیه به حالت سکون می رسد که در حالت قبل ۰.۰۵ ثانیه بود. جواب با  $21$  نقطه گرهی به تلاش کترولی کمی کوچکتر می انجامد که همچنان که قبلاً توضیح داده شد، به خاطر روش های عددی استفاده شده است.

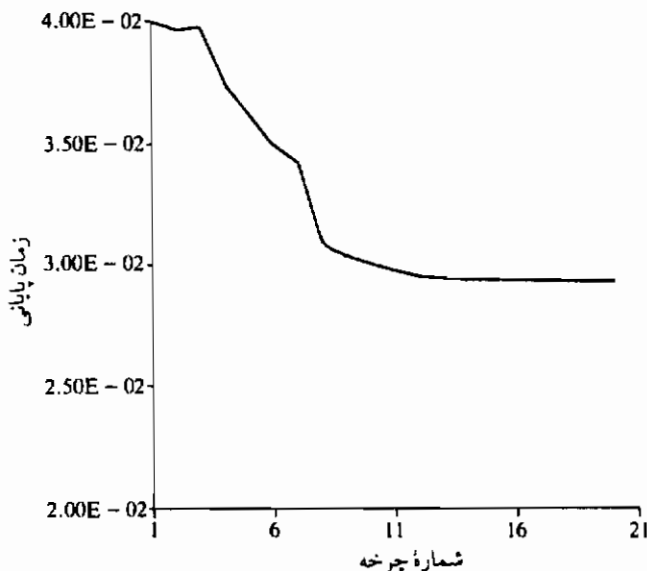
توجه به این نکته جالب است که قید معادله (۸.۳۱) در  $8$  امین نقطه گرهی با ضرب لاغرانژ نرمال شده ( $2.429E - 02$ ) فعال است. قیود معادلات (۸.۳۲) و (۸.۳۳) نیز با ضرایب لاغرانژ نرمال شده ( $-0.040E - 02$  و  $-3.753E - 04$ ) فعالند. به علاوه، نیروی کترولی در اوّلین نقطه گرهی در حد پایین خودش است با ضرب لاغرانژ ( $7.153E - 04$ ). این نشان می دهد که با افزایش یا کاهش نیروی کترولی،تابع هزینه بهین زیاد متاثر نمی شود.

#### ۸.۹.۳ مسأله کترول حداقل زمان

پنداره این رابطه سازی عبارت است از مینیمم سازی زمانی که برای استهلاک حرکت سیستم تحت شرایط قیدی مختلف مورد نیاز است. در رابطه سازی قبلی، زمان لازم برای رسیدن به سکون مشخص بود. در این رابطه سازی، ما زمان  $T$  را مینیمم می کنیم. بنابراین، تابع هزینه عبارت است از

$$f_4 = T \quad (8.53)$$

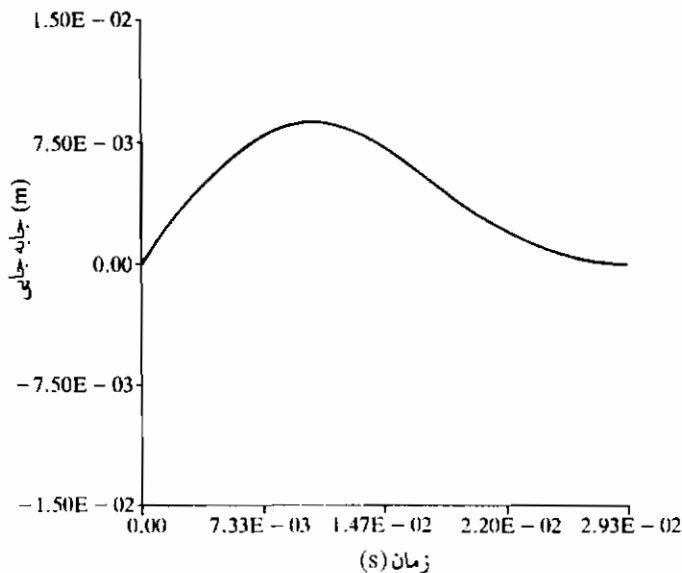
قیود روی سیستم مانند آنچه در معادله های (۸.۲۸)، (۸.۲۹) و (۸.۳۱) تا (۸.۳۴) تعریف شد می باشد. دقّت کنید که در مقایسه با رابطه سازی گذشته، گرادیان قیود نسبت به  $T$  نیز مورد نیاز است. این می تواند به راحتی محاسبه گردد، زیرا عبارت تحلیلی توابع معلوم است.



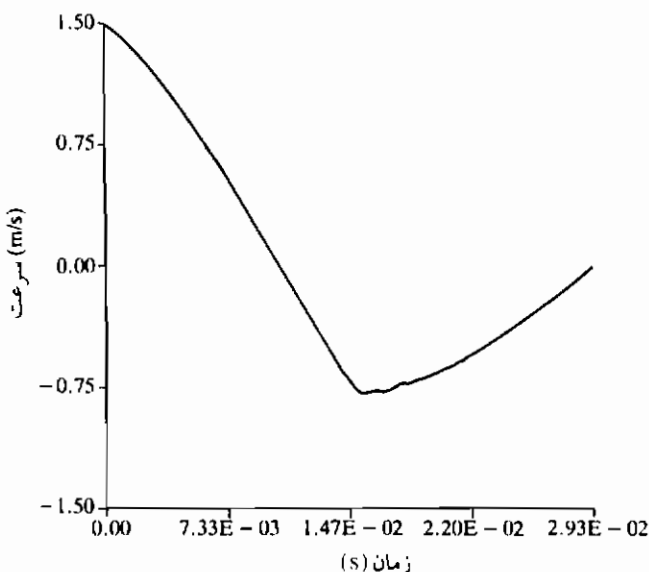
شکل ۸.۱۵ تاریخچه تابع هزینه برای مسئله کنترل بهین مینیمم سازی زمان برای بدحالت سکون رساندن سیستم (تابع هزینه  $Z$ )

با شروع از نقاط مختلف مانند  $T = 0.1, 0.04, 0.02, -30$  و  $r = 0, 30, -30$  جواب بهین مشابهی به دست می‌آید. شکل‌های ۸.۱۵-۸.۱۸ تاریخچه تابع هزینه، پاسخ جابه‌جایی و سرعت، و نیروی کنترلی در بهین با ۴۱ نقطه گرهی،  $r = 0, T = 0.04$  و  $u = 0, 1$  به عنوان نقطه شروع را نشان می‌دهند. زمان محاسبه توسط رایانه Apollo DN460 برای کل فرآیند حل، ۳۰۲ ثانیه است. برای به سکون رساندن سیستم ۳۳ ثانیه طول می‌کشد. بسته به نقطه شروع، تعداد چرخه‌های همگرانی به جواب نهایی بین ۲۰ و ۵۶ متغیر است.

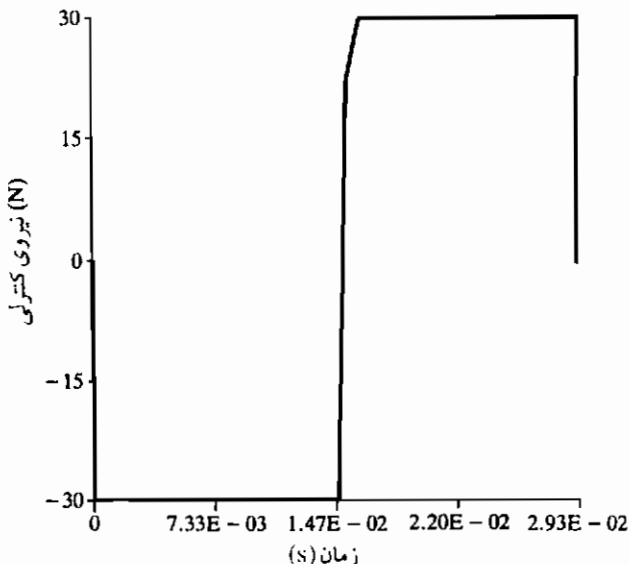
قوید معادله‌های (۸.۳۲) و (۸.۳۳) با ضرایب لاگرانژ  $(6.395E - 02)$  و  $(-1.771E - 01)$  فعالند. نیروی کنترلی در ۲۲ نقطه گرهی اوّل در حد پایینی خودش و در بقیه نقاط در حد بالای آن قرار دارد.



شکل ۸.۱۶ پاسخ جابه‌جایی در بهین با مینیمم‌سازی زمان به عنوان شاخص عملکرد (تابع هزینه  $\frac{1}{4}$ )



شکل ۸.۱۷ پاسخ سرعت در بهین با مینیمم‌سازی زمان به عنوان شاخص عملکرد (تابع هزینه  $\frac{1}{4}$ )



شکل ۸.۱۸ نیروی کنترلی بهین برای مینیمم سازی زمان به سکون رساندن سیستم بعد از ورودی ناگهانی (تابع هزینه٪)

توجه به این نکته نیز جالب است که حتی پس از ترمال سازی مسأله، نرخ همگرایی مسأله می‌تواند با ضرب تابع هزینه در عددی مثبت متاثر شود. به عنوان مثال، تعداد چرخه‌ها وقتی ضریب ۱۰۰۰ استفاده شد از ۶۰ به ۲۰ کاهش یافت. نتایج ارائه شده قبلی همه با استفاده از این ضریب ۱۰۰۰ است. از طرفی، استفاده از این ضریب فرآیند تعیین اندازه گام را برای الگوریتم تحت تأثیر قرار می‌دهد. نتیجه‌ای که براساس مطالعات می‌تواند به دست آید عبارت است از این که: فرآیند تعیین اندازه گام در سیستم IDESIGN جای بهبود بیشتری دارد.

## ۸.۹.۵ مقایسه سه رابطه سازی برای کنترل بهین حرکت سیستم

مقایسه سه رابطه سازی کنترل بهین حرکت سیستم نشان داده شده در شکل ۸.۴ جالب توجه است. جدول ۸.۱۴ حاوی خلاصه‌ای از جوابهای بهین با سه رابطه سازی مختلف است. تمامی جوابها با  $t = 0$  نقطه گرهی و با  $t = T$  به عنوان نقطه شروع و با استفاده از رایانه Apollo DN460 به دست آمده است. برای رابطه سازی سوم،  $T = 0.04$  ثانیه به عنوان نقطه شروع استفاده شده است.

جدول ۸.۱۴ خلاصه جواب بهین برای سه رابطه سازی کنترل بهین حرکت  
یک سیستم تحت اثر ورودی ناگهانی

	رابطه سازی ۱ : مینیمم سازی خط در متغیر حالت	رابطه سازی ۲ : مینیمم سازی تلash کنترلی	رابطه سازی ۳ : مینیمم سازی زمان پایانی
$f_1$	8.536 07E - 07	2.320 08E - 06	8.644 66E - 07
$f_2$	1.682 41E - 02	2.735 40E - 02	1.459 66E - 02
$f_3$	2.873 98E + 01	7.481 04	2.597 61E + 01
$f_4$	0.10	0.10	2.93 36E - 02
NIT	38	13	20
NCF	38	13	20
NGE	100	68	64
CPU	212	43	302

NIT ، تعداد چرخه ها؛ NCF ، تعداد فراخوان برای ارزیابی تابع؛ NGE ، تعداد دفعات ارزیابی گرادیان.

نتایج جدول ۸.۱۴ نشان می دهد که تلash کنترلی در رابطه سازی اول بزرگترین مقدار و در رابطه سازی دوم کمترین مقدار را دارد. رابطه سازی دوم از نظر پیاده سازی کارترین و راحت ترین است. با تغییر زمان کل  $T$  ، این رابطه سازی می تواند برای تولید نتایج رابطه سازی ۳ استفاده شود. به عنوان مثال، با استفاده از  $T = 0.05$  و  $33 = T = 0.029$  ثانیه جوابهای رابطه سازی ۲ به دست آمده اند. با  $33 = T = 0.029$  ثانیه، جوابی مشابه رابطه سازی ۳ به دست می آید . همچنین، وقتی  $T = 0.025$  ثانیه استفاده شده است، رابطه سازی ۲ به یک مسأله غیرقابل قبول منجر شده است. برای کاربردهای عملی، رابطه سازی ۲ برای مسائل کنترل ارتعاش توصیه می شود.

## تمویلهای فصل ۸

مسائل طراحی زیر را رابطه سازی کرده و با استفاده از یک الگوریتم برنامه ریزی غیرخطی و با یک طراحی اولیه منطقی آنها را حل کنید. همچنین مسائل را به روش ترسیمی حل کرده و تاریخچه فرآیند چرخه را روی ترسیمه مسأله دنبال کنید :

۸.۱ تمرین ۲.۴۸

۸.۲ تمرین ۲.۴۹

## تمرینهای فصل ۸\*

۶۶۵

۸.۳	تمرین ۲.۵۰
۸.۴	تمرین ۲.۶۲
۸.۵	تمرین ۲.۶۳
۸.۶	تمرین ۲.۶۴
۸.۷	تمرین ۲.۶۵

۸.۸

سیستم تیر یک سر گیردار - جرم نشان داده شده در شکل E8.8 را در نظر بگیرید.  
مسئله طراحی برای مینیمم بودن وزن را برای سطح مقطع مستطیلی طوری  
رابطه سازی و حل کنید که بسامد ارتعاشی اساسی بزرگتر از  $8 \text{ rad/sec}$  و ابعاد سطح  
مقطع محدوده زیر را برآورده کنند

$$0.5 \leq b \leq 1.0, \quad \text{in}$$

$$0.2 \leq h \leq 2.0, \quad \text{in}$$

از یک الگوریتم برنامه ریزی غیرخطی برای حل مسئله استفاده کنید. جواب را  
به وسیله ترسیمه تأیید و تاریخچه فرآیند چرخه را روی ترسیمه مسئله دنبال کنید. نقطه  
شروع را  $(0.5, 0.2)$  بگیرید. داده ها و روابط مختلف مسئله عبارت است از :

$$\omega = \sqrt{k_e/m} \quad \text{rad/s}$$

$$\frac{1}{k_e} = \frac{1}{k} + \frac{L^3}{3EI}$$

$$m = \frac{W}{g}$$

$$W = 50 \text{ lb}$$

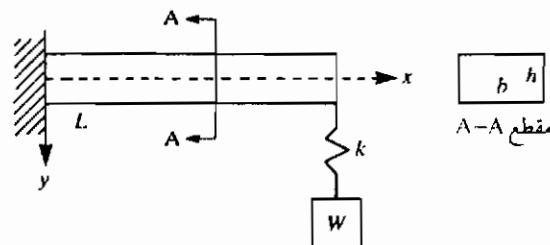
$$L = 12 \text{ in}$$

$$E = (3.00E+07) \text{ psi}$$

$$k = 10 \text{ lb/in}$$

$$I, \text{ in}^4$$

$$g, \text{ in/sec}^2$$



شکل E8.8 تیر یک سر گیردار با جرم و فنر در سر آزاد

۸.۹ یک تیر فولادی منتشری با سطح مقطع متقارن I در شکل E8.9 نشان داده شده است.

مساله طراحی مینیمم وزن را مشروط به قیود زیر رابطه سازی و حل کنید:

۱. تنش محوری ماکزیمم که به خاطر اثر بارهای خمی و محوری مرکب است نباید از  $100 \text{ MPa}$  بیشتر شود.

۲. بیشترین تنش برشی نباید از  $60 \text{ MPa}$  بیشتر شود.

۳. خیز ماکزیمم نباید از  $15 \text{ mm}$  تجاوز کند.

۴. تیر باید در مقابل کمانش جانبی مقاوم باشد.

۵. متغیرهای طراحی باید محدوده های زیر را برآورده کنند  $b \geq 100 \text{ mm}$

$$h \leq 150 \text{ mm}, t_1 \leq 15 \text{ mm}, t_2 \leq 10 \text{ mm}$$

با استفاده از یک روش بهینه سازی عددی مساله را حل کرده، و با جواب به دست آمده

از شرایط لازم K-T مقایسه کنید. داده های مساله عبارتند از:

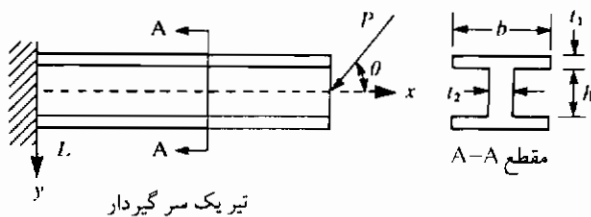
$E \doteq 200 \text{ GPa}$	ضریب ارجاعی
----------------------------	-------------

$G = 70 \text{ GPa}$	ضریب برشی
----------------------	-----------

$P = 70 \text{ kN}$	بار
---------------------	-----

$\theta = 45^\circ$	زاویه بار
---------------------	-----------

$L = 1.5 \text{ m}$	طول تیر
---------------------	---------



شکل E8.9 تیر یک سر گیردار، متغیرهای طراحی:  $b$  ،  $t_1$  و  $t_2$  و  $h$

۸.۱۰ بهینه سازی شکلی یک سازه. هدف طراحی عبارت است از به دست آوردن شکل

یک سازه سه میله ای که در شکل ۸.۱۰ نشان داده شده طوری که وزن آن مینیمم باشد

[کارکوران، ۱۹۷۰]. متغیرهای طراحی برای مساله عبارت است از مساحت های

سطح مقطع اعضا  $A_1$ ،  $A_2$  و  $A_3$  و مختصات نقاط گرهی  $A$ ،  $B$  و  $C$  (توجه کنید که  $x_1$  و  $x_2$  در شکل مقادیر مثبت دارند؛ مقدار نهایی آنها ممکن است مثبت یا منفی باشد)، طوری که خرپا تا حد امکان سبک باشد و قیود تنش به ازای شرایط بارگذاری سه گانه زیر برآورده شوند

$j$	شماره شرایط	بار $P_j$ (lb)	زاویه $\theta_j$ (درجه)
1		40 000	45
2		30 000	90
3		20 000	135

قیود تنش به شکل زیر نوشته می‌شوند

$$\begin{aligned} -5000 \leq \sigma_{ij} &\leq 5000, & \text{psi} \\ -20\,000 \leq \sigma_{2j} &\leq 20\,000, & \text{psi} \\ -5000 \leq \sigma_{3j} &\leq 5000, & \text{psi} \end{aligned}$$

در حالی که  $j = 1, 2, 3$  نشان دهنده سه نوع شرایط بارگذاری است و تنشها از عبارات زیر محاسبه می‌شوند:

$$\begin{aligned} \sigma_{1j} &= \frac{E}{L_1} [u_j \cos \alpha_1 + v_j \sin \alpha_1] = \frac{E}{L_1^2} (u_j x_1 + v_j L) \\ \sigma_{2j} &= \frac{E}{L_2} [u_j \cos \alpha_2 + v_j \sin \alpha_2] = \frac{E}{L_2^2} (u_j x_2 + v_j L) \\ \sigma_{3j} &= \frac{E}{L_3} [u_j \cos \alpha_3 + v_j \sin \alpha_3] = \frac{E}{L_3^2} (-u_j x_3 + v_j L) \end{aligned}$$

در حالی که  $L = 10 \text{ in}$  و

$$L_1 = \text{ طول عضو ۱} = \sqrt{L^2 + x_1^2}$$

$$L_2 = \text{ طول عضو ۲} = \sqrt{L^2 + x_2^2}$$

$$L_3 = \text{ طول عضو ۳} = \sqrt{L^2 + x_3^2}$$

و  $u_j$  و  $v_j$  عبارتند از جابه‌جایی‌های افقی و عمودی زامین شرایط بارگذاری که از روابط خطی زیر به دست می‌آید.

$$\begin{bmatrix} k_{11} & k_{12} \\ k_{21} & k_{22} \end{bmatrix} \begin{bmatrix} u_j \\ v_j \end{bmatrix} = \begin{bmatrix} P_j \cos \theta_j \\ P_j \sin \theta_j \end{bmatrix}, \quad j = 1, 2, 3$$

در حالی که ضرایب سختی عبارتند از ( $E = 3.0 \times 10^7 \text{ psi}$ )

$$k_{11} = E \left( \frac{A_1 x_1^2}{L_1^3} + \frac{A_2 x_2^2}{L_2^3} + \frac{A_3 x_3^2}{L_3^3} \right)$$

$$k_{12} = E \left( \frac{A_1 L x_1}{L_1^3} + \frac{A_2 L x_2}{L_2^3} - \frac{A_3 L x_3}{L_3^3} \right) = k_{21}$$

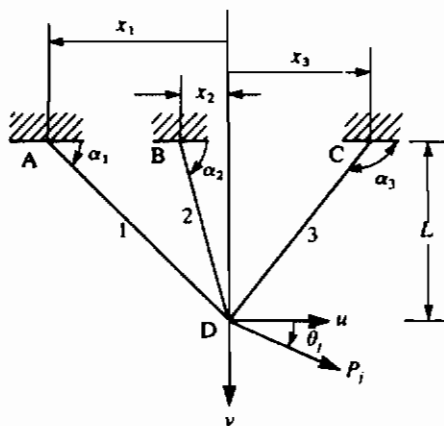
$$k_{22} = E \left( \frac{A_1 L^2}{L_1^3} + \frac{A_2 L^2}{L_2^3} + \frac{A_3 L^2}{L_3^3} \right)$$

مسئله طراحی را ارائه سازی کرده و جواب بهین را با شروع از نقطه زیر باید

$$A_1 = 6.0, A_2 = 6.0, A_3 = 6.0$$

$$x_1 = 5.0, x_2 = 0.0, x_3 = 5.0$$

جوابها را با جوابهای داده شده در جدول ۸.۷ مقایسه کنید.



شکل ۸.۱۰ E8.10 سازه سه میله‌ای. بهینه‌سازی شکلی

۸.۱۱ طراحی مجموعه یک جعبه دندنه نه سرعته. نحوه آرایش یک جعبه دندنه نه سرعته

در شکل E8.11 نشان داده شده است. هدف از ترکیب این مجموعه عبارت است از

یافتن اندازه تمامی چرخ دندنه‌ها از معادلات شبکه و نسبت سرعت، طوری که اندازه

بزرگترین چرخ دندنه مینیموم باشد [عثمان، سانکر و دوکیپاتی، ۱۹۷۸]. به خاطر

معادلات شبکه و نسبت سرعت، تنها سه پارامتر مستقل زیر باید انتخاب شوند:

$$x_1 = d/a, \text{ نسبت دنده}$$

$$x_2 = e/a, \text{ نسبت دنده}$$

$$x_3 = j/a, \text{ نسبت دنده}$$

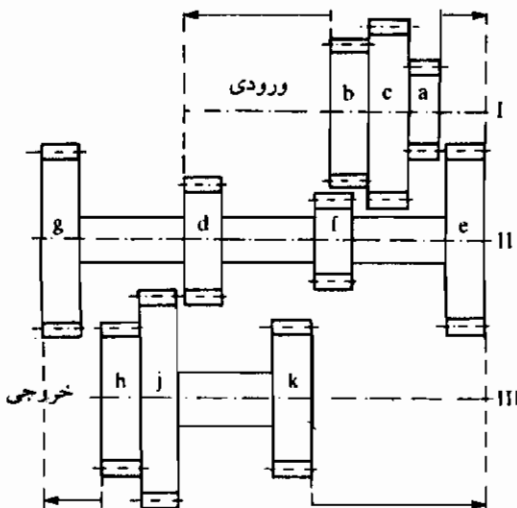
به خاطر لحاظ کردن مسائل عملی، مینیمم کردن  $x_1 - x_2 - x_3$  به کاهش هزینه تولید جعبه دنده می‌انجامد.

اندازه چرخ دنده‌ها باید معادلات شبکه زیر را برآورده کنند:

$$\phi^2 x_1(x_1 + x_3 - x_2) - x_2 x_3 = 0$$

$$\phi^3 x_1 - x_2(1 + x_2 - x_1) = 0$$

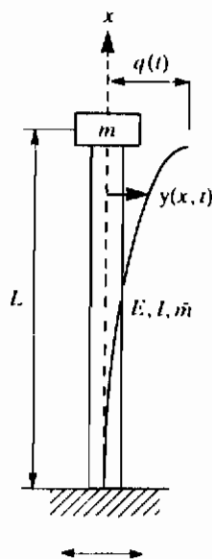
در حالی که  $\phi$  نسبت گام سرعت است. جواب بهین مسأله را با دو مقدار متفاوت  $\phi$  یعنی  $\sqrt{2}$  و  $^{103}(2)$  بیابید.



شکل ۸.۱۱ نحوه آرباش یک جعبه دنده نه سرعته

۸.۱۲ طراحی یک میله پله‌ای پرچم. مسأله طراحی میله پرچم تمرین ۲۰۶۳ را برای داده‌های ارائه شده در آن جا رابطه سازی کنید. از یک لوله با ضخامت ثابت به عنوان عضو سازه استفاده کنید. جرم میله پرچم باید نسبت به قیود مختلف مینیمم شود. از یک روش بهینه سازی عددی برای بدست آوردن جواب نهایی استفاده کرده و آن را با جواب بهین میله یکنواخت پرچم مقایسه کنید.

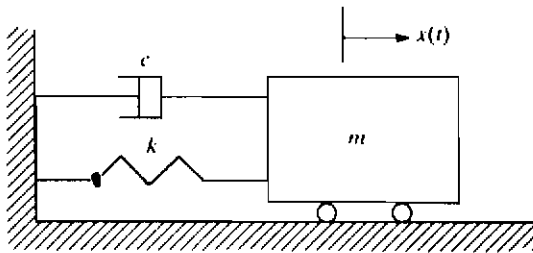
- ۸.۱۳ طراحی پایه تابلو. مسأله طراحی پایه تابلو را که در تمرین ۲.۶۴ تشریح شد با داده های ارائه شده در آن جا رابطه سازی کنید. از یک لوله پلہ ای با ضخامت ثابت به عنوان عضو سازه استفاده کنید. جرم پایه باید نسبت به قیود مختلف مینیمم شود. با استفاده از یک روش بهینه سازی عددی جواب نهایی را یافته و آن را با جواب بهین پایه یکنواخت مقایسه کنید.
- ۸.۱۴ مسأله تمرین ۱۲.۸ را برای یک پایه پلہ ای مریع با ضخامت یکنواخت تکرار کنید.
- ۸.۱۵ مسأله تمرین ۱۳.۸ را برای یک پایه پلہ ای مریع با ضخامت یکنواخت تکرار کنید.
- ۸.۱۶ برای مسأله کنترل بهین مینیمم سازی خطای خطا در متغیر حالت که در بخش ۸.۹.۲ رابطه سازی و حل شد، اثر تغییرات حدود نیروی کنترلی ( $\ddot{M}$ ) را به  $N = 25$  یا  $N = 35$  بررسی کنید.
- ۸.۱۷ برای مسأله مینیمم سازی تلاش کنترل که در بخش ۸.۹.۳ رابطه سازی و حل شد، اثر تغییرات حدود نیروی کنترلی ( $\ddot{M}$ ) را به  $N = 25$  یا  $N = 35$  بررسی کنید.
- ۸.۱۸ برای مسأله کنترل حداقل زمان که در بخش ۸.۹.۴ رابطه سازی و حل شد، اثر تغییرات حدود نیروی کنترلی ( $\ddot{M}$ ) را به  $N = 25$  یا  $N = 35$  بررسی کنید.
- ۸.۱۹ برای مسأله کنترل بهین مینیمم سازی خطای برای متغیر حالت که در بخش ۸.۹.۲ رابطه سازی و حل شد، اثر اضافه شدن یک جرم متمرکز  $M$  در سر آزاد تیر ( $E = 0.05 \text{ kg}$ ) را همچنان که در شکل ۱۹.۸ دیده می شود، بررسی کنید.
- ۸.۲۰ برای مسأله کنترل حداقل زمان که در بخش ۸.۹.۳ رابطه سازی و حل شد، اثر اضافه شدن یک جرم متمرکز  $M$  را در سر آزاد تیر مطالعه کنید ( $M = 0.05 \text{ kg}$ ).
- ۸.۲۱ برای مسأله کنترل حداقل زمان که در بخش ۸.۹.۴ رابطه سازی و حل شد، اثر اضافه شدن یک جرم متمرکز  $M$  را در سر آزاد تیر مطالعه کنید ( $M = 0.05 \text{ kg}$ ).
- ۸.۲۲ برای تمرین ۱۹.۸ اگر جرم  $M$  با محدوده  $0 \leq M \leq 0.10 \text{ kg}$  به عنوان متغیر طراحی در نظر گرفته شود، جواب بهین چه خواهد بود؟
- ۸.۲۳ برای تمرین ۲۰.۸ اگر جرم  $M$  با محدوده  $0 \leq M \leq 0.10 \text{ kg}$  به عنوان متغیر طراحی در نظر گرفته شود، جواب بهین چه خواهد بود؟
- ۸.۲۴ برای تمرین ۲۱.۸ اگر جرم  $M$  با محدوده  $0 \leq M \leq 0.10 \text{ kg}$  به عنوان متغیر طراحی در نظر گرفته شود، جواب بهین چه خواهد بود؟



شکل ۱۹ E8.19 سازه یک سر گیردار با جرم در سر آزاد

- ۸.۲۵ برای مسأله کنترل بهین مینیمم سازی متغیر حالت که در بخش ۸.۹.۳ رابطه سازی و حل شد، اثر اضافه کردن ۱٪ به استهلاک بحرانی در رابطه سازی را مطالعه کنید.
- ۸.۲۶ برای مسأله مینیمم سازی تلاش کنترلی که در بخش ۸.۹.۳ رابطه سازی و حل شد، اثر اضافه کردن ۱٪ به استهلاک بحرانی در رابطه سازی را مطالعه کنید.
- ۸.۲۷ برای مسأله کنترل حداقل زمان که در بخش ۸.۹.۴ رابطه سازی و حل شد، اثر اضافه کردن ۱٪ به استهلاک بحرانی در رابطه سازی را مطالعه کنید.
- ۸.۲۸ برای سیستم جرم فنر مستهلك کننده که در شکل E8.28 نشان داده شده است، مسأله به دست آوردن ثابت فنر و ضریب استهلاکی را برای مینیمم شدن شتاب ماکزیمم سیستم در یک بازه ۱۰ ثانیه‌ای وقتی که با سرعت اوکیه  $5 \text{ m/sec}$  رها می‌شود، رابطه سازی و حل کنید. جرم برابر است با  $5 \text{ kg}$ . جایه جایی جرم در کل بازه ۱۰ ثانیه‌ای نباید از  $5 \text{ cm}$  تجاوز کند. ثابت فنر و ضریب استهلاکی باید در محدوده  $1000 \leq k \leq 3000 \text{ N/m}$  و  $0 \leq c \leq 300 \text{ N.S/m}$  باشد. (راهنمایی: هدف از مینیمم سازی ماکزیمم شتاب عبارت است از یک مسأله مین-ماکس<sup>۱</sup> که با معروفی

یک متغیر طراحی مصنوعی می تواند به یک مسئله برنامه ریزی غیرخطی تبدیل شود. اگر  $(t)$  شتاب و  $A$  متغیر مصنوعی باشد، آن گاه هدف می تواند مینیمم کردن  $A$  به شرط یک قید اضافی  $A \leq (t)$  در بازه  $0 \leq t \leq 10$  باشد.



شکل E8.28 میثم استهلاکی یک درجه آزادی

## تحلیل اقتصادی

بخش عمده این کتاب به بیان روش‌های تحلیلی و عددی بهینه‌سازی طراحی مهندسی اختصاص یافته است. این پیوست خارج از آن موضوع کلی بوده و شامل مقدمه‌ای در تصمیم‌سازی مهندسی براساس نگرش اقتصادی است. برای اطلاع از جزئیات بیشتر در این باره به کتابهای گرانت، آیرسون و لیون ورث<sup>۱</sup> [۱۹۸۲]، استارک و نیکولز<sup>۲</sup> [۱۹۷۲] و بلنک و تارکوین<sup>۳</sup> [۱۹۸۳] مراجعه کنید.

### ۸.۱ ارزش زمانی نقدینگی

سیستم‌های مهندسی برای انجام وظایفی خاص طراحی می‌شوند. معمولاً طراحی‌های جایگزین متعددی می‌توانند یک وظیفه را انجام دهند. سؤال این است که کدام یک از این جایگزینها بهترین است؟ عوامل مختلفی مثل سابقه، جوامن اجتماعی، زیبایی، ارزش‌های اقتصادی و روانی می‌توانند در انتخاب نهایی مؤثر باشند. این پیوست تنها به عوامل اقتصادی که در انتخاب یک جایگزین مؤثرند می‌پردازد.

مسائل اقتصادی بخشی جداناپذیر از مهندسی هستند، زیرا مهندسان نسبت به هزینه

1. Grant, Ireson and Leavenworth

2. Stark and Nicholls

3. Blank and Tarquin

مستقیم یک طرح حساسند. آنها باید هزینه نگه داری و عملکرد را پیش بینی کنند. در فرآیند تصمیم سازی، شرایط اقتصادی آینده نیز باید در نظر گرفته شود. ما راههایی برای اندازه گیری ارزش نقدینگی تشریع خواهیم کرد تا مقایسه طرحهای جایگزین میسر گردد. در این بحث علایم زیر به کار رفته است:

$n$  = تعداد بازه های زمانی سود، مثلاً چند ماه یا چند سال؛

$i$  = برگشتی به ازای هر دلار در بازه زمانی؛ دقت کنید که نرخ سود سالیانه نیست.

این مطلب در مثالها بیشتر تشریع خواهد شد؛

$P$  = ارزش یا سرجمع فعلی نقدینگی، بر حسب دلار؛

$S_n$  = جمع نهایی بعد از  $n$  بازه زمانی یا پرداخت از زمان حال، بر حسب دلار؛

$R$  = یک سری از وصولیهای متواتی پول به صورت اقساط مساوی در آخر سررسید؛  
مثلاً دلار در ماه، دلار در سال و غیره.

فهم علایم و معنی آنها برای تجزیه و تحلیل و حل صحیح مثالها و تمرینها مهم است. به عنوان مثال،  $n$  باید به عنوان نرخ برگشت در هر دلار در هر بازه زمانی به کار رود و نه نرخ سود سالانه. و  $R$  عبارت است از مقدار مربوط به آخر بازه زمانی و نه اول آن. توجه به این نکته مهم است که در مثالها و تمرینها نرخ سود سالانه را ذکر خواهیم کرد و با استفاده از آن می توان را محاسبه کرد.

سرمایه گذاری  $P$  دلار را که دلار به ازای هر دلار در هر بازه زمانی برگشت دارد، در نظر بگیرید. برگشت پس از اولین بازه زمانی عبارت است از  $iP$ ، و سرمایه گذاری اولیه به  $(P + i)$  افزایش می یابد. این مبلغ دوباره سرمایه گذاری شده و در پایان بازه زمانی بعدی  $(P + i)^2$  برگشت دارد که ارزش مبلغ اوّلیه  $P^2$  می شود، و به همین ترتیب اگر این کار برای  $n$  بازه زمانی ادامه پیدا کند، سرمایه اوّلیه  $P$  به جمع نهایی  $S_n$  بالغ می شود که از رابطه زیر به دست می آید

$$S_n = (1 + i)^n P = [\text{spcaf}(i, n)]P \quad (\text{A.1})$$

که  $\text{spcaf}(i, n)$  ضریب پرداخت یکجای مرابعه مرکب است.

**مثال A.1** استفاده از ضریب پرداخت یکجای مرابعه مرکب، سرمایه گذاری ۱۰۰۰ دلار را با نرخ

سود سالانه ۹٪ در نظر بگیرید که به طور ماهانه مرکب می‌شود. جمع کل را در پایان ۲ و ۴ سال محاسبه کنید.

حل. برای نرخ سود سالانه داده شده، نرخ برگشت به ازای هر دلار در ماه عبارت است از  $i = 0.09/12 = 0.0075$ . برگشت نهایی سرمایه گذاری ۱۰۰۰ دلاری در پایان ۲ سال ( $n = 24$ ) با استفاده از ضریب پرداخت یکجای مرابحه مرکب معادله (A.1) برابر است با

$$\begin{aligned} S_{24} &= \text{spcfaf}(0.0075, 24)(1000) \\ &= (1 + 0.0075)^{24}(1000) = (1.19641)(1000) = \$1196.41 \end{aligned}$$

و در پایان ۴ سال ( $n = 48$ ) برابر است با

$$\begin{aligned} S_{48} &= (1 + 0.0075)^{48}(1000) \\ &= (1.43141)(1000) = \$1431.41 \end{aligned}$$

اگر  $P$  ارزش فعلی بازپرداخت  $S_n$  باشد که در پایان "امین بازه زمانی پرداخت شده می‌توان آن را از معادله (A.1) محاسبه کرد

$$P = (1 + i)^{-n} S_n = [\text{sppwf}(i, n)] S_n \quad (\text{A.2})$$

که  $(i, n)$  ضریب ارزش فعلی پرداخت یکجا نامیده می‌شود. دقت کنید که با توجه به معادله (A.1)  $\text{sppwf}(i, n)$  عکس  $\text{spcfaf}(i, n)$  است.

**مثال A.2** استفاده از ضریب ارزش فعلی پرداخت یکجا. حالتی را در نظر بگیرید که یک نفر می‌خواهد از بانک وام بگیرد و در پایان دو سال می‌تواند ۱۰۰۰۰ دلار برگرداند. اگر نرخ سود سالانه متداول ۱۲٪ باشد که ماهانه مرکب شود بانک چقدر می‌تواند وام دهد؟

حل. با استفاده از نرخ سود داده شده، نرخ برگشت به ازای هر دلار در هر بازه زمانی برای این مثال عبارت است از  $i = 0.12/12 = 0.01$ . با استفاده از ضریب ارزش فعلی پرداخت یکجای معادله (A.2)، ارزش فعلی ۱۰۰۰۰ دلار که در پایان دو سال ( $n = 24$ ) پرداخت می‌شود عبارت است از

$$\begin{aligned} P &= (1 + 0.01)^{-24}(10\,000) \\ &= 0.787\,566(10\,000) = \$7876.66 \end{aligned}$$

پس بانک در حال حاضر می‌تواند \$7876.66 وام بدهد.

پرداخت اقساطی یکنواخت  $R$  را که در پایان هر بازه زمانی انجام می‌شود در نظر بگیرید. اوّلین بازپرداخت در انتهای اوّلین بازه زمانی در مدت  $(1 - n)$  بازه سودی خواهد داشت. بنابراین، از معادله (A.1)، بعد از // امین بازه به  $R^{1-i}$  بالغ خواهد شد. دومین قسط که در پایان دومین بازه زمانی پرداخت می‌شود در مدت  $(n - 1)$  بازه سود خواهد داشت و ارزش آن بعد از // امین بازه زمانی  $R^{1-(i+1)}$  خواهد بود؛ و به همین ترتیب. این پرداخت قسطی معادل حاصل جمع "S" خواهد بود که یک سری هندسی محدود و به شکل زیر است

$$\begin{aligned} S_n &= (1+i)^{n-1}R + \dots + (1+i)R + R \\ &= [(1+i)^{n-1} + \dots + (1+i) + 1]R \\ &= \frac{1}{i}[(1+i)^n - 1]R = [\text{uscaf}(i, n)]R \end{aligned} \quad (\text{A.3})$$

که  $\text{uscaf}(i, n)$  عبارت است از ضریب مرابحه مرکب سری یکنواخت<sup>۱</sup>. به طریق مشابه، حاصل جمع نهایی "S" می‌تواند بر حسب یک سری معادل از پرداختهای  $R$  با برگرداندن معادله (A.3) بیان شود:

$$R = \frac{iS_n}{[(1+i)^n - 1]} = \text{sfdf}(i, n)S_n \quad (\text{A.4})$$

که  $\text{sfdf}(i, n)$  ضریب سپرده وجوده استهلاکی<sup>۲</sup> نامیده می‌شود. به نکته مهم معادله‌های (A.3) و (A.4) دقت کنید که

۱. // عبارت است از تعداد بازه‌های سود و اوّلین بازپرداخت در پایان اوّلین بازه است.
۲. حاصل جمع نهایی "S" در پایان // امین بازه شامل // امین پرداخت نیز هست.

**مثال A.3** استفاده از ضریب مرابحه مرکب سری یکنواخت، حالتی را در نظر بگیرید که شخصی تصمیم دارد ۵۰ دلار در پایان هر ماه و برای ۱۰ سال آینده سپرده گذاری کند. نرخ سود

1. uniform series compound amount factor
2. sinking fund deposit factor

سالانه مقدار ۰٪۹ است که ماهانه مرکب می‌شود. بعد از بازه زمانی ده سال چقدر جمع خواهد شد؟

حل. چون سود ماهانه است، مقدار  $i$  برای این مسأله عبارت است از  $i = 0.09/12 = 0.0075$ . با استفاده از ضریب مرابحه مرکب سری یکنواخت معادله (A.3)، جمع نهایی  $S_{120}$  عبارت است از  $S_{120} = [uscaf(0.0075, 120)(50)]$

$$\begin{aligned} S_{120} &= \frac{[(1 + 0.0075)^{120} - 1]}{0.0075}(50) \\ &= (193.51428)(50) = \$9675.71 \end{aligned}$$

دقت کنید که جمع نهایی  $S_{120}$  شامل پرداخت نهایی که در پایان دهمین سال انجام می‌شود نیز هست.

مثال A.4 استفاده از ضریب سپرده وجوه استهلاکی. شخصی به بانک متعهد شده که در پایان دو سال ۱۰۰۰۰ دلار بپردازد. اگر نرخ سود سالانه ۱۲٪ باشد که ماهانه مرکب می‌شود، بانک هر ماه چقدر می‌تواند وام دهد؟

حل. چون نرخ سود سالانه ۱۲ درصد است، نرخ برگشت هر دلار در هر بازه زمانی برای این مسأله عبارت است از  $i = 0.12/12 = 0.01$ . با استفاده از ضریب سپرده وجوه استهلاکی معادله (A.4)، مبلغی که در پایان هر ماه دریافت می‌شود عبارت است از  $R = [sfdf(0.01, 24)](10\,000)$

$$\begin{aligned} R &= \frac{0.01}{[(1 + 0.01)^{24} - 1]}(10\,000) \\ &= (0.037073)(10\,000) = \$370.73 \end{aligned}$$

دقت کنید که پرداخت نهایی بانک در پایان دو سال انجام می‌شود و در آن زمان پرداخت ۱۰۰۰۰ دلار باید به بانک انجام شود.

// قسط  $R$  که در پایان هر بازه زمانی پرداخت می‌شود می‌تواند معادل با ارزش فعلی  $P$  باشد. از ترکیب معادلهای (A.2) و (A.3) داریم

$$P = \frac{1}{i} [1 - (1 + i)^{-n}]R = [uspwf(i, n)]R \quad (\text{A.5})$$

در حالی که  $(i, n)$  ضریب ارزش فعلی سری یکنواخت<sup>۱</sup> نامیده می‌شود.  
بالاخره، مبلغ فعلی  $P$  معادل است با "قسط یکنواخت که در پایان هر بازه زمانی پرداخت می‌شود، (از معادله A.5) داریم:

$$R = \frac{iP}{[1 - (1+i)^{-n}]} = [\text{crf}(i, n)]P \quad (\text{A.6})$$

که در آن  $(i, n)$  ضریب برگشت سرمایه نامیده می‌شود. جدول A.1 همه ضرایب را خلاصه کرده است.

**مثال A.5** استفاده از ضریب ارزش فعلی پرداختهای سری یکنواخت. شخصی متعهد شده ماهی ۱۰۰ دلار و تا دو سال به بانک پردازد. اگر نرخ سود سالانه ۱۵٪ باشد که ماهانه مرکب می‌شود، در حال حاضر بانک چقدر می‌تواند وام بدهد؟  
حل. چون سود ماهانه مرکب می‌شود مقدار برای این مثال عبارت است از  $0.15/12 = 0.0125$ . با استفاده از ضریب ارزش فعلی سری یکنواخت معادله (A.5)، ارزش فعلی \$100 که در پایان هر ماه پرداخت شود و ۲۴ بار باشد عبارت است از

$$P = [\text{uspwf}(0.0125, 24)](100)$$

جدول A.1 روابط بهره

		ضرب کنید در	با داشتن برای یافتن
$S_n$	$P$	$(1+i)^n$	ضریب پرداخت یکجای مرابحه مرکب <sup>۲</sup> (speaf)
$P$	$S_n$	$(1+i)^{-n}$	ضریب ارزش فعلی پرداخت بکجا
$S_n$	$R$	$\frac{1}{i}[(1+i)^n - 1]$	ضریب مرابحه مرکب سری یکنواخت
$R$	$S_n$	$\frac{i}{[(1+i)^n - 1]}$	ضریب سپرده وجوده استهلاکی
$P$	$R$	$\frac{1}{i}[1 - (1+i)^{-n}]$	ضریب ارزش فعلی سری یکنواخت
$R$	$P$	$\frac{i}{[1 - (1+i)^{-n}]}$	ضریب برگشت سرمایه

<sup>۱</sup> که عبارت است از  $S_n = [\text{speaf}(i, n)]P = (1+i)^n P - 1$

$$P = [1 - (1 + 0.0125)^{-24}](100) / 0.0125 \\ = (20.6242)(100) = \$2062.42$$

**مثال A.6** استفاده از ضریب برگشت سرمایه. شخصی ۱۰۰۰۰ دلار در بانک می‌گذارد و می‌خواهد در پایان هر ماه و در عرض ۲ سال مقداری ثابت برداشت کند تا پولش تمام شود. با نرخ سود سالانه ۹٪ که ماهانه مرکب می‌شود، در هر ماه چقدر می‌تواند برداشت کند؟

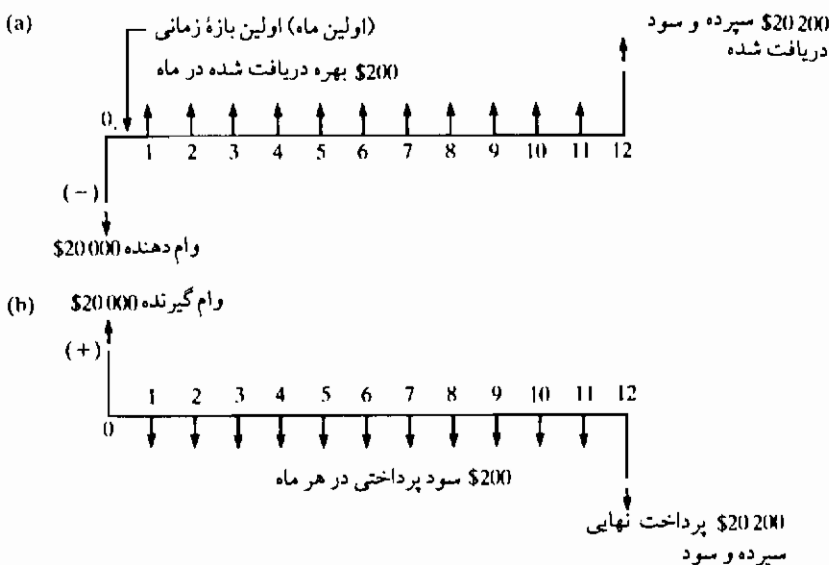
حل. چون سود ماهانه محاسبه می‌شود،  $i = 0.09/12 = 0.0075$ . با استفاده از ضریب برگشت سرمایه معادله (A.6)، می‌توانیم مبلغی را که هر ماه می‌تواند برداشت کند برای دو سال آینده به دست آوریم. داریم  $R = |crf(0.0075, 24)| (10\,000)$  :

$$R = \frac{0.0075(10\,000)}{[1 - (1 + 0.0075)^{-24}]} \\ = (0.045\,685)(10\,000) = \$456.85$$

## A.2 نمودار جریان نقدينگی

نمودار جریان نقدينگی نمایشی تصویری از دریافت و پرداخت است. این نمودار برای حل مسائل تحلیل اقتصادی می‌تواند مفید باشد. اگر نمودار جریان نقدي را به طور صحیح بکشیم، موضوع استفاده از رابطه مناسب بهره برای انجام محاسبات کاری ساده است. در این بخش، ما نظریه نمودار جریان نقدي را بیان می‌کنیم.

**شکل A.1** یک نمودار جریان نقدينگی را از دو دیدگاه نشان می‌دهد. وام دهنده و وام گیرنده. در نمودار، شخص مبلغ ۲۰،۰۰۰ دلار وام گرفته و متوجه می‌شود که آن را در طول یک سال با سودی که ماهانه پرداخت می‌کند برگرداند. نرخ سود سالانه ۱۲٪ است. بنابراین، هر ماه ۲۰۰ دلار بابت سود می‌پردازد و در پایان دوازدهمین ماه مبلغ ۲۰،۰۰۰ دلار را می‌پردازد. دقت کنید که خطوط عمودی با فلشها روبرو باشند و با فلشها رو به بالا نشانگر دریافت است. همچنین پرداختها زیر خط افقی (به عنوان منفی) و دریافتها (به عنوان مثبت) بالای خط افقی نشان داده شده‌اند.



شکل A.1 خودار جریان - نقدینگی. (a) جریان نقدینگی وام دهنده؛ (b) جریان نقدینگی وام گیرنده

### A.3 مبناهای اقتصادی برای مقایسه

روابطی که در جدول A.1 ارائه شده می‌توانند برای مقایسه گزینه‌ها مورد استفاده قرار گیرند. دو روش معمول مقایسه عبارتند از: روش هزینه سالانه ( $AC$ ) و روش ارزش فعلی ( $PW$ ). هر دو روش را شرح خواهیم داد. باید به این نکته مهم توجه کرد که برای مقایسه گزینه‌های متفاوت باید شرایط یکسانی به کار رود. در هر حال، روش سال مبنا به ما اجازه می‌دهد که به راحتی گزینه‌های را که بازه زمانی متفاوتی دارند با هم مقایسه کنیم. این مطلب با مثالی تشریح می‌شود. همچنین، هر دو روش به ترتیجه یکسانی ختم می‌شود و لذا هر کدام می‌تواند برای مقایسه گزینه‌ها استفاده شود.

نکته‌ای درباره قرارداد علامت استفاده شده در مقایسه گزینه‌ها باید یادآور شد. وقتی بیشتر عملیات شامل پرداختها و هزینه‌هاست، در محاسبه هزینه سالانه با ارزش فعلی برای پرداخت علامت مثبت و برای دریافت علامت منفی به کار می‌رود. در آن حالت، استهلاک به عنوان هزینه منفی و دیگر درآمدهای نیز با علامت منفی در نظر گرفته می‌شوند. با این قرارداد علامت، ارزش فعلی بزرگتر از صفر نشانگر هزینه فعلی بوده و بنابراین گزینه بالارزش فعلی

کوچکتر باید ترجیح داده شود. اگر ارزش فعلی علامت منفی داشت، آن گاه در واقع نشانگر درآمد است. همچنین، در این حالت، گزینه با کمترین ارزش فعلی با در نظر داشتن علامت جبری برتری دارد. یعنی، گزینه‌ای که ارزش فعلی آن از نظر عددی بزرگتر است. انتخاب نهایی یک گزینه به قرارداد علامت جبری که در محاسبات استفاده می‌شود بستگی ندارد؛ بنابراین هر کدام از قراردادها می‌تواند استفاده شود. ماقرارداد بالا را در تمامی محاسبات به کار خواهیم برد.

## A.3.1 مقایسه سال مبنایی

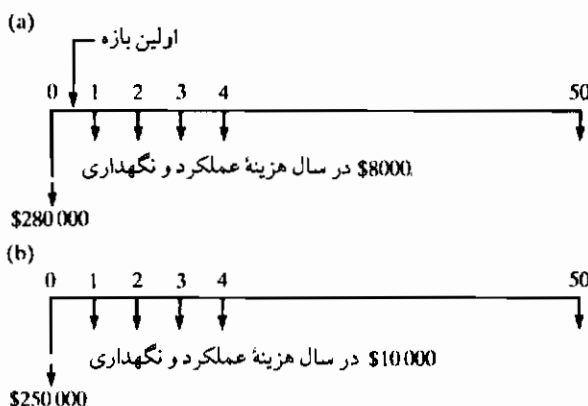
یک مقایسه سال مبنایی تمامی درآمدها و هزینه‌های بازه زمانی انتخاب شده را به یک مقدار معادل سالانه تبدیل می‌کند. یادآور می‌شود که علامت مشبт برای هزینه‌ها و علامت منفی برای درآمدها به کار می‌رود. بنابراین، گزینه‌با هزینه پایین تر باید ترجیح داده شود.

**مثال A.7** طرح‌های جایگزین یک پروژه طراحی دو انتخاب A و B دارد. انتخاب A، ۲۸۰,۰۰۰ دلار و انتخاب B، ۲۵۰,۰۰۰ دلار هزینه خواهد داشت. هزینه کارکرد و نگه داری که در پایان هر سال پرداخت می‌شود برای A، ۸۰۰ دلار و برای B، ۱۰,۰۰۰ دلار خواهد بود. با استفاده از روش مقایسه هزینه سالانه (AC) با نرخ سود ۱۲٪ اگر هر دو یک عمر ۵۰ ساله بدون استهلاک داشته باشد مشخص کنید کدام انتخاب ترجیح دارد.

حل. نمودار جریان نقدینگی برای هر دو انتخاب در شکل 2. A نشان داده شده است. هزینه سالانه انتخاب A مجموع هزینه نگه داری سالیانه و پرداخت یکنواخت معادل هزینه اولیه (۲۸۰,۰۰۰ دلار) است. هزینه اولیه می‌تواند با استفاده از ضریب برگشت سرمایه به پرداخت سالانه معادل تبدیل شود. پس هزینه سالانه ( $AC_A$ ) انتخاب A عبارت است از

$$AC_A = 280\,000 \text{ crf}(0.12, 50) + 8000 \\ = \$41\,716.67$$

زیرا  $\text{crf}(0.12, 50) = 0.120\,42$ . به طور مشابه، برای انتخاب B، هزینه سالانه عبارت است از



شکل 2. A. نمودار جریان نقدینگی برای طرحهای جایگزین مثال 7. A. (a) انتخاب A : (b) انتخاب B

$$\begin{aligned} AC_B &= 250\,000 \text{ crf}(0.12, 50) + 10\,000 \\ &= \$40\,104.17 \end{aligned}$$

براین اساس انتخاب B ارزانتر است.

**مثال A.8** نیروگاههای جایگزین. سه شرکت پیشنهاد مزایده خود را که در جدول زیر نشان داده شده، برای طراحی و عملکرد نیروگاه موقتی که برای چهار سال استفاده خواهد شد ارائه کرده‌اند. چه طرحی براساس مقایسه سال مبنا باید استفاده شود اگر ۱۵٪ برگشتی لازم باشد و تمام تجهیزات بتواند بعد از ۴ سال ۳۰٪ قیمت اوّلیه به فروش برسد؟

	A	B	C
هزینه اوّلیه (\$)	5000	6000	7500
هزینه سالانه (\$)	2500	2000	1800

حل. این مثال کمی با مثال 7. A. متفاوت است که در آن مقدار استهلاک نیز باید در محاسبات هزینه سالانه لحاظ شود. استهلاک عبارت است از درآمدی که در پایان پروژه دریافت می‌شود. این حاصل جمع آینده باید به یک درآمد سالانه معادل تبدیل و از هزینه‌ها کم شود. حاصل جمع آینده با استفاده از ضریب سپرده وجوده استهلاکی (d) (۱۳)

به مقدار سالانه معادل تبدیل می شود. بنابراین، هزینه سالانه مزایده A عبارت است از

$$\begin{aligned} AC_A &= 5000 \text{ crf}(0.15, 4) + 2500 - 0.3(5000) \text{ sfdf}(0.15, 4) \\ &= \$3950.93 \end{aligned}$$

زیرا،  $\text{sfdf}(0.15, 4) = 0.200$  و  $\text{crf}(0.15, 4) = 0.35027$ . به طور مشابه، هزینه های سالانه مزایده B و C عبارتند از

$$\begin{aligned} AC_B &= 6000 \text{ crf}(0.15, 4) + 2000 - 0.3(6000) \text{ sfdf}(0.15, 4) \\ &= \$3741.11 \end{aligned}$$

$$\begin{aligned} AC_C &= 7500 \text{ crf}(0.15, 4) + 1800 - 0.3(7500) \text{ sfdf}(0.15, 4) \\ &= \$3976.39 \end{aligned}$$

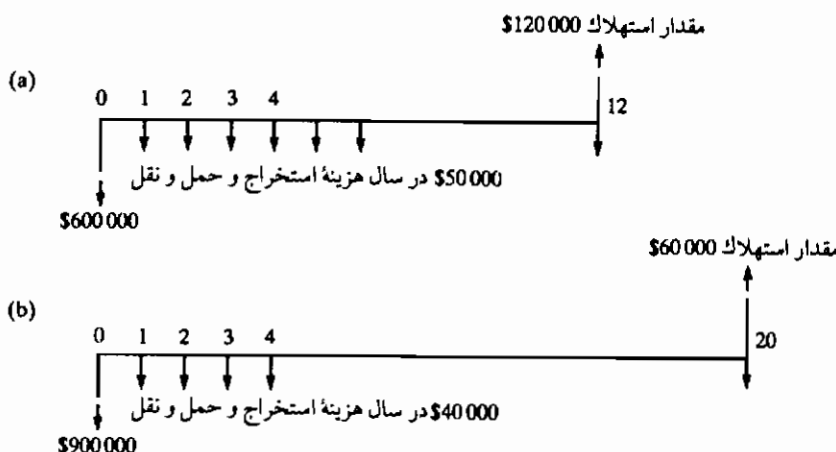
براساس این محاسبات، مزایده B ارزانترین گزینه است.

**مثال A.9** معادن سنگ جایگزین. یک شرکت می تواند یکی از دو معادن سنگ A یا B را بخرد. معادن سنگ A، ۶۰۰,۰۰۰ دلار ارزش دارد و تخمین زده می شود که تا دوازده سال دوام بیاورد و مقدار استهلاک زمین در پایان دوازده سال عبارت است از ۱۲۰,۰۰۰ دلار. عملیات استخراج و حمل و نقل در هر سال عبارت است از ۵۰,۰۰۰ دلار. معادن سنگ B، ۹۰۰,۰۰۰ دلار ارزش دارد که تخمین زده می شود تا بیست سال دوام بیاورد و مقدار استهلاک ۶۰,۰۰۰ دلار داشته باشد. هزینه استخراج و حمل و نقل سالانه ۴۰,۰۰۰ دلار است. کدام معادن سنگ باید خریداری شود؟ از روش سال مبنایی با نرخ سود ۱۵٪ استفاده کنید. فرض کنید که معادن مشابهی در آینده در دسترس خواهند بود.

حل. دقّت کنید که عمر معادن سنگهای A و B متفاوت است. این تفاوت وقتی از روش سال مبنایی استفاده شود مسأله ای ایجاد نمی کند. اما با روش ارزش فعلی بخش بعدی، ما باید دو گزینه با عمر یکسان را باهم مقایسه کنیم.

نمودار جریان نقدي‌نگی برای معادن در شکل 3.A نشان داده شده است.

برای محاسبه هزینه سالانه معادن سنگ A، نیاز به یافتن هزینه سالانه سرمایه گذاری ۶۰۰,۰۰۰ دلاری که آن را با استفاده از ضریب برگشت سرمایه (crf) به دست می آوریم، و درآمد سالانه معادل به خاطر استهلاک ۱۲۰,۰۰۰ دلار بعداز دوازده سال، داریم. برای این درآمد، ضریب سپرده وجوده استهلاکی (sfdf) استفاده



شکل 3.3. نمودار جریان تقدیمگی برای معدن سنگ مثال 9. (a) معدن سنگ A . (b) معدن سنگ B

خواهد شد. بنابراین،

$$\begin{aligned} AC_A &= 600,000 \operatorname{crf}(0.15, 12) + 50,000 - 120,000 \operatorname{sfd}(0.15, 12) \\ &= \$156,550.77 \end{aligned}$$

زیرا،  $\operatorname{crf}(0.15, 12) = 0.03448$  و  $\operatorname{sfd}(0.15, 12) = 0.18448$  . به طریق مشابه،

$$\begin{aligned} AC_B &= 900,000 \operatorname{crf}(0.15, 20) + 40,000 - 60,000 \operatorname{sfd}(0.15, 20) \\ &= \$183,199.64 \end{aligned}$$

زیرا،  $\operatorname{crf}(0.15, 20) = 0.009761$  و  $\operatorname{sfd}(0.15, 20) = 0.15976$  . براساس این محاسبات، معدن سنگ A یک سرمایه‌گذاری بهتر است.

### A.3.2 مقایسه ارزش فعلی

در مقایسه ارزش فعلی ( $PW$ ) ، تمامی پیش‌بینیهای درآمدها و هزینه‌ها با ارزش فعلی معادلشان بیان می‌شوند. برای یک مقایسه قابل قبول بازه عمر یکسانی برای گزینه‌ها باید استفاده شود. علامت قراردادی مشابه گذشته استفاده خواهد شد، یعنی علامت برابر برای هزینه‌ها و علامت منفی برای دریافت‌ها. همچنین دقت کنید که در بیشتر مسائل، ارزش فعلی یک پروژه در واقع ارزش فعلی کلی آن نیز هست. بنابراین، گزینه بالارժش فعلی پایین تر باید ترجیح داده

شود. ما مثالهای زیربخش گذشته را دوباره با استفاده از روش ارزش فعلی حل خواهیم کرد.

**مثال A.10 طرحهای جایگزین** مسأله در مثال 7 A بیان شده است. نمودار جریان نقدینگی مسأله در شکل 2 A نشان داده شده است. ما ارزش فعلی دو طرح را محاسبه کرده و آنها را مقایسه می‌کنیم. برای محاسبه ارزش فعلی طرح A، نیاز داریم هزینه نگه داری سالانه ۸۰۰۰ دلار را به ارزش فعلی تبدیل کنیم. برای این کار از ضریب ارزش فعلی سری یکنواخت (uspwf) استفاده می‌کنیم. بنابراین، ارزش فعلی طرح (PW<sub>A</sub>) A به روش زیر محاسبه می‌گردد

$$\begin{aligned} PW_A &= 280\,000 + 8000 \text{ uspwf}(0.12, 50) \\ &= \$346\,435.99 \end{aligned}$$

زیرا،  $\text{uspwf}(0.12, 50) = 8.3045$ . به طریق مشابه،

$$\begin{aligned} PW_B &= 250\,000 + 10\,000 \text{ uspwf}(0.12, 50) \\ &= \$333\,044.99 \end{aligned}$$

براساس این محاسبات، طرح B گزینه ارزانتری است. این نتیجه با نتیجه‌ای که در مثال 7 A گرفتیم مطابقت دارد.

**مثال A.11 نیروگاههای جایگزین** مسأله در مثال 8 A بیان شده است. برای مقایسه دو طرح با روش ارزش فعلی، نیاز به محاسبه ارزش فعلی هزینه سالانه و مقدار استهلاک داریم. برای تبدیل هزینه سالانه به ارزش فعلی آن از ضریب ارزش فعلی سری یکنواخت (sppwf) استفاده می‌کنیم. برای تبدیل مقدار استهلاک به ارزش فعلی، ضریب ارزش فعلی پرداخت یکجا (sppwf) استفاده می‌شود. بنابراین،

$$\begin{aligned} PW_A &= 5000 + 2500 \text{ uspwf}(0.15, 4) - 0.3(5000) \text{ sppwf}(0.15, 4) \\ &= \$11\,279.82 \end{aligned}$$

زیرا،  $\text{sppwf}(0.15, 4) = 0.57175$  و  $\text{uspwf}(0.15, 4) = 2.855$ . به طریق مشابه،

$$\begin{aligned} PW_B &= 6000 + 2000 \text{ uspwf}(0.15, 4) - 0.3(6000) \text{ sppwf}(0.15, 4) \\ &= \$10\,680.80 \end{aligned}$$

$$\begin{aligned} PW_C &= 7500 + 1800 \text{ uspwf}(0.15, 4) - 0.3(7500) \text{ sppwf}(0.15, 4) \\ &= \$11\,352.52 \end{aligned}$$

بنابراین، مزایده B براساس این محاسبات ارزانترین گزینه است. این نتیجه مشابه نتیجه

مثال 8. A است.

**مثال A.12** معدنهای سنگ جایگزین مساله در مثال 9. A بیان شده است. نمودار جریان نقدینگی برای دو معدن سنگ در شکل 3. A نشان داده شده است. بازه عمر دو گزینه متفاوت است. ما باید برای مقایسه گزینه ها به شکلی ارزش فعلی معادل را استفاده کنیم. روش های مختلفی می تواند به کار رود. در روش را در اینجا توضیح خواهیم داد.

روش 1 . پنداره اصلی در اینجا محاسبه ارزش فعلی معدن سنگ B با استفاده از بازه عمر دوازده ساله است که عمر مربوط به معدن سنگ A است. این را ابتدا با محاسبه هزینه سالانه معدن سنگ B با استفاده از عمر بیست ساله انجام می دهیم. آن گاه ارزش فعلی هزینه سالانه را برای فقط دوازده سال محاسبه کرده و با ارزش فعلی معدن سنگ A مقایسه می کنیم :

$$PW_A = 600\,000 + 50\,000 \text{ uspwf}(0.15, 12) - 120\,000 \text{ sppwf}(0.15, 12)$$

$$= \$848\,602.09$$

زیرا،  $sppwf(0.15, 12) = 0.186\,91$  و  $uspwf(0.15, 12) = 5.420\,62$  برای محاسبه هزینه سالانه B داریم

$$AC_B = 900\,000 \text{ crf}(0.15, 20) + 40\,000 - 60\,000 \text{ sfd}(0.15, 20)$$

$$= \$183\,199.64$$

زیرا،  $sfd(0.15, 20) = 0.009\,761$  و  $crf(0.15, 20) = 0.159\,76$ . حال، ما می توانیم ارزش فعلی B را برای عمر ۱۲ مال محاسبه کنیم

$$PW_B = 183\,199.64 \text{ uspwf}(0.15, 12)$$

$$= \$993\,055.42$$

بنابراین، معدن سنگ A ارزانتر خواهد بود.

روش 2 . چون معدنهای سنگ مشابهی در آینده در دسترس خواهند بود، می توانیم معدنهایی به شکل 5 و 3 B استفاده کنیم که برای هر دو معدن عمر ۶۰ ساله به دست می آید. تمامی سرمایه گذاریهای آینده، مخارج و زیانها باید به ارزش فعلی شان تبدیل شوند. با استفاده از این روش، ارزش فعلی معادن سنگ A و B به شکل زیر محاسبه می گردد

$$\begin{aligned}
 PW_A &= 600\,000 + 50\,000 \text{ uspwf}(0.15, 60) - 120\,000 \text{ sppwf}(0.15, 12) \\
 &\quad + 600\,000 \text{ sppwf}(0.15, 12) - 120\,000 \text{ sppwf}(0.15, 24) \\
 &\quad + 600\,000 \text{ sppwf}(0.15, 24) - 120\,000 \text{ sppwf}(0.15, 36) \\
 &\quad + 600\,000 \text{ sppwf}(0.15, 36) - 120\,000 \text{ sppwf}(0.15, 48) \\
 &\quad + 600\,000 \text{ sppwf}(0.15, 48) - 120\,000 \text{ sppwf}(0.15, 60) \\
 &= 600\,000 + 333\,257.30 + 89\,715.43 + 16\,768.46 + 3134.14 \\
 &\quad + 585.79 - 27.37 \\
 &= \$1\,043\,433.7
 \end{aligned}$$

$$\begin{aligned}
 PW_B &= 900\,000 + 40\,000 \text{ uspwf}(0.15, 60) - 60\,000 \text{ sppwf}(0.15, 20) \\
 &\quad + 900\,000 \text{ sppwf}(0.15, 20) - 60\,000 \text{ sppwf}(0.15, 40) \\
 &\quad + 900\,000 \text{ sppwf}(0.15, 40) - 60\,000 \text{ sppwf}(0.15, 60) \\
 &= 900\,000 + 266\,605.84 + 51\,324.23 + 3135.93 - 13.69 \\
 &= \$1\,221\,052.30
 \end{aligned}$$

بنابراین، با این روش نیز، معدن سنگ A گزینه‌ای ارزانتر است.

استفاده از مقایسه ارزش فعلی یا سال مبنای به مسأله و اطلاعات در دسترس بستگی دارد. برای بعضی از مسائل، مقایسه سال مبنای مناسب‌تر است، در حالی که برای بعضی دیگر روش ارزش فعلی بهتر است. برای هر مسأله یک روش مناسب باید انتخاب شود. عوامل بسیار دیگری وجود دارند که در انتخاب مقایسه‌ها باید مورد توجه قرار گیرد. برای مثال، نرخ تورم، اثر پرداخت غیربکنواخت، و تغییرات نرخ سود باید در گزینش روش‌های مقایسه مورد توجه قرار گیرند. در بیشتر مسائل روزمره به آن عوامل باید توجه کرد. بررسی این عوامل فراتر از اهداف این کتاب است. برای مطالعه جامع تر این عوامل کتاب آقایان بلنک و تارکوین<sup>۱</sup> [۱۹۸۳] و کتابهای اقتصاد مهندسی ممکن است مورد مراجعه قرار گیرند.

### تمرینهای پیوست A

- A.1 شخصی تصمیم می‌گیرد ماهانه و برای هجده سال آینده ۵۰ دلار با نرخ سود ۸٪ که ماهانه مرکب می‌شود سپرده‌گذاری کند. در پایان هجده سال چقدر پول جمع می‌شود؟ بعد از هجدهمین سال و برای چهار سال بعد ماهانه چقدر می‌تواند برداشت کند؟

- A. 2 شخصی برای خرید ماشین ۴۰۰۰ دلار با نرخ سود ۱۳٪ که ماهانه مرکب می‌شود و ام می‌گیرد و معهد می‌شود که آن را به طور قسطی تا ۳۰ ماه پرداخت کند. قسطهای ماهانه چقدر خواهد بود؟ برای پرداخت وام بعد از چهاردهمین قسط چقدر باید پردازد؟
- A. 3 شخصی می‌خواهد خانه‌ای بخرد که ۹۰,۰۰۰ دلار قیمت دارد. نرخ سود متداول ۱۳٪ است که ماهانه مرکب می‌شود. پول نقد او لیه باید ۲۰٪ قیمت خرید باشد (یعنی فقط ۸۰٪ قیمت خرید می‌تواند به صورت وام باشد). اگر وام ۲۰ ساله باشد اقساط ماهانه چقدر است؟ اگر بخواهد بعد از پنجمین سال (یعنی در زمان قسط ۶۰ ام) وام تسویه شود چقدر پول نیاز خواهد داشت؟
- A. 4 شخصی ۲۰۰۰ دلار با نرخ سود سالانه ۹٪ که ماهانه مرکب می‌شود سپرده‌گذاری کرده است. بعد از ۲ سال چقدر پول دریافت خواهد کرد؟ اگر سود روزانه مرکب شود چقدر پول دریافت خواهد شد؟
- A. 5 شخصی ۱۰,۰۰۰ دلار وام گرفته و معهد می‌شود که ماهانه ۹۵۰ دلار و تا ۱۲ ماه آن را بازپرداخت نماید. اگر سود ماهانه مرکب شود، نرخ سود سالیانه چقدر است؟
- A. 6 از روزی که فرزند متولد شد والدین تصمیم گرفتند سالانه مقدار معینی برای تحصیلات او پس انداز کنند. آنها تصمیم گرفتند که در هر سالگرد تولد و تا هجدهمین سال که از اولین سالگرد شروع خواهد شد پس انداز را انجام دهند به طوری که فرزند بتواند در هجدهمین، نوزدهمین، بیستمین و بیست و یکمین سال هر دفعه ۱۰,۰۰۰ دلار بردشت کند. اگر نرخ بازپرداخت سالانه مورد انتظار ۹٪ باشد، هر سال چقدر باید پس انداز شود؟
- A. 7 شرکتی برای ساختن پلی دو طرح مختلف دارد. هزینه اولیه گزینه A، ۵۰۰,۰۰۰ دلار هزینه نگه داری سالانه ۱۰,۰۰۰ دلار و برای گزینه B، هزینه اولیه ۴۰۰,۰۰۰ دلار و هزینه نگه داری سالانه ۱۲,۰۰۰ دلار است. هر دو گزینه استهلاکی به میزان ۵٪ در پایان ۵۰ سال عمر دارند. شرکت باید کدام طرح را گزینش کند؛ نرخ بازپرداخت را ۱۰٪ در سال فرض کنید. هر دو روش مقایسه ارزش فعلی و هزینه سالانه را به کار ببرید.
- A. 8 یک شهر در منطقه‌ای کوهستانی نیاز به ۱۰۰ مگاوات برق اضافی برای اوج بار دارد. برای رفع این نیاز، برای یک دوره ۲۰ ساله گزینه‌های زیر را مورد بررسی قرار می‌دهد تا این که یک رآکتور قوی راه اندازی شود و مشکل برای همبشه برطرف گردد:

۱. ساختن یک نیروگاه جدید به قیمت ۱۰ میلیون دلار و هزینه کارکرد سالانه ۱ میلیون دلار. مقدار استهلاک در پایان ۲۰ سال، ۲ میلیون دلار است.

۲. ساختن یک ایستگاه پمپ/ژنراتور که آب را هنگام کم بار بودن شبکه به دریاچه ای در ارتفاع پمپ کند و هنگام پمپ بار آب را برای تولید برق استفاده کند. هزینه اولیه ۵ میلیون دلار و هزینه عملکرد در سال ۱/۵ میلیون دلار است. استهلاکی در پایان ۲۰ سال وجود ندارد.

کدام یک از دو گزینه براساس ارزش فعلی ترجیح دارد؟ نرخ سود در حال حاضر رابطه زیر را دارد:

$$\begin{array}{ll} S_{20} = 2P, & P = 0.5S_{20} \\ S_{20} = 30R, & R = \frac{1}{30}S_{20} \end{array}$$

در حالی که  $S_{20}$  = ارزش در ۲۰ سال،  $P$  = ارزش فعلی و  $R$  = معامله در سال است.

A. ۹ یک شبکه لوله گذاری در عمق ۸۰ سانتی می‌تواند با ۱۵۰,۰۰۰ دلار ساخته شود. هزینه عملکرد و نگه داری سالانه ۳۰,۰۰۰ دلار تخمین زده می‌شود. یک شبکه در عمق ۵۰ سانتی جایگزین می‌تواند با ۱۲۰,۰۰۰ دلار ساخته شود. هزینه عملکرد و نگه داری سالانه آن ۳۵,۰۰۰ دلار تخمین زده می‌شود. انتظار می‌رود که هر شبکه ۲۵ سال کار کند و برای جایگزینی آن ۱۰٪ استهلاک خواهد بود. دو شبکه را براساس هزینه سالانه و ارزش فعلی مقایسه کنید. فرض کنید نرخ برگشتی ۱۵٪ است.

A. 10 یک شرکت دومزایده برای طراحی و نگه داری پروژه ای دریافت کرده است. دو طرح را براساس تحلیل ارزش فعلی مقایسه کنید. از داده های زیر استفاده کرده و نرخ سود را ۱۰٪ فرض کنید. هر دو طرح عمر ۴۰ ساله دارند و استهلاکی نخواهند داشت.

	A	B
هزینه اولیه (\$)	40 000	50 000
نگهداری سالانه (\$)	1500	500

A. 11 شخصی می‌خواهد خانه ای به ارزش ۱۰۰,۰۰۰ دلار بخرد. بانک A می‌تواند وامی با ۱۲٪ سود که ماهانه مرکب می‌شود بدهد. بانک نیاز به پرداخت اولیه ۲۰٪ قیمت

## پوست A- تحلیل اقتصادی

خرید دارد و ۲٪ وام را برای کارمزد در نظر می‌گیرد. بانک B نیز نیاز به ۲۰٪ پرداخت اوکیه دارد، کارمزدی ندارد ولی نرخ سود ۱۲٪ دارد که ماهانه مرکب می‌شود. هر دو بانک باز پرداخت ماهانه وام را طلب می‌کنند و می‌توانند وام ۲۰ ساله بدهند. کدام بانک پیشنهاد ارزانتری برای خرید خانه می‌دهد؟ از دو روش مقایسه ارزش فعلی و سال مبنا استفاده کنید.

A.12 دو مترال اجاره‌ای در معرض فروش گذاشته شده است:

	خانه I	خانه II
قیمت فروش (\$)	600 000	400 000
درآمد خالص سالانه (\$)	80 000	56 000
هزینه مدیریت سالانه (\$)	4000	3000
نگهداری سالانه (\$)	10 000	6000
مالیات مستقلات (\$)	12 000	8000

هر خانه به پرداخت اوکیه ۱۰٪ نیاز دارد. نرخ سود سالیانه ۱۰٪ پیش‌بینی می‌شود و وام ۲۰ ساله می‌توان گرفت. به دلیل تقاضای زیاد پیش‌بینی می‌شود که مقدار اجاره در ۲۰ سال دو برابر شود. شخصی ۱۰۰,۰۰۰ دلار دارد که می‌تواند با سود ۶٪ به بانک بدهد و یا با خرید خانه سرمایه گذاری کند.

۱. گزینه‌های زیر را با استفاده از روش مقایسه سود سالیانه و ارزش فعلی و با فرض عمر ۲۰ ساله پروژه ارزیابی کنید:

گزینه A : خرید خانه I (۱۰۰,۰۰۰ دلار پیش‌پرداخت)

گزینه B : خرید خانه II (۱۰۰,۰۰۰ دلار پیش‌پرداخت)

گزینه C : خرید هر دو خانه (کل پیش‌پرداختی ۱۰۰,۰۰۰ دلار)

۲. اگر خانه‌ها پس از ۵ سال به قیمت ۱۱۰٪ قیمت اوکیه به فروش برسند، از هر گزینه A، B و C چه مقدار پول به دست می‌آید.

A.13 شرکتی برای انجام کاری دو گزینه دارد. هزینه‌های آنها عبارتند از:

	هزینه اوکیه	نگهداری سالانه	هزینه
گزینه A (\$)	80 000	4000	
گزینه B (\$)	110 000	2000	

با فرض عمر ۴۰ ساله و بدون استهلاک برای هر گزینه، با استفاده از مقایسه ارزش فعلی با نرخ ۱۵٪ گزینه بهتر را انتخاب کنید.

A.14 شرکتی برای حمل کالاهایش دو گزینه دارد: استفاده از مسیری طولانی تر و عبور از پل موجود، یا ساختن یک پل که راه را کوتاهتر کرده و تعداد رفت و آمدها را افزایش می‌دهد (که مطلوب است) و با هزینه یکسان. ساخت پل جدید هزینه‌ای برابر با ۱۰۰,۰۰۰ دلار دارد و مبلغ ۱۰۰ دلار در روز و برای ۴۰ روز کاری در سال صرفه جویی می‌شود. عمر اقتصادی پل ۴۰ سال و هزینه نگه داری سازه ۱۰۰۰ دلار در سال پیش‌بینی می‌شود. با در نظر گرفتن نرخ سالانه برگشت ۲۰٪ دو گزینه را براساس مقایسه هزینه سالانه و ارزش فعلی مقایسه کنید.

A.15 دانشگاهی قصد دارد که آزمایشگاهی برای دانشجویان بسازد. پیشنهادی با هزینه ۵۰۰,۰۰۰ دلار رسیده که نیاز ۱۲ سال آینده را برآورده می‌کند. هزینه تأمین سالانه ۴۰,۰۰۰ دلار پیش‌بینی می‌شود. بعد از ۱۲ سال به توسعه‌ای در ساختمان آزمایشگاه نیاز خواهد بود به ارزش ۶۰۰,۰۰۰ دلار و با هزینه تأمین سالانه ۳۰,۰۰۰ دلار.

گزینه دیگر این است که یک آزمایشگاه بزرگ هم اکنون ساخته شود به قیمت ۶۵۰,۰۰۰ دلار. هزینه تأمین سالانه در ۱۲ سال اول ۴۲,۰۰۰ دلار است. در پایان ۱۲ سال، آزمایشگاه تعمیراتی به هزینه ۱۰۰,۰۰۰ دلار نیاز دارد و انتظار می‌رود که هزینه تأمین سالانه به ۶۰,۰۰۰ دلار افزایش یابد. دو طرح را با استفاده از سال مبنای یاروش ارزش فعلی مقایسه کنید در صورتی که نرخ سود سالانه ۱۰٪ باشد.

A.16 شرکت سه گزینه برای حل مسأله‌ای در پیش رو دارد. هزینه گزینه‌ها عبارتند از (A) ۷۰,۰۰۰ دلار (B) ۱۰۰,۰۰۰ دلار و (C) ۵۰,۰۰۰ دلار. انتظار می‌رود که تمامی گزینه‌ها ۶۰ سال بدون هیچ استهلاکی در خدمت باشند. گزینه A در سال ۱۰۰۰ دلار هزینه دارد و گزینه C یک سرمایه گذاری اضافی به میزان ۸۰,۰۰۰ دلار در پایان ۲۰ سال نیاز دارد که بعد از ۶۰ سال استهلاکی معادل ۱۵۰۰۰ دلار خواهد داشت. کدام یک از گزینه‌ها باید انتخاب شود، در صورتی که نرخ سود ۱۵٪ باشد؟

A.17 شرکت شما تصمیم گرفته است که برای شرکت خودرو نوی بخرد. شما برای ارزیابی سه خودرو زیر مشخص شده‌اید تا توصیه جهت انتخاب را انجام دهید. برای تمامی خودروها فرضیات زیر را در نظر بگیرید:

۱. هر خودرو سالانه ۲۰۰۰۰ مایل راه خواهد رفت و انتظار عمری ۵ ساله برای آن می‌رود. ۹۰٪ از این مسافت در شاهراهها و اتوبانهاست و ۱۰٪ بقیه در شهر.
۲. قیمت بتزین در حال حاضر گالنی ۱/۲۵ دلار است که تا ۵ سال آینده هر سال ۱۰٪ به آن اضافه خواهد شد. هزینه بتزین در پایان هر ماه و براساس متوسط ماهانه پرداخت می‌شود.
۳. در پایان ۵ سال، شرکت خودرو را با ۱۵٪ قیمت استهلاک خواهد فروخت.
۴. هزینه بیمه در هر سال ۵٪ قیمت اوّلیه خودرو خواهد بود.
۵. نرخ بازده سالانه ۸٪ است.

سه نوع خودرو عبارتند از:

خودرو A: قیمت ۶۲۵۰ دلار

سایر هزینه‌ها: ۱۵۰ دلار در سال هزینه نگه داری دو سال اوّلیه  
۳۰۰ دلار در سال هزینه نگه داری سه سال بعد

تخمین مسافت: ۳۵ مایل در اتوبان به ازای هر گالن بتزین  
۲۵ مایل در شهر به ازای هر گالن بتزین

نحوه پرداخت: ۱۰۰۰ دلار نقدي و بقیه در ۶۰ قسط ماهانه با نرخ سالانه ۱۱٪

خودرو B: قیمت ۶۹۰۰ دلار

سایر هزینه‌ها: ۱۲۵ دلار در سال هزینه نگه داری دو سال اوّلیه  
۲۵۰ دلار در سال هزینه نگه داری سه سال بعد

تخمین مسافت: ۳۵ مایل در اتوبان به ازای هر گالن بتزین  
۲۲ مایل در شهر به ازای هر گالن بتزین

نحوه پرداخت: ۱۵۰۰ دلار نقدي و بقیه در ۶۰ قسط ماهانه با نرخ سالانه ۱۲٪

خودرو C: قیمت ۷۲۰۰ دلار

سایر هزینه‌ها: ۱۰۰ دلار در سال هزینه نگه داری در سال اوّلیه  
۲۰۰ دلار در سال هزینه نگه داری در سه سال بعد

تخمین مسافت : ۳۸ مایل در اتوبان به ازای هر گالن  
۲۸ مایل در شهر به ازای هر گالن

نحوه پرداخت : ۱۱۰۰ دلار نقدی و بقیه در ۶۰ قسط ماهانه با نرخ سالانه ۱۰٪  
با استفاده از روش ارزش فعلی مقایسه را انجام دهید (طرح مسئله توسط  
جی- جکسون).



## B پیش‌نویس

### جبر برداری و ماتریسی

#### B.1 مقدمه

علامت بردار و ماتریس جمع و جور و کاربرد آن در تدوین و تشریح سیاری از روش‌های عددی مفید است. جبر برداری و ماتریسی یک ابزار اساسی مورد نیاز در تدوین روش‌های طراحی بهین سیستمهاست. حل مسائل بهینه سازی خطی (برنامه‌ریزی خطی) در گرو فهم فرآیند حل سیستم معادلات خطی است. بنابراین، درک عملیات جبر برداری و ماتریسی و کاربرد راحت علایم آنها از اهمیت زیادی برخوردار است. این موضوع اغلب به عنوان جبر خطی مطرح می‌شود و در طول سالهای متعددی به خوبی تدوین شده است. تقریباً در همه کاربردهای علمی و مهندسی جبر خطی یک وسیله استاندارد بوده است. در این پیوست، چند خاصیت اساسی بردارها و ماتریسها مرور می‌شوند. برای مطالعه بیشتر موضوع، کتابهای مرجع سیار خوبی در دسترس است که می‌توان به آنها مراجعه کرد [هاهن<sup>۱</sup>، ۱۹۶۴؛ فرانکلین<sup>۲</sup>، ۱۹۶۸؛ کوپر و اشتاینبرگ<sup>۳</sup>، ۱۹۷۰؛ استیوارت<sup>۴</sup>، ۱۹۷۳؛ بل<sup>۵</sup>، ۱۹۷۵؛ استرنج<sup>۶</sup>، ۱۹۷۶؛ جیننگر<sup>۷</sup>،

1. Hohn,

2. Franklin

3. Cooper and Steinberg

4. Stewart

5. Bell

6. Strang

7. Jennings

۱۹۷۷ دیف<sup>۱</sup>، ۱۹۸۲ گر و ویور<sup>۲</sup>، ۱۹۸۳]. به علاوه بیشتر کتابخانه نرم افزارها برنامه های فرعی عملیات جبر خطی را دارند که می تواند مستقیماً مورد استفاده قرار گیرد.

بعد از مرور علایم ماتریس و بردار، ماتریسهای خاص، دترمینان و مرتبه ماتریس، موضوع حل سیستم معادلات خطی همزمان مورد بحث قرار می گیرد. ابتدا یک سیستم  $n \times n$ ، سپس یک سیستم مربع مستطیل  $m \times n$  به بحث گذاشته می شود. یک بخش به بیان استقلال خطی بردارها اختصاص یافته است. بالاخره، مسئله مقدار ویژه که در بسیاری از زمینه های مهندسی کاربرد دارد بحث می شود. مسائل مقدار ویژه در مسائل برنامه ریزی محدب و شرایط کافی بهینه سازی نقش برجسته ای دارند.

## B.2 تعریف ماتریسها

یک ماتریس به عنوان یک آرایه مستطیلی از مقادیری که می تواند اعداد حقیقی، اعداد مختلط، یا تابعی از چند متغیر باشد، تعریف می شود. این مقادیر در آرایه مستطیلی عناصر یک ماتریس نیز نامیده می شوند. چون حل دستگاه معادلات خطی همزمان بیشترین کاربرد مشترک ماتریسهای است، از آن مفهوم برای تعریف علایم ماتریسها استفاده می کنیم.

سیستم دو معادله خطی همزمان زیر که سه مجھول دارد در نظر بگیرید:

$$\begin{aligned} x_1 + 2x_2 + 3x_3 &= 6 \\ -x_1 + 6x_2 - 2x_3 &= 3 \end{aligned} \quad (B.1)$$

متغیرهای  $x_1$  و  $x_2$  و  $x_3$  به منزله جوابهای سیستم معادلات هستند. دقت کنید که متغیرهای  $x_1$  و  $x_2$  می توانند با هر متغیری مثل  $w_1$ ،  $w_2$  و  $w_3$  جایگزین گردد بدون آن که در جواب تغییری به وجود آید. بنابراین آنها گاهی متغیرهای ساختگی نامیده می شوند و چون متغیرهای ساختگی هستند، می توان در نوشتن معادلات به شکل ماتریسی آنها را حذف کرد. به عنوان مثال، معادله های (B.1) می توانند در یک آرایه مستطیلی به شکل زیر نوشته شود

$$\left[ \begin{array}{ccc|c} 1 & 2 & 3 & 6 \\ -1 & 6 & -2 & 3 \end{array} \right]$$

اعداد طرف چپ خط عمودی ضرایب متغیرهای  $x_1$  و  $x_2$  و  $x_3$  و اعداد طرف راست، طرف راست

معادله‌ها هستند. عموماً آرایه را با کروشه، مطابق آنچه نشان داده شده، می‌بندند. پس، می‌بینیم که سیستم معادلات (B.1) می‌تواند با ماتریسی که دو سطر و چهار ستون دارد نمایش داده شود.

آرایه‌ای با  $m$  سطر و  $n$  ستون ماتریسی از مرتبه "در  $m \times n$ " نامیده می‌شود که به شکل  $(m, n)$  و یا  $(m \times n)$  نوشته می‌شود. برای فرق گذاشتن بین ماتریسها و اسکالرها، ما متغیرهایی را که نشان دهنده ماتریس هستند پررنگ‌تر می‌نویسیم. به علاوه، برای نمایش ماتریس حروف بزرگ به کار می‌رود. به عنوان مثال، ماتریس عمومی  $A$  از مرتبه  $m \times n$  می‌تواند به شکل زیر نمایش داده شود.

$$A = \begin{bmatrix} a_{11} & a_{12} & \dots & a_{1n} \\ a_{21} & a_{22} & \dots & a_{2n} \\ \vdots & \vdots & & \vdots \\ a_{m1} & a_{m2} & \dots & a_{mn} \end{bmatrix} \quad (B.2)$$

ضرایب  $a_{ij}$  عناصر ماتریس  $A$  نامیده می‌شوند. اندیسه‌ای  $i$  و  $j$  شماره سطر و ستون عنصر  $a_{ij}$  را مشخص می‌کنند (به عنوان مثال،  $a_{12}$  نشانگر عنصری در سطر سوم و ستون دوم است). اگرچه عناصر می‌توانند اعداد حقیقی، اعداد مختلط یا تابع باشند، در این کتاب ما ماتریس‌های مختلط را بحث نمی‌کنیم. ماتریس‌هایی که عناصرشان تابعی از چند متغیر هستند، مانند ماتریس هسیان یک تابع که در فصل (3) بحث شد، مورد مطالعه قرار خواهند گرفت.

به کارگیری علایم اختصاری برای ماتریسها بسیار مفید است. به عنوان مثال، ماتریس  $A$  از مرتبه  $m \times n$  با  $a_{ij}$  ها به عنوان عناصرش می‌تواند به شکل خلاصه زیر نوشته شود

$$A = [a_{ij}]_{(m \times n)} \quad (B.3)$$

اغلب، اندازه ماتریس نیز نشان داده نمی‌شود و  $A$  به شکل  $[a_{ij}]$  نوشته می‌شود.

اگر یک ماتریس تعداد سطرها و ستونهایش با هم مساوی باشند، آن‌گاه آن را یک ماتریس مربعی می‌نامند. در معادلات (B.2) یا (B.3)، اگر  $m = n$  باشد،  $A$  یک ماتریس مربعی است و ماتریسی از مرتبه  $n \times n$  نامیده می‌شود.

فهم علایم ماتریسی برای مجموعه‌ای از معادله‌های خطی از اهمیت زیادی برخوردار است، زیرا چنین معادلاتی را در این کتاب زیاد به کار می‌بریم. به عنوان مثال، معادله‌های

(B.1) را می‌توان به شکل زیر نوشت

$$\left[ \begin{array}{ccc|c} x_1 & x_2 & x_3 & b \\ 1 & 2 & 3 & 6 \\ -1 & 6 & -2 & 3 \end{array} \right]$$

آرایه فوق که همه ضرایب معادله و پارامترهای طرف راست را دارد ماتریس افزایش یافته نامیده می‌شود. دقت کنید هر ستون با یک متغیر مشخص شده، ستون اول مربوط به  $x_1$  است، زیرا ضرایب  $x_1$  را برای همه معادلات شامل می‌شود، دومین ستون مربوط به  $x_2$  و سومین مربوط به  $x_3$  و ستون آخر مربوط به بردار طرف راست که آن را  $b$  می‌نامیم. هنگامی که معادلات خطی همزمان (بعداً بحث می‌شود) یا مسائل برنامه‌ریزی خطی را (که در فصل ۴ بحث شد) حل می‌کنیم این تعبیر اهمیت ویژه‌ای پیدا می‌کنند.

### B.3.1      انواع ماتریسها و عملیات آنها

#### ماتریس صفر

ماتریسی که همه عناصرش صفرند ماتریس تهی (صفر) نامیده می‌شود و با حرف بزرگ O نشان داده می‌شود. اگر یک ماتریس صفر از مرتبه مناسب در ماتریسی (یا اسکالری) پیش ضرب یا پس ضرب شود، نتیجه آن ماتریس صفر خواهد بود.

#### بردار

ماتریسی از مرتبه  $1 \times n$  یک ماتریس سطری و یا بردار سطری نامیده می‌شود. به طور مشابه یک ماتریس از مرتبه  $n \times 1$  یک ماتریس ستونی و یا بردار ستونی نامیده می‌شود. یک بردار با عنصر یک بردار  $n \times 1$  مؤلفه‌ای یا یک بردار  $1 \times n$  نامیده می‌شود. در این کتاب، تمامی بردارها بردارهای ستونی و با حروف کوچک پررنگ نشان داده می‌شوند.

#### جمع ماتریسها

اگر A و B دو ماتریس از مرتبه  $m \times n$  باشند، آن‌گاه جمع آنها نیز یک ماتریس  $m \times n$  است که به صورت زیر تعریف می‌شود

$$\mathbf{C}_{(m \times n)} = \mathbf{A} + \mathbf{B}; \quad c_{ij} = a_{ij} + b_{ij} \quad \text{برای همه} i \text{ و} j \text{ ها} \quad (\text{B.4})$$

جمع ماتریسها خاصیت زیر را دارد

$$\mathbf{A} + \mathbf{B} = \mathbf{B} + \mathbf{A} \quad (\text{چایه جالی}) \quad (\text{B.5})$$

اگر  $\mathbf{A}$  ،  $\mathbf{B}$  و  $\mathbf{C}$  سه ماتریس از مرتبه مشابه باشند، آن‌گاه

$$\mathbf{A} + (\mathbf{B} + \mathbf{C}) = (\mathbf{A} + \mathbf{B}) + \mathbf{C} \quad (\text{شرکت پذیری}) \quad (\text{B.6})$$

اگر  $\mathbf{A}$  ،  $\mathbf{B}$  و  $\mathbf{C}$  از مرتبه مشابه باشند، آن‌گاه

$$\mathbf{A} + \mathbf{C} = \mathbf{B} + \mathbf{C} \quad \text{اپجات می‌کند} \quad \mathbf{A} = \mathbf{B} \quad (\text{B.7})$$

در حالی که  $\mathbf{A} = \mathbf{B}$  یعنی دو ماتریس مساوی هستند. دو ماتریس  $\mathbf{A}$  و  $\mathbf{B}$  از مرتبه  $m \times n$  مساوی‌اند اگر  $a_{ij} = b_{ij}$  برای  $i = 1$  تا  $m$  و  $j = 1$  تا  $n$ .

ضرب ماتریس  $\mathbf{A}$  از مرتبه  $m \times n$  در یک عدد اسکالار به صورت زیر تعریف می‌شود

$$k\mathbf{A} = [ka_{ij}]_{(m \times n)} \quad (\text{B.8})$$

ضرب  $\mathbf{AB}$  دو ماتریس  $\mathbf{A}$  و  $\mathbf{B}$  فقط در صورتی تعریف می‌شود که  $\mathbf{A}$  و  $\mathbf{B}$  از مرتبه مناسبی باشند. تعداد ستونهای  $\mathbf{A}$  باید مساوی سطرهای  $\mathbf{B}$  باشد تا ضرب  $\mathbf{AB}$  تعریف شود. در آن حالت گفته می‌شود که دو ماتریس برای ضرب سازگاری دارند. اگر  $\mathbf{A}$  ،  $\mathbf{B}$  و  $\mathbf{C}$  از مرتبه  $r \times p$  ،  $m \times n$  و  $n \times q$  باشند، آن‌گاه ضرب  $\mathbf{AB}$  فقط وقتی تعریف می‌شود که  $p = r$  و ضرب  $\mathbf{BA}$  فقط وقتی تعریف می‌شود که  $n = m$ . ضرب دو ماتریس از مرتبه مناسب ماتریس سومی را نتیجه می‌دهد. اگر  $\mathbf{A}$  و  $\mathbf{B}$  به ترتیب از مرتبه  $n \times p$  و  $m \times n$  باشند، آن‌گاه

$$\mathbf{AB} = \mathbf{C}$$

که  $\mathbf{C}$  ماتریسی از مرتبه  $m \times p$  است. عناصر ماتریس  $\mathbf{C}$  از ضرب عناصر سطر  $\mathbf{A}$  در ستون  $\mathbf{B}$  و جمع آنها به دست می‌آید. پس

$$\begin{aligned}
 & \begin{bmatrix} a_{11} & a_{12} & \dots & a_{1n} \\ a_{21} & a_{22} & \dots & a_{2n} \\ \vdots & \vdots & & \vdots \\ a_{m1} & a_{m2} & \dots & a_{mn} \end{bmatrix} \begin{bmatrix} b_{11} & b_{12} & \dots & b_{1p} \\ b_{21} & b_{22} & \dots & b_{2p} \\ \vdots & \vdots & & \vdots \\ b_{n1} & b_{n2} & \dots & b_{np} \end{bmatrix} \\
 &= \begin{bmatrix} c_{11} & c_{12} & \dots & c_{1p} \\ c_{21} & c_{22} & \dots & c_{2p} \\ \vdots & \vdots & & \vdots \\ c_{m1} & c_{m2} & \dots & c_{mp} \end{bmatrix} \tag{B.9}
 \end{aligned}$$

در صورتی که عناصر  $c_{ij}$  مانند زیر محاسبه می‌گردند

$$c_{ij} = a_{i1}b_{1j} + a_{i2}b_{2j} + \dots + a_{in}b_{nj} = \sum_{k=1}^n a_{ik}b_{kj} \tag{B.10}$$

دقت کنید که اگر  $B$  یک ماتریس  $1 \times n$  (یعنی یک بردار) باشد، آن‌گاه  $C$  یک ماتریس  $m \times 1$  خواهد بود. از این نوع ضرب ماتریسی در این کتاب زیاد استفاده خواهیم کرد. به عنوان مثال، یک سیستم معادلات خطی به شکل  $\mathbf{Ax} = \mathbf{b}$  نشان داده می‌شود، که  $\mathbf{x}$  ها متغیرهای جواب و  $\mathbf{b}$  پارامترهای طرف راست هستند. معادلات (A.1) می‌تواند به این شکل نوشته شود.

در ضرب  $AB$ ، می‌گوییم ماتریس  $A$  در  $B$  پس ضرب شده یا  $B$  در  $A$  پیش ضرب شده. در حالی که در جمع ماتریسها قانون جابه‌جایی پذیری صادق است، در ضرب ماتریسی در حالت کلی این قاعده صادق نیست، یعنی  $AB \neq BA$ . همچنین، حتی اگر  $AB$  تعریف شده باشد،  $BA$  ممکن است تعریف نشود.

### مثال B.1 ضرب ماتریسها

$$\mathbf{A} = \begin{bmatrix} 2 & 3 & 1 \\ 6 & 3 & 2 \\ 4 & 2 & 0 \\ 0 & 3 & 5 \end{bmatrix}_{(4 \times 3)} \quad \mathbf{B} = \begin{bmatrix} 2 & -1 \\ 1 & 0 \\ 3 & -2 \end{bmatrix}_{(3 \times 2)}$$

$$\mathbf{AB} = \begin{bmatrix} 2 & 3 & 1 \\ 6 & 3 & 2 \\ 4 & 2 & 0 \\ 0 & 3 & 5 \end{bmatrix} \begin{bmatrix} 2 & -1 \\ 1 & 0 \\ 3 & -2 \end{bmatrix}$$

$$\begin{aligned}
 &= \begin{bmatrix} (2 \times 2 + 3 \times 1 + 1 \times 3) & (-2 \times 1 + 3 \times 0 - 1 \times 2) \\ (6 \times 2 + 3 \times 1 + 2 \times 3) & (-6 \times 1 + 3 \times 0 - 2 \times 2) \\ (4 \times 2 + 2 \times 1 + 0 \times 3) & (-4 \times 1 + 2 \times 0 - 0 \times 2) \\ (0 \times 2 + 3 \times 1 + 5 \times 3) & (-0 \times 1 + 3 \times 0 - 5 \times 2) \end{bmatrix}
 \end{aligned}$$

$$= \begin{bmatrix} 10 & -4 \\ 21 & -10 \\ 10 & -4 \\ 18 & -10 \end{bmatrix}_{(4 \times 2)}$$

دقت کنید که ضرب  $BA$  تعریف نمی شود، زیرا تعداد ستونهای  $B$  برابر با تعداد

سطرهای  $A$  نیست.

**مثال ۲ ضرب ماتریسها**

$$\begin{aligned} A &= \begin{bmatrix} 4 & 1 \\ -2 & 0 \\ 8 & 3 \end{bmatrix} & B &= \begin{bmatrix} -3 & 8 & 6 \\ 8 & 3 & -1 \end{bmatrix} \\ AB &= \begin{bmatrix} 4 & 1 \\ -2 & 0 \\ 8 & 3 \end{bmatrix} \begin{bmatrix} -3 & 8 & 6 \\ 8 & 3 & -1 \end{bmatrix} = \begin{bmatrix} -4 & 35 & 23 \\ 6 & -16 & -12 \\ 0 & 73 & 45 \end{bmatrix} \\ BA &= \begin{bmatrix} -3 & 8 & 6 \\ 8 & 3 & -1 \end{bmatrix} \begin{bmatrix} 4 & 1 \\ -2 & 0 \\ 8 & 3 \end{bmatrix} = \begin{bmatrix} 20 & 15 \\ 18 & 5 \end{bmatrix} \end{aligned}$$

دقت کنید که برای هم مرتبه بودن  $AB$  و  $BA$  ،  $BA$  باید ماتریس‌های مربعی باشند.

توجه کنید که اگر ماتریس‌های  $A$  ،  $B$  و  $C$  طوری تعریف شده باشند که ،  $AB = AC$  باشد آن گاه این رابطه لزوماً ایجاب نمی کند که  $B = C$  باشد. همچنین اگر  $AB = 0$  باشد نمی توان گفت  $B = 0$  است یا  $B = A = 0$  . در عین حال ضرب ماتریسها دو قانون مهم را برآورده می کنند : قانون شرکت پذیری و قانون توزیع پذیری. فرض کنید ماتریس‌های  $A$  ،  $B$  ،  $C$  ،  $D$  ،  $E$  و  $F$  دارای ابعادی مناسب باشند؛ آن گاه

$$1. (AB)C = A(BC) \quad \text{قانون شرکت پذیری} \quad (\text{B. 11})$$

$$2a. B(C + D) = BC + BD$$

$$2b. (C + D)F = CF + DF$$

$$2c. (A + B)(C + D) = AC + AD + BC + BD$$

قوانين توزیع پذیری

(B. 12)

آوریم. چنین عملی ترانهاده کردن یک ماتریس نامیده می‌شود. اگر  $A = [a_{ij}]$  یک ماتریس  $n \times m$  باشد، آن گاه ترانهاده آن با  $A^T$  نشان داده می‌شود که یک ماتریس  $m \times n$  است و آن را با عوض کردن سطراها و ستونهای  $A$  به دست می‌آورند. اولین ستون  $A$  اوّلین سطر  $A^T$  است، دومین ستون  $A$ ، دومین سطر  $A^T$  است و به همین ترتیب. پس، اگر  $A = [a_{ij}]$ ، آن گاه  $A^T = [a_{ji}]$ . عمل ترانهاده یک ماتریس با یک ماتریس  $3 \times 2$  زیر تشریح می‌شود:

$$A = \begin{bmatrix} a_{11} & a_{12} & a_{13} \\ a_{21} & a_{22} & a_{23} \end{bmatrix}; \quad A^T = \begin{bmatrix} a_{11} & a_{21} \\ a_{12} & a_{22} \\ a_{13} & a_{23} \end{bmatrix}$$

بعضی از خواص ترانهاده عبارت است از

1.  $(A^T)^T = A$
2.  $(A + B)^T = A^T + B^T$
3.  $(\alpha A)^T = \alpha A^T$ ,  $\alpha$  اسکالار
4.  $(AB)^T = B^T A^T$

### B.3.6 عملیات سطر و ستون مقدماتی

سه عمل ساده ولی بسیار مفید روی سطرا و ستونهای ماتریس وجود دارد که چون در بحثهای بعدی استفاده می‌شوند در اینجا به بیان آنها می‌پردازیم:

۱. تعویض هر دو سطر (ستون).
۲. ضرب هر سطر (ستون) در یک عدد اسکالار غیر صفر.
۳. اضافه کردن حاصل ضرب یک عدد اسکالار در یک سطر (ستون) به سطر (ستون) دیگر.

### B.3.7 ماتریسهای معادل

ماتریس  $A$  را معادل ماتریس دیگر  $B$  می‌گویند اگر  $A$  بتواند با یکی از سه عمل سطر و یا ستون مقدماتی تبدیل به  $B$  شود و به صورت  $B \sim A$  نوشته می‌شود. اگر فقط عملیات سطرا (ستونی) استفاده شود، می‌گوییم  $A$  معادل سطرا (ستونی) است.  $B$

## B.3.8 ضرب اسکالر - ضرب نقطه‌ای بردارها

حالت خاصی از ضرب ماتریس‌ها که جایگاهی ویژه دارد ضرب یک بردار سطیری در یک بردار ستونی است. اگر  $x$  و  $y$  دو بردار  $n$  مؤلفه‌ای باشند، آن‌گاه

$$\mathbf{x}^T \mathbf{y} = \sum_{j=1}^n x_j y_j \quad (\text{B.13})$$

که در آن

$$\mathbf{x}^T = [x_1 \ x_2 \dots x_n] \quad \text{و} \quad \mathbf{y} = [y_1 \ y_2 \dots y_n]^T$$

ضرب معادله (B.13) یک ضرب اسکالر یا ضرب نقطه‌ای  $x$  و  $y$  نامیده می‌شود. آن را با  $\mathbf{x} \cdot \mathbf{y}$  نیز نشان می‌دهند. وقت کنید چون ضرب نقطه‌ای دو بردار یک اسکالر است،  $\mathbf{x}^T \mathbf{y} = \mathbf{y}^T \mathbf{x}$ . در ارتباط با هر بردار  $x$  یک اسکالری وجود دارد که نرم<sup>1</sup> یا طول بردار نامیده می‌شود و به صورت زیر تعریف می‌شود

$$(\mathbf{x}^T \mathbf{x})^{1/2} = \left( \sum_{i=1}^n x_i^2 \right)^{1/2} \quad (\text{B.14})$$

اغلب نرم  $x$  را به شکل  $\|\mathbf{x}\|$  نشان می‌دهند.

## B.3.9 ماتریس هریعی

ماتریسی که تعداد سطرا و ستونهای آن مساوی باشد ماتریس مریعی و در غیراین صورت ماتریس مستطیلی نامیده می‌شود. عناصر  $a_{ij}$  را عناصر قطر اصلی و بقیه را عناصر غیرقطری می‌نامند. هر ماتریس مریعی که تمام عناصر غیرقطری اش صفر باشد ماتریس قطری نامیده می‌شود. اگر تمامی عناصر اصلی یک ماتریس قطری با هم مساوی باشند، آن را ماتریس اسکالر می‌نامند.

ماتریس مریعی  $A$  متقارن نامیده می‌شود اگر  $A^T = A$ <sup>2</sup> و در غیر این صورت نامتقارن<sup>3</sup> یا غیرمتقارن<sup>4</sup> نامیده می‌شود. اگر  $A^T = -A$  باشد آن را پادمتقارن<sup>5</sup> گویند.

اگر تمامی عناصر زیر قطر اصلی یک ماتریس مریعی صفر باشند ( $a_{ij} = 0$  for  $i > j$ )

1. norm

2. asymmetric

3. unsymmetric

4. antisymmetric

آن را یک ماتریس مثلثی بالا می نامند. به طور مشابه، یک ماتریس مثلثی پایین تمامی عناصر بالای قطر اصلی اش ( $a_{ij} = 0$  for  $i < j$ ) صفر است. یک ماتریس را که تمامی عناصرش به جز در یک نوار اطراف قطر اصلی صفر هستند ماتریس نواری می نامند.

یک ماتریس مربعی که عناصر قطر اصلی اش یک و سایر عناصرش صفر هستند ماتریس واحد<sup>۱</sup> نامیده می شود. یک ماتریس واحد از مرتبه  $n \times n$  با  $I_{(n)}$  نشان داده می شود. ماتریسهای واحد به خاطر این که پس ضرب یا پس ضربشان در ماتریسی دیگر مقدار ماتریس را تغییر نمی دهد مفید هستند؛ به عنوان مثال اگر  $A$  یک ماتریس  $n \times n$  باشد، آن گاه

$$I_{(m)}A = A = AI_{(n)} \quad (B.15)$$

یک ماتریس اسکالار  $\alpha$  را که عناصر قطری اش  $\alpha$  هستند می توان به شکل زیر نوشت

$$S_{(n)} = \alpha I_{(n)} \quad (B.16)$$

دقت کنید که پس یا پس ضرب هر ماتریس در یک ماتریس اسکالار از مرتبه مناسب مساوی ضرب ماتریس اصلی در اسکالار است. این را می توان برای هر ماتریس  $A$ ،  $m \times n$  به صورت زیر ثابت کرد:

$$S_{(m)}A = \alpha I_{(m)}A = \alpha A = \alpha(AI_{(n)}) = A(\alpha I_{(n)}) = AS_{(n)} \quad (B.17)$$

### B.3.10 افزایشی ماتریسهای

تقسیم بردارها یا ماتریسها به گروههای کوچکتری از آرایه‌ها غالباً مفید است. این کار می تواند با افزایشی ماتریسها به آرایه‌های مستطیلی کوچکتر که زیرماتریسها نامیده می شوند و یا تقسیم بردارها به آرایه‌های مستطیلی کوچکتر که زیربردارها نامیده می شوند انجام شود. به عنوان مثال، ماتریس  $A$  را در نظر بگیرید

$$A = \begin{bmatrix} 2 & 1 & -6 & 4 & 3 \\ 2 & 3 & 8 & -1 & -3 \\ 1 & -6 & 2 & 3 & 8 \\ -3 & 0 & 5 & -2 & 7 \end{bmatrix}_{(4 \times 5)}$$

یک نوع از افرازبندی  $A$  عبارت است از

$$A = \left[ \begin{array}{ccc|cc} 2 & 1 & -6 & 4 & 3 \\ 2 & 3 & 8 & -1 & -3 \\ \hline 1 & -6 & 2 & 3 & 8 \\ -3 & 0 & 5 & -2 & 7 \end{array} \right]_{(4 \times 5)}$$

بنابراین، زیرماتریسهای  $A$  عبارتند از

$$A_{11} = \begin{bmatrix} 2 & 1 & -6 \\ 2 & 3 & 8 \end{bmatrix}_{(2 \times 3)} \quad A_{12} = \begin{bmatrix} 4 & 3 \\ -1 & -3 \end{bmatrix}_{(2 \times 2)}$$

$$A_{21} = \begin{bmatrix} 1 & -6 & 2 \\ -3 & 0 & 5 \end{bmatrix}_{(2 \times 3)} \quad A_{22} = \begin{bmatrix} 3 & 8 \\ -2 & 7 \end{bmatrix}_{(2 \times 2)}$$

که در آن  $A$  ماتریسهای از مرتبه های مورد نظر هستند. پس،  $A$  می تواند بر حسب زیر ماتریسها به شکل زیر نوشته شود

$$A = \left[ \begin{array}{c|c} A_{11} & A_{12} \\ \hline A_{21} & A_{22} \end{array} \right]$$

دقّت کنید که افرازبندی بردارها و ماتریسها باید متناسب باشد تا عمل جمع یا ضرب آنها معنی دار باشد. برای این که بینید چگونه دو ماتریس افراز شده ضرب می شوند، ماتریسها را  $n \times p$  و  $m \times n$  در نظر بگیرید. فرض کنید آنها به شکل زیر افراز شده باشند.

$$A = \left[ \begin{array}{c|c} A_{11} & A_{12} \\ \hline A_{21} & A_{22} \end{array} \right]_{(m \times n)} ; \quad B = \left[ \begin{array}{c|c} B_{11} & B_{12} \\ \hline B_{21} & B_{22} \end{array} \right]_{(n \times p)}$$

آن گاه ضرب  $AB$  را می توان به شکل زیر نوشت

$$AB = \left[ \begin{array}{c|c} A_{11} & A_{12} \\ \hline A_{21} & A_{22} \end{array} \right] \left[ \begin{array}{c|c} B_{11} & B_{12} \\ \hline B_{21} & B_{22} \end{array} \right] = \left[ \begin{array}{c|c} (A_{11}B_{11} + A_{12}B_{21}) & (A_{11}B_{12} + A_{12}B_{22}) \\ \hline (A_{21}B_{11} + A_{22}B_{21}) & (A_{21}B_{12} + A_{22}B_{22}) \end{array} \right]_{(m \times p)}$$

دقّت کنید که افرازبندی دو ماتریس  $A$  و  $B$  باید طوری باشد که ضربهای  $A_{11}B_{11}$ ،  $A_{12}B_{21}$ ،  $A_{11}B_{12}$ ،  $A_{12}B_{22}$ ،  $A_{21}B_{11}$ ،  $A_{22}B_{21}$  و ... درست باشند. به علاوه، باید زوجهای ماتریس  $A_{11}B_{11}$  و  $A_{12}B_{21}$ ،  $A_{21}B_{12}$  و  $A_{22}B_{22}$  نیز از مرتبه ای مشابه باشند.

#### B.4 حل «معادله خطی» معجهولی

##### B.4.1 مقدمه

سیستم معادلات خطی در بسیاری از کاربردهای علوم و مهندسی وجود دارد. بنابراین، پژوهشها و پیشرفت‌های قابل توجهی برای راه حل‌های متفاوت انجام شده است. فهم نظریه‌های اصلی و مفاهیم مربوط به معادله‌های خطی بسیار مهم است، زیرا در این کتاب ما از آنها زیاد استفاده می‌کنیم. در این بخش یک روش اساسی را که روش حذفی گوسی<sup>۱</sup> نامیده می‌شود تشریح خواهیم کرد که برای حل یک دستگاه معادلات خطی  $n \times n$  (مربعی) است. روش‌های عمومی تری که برای حل سیستمهای مستطیلی  $m \times n$  می‌باشد در بخش بعدی بحث می‌شوند.

پندازه دترمینان ارتباط نزدیکی به حل یک دستگاه معادلات خطی دارد و به همین دلیل ما ابتدا دترمینان و خواص آن را بحث می‌کنیم. همچنین از آن جا که حل یک دستگاه مرربعی می‌تواند از راه وارون کردن ماتریس مربوط به آن دستگاه به دست آید، روش‌های وارون کردن ماتریسها را نیز بیان می‌کنیم.

دستگاه «معادله» معجهولی زیر را در نظر بگیرید:

$$\mathbf{Ax} = \mathbf{b} \quad (\text{B.18})$$

که در آن  $\mathbf{A}$  یک ماتریس  $n \times n$  از اعداد مشخصی بوده و  $\mathbf{x}$  یک بردار «بعدی متغیرهای جواب»، و  $\mathbf{b}$  یک بردار از اعداد ثابتی است که به عنوان بردار طرف راست شناخته می‌شود.  $\mathbf{A}$  ماتریس ضرایب نامیده می‌شود و وقتی که بردار  $\mathbf{b}$  به عنوان ستون  $(1 \times n)$  ام  $\mathbf{A}$  اضافه شود، ماتریس حاصل ماتریس افزایش یافته دستگاه معادلات داده شده نامیده می‌شود. وقت کنید که طرف چپ معادله (B.18) تشکیل شده از ضرب ماتریس  $\mathbf{A}$  در یک بردار « مؤلفه‌ای که حاصل یک بردار « مؤلفه‌ای دیگر است. اگر بردار طرف راست  $\mathbf{b}$  صفر باشد، معادله (B.18) یک دستگاه معادلات همگن و در غیر این صورت ناهمگن نامیده می‌شود.

معادله  $\mathbf{Ax} = \mathbf{b}$  نیز می‌تواند به شکل علامت جمع زیر نوشته شود:

$$\sum_{j=1}^n a_{ij}x_j = b_i; \quad i = 1 \text{ to } n \quad (\text{B.19})$$

اگر هر سطر از ماتریس  $A$  به عنوان یک بردار سطحی  $n$  بعدی  $\bar{a}^{(i)}$  در نظر گرفته شود، آن‌گاه طرف چپ معادله (B.19) را می‌توان حاصل ضرب نقطه‌ای دو بردار و به شکل زیر در نظر گرفت

$$(\bar{a}^{(i)} \cdot \mathbf{x}) = b_i; \quad i = 1 \text{ to } n \quad (\text{B.20})$$

اگر هر ستون  $A$  به عنوان یک بردار ستونی  $n$  بعدی  $a^{(i)}$  در نظر گرفته شود، آن‌گاه طرف چپ معادله (B.18) را می‌توان به شکل جمع ستونهای مقیاس شده ماتریس  $A$  در نظر گرفت، یعنی

$$\sum_{i=1}^n a^{(i)}x_i = b \quad (\text{B.21})$$

این نوع تعبیر می‌تواند برای تدوین و پیاده‌سازی راههای حل دستگاه  $Ax = b$  مفید باشد. برای مثال، معادله (B.21) نشان می‌دهد که متغیر جواب  $x$  برای این ستون  $A$  یک ضریب مقیاس است، یعنی متغیر  $x$  مربوط به این ستون است.

برای تدوین راهبرد حل دستگاه خطی  $Ax = b$ ، از معرفی مفهوم دترمینان و مطالعه خواص آن [هن، ۱۹۶۴] شروع می‌کنیم. روش محاسبه دترمینانها بسیار شبیه به راه حل‌های معادلات خطی است، بدین سبب ما آنها را نیز بررسی خواهیم کرد.

هر ماتریس مربعی یک عدد اسکالر مربوط به خود دارد که دترمینان نامیده می‌شود و از روی درایه‌های آن محاسبه می‌شود. برای معرفی پنداره دترمینان، در معادله (B.18)،  $n = 2$ ، فرار می‌دهیم و دستگاه معادلات همزمان زیر را در نظر می‌گیریم:

$$\begin{bmatrix} a_{11} & a_{12} \\ a_{21} & a_{22} \end{bmatrix} \begin{bmatrix} x_1 \\ x_2 \end{bmatrix} = \begin{bmatrix} b_1 \\ b_2 \end{bmatrix} \quad (\text{a})$$

عدد  $(a_{11}a_{22} - a_{12}a_{21})$  با استفاده از درایه ماتریس ضرایب محاسبه شده و دترمینان نامیده می‌شود. برای این که بینید این عدد چگونه به وجود آمد، سیستم معادلات (a) را با فرآیند حذفی حل خواهیم کرد.

سطر اوّل معادلات (a) در  $a_{22}$  و سطر دوم را در  $a_{12}$  ضرب می‌کنیم، داریم

$$\begin{bmatrix} a_{11}a_{22} & a_{12}a_{22} \\ a_{12}a_{21} & a_{12}a_{22} \end{bmatrix} \begin{bmatrix} x_1 \\ x_2 \end{bmatrix} = \begin{bmatrix} a_{22}b_1 \\ a_{12}b_2 \end{bmatrix} \quad (\text{b})$$

در معادلات (b) اگر سطر دوم را از سطر اول کم کنیم، از اولین معادله حذف می شود و داریم :

$$(a_{11}a_{22} - a_{12}a_{21})x_1 = a_{22}b_1 - a_{12}b_2 \quad (c)$$

حال روش گذشته را برای حذف  $x_1$  از سطر دوم معادلات (a) تکرار می کنیم. با ضرب اولین معادله در  $a_{21}$  و دومی در  $a_{11}$  و کم کردن آنها، داریم :

$$(a_{11}a_{22} - a_{12}a_{21})x_2 = a_{11}b_2 - a_{21}b_1 \quad (d)$$

برای این که سیستم جواب یگانه ای داشته باشد ضرایب  $x_1$  و  $x_2$  در معادلات (c) و (d) باید غیر صفر باشند، یعنی  $(a_{11}a_{22} - a_{12}a_{21}) \neq 0$  و مقادیر  $x_1$  و  $x_2$  به شکل زیر محاسبه می شود

$$x_1 = \frac{a_{22}b_1 - a_{12}b_2}{a_{11}a_{22} - a_{12}a_{21}}, \quad x_2 = \frac{a_{11}b_2 - a_{21}b_1}{a_{11}a_{22} - a_{12}a_{21}} \quad (e)$$

مخرج کسرها یعنی  $(a_{11}a_{22} - a_{12}a_{21})$  به عنوان دترمینان ماتریس A معادلات (a) شناخته می شود. آن را با  $\det(A)$ ، یا  $|A|$  نشان می دهند. پس برای هر ماتریس  $2 \times 2$  ،

$$|A| = a_{11}a_{22} - a_{12}a_{21} \quad (f)$$

با استفاده از تعریف معادله (f)، معادله های (e) را می توان دوباره به شکل زیر نوشت

$$x_1 = \frac{|B_1|}{|A|}, \quad x_2 = \frac{|B_2|}{|A|} \quad (g)$$

که  $B_1$  با جایگزین اولین ستون A با طرف راست و  $B_2$  با جایگزینی ستون دوم A با طرف راست به دست می آید، یعنی

$$B_1 = \begin{bmatrix} b_1 & a_{12} \\ b_2 & a_{22} \end{bmatrix}, \quad B_2 = \begin{bmatrix} a_{11} & b_1 \\ a_{21} & b_2 \end{bmatrix}$$

معادلات (g) به عنوان قاعده کرامر<sup>۱</sup> شناخته می شوند. طبق این قاعده، ما تنها نیاز به محاسبه سه دترمینان  $|A|$  ،  $|B_1|$  و  $|B_2|$  داریم تا جواب دستگاه معادلات  $2 \times 2$  را به دست آوریم. اگر  $|A| = 0$  ، حل یگانه ای برای معادلات (a) وجود ندارد. ممکن است تعدادی نهایت جواب وجود داشته باشد و یا اصولاً جوابی وجود نداشته باشد. این حالتها در بخش بعدی

بحث می‌شوند.

مفاهیم گذشته دترمینان می‌تواند برای یک ماتریس  $n \times n$  تعمیم داده شود. برای هر ماتریس مربع  $A$  از هر مرتبه‌ای، می‌توانیم یک عدد اسکالر پیگانه‌ای محاسبه کنیم که دترمینان  $A$  خواهد می‌شد. راههای مختلفی برای محاسبه دترمینان یک ماتریس وجود دارد، این راهها به راههای حل دستگاه معادلات خطی بسیار شیوه هستند که متعاقباً در این بخش آنها را بحث خواهیم کرد.

B.4.2.1 خواص دترمینانها. دترمینانها خواص متعددی دارند که برای به دست آوردن راههای محاسبه شان مفید هستند. بنابراین، خواص آنها باید کاملاً فهمیده شود.

۱. دترمینان هر ماتریس مربعی  $A$  مساوی دترمینان ترانهاده ماتریس است، یعنی  $|A| = |A^T|$ .
۲. اگر ماتریس  $A$  دارای دو ستون (یا دو سطر) یکسان باشد، آن گاه دترمینانش صفر است، یعنی  $|A| = 0$ .
۳. اگر با تعویض هر دو ستون (یا دو سطر) ماتریس داده شده  $A$  (عملیات سطر ستون مقدماتی ۱) ماتریس جدیدی تشکیل شود، دترمینان ماتریس جدید منفی دترمینان ماتریس اصلی است.
۴. اگر با جمع کردن ضریبی از یک ستون (سطر) با ستون (سطر) دیگر (عملیات سطر ستون مقدماتی ۳) ماتریس جدیدی تشکیل شود، دترمینان ماتریس حاصل مساوی دترمینان ماتریس اصلی است.
۵. اگر ماتریس مربع  $B$  مساوی ماتریس  $A$  باشد بجز بعضی از ستونها (سطرهای) که، برابر ستون (سطر) مربوطه در  $A$  باشد (عملیات سطر ستون مقدماتی ۲)، آن گاه  $|AB| = c|A|$  و  $|B| = c$ .
۶. اگر درایه‌های یک ستون (یا سطر) یک ماتریس مربعی  $A$  صفر باشند، آن گاه  $|A| = 0$ .
۷. اگر ماتریس مربعی  $A$  مثلثی پایین یا بالا باشد، آن گاه دترمینان  $A$  مساوی حاصل ضرب درایه‌های قطری آن است:

$$|A| = a_{11}a_{22} \cdots \cdots a_{nn} \quad (\text{B.22})$$

۸. اگر  $A$  و  $B$  دو ماتریس مربعی از مرتبه‌ای یکسان باشند، آن گاه  $|AB| = |A| |B|$

۹. فرض کنید  $A_{ij}$  دترمینان ماتریس باشد که با حذف  $i$ -امین سطر و  $j$ -امین ستون  $A$  (که حاصل ماتریس مرتبعی از مرتبه  $(n-1) \times (n-1)$  است) به دست آمده باشد، عدد اسکالار  $A_{ij}$ ، ماینر<sup>۱</sup> (کهاد) درایه  $a_{ij}$  ماتریس  $A$  نامیده می شود. هم عامل<sup>۲</sup>  $a_{ij}$  به شکل زیر تعریف می شود

$$\text{cofac}(a_{ij}) = (-1)^{i+j} |A_{ij}| \quad (\text{B. 23})$$

دترمینان  $A$  بر حسب هم عاملها به شکل زیر محاسبه می شود

$$|A| = \sum_{j=1}^n a_{ij} \text{cofac}(a_{ij}), \quad \text{برای هر } i \quad (\text{B. 24})$$

یا

$$|A| = \sum_{i=1}^n a_{ij} \text{cofac}(a_{ij}), \quad \text{برای هر } j \quad (\text{B. 25})$$

دقّت کنید که  $\text{cofac}(a_{ij})$  نیز یک اسکالار است که از ماینر  $A_{ij}$  به دست می آید و علامت مثبت یا منفی دارد که با اندیشهای  $i$  و  $j$  و از رابطه  $i+j$  به دست می آید. معادله (B. 24) تعمیم هم عامل  $A$  با  $i$ -امین سطر نامیده می شود. معادله (B. 25) تعمیم هم عامل  $A$  با  $j$ -امین ستون نامیده می شود. معادلات (B. 24) و (B. 25) می توانند مستقیماً برای اثبات خواص ۲، ۵، ۶ و ۷ استفاده شود.

نکته مهمی که باید مورد توجه قرار گیرد این است که استفاده از معادله های (B. 24) یا (B. 25) برای محاسبه دترمینان  $A$  مشکل است. این معادله ها نیاز به محاسبه هم عاملهای درایه های  $a_{ij}$  دارد که خودشان دترمینان هستند. به هر حال، یک ماتریس مرتبعی می تواند با عملیات سطر ستون مقدماتی به شکل مثلث بالا یا پایین تبدیل شود. آن گاه دترمینان با استفاده از معادله (B. 22) محاسبه می شود. این روش را بعداً با مثالی در همین بخش تشریح خواهیم کرد. ماتریسی که دترمینان صفر دارد یک ماتریس منفرد نامیده می شود؛ یک ماتریس با دترمینان غیر صفر، نامنفرد خوانده می شود. یک دستگاه معادلات  $n \times n$  ناممکن جواب پیگانه دارد اگر و تنها اگر ماتریس ضرایب آن نامنفرد باشد. این خواص در آینده بحث شده و برای تدوین راه حل دستگاه معادلات استفاده خواهند شد.

#### B.4.2.2 ماینر اصلی، هر ماتریس مرتبعی $A$ ، اعداد اسکالار مربوط به خود دارد که ماینرهای

اصلی خوانده می‌شود. آنها دترمینان ماتریس‌های جزء مشخصی از  $A$  می‌باشند و برای به دست آوردن نوع یک ماتریس که در آزمون شرایط کافی برای بهینگی مورد نیاز است و همچنین تحدب توابع که در فصل (۳) بحث شد، به کار می‌روند. بنابراین، ما پندارهای مایزرهای اصلی را این جا بحث می‌کنیم.

فرض کنید  $M_k$  مایزرهای اصلی  $A$  باشد. آن‌گاه هر  $M_k$  به عنوان دترمینان زیرماتریس زیر تعریف می‌شود:

$$M_k = |\mathbf{A}_{kk}| \quad (\text{B. 26})$$

که  $\mathbf{A}_{kk}$  یک زیرماتریس  $k \times k$  از  $A$  است که از حذف تمامی ستونهای «تا  $k$ » و سطرهای مربوطه به دست می‌آید. به عنوان مثال،  $M_1 = a_{11}$ ،  $M_2 = M_1 = a_{11} \times a_{22} - a_{12} \times a_{21}$  دترمینان یک ماتریس  $2 \times 2$  که از حذف تمامی سطرها و ستونهای  $A$  بجز دو سطر و ستون اول به دست می‌آید، و به همین ترتیب سایر مایزرهای اصلی ماتریس  $A$  به دست خواهند آمد.

## B.4.3 روشن حذلی گوسی

روش حذلی که قبلاً در بخش B.4.1 برای حل یک دستگاه معادلات  $2 \times 2$  تشریح شدمی تواند برای یک دستگاه معادلات  $n \times n$  تعمیم داده شود. تمامی فرآیند می‌تواند با استفاده از علایم ماتریسی سازمان‌دهی و تشریح شود. این روش برای محاسبه دترمینان هر ماتریس نیز می‌تواند به کار رود. روش به عنوان روش حذلی گوسی شناخته شده است که آن را در زیر به طور مسروچ بیان خواهیم کرد [فورثایت و مولر، ۱۹۶۷؛ فرانکلین، ۱۹۶۸].

با استفاده از سه عمل سطر و ستون مقدماتی که در بخش B.3 تعریف شد، دستگاه معادله (B.18) را می‌توان به شکل زیر تبدیل کرد:

$$\begin{bmatrix} 1 & \bar{a}_{12} & \bar{a}_{13} & \dots & \bar{a}_{1n} \\ 0 & 1 & \bar{a}_{23} & \dots & \bar{a}_{2n} \\ \vdots & \vdots & \vdots & \ddots & \vdots \\ 0 & 0 & 0 & \dots & 1 \end{bmatrix} \begin{bmatrix} x_1 \\ x_2 \\ \vdots \\ x_n \end{bmatrix} = \begin{bmatrix} \bar{b}_1 \\ \bar{b}_2 \\ \vdots \\ \bar{b}_n \end{bmatrix} \quad (\text{B. 27})$$

یا، به شکل گسترش یافته، معادله (B.27) عبارت است از

$$\begin{aligned}
 x_1 + \bar{a}_{12}x_2 + \bar{a}_{13}x_3 + \dots + \bar{a}_{1n}x_n &= b_1 \\
 x_2 + \bar{a}_{23}x_3 + \dots + \bar{a}_{2n}x_n &= \bar{b}_2 \\
 x_3 + \dots + \bar{a}_{3n}x_n &= \bar{b}_3 \\
 &\vdots \\
 x_n &= \bar{b}_n
 \end{aligned} \tag{B.28}$$

دقّت کنید ما  $\bar{a}_{ij}$  و  $\bar{b}_i$  را برای نشان دادن شکل تعمیم یافته درایه های  $a_{ij}$  و  $b_i$  سیستم اصلی به کار می بریم. از معادله  $n$  ام دستگاه (B.28)، داریم  $x_n = \bar{b}_n$ . اگر این را در معادله  $(1-n)$  ام از معادله های (B.28) قرار دهیم، می توانیم  $x_n$  را به دست آوریم :

$$\begin{aligned}
 x_{n-1} &= \bar{b}_{n-1} - \bar{a}_{n-1,n}x_n \\
 &= \bar{b}_{n-1} - \bar{a}_{n-1,n}\bar{b}_n
 \end{aligned} \tag{B.29}$$

اکنون معادله (B.29) می تواند در  $(2-n)$  امین معادله (B.28) جایگزین شده و  $x_{n-2}$  محاسبه شود. اگر این روش را ادامه دهیم، تمامی مجھولها می توانند از آخر به اول به دست آید :  $x_n, x_{n-1}, x_{n-2}, \dots, x_2, x_1$ . روش کاھش یک سیستم "معادله ای" مجھول و حل از آخر به اول  $x_n, x_{n-1}, x_{n-2}, \dots, x_2, x_1$  روش حذفی گوسی یا کاھش گوس<sup>1</sup> نامیده می شود. قسمت آخر روش (حل از آخر به اول برای  $x_{n-1}, x_{n-2}, \dots, x_2, x_1$ ) جایگذاری پس رو، یا مسیر پس رو نامیده می شود.

روش حذفی گوسی برای تبدیل درایه های قطری اصلی به ۱ و درایه های زیر قطر اصلی به صفر از عملیات سطر ستون مقدماتی استفاده می کند. برای انجام این کار از سطر و ستون اول ماتریس افزایش یافته با طرف راست دستگاه معادلات، شروع می کنیم. برای ۱ ساختن درایه قطری، اوّلین سطر به درایه قطری تقسیم می شود. برای تبدیل درایه های زیر قطر اصلی ستون اوّل به صفر، سطر اوّل را در درایه  $\bar{a}_{11}$  از امین سطر ( $i = 2 \text{ to } n$ ) ضرب می کنیم و حاصل را از امین سطر کم کنیم. این کار درایه  $\bar{a}_{11}$  را در  $\bar{a}_{11}$  امین سطر صفر می سازد. برای هر سطر این کار با استفاده از سطر اوّل انجام می شود. وقتی تمام درایه های زیر قطر اصلی در ستون اوّل صفر شدند، عملیات برای ستون دوم و با استفاده از سطر دوم برای حذف تکرار می شود و ادامه می باید. سطّری که برای صفر کردن درایه های یک ستون استفاده می شود سطر لولا نام دارد، و ستونی که در آن عملیات حذف انجام می شود ستون لولا نامیده می شود. این عملیات

را در مثالی بعداً تشریح خواهیم کرد.

عملیات قبلی تبدیل درایه های زیرقطر اصلی به صفر می تواند از راه دیگری نیز توضیح داده شود. وقتی ما درایه زیرقطر اصلی اوّلین ستون را صفر می کنیم، متغیر  $x_1$  را از تمامی معادله ها بجز اوّلین معادله ( $x_1$  مربوط به ستون اوّل است) حذف می کنیم. برای این مرحله حذف معادله شماره ۱ را به کار می بریم. به طور کلی، وقتی درایه های زیرقطر اصلی را در  $\alpha$  این ستون به صفر کاهش می دهیم، از  $\alpha$  این سطر به عنوان سطر لولا استفاده می کنیم. پس  $\alpha$  این متغیر را از تمامی معادله های زیر  $\alpha$  این سطر حذف می کنیم. این توضیح وقتی توجه کنیم که هر ستون از ماتریس ضرایب، همان طور که قبله گفتیم، متغیر خاص خود را دارد کاملاً روشن است.

### مثال 3 حل معادله ها با حذفی گوسی. دستگاه معادلات $3 \times 3$ زیر را حل کنید

$$\begin{aligned} x_1 - x_2 + x_3 &= 0 \\ x_1 - x_2 + 2x_3 &= 1 \\ x_1 + x_2 + 2x_3 &= 5 \end{aligned} \tag{a}$$

حل. مراحل روش حذفی گوسی را با استفاده از ماتریس افزایش یافته گام به گام شرح خواهیم داد. ماتریس افزایش یافته معادلات (a) با استفاده از ضرایب متغیرها و پارامترهای طرف راست به شکل زیر تعریف می شود

$$B = \left[ \begin{array}{ccc|c} x_1 & x_2 & x_3 & b \\ 1 & -1 & 1 & 0 \\ 1 & -1 & 2 & 1 \\ 1 & 1 & 2 & 5 \end{array} \right]$$

برای تبدیل سیستم فوق به شکل معادله (B.27)، از عملیات سطر و ستون مقدماتی به شکل زیر استفاده می کنیم:

۱. ۱- برابر سطر ۱ را به سطر ۲ اضافه کرده و ۱- برابر سطر ۱ را به سطر ۳ اضافه می کنیم (حذف  $x_1$  از معادله دوم و سوم؛ عملیات سطري مقدماتی  $3^{\circ}$ ):

$$B \sim \left[ \begin{array}{ccc|c} x_1 & x_2 & x_3 & b \\ 1 & -1 & 1 & 0 \\ 0 & 0 & 1 & 1 \\ 0 & 2 & 1 & 5 \end{array} \right] \quad \begin{array}{l} \text{(یادآور می شود که "~~"} \\ \text{به معنی معادل بودن} \\ \text{دو ماتریس است)} \end{array}$$

۲. چون درایه در محل (۲، ۲) صفر است، سطر ۲ و ۳ را با هم عوض می کنیم تا یک درایه غیر صفر در محل قرار گیرد (عملیات سطحی مقدماتی ۱). آن‌گاه سطر دوم جدید را برابر ۲ تقسیم می کنیم، داریم

$$\mathbf{B} \sim \left[ \begin{array}{ccc|c} x_1 & x_2 & x_3 & \mathbf{b} \\ 1 & -1 & 1 & 0 \\ 0 & 1 & 0.5 & 2.5 \\ 0 & 0 & 1 & 1 \end{array} \right]$$

۳. چون درایه در موقعیت (۳، ۳) یک است و تمامی درایه‌های زیر قطر اصلی صفرند، ماتریس قبلی دستگاه معادلات (a) را به شک معادله (B.27) درآورده، داریم

$$\left[ \begin{array}{ccc} 1 & -1 & 1 \\ 0 & 1 & 0.5 \\ 0 & 0 & 1 \end{array} \right] \left[ \begin{array}{c} x_1 \\ x_2 \\ x_3 \end{array} \right] = \left[ \begin{array}{c} 0 \\ 2.5 \\ 1 \end{array} \right]$$

با انجام جایگزینی پس رو، داریم

$$x_3 = 1 \quad (\text{از سطر سوم})$$

$$x_2 = 2.5 - 0.5x_3 = 2 \quad (\text{از سطر دوم})$$

$$x_1 = 0 - x_3 + x_2 = 1 \quad (\text{از سطر اول})$$

بنابراین، حل معادلات (a) عبارت است از

$$x_1 = 1, \quad x_2 = 2, \quad x_3 = 1$$

روش حذفی گوسی به راحتی می تواند در قالب یک برنامه رایانه‌ای چندمنظوره نوشته شود که بتواند هر دستگاه معادلات را حل کند. ولی به خاطر این که محاسبات عددی در هر ماشین با تعداد ارقام اعشار مشخص، خطای گرد کردن<sup>1</sup> تولید می کند باید تدبیر خاصی در روش اندیشه شود. اگر احتیاط‌های پیش گیرنده‌ای انجام نشود این خطاهای می توانند قابل ملاحظه باشد. تدبیر مقدماتی عوض کردن ترتیب سطرها یا ستونها در ماتریس افزایش یافته است، طوری که خطای گرد کردن مینیمم شود. این تعویض در هر مرحله از حذف باید انجام شود به گونه‌ای که درایه‌های قطری سطر لولا در میان سایر درایه‌های ماتریس در طرف راست پایینی از نظر قدر مطلق بزرگترین باشد. این کار به عنوان عمل لولایی کلی شناخته می شود. وقتی فقط سطرها برای آوردن بزرگترین درایه از یک ستون به موقعیت قطری عوض می شوند،

1. round-off

این کار به عنوان عمل لولایی جزئی شناخته می‌شود. توجه کنید که برنامه‌های زیادی برای حل دستگاه معادلات در دسترس هستند. پس، قبلاً این که شروع به نوشتمن برای حذفی گوسی شود، باید کتابخانه‌های مرکز رایانه برای برنامه‌های موجود جست و جو گردد.

**مثال B.4** دترمینان یک ماتریس به وسیله روش حذفی گوسی. روش حذفی گوسی را نیز می‌توان برای محاسبه دترمینان یک ماتریس به کار برد. ما روش را برای ماتریس  $3 \times 3$  زیر توضیح می‌دهیم:

$$\mathbf{A} = \begin{bmatrix} 2 & 3 & 0 \\ 1 & 2 & 1 \\ 0 & 3 & 4 \end{bmatrix}$$

حل. با استفاده از روش حذفی گوسی، درایه‌های زیر قطر اصلی را صفر می‌کنیم، ولی این بار درایه‌های قطری به یک تبدیل نمی‌شوند. وقتی ماتریس به آن شکل تبدیل شد، دترمینان با استفاده از معادله (B.22) به دست می‌آید.

$$\begin{bmatrix} 2 & 3 & 0 \\ 1 & 2 & 1 \\ 0 & 3 & 4 \end{bmatrix} \sim \begin{bmatrix} 2 & 3 & 0 \\ 0 & 0.5 & 1 \\ 0 & 3 & 4 \end{bmatrix} \quad (\text{حذف در اولین ستون})$$

$$\sim \begin{bmatrix} 2 & 3 & 0 \\ 0 & 0.5 & 1 \\ 0 & 0 & -2 \end{bmatrix} \quad (\text{حذف در دومین ستون})$$

دستگاه به دست آمده شکل کانونی است و  $A^{-1}$  با ضرب تمامی درایه‌های قطری به دست می‌آید، یعنی

$$|A| = (2)(0.5)(-2) = -2.$$

اگر حاصل ضرب دو ماتریس مربعی ماتریس واحد بشود، آن دو را وارون یکدیگر گویند. فرض کنید  $A$  و  $B$  دو ماتریس مربعی از مرتبه  $n$  باشند، آن‌گاه  $B$  وارون  $A$  نامیده می‌شود اگر

(B.30)

وارون  $A$  معمولاً با  $A^{-1}$  نشان داده می شود. بعداً روش‌های محاسبه وارون یک ماتریس را توضیح خواهیم داد. هر ماتریس مربعی ممکن است وارون نداشته باشد. یک ماتریسی که وارون ندارد ماتریس منفرد نامیده می شود. اگر ماتریس ضرایب یک دستگاه معادلات  $n \times n$  وارون داشته باشد، آن گاه دستگاه می تواند برای به دست آوردن مجهولات حل شود. دستگاه معادلات  $n \times n$ ،  $Ax = b$  را در نظر بگیرید که  $A$  ماتریس ضرایب و  $b$  بردار طرف راست است. با پیش ضرب دو طرف در  $A^{-1}$  داریم

$$A^{-1}Ax = A^{-1}b$$

چون  $I = A^{-1}A$ ، معادله به شکل زیر در می آید

$$x = A^{-1}b$$

پس اگر، وارون ماتریس  $A$  را بدانیم، آن گاه معادله فوق را می توانیم برای به دست آوردن بردار مجهول  $x$  به کار ببریم. چند روش برای محاسبه وارون یک ماتریس غیرمنفرد وجود دارد. اوّلین روش براساس استفاده از هم عاملها و دترمینان  $A$  است. اگر  $B$  وارون  $A$  باشد، آن گاه درایه‌های آن عبارت است از (می گویند وارون با استفاده از هم عاملها) :

$$b_{ii} = \frac{\text{cofac}(a_{ii})}{|A|}; \quad i = 1 \text{ to } n; j = 1 \text{ to } n \quad (\text{B.31})$$

دقّت کنید که اندیسه‌ای طرف چپ معادله  $zi$  هستند، درحالی که در طرف راست  $iz$  است. پس هم عاملهای سطر ماتریس  $A$  ستون مربوطه از ماتریس وارون  $B$  را تولید می کنند.

روش گذشته برای ماتریسهای کوچکتر مثلاً  $3 \times 3$  منطقی به نظر می رسد، ولی برای ماتریسهای بزرگتر، خسته کننده و ناکارآمد است.

یک سریخ برای روش دوم محاسبه وارون یک ماتریس، معادله (B.30) است. در آن معادله، درایه‌های  $B$  می تواند به عنوان مجهول دستگاه معادلات  $I = AB$  در نظر گرفته شود. پس دستگاه می تواند با استفاده از روش حل‌ذوی گوسی حل شود و وارون  $A$  به دست آید. این روش را با مثالی توضیح می دهیم.

**مثال B.5** وارون یک ماتریس به وسیله هم عاملها و کاوش گوس - جردن. وارون ماتریس  $3 \times 3$

زیر را محاسبه کنید :

$$\mathbf{A} = \begin{bmatrix} 1 & 3 & 0 \\ 1 & 2 & 0 \\ 0 & 3 & 1 \end{bmatrix}$$

حل.

وارون با استفاده از هم عاملها، فرض کنید  $\mathbf{B}$  یک ماتریس  $3 \times 3$  و وارون ماتریس  $\mathbf{A}$  باشد. برای استفاده از روش هم عاملها که در معادله (B.31) داده شده، ابتدا دترمینان  $\mathbf{A}$  را حساب می کنیم که عبارت است از  $-1 = |\mathbf{A}|$ . با استفاده از معادله (B.23)، هم عاملهای اوّلین سطر  $\mathbf{A}$  عبارتند از

$$\text{cofac } (a_{11}) = (-1)^{1+1} \begin{vmatrix} 2 & 0 \\ 3 & 1 \end{vmatrix} = 2$$

$$\text{cofac } (a_{12}) = (-1)^{1+2} \begin{vmatrix} 1 & 0 \\ 0 & 1 \end{vmatrix} = -1$$

$$\text{cofac } (a_{13}) = (-1)^{1+3} \begin{vmatrix} 1 & 2 \\ 0 & 3 \end{vmatrix} = 3$$

به طور مشابه، هم عاملهای سطرهای دوم و سوم عبارتند از  
 $-3, 1, -3; 0, 0, -1$

پس، معادله (B.31) وارون  $\mathbf{A}$  را به شکل زیر می دهد

$$\mathbf{B} = \begin{bmatrix} -2 & 3 & 0 \\ 1 & -1 & 0 \\ -3 & 3 & 1 \end{bmatrix}$$

وارون با استفاده از حذفی گوسی. ابتدا روش حذفی گوسی را تشریح می کنیم و بعده روش گوس - جردن را بیان خواهیم کرد. چون  $\mathbf{B}$  وارون  $\mathbf{A}$  است،  $\mathbf{AB} = \mathbf{I}$ . یا به شکل گسترش یافته

$$\begin{bmatrix} 1 & 3 & 0 \\ 1 & 2 & 0 \\ 0 & 3 & 1 \end{bmatrix} \begin{bmatrix} b_{11} & b_{12} & b_{13} \\ b_{21} & b_{22} & b_{23} \\ b_{31} & b_{32} & b_{33} \end{bmatrix} = \begin{bmatrix} 1 & 0 & 0 \\ 0 & 1 & 0 \\ 0 & 0 & 1 \end{bmatrix}$$

که  $b_{ij}$  ها درایه های  $\mathbf{B}$  هستند. معادله فوق می تواند به عنوان دستگاه معادلات همزمان که سه بردار مختلف طرف راست دارد در نظر گرفته شود. برای هر ستون از مجهولات

طرف چپ و بردار طرف راست مربوط می‌توان از روش حذفی گوسی استفاده کرد و مجهولات را به دست آورد. برای مثال، فقط اوّلین ستون B را در نظر بگیرید، داریم

$$\begin{bmatrix} 1 & 3 & 0 \\ 1 & 2 & 0 \\ 0 & 3 & 1 \end{bmatrix} \begin{bmatrix} b_{11} \\ b_{21} \\ b_{31} \end{bmatrix} = \begin{bmatrix} 1 \\ 0 \\ 0 \end{bmatrix}$$

با استفاده از روش حذفی در ماتریس افزایش یافته داریم

$$\begin{array}{c} \left[ \begin{array}{ccc|c} 1 & 3 & 0 & 1 \\ 1 & 2 & 0 & 0 \\ 0 & 3 & 1 & 0 \end{array} \right] \sim \left[ \begin{array}{ccc|c} 1 & 3 & 0 & 1 \\ 0 & -1 & 0 & -1 \\ 0 & 3 & 1 & 0 \end{array} \right] \quad (\text{حذف در اوّلین ستون}) \\ \sim \left[ \begin{array}{ccc|c} 1 & 3 & 0 & 1 \\ 0 & 1 & 0 & 1 \\ 0 & 0 & 1 & -3 \end{array} \right] \quad (\text{حذف در دومین ستون}) \end{array}$$

با استفاده از جایگذاری پس رو، اوّلین ستون B به دست می‌آید و داریم  $b_{11} = -3$  ،  $b_{12} = -2$  ،  $b_{13} = 1$  ،  $b_{21} = 0$  ،  $b_{22} = 3$  ،  $b_{23} = -1$  ،  $b_{31} = 0$  و  $b_{32} = 1$  را می‌یابیم. بنابراین، وارون A عبارت است از

$$B = \begin{bmatrix} -2 & 3 & 0 \\ 1 & -1 & 0 \\ -3 & 3 & 1 \end{bmatrix}$$

وارون با استفاده از حذف گوس = جردن، می‌توانیم روش محاسبه وارون یک ماتریس را کمی تغییر دهیم. ماتریس افزایش یافته می‌تواند با تمامی سه ستون طرف راست تعریف شود. فرآیند حذفی گوسی می‌تواند هم برای زیرقطر اصلی و هم بالای قطر اصلی انجام شود. با این روش، ماتریس  $3 \times 3$  طرف چپ به یک ماتریس واحد تبدیل می‌شود، آن‌گاه ماتریس  $3 \times 3$  طرف راست ماتریس وارون است. وقتی حذف در زیر و بالای قطر اصلی انجام شود، روش حذفی گوس = جردن نامیده می‌شود. فرآیند برای محاسبه وارون A به شرح زیر است :

$$\begin{bmatrix} 1 & 3 & 0 & 1 & 0 & 0 \\ 1 & 2 & 0 & 0 & 1 & 0 \\ 0 & 3 & 1 & 0 & 0 & 1 \end{bmatrix} \quad (\text{ماتریس افزایش یافته})$$

$$\sim \left[ \begin{array}{ccc|ccc} 1 & 3 & 0 & 1 & 0 & 0 \\ 0 & -1 & 0 & -1 & 1 & 0 \\ 0 & 3 & 1 & 0 & 0 & 1 \end{array} \right] \quad (\text{حذف در اولین ستون})$$

$$\sim \left[ \begin{array}{ccc|ccc} 1 & 0 & 0 & -2 & 3 & 0 \\ 0 & 1 & 0 & 1 & -1 & 0 \\ 0 & 0 & 1 & -3 & 3 & 1 \end{array} \right] \quad (\text{حذف در دومین ستون})$$

نیازی به انجام عمل حذف در ستون سوم نیست، زیرا  $\bar{a}_{33} = 0$  و  $\bar{a}_{13} = \bar{a}_{23} = 1$ . از ماتریس فوق مشاهده می‌کنیم که سه ستون آخر دقیقاً ماتریس B را که وارون A است می‌دهد.

روش گوس-جردن برای محاسبه وارون یک ماتریس  $3 \times 3$ ، را می‌توان برای هر ماتریس  $n \times n$  تعمیم داد. همچنین می‌توان آن را به طور نظاممندی در یک برنامه رایانه‌ای چندمنظوره تدوین و وارون هر ماتریس را محاسبه کرد.

### B.5 حل $m \times m$ معادله خطی // مجھولی: نظریه عمومی

در بخش گذشته، مفهوم دترمینان برای شرط وجود جواب یگانه یک دستگاه معادلات  $n \times n$  استفاده شد. موارد متعددی در کاربردهای مهندسی وجود دارد که تعداد معادلات مساوی تعداد مجھولات نیست، یعنی دستگاه‌های مستطیلی. در یک دستگاه  $m \times n$  معادله‌ای // مجھولی ( $m \neq n$ )، ماتریس ضرایب مربعی نیست. بنابراین، دترمینانی برای آن وجود نخواهد داشت. پس، برای حل چنین دستگاهی، به مفهوم عمومی تری از دترمینان نیاز است. چنین مفهومی را در این بخش معرفی می‌کنیم.

#### B.5.1 رتبه یک ماتریس

مفهوم عمومی که برای تدوین راه حل یک دستگاه معادلات  $m \times m$  مورد نیاز است رتبه ماتریس است که به عنوان درجه بزرگترین زیرماتریس غیرمنفرد هر ماتریس تعریف می‌شود. با استفاده از پنداره رتبه یک ماتریس، ما می‌توانیم یک نظریه عمومی برای حل دستگاه معادلات خطی تدوین کنیم.

فرض کنید  $A$  رتبه ماتریس  $m \times n$  باشد. آن‌گاه  $A$  شرایط زیر را برآورده می‌کند:

- برای  $r = m < n$  (اگر  $r \leq m < n$  باشد، گفته می‌شود ماتریس رتبه سطرنی کامل دارد).

۲. برای  $n < m$ ،  $r = n$  باشد، گفته می شود ماتریس رتبه ستونی کامل دارد).

۳. برای  $m = n$ ،  $r \leq n$  باشد، ماتریس مربعی غیرمنفرد نامیده می شود).

به منظور به دست آوردن رتبه یک ماتریس، باید دترمینان تمامی زیرماتریسها را مورد بررسی قرار دهیم. این فرآیندی پرزحمت و وقت گیر است. از طرفی فرآیند حذفی گوس-جردن می تواند هم برای حل دستگاه خطی استفاده شود و هم برای به دست آوردن رتبه ماتریس. با استفاده از روش حذفی گوس-جردن هر ماتریس  $m \times n$ ، می تواند به شکل معادلهای زیر تبدیل شود (برای  $m > n$ ) :

$$\mathbf{A} \sim \left[ \begin{array}{c|cc} \mathbf{I}_{(r)} & \mathbf{0}_{(r \times n-r)} \\ \hline \mathbf{0}_{(m-r \times r)} & \mathbf{0}_{(m-r \times n-r)} \end{array} \right] \quad (\text{B.32})$$

در حالی که  $\mathbf{I}_{(r)}$  یک ماتریس واحد  $r \times r$  است، آن گاه رتبه ماتریس است و یکی از سه شرط گذشته را برابرده می کند. دقت کنید که ماتریس واحد  $\mathbf{I}_{(r)}$  برای هر ماتریس منحصر به فرد است.

**مثال B.6** تعیین رتبه با عملیات مقدماتی. رتبه ماتریس زیر را تعیین کنید :

$$\mathbf{A} = \begin{bmatrix} 2 & 6 & 2 & 4 \\ -2 & -4 & 2 & 2 \\ 1 & 2 & -1 & -1 \end{bmatrix}$$

حل. عملیات مقدماتی ماتریسها را نتیجه می دهد :

$$\mathbf{A} \sim \begin{bmatrix} 1 & 3 & 1 & 2 \\ -2 & -4 & 2 & 2 \\ 1 & 2 & -1 & -1 \end{bmatrix} \quad (\text{سطر 1 را بر } \frac{1}{2} \text{ ضرب کنید})$$

$$\sim \begin{bmatrix} 1 & 3 & 1 & 2 \\ 0 & 2 & 4 & 6 \\ 0 & -1 & -2 & -3 \end{bmatrix} \quad (\text{دو برابر سطر 1 را به سطر 2} \\ \text{و} -1\text{- برابر سطر 1 را به سطر 3 اضافه کنید})$$

$$\sim \begin{bmatrix} 1 & 0 & 0 & 0 \\ 0 & 2 & 4 & 6 \\ 0 & -1 & -2 & -3 \end{bmatrix} \quad \begin{array}{l} (3) - \text{برابر متنون 1 را به متنون 2} \\ (4) - \text{برابر متنون 1 را به متنون 3} \\ (2) - \text{برابر متنون 1 را به متنون 4 اضافه کنید} \end{array}$$

$$\sim \begin{bmatrix} 1 & 0 & 0 & 0 \\ 0 & 1 & 2 & 3 \\ 0 & 0 & 0 & 0 \end{bmatrix} \quad \begin{array}{l} (\text{سطر 2 را در } \frac{1}{2} \text{ ضرب کرده و} \\ \text{به سطر 3 اضافه کنید}) \end{array}$$

$$\sim \left[ \begin{array}{cc|cc} 1 & 0 & 0 & 0 \\ 0 & 1 & 0 & 0 \\ \hline 0 & 0 & 0 & 0 \end{array} \right] \quad \begin{array}{l} \text{۱- برابر ستون ۲ را به ستون ۳} \\ \text{و ۳- برابر ستون ۲ را به ستون ۴ اضافه کنید} \end{array}$$

این ماتریس به شکل معادله (B.32) است. رتبه  $A$ ، ۲ است چون یک ماتریس واحد  $2 \times 2$  در گوشه چپ بالا به دست آمد.

## B.5.2 نظریه عمومی برای حل معادلات خطی

اکنون بباییم یک سیستم  $m$  معادله همزمان  $n$  مجھولی را در نظر بگیریم. وجود جواب برای چنین سیستمی به رتبه ماتریس ضرایب سیستم و ماتریس افزایش یافته بستگی دارد. فرض کنید سیستم به شکل زیر بیان شود

$$Ax = b \quad (B.33)$$

که  $A$  یک ماتریس  $m \times n$ ،  $b$  یک بردار  $m$  بعدی و  $x$  یک بردار  $n$  بعدی از مجھولات باشد. توجه کنید که  $m$  ممکن است بزرگتر از  $n$  باشد، یعنی تعداد معادله ها بیشتر از مجھولات باشد. در آن حالت سیستم یا ناسازگار است (جوابی ندارد) یا بعضی از معادلات زیادی آند و می شود آنها را حذف کرد. فرآیند حلی که در زیر تشریح می شود جواب این سؤالات است.

دقت کنید که اگر یک معادله در یک عدد ثابت ضرب شود جواب سیستم بدون تغییر می ماند. اگر  $c$  برابر یک معادله ای به معادله دیگر اضافه شود، جواب سیستم حاصل مانند سیستم اوّلیه است. همچنین اگر دو ستون از ماتریس ضرایب جایه جا شوند (به عنوان مثال، ستون  $i$  و  $j$ )، مجموعه معادله های حاصل معادل سیستم اصلی است، ولی متغیرهای جواب  $x$  در بردار  $x$  جایه جا می شوند، مانند زیر:

$$x = [x_1 \ x_2 \dots x_{i-1} \ x_j \ x_{i+1} \dots x_{j-1} \ x_i \ x_{j+1} \dots x_n]^T \quad (B.34)$$

این ایجاد می کند که هر ستون از ماتریس ضرایب یک متغیر سرپوشیده خود داشته باشد که قبل از نیز ذکر گردید، به عنوان مثال  $x$  و  $x$  به ترتیب مربوط  $i$  امین و  $j$ امین ستون هستند. با استفاده از عملیات سطر و ستون مقدماتی همیشه این امکان وجود دارد که یک سیستم  $m$  معادله و  $n$  مجھول معادله (B.33) را به سیستم معادلی به شکل نشان داده شده در معادله

(B.35) زیر تبدیل کرد. در معادله علامت “-“ روی هر درایه مقدار جدید را مشخص می‌کند، که از انجام عملیات سطر ستون روی ماتریس افزایش یافته ماتریس اصلی به دست آمده است. مقدار اندیس  $r$  در معادله (B.35) رتبه ماتریس ضرایب است.

$$\left[ \begin{array}{ccccccccc} 1 & \bar{a}_{12} & \bar{a}_{13} & \bar{a}_{14} & \dots & \bar{a}_{1r} & \dots & \bar{a}_{1n} \\ 0 & 1 & \bar{a}_{23} & \bar{a}_{24} & \dots & \bar{a}_{2r} & \dots & \bar{a}_{2n} \\ 0 & 0 & 1 & \bar{a}_{34} & \dots & \bar{a}_{3r} & \dots & \bar{a}_{3n} \\ \vdots & \vdots & \vdots & 1 & \dots & \vdots & \dots & \vdots \\ \vdots & \vdots & \vdots & \vdots & \dots & \vdots & \dots & \vdots \\ 0 & 0 & 0 & 0 & \dots & 1 & \dots & \bar{a}_{rn} \\ 0 & 0 & 0 & 0 & \dots & 0 & \dots & 0 \\ \vdots & \vdots & \vdots & \vdots & \dots & \vdots & \dots & \vdots \\ 0 & 0 & 0 & 0 & \dots & 0 & \dots & 0 \end{array} \right] \left[ \begin{array}{c} x_1 \\ x_2 \\ x_3 \\ \vdots \\ \vdots \\ x_r \\ x_{r+1} \\ \vdots \\ x_n \end{array} \right] = \left[ \begin{array}{c} \bar{b}_1 \\ \bar{b}_2 \\ \bar{b}_3 \\ \vdots \\ \vdots \\ \bar{b}_r \\ \bar{b}_{r+1} \\ \vdots \\ \bar{b}_m \end{array} \right] \quad (B.35)$$

دقت کنید اگر در معادله (B.35)  $\bar{b}_{r+1} = \bar{b}_{r+2} = \dots = \bar{b}_m = 0$  باشد، آن‌گاه

آخرین  $(m - r)$  معادله می‌شود

$$0x_1 + 0x_2 + \dots + 0x_n = 0$$

این سطرها را می‌توان در عملیات بعدی حذف کرد. اما اگر یکی از مؤلفه‌های آخرین  $(m - r)$  بردار  $\bar{b}$  صفر نباشد، آن‌گاه حداقل یکی از معادلات آخرین  $(m - r)$  ناسازگار است و سیستم جوابی ندارد. همچنین دقت کنید که رتبه ماتریس ضرایب برابر رتبه ماتریس افزایش یافته است اگر و تنها اگر  $m \geq (r+1)$ . پس یک سیستم  $m$  معادله  $n$  مجھول سازگار (یعنی جواب دارد) است اگر و تنها اگر رتبه ماتریس ضرایب برابر با رتبه ماتریس افزایش یافته باشد.

اگر عملیات مقدماتی برای حذف درایه‌های غیر قطری علاوه بر زیر قطر اصلی در بالای

قطر اصلی نیز انجام شود، یک سیستم معادل به شکل زیر به دست می‌آید:

$$\left[ \begin{array}{c|cc} \mathbf{I}_{(r)} & \mathbf{Q}_{(r \times n-r)} \\ \hline \mathbf{0}_{(m-r \times r)} & \mathbf{0}_{(m-r \times n-r)} \end{array} \right] \left[ \begin{array}{c} \mathbf{x}_{(r)} \\ \hline \mathbf{x}_{(n-r)} \end{array} \right] = \left[ \begin{array}{c} \mathbf{q}_{(r \times 1)} \\ \hline \mathbf{p}_{(m-r \times 1)} \end{array} \right] \quad (B.36)$$

اینجا  $\mathbf{I}_{(r)}$  یک ماتریس واحد  $r \times r$  و  $\mathbf{Q}_{(r \times n-r)}$  و  $\mathbf{x}_{(r)}$  مؤلفه  $r$  ام و  $\mathbf{p}_{(m-r \times 1)}$  ام زیر بردارهای بردار  $\mathbf{x}$

است. وقت کنید که بسته به مقادیر  $r$ ،  $m$  و  $n$ ، معادله می‌تواند شکل‌های مختلفی داشته باشد. به عنوان مثال، اگر  $r = n$  باشد، ماتریس‌های  $\mathbf{Q}_{(r \times n) \times (n-r)}$ ،  $\mathbf{0}_{(m-r) \times (n-r)}$  و بردار  $\mathbf{x}_{(n-r) \times 1}$  دیگر وجود نخواهد داشت. به طور مشابه، اگر  $r = m$  باشد، ماتریس‌های  $\mathbf{0}_{(m-r) \times (n-r)}$  و  $\mathbf{p}_{(m-r) \times 1}$  وجود نخواهد داشت. سیستم معادلات (B.33) فقط وقتی سازگار است که در معادله (B.36) بردار  $\mathbf{p} = \mathbf{0}$  باشد. باید به خاطر سپرد که برای هر جایه جایی ستونی که برای تولید معادله (B.36) مردنیاز باشد، مؤلفه مریبوطه  $\mathbf{x}$  نیز باید جایه جا شود.

وقتی سیستم سازگار است، اولین خط معادله (B.36) به ما معادله زیر را می‌دهد

$$\mathbf{I}_{(r)}\mathbf{x}_{(r)} + \mathbf{Q}\mathbf{x}_{(n-r)} = \mathbf{q} \quad (\text{B.37})$$

یا

$$\mathbf{x}_{(r)} = \mathbf{q} - \mathbf{Q}\mathbf{x}_{(n-r)} \quad (\text{B.38})$$

معادله (B.38)،  $r$  مؤلفه  $\mathbf{x}$  را بر حسب  $(n-r)$  مؤلفه باقی مانده می‌دهد. اگر سیستم سازگار باشد، معادله (B.38) بیان کننده جواب کلی سیستم معادلات  $\mathbf{Ax} = \mathbf{b}$  است. آخرین مؤلفه  $(n-r)$  از  $\mathbf{x}$  می‌تواند مقداری دلخواه داشته باشد، هر مقداری که به  $x_{n-r+1}, \dots, x_n$  نسبت دهیم یک جواب است. پس دستگاه معادلات بی نهایت جواب دارد. اگر  $r = n$  باشد جواب یگانه است. معادله (B.36) به عنوان شکل کانوونی سیستم معادلات  $\mathbf{Ax} = \mathbf{b}$  شناخته می‌شود. این شکل از معادلات در حل مسائل برنامه‌ریزی خطی فصل (۴) مفید است.

مثالهای زیر روش حذفی گوس-جردن را تشریح می‌کند.

**مثال B.7** جواب عمومی به وسیله کاهش گوس-جردن. جواب عمومی مجموعه معادلات زیر را باید

$$x_1 + x_2 + x_3 + 5x_4 = 6$$

$$x_1 + x_2 - 2x_3 - x_4 = 0$$

$$x_1 + x_2 - x_3 + x_4 = 2$$

حل.. ماتریس افزایش یافته مجموعه معادله‌های عبارت است از

$$\mathbf{A} \sim \left[ \begin{array}{cccc|c} x_1 & x_2 & x_3 & x_4 & \mathbf{b} \\ 1 & 1 & 1 & 5 & 6 \\ 1 & 1 & -2 & -1 & 0 \\ 1 & 1 & -1 & 1 & 2 \end{array} \right], \quad \mathbf{x} = \begin{bmatrix} x_1 \\ x_2 \\ x_3 \\ x_4 \end{bmatrix}$$

مراحل حذف زیر برای تبدیل سیستم به شکل کانونی به کار رفته اند :

1. سطر ۱ را از سطرهای ۲ و ۳ کم می کیم، با این کار درایه های زیر قطر اصلی در اولین ستون ( $a_{21}, a_{31}$ ) را صفر می کنیم، در حقیقت  $x_1$  را از معادله های ۲ و ۳ حذف کرده ایم، داریم

$$\mathbf{A} \sim \left[ \begin{array}{cccc|c} x_1 & x_2 & x_3 & x_4 & b \\ 1 & 1 & 1 & 5 & 6 \\ 0 & 0 & -3 & -6 & -6 \\ 0 & 0 & -2 & -4 & -4 \end{array} \right]$$

2. اکنون چون  $a_{22}$  صفر است نمی توانیم از این بیشتر جلو برویم و عمل حذف را دنبال کنیم. ما باید سطرهای استونها را جایه جا کنیم تا یک درایه غیر صفر در موقعیت  $a_{22}$  بیاوریم. می توانیم ستون ۳ یا ۴ را با ستون ۲ جایه جا کنیم تا یک درایه غیر صفر در موقعیت  $a_{22}$  جایگزین شود. (دقت کنید: ستون آخر هرگز نباید با ستون دیگری جایه جا شود، زیرا آن طرف راست سیستم  $\mathbf{Ax} = \mathbf{b}$  است و به متغیری مربوط نیست). با جایه جایی ستون ۲ با ۳ (عملیات ستون مقدماتی ۱) داریم

$$\mathbf{A} \sim \left[ \begin{array}{cccc|c} x_1 & x_3 & x_2 & x_4 & b \\ 1 & 1 & 1 & 5 & 6 \\ 0 & -3 & 0 & -6 & -6 \\ 0 & -2 & 0 & -4 & -4 \end{array} \right] \text{ و } \mathbf{x} = \begin{bmatrix} x_1 \\ x_3 \\ x_2 \\ x_4 \end{bmatrix}$$

3. توجه کنید که موقعیت متغیر  $x_2$  و  $x_3$  نیز در بردار  $\mathbf{x}$  جایه جا شده است.
4. اکنون، با تقسیم سطر ۲ به -۳ و ضرب آن در ۲ و جمع آن با سطر ۳ داریم

$$\mathbf{A} \sim \left[ \begin{array}{ccc|cc} x_1 & x_3 & x_2 & x_4 & b \\ 1 & 1 & 1 & 5 & 6 \\ 0 & 1 & 0 & 2 & 2 \\ 0 & 0 & 0 & 0 & 0 \end{array} \right] \quad (a)$$

5. پس درایه های زیر قطر اصلی در معادله (a) صفر هستند و فرآیند حذفی گوسی کامل شده است.

6. برای تبدیل معادلات به شکل کانونی معادله (B.36)، نیاز به انجام عمل حذف در بالای قطر اصلی نیز داریم (حذف گوس - جردن). با کم کردن سطر ۲ از سطر ۱ داریم

$$\mathbf{A} \sim \left[ \begin{array}{cccc|c} x_1 & x_3 & x_2 & x_4 & \mathbf{b} \\ 1 & 0 & 1 & 3 & 4 \\ 0 & 1 & 0 & 2 & 2 \\ 0 & 0 & 0 & 0 & 0 \end{array} \right] \quad (b)$$

۵. با استفاده از ماتریس معادله (b)، سیستم معادلات داده شده به شکل کانونی معادله (B.36) تبدیل می‌شود، مانند زیر

$$\left[ \begin{array}{cc|cc} 1 & 0 & 1 & 3 \\ 0 & 1 & 0 & 2 \\ \hline 0 & 0 & 0 & 0 \end{array} \right] \begin{bmatrix} x_1 \\ x_3 \\ x_2 \\ x_4 \end{bmatrix} = \begin{bmatrix} 4 \\ 2 \\ 0 \end{bmatrix}$$

با

$$\left[ \begin{array}{c|c} \mathbf{I}_{(2)} & \mathbf{Q}_{(2 \times 2)} \\ \hline \mathbf{0}_{(1 \times 2)} & \mathbf{0}_{(1 \times 2)} \end{array} \right] \begin{bmatrix} x_1 \\ x_3 \\ x_2 \\ x_4 \end{bmatrix} = \begin{bmatrix} \mathbf{q}_{(2 \times 1)} \\ \mathbf{p}_{(1 \times 1)} \end{bmatrix}$$

در حالی که

$$\mathbf{Q} = \begin{bmatrix} 1 & 3 \\ 0 & 2 \end{bmatrix}; \quad \mathbf{q} = \begin{bmatrix} 4 \\ 2 \end{bmatrix}; \quad \mathbf{p} = \mathbf{0}$$

$$\mathbf{x}_{(r)} = (x_1, x_3), \quad \mathbf{x}_{(n-r)} = (x_2, x_4)$$

۶. چون  $\mathbf{p} = \mathbf{0}$ ، دستگاه معادلات داده شده سازگار است (یعنی جواب دارد). حل عمومی آن، به شکل معادله (B.36) عبارت است از

$$\begin{bmatrix} x_1 \\ x_3 \end{bmatrix} = \begin{bmatrix} 4 \\ 2 \end{bmatrix} - \begin{bmatrix} 1 & 3 \\ 0 & 2 \end{bmatrix} \begin{bmatrix} x_2 \\ x_4 \end{bmatrix}$$

یا، بر حسب علایم گسترش یافته، جواب عمومی عبارت است از

$$\begin{aligned} x_1 &= 4 - x_2 - 3x_4 \\ x_3 &= 2 - 2x_4 \end{aligned} \quad (c)$$

۷. می‌توان دید که حل عمومی معادلات (c)،  $x_1, x_2, x_3$  را بر حسب  $x_2$  و  $x_4$  می‌دهد، یعنی  $x_1, x_2$  و  $x_3$  متغیرهای مستقل هستند و  $x_1, x_2, x_3$  متغیرهایی که به آنها وابسته‌اند. سیستم بی‌نهایت جواب دارد، زیرا هر مقداری که برای  $x_2$  و  $x_4$  مشخص کنیم جوابی را خواهد داد.

**B.5.2.1 جوابهای اصلی.** در جواب عمومی گذشته، می‌بینیم که  $x_1 = 0$  و  $x_2 = 0$  مقادیر اختیاری دارند و مربوط به آنها از معادله (c) محاسبه می‌شود. پس سیستم بی‌نهایت جواب دارد. جواب خصوصی که در برنامه ریزی خطی (LP) مورد علاقه است با قرار دادن  $\mathbf{Ax} = \mathbf{b}$  در حل عمومی معادله (B.38) به دست می‌آید. چنین جوابی را جواب اصلی دستگاه معادلات می‌نامند. برای مثال فعلی، یک جواب اصلی  $x_1 = 4$ ،  $x_2 = 0$ ،  $x_3 = 2$ ،  $x_4 = 0$  است که از معادله (c) با قرار دادن  $x_1 = 4$  به دست می‌آید.

دقت کنید که اگرچه معادلات (c) بی‌نهایت جواب برای دستگاه معادلات می‌دهد ولی جوابهای اصلی محدودند. برای مثال، جواب اصلی دیگر با قرار دادن  $x_1 = 0$ ،  $x_2 = 0$ ،  $x_3 = 0$  و  $x_4 = 0$  به دست می‌آید. این جواب عبارت است از  $x_1 = 0$ ،  $x_2 = 0$ ،  $x_3 = 0$  و  $x_4 = 1$ . این که تعداد جوابهای اصلی محدود است، در مسائل برنامه ریزی خطی که در فصل (4) بیان شده بسیار مهم است. دلیل آن این است که جواب بهین برای یک مسأله LP یکی از این جوابهای اصلی است.

#### مثال B.8 فرآیند کاهش گوس - جردن در شکل چدولی یک جواب عمومی برای دستگاه

معادله‌های زیر را با استفاده از شکل چدولی فرآیند کاهش گوس - جردن بیابید :

$$-x_1 + 2x_2 - 3x_3 + x_4 = -1$$

$$2x_1 + x_2 + x_3 - 2x_4 = 2$$

$$x_1 - x_2 + 2x_3 + x_4 = 3$$

$$x_1 + 3x_2 - 2x_3 - x_4 = 1$$

حل. توضیح چرخه‌های فرآیند کاهش گوس - جردن برای سیستم خطی در جدول ۱ آمده است. برای کاهش سیستم داده شده به شکل کانونی معادله (B.36) سه گام لازم است برداشته شود. دقت شود که در گام دوم، درایه  $a_{33}$  صفر است، لذا آن درایه نمی‌تواند به عنوان درایه لولا استفاده شود. بنابراین ما از درایه  $a_{34}$  به عنوان درایه لولا استفاده می‌کنیم و عملیات حذف را در ستون ۴ انجام می‌دهیم. این کار یعنی ما ستون ۳ را با ستون ۴ جایه‌جا کنیم (همچنان که در مثال 7.7 انجام دادیم).

اگر نتایج را از سومین گام جدول ۱ به شکل معادله (B.36) بنویسیم، داریم

$$\left[ \begin{array}{cccc|c} x_1 & x_2 & x_3 & x_4 & \\ \hline 1 & 0 & 0 & 1 & 1 \\ 0 & 1 & 0 & -1 & -1 \\ 0 & 0 & 1 & 0 & 0 \\ 0 & 0 & 0 & 0 & 0 \end{array} \right] \left[ \begin{array}{c} x_1 \\ x_2 \\ x_3 \\ x_4 \\ \hline \end{array} \right] = \left[ \begin{array}{c} 2 \\ 0 \\ 1 \\ 0 \end{array} \right]$$

جدول A. حل عمومی دستگاه معادلات خطی مثال B.8 باروش حدفی گوس - جردن

گام	$x_1$	$x_2$	$x_3$	$x_4$	b	
اولیه	-1	2	-3	1	-1	سطر ۱ را برابر ۱ تقسیم کرده و از آن برای حذف در ستون ۳ استفاده کنید، به عنوان مثال سطر جدید ۱ را در ۲ ضرب کرده و از سطر ۲ کم کنید، وغیره
	2	1	1	-2	2	
	1	-1	2	1	3	
	1	3	-2	-1	1	
اولین گام	1	-2	3	-1	1	سطر ۲ را برابر ۵ تقسیم کرده و در ستون ۲ حذف را النجام دهید
	0	5	-5	0	0	
	0	1	-1	2	2	
	0	5	-5	0	0	
دومین گام	1	0	1	-1	1	سطر ۳ را برابر ۲ تقسیم کرده و در ستون ۴ حذف را النجام دهید
	0	1	-1	0	0	
	0	0	0	2	2	
	0	0	0	0	0	
سومین گام	1	0	1	0	2	شکل کاتونی باستونهای $x_1$ ، $x_2$ و $x_4$ که حاوی ماتریس واحد است
	0	1	-1	0	0	
	0	0	0	1	1	
	0	0	0	0	0	

چون آخرین معادله  $0 = 0$  را می‌دهد، سیستم معادلات داده شده سازگار است (یعنی جواب دارد). همچنین، چون رتبه ماتریس ضرایب ۳ است که از تعداد معادلات کمتر است، بی‌نهایت جواب برای سیستم خطی موجود است. از معادله قبلی جواب عمومی عبارت است از

$$x_1 = 2 - x_3$$

$$x_2 = 0 + x_3$$

$$x_4 = 1$$

یک جواب اصلی با صفر قرار دادن  $x_3$  به دست می‌آید که عبارت است از  $x_1 = 2$ ،  $x_2 = 0$ ،

$$x_4 = 1$$

در جمع بندی نتایج این بخش توجه می‌کنیم که

۱. دستگاه معادلات  $m \times n$ ، (B.33) سازگار است اگر رتبه ماتریس ضرایب مانند رتبه ماتریس افزایش یافته باشد. یک سیستم سازگار یعنی این که دارای جواب است.

۲. اگر تعداد معادلات کمتر از تعداد متغیرها ( $m < n$ ) و سیستم سازگار باشد، داشتن رتبه کمتر یا مساوی  $m \leq r$ ، آن گاه دستگاه بی نهایت جواب دارد.
۳. اگر  $r = m = n$  باشد، آن گاه سیستم (B.33) جواب یگانه دارد.

## B.6 مفاهیم مربوط به مجموعه بردارها

در کاربردهای مختلف به مجموعه‌ای از بردارها بخورد می‌کنیم. بحث در مورد بعضی مفاهیم مربوط به این مجموعه‌ها، مانند استقلال خطی بردارها، و فضاهای بردار مفید است. در این بخش، این مفاهیم را به طور خلاصه بحث کرده و روشی را برای بررسی استقلال خطی یک مجموعه بردار شرح می‌دهیم.

### B.6.1 استقلال خطی یک مجموعه از بردارها

یک مجموعه برداری  $\{a\}$  را که هر یک  $a$  بعدی هستند در نظر بگیرید:

$$A = \{a^{(1)}, a^{(2)}, \dots, a^{(k)}\}$$

در حالی که اندیس بالای ( $i$ ) نشان دهنده  $\neq$  امین بردار است. یک ترکیب خطی از بردارهای در مجموعه  $A$  بردار دیگری است که با مقیاس بندی هر بردار در  $A$  و جمع کردن آنها به دست می‌آید: در اصل، اگر  $b$  یک ترکیب خطی از یک بردار در  $A$  باشد، آن گاه به شکل زیر تعریف می‌شود

$$b = x_1 a^{(1)} + x_2 a^{(2)} + \dots + x_k a^{(k)} = \sum_{i=1}^k x_i a^{(i)} \quad (\text{B.39a})$$

در حالی که  $x_1, x_2, \dots, x_k$  اعداد اسکالر هستند. معادله قبلی را می‌توان دقیقاً به شکل ماتریسی نوشت

$$b = Ax \quad (\text{B.39b})$$

که در آن  $x$  یک بردار  $k$  مؤلفه‌ای و  $A$  یک ماتریس  $k \times n$  با بردارهای  $a^{(i)}$  به عنوان ستونهای آن است. برای تشخیص استقلال خطی یا وابسته خطی بودن مجموعه بردارها، مجموعه ترکیب خطی معادله (B.39) را مساوی صفر قرار می‌دهیم.

$$x_1 a^{(1)} + x_2 a^{(2)} + \dots + x_k a^{(k)} = 0; \quad \text{با} \quad Ax = 0 \quad (\text{B.40})$$

این یک دستگاه معادله همگن با  $x_i$  ها به عنوان مجهول را می دهد.  $n$  معادله و  $k$  مجهول وجود دارد. وقت کنید  $\mathbf{x} = \mathbf{0}$  معادله (B.40) را برآورده می کند. اگر  $\mathbf{x} = \mathbf{0}$  تنها جواب باشد آن گاه مجموعه بردارها به طور خطی مستقلند. در این حالت رتبه ماتریس  $\mathbf{A}$  باید مساوی  $k$  (تعداد بردارها در مجموعه) باشد. اگر یک مجموعه از اعداد اسکالار  $x_i$  که تمامی آنها صفر نباشند و در معادله (B.40) صدق کنند، آن گاه بردارهای  $\mathbf{a}^{(1)}, \mathbf{a}^{(2)}, \dots, \mathbf{a}^{(k)}$  را به طور خطی وابسته می گویند. در این حالت  $i$  رتبه  $\mathbf{A}$  کمتر از  $k$  است.

اگر مجموعه ای از بردارها به طور خطی وابسته باشند، آن گاه یک یا چند تای آنها با هم موازی اند، یا دست کم یک بردار وجود دارد که می تواند بر حسب ترکیب خطی دیگر بردارها بیان شود. یعنی، حداقل یکی از اعداد اسکالار  $x_1, x_2, \dots, x_k$  باید غیر صفر باشد. اگر فرض کنیم  $x_i$  غیر صفر باشد، آن گاه معادله (B.40) را می توان به شکل زیر نوشت:

$$\begin{aligned} -x_j \mathbf{a}^{(j)} &= x_1 \mathbf{a}^{(1)} + x_2 \mathbf{a}^{(2)} + \dots + x_{j-1} \mathbf{a}^{(j-1)} + x_{j+1} \mathbf{a}^{(j+1)} \\ &\quad + \dots + x_k \mathbf{a}^{(k)} = \sum_{i=1}^k x_i \mathbf{a}^{(i)}; \quad i \neq j \end{aligned}$$

یا، چون  $0 \neq x_i$ ، می توانیم طرفین را برآن تقسیم کرده و عبارت زیر را به دست آوریم

$$\mathbf{a}^{(j)} = -\sum_{i=1}^k (x_i/x_j) \mathbf{a}^{(i)}; \quad i \neq j \quad (\text{B.41})$$

در معادله (B.41)، ماتریس  $\mathbf{a}$  را بر حسب یک ترکیب خطی از  $\mathbf{a}^{(1)}, \mathbf{a}^{(2)}, \dots, \mathbf{a}^{(k)}$  بیان کرده ایم. به طور کلی، می بینیم که اگر یک مجموعه از بردارها به طور خطی وابسته باشند، آن گاه دست کم یکی از آنها را می توان به عنوان ترکیب خطی بقیه نوشت.

**مثال B.9 آزمون استقلال خطی بردارها**: استقلال خطی مجموعه برداری زیر را بررسی کنید.

$$(i) \quad \mathbf{a}^{(1)} = \begin{bmatrix} 2 \\ 5 \\ 2 \\ -1 \end{bmatrix}, \quad \mathbf{a}^{(2)} = \begin{bmatrix} 3 \\ 2 \\ 1 \\ 0 \end{bmatrix}, \quad \mathbf{a}^{(3)} = \begin{bmatrix} 8 \\ 9 \\ 4 \\ -1 \end{bmatrix}$$

$$(ii) \quad \mathbf{a}^{(1)} = \begin{bmatrix} 2 \\ 6 \\ 2 \\ -2 \end{bmatrix}, \quad \mathbf{a}^{(2)} = \begin{bmatrix} 4 \\ 3 \\ 2 \\ 0 \end{bmatrix}, \quad \mathbf{a}^{(3)} = \begin{bmatrix} 6 \\ 9 \\ 4 \\ 1 \end{bmatrix}$$

حل. برای بررسی استقلال خطی، ترکیب خطی معادله (B.39) را تشکیل می‌دهیم و آن را مساوی صفر قرار می‌دهیم، مانند معادله (B.40). دستگاه معادلات همگن برای به دست آوردن اعداد اسکالر  $x_i$  حل می‌شوند. اگر تمامی اعداد اسکالر صفر باشند، آن‌گاه مجموعه بردارهای داده شده به طور خطی مستقلند؛ در غیر این صورت وابسته‌اند.

بردارهای مجموعه (i) به طور خطی وابسته‌اند، چون  $x_1 = 2$ ،  $x_2 = -1$  و  $x_3 = -1$  به ترکیب خطی معادله (B.40) مقدار صفر می‌دهد، یعنی

$$\mathbf{a}^{(1)} + 2\mathbf{a}^{(2)} - \mathbf{a}^{(3)} = \mathbf{0}$$

همچنین می‌توان بررسی کرد و دید رتبه ماتریس زیر که ستونهای آن بردارهای داده شده هستند فقط ۲ است؛ پس مجموعه بردارها از نظر خطی وابسته‌اند:

$$\mathbf{A} = \begin{bmatrix} 2 & 3 & 8 \\ 5 & 2 & 9 \\ 2 & 1 & 4 \\ -1 & 0 & -1 \end{bmatrix}$$

برای مجموعه (ii)، باید یک ترکیب خطی از بردارهای داده شده تشکیل و آن را مساوی صفر قرار دهیم:

$$x_1\mathbf{a}^{(1)} + x_2\mathbf{a}^{(2)} + x_3\mathbf{a}^{(3)} = \mathbf{0} \quad (a)$$

این معادله‌ای برداری است که وقتی به شکل تعمیم یافته نوشته شود دستگاه زیر را می‌دهد:

$$2x_1 + 4x_2 + 6x_3 = 0 \quad (b)$$

$$6x_1 + 3x_2 + 9x_3 = 0 \quad (c)$$

$$2x_1 + 2x_2 + 4x_3 = 0 \quad (d)$$

$$-2x_1 + x_3 = 0 \quad (e)$$

به روش حذفی دستگاه معادلات قبلی را حل می‌کنیم.

از معادله (e)، داریم  $x_3 = 2x_1$ . معادله‌های (b) تا (d) به شکل زیر در می‌آیند

$$14x_1 + 4x_2 = 0 \quad (f)$$

$$24x_1 + 3x_2 = 0 \quad (g)$$

$$10x_1 + 2x_2 = 0 \quad (h)$$

از معادله (h) ، داریم  $-5x_1 = x_2$ . با جای گزینی این نتیجه در معادله های (f) و (g) داریم

$$14x_1 + 4(-5x_1) = -6x_1 = 0 \quad (i)$$

$$24x_1 + 3(-5x_1) = 9x_1 = 0 \quad (j)$$

معادله های (i) و (j) ایجاب می کند که  $x_1 = 0$  ،  $x_2 = -5x_1 = 0$  بنا بر این ،

پس ، تنها جواب معادله (a) جواب بدیهی  $x_1 = x_2 = x_3 = 0$  است . بنا بر این بردارهای

$a^{(1)}$  ،  $a^{(2)}$  و  $a^{(3)}$  به طور خطی مستقلند .

معادله (B.40) ممکن است به عنوان مجموعه ای از  $n$  معادله همزمان  $k$  مجهولی در نظر گرفته شود . برای دیدن این ،  $k$  بردار را به شکل زیر تعریف می کنیم

$$a^{(1)} = \begin{bmatrix} a_{11} \\ a_{21} \\ a_{31} \\ \vdots \\ \vdots \\ a_{n1} \end{bmatrix}, a^{(2)} = \begin{bmatrix} a_{12} \\ a_{22} \\ a_{32} \\ \vdots \\ \vdots \\ a_{n2} \end{bmatrix}, \dots, a^{(k)} = \begin{bmatrix} a_{1k} \\ a_{2k} \\ a_{3k} \\ \vdots \\ \vdots \\ a_{nk} \end{bmatrix}, x = \begin{bmatrix} x_1 \\ x_2 \\ \vdots \\ \vdots \\ x_k \end{bmatrix}$$

همچنین ، فرض کنید  $[a^{(1)}, a^{(2)}, \dots, a^{(k)}] = A_{n \times k}$  ، یعنی  $A$  ماتریسی است که  $n$  امین ستون آن امین بردار  $a^{(k)}$  است . آن گاه معادله (B.40) می تواند به شکل زیر نوشته شود

$$Ax = 0 \quad (B.42)$$

نتیجه بخش 5.5 نشان می دهد که یک جواب یگانه برای معادله (B.42) وجود دارد اگر و تنها اگر  $r = k < n$  ، تعداد ستونهای  $A$  باشد . در آن حالت ، جواب یگانه عبارت است از  $x = 0$  . بنا بر این ، بردارهای  $a^{(1)}, a^{(2)}, \dots, a^{(k)}$  به طور خطی مستقلند اگر و تنها اگر رتبه ماتریس  $A$  ،  $k$  تعداد بردارهای مجموعه باشد .

دقت کنید اگر  $k > n$  باشد ، آن گاه رتبه  $A$  نمی تواند از  $n$  بیشتر باشد . بنا بر این ، اگر

$k > n$  باشد،  $a^{(1)}, a^{(2)}, \dots, a^{(k)}$  همیشه به طور خطی وابسته است. پس، بیشترین تعداد از بردارهای "مؤلفه‌ای" که به طور خطی وابسته باشند  $n$  است. هر مجموعه  $(A)$  برداری همیشه به طور خطی وابسته است. اگر مجموعه ای از بردارهای " $A$ " مؤلفه‌ای) به طور خطی مستقل  $a^{(1)}, a^{(2)}, \dots, a^{(n)}$  داده شود، هر بردار  $(A)$  مؤلفه‌ای) دیگر  $b$  می‌تواند بر حسب ترکیب خطی یگانه‌ای از این بردارها بیان شود. مسئله عبارت است از انتخاب مجموعه ای از اعداد اسکالر  $x_1, x_2, \dots, x_n$  به طوری که

$$x_1 a^{(1)} + x_2 a^{(2)} + \dots + x_n a^{(n)} = b; \quad \text{با} \quad Ax = b \quad (B.43)$$

ما می‌خواهیم نشان دهیم که برای معادله (B.43) جوابی وجود دارد و آن جواب یگانه است. دقت کنید که  $a^{(1)}, a^{(2)}, \dots, a^{(n)}$  به طور خطی مستقلند. بنابراین رتبه ماتریس ضرایب  $A$ ،  $n$  است، و رتبه ماتریس افزایش یافته  $(A, b)$  نیز  $n$  است. رتبه ماتریس افزایش یافته نمی‌تواند  $(n+1)$  باشد، زیرا ماتریس فقط  $n$  سطر دارد. پس، معادله (B.43) همیشه برای هر  $b$  داده شده یک جواب دارد. به علاوه،  $A$  غیرمنفرد است، پس جواب یگانه است.

به طور خلاصه، نکات زیر را برای هر مجموعه  $k$  برداری که هر کدام "مؤلفه" دارند

بیان می‌کنیم:

۱. اگر  $n > k$  باشد، مجموعه بردارها همیشه به طور خطی وابسته‌اند، به عنوان مثال سه برداری که هر کدام دو مؤلفه دارند. یعنی تعداد بردارهایی که به طور خطی مستقلند همیشه کمتر یا مساوی  $n$  است، به عنوان مثال، برای بردارهای دو مؤلفه‌ای، حداقل دو بردار خطی مستقل وجود دارد.

۲. اگر "بردار خطی مستقل" بعدی وجود داشته باشد، آن‌گاه هر بردار "مؤلفه‌ای" می‌تواند به عنوان ترکیب خطی یگانه‌ای از آنها بیان شود، به عنوان مثال، اگر دو بردار خطی مستقل  $a^{(1)} = (1, 0)$  و  $a^{(2)} = (0, 1)$  دو بعدی داده شود، هر بردار مثل  $(b_1, b_2) = b$  می‌تواند به عنوان ترکیب خطی یگانه‌ای از  $a^{(1)}$  و  $a^{(2)}$  بیان شود.

۳. استقلال خطی هر مجموعه بردار می‌تواند به دو روش مشخص شود:

- (i) ماتریس  $A$  را به ابعاد  $k \times n$  تشکیل دهید که ستونهایش بردارهای داده شده باشند. آن‌گاه، اگر رتبه  $A$  مساوی  $k$  باشد، مجموعه داده شده به طور خطی مستقلند؛ در غیر این صورت وابسته است.

(ii) ترکیب خطی بردارهای داده شده را مساوی صفر قرار دهید، یعنی  $\mathbf{0} = \mathbf{Ax}$ . اگر  $\mathbf{x} = \mathbf{0}$  تنها جواب سیستم حاصل باشد، آن گاه مجموعه مستقل است؛ در غیر این صورت وابسته است.

## فضاهای برداری B.6.2

قبل از تعریف مفهوم یک فضای برداری، لازم است بستانار جمع<sup>۱</sup> و بستانار ضرب اسکالار را تعریف کنیم:

تعریف: بستانار جمع: یک مجموعه بردار را از نظر جمع بسته می‌گویند اگر جمع هر دو بردار مجموعه نیز در مجموعه باشد.

تعریف: بستانار ضرب اسکالار: یک مجموعه بردار را از نظر ضرب اسکالار بسته می‌گویند اگر ضرب هر بردار با یک عدد اسکالار یک بردار از مجموعه را بدهد.

تعریف: فضای برداری: یک مجموعه غیرتنهی  $S$  از عناصر (بردارهای) ...  $x, y, z, \dots$  فضای برداری نامیده می‌شود اگر دو عمل جبری (جمع بردار و ضرب در یک عدد اسکالار حقیقی) روی آنها خواص زیر را بآورده کند:

۱. بستانار جمع: اگر  $x \in S$  و  $y \in S$  آن گاه  $x + y \in S$ .

۲. جایه‌جایی در جمع:  $x + y = y + x$

۳. شرکت پذیری در جمع:  $(x + y) + z = x + (y + z)$

۴. همانندی<sup>۲</sup> در جمع: یک بردار صفر  $\mathbf{0}$  در مجموعه  $S$  وجود دارد طوری که برای همه  $x$  ها  $x + \mathbf{0} = x$

۵. عکس در جمع: یک  $-x$  در مجموعه  $S$  وجود دارد طوری که برای همه  $x$  ها  $x + (-x) = \mathbf{0}$

۶. بستانار ضرب اسکالار: برای اعداد اسکالار حقیقی  $\alpha, \beta, \dots$ ، اگر  $x \in S$ .

۷. توزیعی:  $(\alpha + \beta)x = \alpha x + \beta x$

۸. توزیعی:  $\alpha(x + y) = \alpha x + \alpha y$

۹. شرکت پذیری در ضرب اسکالار:  $(\alpha\beta)x = \alpha(\beta x)$

۱۰. همانندی در ضرب اسکالر:  $x = \alpha x$ .

در بخش گذشته، به این نکته توجه داده شد که در یک مجموعه که همه بردارهای آن در مؤلفه ای هستند، ماکزیمم تعداد بردارهای به طور خطی مستقل // است. پس، برای هر زیرمجموعه از این مجموعه، یک تعداد ماکزیمم از بردارهای به طور خطی مستقل وجود دارد. به ویژه، هر فضای برداری تعداد ماکزیممی از بردارهای به طور خطی مستقل دارد. این عدد بعد فضای برداری نامیده می شود. اگر یک فضای بردار بعد  $k$  داشته باشد، آن گاه هر مجموعه از  $k$  بردار به طور خطی مستقل در فضای برداری یک پایه برای فضای برداری نامیده می شود. هر بردار دیگری در فضای برداری می تواند به عنوان یک ترکیب خطی یگانه از مجموعه بردارهای پایه داده شده بیان شود.

**مثال 10. آزمون برای فضای بوداری.** بررسی کنید که آیا مجموعه  $S = \{(x_1, x_2, x_3) | x_1 = 0\}$  یک فضای برداری است.

حل. برای این بررسی دو بردار در  $S$  در نظر می گیریم

$$\mathbf{x} = \begin{bmatrix} 0 \\ a \\ b \end{bmatrix} \quad \text{و} \quad \mathbf{y} = \begin{bmatrix} 0 \\ c \\ d \end{bmatrix}$$

در حالی که اسکالرهای  $a$ ،  $b$ ،  $c$  و  $d$  کاملاً اختیاری هستند. آن گاه،

$$\mathbf{x} + \mathbf{y} = \begin{bmatrix} 0 \\ a+c \\ b+d \end{bmatrix}$$

بنابراین  $\mathbf{u} + \mathbf{x}$  در مجموعه  $S$  است. همچنین، برای هر اسکالر  $\alpha$

$$\alpha \mathbf{x} = \begin{bmatrix} 0 \\ \alpha a \\ \alpha b \end{bmatrix}$$

بنابراین  $\alpha \mathbf{x}$  در مجموعه  $S$  است. پس  $S$  از نظر جمع و ضرب اسکالر بسته است. تمامی خواص دیگر تعريف یک فضای برداری به سادگی می تواند اثبات شود. برای نشان دادن خاصیت (۲)، داریم

$$\mathbf{x} + \mathbf{y} = \begin{bmatrix} 0 \\ a+c \\ b+d \end{bmatrix} = \begin{bmatrix} 0 \\ c+a \\ d+b \end{bmatrix} = \begin{bmatrix} 0 \\ c \\ d \end{bmatrix} + \begin{bmatrix} 0 \\ a \\ b \end{bmatrix} = \mathbf{y} + \mathbf{x}$$

«شرکت پذیری در جمع» به شکل زیر نشان داده می شود

$$\begin{aligned} (\mathbf{x} + \mathbf{y}) + \mathbf{z} &= \begin{bmatrix} 0 \\ a+c \\ b+d \end{bmatrix} + \begin{bmatrix} 0 \\ e \\ f \end{bmatrix} = \begin{bmatrix} 0 \\ a+c+e \\ b+d+f \end{bmatrix} \\ &= \begin{bmatrix} 0 \\ a \\ b \end{bmatrix} + \begin{bmatrix} 0 \\ c+e \\ d+f \end{bmatrix} = \mathbf{x} + (\mathbf{y} + \mathbf{z}). \end{aligned}$$

برای همانندی در جمع ما یک بردار صفر در مجموعه  $S$  داریم، مانند

$$\mathbf{0} = \begin{bmatrix} 0 \\ 0 \\ 0 \end{bmatrix}$$

طوری که

$$\mathbf{x} + \mathbf{0} = \begin{bmatrix} 0 \\ a+0 \\ b+0 \end{bmatrix} = \begin{bmatrix} 0 \\ a \\ b \end{bmatrix} = \mathbf{x}$$

اگر  $\mathbf{x}$  را به شکل زیر تعریف کنیم، در جمع وارون وجود دارد

$$-\mathbf{x} = -\begin{bmatrix} 0 \\ a \\ b \end{bmatrix} = \begin{bmatrix} 0 \\ -a \\ -b \end{bmatrix}$$

طوری که

$$\mathbf{x} + (-\mathbf{x}) = \begin{bmatrix} 0 \\ a + (-a) \\ b + (-b) \end{bmatrix} = \begin{bmatrix} 0 \\ 0 \\ 0 \end{bmatrix} = \mathbf{0}$$

به روش مشابه، خواص ۷ تا ۱۰ می توانند به راحتی نشان داده شوند.

بنابراین، مجموعه  $S$  یک فضای برداری است. دقت کنید که مجموعه

### پیوست B - جبر برداری و ماتریسی

$V = \{(x_1, x_2, x_3) | x_1 = 1\}$  یک فضای برداری نیست.

اگنون بیاییم بعد  $S$  را تعیین کنیم. وقت کنید اگر  $A$  ماتریسی باشد که ستونهاش بردارهایی در  $S$  باشند، آن گاه  $A$  سه سطر دارد و اوّلین سطر فقط صفرها هستند. پس، رتبه  $A$  باید کمتر یا مساوی ۲ باشد و بعد  $S$  یا ۱ یا ۲ است. برای این که نشان دهیم رتبه  $A$  در حقیقت ۲ است، ما فقط نیاز به یافتن دو بردار به طور خطی مستقل داریم. در زیر سه تا از چنین مجموعه‌هایی که دو بردار به طور خطی مستقل دارند از مجموعه  $S$  آمده است: رتبه

$$(i) \quad \mathbf{a}^{(1)} = \begin{bmatrix} 0 \\ 1 \\ 0 \end{bmatrix}, \quad \mathbf{a}^{(2)} = \begin{bmatrix} 0 \\ 0 \\ 1 \end{bmatrix}$$

$$(ii) \quad \mathbf{a}^{(3)} = \begin{bmatrix} 0 \\ 2 \\ 1 \end{bmatrix}, \quad \mathbf{a}^{(4)} = \begin{bmatrix} 0 \\ 0 \\ 1 \end{bmatrix}$$

$$(iii) \quad \mathbf{a}^{(5)} = \begin{bmatrix} 0 \\ 1 \\ 1 \end{bmatrix}, \quad \mathbf{a}^{(6)} = \begin{bmatrix} 0 \\ 1 \\ -1 \end{bmatrix}$$

هر کدام از این سه مجموعه یک پایه برای  $S$  است. هر برداری در  $S$  می‌تواند به عنوان ترکیب خطی از هر یک از این سه مجموعه بیان شود. اگر  $x = (0, c, d)$  یک عنصر از  $S$  باشد، آن گاه

$$\begin{bmatrix} 0 \\ c \\ d \end{bmatrix} = c \begin{bmatrix} 0 \\ 1 \\ 0 \end{bmatrix} + d \begin{bmatrix} 0 \\ 0 \\ 1 \end{bmatrix}$$

$$(ii) \quad x = \frac{c}{2} \mathbf{a}^{(3)} + \left(c - \frac{d}{2}\right) \mathbf{a}^{(4)}$$

$$\begin{bmatrix} 0 \\ c \\ d \end{bmatrix} = (c/2) \begin{bmatrix} 0 \\ 2 \\ 1 \end{bmatrix} + (c - d/2) \begin{bmatrix} 0 \\ 0 \\ 1 \end{bmatrix}$$

$$(iii) \quad x = \frac{(c+d)}{2} \mathbf{a}^{(5)} + \left(\frac{c-d}{2}\right) \mathbf{a}^{(6)}$$

$$\begin{bmatrix} 0 \\ c \\ d \end{bmatrix} = (c+d)/2 \begin{bmatrix} 0 \\ 1 \\ 1 \end{bmatrix} + (c-d)/2 \begin{bmatrix} 0 \\ 1 \\ -1 \end{bmatrix}$$

### B.7 مقادیر ویژه و بردارهای ویژه

برای یک ماتریس  $n \times n$ ,  $A$ , هر بردار غیر صفری که رابطه زیر را برآورده کند

$$Ax = \lambda x \quad (B.44)$$

در حالی که  $\lambda$  یک ضریب اسکالر است، یک بردار ویژه (بردار مشخصه یا مناسب) نامیده می شود. عدد اسکالار  $\lambda$  مقدار ویژه (مقدار مشخصه یا مناسب) نامیده می شود. چون  $x \neq 0$  است، از معادله (B.44) می بینیم که  $\lambda$  به عنوان ریشه های معادله مشخصه زیر خواهد بود

$$\|A - \lambda I\| = 0 \quad (B.45)$$

معادله (B.45) یک چندجمله ای از درجه  $n$  ام بر حسب  $\lambda$  می دهد. ریشه های این چندجمله ای مقادیر ویژه مورد نیاز هستند. بعد از این که مقادیر ویژه مشخص شدند، بردارهای ویژه می توانند از معادله (B.44) به دست آید.

ماتریس ضرایب  $A$  ممکن است متقارن یا نامتقارن باشد. برای بسیاری از کاربردها،  $A$  یک ماتریس متقارن است، لذا ما این حالت را در این کتاب مورد توجه قرار می دهیم. بعضی از خواص مقادیر ویژه و بردارهای ویژه عبارتند از:

۱. مقادیر ویژه و بردارهای ویژه یک ماتریس حقیقی متقارن، حقیقی هستند. برای ماتریسهای غیرمتقارن حقیقی ممکن است مختلط باشند.

۲. بردارهای ویژه مربوط به مقادیر ویژه متفاوت ماتریسهای متقارن حقیقی بر یکدیگر عمودند (یعنی، ضرب نقطه ای آنها صفر است).

**مثال B.11** محاسبه مقادیر ویژه و بردارهای ویژه. مقادیر ویژه و بردارهای ویژه ماتریس زیر را بایابد.

$$A = \begin{bmatrix} 2 & 1 \\ 1 & 2 \end{bmatrix}$$

حل. مقدار ویژه مسئله به شکل زیر تعریف می شود

$$\begin{bmatrix} 2 & 1 \\ 1 & 2 \end{bmatrix} \begin{bmatrix} x_1 \\ x_2 \end{bmatrix} = \lambda \begin{bmatrix} x_1 \\ x_2 \end{bmatrix}$$

چندجمله ای مشخصه از  $\|A - \lambda I\| = 0$  به دست می آید

$$\begin{vmatrix} 2-\lambda & 1 \\ 1 & 2-\lambda \end{vmatrix} = 0$$

یا

$$\lambda^2 - 4\lambda + 3 = 0$$

ریشه‌های این چندجمله‌ای عبارتند از :

$$\lambda_1 = 3, \lambda_2 = 1$$

بنابراین، مقادیر ویژه ۳ و ۱ هستند.

برادرهای ویژه از معادله (B.44) به دست می‌آیند. برای  $\lambda_1 = 3$  ، معادله

(B.44) به شکل زیر خواهد بود

$$\begin{bmatrix} (2-3) & 1 \\ 1 & (2-3) \end{bmatrix} \begin{bmatrix} x_1 \\ x_2 \end{bmatrix} = \begin{bmatrix} 0 \\ 0 \end{bmatrix}$$

یا  $x_1 = x_2$  . بنابراین، یک جواب معادله فوق عبارت است از (۱.۱) . بعد از نرمال‌سازی، دومین بردار ویژه عبارت است از

$$x^{(1)} = (1/\sqrt{2}) \begin{bmatrix} 1 \\ 1 \end{bmatrix}$$

برای  $\lambda_2 = 1$  ، معادله (B.44) عبارت است از

$$\begin{bmatrix} (2-1) & 1 \\ 1 & (2-1) \end{bmatrix} \begin{bmatrix} x_1 \\ x_2 \end{bmatrix} = \begin{bmatrix} 0 \\ 0 \end{bmatrix}$$

یا  $x_1 = -x_2$  . بنابراین، یک جواب معادله فوق عبارت است از (۱.-۱) . بعد از نرمال‌سازی، دومین بردار ویژه عبارت است از

$$x^{(2)} = (1/\sqrt{2}) \begin{bmatrix} 1 \\ -1 \end{bmatrix}$$

می‌توان نشان داد  $x^{(1)}$  و  $x^{(2)}$  صفر است، یعنی  $x^{(1)}$  و  $x^{(2)}$  برهم عمودند.

## B.8 نرم و عدد شرطی یک ماتریس

### B.8.1 نرم بردارها و ماتریسها

هر بردار  $\|x\|$  بعدی  $x$  ، یک تابع با مقدار اسکالر مربوط به خود دارد که با  $\|x\|$  نشان دادهمی‌شود و اگر سه شرط زیر را برآورده کند آن را یک نرم  $x$  می‌نامند:۱ .  $0 < \|x\| \neq 0$  برای  $x \neq 0$  و  $0 = \|x\|$  فقط وقتی که  $x = 0$  است.۲ .  $\|x+y\| \leq \|x\| + \|y\|$  (نامعادله مثلث).

۳.  $\|ax\| = |a|\|x\|$  در حالی که  $a$  یک عدد اسکالر است.

طول معمولی یک بردار برای  $3 \leq n$  سه شرط گذشته را براورده می‌کند. بنابراین مفهوم نرم عمومیت دادن طول یک بردار در فضای یک، دو و سه بعدی اقلیدسی است. به عنوان مثال، می‌تواند نشان داده شود که فاصله اقلیدسی در فضای  $n$  بعدی عبارت است از

$$\|x\| = \sqrt{x^T x} = \sqrt{x \cdot x} \quad (\text{B.46})$$

که سه شرط نرم را براورده می‌کند و بنابراین یک نرم است.

هر ماتریس  $n \times n$ ، یک تابع اسکالار مربوط به خود دارد که نرم آن است. نرم با  $\|A\|$  نشان داده می‌شود و از رابطه زیر محاسبه می‌شود

$$\|A\| = \max_{x \neq 0} \frac{\|Ax\|}{\|x\|} \quad (\text{B.47})$$

دقت کنید چون  $Ax$  یک بردار است، معادله (B.47) می‌گوید که نرم  $A$  بردار  $x$  است که نسبت  $\|Ax\|/\|x\|$  را ماکریزم می‌کند. سه شرط نرم می‌تواند به راحتی برای معادله (B.47) نشان داده شود، مانند زیر

۱.  $0 < \|A\|$  مگر آن که ماتریس صفر باشد که در آن حالت نرم صفر است.

۲.  $\|A + B\| \leq \|A\| + \|B\|$

۳.  $\|aA\| = |a|\|A\|$  در حالی که  $a$  یک عدد اسکالر است.

نرم‌های بردار دیگری نیز می‌تواند تعریف شود. برای مثال، نرم جمع یا نرم ماکریزم (که «نرم  $\infty$ » نامیده می‌شود) به شکل زیر تعریف می‌شود

$$\|x\| = \sum_{i=1}^n |x_i|, \quad \text{با} \quad \|x\| = \max_{1 \leq i \leq n} |x_i| \quad (\text{B.48})$$

آنها نیز سه شرط نرم بردار  $x$  را براورده می‌کنند.

اگر  $\lambda^2$  بزرگترین مقدار ویژه  $A^T A$  باشد، آن گاه با استفاده از معادله (B.47) می‌توان نشان داد که نرم  $A$  به شکل زیر تعریف می‌شود

$$\|A\| = \lambda_1 > 0$$

به طور مشابه اگر  $\lambda_{\min}^2 \ll \lambda_{\max}^2$  کوچکترین مقدار ویژه  $A^T A$  باشد، آن‌گاه نرم  $A^{-1}$  به شکل زیر تعریف می‌شود

$$\|A^{-1}\| = \lambda_n > 0$$

### B.8.2 عدد شرطی یک ماتریس

عدد شرطی عدد اسکالر دیگری است که مربوط به یک ماتریس  $n \times n$  می‌شود. پنداره عدد شرطی در حل دستگاه معادله‌های خطی  $Ax = b$  مفید است. اغلب یک عدم اطمینانی در درایه‌های ماتریس ضرایب  $A$  یا در بردار طرف راست  $b$  وجود دارد. آن‌گاه سؤال این است که بردار جواب  $x$  نسبت به تغییرات کوچک در  $A$  و  $b$  چگونه تغییر می‌یابد؟ جواب این سؤال در عدد شرطی ماتریس  $A$  است.

می‌توان نشان داد که عدد شرطی ماتریس  $n \times n$ ،  $\text{cond}(A)$  که با  $\text{cond}(A) = \lambda_1 / \lambda_n$  نشان داده می‌شود

عبارت است از

$$\text{cond}(A) = \lambda_1 / \lambda_n \geq 0$$

در حالی که  $\lambda_1^2$  و  $\lambda_n^2$  بزرگترین و کوچکترین مقدار ویژه  $A^T A$  هستند. یک عدد شرطی بزرگتر نشانگر حساسیت زیاد جواب  $x$  به تغییرات درایه‌های  $A$  و  $b$  است. یعنی، تغییرات کوچکی در  $A$  و  $b$  تغییرات زیادی را در  $x$  به وجود می‌آورند.

یک عدد شرطی بسیار بزرگ برای  $A$  نشانگر این است که ماتریس تقریباً منفرد است.

در این حالت سیستم معادلات مربوط  $Ax = b$  را بدخیم<sup>۱</sup> می‌نامند

### تمرینهای پیوست B

دترمینانهای زیر را به دست آورید:

<b>B.1</b> $\begin{vmatrix} 2 & 1 & 3 \\ 1 & 2 & 1 \\ 3 & 1 & 5 \end{vmatrix}$	<b>B.2</b> $\begin{vmatrix} 0 & 2 & 3 & 2 \\ 0 & 4 & 5 & 4 \\ 1 & -2 & -2 & 1 \\ 3 & -1 & 2 & 1 \end{vmatrix}$
--	--

$$\text{B.3} \quad \begin{vmatrix} 0 & 0 & 0 & -2 \\ 0 & 0 & 5 & 3 \\ 0 & 1 & -1 & 1 \\ 2 & 3 & -3 & 2 \end{vmatrix}$$

برای دترمینانهای زیر، مقدار عدد اسکالر  $\lambda$  را طوری بیابید که دترمینان صفر شود :

$$\text{B.4} \quad \begin{vmatrix} 2-\lambda & 1 & 0 \\ 1 & 3-\lambda & 0 \\ 0 & 3 & 2-\lambda \end{vmatrix} \quad \text{B.5} \quad \begin{vmatrix} 2-\lambda & 2 & 0 \\ 1 & 2-\lambda & 0 \\ 0 & 0 & 2-\lambda \end{vmatrix}$$

رتبه ماتریسهای زیر را به دست آورید

$$\text{B.6} \quad \begin{bmatrix} 3 & 0 & 1 & 3 \\ 2 & 0 & 3 & 2 \\ 0 & 2 & -8 & 1 \\ -2 & -1 & 2 & -1 \end{bmatrix}$$

$$\text{B.7} \quad \begin{bmatrix} 1 & 2 & 2 & 2 & 4 \\ 1 & 6 & 3 & 0 & 3 \\ 2 & 2 & 3 & 3 & 2 \\ 1 & 3 & 2 & 5 & 1 \end{bmatrix}$$

$$\text{B.8} \quad \begin{bmatrix} 1 & 2 & 3 & 4 \\ 0 & 0 & 0 & 1 \\ 3 & 2 & 3 & 0 \\ 2 & 3 & 1 & 4 \\ 2 & 0 & 6 & 0 \\ 1 & 2 & 1 & 4 \end{bmatrix}$$

جواب معادله های زیر را با استفاده از روش حذفی گوسی به دست آورید :

$$\begin{aligned} \text{B.9} \quad 2x_1 + 2x_2 + x_3 &= 5 \\ x_1 - 2x_2 + 2x_3 &= 1 \\ x_2 + 2x_3 &= 3 \end{aligned}$$

$$\begin{aligned} \text{B.10} \quad x_2 - x_3 &= 0 \\ x_1 + x_2 + x_3 &= 3 \\ x_1 - 3x_2 &= -2 \end{aligned}$$

$$\begin{aligned} \text{B.11} \quad 2x_1 + x_2 + x_3 &= 7 \\ 4x_2 - 5x_3 &= -7 \\ x_1 - 2x_2 + 4x_3 &= 9 \end{aligned}$$

$$\begin{aligned} \text{B.12} \quad 2x_1 + x_2 - 3x_3 + x_4 &= 1 \\ x_1 + 2x_2 + 5x_3 - x_4 &= 7 \\ -x_1 + x_2 + x_3 + 4x_4 &= 5 \\ 2x_1 - 3x_2 + 2x_3 - 5x_4 &= -4 \end{aligned}$$

$$\begin{aligned} \text{B.13} \quad 3x_1 + x_2 + x_3 &= 8 \\ 2x_1 - x_2 - x_3 &= -3 \\ x_1 + 2x_2 - x_3 &= 2 \end{aligned}$$

$$\begin{aligned} \text{B.14} \quad x_1 + x_2 - x_3 &= 2 \\ 2x_1 - x_2 + x_3 &= 4 \\ -x_1 + 2x_2 + 3x_3 &= 3 \end{aligned}$$

$$\begin{aligned} \mathbf{B.15} \quad & -x_1 + x_2 - x_3 = -2 \\ & -2x_1 + x_2 + 2x_3 = 6 \\ & x_1 + x_2 + x_3 = 6 \end{aligned}$$

$$\begin{aligned} \mathbf{B.16} \quad & -x_1 + 2x_2 + 3x_3 = 4 \\ & 2x_1 - x_2 - 2x_3 = -1 \\ & x_1 - 3x_2 + 4x_3 = 2 \end{aligned}$$

$$\begin{aligned} \mathbf{B.17} \quad & x_1 + x_2 + x_3 + x_4 = 2 \\ & 2x_1 + x_2 - x_3 + x_4 = 2 \\ & -x_1 + 2x_2 + 3x_3 + x_4 = 1 \\ & 3x_1 + 2x_2 - 2x_3 - x_4 = 8 \end{aligned}$$

$$\begin{aligned} \mathbf{B.18} \quad & x_1 + x_2 + x_3 + x_4 = -1 \\ & 2x_1 - x_2 + x_3 - 2x_4 = 8 \\ & 3x_1 + 2x_2 + 2x_3 + 2x_4 = 4 \\ & -x_1 - x_2 + 2x_3 - x_4 = -2 \end{aligned}$$

بررسی کنید که آیا دستگاه معادلات زیر سازگارند یا خیر. اگر سازگارند، جواب عمومی آنها را محاسبه کنید.

$$\begin{aligned} \mathbf{B.19} \quad & 3x_1 + x_2 + 5x_3 + 2x_4 = 2 \\ & 2x_1 - 2x_2 + 4x_3 = 2 \\ & 2x_1 + 2x_2 + 3x_3 + 2x_4 = 1 \\ & x_1 + 3x_2 + x_3 + 2x_4 = 0 \end{aligned}$$

$$\begin{aligned} \mathbf{B.20} \quad & x_1 + x_2 + x_3 + x_4 = 10 \\ & -x_1 + x_2 - x_3 + x_4 = 2 \\ & 2x_1 - 3x_2 + 2x_3 - 2x_4 = -6 \end{aligned}$$

$$\begin{aligned} \mathbf{B.21} \quad & x_2 + 2x_3 + x_4 = -2 \\ & x_1 - 2x_2 - x_3 - x_4 = 1 \\ & x_1 - 2x_2 - 3x_3 + x_4 = -1 \end{aligned}$$

$$\begin{aligned} \mathbf{B.22} \quad & x_1 + x_2 + x_3 + x_4 = 0 \\ & 2x_1 + x_2 - 2x_3 - x_4 = 6 \\ & 3x_1 + 2x_2 + x_3 + 2x_4 = 2 \end{aligned}$$

$$\begin{aligned} \mathbf{B.23} \quad & x_2 + 2x_3 + x_4 + 3x_5 + 2x_6 = 9 \\ & -x_1 + 5x_2 + 2x_3 + x_4 + 2x_5 + x_7 = 10 \\ & 5x_1 - 3x_2 + 8x_3 + 6x_4 + 3x_5 - 2x_8 = 17 \\ & 2x_1 - x_2 + x_4 + 5x_5 - 2x_6 = 5 \end{aligned}$$

استقلال خطی مجموعه بردارهای زیر را بررسی کنید:

$$\mathbf{B.24} \quad \mathbf{a}^{(1)} = \begin{bmatrix} 3 \\ 2 \\ 1 \end{bmatrix}, \quad \mathbf{a}^{(2)} = \begin{bmatrix} -3 \\ -4 \\ 1 \end{bmatrix}, \quad \mathbf{a}^{(3)} = \begin{bmatrix} 2 \\ 3 \\ 0 \end{bmatrix}, \quad \mathbf{a}^{(4)} = \begin{bmatrix} 4 \\ 0 \\ 1 \end{bmatrix}$$

$$\mathbf{B.25} \quad \mathbf{a}^{(1)} = \begin{bmatrix} 1 \\ 2 \\ 3 \\ 4 \\ 5 \end{bmatrix}, \quad \mathbf{a}^{(2)} = \begin{bmatrix} -2 \\ 1 \\ 0 \\ 1 \\ -1 \end{bmatrix}, \quad \mathbf{a}^{(3)} = \begin{bmatrix} 4 \\ 0 \\ -3 \\ 2 \\ 1 \end{bmatrix}$$

مقادیر ویژه ماتریس‌های زیر را بایابید:

$$\mathbf{B.26} \begin{bmatrix} 1 & 2 \\ 2 & 5 \end{bmatrix} \quad \mathbf{B.27} \begin{bmatrix} 2 & 2 \\ 2 & 4 \end{bmatrix}$$

$$\mathbf{B.28} \begin{bmatrix} 1 & 1 & 0 \\ 1 & 4 & 0 \\ 0 & 0 & 5 \end{bmatrix} \quad \mathbf{B.29} \begin{bmatrix} 1 & 0 & 0 \\ 0 & 0 & 1 \\ 0 & 1 & 2 \end{bmatrix}$$

$$\mathbf{B.30} \begin{bmatrix} 0 & 0 & 0 \\ 0 & 1 & 1 \\ 0 & 1 & 5 \end{bmatrix}$$



## یک روش عددی برای حل معادله های غیرخطی

بسیاری از کاربردهای مهندسی با معادله های غیرخطی سروکار دارند. در طراحی بهین، هنگامی که مشارایط لازم بهینگی را برای مسائل مقید یا نامقید می نویسیم، که در فصل (۳) بحث شد، چنان معادله هایی به وجود می آیند. ریشه های آن مجموعه معادله های غیرخطی طرحهای نامزد مینیمم هستند. پس مسأله یافتن ریشه های معادله های غیرخطی باید مورد مطالعه قرار گیرند.

حل تحلیلی معادله های غیرخطی بجز در حالت های بسیار ساده ای که متغیرها بتوانند حذف شود تقریباً ناممکن است. بنابراین، روش های عددی و رایانه های رقمی باید برای یافتن جوابهای چنان سیستمهای به کار گرفته شوند. در این پیوست، یک روش عددی اساسی را که به عنوان روش نیوتون-رافسون شناخته می شود، برای یافتن ریشه های معادله های غیرخطی تشریح می کنیم. در مقاله ها [اتکینسون<sup>۱</sup>، ۱۹۷۸] انواع مختلف این روش و همچنین روش های دیگر در دسترس هستند. این روش می تواند هر دفعه تنها یک ریشه را با توجه به حدس اوکیه پیدا کند. بنابراین، برای یافتن ریشه های مختلف باید نقاط شروع بسیاری که در پنهان بازتری گسترده هستند آزمایش شوند. روش ممکن است و اگر این که نقطه شروع در همسایگی جواب باشد، اگر و اگرا باشد، نقطه شروع دیگری باید انتخاب و آزمایش شود.

### پیوست C- یک روش عددی برای حل معادله های غیرخطی

ما یک الگوریتم اساسی را که می تواند در یک برنامه رایانه ای پیاده شود شرح خواهیم داد. از طرفی، بیشتر کتابخانه های مراکز رایانه ای برنامه های مختلفی برای حل دستگاه معادله های غیرخطی دارند. این برنامه ها می توانند مستقیماً مورد استفاده قرار گیرد. بنابراین، باید قبل از نوشتن برنامه الگوریتم امکان استفاده از برنامه های موجود بررسی قرار گیرد.

#### C.1 یک معادله غیرخطی

برای تدوین روش، باییم ابتدا مسئله یافتن ریشه های عمومی یک معادله غیرخطی

$$F(x) = 0 \quad (C.1)$$

را مورد توجه قرار دهیم که  $F(x)$  یک تابع غیرخطی از متغیر مستقل  $x$  است. یک روش ساده یافتن ریشه ها رسم تابع  $F(x)$  بر حسب  $x$  روی یک صفحه رسم است. آن گاه نقاطی که تابع محور  $x$  را قطع می کند ریشه های  $F(x) = 0$  هستند.

روش دومی که توسط نیوتون-رافسون<sup>۱</sup> تدوین شد روش عددی چرخه ای است که در آن از یک حدس اوّلیه برای ریشه شروع می کنیم. برای حدس مورد نظر عموماً تابع  $F(x)$  مقدار صفر نخواهد داشت، یعنی، حدس اوّلیه معمولاً ریشه  $F(x) = 0$  نیست. بنابراین، سعی می کنیم حدس را تا پیدا شدن یک ریشه بهبود بخشیم. این فرآیند، به دوره های متعددی (یا، چرخه هایی) قبل از یافتن ریشه نیاز دارد که می تواند با معادله زیر بیان شود:

$$x^{(k+1)} = x^{(k)} + \Delta x^{(k)}, \quad k = 0, 1, 2, \dots \quad (C.2)$$

که اندیس  $k$  شماره چرخه،  $x^{(0)}$  حدس اوّلیه (نقطه شروع) و  $\Delta x^{(k)}$  تغییر در حدس در چرخه  $k$  ام است. فرآیند چرخه ای تازمانی که  $F(x)$  به طرف صفر کاهش باید باشد یک مقدار کوچک قابل قبول مثل  $\delta$  (یعنی معیار توقف عبارت است از  $\delta \leq |F|$ ) نزدیک شود ادامه پیدا می کند. پس روش نیوتون-رافسون به شکلی به مسئله محاسبه  $\Delta x^{(k)}$  در هر چرخه فرآیند بر می گردد. دقیق کنید که مفهوم چرخه که در معادله (C.2) بیان شد عمومی است، زیرا اساس بسیاری از روش های عددی دیگر همین رابطه است.

برای یافتن رابطه ای برای  $\Delta x^{(k)}$ ، ما یک بسط تیلور خطی (مرتبه اوّل) برای  $(x)$   $F$

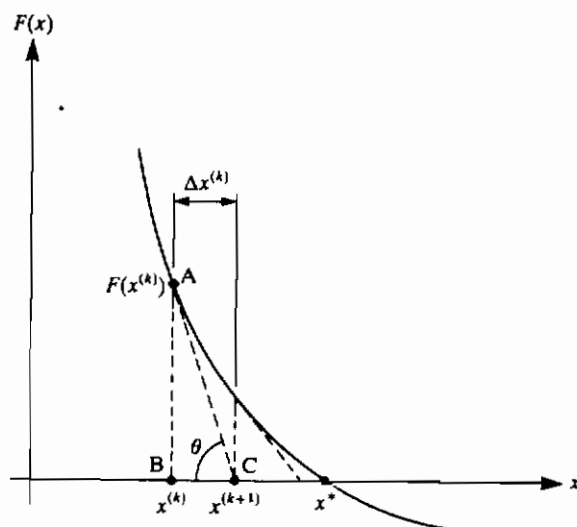
حول حدس فعلی  $x^{(k)}$  را استفاده می کنیم. بنابراین، از معادله (۳.۷) داریم

$$F(x^{(k)} + \Delta x^{(k)}) = F(x^{(k)}) + \frac{dF(x^{(k)})}{dx} \Delta x^{(k)} \quad (C.3)$$

در معادله (C.3)،  $x^{(k)}$  حد فعلی ریشه،  $F(x^{(k)})$  مقدار فعلی تابع  $F(x)$ ، و  $\frac{dF(x^{(k)})}{dx}$  مقدار فعلی شبب (گرادیان)  $F(x)$  است. هدف عبارت است از یافتن  $\Delta x^{(k)}$  (بهبودی در حدس فعلی) آن چنان که معادله  $F(x) = 0$  در حدس جدید برآورده شود یعنی،  $F(x^{(k)} + \Delta x^{(k)}) = 0$ . بنابراین با مساوی صفر قرار دادن معادله (C.3)،  $\Delta x^{(k)}$  به دست می‌آید. داریم

$$\Delta x^{(k)} = \frac{-F(x^{(k)})}{(dF/dx)} \quad (C.4)$$

برای هر  $k$ ،  $\Delta x^{(k)}$  از معادله (C.4) محاسبه می‌شود و یک حدس جدید برای ریشه از معادله (C.2) به دست می‌آید. فرآیند تازمانی که  $F(x)$  به سمت صفر برود تکرار می‌شود. روش نیوتون-رافسون تعبیر هندسی ساده‌ای نیز دارد. برای دیدن آن به ترسیمه تابع  $F(x)$  بر حسب  $x$  که در شکل ۱ نشان داده شده توجه کنید. نقطه A روی منحنی مقدار فعلی تابع  $F(x)$  و نقطه B روی محور  $x$  حدس فعلی  $x^{(k)}$  برای ریشه  $F(x) = 0$  است. هدف روش رسیدن به نقطه  $x^*$  است. روش با دنبال کردن مماس بر منحنی  $F(x)$  در نقطه A به جلو می‌رود. تقاطع مماس با محور  $x$ ، نقطه C یعنی  $x^{(k+1)}$  را می‌دهد که از آن جا فرآیند تکرار می‌شود.



شکل ۱ تعبیر ترسیمی روش نیوتون-رافسون برای یافتن ریشه‌های ۰

### پوست C-یک روش عددی برای حل معادله های غیرخطی

هندسه شکل ۱.C می تواند برای به دست آوردن معادله (C.4) استفاده شود. برای انجام این کار، مثلث ABC را در نظر می گیریم :

$$\frac{F(x^{(k)})}{\Delta x^{(k)}} = \tan \theta = - \frac{dF(x^{(k)})}{dx}$$

یا

$$\Delta x^{(k)} = - \frac{F(x^{(k)})}{(dF/dx)}$$

که مانند معادله (C.4) است.

گامهای چرخه روش نیوتون-رافسون به شکل زیر خلاصه می شود :

گام ۱ . یک نقطه شروع  $x^{(0)}$  انتخاب کرده و پارامتر  $\delta$  برای توقف فرآیند چرخه را تعیین کنید. شمارنده چرخه فعلی را  $k=0$  قرار دهید.

گام ۲ . تابع  $F$  را در حدس فعلی  $x^{(k)}$  محاسبه کنید. همگرایی را بررسی کنید؛ اگر  $\delta \leq |F(x^{(k)})|$  ، آن گاه فرآیند چرخه را متوقف کرده و  $x^{(k)}$  را به عنوان ریشه  $F(x)=0$  قبول کنید. در غیر این صورت ادامه دهید.

گام ۳ . مشتق تابع  $dF/dx$  را در نقطه حدس  $x^{(k)}$  محاسبه کنید.

گام ۴ . مقدار  $\Delta x^{(k)} = -F(x^{(k)})/(dF/dx)$  را محاسبه کنید.

گام ۵ . حدس برای ریشه را با  $x^{(k+1)} = x^{(k)} + \Delta x^{(k)}$  به هنگام کنید.

گام ۶ .  $k = k+1$  قرار داده و به گام ۲ بروید.

ما روش را در مثال زیر توضیح می دهیم.

**مثال C.1** ریشه های یک معادله غیرخطی با روش نیوتون - رافسون. یک ریشه معادله زیر را با

استفاده از روش نیوتون - رافسون که از نقطه  $x^{(0)}=1.0$  شروع شود بباید :

$$F(x) = \frac{2x}{3} - \sin x = 0$$

حل . مشتق  $F(x)$  برای استفاده در معادله (C.4) عبارت است از

$$\frac{dF}{dx} = \frac{2}{3} - \cos x$$

جدول C.1 چرخه های روش نیوتن - رافسون برای مثال C.1

$k$	$x^{(k)}$	$F(x^{(k)})$	$dF(x^{(k)})/dx$	$\Delta x^{(k)}$
0	1.000	-0.175	0.1264	1.383
1	2.383	0.900	0.1393	-0.646
2	1.737	0.172	0.832	-0.207
3	1.530	0.021	0.626	-0.034
4	1.496	0.00013	—	—

گامهای الگوریتم گذشته را دنبال می کنیم :

1.  $x^{(0)} = 1.0$ ;  $\delta = 0.001$ ;  $k = 0$ .
2.  $F(x^{(0)}) = \frac{1}{3}(1) - \sin(1) = -0.1750$ .  
بنابراین  $x^{(0)} = 1.0$  یک ریشه نیست.
3.  $\frac{dF}{dx} = \frac{1}{3} - \cos(1) = 0.1264$ .
4.  $\Delta x^{(0)} = \frac{-F(x^{(0)})}{dF/dx} = -\frac{(-0.1750)}{(0.1264)} = 1.3830$ .
5.  $x^{(0+1)} = x^{(0)} + \Delta x^{(0)}$ ; یا  $x^{(1)} = 1.0 + 1.3830 = 2.3830$ .
6.  $k = 0 + 1 = 1$ ; بروید.

نتایج چرخه های مختلف روش قبلي در جدول C.1 خلاصه شده است. در چهارمين چرخه  $|F(x^{(4)})| = 0.00013 < 0.001$  که معیار توقف مشخص شده را برآورده می کند. بنابراین  $x^{(4)} = 1.496$  به عنوان حدس ریشه تابع داده شده گرفته می شود. برای یافتن ریشه های دیگر، باید فرآیند قبلي را از یک نقطه شروع دیگر تکرار کنیم.

## C.2 معادله های غیرخطی چندگانه

روشن نیوتن - رافسون قبلي می تواند برای حالت "معادله غیرخطی" مجهولی تعمیم داده شود. خوانندگانی که به نحوه به دست آوردن این روش علاقه مند نیستند می توانند مستقیماً به الگوریتم و مسأله نمونه مراجعه کنند.

یک مجموعه از معادلات غیرخطی می تواند به شکل برداری زیر نوشته شود

$$\mathbf{F}(\mathbf{x}) = \mathbf{0} \quad (\text{C.5})$$

### پیوست C- یک روش عددی برای حل معادله های غیرخطی

که  $F$  و  $x$  هر دو بردارهای  $n$ -بعدی اند. در روش چرخه ای، ما با حدس  $x^{(0)}$  برای ریشه معادله (C.5) شروع می کنیم. درست مانند گذشته، این حدس می تواند براساس شکل برداری (C.2) بهبود یابد، یعنی

$$x^{(k+1)} = x^{(k)} + \Delta x^{(k)}, \quad k = 0, 1, 2, \dots \quad (C.6)$$

که در آن  $x^{(0)}$  یک حدس اوکیه،  $k$  تعداد چرخه و  $\Delta x^{(k)}$  بردار تغییرات در  $x^{(k)}$  حدس زده شده است. روش چرخه تا  $x^{(k)}$  معادله (C.5) را برا آورده کند ادامه می یابد. چون محاسبات عددی دقیق نیستند، به معیاری برای قضاوت در مورد ریشه های یافته شده نیاز داریم. یک روش معمول این است که طول بردار  $(F(x))$  را از رابطه زیر محاسبه کنیم

$$\|F(x)\| = \left( \sum_{i=1}^n \{F_i(x)\}^2 \right)^{1/2} \quad (C.7)$$

و  $x^*$  را به عنوان ریشه  $F(x) = 0$  قبول کنیم، اگر

$$\|F(x^*)\| \leq \delta \quad (C.8)$$

در حالی که  $0 < \delta$  یک عدد کوچک مشخص است. معیار توقف دیگر ممکن است این باشد که بزرگترین مؤلفه  $|F_i|_{\max}$  معیار توقف را برا آورده کند، یعنی  $\delta \leq |F_i|_{\max}$ .

اکنون کار ما این است که یک رابطه برای  $\Delta x^{(k)}$  تدوین کنیم طوری که معادله (C.6) برای بهبود بخشیدن به ریشه معادله (C.5) استفاده شود. برای این کار، همان کارهایی را که برای حالت یک معادله و یک مجھول کردیم دنبال می کنیم؛ یعنی بسط تیلور خطی را برای تابع می نویسیم. برای تدوین روش، حالت دو معادله و دو مجھول را در (C.5) در نظر می گیریم و آن گاه نتایج را به حالت «معادله ۲» مجھولی تعمیم می دهیم. معادله (C.5) برای حالت ۲ عبارت است از

$$\begin{aligned} F_1(x_1, x_2) &= 0 \\ F_2(x_1, x_2) &= 0 \end{aligned} \quad (a)$$

و معادله چرخه (C.6) به شکل زیر است

$$\begin{aligned} x_1^{(k+1)} &= x_1^{(k)} + \Delta x_1^{(k)} \\ x_2^{(k+1)} &= x_2^{(k)} + \Delta x_2^{(k)} \end{aligned} \quad (b)$$

برای یافتن عبارتی برای  $\Delta x_1^{(k)}$ ، بسط تیلور خطی برای تابع  $F_1$  و  $F_2$  در معادلات (a) را حول حدس فعلی  $x^{(k)}$  نوشته و مانند گذشته آنها را مساوی صفر قرار می دهیم :

$$\begin{aligned} F_1(x_1^{(k)}, x_2^{(k)}) + \frac{\partial F_1}{\partial x_1} \Delta x_1^{(k)} + \frac{\partial F_1}{\partial x_2} \Delta x_2^{(k)} &= 0 \\ F_2(x_1^{(k)}, x_2^{(k)}) + \frac{\partial F_2}{\partial x_1} \Delta x_1^{(k)} + \frac{\partial F_2}{\partial x_2} \Delta x_2^{(k)} &= 0 \end{aligned} \quad (\text{c})$$

در حالی که مشتقات جزئی  $\partial F_i / \partial x_j$  در حدس فعلی  $x_1^{(k)}$  و  $x_2^{(k)}$  محاسبه می شوند. معادلات (c) دو معادله خطی دو مجهولی از  $\Delta x_1^{(k)}$  و  $\Delta x_2^{(k)}$  است و بقیه مقادیر معلوم هستند. بنابراین، آنها را برای به دست آوردن  $\Delta x_1^{(k)}$  و  $\Delta x_2^{(k)}$  می توان حل کرد و معادلات (b) را برای به هنگام کردن حدس ریشه ها استفاده کرد. فرآیند تاریخی همگرایی تکرار می شود.

معادلات (c) می توانند به شکل ماتریسی زیر نوشته شود

$$\begin{bmatrix} F_1^{(k)} \\ F_2^{(k)} \end{bmatrix} + \begin{bmatrix} \frac{\partial F_1}{\partial x_1} & \frac{\partial F_1}{\partial x_2} \\ \frac{\partial F_2}{\partial x_1} & \frac{\partial F_2}{\partial x_2} \end{bmatrix} \begin{bmatrix} \Delta x_1^{(k)} \\ \Delta x_2^{(k)} \end{bmatrix} = \begin{bmatrix} 0 \\ 0 \end{bmatrix} \quad (\text{d})$$

در حالی که  $F_1^{(k)} = F_1(x_1^{(k)}, x_2^{(k)})$  و  $F_2^{(k)} = F_2(x_1^{(k)}, x_2^{(k)})$  عبارتند از مقادیر تابع در حدس فعلی  $x^{(k)}$ . یا، می توانیم معادله را به شکل خلاصه زیر بنویسیم

$$\mathbf{F}^{(k)} + \mathbf{J}[\Delta \mathbf{x}^{(k)}] = \mathbf{0} \quad (\text{C.9})$$

که در آن بردار  $\mathbf{F}^{(k)}$ ، ماتریس  $\mathbf{J}$  و بردار  $\Delta \mathbf{x}^{(k)}$  از معادله (d) به راحتی مشخص می شوند. ماتریس  $\mathbf{J}$  در معادله (C.9) معمولاً جاکوبین<sup>۱</sup> دستگاه معادلات نامیده می شود.

معادله (C.9) ما را قادر می سازد که روش نیوتون-رافسون را برای  $n$  معادله  $n$  مجهول تعمیم دهیم. در آن حالت  $\mathbf{F}^{(k)}$  و  $\Delta \mathbf{x}^{(k)}$  بردارهای  $n$  بعدی بوده و  $\mathbf{J}$  ماتریس  $n \times n$  مشتقات جزئی است که به شکل زیر تعریف می شود

$$\mathbf{J} = \left[ \frac{\partial F_i}{\partial x_j} \right]; \quad i = 1 \text{ to } n; j = 1 \text{ to } n \quad (\text{C.10})$$

با استفاده از روش محاسبه جاکوبین برای دو مجهولی که در معادلات (d) گفته شد،

### پیوست C- یک روش عددی برای حل معادله های غیرخطی

مشاهده می کنیم که نامین سطر  $\mathbf{J}$  در معادله (C.10) با مشتق گیری از تابع  $(\mathbf{x})_i F_i$  نسبت به تمامی متغیرها به دست می آید. یعنی، اوّلین سطر با مشتق گیری از  $F_1$  نسبت به  $x_1, x_2, \dots, x_n$ ، دومین سطر با مشتق گیری از  $F_2$  و غیره به دست می آید. دقت کنید که نامین سطر جاکوبین در معادله (C.10) نیز می تواند به عنوان ترانهاده بردار گرادیان  $(\mathbf{x})_i F_i$  یعنی  $\nabla F^T$  به حساب آید.

اگر وارون ماتریس  $\mathbf{J}$  را بتوان محاسبه کرد، آن گاه یک بهبود در حدس برای ریشه از رابطه (C.9) به دست می آید، یعنی

$$\Delta \mathbf{x}^{(k)} = -\mathbf{J}^{-1} \mathbf{F}^{(k)} \quad (\text{C.11})$$

اماً در محاسبات عددی وارون کردن ماتریسها مقرن به صرفه نیست. بنابراین، توصیه می شود  $\Delta \mathbf{x}^{(k)}$  با حل دستگاه معادلات خطی زیر که از معادله (C.9) به دست آمده محاسبه شود؛ یعنی

$$\mathbf{J}[\Delta \mathbf{x}^{(k)}] = -\mathbf{F}^{(k)} \quad (\text{C.12})$$

پس الگوریتم نیوتن- رافسون به شکل زیر خلاصه می شود :

گام ۱ . یک نقطه شروع  $\mathbf{x}^{(0)}$  انتخاب کرده و پارامتر  $\delta$  را برای معیار توقف چرخه تعیین کنید. عدد شمارنده چرخه را مساوی صفر قرار دهید،  $k = 0$ .

گام ۲ . توابع  $\mathbf{F}$  را در حدس فعلی  $\mathbf{x}^{(k)}$  محاسبه کنید. همگرایی را بررسی کنید؛ اگر  $\delta \leq \|\mathbf{F}^{(k)}\|_2$ ، آن گاه فرآیند چرخه را متوقف کرده و  $\mathbf{x}^{(k)}$  را به عنوان ریشه معادله  $\mathbf{0} = \mathbf{F}^{(k)}$  قبول کنید. در غیر این صورت ادامه دهید.

گام ۳ . ماتریس جاکوبین  $\mathbf{J}$  مشتقهای جزئی در حدس فعلی  $\mathbf{x}^{(k)}$  را از معادله (C.10) محاسبه کنید؛ یعنی،  $\frac{\partial F_i}{\partial x_j}; i = 1 \text{ to } n; j = 1 \text{ to } n$  را محاسبه کنید.

گام ۴ .  $\Delta \mathbf{x}^{(k)}$  را از معادله (C.12) محاسبه کنید.

گام ۵ . حدس را برای ریشه با استفاده از معادله (C.6) بهنگام کنید.

گام ۶ .  $k = k + 1$  قرار دهید و به گام ۲ بروید.

دقّت کنید چون دستگاه معادلات  $\mathbf{0} = \mathbf{F}(\mathbf{x})$  غیرخطی است، در حالت عمومی ریشه های زیادی دارد. الگوریتم نیوتن- رافسون تنها یک ریشه را در هر بار پیدا می کند. روش، بسته به حدس اوّلیه  $\mathbf{x}^{(0)}$ ، به سمت یک ریشه همگرا می شود. برای یافتن سایر ریشه ها باید الگوریتم را با انتخاب یک حدس اوّلیه  $\mathbf{x}^{(0)}$  دیگر دوباره شروع کنیم. همچنین دقّت کنید که اگر جاکوبین  $\mathbf{J}$  در یکی از چرخه ها منفرد شود، این روش کار نمی کند، زیرا وارون  $\mathbf{J}$  نمی تواند محاسبه

گردد. به علاوه، روش حتی اگر جاکوبین  $J$  در همه چرخه ها نامفرد باشد ممکن است و اگر شود. برای پایاساختن و همگرانی تکمله های متعددی از روش نیوتن-رافسون اصلی تدوین شده که بیان این قسمتها از هدف این کتاب فراتر است.

**مثال C.2** ریشه های معادلات غیرخطی به کملک روش نیوتن - رالسون. یک ریشه از دستگاه  $2 \times 2$

غیرخطی زیر را با استفاده از روش نیوتن-رافسون پیدا کنید :

$$F_1(x_1, x_2) = 1.0 - \frac{(4.0E+06)}{x_1^2 x_2} = 0 \quad (e)$$

$$F_2(x_1, x_2) = 250.0 - \frac{(4.0E+06)}{x_1 x_2^2} = 0 \quad (f)$$

حل. برای استفاده از الگوریتم نیوتن-رافسون، به محاسبه جاکوبین سیستم معادلات

(e) و (f) نیاز داریم. با استفاده از تعریف معادله (C.10)، جاکوبین عبارت از

$$J = \begin{bmatrix} \frac{\partial F_1}{\partial x_1} & \frac{\partial F_1}{\partial x_2} \\ \frac{\partial F_2}{\partial x_1} & \frac{\partial F_2}{\partial x_2} \end{bmatrix} = (4.0E+06) \begin{bmatrix} 2/x_1^3 x_2 & 1/x_1^2 x_2^2 \\ 1/x_1^2 x_2^2 & 2/x_1 x_2^3 \end{bmatrix} \quad (g)$$

گامهای الگوریتم را مانند زیر استفاده می کنیم :

۱. فرض می کنیم  $x^{(0)} = (500.0, 1.0)$  و  $\delta = 0.10$ ؛  $k$  را صفر قرار می دهیم؛  $k = 0$ .

۲. مقادیرتابع را از معادله های (e) و (f) محاسبه می کنیم

$$F_1 = 1.0 - (4.0E+06)/(500.0 \times 500.0 \times 1.0) = -15$$

$$F_2 = 250.0 - (4.0E+06)/(500.0 \times 1.0 \times 1.0) = -7750$$

$$\|F\| = \sqrt{15^2 + 7750^2} = 7750 > 0.10,$$

پس  $x^{(0)}$  یک ریشه نیست؛ فرآیند چرخه را ادامه می دهیم

۳. ماتریس جاکوبین با استفاده از معادله (g) محاسبه می شود :

$$J = (4.0E+06) \begin{bmatrix} \frac{2}{(500)^3(1.0)} & \frac{1}{(500)^2(1.0)^2} \\ \frac{1}{(500)^2(1.0)^2} & \frac{2}{(500)(1.0)^3} \end{bmatrix}$$

$$= \begin{bmatrix} \frac{8}{125} & 16 \\ 16 & 16000 \end{bmatrix}$$

پوست C- یک روش عددی برای حل معادله های غیرخطی

۴. معادله های (9.C) یا (12.C) سیستم معادلات خطی زیر را برای  $\Delta x_1^{(0)}$  و  $\Delta x_2^{(0)}$

تعریف می کند :

$$\begin{bmatrix} \frac{8}{123} & 16 \\ 16 & 16000 \end{bmatrix} \begin{bmatrix} \Delta x_1^{(0)} \\ \Delta x_2^{(0)} \end{bmatrix} = \begin{bmatrix} 15 \\ 7750 \end{bmatrix}$$

با حل دو معادله به کمک فرآیند حذفی داریم  $0.330 = \Delta x_2^{(0)}$  ،  $151.0 = \Delta x_1^{(0)}$   
برای این مسأله وارون کردن ماتریس  $J$  ممکن بوده و با استفاده از معادله  
 $J^{-1} \Delta x_2^{(0)} + \Delta x_1^{(0)} = 0$  را محاسبه می کنیم.  $J^{-1}$  با استفاده از روش هم عاملها  
(پوست B ، بخش 5.B) عبارت است از

$$\begin{aligned} J^{-1} &= \frac{1}{|J|} [\text{cofac}(J)]^T \\ &= \frac{1}{768} \begin{bmatrix} 16000 & -16 \\ -16 & \frac{8}{123} \end{bmatrix} \end{aligned}$$

با استفاده از معادله (11.C)، مانند قبل مقادیر مشابهی برای  $\Delta x_1^{(0)}$  و  $\Delta x_2^{(0)}$  به دست می آوریم.

۵. حدس ریشه را با استفاده از معادله (6.C) یا معادلات (b) روز آمد می کنیم

$$x_1^{(0+1)} = x_1^{(0)} + \Delta x_1^{(0)} = 500.0 + 151.0 = 651.0$$

$$x_2^{(0+1)} = x_2^{(0)} + \Delta x_2^{(0)} = 1.00 + 0.33 = 1.33$$

۶. به مقدار  $k$  یکی اضافه می کنیم ،  $k = 0 + 1 = 1$  ، به گام ۲ می رویم .

جدول C.2 چرخه های نیوتون - رافسون برای مثال 2

$k$	$x_1^{(k)}$	$x_2^{(k)}$	$\ F^{(k)}\ $
0	500.0	1.0000	7750.00
1	651.0	1.3300	3206.00
2	822.0	1.7700	1291.00
3	976.0	2.3500	489.20
4	1047.0	3.0490	161.30
5	1025.0	3.6770	38.50
6	1003.0	3.9630	3.98
7	1000.3	3.9995	0.05

نتایج چرخه‌های متعدد الگوریتم نیوتون-رافسون در جدول C.2 خلاصه شده است. جدول با شش بار تکرار گامهای الگوریتم تولید شده است. در چرخه هفتم  $\|F^{(7)}\| = 0.005 < 0.10$ . پس  $x^{(7)} = 1000.3, 3.9995$  به عنوان ریشه دستگاه معادلات (e) و (f) است که دقت دلخواه را برآورده می‌کند. ریشه دقیق عبارت است از  $x^* = (1000.0, 4.0)$ .

## تمرینهای پیوست C

ریشه‌های معادلات زیر را با استفاده از روش نیوتون-رافسون و  $\delta = 0.001$  پیدا کنید:

$$\mathbf{C.1} \quad F(x) = 3x - e^x = 0 \quad x = 0 \quad \text{شروع از}$$

$$\mathbf{C.2} \quad F(x) = \sin x = 0 \quad x = 10 \quad \text{شروع از}$$

$$\mathbf{C.3} \quad F(x) = \cos x = 0 \quad x = 2 \quad \text{شروع از}$$

$$\mathbf{C.4} \quad F(x) = \frac{2x}{3} - \sin x = 0 \quad x = -4 \quad \text{شروع از}$$

دو چرخه روش نیوتون-رافسون را برای دستگاه معادلات غیرخطی زیر کامل کنید:

$$\mathbf{C.5} \quad F_1(\mathbf{x}) = 1 - \frac{10}{x_1^2 x_2} = 0 \quad \text{شروع از (4, 1)}$$

$$F_2(\mathbf{x}) = 5 - \frac{10}{x_1 x_2^2} = 0;$$

$$\mathbf{C.6} \quad F_1(\mathbf{x}) = 5 - \frac{1}{8}x_1 x_2 - \frac{1}{4x_1^2}x_2^2 = 0 \quad \text{شروع از (10, 10)}$$

$$F_2(\mathbf{x}) = -\frac{1}{16}x_1^2 + \frac{1}{2x_1}x_2 = 0;$$

$$\mathbf{C.7} \quad F_1(\mathbf{x}) = 3x_1^2 + 12x_2^2 + 10x_1 = 0 \quad \text{شروع از (-5, 0)}$$

$$F_2(\mathbf{x}) = 24x_1 x_2 + 4x_2 + 3 = 0;$$

تمامی ریشه‌های دستگاه معادلات غیرخطی زیر را با استفاده از یک برنامه رایانه‌ای پیدا کنید

C.8 تمرین C.5

C.9 تمرین C.6

C.10 تمرین C.7



## D پیش‌نویس

### نمونه برنامه‌های رایانه‌ای

#### D.1 مقدمه

این پیوست حاوی فهرست چند برنامه رایانه‌ای براساس الگوریتم‌های عددی بهینه‌سازی نامقید است که در فصل (۵) ارائه شد. هدف این است که دانشجویان یادگیرند چگونه یک الگوریتم گام به گام را به برنامه رایانه‌ای تبدیل کنند. دقّت کنید که ادعایی مبنی بر پربازه ترین بودن برای برنامه‌های رایانه‌ای داده شده نیست. پنداره کلیدی تأکید بر جنبه‌های عددی مورد نیاز الگوریتم‌ها به طریق ساده و روان است. انتظار می‌رود کسی که در کاربرد روش‌های عددی بهینه‌سازی مبتدی است برنامه‌های رایانه‌ای را تجربه کند و با حل مثال‌های عددی احساسی از روش‌های متعدد به دست آورد. پس، استفاده از برنامه‌های رایانه‌ای این پیوست به عنوان یک جعبه سیاه توصیه نمی‌شود. برنامه‌های رایانه‌ای که در زیر می‌آید در رایانه‌های آپللو<sup>1</sup> تدوین شده است.

#### D.2 جست و جوی بازه یکسان

همان طور که در فصل (۵) بحث شد، جست و جوی بازه یکسان ساده‌ترین روش می‌بینیم سازی یک بعدی است. یک برنامه رایانه‌ای براساس آن در شکل A.1 داده شده است.

```

C      MAIN PROGRAM FOR EQUAL INTERVAL SEARCH
IMPLICIT DOUBLE PRECISION (A-H, O-Z)

DELTA = 5.0D-2
EPSLON = 1.0D-3
NCOUNT = 0
F      = 0.0D0
ALFA   = 0.0D0

C      TO PERFORM LINE SEARCH CALL SUBROUTINE EQUAL
C      CALL EQUAL(ALFA,DELTA,EPSLON,F,NCOUNT)
C      WRITE(*, 10) ' MINIMUM = ', ALFA
C      WRITE (*, 10) ' MINIMUM FUNCTION VALUE = ', F
C      WRITE (*, *) 'NO. OF FUNCTION EVALUATIONS = ', NCOUNT
10    FORMAT(A,1PE14.5)

      STOP
      END

SUBROUTINE EQUAL(ALFA,DELTA,EPSLON,F,NCOUNT)
C      .....
C      THIS SUBROUTINE IMPLEMENTS EQUAL INTERVAL SEARCH
C      ALFA   = OPTIMUM VALUE ON RETURN
C      DELTA  = INITIAL STEP LENGTH
C      EPSLON = CONVERGENCE PARAMETER
C      F      = OPTIMUM VALUE OF THE FUNCTION ON RETURN
C      NCOUNT = NUMBER OF FUNCTION EVALUATIONS ON RETURN
C      .....

IMPLICIT DOUBLE PRECISION (A-H,O-Z)

C      ESTABLISH INITIAL DELTA
C      AL=0.0D0
C      CALL FUNCT(AL,FL,NCOUNT)
10    CONTINUE
      AA=DELTA
      CALL FUNCT(AA,FA,NCOUNT)
      IF (FA .GT. FL) THEN
          DELTA = DELTA * 0.1D0
          GO TO 10
      END IF

C      ESTABLISH INITIAL INTERVAL OF UNCERTAINTY
C      CONTINUE
20    AU=AA+DELTA
      CALL FUNCT(AU,FU,NCOUNT)
      IF (FA .GT. FU) THEN
          AL=AA
      END IF
  
```

شکل ۱. برنامه جست و جوی بازه یکسان

```

VDA
C
AA = AU
FL = FA
FA = FU
GO TO 20
END IF
C
C   REFINE THE INTERVAL OF UNCERTAINTY FURTHER
C
30  CONTINUE
    IF ((AU - AL) .LE. EPSILON) GO TO 50
    DELTA = DELTA * 0.1D0
    AA = AL
    FA = FL
40  CONTINUE
    AU = AA + DELTA
    CALL FUNCT(AU,FU,NCOUNT)
    IF (FA .GT. FU) THEN
        AL = AA
        AA = AU
        FL = FA
        FA = FU
        GO TO 40
    END IF
    GO TO 30
C
C   MINIMUM IS FOUND
C
50  ALFA = (AU + AL) * 0.5D0
    CALL FUNCT(ALFA,F,NCOUNT)

    RETURN
END

SUBROUTINE FUNCT(AL,F,NCOUNT)
C
C   CALCULATES THE FUNCTION VALUE
C   AI      = VALUE OF ALPHA, INPUT
C   F       = FUNCTION VALUE ON RETURN
C   NCOUNT = NUMBER OF CALLS FOR FUNCTION EVALUATION
C

IMPLICIT DOUBLE PRECISION (A-H,O-Z)

NCOUNT = NCOUNT + 1
F = 2.0D0 - 4.0D0 * AL + DEXP(AL)

RETURN
END

```

فرض شده است که تابع یک بعدی تک حالتی<sup>۱</sup> و پیوسته بوده و در بازه مورد مطالعه دارای شبیب منفی است. طول گام اوّلیه ( $\delta$ ) و دقّت جست و جوی خطی ( $\epsilon$ ) باید در برنامه اصلی مشخص شوند. زیربرنامه اکوال (EQUAL) از برنامه اصلی فراخوانده می شود تا جست و جوی خطی رابه وسیله جست و جوی بازه یکسان انجام دهد. سه وظیفه اصلی که در زیربرنامه اکوال انجام می شوند عبارتند از: (۱) مشخص کردن طول گام اوّلیه  $\delta$  طوری که  $f(0) > f(\delta)$ ، (۲) مشخص کردن بازه اوّلیه عدم اطمینان<sup>۲</sup>،  $(\alpha_i, a_{ii})$ ، و (۳) کاهش بازه عدم اطمینان طوری که  $a_{ii} - \alpha_i \leq \epsilon$ .

برنامه فرعی اکوال برنامه فرعی فانکت (FUNCT) را برای محاسبه مقدار تابع یک بعدی در گامهای آزمایشی مختلف فرا می خواند. برنامه فرعی فانکت توسط کاربر باید آماده گردد. برای مثال،  $f(\alpha) = 2 - 4\alpha + e^{\alpha}$  به عنوان تابع مینیمم شونده یک بعدی انتخاب شده است. فهرست برنامه در شکل A.1 توضیحات لازم را دربر دارد. در برنامه فرعی اکوال، علایم زیر به کار می رود:

$$\alpha_i, \alpha_{ii} = \text{حد پایینی}$$

$$\alpha_i, \alpha_{ii} = \text{حد بالایی}$$

$$f(\alpha_i); f(\alpha_{ii}) = \text{مقدار تابع در } \alpha_i, \alpha_{ii}$$

$$f(\alpha_{ii}) = \text{مقدار تابع در } \alpha_{ii}$$

$$\alpha_{ii} = \text{نقطه میانی } \alpha_{ii}$$

$$f(\alpha_{ii}) = \text{مقدار تابع در } \alpha_{ii}$$

### D.3 جست و جوی بخش طلایی

جست و جوی بخش طلایی به عنوان یک روش مؤثر که فقط به مقدار تابع نیاز دارد مورد توجه قرار می گیرد. برنامه فرعی گلد (GOLD)، که در شکل D.2 داده شده، الگوریتم جست و جوی بخش طلایی را که در فصل (۵) ارائه شد اجرامی کند و از برنامه اصلی که در شکل A.1 داده شد فراخوانده می شود؛ به جای فراخواندن برنامه فرعی اکوال برنامه فرعی گلد فراخوانده می شود. طول گام اوّلیه و بازه اوّلیه عدم اطمینان در گلد مانند برنامه فرعی

اکوال تعیین می شود. بازه عدم اطمینان برای برآوردن دقّت جست و جوی خطی با اعمال گامهای ۴، ۵ و ۶ الگوریتم داده شده در فصل (۵) به اندازه بیشتری کاهش می یابد. برنامه فرعی فانکت برای محاسبه مقدار تابع در گامهای آزمایشی استفاده می شود. علاوه زیر در برنامه فرعی گلد به کار رفته است :

$$\begin{aligned} FA = f(\alpha_a), \quad AU = \alpha_a, \quad AL = \alpha_l, \quad AB = \alpha_b, \quad AA = \alpha_u \\ \cdot (\sqrt{5} + 1) / 2 = GR \end{aligned}$$

$$FU = f(\alpha_u), \quad FL = f(\alpha_l), \quad FB = f(\alpha_b)$$
**SUBROUTINE GOLD(ALFA,DELTA,EPSLON,F,NCOUNT)**

```
C .....  
C THIS SUBROUTINE IMPLEMENTS GOLDEN SECTION SEARCH  
C ALFA = OPTIMUM VALUE OF ALPHA ON RETURN  
C DELTA = INITIAL STEP LENGTH  
C EPSLON = CONVERGENCE PARAMETER  
C F = OPTIMUM VALUE OF THE FUNCTION ON RETURN  
C NCOUNT = NUMBER OF FUNCTION EVALUATIONS ON RETURN  
C .....
```

**IMPLICIT DOUBLE PRECISION(A-H,O-Z)**

```
GR = 0.5D0 * DSQRT(5.0D0) + 0.5D0  
C ESTABLISH INITIAL DELTA  
C  
AL = 0.0D0  
CALL FUNCT(AL,FL,NCOUNT)  
10 CONTINUE  
AA = DELTA  
CALL FUNCT(AA,FA,NCOUNT)  
IF (FA .GT. FL) THEN  
    DELTA = DELTA * 0.1D0  
    GO TO 10  
END IF  
C ESTABLISH INITIAL INTERVAL OF UNCERTAINTY  
C  
J = 0  
CONTINUE  
J = J + 1  
AU = AA + DELTA * (GR ** J)  
CALL FUNCT(AU,FU,NCOUNT)  
IF (FA .GT. FU) THEN  
    AL = AA  
    AA = AU  
    FL = FA  
    FA = FU  
    GO TO 20  
END IF
```

شکل 2. برنامه فرعی گلد برای جست و جوی بخش طلایی

## پیوست D- نمونه برنامه های رایانه ای

```

C          REFINE THE INTERVAL OF UNCERTAINTY FURTHER
C
C          AB = AL + (AU - AL)/GR
C          CALL FUNCT(AB,FB,NCOUNT)
30        CONTINUE
C          IF ((AU - AL) .LE. EPSILON) TO GO 80
C
C          IMPLEMENT STEPS 4, 5 OR 6 OF THE ALGORITHM
C
C          IF (FA - FB) 40, 60, 50
C
C          FA IS LESS THAN FB (STEP 4)
C
40        AU = AB
        FU = FB
        AB = AA
        FB = FA
        AA = AL + (AU - AL) * (1.0D0 - 1.0D0 / GR)
        CALL FUNCT(AA,FA,NCOUNT)
        GO TO 30
C
C          FA IS GREATER THAN FB (STEP 5)
C
50        AL = AA
        FL = FA
        AA = AB
        FA = FB
        AB = AL + (AU - AL) / GR
        CALL FUNCT(AB,FB,NCOUNT)
        GO TO 30
C
C          FA IS EQUAL TO FB (STEP 6)
C
60        AL = AA
        FL = FA
        AU = AB
        FU = FB
        AA = AL - (1.0D0 - 1.0D0 / GR) * (AU - AL)
        CALL FUNCT(AA,FA,NCOUNT)
        AB = AL + (AU - AL) / GR
        CALL FUNCT(AB,FB,NCOUNT)
        GO TO 30
C
C          MINIMUM IS FOUND
C
80        ALFA = (AU + AL) * 0.5D0
        CALL FUNCT(ALFA,F,NCOUNT)

        RETURN
        END
    
```

**D.4 روش تندترین کاهش**

تندترین کاهش ساده ترین روش بهینه سازی نامقید براساس مشتق<sup>۱</sup> است. یک برنامه رایانه ای برای روش در شکل D.3 ارائه شده است. گامهای اساسی در الگوریتم عبارتند از: (۱) محاسبه مشتق (گرادیان)تابع هزینه در نقطه فعلی، (۲) به دست آوردن طول گام بهین در امتداد مخالف جهت گرادیان، و (۳) به هنگام کردن طرح، بررسی معیار همگرایی و در صورت نیاز تکرار گامهای گذشته. برنامه اصلی در حقیقت این گامها را دنبال می کند. آرایه ای که در برنامه اصلی معرفی شده باید بعد بردار متغیر طراحی را داشته باشد. همچنین، داده های اولیه و نقطه شروع باید توسط کاربر فراهم گردد. تابع هزینه و مشتق آن به ترتیب باید در برنامه فرعی فانکت و گراد(GRAD) آماده گردند. برای یک مسأله چندمتغیره جست و جوی خطی به روش جست و جوی بخش طلایی در برنامه فرعی گلدام(GOLDAM) انجام می شود. برای مثال،  $(x) = x_1^2 + 2x_2^2 + 2x_3^2 + 2x_1x_2 + 2x_2x_3$  یعنی تابع هزینه انتخاب شده است.

```
C      THE MAIN PROGRAM FOR STEEPEST DESCENT METHOD
C
C      DELTA  = INITIAL STEP LENGTH FOR LINE SEARCH
C      EPSLON = LINE SEARCH ACCURACY
C      EPSL    = STOPPING CRITERION FOR STEEPEST DESCENT METHOD
C      NCOUNT = NO. OF FUNCTION EVALUATIONS
C      NDV     = NO. OF DESIGN VARIABLES
C      NOC     = NO. OF CYCLES OF THE METHOD
C      X       = DESIGN VARIABLE VECTOR
C      D       = DIRECTION VECTOR
C      G       = GRADIENT VECTOR
C      WK      = WORK ARRAY USED FOR TEMPORARY STORAGE
C
```

```
IMPLICIT DOUBLE PRECISION (A-H, O-Z)
DIMENSION X(3), D(3), G(3), WK(3)
```

```
C      DEFINE INITIAL DATA
C
DELTA  = 5.0D-2
EPSLON = 1.0D-4
EPSL   = 5.0D-3
NCOUNT = 0
NDV    = 3
NOC    = 100
```

شکل D.3 برنامه رایانه ای روش تندترین کاهش

## پیوست D - نموده برنامه های رایانه ای

```

C      STARTING VALUES OF THE DESIGN VARIABLES
C
C      X(1) = 2.0D0
C      X(2) = 4.0D0
C      X(3) = 10.0D0

      CALL GRAD(X,G,NDV)
      WRITE(*,10)
10     FORMAT(' NO.    COST FUNCT STEP SIZE',
     &           ' NORM OF GRAD ')
      DO 20 K = 1, NOC
         CALL SCALE (G,D,-1.0D0,NDV)
         CALL GOLDM(X,D,WK,ALFA,DELTA,EPSLON,F,NCOUNT,NDV)
         CALL SCALE (D,D,ALFA,NDV)
         CALL PRINT(K,X,ALFA,G,F,NDV)
         CALL ADD(X,D,X,NDV)
         CALL GRAD(X,G,NDV)
         IF(TNORM(G,NDV) .LE. EPSL) GO TO 30
20     CONTINUE
      WRITE (*,*)
      WRITE(*,*) ' LIMIT ON NO. OF CYCLES HAS EXCEEDED'
      WRITE(*,*) ' THE CURRENT DESIGN VARIABLES ARE:'
      WRITE(*,*) X
      CALL EXIT

30     WRITE(*,*)
      WRITE(*,*) 'THE OPTIMAL DESIGN VARIABLES ARE:'
      WRITE (*,40) X
40     FORMAT(3F15.6)
      CALL FUNCT(X,F,NCOUNT,NDV)
      WRITE(*,50)' THE OPTIMUM COST FUNCTION VALUE IS ', F
50     FORMAT(A, F13.6)
      WRITE (*,*) 'TOTAL NO. OF FUNCTION EVALUATIONS ARE', NCOUNT

      STOP
      END

      SUBROUTINE GRAD(X,G,NDV)
C      CALCULATES THE GRADIENT OF F(X) IN VECTOR G
C
C      IMPLICIT DOUBLE PRECISION (A-H, O-Z)
      DIMENSION X(NDV),G(NDV)

      G(1) = 2.0D0 * X(1) + 2.0D0 * X(2)
      G(2) = 2.0D0 * X(1) + 4.0D0 * X(2) + 2.0D0 * X(3)
      G(3) = 2.0D0 * X(2) + 4.0D0 * X(3)

      RETURN
      END

```

```

SUBROUTINE SCALE (A,X,S,M)
C
C MULTIPLES VECTOR A(M) BY SCALAR S AND STORES IN X(M)
C
C IMPLICIT DOUBLE PRECISION (A-H, O-Z)
DIMENSION A(M),X(M)

DO 10 I = 1, M
    X(I) = S * A(I)
10 CONTINUE

RETURN
END

DOUBLE PRECISION FUNCTION TNORM(X,N)
C
C CALCULATES NORM OF VECTOR X(N)
C
C IMPLICIT DOUBLE PRECISION (A-H, O-Z)
DIMENSION X(N)

SUM = 0.0D0
DO 10 I = 1, N
    SUM = SUM + X(I) * X(I)
10 CONTINUE
TNORM = DSQRT(SUM)

RETURN
END

SUBROUTINE ADD(A,X,C,M)
C
C ADDS VECTORS A(M) AND X(M) AND STORES IN C(M)
C
C IMPLICIT DOUBLE PRECISION (A-H, O-Z)
DIMENSION A(M), X(M), C(M)

DO 10 I = 1, M
    C(I) = A(I) + X(I)
10 CONTINUE

RETURN
END

SUBROUTINE PRINT(I,X,ALFA,G,F,M)
C
C PRINTS THE OUTPUT
C
C IMPLICIT DOUBLE PRECISION (A-H, O-Z)
DIMENSION X(M),G(M)

WRITE (*,10) I, F, ALFA, TNORM(G,M)
10 FORMAT(14, 3F15.6)

RETURN
END

```

```

SUBROUTINE FUNCT(X,F,NCOUNT,NDV)
C
C      CALCULATES THE FUNCTION VALUE
C
C      IMPLICIT DOUBLE PRECISION (A-H, O-Z)
C      DIMENSION X(NDV)

      NCOUNT = NCOUNT + 1
      F = X(1) ** 2 + 2.D0 * (X(2) ** 2) + 2.D0 * (X(3) ** 2)
      &      + 2.0D0 * X(1) * X(2) + 2.D0 * X(2) * X(3)

      RETURN
      END

SUBROUTINE UPDATE (XN,X,D,AL,NDV)
C
C      UPDATES THE DESIGN VARIABLE VECTOR
C
C      IMPLICIT DOUBLE PRECISION (A-H, O-Z)
C      DIMENSION XN(NDV), X(NDV), D(NDV)

      DO 10 I = 1, NDV
         XN(I) = X(I) + AL * D(I)
10    CONTINUE

      RETURN
      END

SUBROUTINE GOLDM(X,D,XN,ALFA,DELTA,EPSON,F,NCOUNT,NDV)
C
C      IMPLEMENTS GOLDEN SECTION SEARCH FOR MULTIVARIATE PROBLEMS
C      X      = CURRENT DESIGN POINT
C      D      = DIRECTION VECTOR
C      XN     = CURRENT DESIGN + TRIAL STEP * SEARCH DIRECTION
C      ALFA   = OPTIMUM VALUE OF ALPHA ON RETURN
C      DELTA   = INITIAL STEP LENGTH
C      EPSON  = CONVERGENCE PARAMETER
C      F      = OPTIMUM VALUE OF THE FUNCTION
C      NCOUNT = NUMBER OF FUNCTION EVALUATIONS ON RETURN
C
C      IMPLICIT DOUBLE PRECISION (A-H, O-Z)
C      DIMENSION X(NDV), D(NDV), XN(NDV)

      GR = 0.5D0 * DSQRT(5.0D0) + 0.5D0
      DELTA1 = DELTA

C
C      ESTABLISH INITIAL DELTA
C
      AL = 0 D0
      CALL UPDATE(XN,X,D,AL,NDV)
      CALL FUNCT(XN,F,NCOUNT,NDV)

```

```

F = FL.
10 CONTINUE
AA = DELTA1
CALL UPDATE(XN,X,D,AA,NDV)
CALL FUNCT(XN,FA,NCOUNT,NDV)
IF (FA .GT. FL) THEN
    DELTA1 = DELTA1 * 0.1D0
    GO TO 10
END IF
C
C ESTABLISH INITIAL INTERVAL OF UNCERTAINTY
C
J = 0
20 CONTINUE
J = J + 1
AU = AA + DELTA1 * (GR ** J)
CALL UPDATE(XN,X,D,AU,NDV)
CALL FUNCT(XN,FU,NCOUNT,NDV)
IF (FA .GT. FU) THEN
    AL = AA
    AA = AU
    FL = FA
    FA = FU
    GO TO 20
END IF
C
C REFINE THE INTERVAL OF UNCERTAINTY FURTHER
C
AB = AL + (AU - AL) / GR
CALL UPDATE(XN,X,D,AB,NDV)
CALL FUNCT(XN,FB,NCOUNT,NDV)
30 CONTINUE
IF((AU-AL) .LE. EPSILON) GO TO 80
C
C IMPLEMENT STEPS 4, 5 OR 6 OF THE ALGORITHM
C
IF (FA-FB) 40, 60, 50
C
C FA IS LESS THAN FB (STEP 4)
C
40 AU = AB
FU = FB
AB = AA
FB = FA
AA = AL + (1.0D0 - 1.0D0 / GR) * (AU - AL)
CALL UPDATE(XN,X,D,AA,NDV)
CALL FUNCT(XN,FA,NCOUNT,NDV)
GO TO 30
C
C FA IS GREATER THAN FB (STEP 5)
C
50 AL = AA

```

## پیوست D- نمونه برنامه های رایانه ای

```

FL = FA
AA = AB
FA = FB
AB = AL + (AU - AL) / GR
CALL UPDATE(XN,X,D,AB,NDV)
CALL FUNCT(XN,FB,NCOUNT,NDV)
GO TO 30

C
C   FA IS EQUAL TO FB (STEP 6)
C
60   AL = AA
     FL = FA
     AU = AB
     FU = FB
     AA = AL + (1.0D0 - 1.0D0 / GR) * (AU - AL)
     CALL UPDATE(XN,X,D,AA,NDV)
     CALL FUNCT(XN,FA,NCOUNT,NDV)
     AB = AL + (AU - AL) / GR
     CALL UPDATE(XN,X,D,AB,NDV)
     CALL FUNCT(XN,FB,NCOUNT,NDV)
     GO TO 30

C
C   MINIMUM IS FOUND
C
80   ALFA = (AU + AL) * 0.5D0

      RETURN
      END

```

شکل 3. ادامه

## D.5 روش نیوتون بهبود یافته

روش نیوتون بهبود یافته نرخ همگرایی درجه دو دارد، زیرا گرادیان و هسیان تابع را محاسبه می کند. دقیق کنید که اگر چه روش یک نرخ همگرایی فوق العاده دارد ولی ممکن است به خاطر منفرد بودن یا نامعین بودن ماتریس هسیان تابع هزینه، واگرا شود. یک برنامه برای این روش در شکل D.4 ارائه شده است. تابع هزینه، بردار گرادیان و ماتریس هسیان به ترتیب در برنامه فرعی فانکت، گراد (GRAD) و هسن (HASN) محاسبه می گردند. برای مثال، در شکل 4.4 ارائه شده است. تابع  $f(x) = x_1^2 + 2x_2^2 + 2x_3^2 + 2x_1x_2 + 2x_2x_3$  به عنوان تابع هزینه انتخاب شده است. جهت نیوتون با حل دستگاه معادلات خطی در برنامه فرعی سیس اک (SYSEQ) به دست می آید. امید می رود که جهت نیوتون یک جهت کاهشی که در آن جست و جوی خطی از محاسبه یک طول گام مناسب ناتوان است نباشد. در آن حالت، چرخه تکرار متوقف شده و یک پیغام مناسب چاپ می شود. برنامه اصلی برای روش نیوتون بهبود یافته و برنامه های فرعی مربوط در شکل 4.4 ارائه شده است.

```

C THE MAIN PROGRAM FOR MODIFIED NEWTON'S METHOD
C .....  

C DELTA = INITIAL STEP LENGTH FOR LINE SEARCH
C EPSILON = LINE SEARCH ACCURACY
C EPSL = STOPPING CRITERION FOR MODIFIED NEWTON'S METHOD
C NCOUNT = NO. OF FUNCTION EVALUATIONS
C NDV = NO. OF DESIGN VARIABLES
C NOC = NO. OF CYCLES OF THE METHOD
C X = DESIGN VARIABLE VECTOR
C D = DIRECTION VECTOR
C G = GRADIENT VECTOR
C H = HESSIAN MATRIX
C WK = WORK ARRAY USED FOR TEMPORARY STORAGE
C .....  

IMPLICIT DOUBLE PRECISION (A-H, O-Z)
DIMENSION X(3), D(3), G(3), H(3,3), WK(3)
C  

C DEFINE INITIAL DATA
C  

DELTA = 5.0D-2
EPSILON = 1.0D-4
EPSL = 5.0D-3
NCOUNT = 0
NDV = 3
NOC = 100
C  

C STARTING VALUES OF THE DESIGN VARIABLES
C  

X(1) = 2.0D0
X(2) = 4.0D0
X(3) = 10.0D0
CALL GRAD(X,G,NDV)
WRITE(*,10)
10 FORMAT(' NO. COST FUNCT STEP SIZE'.
& ' NORM OF GRAD ')
DO 20 K = 1, NOC
  CALL HASN(X,H,NDV)
  CALL SCALE(G,D,-1.0D0,NDV)
  CALL SYSEQ(H,NDV,D)
C  

C CHECK FOR THE DESCENT CONDITION
C  

IF (DOT(G,D,NDV) .GE. 1.0E-8) GO TO 60
CALL GOLDM(X,D,WK,ALFA,DELTA,EPSL,F,NCOUNT,NDV)
CALL SCALE(D,D,ALFA,NDV)
CALL PRINT(K,X,ALFA,G,F,NDV)
CALL ADD(X,D,X,NDV)
CALL GRAD(X,G,NDV)
IF(TNORM(G,NDV) .LE. EPSL) TO TO 30

```

**پیوست D - نمونه برنامه های رایانه ای**

```

20    CONTINUE
      WRITE(*,*)
      WRITE(*,*) ' LIMIT ON NO. OF CYCLES HAS EXCEEDED'
      WRITE(*,*) ' THE CURRENT DESIGN VARIABLES ARE:'
      WRITE(*,*) X
      CALL EXIT

30    WRITE(*,*)
      WRITE(*,*) 'THE OPTIMAL DESIGN VARIABLES ARE :'
      WRITE(*,40) X
40    FORMAT(4X,3F15.6)
      CALL FUNCT(X,F,NCOUNT,NDV)
      WRITE(*,50) ' OPTIMUM COST FUNCTION VALUE IS :, F
50    FORMAT(A,F13.6)
      WRITE(*,*) 'NO. OF FUNCTION EVALUATIONS ARE : ', NCOUNT
      CALL EXIT

60    WRITE(*,*)
      WRITE(*,*) ' DESCENT DIRECTION CANNOT BE FOUND'
      WRITE(*,*) ' THE CURRENT DESIGN VARIABLES ARE:'
      WRITE(*,40) X

      STOP
      END

```

**DOUBLE PRECISION FUNCTION DOT(X,Y,N)**

```

C
C   CALCULATES DOT PRODUCT OF VECTORS X AND Y
C
IMPLICIT DOUBLE PRECISION (A-H,0-Z)
DIMENSION X(N),Y(N)

SUM = 0.0D0
DO 10 I = 1, N
  SUM = SUM + X(I) * Y(I)
10  CONTINUE
DOT = SUM

RETURN
END

```

**SUBROUTINE HASN(X,H,N)**

```

C
C   CALCULATES THE HESSIAN MATRIX H AT X
C
IMPLICIT DOUBLE PRECISION (A-H,O-Z)
DIMENSION X(N),H(N,N)

H(1,1) = 2.0D0
H(2,2) = 4.0D0
H(3,3) = 4.0D0
H(1,2) = 2.0D0
H(1,3) = 0.0D0

```

```

H(2,3) = 2.0D0
H(2,1) = H(1,2)
H(3,1) = H(1,3)
H(3,2) = H(2,3)

RETURN
END

SUBROUTINE SYSEQ(A,N,B)
C
C SOLVES AN  $N \times N$  SYMMETRIC SYSTEM OF LINEAR EQUATIONS  $AX = B$ 
C A IS THE COEFFICIENT MATRIX; B IS THE RIGHT HAND SIDE; THESE ARE
C INPUT
C B CONTAINS SOLUTION ON RETURN
C
C IMPLICIT DOUBLE PRECISION (A-H,O-Z)
C DIMENSION A(N,N), B(N)
C
C REDUCTION OF EQUATIONS
C
M = 0
50 M = M + 1
MM = M + 1
B(M) = B(M) / A(M,M)
IF (M - N) 70, 130, 70
70 DO 80 J = MM, N
      A(M,J) = A(M,J) / A(M,M)
80 CONTINUE
C
C SUBSTITUTION INTO REMAINING EQUATIONS
C
DO 120 I = MM, N
  IF(A(I,M)) 90, 120, 90
90  DO 100 J = I, N
      A(I,J) = A(I,J) - A(I,M) * A(M,J)
      A(J,I) = A(I,J)
100 CONTINUE
  B(I) = B(I) - A(I,M) * B(M)
120 CONTINUE
GO TO 50
C
C BACK SUBSTITUTION
C
130 M = M - 1
MM = M + 1
DO 140 J = MM, N
      B(M) = B(M) - A(M,J) * B(J)
140 CONTINUE
GO TO 130
150 RETURN
END

```



અધ્યાત્મ

- Abadie, J. (Ed.) (1970). *Nonlinear Programming*, North-Holland, Amsterdam, Chapter 6.
- Abadie, J. and Carpenter, J. (1969). Generalization of the Wolfe Reduced Gradient Method to the Case of Nonlinear Constraints. In *Optimization*, R. Fletcher (Ed.), Academic Press, New York, pp. 37-47.
- Ackoff, R. L. and Sasieni, M. W. (1968). *Fundamentals of Operations Research*, John Wiley and Sons, New York.
- Adelman, H. and Haftka, R. T. (1986). Sensitivity Analysis of Discrete Structural Systems. *AIAA J.*, Vol. 24, No. 5, pp. 823-832.
- Aoki, M. (1971). *Introduction to Optimization Techniques*, Macmillan, New York.
- Arora, J. S. (1984). An Algorithm for Optimum Structural Design Without Line Search. In *New Directions in Optimum Structural Design*, E. Atrek, R. H. Gallagher, K. M. Ragsdell and O. C. Zienkiewicz (Eds), John Wiley and Sons, New York, pp. 429-441.
- Arora, J. S. and Baenziger, G. (1986). Uses of Artificial Intelligence in Design Optimization. *Computer Methods in Applied Mechanics and Engineering*, Vol. 54, pp. 303-323.
- Arora, J. S. and Baenziger, G. (1987). A Nonlinear Optimization Expert System. *Proceedings of the ASCE Structures Congress '87, Computer Applications in Structural Engineering*, D. R. Jenkins (Ed.), pp. 113-125.
- Arora, J. S. and Haug, E. J. (1979). Methods of Design Sensitivity Analysis in Structural Optimization. *AIAA J.*, Vol. 17, No. 9, pp. 970-974.
- Arora, J. S. and Thanedar, P. B. (1986). Computational Methods for Optimum Design of Large Complex Systems. *Computational Mechanics*, Vol. 1, No. 2, pp. 221-242.
- Arora, J. S. and Tseng, C. H. (1987a). *User's Manual for IDESIGN: Version 3.5*, Optimal Design Laboratory, College of Engineering, The University of Iowa, Iowa City, IA 52242, U.S.A. (the program can be acquired by contacting the author).
- Arora, J. S. and Tseng, C. H. (1987b). An Investigation of Pshenichnyi's Recursive Quadratic Programming Method for Engineering Optimization - A Discussion. *Journal of Mechanisms, Transmissions and Automation in Design, Transactions of the ASME*, Vol. 109, No. 6, pp. 254-256.
- Arora, J. S. and Tseng, C. H. (1988). Interactive Design Optimization. *Engineering Optimization*, Vol. 13, pp. 173-188.

- ASTM (1980). *Standard Metric Practice*, No. E380-79, American Society for Testing and Material, 1916 Race St., Philadelphia, Pa 19103.
- Atkinson, K. E. (1978). *An Introduction to Numerical Analysis*, John Wiley and Sons, New York.
- Bartel, D. L. (1969). *Optimum Design of Spatial Structures*. Ph.D. Dissertation, College of Engineering, The University of Iowa, Iowa City.
- Belegundu, A. D. and Arora, J. S. (1984a). A Recursive Quadratic Programming Algorithm with Active Set Strategy for Optimal Design. *International Journal for Numerical Methods in Engineering*, Vol. 20, No. 5, pp. 803-816.
- Belegundu, A. D. and Arora, J. S. (1984b). A Computational Study of Transformation Methods for Optimal Design. *AIAA J.*, Vol. 22, No. 4, pp. 535-542.
- Belegundu, A. D. and Arora, J. S. (1985). A Study of Mathematical Programming Methods for Structural Optimization. *International Journal for Numerical Methods in Engineering*, Vol. 21, No. 9, pp. 1583-1624.
- Bell, W. W. (1975). *Matrices for Scientists and Engineers*, Van Nostrand Reinhold, New York.
- Blank, L. and Tarquin, A. (1983). *Engineering Economy*, 2nd ed., McGraw-Hill, New York.
- Cauchy, A. (1847). Method Generale Pour La Resolution des Systemes d'Equations Simultanees. *Compt. Rend. Aca. Sci.*, Vol. 25, pp. 536-538.
- Clough, R. W. and Penzien, J. (1975). *Dynamics of Structures*, McGraw-Hill, New York.
- Cook, R. D. (1981). *Concepts and Applications of Finite Element Analysis*, John Wiley and Sons, New York.
- Cooper, L. and Steinberg, D. (1970). *Introduction to Methods of Optimization*, W. B. Saunders, Philadelphia.
- Corcoran, P. J. (1970). Configuration Optimization of Structures. *International Journal of Mechanical Sciences*, Vol. 12, pp. 459-462.
- Crandall, S. H., Dahl, H. C. and Lardner, T. J. (1978). *Introduction to Mechanics of Solids*, McGraw-Hill, New York.
- Dano, S. (1974). *Linear Programming in Industry*, 4th ed., Springer-Verlag, New York.
- Day, H. J. and Dolbear, F. (1965). Regional Water Quality Management. *Proceedings of the 1st Annual Meeting of the American Water Resources Association*, University of Chicago, pp. 283-309.
- De Boor, C. (1978). *A Practical Guide to Splines*, Vol. 27, Applied Mathematical Sciences, Springer-Verlag, New York.
- Deif, A. S. (1982). *Advanced Matrix Theory for Scientists and Engineers*, Halsted Press, New York.
- Deininger, R. A. (1975). Water Quality Management-The Planning of Economically Optimal Pollution Control Systems. *Proceedings of the 1st Annual Meeting of the American Water Resources Association*, University of Chicago, pp. 254-282.
- Drew, D. (1968). *Traffic Flow Theory and Control*, McGraw-Hill, New York.
- Fletcher, R. and Powell, M. J. D. (1963). A Rapidly Convergent Descent Method for Minimization. *The Computer Journal*, Vol. 6, pp. 163-180.
- Fletcher, R. and Reeves, R. M. (1964). Function Minimization by Conjugate Gradients. *The Computer Journal*, Vol. 7, pp. 149-160.
- Forsythe, G. E. Moler, C. B. (1967). *Computer Solution of Linear Algebraic Systems*, Prentice-Hall, Englewood Cliffs.
- Franklin, J. N. (1968). *Matrix Theory*, Prentice-Hall, Englewood Cliffs.
- Gabrielle, G. A. and Beltracchi, T. J. (1987). An Investigation of Pschenichnyi's Recursive Quadratic Programming Method for Engineering Optimization. *Journal of Mechanisms, Transmissions and Automation in Design*, Transactions of the ASME, Vol. 109, No. 6, pp. 248-253.

- Gere, J. M. and Weaver, W. (1983). *Matrix Algebra for Engineers*, Brooks/Cole Engineering Division, Monterey.
- Gill, P. E., Murray, W. and Wright, M. H. (1981). *Practical Optimization*, Academic Press, New York.
- Gill, P. E., Murray, W., Saunders, M. A. and Wright, M. H. (1984). *User's Guide for QPSOL: Version 3.2*, Systems Optimization Laboratory, Department of Operations Research, Stanford University, Stanford, California 94305, USA.
- Grandin, H. (1986). *Fundamentals of The Finite Element Method*, Macmillan, New York.
- Grant, E. L., Ireson, W. G. and Leavenworth, R. S. (1982). *Principles of Engineering Economy*, 7th ed., John Wiley and Sons, New York.
- Hadley, G. (1961). *Linear Programming*, Addison-Wesley, Reading, MA.
- Hadley, G. (1964). *Nonlinear and Dynamic Programming*, Addison-Wesley, Reading, MA.
- Haftka, R. T. and Kamat, M. P. (1985). *Elements of Structural Optimization*, Martinus Nijhoff, Dordrecht.
- Han, S. P. (1976). Superlinearly Convergent Variable Metric Algorithms for General Nonlinear Programming. *Math. Programming*, Vol. 11, pp. 263-282.
- Han, S. P. (1977). A Globally Convergent Method for Nonlinear Programming. *Journal of Optimization Theory and Applications*, Vol. 22, pp. 297-309.
- Haug, E. J. and Arora, J. S. (1979). *Applied Optimal Design*, Wiley Interscience, New York.
- Hock, W. and Schittkowski, K. (1980). *Test Examples for Nonlinear Programming Codes*, Lecture Notes in Economics and Mathematical Systems, 187, Springer-Verlag, New York.
- Hock, W. and Schittkowski, K. (1983). A Comparative Performance Evaluation of 27 Nonlinear Programming Codes. *Computing 30*, Springer-Verlag, New York, pp. 335-358.
- Hohn, F. E. (1964). *Elementary Matrix Algebra*, Macmillan, New York.
- Hopper, M. J. (1981). *Harwell Subroutine Library*, Computer Science and Systems Division, AERE Harwell, Oxfordshire.
- Hsieh, C. C. and Arora, J. S. (1984). Design Sensitivity Analysis and Optimization of Dynamic Response. *Computer Methods in Applied Mechanics and Engineering*, Vol. 43, pp. 195-219.
- Huebner, K. H. and Thornton, E. A. (1982). *The Finite Element Method for Engineers*, John Wiley and Sons, New York.
- Iyengar, N. G. R. and Gupta, S. K. (1980). *Programming Methods in Structural Design*, John Wiley and Sons, New York.
- Jennings, A. (1977). *Matrix Computations for Engineers*, John Wiley and Sons, New York.
- Kunzi, H. P. and Krelle, W. (1966). *Nonlinear Programming*, Blaisdell Publishing Co., Waltham, MA.
- Lemke, C. E. (1965). Bimatrix Equilibrium Points and Mathematical Programming. *Management Science*, Vol. 11, pp. 631-689.
- Lim, O. K. and Arora, J. S. (1986). An Active Set RQP Algorithm for Optimal Design. *Computer Methods in Applied Mechanics and Engineering*, Vol. 57, pp. 51-65.
- Lim, O. K. and Arora, J. S. (1987). Dynamic Response Optimization Using an Active Set RQP Algorithm. *International Journal for Numerical Methods in Engineering*, Vol. 24, No. 10, pp. 1827-1840.
- Luenberger, D. G. (1984). *Linear and Nonlinear Programming*, Addison-Wesley, Reading, MA.
- Lynn, W. R. (1964). State Development of Wastewater Treatment Works. *J. Water Pollution Control Federation*, pp. 722-751.

- Marquardt, D. W. (1963). An Algorithm for Least Squares Estimation of Nonlinear Parameters. *SIAM J.*, Vol. 11, pp. 431-441.
- McCormick, G. P. (1967). Second Order Conditions for Constrained Optima. *SIAM J. Applied Mathematics*, Vol. 15, pp. 641-652.
- Meirovitch, L. (1985). *Introduction to Dynamics and Controls*, John Wiley and Sons, New York.
- NAG (1984). "FORTRAN Library Manual". Numerical Algorithms Group, 1101 31st Street, Suite 100, Downers Grove, Illinois 60515, USA.
- Osman, M. O. M., Sankar, S. and Dukkipati, R. V. (1978). Design Synthesis of a Multi-speed Machine Tool Gear Transmission Using Multiparameter Optimization. *Journal of Mechanical Design, Transactions of ASME*, Vol. 100, April, pp. 303-310.
- Pederson, D. R., Brand, R. A., Cheng, C. and Arora, J. S. (1987). Direct Comparison of Muscle Force Predictions Using Linear and Nonlinear Programming. *Journal of Biomechanical Engineering, Transactions of the ASME*, Vol. 109, No. 3, pp. 192-199.
- Powell, M. J. D. (1978a). A Fast Algorithm for Nonlinearity Constrained Optimization Calculations. *Lecture Notes in Mathematics*, G. A. Watson et al. (Eds), Springer Verlag, Berlin. (Also in *Numerical Analysis*, Proceedings of the Biennial Conference held at Dundee, June 1977.)
- Powell, M. J. D. (1978b). The Convergence of Variable Metric Methods for Nonlinearity Constrained Optimization Calculations. In *Nonlinear Programming 3*, O. L. Mangasarian, R. R. Meyer and S. M. Robinson (Eds), Academic Press, New York.
- Powell, M. J. D. (1978c). Algorithms for Nonlinear Functions that Use Lagrange Functions. *Mathematical Programming*, Vol. 14, pp. 224-248.
- Pshenichny, B. N. (1978). Algorithms for the General Problem of Mathematical Programming. *Kibernetika*, No. 5.
- Randolph, P. H. and Meeks, H. D. (1978). *Applied Linear Optimization*, Grid Inc., 4666 Indianola Avenue, Columbus, OH.
- Ravindran, A. and Lee, H. (1981). Computer Experiments on Quadratic Programming Algorithms. *European Journal of Operations Research*, Vol. 8, No. 2, pp. 166-174.
- Reklaitis, G. V., Ravindran, A. and Ragsdell, K. M. (1983). *Engineering Optimization: Methods and Applications*, John Wiley and Sons, New York.
- Roark, R. J. and Young, W. C. (1975). *Formulas for Stress and Strain*, 8th ed., McGraw-Hill, New York.
- Rosen, J. B. (1961). The Gradient Projection Method for Nonlinear Programming. *Journal of the Society for Industrial and Applied Mathematics*, Vol. 9, pp. 514-532.
- Rubinstein, M. F. and Karagozian, J. (1966). Building Design Under Linear Programming. *Proc. ASCE*, Vol. 92, No. ST6, pp. 223-245.
- Sargeant, R. W. H. (1974). Reduced-gradient and Projection Methods for Nonlinear Programming. In *Numerical Methods for Constrained Optimization*, P. E. Gill and W. Murray (Eds), Academic Press, New York. pp. 149-174.
- Sasieni, M., Yaspan, A. and Friedman, L. (1960). *Operations-Methods and Problems*, John Wiley and Sons, New York.
- Schittkowski, K. (1981). The Nonlinear Programming Method of Wilson, Han and Powell with an Augmented Lagrangian Type Line Search Function, Part 1: Convergence Analysis, Part 2: An Efficient Implementation with Linear Least Squares Subproblems. *Numerische Mathematik*, Vol. 38, pp. 83-127.

- Schmit, L. A. ( 1960). Structural Design by Systematic Synthesis. *Proceedings of the Second ASCE Conference on Electronic Computations*, Pittsburgh, pp. 105-122.
- Schrage, L. (1981). *User's Manual for LINDO*, The Scientific Press, Palo Alto, CA.
- Shampine, L. F. and Gordon, M. K. (1975). *Computer Simulation of Ordinary Differential Equations: The Initial Value Problem*. W. H. Freeman, San Francisco.
- Shigley, J. E. (1977). *Mechanical Engineering Design*, McGraw-Hill, New York.
- Siddall, J. N. (1972). *Analytical Decision-Making In Engineering Design*, Prentice Hall, Englewood Cliffs.
- Spotts, M. F. (1953). *Design of Machine Elements*, 2nd ed., Prentice Hall, Englewood Cliffs. Stark, R. M. and Nicholls, R. L. (1972). *Mathematical Foundations for Design: Civil Engineering Systems*, McGraw-Hill, New York.
- Stewart, G. (1973). *Introduction to Matrix Computations*, Academic Press, New York. Stoecker, W. F. (1971). *Design of Thermal Systems*, McGraw-Hill, New York.
- Strang, G. (1976). *Linear Algebra and Its Applications*, Academic Press, New York.
- Sun, P. F., Arora, J. S. and Haug, E. J. (1975). *Fail-Safe Optimal Design of Structures*, Technical Report No. 19 (also Ph.D. Dissertation of P. F. Sun), Department of Civil and Environmental Engineering, The University of Iowa, Iowa City.
- Thanedar, P. B., Arora, J. S. and Tseng, C. H. (1986). A Hybrid Optimization Method and Its Role in Computer Aided Design. *Computers and Structures*, Vol. 23, No. 3, pp. 305-314.
- Thanedar, P. B., Arora, J. S., Tseng, C. H., Lim, O. K. and Park, G. J. (1987). Performance of Some SQP Algorithms on Structural Design Problems. *International Journal for Numerical Methods in Engineering*, Vol. 23, No. 12, pp. 2187-2203.
- Tseng, C. H. and Arora, J. S. (1987). Optimal Design for Dynamics and Control Using a Sequential Quadratic Programming Algorithm. Technical Report No. ODL-87.10, Optimal Design Laboratory, College of Engineering, The University of Iowa, Iowa City.
- Tseng, C. H. and Arora, J. S. (1988). On Implementation of Computational Algorithms for Optimal Design 1: Preliminary Investigation; 2: Extensive Numerical Investigation. *International Journal for Numerical Methods in Engineering*, Vol. 26, No. 6, pp. 1365-1402.
- Vanderplaats, G. N. (1984). *Numerical Optimization Techniques for Engineering Design with Applications*, McGraw-Hill, New York.
- Vanderplaats, G. N. and Yoshida, N. (1985). Efficient Calculation of Optimum Design Sensitivity. *AIAA J.*, Vol. 23, No. 11, pp. 1798-1803.
- Wahl, A. M. (1963). *Mechanical Springs*, 2nd ed., McGraw-Hill, New York.
- Wilson, R. B. (1963). *A Simplicial Algorithm for Concave Programming*, Ph.D. Dissertation, Graduate School of Business Administration, Harvard University, Boston.
- Wohl, M. and Martin, B. V. (1967). *Traffic Systems Analysis*, McGraw-Hill, New York.
- Wolfe, P. (1959). The Simplex Method for Quadratic Programming. *Econometrica*, Vol. 27, No. 3, pp. 382-398.
- Wu, N. and Coppins, R. (1981). *Linear Programming and Extensions*, McGraw-Hill, New York.
- Zoutendijk, G. (1960) *Methods of Feasible Directions*, Elsevier, Amsterdam.



## پاسخهای تمرینی انتسابی

### فصل دوم رابطه سازی مسائل طراحی بهین

- 2.25**  $x^* = (2, 2)$ ,  $f^* = 2$ . **2.26**  $x^* = (0, 4)$ ,  $f^* = -8$ . **2.27**  $x^* = (8, 10)$ ,  $f^* = 38$ .  
**2.28**  $x^* = (4, 3.333, 2)$ ,  $f^* = -11.33$ . **2.29**  $x^* = (10, 10)$ ,  $f^* = -400$ . **2.30**  $x^* = (0, 0)$ ,  $f^* = 0$ . **2.31**  $x^* = (0, 0)$ ,  $f^* = 0$ . **2.32**  $x^* = (2, 3)$ ,  $f^* = -22$ .  
**2.33**  $x^* = (-2.5, 1.58)$ ,  $f^* = -3.95$ . **2.34**  $x^* = (-0.5, 0.167)$ ,  $f^* = -0.5$ .  
**2.35**  $b^* = 24.66 \text{ cm}$ ,  $d^* = 49.32 \text{ cm}$ ,  $f^* = 1216 \text{ cm}^3$ . **2.36**  $R_o^* = 20 \text{ cm}$ ,  $R_i^* = 19.84 \text{ cm}$ ,  $f^* = 79.1 \text{ kg}$ . **2.37**  $R^* = 53.6 \text{ mm}$ ,  $t = 5.0 \text{ mm}$ ,  $f^* = 66 \text{ kg}$ .  
**2.38**  $R_o^* = 56 \text{ mm}$ ,  $R_i^* = 51 \text{ mm}$ ,  $f^* = 66 \text{ kg}$ . **2.39**  $w^* = 93 \text{ mm}$ ,  $t^* = 5 \text{ mm}$ ,  $f^* = 70 \text{ kg}$ . **2.40** Infinite optimum points,  $f^* = 0.812 \text{ kg}$ . **2.41**  $A^* = 5000$ ,  $h^* = 14$ ,  $f^* = 13.4 \text{ mil. dollars}$ . **2.42**  $R^* = 1.0077 \text{ m}$ ,  $t^* = 0.0168 \text{ m}$ ,  $f^* = 1.0424 \text{ m}^3$ .  
**2.43**  $A_1^* = 6.1 \text{ cm}^2$ ,  $A_2^* = 2.0 \text{ cm}^2$ ,  $f^* = 5.39 \text{ kg}$ . **2.45**  $t^* = 8.45$ ,  $f^* = 1.91 \times 10^5$ . **2.46**  $R^* = 7.8$ ,  $H^* = 15.6$ ,  $f^* = 1.75 \times 10^6$ . **2.47** Infinite optimum points; one point:  $R^* = 0.4 \text{ m}$ ,  $t^* = 1.59 \times 10^{-3}$ ,  $f^* = 15.7 \text{ kg}$ . **2.48** For  $l = 0.5 \text{ m}$ ,  $T_0 = 10 \text{ kN} \cdot \text{m}$ ,  $T_{\max} = 20 \text{ kN} \cdot \text{m}$ ,  $x_1^* = 103 \text{ mm}$ ,  $x_2^* = 0.955$ ,  $f^* = 2.9 \text{ kg}$ .  
**2.49** For  $l = 0.5$ ,  $T_0 = 10 \text{ kN} \cdot \text{m}$ ,  $T_{\max} = 20 \text{ kN} \cdot \text{m}$ ,  $d_o^* = 103 \text{ mm}$ ,  $d_i^* = 98.36 \text{ mm}$ ,  $f^* = 2.9 \text{ kg}$ . **2.50**  $R^* = 50.3 \text{ mm}$ ,  $t^* = 2.35 \text{ mm}$ ,  $f^* = 2.9 \text{ kg}$ .  
**2.51**  $R^* = 20 \text{ cm}$ ,  $H^* = 7.2 \text{ cm}$ ,  $f^* = -9000 \text{ cm}^3$ . **2.52**  $R^* = 0.5 \text{ cm}$ ,  $N^* = 2550$ ,  $f^* = -8000$  ( $l = 10$ ). **2.53** (a)  $R^* = 33.7 \text{ mm}$ ,  $t^* = 5.0$ ,  $f^* = 41 \text{ kg}$ . (b)  
 $R_o^* = 36 \text{ mm}$ ,  $R_i^* = 31 \text{ mm}$ ,  $f^* = 41 \text{ kg}$ . **2.54** (a)  $R^* = 21.5 \text{ mm}$ ,  $t^* = 5.0 \text{ mm}$ ,  $f^* = 26 \text{ kg}$ . (b)  $R_o^* = 24.0 \text{ mm}$ ,  $R_i^* = 19.0 \text{ mm}$ ,  $f^* = 26 \text{ kg}$ . **2.55** (a)  $R^* = 27$ ,  $t^* = 5 \text{ mm}$ ,  $f^* = 33 \text{ kg}$ . (b)  $R_o^* = 29.5 \text{ mm}$ ,  $R_i^* = 24.5 \text{ mm}$ ,  $f^* = 33 \text{ kg}$ .  
**2.56**  $D^* = 8.0 \text{ cm}$ ,  $H^* = 8.0 \text{ cm}$ ,  $f^* = 301.6 \text{ cm}^2$ . **2.57**  $A_1^* = 413.68 \text{ mm}$ ,  $A_2^* = 163.7 \text{ mm}$ ,  $f^* = 5.7 \text{ kg}$ . **2.58** Infinite optimum points; one point:  $R^* = 20 \text{ mm}$ ,

$t^* = 3.3 \text{ mm}, f^* = 8.1 \text{ kg}$ . **2.59**  $A^* = 390 \text{ mm}^2, h^* = 500 \text{ mm}, f^* = 5.5 \text{ kg}$ .  
**2.60**  $A^* = 410 \text{ mm}^2, s^* = 1500 \text{ mm}, f^* = 8 \text{ kg}$ . **2.61**  $A_1^* = 293.7 \text{ mm}^2, A_2^* = 65.6 \text{ mm}^2, f^* = 7 \text{ kg}$ . **2.62**  $R^* = 130 \text{ cm}, t^* = 2.86 \text{ cm}, f^* = 57\,000 \text{ kg}$ .  
**2.63**  $d_o^* = 41.56 \text{ cm}, d_i^* = 40.19 \text{ cm}, f^* = 680 \text{ kg}$ . **2.64**  $d_o^* = 1310 \text{ mm}, t^* = 14.2 \text{ mm}, f^* = 92\,500 \text{ N}$ . **2.65**  $H^* = 50.0 \text{ cm}, D^* = 3.42 \text{ cm}, f^* = 6.6 \text{ kg}$ .

## فصل سوم

### مفاهیم طراحی بهین

**3.2**  $\cos x = 1.044 - 0.1575x - 0.35355x^2$  at  $x = \pi/4$ . **3.3**  $\cos x = 1.1327 - 0.34243x - 0.25x^2$  at  $x = \pi/3$ . **3.4**  $\sin x = -0.02199 + 1.2783x - 0.25x^2$  at  $x = \pi/6$ . **3.5**  $\sin x = -0.06634 + 1.2625x - 0.35355x^2$  at  $x = \pi/4$ . **3.6**  $e^x = 1 + x + 0.5x^2$  at  $x = 0$ . **3.7**  $e^x = 7.389 - 7.389x + 3.6945x^2$  at  $x = 2$ . **3.8**  $\bar{f}(x) = 41x_1^2 - 42x_1 - 40x_1x_2 + 20x_2 + 10x_2^2 + 15; \bar{f}(1.2, 0.8) = 7.64, f(1.2, 0.8) = 8.136$ , Error  $= f - \bar{f} = 0.496$ . **3.9** Indefinite. **3.10** Indefinite. **3.11** Indefinite.  
**3.12** Positive definite. **3.13** Indefinite. **3.14** Indefinite. **3.15** Positive definite. **3.16** Indefinite. **3.18**  $\mathbf{x} = (0, 0)$  – local minimum,  $f = 7$ . **3.19**  $\mathbf{x} = (0, 0)$  – inflection point. **3.20**  $\mathbf{x}^* = (-3.332, 0.0395)$  – local maximum,  $f = 18.58$ ;  $\mathbf{x}^{*2} = (-0.398, 0.5404)$  – inflection point. **3.21**  $\mathbf{x}^* = (4, 8)$  – inflection point;  $\mathbf{x}^{*2} = (-4, -8)$  – inflection point. **3.22**  $\mathbf{x}^* = (2n+1)\pi, n = 0, \pm 1, \pm 2, \dots$  local minima,  $f = -1$ ;  $\mathbf{x}^* = 2n\pi, n = 0, \pm 1, \pm 2, \dots$  local maxima,  $f = 1$ . **3.23**  $\mathbf{x}^* = (0, 0)$  – local minimum,  $f = 0$ . **3.24**  $\mathbf{x}^* = 0$  – local minimum,  $f = 0$ ;  $\mathbf{x}^* = 2$  – local maximum,  $f = 0.541$ . **3.25**  $\mathbf{x}^* = (3.684, 0.7368)$  – local minimum,  $f = 11.0521$ . **3.26**  $\mathbf{x}^* = (1, 1)$  – local minimum,  $f = 1$ . **3.27**  $\mathbf{x}^* = (-\frac{2}{7}, -\frac{6}{7})$  – local minimum,  $f = -\frac{24}{49}$ . **3.28**  $\mathbf{x}^* = (241.7643, 0.03099542)$  – local minimum,  $U = 483.528.6$ ;  $\mathbf{x}^{*2} = (-241.7643, -0.03099542)$  – local maximum. **3.30**  $\mathbf{x}^* = (2.166667, 1.83333)$ ,  $v = -0.166667$ ,  $f = -8.33333$ . **3.31**  $\mathbf{x}^* = (1.5088, 3.272)$ ,  $v = -17.1503$ ,  $f = 244.528$ ;  $\mathbf{x}^{*2} = (2.5945, -2.0198)$ ,  $v = -1.4390$ ,  $f = 15.291$ ;  $\mathbf{x}^{*3} = (-3.630, -3.1754)$ ,  $v = -23.2885$ ,  $f = 453.154$ ;  $\mathbf{x}^{*4} = (-3.7322, 3.0879)$ ,  $v = -2.1222$ ,  $f = 37.877$ . **3.32**  $\mathbf{x} = (2, 2)$ ,  $v = -2$ ,  $f = 2$ . **3.33** (i) No, (ii) Solution of equalities,  $\mathbf{x} = (3, 1)$ ,  $f = 4$ . **3.34**  $\mathbf{x}^* = (0.816, 0.75)$ ,  $\mathbf{u} = (0, 0, 0, 0)$ ,  $f = 2.214$ ;  $\mathbf{x}^{*2} = (0.816, 0)$ ,  $\mathbf{u} = (0, 0, 0, 3)$ ,  $f = 1.0887$ ;  $\mathbf{x}^{*3} = (0, 0.75)$ ,  $\mathbf{u} = (0, 0, 2, 0)$ ,  $f = 1.125$ ;  $\mathbf{x}^{*4} = (1.5073, 1.2317)$ ,  $\mathbf{u} = (0, 0.9632, 0, 0)$ ,  $f = 0.251$ ;  $\mathbf{x}^{*5} = (1.0339, 1.655)$ ,  $\mathbf{u} = (1.2067, 0, 0, 0)$ ,  $f = 0.4496$ ;  $\mathbf{x}^{*6} = (0, 0)$ ,  $\mathbf{u} = (0, 0, 2, 3)$ ,  $f = 0$ ;  $\mathbf{x}^{*7} = (2, 0)$ ,  $\mathbf{u} = (0, 2, 0, 7)$ ,  $f = -4$ ;  $\mathbf{x}^{*8} = (0, 2)$ ,  $\mathbf{u} = (\frac{2}{3}, 0, \frac{11}{3}, 0)$ ,  $f = -2$ ;  $\mathbf{x}^{*9} = (1.386, 1.538)$ ,  $\mathbf{u} = (0.633, 0.626, 0, 0)$ ,  $f = -0.007388$ . **3.35**  $\mathbf{x}^* = (\frac{48}{23}, \frac{49}{23})$ ,  $\mathbf{u} = 0$ ,  $f(\mathbf{x}^*) = -\frac{192}{23}$ . **3.36**  $\mathbf{x}^* = (2.5, 1.5)$ ,  $\mathbf{u} = 1$ ,  $f = 1.5$ . **3.37**  $\mathbf{x}^* = (6.3, 1.733)$ ,  $\mathbf{u} = (0, 0.8, 0, 0)$ ,  $f = -56.901$ . **3.38**  $\mathbf{x}^* = (1, 1)$ ,  $\mathbf{u} = 0$ ,  $f = 0$ . **3.39**  $\mathbf{x}^* = (1, 1)$ ,  $\mathbf{u} = (0, 0)$ ,  $f = 0$ . **3.40**  $\mathbf{x}^* = (2, 1)$ ,  $\mathbf{u} = (0, 2)$ ,  $f = 1$ . **3.41**  $\mathbf{x}^* = (2.5945, 2.0198)$ ,  $\mathbf{u}_1 = 1.439$ ,  $f = 15.291$ ;  $\mathbf{x}^{*2} = (-3.63, 3.1754)$ ,  $\mathbf{u}_1 = 23.2885$ ,  $f = 453.154$ ;  $\mathbf{x}^{*3} = (1.5088, -3.2720)$ ,  $\mathbf{u}_1 = 17.1503$ ,

$f = 244.53$ ;  $\mathbf{x}^* = (-3.7322, -3.0879)$ ,  $u_1 = 2.1222$ ,  $f = 37.877$ . **3.42**  $\mathbf{x}^* = (3.25, 0.75)$ ,  $v = -1.25$ ,  $u = 0.75$ ,  $f = 5.125$ . **3.43**  $\mathbf{x}^* = (\frac{1}{3}, \frac{1}{3})$ ,  $u = 0$ ,  $f = -24.3$ ;  $\mathbf{x}^* = (-\frac{1}{3}, \frac{1}{3})$ ,  $u = 0$ ,  $f = 24.967$ ;  $\mathbf{x}^* = (0, 3)$ ,  $u = 16$ ,  $f = -21$ ;  $\mathbf{x}^* = (2, 1)$ ,  $u = 4$ ,  $f = -25$ . **3.44**  $\mathbf{x}^* = (-\frac{2}{3}, -\frac{4}{3})$ ,  $u = 0$ ,  $f = -\frac{24}{3}$ . **3.45**  $D = 7.98$ ,  $H = 8$ ,  $\mathbf{u} = (0.5, 0, 0, 0.063, 0)$ ,  $f = 300.6 \text{ cm}^2$ . **3.46**  $R = 7.871686 \times 10^{-2}$ ,  $t = 1.574337 \times 10^{-3}$ ,  $u_2 = 15.28$ ,  $u_3 = 192.97$ ,  $u_1 = u_4 = u_5 = 0$ ;  $f = 30.56 \text{ kg}$ . **3.47**  $R_o = 7.950204 \times 10^{-2}$ ,  $R_i = 7.792774 \times 10^{-2}$ ,  $u_2 = 15.28$ ,  $u_3 = 97.04$ ,  $u_1 = u_4 = u_5 = 0$ ;  $f = 30.56 \text{ kg}$ . **3.48**  $x_1 = 60.50634$ ,  $x_2 = 1.008439$ ,  $u_1 = 19918$ ,  $u_2 = 23186$ ,  $u_3 = u_4 = 0$ ,  $f = 23186.4$ . **3.49**  $h = 14$ ,  $A = 5000$ ,  $u_1 = 5.9 \times 10^{-4}$ ,  $u_2 = 6.8 \times 10^{-4}$ ,  $u_3 = u_4 = u_5 = 0$ ,  $f = 13.4$ . **3.50**  $A = 20,000$ ,  $B = 10,000$ ,  $u_1 = 35$ ,  $u_3 = 27$  (or,  $u_1 = 8$ ,  $u_2 = 108$ ),  $f = -1240000$ . **3.51**  $R = 20$ ,  $H = 7.161973$ ,  $u_1 = 10$ ,  $u_3 = 450$ ,  $f = -9000$ . **3.52**  $R = 0.5$ ,  $N = 2546.5$ ,  $u_1 = 16000$ ,  $u_2 = 4$ ,  $f = 8000$ . **3.53**  $W = 70.7107$ ,  $D = 141.4214$ ,  $u_3 = 1.41421$ ,  $u_4 = 0$ ,  $f = 28284.28$ . **3.54**  $A = 70$ ,  $B = 76$ ,  $u_1 = 0.4$ ,  $u_4 = 16$ ,  $f = -1308$ . **3.55**  $B = 0$ ,  $M = 2.5$ ,  $u_1 = 0.5$ ,  $u_3 = 1.5$ ,  $f = 2.5$ . **3.56**  $x_1 = 316.667$ ,  $x_2 = 483.33$ ,  $u_1 = \frac{2}{3}$ ,  $u_2 = \frac{10}{3}$ ,  $f = -1283.333$ . **3.57**  $r = 4.57078$ ,  $h = 9.14156$ ,  $v_1 = -0.364365$ ,  $u_1 = 43.7562$ ,  $f = 328.17$ . **3.58**  $b = 10$ ,  $h = 18$ ,  $u_1 = 0.04267$ ,  $u_2 = 0.00658$ ,  $f = 0.545185$ . **3.59**  $D = 5.758823$ ,  $H = 5.758826$ ,  $v_1 = -277.834$ ,  $f = 62512.75$ . **3.60**  $P_1 = 30.4$ ,  $P_2 = 29.6$ ,  $u_1 = 59.8$ ,  $f = 1789.68$ . **3.63** (i)  $\pi \leq x \leq 2\pi$  (ii)  $\pi/32 \leq x \leq 3\pi/2$ . **3.64** Convex everywhere. **3.65** Not convex. **3.66**  $S_1 = \{\mathbf{x} \mid x_1 \geq -\frac{1}{6}, |x_2| \leq (\frac{1}{2})\sqrt{((x_1 + \frac{11}{12})^2 - (\frac{3}{4})^2)}\}$ ;  $S_2 = \{\mathbf{x} \mid x_1 \leq -\frac{5}{3}, |x_2| \leq (\frac{1}{2})\sqrt{(x_1 + \frac{11}{12})^2 - (\frac{3}{4})^2}\}$ . **3.67** Not convex. **3.68** Convex everywhere. **3.69** Fails convexity check. **3.70** Convex if  $C \geq 0$ . **3.71** Fails convexity check. **3.72** Fails convexity check. **3.73** Fails convexity check. **3.74** Fails convexity check. **3.75** Fails convexity check. **3.76** Convex. **3.77** Fails convexity check. **3.78** Fails convexity check. **3.79** Convex. **3.80**  $18.43^\circ \leq \theta \leq 71.57^\circ$ . **3.81**  $\theta \geq 71.57^\circ$ . **3.82** No solution. **3.83**  $\theta \leq 18.43^\circ$ . **3.85**  $x_1^* = 2.1667$ ,  $x_2^* = 1.8333$ ,  $v^* = -0.1667$ ; isolated minimum. **3.86**  $(1.5088, 3.2720)$ ,  $v^* = -17.15$ ; not a minimum point;  $(2.5945, -2.0198)$ ,  $v^* = -1.439$ ; isolated local minimum;  $(-3.6300, -3.1754)$ ,  $v^* = -23.288$ ; not a minimum point;  $(-3.7322, 3.0879)$ ,  $v^* = -2.122$ ; isolated local minimum. **3.87**  $(0.816, 0.75)$ ,  $\mathbf{v}^* = (0, 0, 0, 0)$ ; not a minimum point;  $(0.816, 0)$ ,  $\mathbf{u}^* = (0, 0, 0, 3)$ ; not a minimum point;  $(0, 0.75)$ ,  $\mathbf{u}^* = (0, 0, 2, 0)$ ; not a minimum point;  $(1.5073, 1.2317)$ ,  $\mathbf{u}^* = (0, 0.9632, 0, 0)$ ; not a minimum point;  $(1.0339, 1.6550)$ ,  $\mathbf{u}^* = (1.2067, 0, 0, 0)$ ; not a minimum point;  $(0, 0)$ ,  $\mathbf{u}^* = (0, 0, 2, 3)$ ; isolated local minimum;  $(2, 0)$ ,  $\mathbf{u}^* = (0, 2, 0, 7)$ ; isolated local minimum;  $(0, 2)$ ,  $\mathbf{u}^* = (1.667, 0, 3.667, 0)$ ; isolated local minimum;  $(1.386, 1.538)$ ,  $\mathbf{u}^* = (0.633, 0.626, 0, 0)$ ; isolated local minimum. **3.88**  $(2.0870, 1.7391)$ ,  $u^* = 0$ ; isolated global minimum. **3.89**  $(2.5945, 2.0198)$ ,  $u^* = 1.4390$ ; isolated local minimum;  $(-3.6300, 3.1754)$ ,  $u^* = 23.288$ ; not a minimum;  $(1.5088, -3.2720)$ ,  $u^* = 17.150$ ; not a minimum;  $(-3.7322, -3.0879)$ ,  $u^* = 2.122$ ; isolated local minimum. **3.90**  $(3.25, 0.75)$ ,  $u^* = 0.75$ ,  $v^* = -1.25$ ; isolated global minimum. **3.91**  $(2.3094, 0.3333)$ ,  $u^* = 0$ ; not a minimum;  $(-2.3094, 0.3333)$ ,

$u^* = 0$ ; not a minimum;  $(0, 3)$ ,  $u^* = 16$ ; not a minimum;  $(2, 1)$ ,  $u^* = 4$ ; isolated local minimum. **3.92**  $(-0.2857, -0.8571)$ ,  $u^* = 0$ ; isolated local minimum. **3.93**  $R_o^* = 20$  cm,  $R_i^* = 19.84$  cm,  $f^* = 79.1$  kg. **3.94** Multiple optima between  $(31.83, 1.0)$  and  $(25.23, 1.26)$  mm,  $f^* = 45.9$  kg. **3.95**  $R^* = 1.0$  m,  $t^* = 0.0167$  m,  $f^* = 7850$  kg. **3.96**  $R^* = 0.0787$  m,  $t^* = 0.00157$  m,  $f^* = 30.5$  kg. **3.97**  $R_o^* = 0.0795$  m,  $R_i^* = 0.0779$  m,  $f^* = 30.5$  kg. **3.98**  $H^* = 8$  cm,  $D^* = 7.98$  cm,  $f^* = 300.6$  cm<sup>2</sup>. **3.99**  $A^* = 5000$  m<sup>2</sup>,  $h^* = 14$  m,  $f^* = 13.4$  million dollars. **3.100**  $x_1^* = 102.98$  mm,  $x_2^* = 0.9546$ ,  $f^* = 2.9$  kg. **3.101**  $d_o^* = 103$  mm,  $d_i^* = 98.36$  mm,  $f^* = 2.9$  kg. **3.102**  $R^* = 50.3$  mm,  $t^* = 2.34$ ,  $f^* = 2.9$  kg. **3.103**  $H^* = 50$  cm,  $D^* = 3.2$  cm,  $f^* = 6.6$  kg. **3.113** Not a convex programming problem;  $D^* = 10$  m,  $H^* = 10$  m,  $f^* = 60,000\pi$  m<sup>3</sup>;  $\Delta f = 800\pi$  m<sup>3</sup>. **3.114** Convex;  $A_1^* = 2.937 \times 10^{-4}$  m,  $A_2^* = 6.556 \times 10^{-5}$  m,  $f^* = 7.0$  kg.

## فصل چهارم

### روشهای برنامه‌ریزی خطی برای طراحی بیان

- 4.21**  $(0, 4, -3, -5)$ ;  $(2, 0, 3, 1)$ ;  $(1, 2, 0, -2)$ ;  $(\frac{5}{3}, \frac{2}{3}, 2, 0)$ . **4.22**  $(0, 0, -3, -5)$ ;  $(0, 1, 0, -3)$ ;  $(0, 2.5, 4.5, 0)$ ;  $(-3, 0, 0, -11)$ ;  $(2.5, 0, -5.5, 0)$ ;  $(\frac{2}{3}, \frac{11}{8}, 0, 0)$ . **4.23** Decompose  $x_2$  into two variables;  $(0, 0, 0, 12, -3)$ ;  $(0, 0, -3, 0, 6)$ ;  $(0, 0, -1, 8, 0)$ ;  $(0, 3, 0, 0, 6)$ ;  $(0, 1, 0, 8, 0)$ ;  $(4, 0, 0, 0, 1)$ ;  $(3, 0, 0, -3, 0)$ ;  $(4.8, 0, 0.6, 0, 0)$ ;  $(4.8, -0.6, 0, 0, 0)$ . **4.24**  $(0, -\frac{8}{3}, -\frac{1}{3})$ ;  $(2, 0, 3)$ ;  $(0.2, -2.4, 0)$ . **4.25**  $(0, 0, 9, 2, 3)$ ;  $(0, 9, 0, 20, -15)$ ;  $(0, -1, 10, 0, 5)$ ;  $(0, 1.5, 7.5, 5, 0)$ ;  $(4.5, 0, 0, -2.5, 16.5)$ ;  $(2, 0, 5, 0, 9)$ ;  $(-1, 0, 11, 3, 0)$ ;  $(4, 1, 0, 0, 13)$ ;  $(\frac{15}{7}, \frac{32}{7}, 0, \frac{65}{7}, 0)$ ;  $(-2.5, -2.25, 16.25, 0, 0)$ . **4.26**  $(0, 4, -3, -7)$ ;  $(4, 0, 1, 1)$ ;  $(3, 1, 0, -1)$ ;  $(3.5, 0.5, 0.5, 0)$ . **4.27** Decompose  $x_2$  into two variables; 15 basic solutions; basic feasible solutions are  $(0, 4, 0, 0, 7, 0)$ ;  $(0, \frac{5}{3}, 0, \frac{7}{3}, 0, 0)$ ;  $(2, 0, 0, 0, 1, 0)$ ,  $(\frac{5}{3}, 0, 0, \frac{7}{3}, 0, 0)$ ;  $(\frac{7}{3}, 0, \frac{2}{3}, 0, 0, 0)$ . **4.28** Ten basic solutions; basic feasible solutions are  $(2.5, 0, 0, 0, 4.5)$ ;  $(1.6, 1.8, 0, 0, 0)$ . **4.29**  $(0, 0, 4, -2)$ ;  $(0, 4, 0, 6)$ ;  $(0, 1, 3, 0)$ ;  $(-2, 0, 0, -4)$ ;  $(2, 0, 8, 0)$ ;  $(-1.2, 1.6, 0, 0)$ . **4.30**  $(0, 0, 0, -2)$ ;  $(0, 2, -2, 0)$ ;  $(0, 0, 0, -2)$ ;  $(2, 0, 2, 0)$ ;  $(0, 0, 0, 2)$ ;  $(1, 1, 0, 0)$ . **4.31**  $(0, 0, 10, 18)$ ;  $(0, 5, 0, 8)$ ;  $(0, 9, -8, 0)$ ;  $(-10, 0, 0, 48)$ ;  $(6, 0, 16, 0)$ ;  $(2, 6, 0, 0)$ . **4.32**  $x^* = (\frac{10}{3}, 2)$ ;  $f^* = -\frac{13}{3}$ . **4.4.33** Infinite solutions between  $x^* = (0, 3)$  and  $x^* = (2, 0)$ ;  $f^* = 6$ . **4.34**  $x^* = (2, 4)$ ;  $f^* = 10$ . **4.35**  $x^* = (6, 0)$ ;  $z^* = 12$ . **4.36**  $x^* = (3.667, 1.667)$ ;  $z^* = 15$ . **4.37**  $x^* = (0, 5)$ ;  $f^* = -5$ . **4.39**  $x^* = (2, 4)$ ;  $z^* = 10$ . **4.40** Unbounded. **4.41**  $x^* = (3.5, 0.5)$ ;  $z^* = 5.5$ . **4.42**  $x^* = (1.667, 0.667)$ ;  $z^* = 4.333$ . **4.43**  $x^* = (1.6, 1.8, 0)$ ;  $f^* = 18$ . **4.44**  $x^* = (0, 1.667, 2.333)$ ;  $f^* = 4.333$ . **4.45**  $x^* = (1.125, 1.375)$ ;  $z^* = 36$ . **4.46**  $x^* = (2, 0)$ ;  $f^* = 40$ . **4.47**  $x^* = (1.3357, 0.4406, 0, 3.2392)$ ;  $z^* = 9.7329$ . **4.48**  $x^* = (0.6541, 0.0756, 0.3151)$ ;  $f^* = 9.7329$ . **4.49**  $x^* = (0, 25)$ ;  $z^* = 150$ . **4.50**  $x^* = (\frac{2}{3}, \frac{5}{3})$ ;  $z^* = \frac{16}{3}$ . **4.51**  $x^* = (\frac{7}{3}, -\frac{2}{3})$ ;  $z^* =$

- ۱.** **4.52**  $x^* = (1, 1)$ ;  $f^* = 1$ .   **4.53**  $x^* = (2, 2)$ ;  $f^* = 10$ .   **4.54**  $x^* = (4.8, -0.6)$ ;  $z^* = 3.6$ .   **4.55**  $x^* = (2, 4)$ ;  $z^* = 10$ .   **4.56**  $x^* = (0, 5)$ ;  $z^* = 40$ .
- 4.57** Infeasible problem.   **4.58** Infinite solutions;  $f^* = 0$ .   **4.59**  $A^* = 20\,000$ ,  $B^* = 10\,000$ , Profit = \$1 240 000.   **4.60**  $A^* = 70$ ,  $B^* = 76$ ; Profit = \$1308.
- 4.61** Bread = 0, Milk = 2.5 kg; cost = \$2.5.   **4.62** Bottles of wine = 316.67, Bottles of whiskey = 483.33; Profit = \$1283.3.   **4.63** Shortening produced = 149 499.2 kg, salad oil produced = 50 000 kg, margarine produced = 10 000 kg; profit = \$19 499.2.   **4.64**  $A^* = 10$ ,  $B^* = 0$ ,  $C^* = 20$ ; capacity = 477 000.
- 4.65**  $x_1^* = 0$ ,  $x_2^* = 0$ ,  $x_3^* = 200$ ,  $x_4^* = 100$ ;  $f^* = 786$ .   **4.66**  $f^* = 1\,333\,679$  tonnes.   **4.67**  $x^* = (0, 800, 0, 500, 1500, 0)$ ;  $f^* = 7500$ ;  $x^* = (0, 0, 4500, 4000, 3000, 0)$ ;  $f^* = 7500$ ;  $x^* = (0, 8, 0, 5, 15, 0)$ ,  $f^* = 7500$ .
- 4.68** (a) no effect (b) cost decreases by 120 000.   **4.69** 1. no effect; 2. out of range, re-solve the problem;  $A^* = 70$ ,  $B^* = 110$ ; Profit = \$1580; 3. profit reduces by \$4; 4. out of range, re-solve the problem;  $A^* = 41.667$ ,  $B^* = 110$ ; profit = \$1213.33.   **4.70**  $y_1 = 1$ ,  $y_2 = 0$ .   **4.71**  $y_1 = 0.25$ ,  $y_2 = 1.25$ ,  $y_3 = 0$ ,  $y_4 = 0$ .   **4.72** Unbounded.   **4.73**  $y_1 = 0$ ,  $y_2 = 2.5$ ,  $y_3 = -1.5$ .   **4.74**  $y_1 = 0$ ,  $y_2 = \frac{1}{3}$ ,  $y_3 = -\frac{7}{3}$ .   **4.75**  $y_1 = 4$ ,  $y_2 = -1$ .   **4.76**  $y_1 = -\frac{5}{3}$ ,  $y_2 = -\frac{2}{3}$ .   **4.77**  $y_1 = 2$ ,  $y_2 = -6$ .
- 4.78**  $y_1 = 0$ ,  $y_2 = 5$ .   **4.79**  $y_1 = 0.654$ ,  $y_2 = -0.076$ ,  $y_3 = 0.315$ .
- 4.80**  $y_1 = -1.336$ ,  $y_2 = -0.441$ ,  $y_3 = 0$ ,  $y_4 = -3.239$ .   **4.81**  $y_1 = 0$ ,  $y_2 = 0$ ,  $y_3 = 0$ ,  $y_4 = 6$ .   **4.82**  $y_1 = -1.556$ ,  $y_2 = 0.556$ .   **4.83**  $y_1 = 0$ ,  $y_2 = \frac{5}{3}$ ,  $y_3 = -\frac{5}{3}$ .
- 4.84**  $y_1 = -0.5$ ,  $y_2 = -2.5$ .   **4.85**  $y_1 = -\frac{1}{3}$ ,  $y_2 = 0$ ,  $y_3 = \frac{5}{3}$ .   **4.86**  $y_1 = 0.2$ ,  $y_2 = 0.4$ .   **4.87**  $y_1 = 0.25$ ,  $y_2 = 1.25$ ,  $y_3 = 0$ ,  $y_4 = 0$ .   **4.88**  $y_1 = 2$ ,  $y_2 = 0$ .
- 4.89** Infeasible problem.   **4.90**  $y_1 = 3$ ,  $y_2 = 0$ .   **4.91** For  $b_1 = 20\,000$ :  $-8000 \leq \Delta_1 \leq 0$ ; for  $b_2 = 10\,000$ :  $0 \leq \Delta_2 \leq \infty$ ; for  $b_3 = 20\,000$ :  $-20\,000 \leq \Delta_3 \leq 0$ ; for  $b_4 = 30\,000$ :  $-20\,000 \leq \Delta_4 \leq \infty$ .   **4.92** For  $b_1 = 100$ :  $-34 \leq \Delta_1 \leq \infty$ ; for  $b_2 = 80$ :  $-38 \leq \Delta_2 \leq 17$ ; for  $b_3 = 70$ :  $-28.333 \leq \Delta_3 \leq 63.333$ ; for  $b_4 = 110$ :  $-34 \leq \Delta_4 \leq \infty$ .
- 4.93** For  $b_1 = 12$ :  $-8 \leq \Delta_1 \leq \infty$ ; for  $b_2 = 6$ :  $-\infty \leq \Delta_2 \leq 12$ .   **4.94** For  $b_1 = 10$ :  $-8 \leq \Delta_1 \leq 8$ ; for  $b_2 = 6$ :  $-2.6667 \leq \Delta_2 \leq 8$ ; for  $b_3 = 2$ :  $-4 \leq \Delta_3 \leq \infty$ ; for  $b_4 = 6$ :  $-\infty \leq \Delta_4 \leq 8$ .   **4.95** Unbounded problem.   **4.96** For  $b_1 = 5$ :  $-0.5 \leq \Delta_1 \leq \infty$ ; for  $b_2 = 4$ :  $-1 \leq \Delta_2 \leq 0.333$ ; for  $b_3 = 3$ :  $-1 \leq \Delta_3 \leq 1$ .   **4.97** For  $b_1 = 5$ :  $-2 \leq \Delta_1 \leq \infty$ ; for  $b_2 = -4$ :  $-2 \leq \Delta_2 \leq 2$ ; for  $b_3 = 1$ :  $-2 \leq \Delta_1 \leq 1$ .   **4.98** For  $b_1 = -5$ :  $-\infty \leq \Delta_1 \leq 4$ ; for  $b_2 = -2$ :  $-8 \leq \Delta_2 \leq 4.5$ .   **4.99** For  $b_1 = 1$ :  $-5 \leq \Delta_1 \leq 7$ ; for  $b_2 = 4$ :  $-3.5 \leq \Delta_2 \leq \infty$ .   **4.100** For  $b_1 = -3$ :  $-4.5 \leq \Delta_1 \leq 5.5$ ; for  $b_2 = 5$ :  $-3 \leq \Delta_2 \leq \infty$ .   **4.101** For  $b_1 = 3$ :  $-\infty \leq \Delta_1 \leq 3$ ; for  $b_2 = -8$ :  $-\infty \leq \Delta_2 \leq 4$ .   **4.102** For  $b_1 = 8$ :  $-8 \leq \Delta_1 \leq \infty$ ; for  $b_2 = 3$ :  $-14.307 \leq \Delta_2 \leq 4.032$ ; for  $b_3 = 15$ :  $-20.16 \leq \Delta_3 \leq 101.867$ .   **4.103** For  $b_1 = 2$ :  $-3.9178 \leq \Delta_1 \leq 1.1533$ ; for  $b_2 = 5$ :  $-0.692 \leq \Delta_2 \leq 39.579$ ; for  $b_3 = -4.5$ :  $-\infty \leq \Delta_3 \leq 7.542$ ; for  $b_4 = 1.5$ :  $-2.0367 \leq \Delta_4 \leq 0.334$ .   **4.104** For  $b_1 = 90$ :  $-15 \leq \Delta_1 \leq \infty$ ; for  $b_2 = 80$ :  $-30 \leq \Delta_2 \leq \infty$ ; for  $b_3 = 15$ :  $-\infty \leq \Delta_3 \leq 100$ ; for  $b_4 = 25$ :  $-10 \leq \Delta_4 \leq 5$ .   **4.105** For  $b_1 = 3$ :  $-1.2 \leq \Delta_1 \leq 15$ ; for  $b_2 = 18$ :  $-15 \leq \Delta_2 \leq 12$ .   **4.106** For  $b_1 = 5$ :  $-4 \leq \Delta_1 \leq \infty$ ; for  $b_2 = 4$ :  $-7 \leq \Delta_2 \leq 2$ ; for  $b_3 = 3$ :  $-1 \leq \Delta_3 \leq \infty$ .   **4.107** For  $b_1 = 0$ :  $-2 \leq \Delta_1 \leq 2$ ; for  $b_2 = 2$ :  $-2 \leq \Delta_2 \leq \infty$ .   **4.108** For  $b_1 = 0$ :  $-6 \leq \Delta_1 \leq 3$ ; for  $b_2 = 2$ :  $-\infty \leq \Delta_2 \leq 2$ ; for  $b_3 = 6$ :  $-3 \leq \Delta_3 \leq \infty$ .   **4.109** For  $b_1 = 12$ :  $-3 \leq \Delta_1 \leq \infty$ ; for  $b_2 = 3$ :

$-\infty \leq \Delta_2 \leq 1$ . **4.110** For  $b_1 = 10$ :  $-8 \leq \Delta_1 \leq 8$ ; for  $b_2 = 6$ :  $-2.6667 \leq \Delta_2 \leq 8$ ; for  $b_3 = 2$ :  $-4 \leq \Delta_3 \leq \infty$ ; for  $b_4 = 6$ :  $-\infty \leq \Delta_4 \leq 8$ . **4.111** For  $b_1 = 20$ :  $-12 \leq \Delta_1 \leq \infty$ ; for  $b_2 = 6$ :  $-\infty \leq \Delta_2 \leq 9$ . **4.112** Infeasible problem. **4.113** For  $b_1 = 0$ :  $-2 \leq \Delta_1 \leq 2$ ; for  $b_2 = 2$ :  $-2 \leq \Delta_2 \leq \infty$ . **4.114** For  $c_1 = -48$ :  $-\infty \leq \Delta c_1 \leq 27$ ; for  $c_2 = -28$ :  $-36 \leq \Delta c_2 \leq 28$ . **4.115** For  $c_1 = -10$ :  $-\infty \leq \Delta c_1 \leq 0.4$ ; for  $c_2 = -8$ :  $-0.3333 \leq \Delta c_2 \leq 8$ . **4.116** For  $c_1 = -1$ :  $-2 \leq \Delta c_1 \leq \infty$ ; for  $c_2 = -2$ :  $0 \leq \Delta c_2 \leq 1.333$ ; for  $c_3 = 2$ :  $0 \leq \Delta c_3 \leq \infty$ . **4.117** For  $c_1 = -1$ :  $-1 \leq \Delta c_1 \leq 1.6667$ ; for  $c_2 = -2$ :  $-\infty \leq \Delta c_2 \leq 1$ . **4.118** Unbounded problem. **4.119** For  $c_1 = 1$ :  $-\infty \leq \Delta c_1 \leq 3$ ; for  $c_2 = 4$ :  $-3 \leq \Delta c_2 \leq \infty$ . **4.120** For  $c_1 = 1$ :  $-\infty \leq \Delta c_1 \leq 7$ ; for  $c_2 = 4$ :  $-3.5 \leq \Delta c_2 \leq \infty$ . **4.121** For  $c_1 = 9$ :  $-5 \leq \Delta c_1 \leq \infty$ ; for  $c_2 = 2$ :  $-9.286 \leq c_2 \leq 2.5$ ; for  $c_3 = 3$ :  $-\infty \leq \Delta c_3 \leq 13$ . **4.122** For  $c_1 = 5$ :  $-2 \leq \Delta c_1 \leq \infty$ ; for  $c_2 = 4$ :  $-2 \leq \Delta c_2 \leq 2$ ; for  $c_3 = -1$ :  $0 \leq \Delta c_3 \leq 2$ ; for  $c_4 = 1$ :  $0 \leq \Delta c_4 \leq \infty$ . **4.123** For  $c_1 = -10$ :  $-8 \leq \Delta c_1 \leq 16$ ; for  $c_2 = -18$ :  $-\infty \leq \Delta c_2 \leq 8$ . **4.124** For  $c_1 = 20$ :  $-12 \leq \Delta c_1 \leq \infty$ ; for  $c_2 = -6$ :  $-9 \leq \Delta c_2 \leq \infty$ . **4.125** For  $c_1 = 2$ :  $-3.918 \leq \Delta c_2 \leq 1.153$ ; for  $c_2 = 5$ :  $-0.692 \leq \Delta c_2 \leq 39.579$ ; for  $c_3 = -4.5$ :  $-\infty \leq \Delta c_3 \leq 7.542$ ; for  $c_4 = 1.5$ :  $-3.573 \leq \Delta c_4 \leq 0.334$ . **4.126** For  $c_1 = 8$ :  $-8 \leq \Delta c_1 \leq \infty$ ; for  $c_2 = -3$ :  $-4.032 \leq \Delta c_2 \leq 14.307$ ; for  $c_3 = 15$ :  $0 \leq \Delta c_3 \leq 101.8667$ ; for  $c_4 = -15$ :  $0 \leq \Delta c_4 \leq \infty$ . **4.127** For  $c_1 = 10$ :  $-\infty \leq \Delta c_1 \leq 20$ ; for  $c_2 = 6$ :  $-4 \leq \Delta c_2 \leq \infty$ . **4.128** For  $c_1 = -2$ :  $-\infty \leq \Delta c_1 \leq 2.8$ ; for  $c_2 = 4$ :  $-5 \leq \Delta c_2 \leq \infty$ . **4.129** For  $c_1 = 1$ :  $-\infty \leq \Delta c_1 \leq 7$ ; for  $c_2 = 4$ :  $-\infty \leq \Delta c_2 \leq 0$ ; for  $c_3 = -4$ :  $-\infty \leq \Delta c_3 \leq 0$ . **4.130** For  $c_1 = 3$ :  $-1 \leq \Delta c_1 \leq \infty$ ; for  $c_2 = 2$ :  $-5 \leq \Delta c_2 \leq 1$ . **4.131** For  $c_1 = 3$ :  $-5 \leq \Delta c_1 \leq 1$ ; for  $c_2 = 2$ :  $-0.5 \leq \Delta c_2 \leq \infty$ . **4.132** For  $c_1 = 1$ :  $-0.3333 \leq \Delta c_1 \leq 0.5$ ; for  $c_2 = 2$ :  $-\infty \leq \Delta c_2 \leq 0$ ; for  $c_3 = -2$ :  $-1 \leq \Delta c_3 \leq 0$ . **4.133** For  $c_1 = 1$ :  $-1.667 \leq \Delta c_1 \leq 1$ ; for  $c_2 = 2$ :  $-1 \leq \Delta c_2 \leq \infty$ . **4.134** For  $c_1 = 3$ :  $-\infty \leq \Delta c_1 \leq 3$ ; for  $c_2 = 8$ :  $-4 \leq \Delta c_2 \leq 0$ ; for  $c_3 = -8$ :  $-\infty \leq \Delta c_3 \leq 0$ . **4.135** Infeasible problem. **4.136** For  $c_1 = 3$ :  $0 \leq \Delta c_1 \leq \infty$ ; for  $c_2 = -3$ :  $0 \leq \Delta c_2 \leq 6$ . **4.137** 1.  $\Delta f = 0.5$ ; 2.  $\Delta f = 0.5$  (Bread = 0, milk = 3;  $f^* = 3$ ); 3.  $\Delta f = 0$ . **4.138** 1.  $\Delta f = 33.33$  (wine bottles = 250, whiskey bottles = 500, profit = 1250); 2.  $\Delta f = 63.33$ , 3.  $\Delta f = 83.33$  (wine bottles = 400, whiskey bottles = 400, profit = 1200). **4.139** 1. re-solve **4.140** 1. cost function increases by \$52.40; 2. no change; 3. cost function increases by \$11.25,  $x_1^* = 0$ ,  $x_2^* = 30$ ,  $x_3^* = 200$ ,  $x_4^* = 70$ . **4.141** 1.  $\Delta f = 0$ ; 2. no change; 3.  $\Delta f = 1800$  ( $A^* = 6$ ,  $B^* = 0$ ,  $C^* = 22$ ,  $f^* = -475.200$ ). **4.142** 1.  $\Delta f = 0$ ; 2.  $\Delta f = 2485.65$ ; 3.  $\Delta f = 0$ ; 4.  $\Delta f = 14\,033.59$ ; 5.  $\Delta f = -162\,232.3$ . **4.143** 1.  $\Delta f = 0$ ; 2.  $\Delta f = 400$ ; 3.  $\Delta f = -375$ . **4.144** 1.  $x_1^* = 0$ ,  $x_2^* = 3$ ,  $f^* = -12$ ; 2.  $y_1 = \frac{4}{3}$ ,  $y_2 = 0$ ; 3.  $-15 \leq \Delta_1 \leq 3$ ,  $-6 \leq \Delta_2 \leq \infty$ ; 4.  $f^* = -14.4$ ,  $b_1 = 18$ . **4.145**  $y_1^* = \frac{1}{4}$ ,  $y_2^* = \frac{5}{4}$ ,  $y_3^* = 0$ ,  $y_4^* = 0$ ,  $f_d^* = 10$ . **4.146** Dual problem is infeasible. **4.147**  $y_1^* = 0$ ,  $y_2^* = 2.5$ ,  $y_3^* = 1.5$ ,  $f_d^* = 5.5$ . **4.148**  $y_1^* = 0$ ,  $y_2^* = 1.6667$ ,  $y_3^* = 2.3333$ ,  $f_d^* = 4.3333$ . **4.149**  $y_1^* = 4$ ,  $y_2^* = 1$ ,  $f_d^* = -18$ . **4.150**  $y_1^* = 1.6667$ ,  $y_2^* = 0.6667$ ,  $f_d^* = -4.3333$ . **4.151**  $y_1^* = 2$ ,  $y_2^* = 6$ ,  $f_d^* = -36$ . **4.152**  $y_1^* = 0$ ,  $y_2^* = 5$ ,  $f_d^* = -40$ . **4.153**  $y_1^* = 0.65411$ ,  $y_2^* = 0.075\,612$ ,  $f_d^* = 9.732\,867$ . **4.154**  $y_1^* = 1.335\,66$ ,  $y_2^* = 0.44056$ ,  $y_3^* = 0$ ,  $y_4^* = 3.2392$ ,  $f_d^* = -9.732\,867$ . **4.155**  $y_1^* = 8$ ,  $y_2^* = 108$ ,  $y_3^* = 0$ ,  $y_4^* = 0$ ,  $f_d^* = 1\,240\,000$ . **4.156**  $y_1^* = 0$ ,  $y_2^* = 16$ ,  $y_3^* = 0.4$ ,  $y_4^* = 0$ ,  $f_d^* = 1308$ .

## فصل پنجم

### روشهای عددی برای طراحی بهین نامقید

**5.2** yes. **5.3** no. **5.4** yes. **5.5** no. **5.6** no. **5.7** no. **5.8** no. **5.9** yes.  
**5.10** no. **5.11** no. **5.12** no. **5.13** no. **5.14** no. **5.16**  $\alpha^* = 1.42850$ ,  $f^* = 7.713\ 29$ . **5.17**  $\alpha^* = 1.427\ 58$ ,  $f^* = 7.714\ 29$ . **5.18**  $\alpha^* = 1.386\ 29$ ,  $f^* = 0.454\ 823$ . **5.19**  $d$  is descent direction; slope = -4048;  $\alpha^* = 0.158\ 72$ .  
**5.20**  $\alpha^* = 0$ . **5.21**  $f(\alpha) = 4.1\alpha^2 - 5\alpha - 6.5$ . **5.22**  $f(\alpha) = 52\alpha^2 - 52\alpha + 13$ .  
**5.23**  $f(\alpha) = (6.887\ 47 \times 10^9)\alpha^4 - (3.6\ 111\ 744 \times 10^8)\alpha^3 + (5.809\ 444 \times 10^6)\alpha^2 - 27\ 844\alpha + 41$ . **5.24**  $f(\alpha) = 8\alpha^2 - 8\alpha + 2$ . **5.25**  $f(\alpha) = 18.5\alpha^2 - 85\alpha - 13.5$ .  
**5.26**  $f(\alpha) = 288\alpha^2 - 96\alpha + 8$ . **5.27**  $f(\alpha) = 24\alpha^2 - 24\alpha + 6$ . **5.28**  $f(\alpha) = 137\alpha^2 - 110\alpha + 25$ . **5.29**  $f(\alpha) = 8\alpha^2 - 8\alpha$ . **5.30**  $f(\alpha) = 16\alpha^2 - 16\alpha + 4$ .  
**5.31**  $\alpha^* = 0.61$ . **5.32**  $\alpha^* = 0.5$ . **5.33**  $\alpha^* = 3.35E-03$ . **5.34**  $\alpha^* = 0.5$ .  
**5.35**  $\alpha^* = 2.2973$ . **5.36**  $\alpha^* = 0.16\ 665$ . **5.37**  $\alpha^* = 0.5$ . **5.38**  $\alpha^* = 0.40\ 145$ .  
**5.39**  $\alpha^* = 0.5$ . **5.40**  $\alpha^* = 0.5$ . **5.41**  $\alpha^* = 0.6097$ . **5.42**  $\alpha^* = 0.4999$ .  
**5.43**  $\alpha^* = 3.45\ 492E-03$ . **5.44**  $\alpha^* = 0.4999$ . **5.45**  $\alpha^* = 2.2974$ . **5.46**  $\alpha^* = 0.1667$ . **5.47**  $\alpha^* = 0.4999$ . **5.48**  $\alpha^* = 0.4016$ . **5.49**  $\alpha^* = 0.4999$ . **5.50**  $\alpha^* = 0.4999$ . **5.51**  $\alpha^* = 1.42857$ ,  $f^* = 7.71429$ . **5.52**  $\alpha^* = \frac{10}{7}$ ,  $f^* = 7.71429$ , one iteration. **5.54** 1.  $\alpha^* = \frac{13}{4}$ . 2.  $\alpha = 1.81\ 386$  or  $4.68\ 614$ . **5.56**  $\mathbf{x}^{(2)} = (\frac{5}{2}, \frac{3}{2})$ . **5.57**  $\mathbf{x}^{(2)} = (0.1231, 0.0775)$ . **5.58**  $\mathbf{x}^{(2)} = (0.222, 0.0778)$ . **5.59**  $\mathbf{x}^{(2)} = (0.0230, 0.0688)$ . **5.60**  $\mathbf{x}^{(2)} = (0.0490, 0.0280)$ . **5.61**  $\mathbf{x}^{(2)} = (0.259, -0.225, 0.145)$ . **5.62**  $\mathbf{x}^{(2)} = (4.2680, 0.2244)$ . **5.63**  $\mathbf{x}^{(2)} = (3.8415, 0.48087)$ .  
**5.64**  $\mathbf{x}^{(2)} = (-1.590, 2.592)$ . **5.65**  $\mathbf{x}^{(2)} = (2.93529, 0.339\ 76, 1.42\ 879, 2.29\ 679)$ . **5.66** (**5.56**)  $\mathbf{x}^* = (3.996\ 096, 1.997\ 073)$ ,  $f^* = -7.99\ 999$ ; (**5.57**)  $\mathbf{x}^* = (0.071\ 659, 0.023\ 233)$ ,  $f^* = -0.073\ 633$ ; (**5.58**)  $\mathbf{x}^* = (0.071\ 844, -0.000\ 147)$ ,  $f^* = -0.035\ 801$ ; (**5.59**)  $\mathbf{x}^* = (0.000\ 011, 0.023\ 273)$ ,  $f^* = -0.011\ 626$ ; (**5.60**)  $\mathbf{x}^* = (0.040\ 028, 0.02\ 501)$ ,  $f^* = -0.0525$ ; (**5.61**)  $\mathbf{x}^* = (0.006\ 044, -0.005348, 0.002\ 467)$ ,  $f^* = 0.000\ 015$ ; (**5.62**)  $\mathbf{x}^* = (4.1453, 0.361\ 605)$ ,  $f^* = -1616.183\ 529$ ; (**5.63**)  $\mathbf{x}^* = (3.733563, 0.341\ 142)$ ,  $f^* = -1526.556\ 493$ ; (**5.64**)  $\mathbf{x}^* = (0.9\ 087\ 422, 0.8\ 256\ 927)$ ,  $f^* = 0.008\ 348$ , 1000 iterations; (**5.65**)  $\mathbf{x}^* = (0.13\ 189, 0.013\ 188, 0.070\ 738, 0.072\ 022)$ ,  $f^* = 0.000\ 409$ , 1000 iterations. **5.67**  $\mathbf{x}^* = (0.000\ 023, 0.000\ 023, 0.000\ 045)$ ,  $f_1^* = 0$ , 1 iteration;  $\mathbf{x}^* = (0.002\ 353, 0.0, 0.000\ 007)$ ,  $f_2^* = 0.000\ 006$ , 99 iterations;  $\mathbf{x}^* = (0.000\ 003, 0.0, 0.023\ 598)$ ,  $f_3^* = (0.000\ 056$ , 135 iterations. **5.68** Exact gradients are: 1.  $\nabla f = (119.2, 258.0)$ , 2.  $\nabla f = (-202, 100)$ , 3.  $\nabla f = (6, 16, 16)$ .  
**5.69**  $\mathbf{u} = \mathbf{c}/(2v)$ ,  $v$  = Lagrange multiplier for the equality constraint. **5.71**  $\mathbf{x}^{(2)} = (4, 2)$ . **5.72**  $\mathbf{x}^{(2)} = (0.07\ 175, 0.02\ 318)$ . **5.73**  $\mathbf{x}^{(2)} = (0.072, 0.0)$ .  
**5.74**  $\mathbf{x}^{(2)} = (0.0, 0.0233)$ . **5.75**  $\mathbf{x}^{(2)} = (0.040, 0.025)$ . **5.76**  $\mathbf{x}^{(2)} = (0.257, -0.229, 0.143)$ . **5.77**  $\mathbf{x}^{(2)} = (4.3682, 0.1742)$ . **5.78**  $\mathbf{x}^{(2)} = (3.7365, 0.2865)$ .  
**5.79**  $\mathbf{x}^{(2)} = (-1.592, 2.592)$ . **5.80**  $\mathbf{x}^{(2)} = (3.1134, 0.32\ 224, 1.34\ 991, 2.12\ 286)$ . **5.83**  $\mathbf{x}^{(1)} = (4, 2)$ . **5.84**  $\mathbf{x}^{(1)} = (0.071\ 598, 0.023\ 251)$ . **5.85**  $\mathbf{x}^{(1)} = (0.071\ 604, 0.0)$ . **5.86**  $\mathbf{x}^{(1)} = (0.0, 0.0232\ 515)$ . **5.87**  $\mathbf{x}^{(1)} = (0.04, 0.025)$ .

**5.88**  $\mathbf{x}^{(1)} = (0, 0, 0)$ . **5.89**  $\mathbf{x}^{(1)} = (-2.7068, 0.88168)$ . **5.90**  $\mathbf{x}^{(1)} = (3.771567, 0.335589)$ . **5.91**  $\mathbf{x}^{(1)} = (4.99913, 24.99085)$ . **5.92**  $\mathbf{x}^{(1)} = (-1.26859, -0.75973, 0.73141, 0.39833)$ . **5.95**  $\mathbf{x}^{(2)} = (4, 2)$ . **5.96**  $\mathbf{x}^{(2)} = (0.0716, 0.02325)$ . **5.97**  $\mathbf{x}^{(2)} = (0.0716, 0.0)$ . **5.98**  $\mathbf{x}^{(2)} = (0.0, 0.02325)$ . **5.99**  $\mathbf{x}^{(2)} = (0.04, 0.025)$ . **5.100** DFP:  $\mathbf{x}^{(2)} = (0.2571, -0.2286, 0.1428)$ ; BFGS:  $\mathbf{x}^{(2)} = (0.2571, -0.2286, 0.1429)$ . **5.101** DFP:  $\mathbf{x}^{(2)} = (4.37045, 0.173575)$ ; BFGS:  $\mathbf{x}^{(2)} = (4.37046, 0.173574)$ . **5.102**  $\mathbf{x}^{(2)} = (3.73707, 0.28550)$ . **5.103**  $\mathbf{x}^{(2)} = (-1.9103, -1.9078)$ . **5.104** DFP:  $\mathbf{x}^{(2)} = (3.11339, 0.32226, 1.34991, 2.12286)$ ; BFGS:  $\mathbf{x}^{(2)} = (3.11339, 0.32224, 1.34991, 2.12286)$ . **5.107**  $x_1 = 3.7754 \text{ mm}$ ,  $x_2 = 2.2835$ . **5.108**  $x_1 = 2.2213 \text{ mm}$ ,  $x_2 = 1.8978$ . **5.109**  $x^* = 0.619084$ . **5.110**  $x^* = 9.424753$ . **5.111**  $x^* = 1.570807$ . **5.112**  $x^* = 1.496045$ . **5.113**  $x^* = (3.667328, 0.739571)$ . **5.114**  $x^* = (4.000142, 7.999771)$ .

## فصل ششم

### روشهای عددی برای طراحی بهین محدود

**6.29**  $\mathbf{x}^* = (\frac{5}{2}, \frac{5}{2})$ ,  $u^* = 1$ ,  $F^* = 0.5$ . **6.30**  $\mathbf{x}^* = (1, 1)$ ,  $u^* = 0$ ,  $f^* = 0$ .  
**6.31**  $\mathbf{x}^* = (\frac{4}{3}, \frac{1}{3})$ ,  $u^* = \frac{2}{3}$ ,  $f^* = \frac{1}{3}$ . **6.32**  $\mathbf{x}^* = (2, 1)$ ,  $u^* = 0$ ,  $f^* = -3$ .  
**6.33**  $\mathbf{x}^* = (1, 2)$ ,  $u^* = 0$ ,  $f^* = -1$ . **6.34**  $\mathbf{x}^* = (\frac{13}{6}, \frac{11}{6})$ ,  $v^* = -\frac{1}{6}$ ,  $f^* = -\frac{25}{3}$ .  
**6.35**  $\mathbf{x}^* = (3, 1)$ ,  $v_1 = -2$ ,  $v_2^* = -2$ ,  $f^* = 2$ . **6.36**  $\mathbf{x}^* = (\frac{18}{23}, \frac{40}{23})$ ,  
 $u^* = 0$ ,  $f^* = -\frac{192}{23}$ . **6.37**  $\mathbf{x}^* = (\frac{5}{2}, \frac{3}{2})$ ,  $u^* = 1$ ,  $f^* = -\frac{9}{2}$ . **6.38**  $\mathbf{x}^* = (\frac{53}{10}, \frac{26}{15})$ ,  $u_1^* = 0$ ,  $u_2^* = \frac{4}{5}$ ,  $f^* = -\frac{3547}{50}$ . **6.39**  $\mathbf{x}^* = (2, 1)$ ,  $u_1^* = 0$ ,  $u_2^* = 2$ ,  $f^* = -1$ . **6.40**  $\mathbf{x}^* = (0.241507, 0.184076, 0.574317)$ ;  $\mathbf{u}^* = (0, 0, 0, 0)$ ,  $v_1^* = -0.7599$ ,  $f^* = 0.3799$ .

## فصل هفتم

### بهینه سازی طراحی تعاملی

**7.1** Several local minima:  $(0, 0)$ ,  $(2, 0)$ ,  $(0, 2)$ ,  $(1.386, 1.538)$ . **7.2**  $\mathbf{d} = (0, 0)$ . **7.3**  $\mathbf{d} = (-\frac{21}{13}, -\frac{19}{13})$ ,  $f(\mathbf{x}^{(1)}) = -0.00364$ . **7.4** Subproblem is infeasible. **7.5**  $\mathbf{d} = (-0.01347, -0.7663)$ . **7.6**  $\mathbf{x}^* = (0.76471, 1.05882)$ ,  $f(\mathbf{x}^*) = -4.05882$ . **7.7**  $\mathbf{d} = (1.5294, -0.38235)$ ;  $f(\mathbf{x}^{(1)}) = -3.73362$ . **7.8**  $\mathbf{d} = (-1.2308, -1.8462)$ ;  $f(\mathbf{x}^{(1)}) = 1.53846$ . **7.9**  $\mathbf{d} = (-0.2353, -0.9412)$ ;  $f(\mathbf{x}^{(1)}) = -4.05822$ . **7.10**  $\mathbf{d} = (-0.29412, -1.1765)$ ;  $f(\mathbf{x}^{(1)}) = -3.11765$ .

## فصل هشتم

### بهینه سازی طراحی عملی

**8.1** For  $t = 500 \text{ mm}$ ,  $d_o^* = 102.985 \text{ mm}$ ,  $d_o^*/d_i^* = 0.954614$ ,  $f^* = 2.900453 \text{ kg}$ ;

active constraints: shear stress and critical torque. **8.2** For  $l = 500$  mm,  $d_o^* = 102.974$  mm,  $d_i^* = 98.2999$  mm,  $f^* = 2.90\ 017$  kg; active constraints: shear stress and critical torque. **8.3** For  $l = 500$  mm,  $R^* = 50.3202$  mm,  $t^* = 2.33\ 723$  mm,  $f^* = 2.90\ 044$  kg; active constraints: shear stress and critical torque. **8.4**  $R^* = 129.184$  cm,  $t^* = 2.83\ 921$  cm,  $f^* = 56\ 380.61$  kg; active constraints: combined stress and diameter/thickness ratio. **8.5**  $d_o^* = 41.5442$  cm,  $d_i^* = 40.1821$  cm,  $f^* = 681.957$  kg; active constraints: deflection and diameter/thickness ratio. **8.6**  $d_o^* = 1308.36$  mm,  $t^* = 14.2213$  mm,  $f^* = 92\ 510.7$  N; active constraints: diameter/thickness ratio and deflection. **8.7**  $H^* = 50$  cm,  $D^* = 3.4228$  cm,  $f^* = 6.603\ 738$  kg; active constraints: buckling load and minimum height. **8.8**  $b^* = 0.5$ ,  $h^* = 0.28\ 107$ ,  $f^* = 0.140\ 536$ ; active constraints: fundamental vibration frequency and lower limit on  $b$ . **8.9**  $b^* = 50.4437$ ,  $h^* = 15.0$ ,  $t_1^* = 1.0$ ,  $t_2^* = 0.5218$  cm,  $f^* = 16\ 307.2$  cm<sup>3</sup>; active constraints: axial stress, shear stress, upper limit on  $t_1$  and upper limit on  $h$ . **8.10**  $A_1^* = 1.4187$ ,  $A_2^* = 2.0458$ ,  $A_3^* = 2.9271$  in<sup>2</sup>,  $x_1^* = -4.6716$ ,  $x_2^* = 8.9181$ ,  $x_3^* = 4.6716$  in,  $f^* = 75.3782$  in<sup>3</sup>; active stress constraints: member 1-loading condition 3, member 2-loading condition 1, member 3-loading conditions 1 and 3. **8.11** For  $\phi = \sqrt{2}$ :  $x_1^* = 2.4138$ ,  $x_2^* = 3.4138$ ,  $x_3^* = 3.4141$ ,  $f^* = 1.2877 \times 10^{-7}$ ; For  $\phi = 2$ :  $x_1^* = 2.2606$ ,  $x_2^* = 2.8481$ ,  $x_3^* = 2.8472$ ,  $f^* = 8.03 \times 10^{-7}$ . **8.13**  $d_o^*$  at base = 48.6727,  $d_o^*$  at top = 16.7117,  $t^* = 0.797\ 914$  cm,  $f^* = 623.611$  kg. **8.13**  $d_o^*$  at base = 1419,  $d_o^*$  at top = 956.5,  $t^* = 15.42$  mm,  $f^* = 90\ 894$  kg. **8.14** Outer dimension at base = 42.6407, outer dimension at top = 14.6403,  $t^* = 0.699\ 028$  cm,  $f^* = 609.396$  kg. **8.15** Outer dimension at base = 1243.2, outer dimension at top = 837.97,  $t^* = 13.513$  mm,  $f^* = 88\ 822.2$  kg. **8.16**  $u_a = 25$ :  $f_1 = 1.07\ 301E-06$ ,  $f_2 = 1.83\ 359E-02$ ,  $f_3 = 24.9977$ ;  $u_a = 35$ :  $f_1 = 6.88\ 503E-07$ ,  $f_2 = 1.55\ 413E-02$ ,  $f_3 = 37.8253$ . **8.17**  $u_a = 25$ :  $f_1 = 2.31\ 697E-06$ ,  $f_2 = 2.74\ 712E-02$ ,  $f_3 = 7.54\ 602$ ;  $u_a = 35$ :  $f_1 = 2.31\ 097E-06$ ,  $f_2 = 2.72\ 567E-02$ ,  $f_3 = 7.48359$ . **8.18**  $u_a = 25$ :  $f_1 = 1.117\ 707E-06$ ,  $f_2 = 1.52\ 134E-02$ ,  $f_3 = 19.815$ ,  $f_4 = 3.3052E-02$ ;  $u_a = 35$ :  $f_1 = 6.90\ 972E-07$ ,  $f_2 = 1.36\ 872E-02$ ,  $f_3 = 31.479$ ,  $f_4 = 2.3974E-02$ . **8.19**  $f_1 = 1.12\ 618E-06$ ,  $f_2 = 1.798E-02$ ,  $f_3 = 33.5871$ ,  $f_4 = 0.10$ . **8.20**  $f_1 = 2.34\ 615E-06$ ,  $f_2 = 2.60\ 131E-02$ ,  $f_3 = 10.6663$ ,  $f_4 = 0.10$ . **8.21**  $f_1 = 1.15097E-06$ ,  $f_2 = 1.56\ 229E-02$ ,  $f_3 = 28.7509$ ,  $f_4 = 3.2547E-02$ . **8.22**  $f_1 = 8.53\ 536E-07$ ,  $f_2 = 1.68\ 835E-02$ ,  $f_3 = 31.7081$ ,  $f_4 = 0.10$ . **8.23**  $f_1 = 2.32\ 229E-06$ ,  $f_2 = 2.73\ 706E-02$ ,  $f_3 = 7.48\ 085$ ,  $f_4 = 0.10$ . **8.24**  $f_1 = 8.65\ 157E-07$ ,  $f_2 = 1.4556E-02$ ,  $f_3 = 25.9761$ ,  $f_4 = 2.9336E-02$ . **8.25**  $f_1 = 8.27\ 815E-07$ ,  $f_2 = 1.65\ 336E-02$ ,  $f_3 = 28.2732$ ,  $f_4 = 0.10$ . **8.26**  $f_1 = 2.313E-06$ ,  $f_2 = 2.723E-02$ ,  $f_3 = 6.86\ 705$ ,  $f_4 = 0.10$ . **8.27**  $f_1 = 8.39\ 032E-07$ ,  $f_2 = 1.43\ 298E-02$ ,  $f_3 = 25.5695$ ,  $f_4 = 2.9073E-02$ . **8.28**  $k^* = 2084.08$ ,  $c^* = 300$  (upper limit),  $f^* = 1.64\ 153$ .

## پیوست A

## تحلیل اقتصادی

**A.1** (a)  $S_{216} = \$24\ 004.31$ , (b)  $R = \$586.02$ . **A.2** (a)  $R = \$156.89$ , (b)  $P =$

- A.3** (a)  $R = \$843.53$ , (b)  $P = \$67512.98$ .    **A.4** (a)  $S_{24} = \$2\,293.37$ , (b)  $S_{730} = \$2\,394.38$     **A.5**  $i = 0.02\,075$  (24.9% annual).  
**A.6** \$855.01.    **A.7**  $PW_A = \$598\,935.18$ ,  $PW_B = \$518\,807.4$ ;  $AC_A = \$60\,408.07$ ,  $AC_B = \$52\,326.46$ .    **A.8**  $PW_A = \$24 \times 10^6$ ,  $PW_B = \$27.5 \times 10^6$ .    **A.9**  $AC_{50} = \$53\,134.42$ ,  $AC_{50} = \$53\,507.54$ ;  $PW_{50} = \$343\,468.81$ ,  $PW_{50} = \$345\,880.69$ .  
**A.10**  $PW_A = \$54\,668.58$ ,  $PW_B = \$54\,889.53$ .    **A.11**  $PW_A = \$101\,600.00$ ,  $PW_B = \$102\,546.86$ ;  $AC_A = \$14\,187.96$  ( $MC_A = \$1\,118.70$ ),  $AC_B = \$14\,409.08$  ( $MC_B = \$1\,136.14$ ).    **A.12** (a)  $AC_A = -\$4\,475.76$ ,  $AC_B = -\$5\,983.84$ ,  $AC_C = -\$10\,459.63$ ;  $PW_A = -\$38\,104.76$ ,  $PW_B = -\$50\,943.86$ ,  $PW_C = -\$89\,048.62$ ; (b)  $A = \$213\,296.47$ ,  $B = \$171\,977.88$ ,  $C = \$295\,933.65$ .  
**A.13**  $PW_A = \$106\,567.11$ ,  $PW_B = \$123\,283.56$ .    **A.14**  $AC_A = \$21\,013.62$ ,  $AC_B = \$24\,000.00$ ;  $PW_A = \$104\,996.60$ ,  $PW_B = \$119\,918.35$ .    **A.15**  $PW_A = \$1\,186\,767.70$ ,  $PW_B = \$1\,159\,216.60$ ;  $AC_A = \$118\,676.77$ ,  $AC_B = \$115\,921.66$ .  
**A.16**  $PW_A = \$76\,665.15$ ,  $PW_B = \$100\,000.00$ ,  $PW_C = \$54\,884.60$ .    **A.17**  $PW_A = \$11\,928.68$ ,  $PW_B = \$12\,708.79$ ,  $PW_C = \$12\,392.64$ .

## پیوست B جبر برداری و ماتریسی

- B.1**  $|A| = 1$ .    **B.2**  $|A| = 14$ .    **B.3**  $|A| = -20$ .    **B.4**  $\lambda_1 = (5 - \sqrt{5})/2$ ,  $\lambda_2 = 2$ ,  $\lambda_3 = (5 + \sqrt{5})/2$ .    **B.5**  $\lambda_1 = (2 - \sqrt{2})$ ,  $\lambda_2 = 2$ ,  $\lambda_3 = (2 + \sqrt{2})$ .    **B.6**  $r = 4$ .  
**B.7**  $r = 4$ .    **B.8**  $r = 4$ .    **B.9**  $x_1 = 1$ ,  $x_2 = 1$ ,  $x_3 = 1$ .    **B.10**  $x_1 = 1$ ,  $x_2 = 1$ ,  $x_3 = 1$ .    **B.11**  $x_1 = 1$ ,  $x_2 = 2$ ,  $x_3 = 3$ .    **B.12**  $x_1 = 1$ ,  $x_2 = 1$ ,  $x_3 = 1$ ,  $x_4 = 1$ .    **B.13**  $x_1 = 1$ ,  $x_2 = 2$ ,  $x_3 = 3$ .    **B.14**  $x_1 = 2$ ,  $x_2 = 1$ ,  $x_3 = 1$ .    **B.15**  $x_1 = 1$ ,  $x_2 = 2$ ,  $x_3 = 3$ .  
**B.16**  $x_1 = 1$ ,  $x_2 = 1$ ,  $x_3 = 1$ .    **B.17**  $x_1 = 2$ ,  $x_2 = 1$ ,  $x_3 = 1$ ,  $x_4 = -2$ .    **B.18**  $x_1 = 6$ ,  $x_2 = -15$ ,  $x_3 = -1$ ,  $x_4 = 9$ .    **B.19**  $x_1 = (3 - 7x_3 - 2x_4)/4$ ,  $x_2 = (-1 + x_3 - 2x_4)/4$ .    **B.20**  $x_1 = (4 - x_3)$ ,  $x_2 = 2$ ,  $x_4 = 4$ .    **B.21**  $x_1 = (-3 - 4x_4)$ ,  $x_2 = (-2 - 3x_4)$ ,  $x_3 = x_4$ .    **B.22**  $x_1 = -x_4$ ,  $x_2 = (2 + x_4)$ ,  $x_3 = (-2 - x_4)$ .    **B.23**  $x_1 = 4 + (2x_2 - 8x_3 - 5x_4 + 2x_5)/3$ ;  $x_6 = (9 - x_2 - 2x_3 - x_4 - 3x_5)/2$ ;  $x_7 = 14 - (13x_2 + 14x_3 + 8x_4 + 4x_5)/3$ ;  $x_8 = (9 + x_2 - 16x_3 - 7x_4 + 19x_5)/6$ .    **B.24** Linearly dependent.    **B.25** Linearly independent.    **B.26**  $\lambda_1 = (3 - 2\sqrt{2})$ ,  $\lambda_2 = (3 + 2\sqrt{2})$ .    **B.27**  $\lambda_1 = (3 - \sqrt{5})$ ,  $\lambda_2 = (3 + \sqrt{5})$ .    **B.28**  $\lambda_1 = (5 - \sqrt{13})/2$ ,  $\lambda_2 = (5 + \sqrt{13})/2$ ,  $\lambda_3 = 5$ .    **B.29**  $\lambda_1 = (1 - \sqrt{2})$ ,  $\lambda_2 = 1$ ,  $\lambda_3 = (1 + \sqrt{2})$ .    **B.30**  $\lambda_1 = 0$ ,  $\lambda_2 = (3 - \sqrt{5})$ ,  $\lambda_3 = (3 + \sqrt{5})$ .

## پیوست C یک روش عددی برای حل معادله‌های غیرخطی

- C.1**  $x^{(3)} = 0.6190$ .    **C.2**  $x^{(2)} = 9.4249$ .    **C.3**  $x^{(2)} = 1.5708$ .    **C.4**  $x^{(3)} = -1.4958$ .    **C.5**  $x^{(2)} = (3.788\,42, 0.6545)$ .    **C.6**  $x^{(2)} = (4.10321, 8.14637)$ .  
**C.7**  $x^{(2)} = (-3.3738, 0.0360)$ .    **C.8**  $x = (3.6840, 0.7368)$ .    **C.9**  $x = (-4, -8)$ ;  $z = (4, 8)$ .    **C.10**  $x = (-3.3315, 0.03949)$ ;  $x = (-0.3980, 0.5404)$ .

## واژه نامه انگلیسی - فارسی

absurd	بی معنی - محال
adaptive	تطبیقی
algorithm	الگوریتم
argument	شناسه
attributes	شانصها
augmented	افروزده
backward difference	تفاضل پس رو
batch	اجرای یک سره
block diagram	نمودار جعبه ای
bounded	کراندار
bracket	آویز
candidate	نامزد
canonical	کانونی
centeral difference	تفاضل مرکزی
cofactor	هم عامل
compiler	مترجم برنامه - تلفیق گر
condition number	عدد شرطی
controller	تنظیم کننده

conventional	قراردادی
cubic splines	منحنی برازش درجه ۳
data processing	پردازش داده ها
degenerate	تباهیده
descent step	گام کاهشی
disbursement	پرداخت، خرج
discrete	گستته
distortion	اعوجاج
divident	سودبخش، سود سهام
domain	دامنه
down payment	پیش پرداخت
dual	دوگان
durable	دوان، پایداری
element (of marix)	درایه
encounter	مواجه شدن
equal interval	بازه یکسان
equality constraint	قید مساوی
expenditure	مخارج
extreme	رأس
feasible	قابل قبول (امکان پذیر - در دسترس)
forward difference	تعامل پیش رو
frequency	بسامد
Gaussian quadrature	تریبع گوسی
global	فراگیر
gradient-based	شیب اساس
grapbical	ترسیمی
heuristics	بر اساس تجربه و راههای عملی

icon	نماد
ideal	ایده‌آل - مطلوب
ill-condition	بدخیم - ناجور
implication	ضرورت
implicit	ضمنی
inconsistent	ناجور - متناقض
inequality constraint	قید نامساوی
inflection point	نقطه عطف
interactive	تعاملی
interface	فصل مشترک
interpretation	تفسیر
interval	محدوده (فاصله - بازه)
intractable	بهبودناپذیر - ناعلاج
intrinsic	ذاتی - باطنی
isocost	تراز هزینه
isolated	منحصر به فرد
iterative	تکراری - چرخه‌ای
local	محلی
loosening constraint	تسهیل قید
mass density	چگالی
mechanism	ساز و کار
minor	ماینر - کهاد
mode	حالت
model	مدل - الگو
monitor	بازبینی و کنترل
move limits	حدود حرکت
multivariable	چندمتغیره

optimal	بهین
order of magnitude	مرتبه بزرگی
overdetermined	فرامعین
pace	تندی - سرعت
pivot	لولا
post-optimality	پس بهینگی
quadratic	درجه دو
quasi-Newton	شبہ نیوتون
rank	رتبه
rate of return	نرخ برگشت سرمایه
redundant	اضافی
regular point	نقطه منظم
resource	منبع
revenue	درآمد
rigorous	سخت
saddle point	نقطه زین اسپی
salvage value	ارزش در پایان مدت استهلاک
saw mill	کارخانه چوب بری
scaling	مقیاس بندی
sequential	دنباله ای - ترتیبی
simplex	سیمپلکس
simulation	شبیه سازی
single real valued	تک مقداری حقیقی
singular point	نقطه منفرد
sinking fund	وجوده استهلاکی
smooth	هموار
sophisticated	هوشمند

stationary	ایستا
steepest descent	تندترین کاهش
strict global minimum	مینیمم فرآگیر قطعی (اکید)
surge	تموج
surplus	زیادتی
switching condition	شرایط سویچی
symbol	نماد-رمز
systematic	نظام مند
tableau	جدول
threshold value	مقدار حدی
tightening constraint	محدود و محکم کردن قید
time value of money	ارزش زمانی نقدینگی
tolerance	مقدار خطأ
treat	تجزیه و تحلیل
treatment	برخورد با (رفتار-طرز عمل)
trend	تمایل - گرایش
uncertainty	عدم اطمینان
underlying	زیربنایی
unimodal	تک حالتی
update	بهنگام (روزآمد)
versatile	کارآمد
violate	نقض کردن



## واژه نامه فارسی - انگلیسی

batch	اجرای یک سره
salvage value	ارزش در پایان مدت استهلاک
time value of money	ارزش زمانی
redundant	اضافی
distortion	اعوجاج
augmented	افزوده
algorithm	الگوریتم
bracket	آویز
ideal	ایده‌آل - مطلوب
stationary	ایستا
monitor	بازبینی و کنترل
equal interval	بازه یکسان
ill-condition	بدخیم - ناجور
heuristics	براساس تجربه و راههای عملی
treatment	برخورد با (رفتار - طرز عمل)
frequency	بسامد
intractable	بهبودناپذیر - ناعلاج
update	بهنگام (روزآمد)

optimal	بهین
degenerate	بی شمر
absurd	بی معنی - محال
disbursements	پرداخت، خرج
data processing	پردازش داده ها
post-optimality	پس بهینگی
down payment	پیش پرداخت
treat	تجزیه تحلیل
Gaussian quadrature	تریبع گوسی
graphical	ترسیمی
loosening constraint	تسهیل قید
adaptive	تطبیقی
interactive	تعاملی
backward difference	تفاضل پس رو
forward difference	تفاضل پیش رو
centeral difference	تفاضل مرکزی
interpretation	تفسیر
unimodal	تک حالتی
single real valued	تک مقداری حقیقی
trend	تمایل - گرایش
surge	تموج
steepest descent	تندرین کاهش
controller	تنظیم کننده
tableau	جدول
mass density	چگالی
mode	حالت
move limits	حدود حرکت

multivariable	چند متغیره
domain	دامنه
revenue	درآمد
element (of matrix)	درایه
quadratic	درجه دو
sequential	دبالة ای - ترتیبی
durable	دوم، پایداری
dual	دوگان
intrinsic	ذاتی - باطنی
rank	رتبه
surplus	زیادتی
underlying	زیربنایی
mechanism	ساز و کار
rigorous	سخت
divident	سودبخش، سود سهام
simplex	سیمپلکس
attributes	شاخصها
quasi-Newton	شبه نیوتون
simulation	شبیه سازی
switching condition	شرایط سویچی
argument	شناسه
gradient-based	شیب اساس
implication	ضرورت
implicit	ضمی
condition number	عدد شرطی
uncertainty	عدم اطمینان
global	فراگیر

overdetermined	فرامعین
interface	فصل مشترک
feasible	قابل قبول (امکان پذیر - در دسترس)
conventional	قراردادی
equality constraint	قید مساوی
inequality constraint	قید نامساوی
versatile	کارآمد
saw mill	کارخانه چوب بری
canonical	کانونی
bounded	کراندار
descent step	گام کاهشی
discrete	گسته
minor	ماینر - کهاد
compiler	مترجم برنامه - تلفیق گر
tightening constraint	محدود و محکم کردن قید
interval	محدوده (فاصله - بازه)
local	محلی
pivot	محور قرار دادن
expenditure	مخارج
model	مدل - الگو
order of magnitude	مرتبه بزرگی
threshold value	مقدار حدی
tolerance	مقدار خطأ
scaling	مقیاس بندی
resource	منبع
isolated	منحصر به فرد
cubic splines	منحنی برازش درجه ۳

encounter	مواجه شدن
strict global minimum	مینیمم فراگیر قطعی (اکید)
inconsistent	ناجور - متناقض
candidae	نامزد
rate of return	نرخ بازده سرمایه
systematic	نظام مند
violate	نقض کردن
saddle point	نقطه زین اسپی
inflection point	نقطه عطف
regular point	نقطه منظم
singular point	نقطه منفرد
icon	نماد
symbol	نماد - رمز
block diagram	نمودار جعبه ای
extreme	نهایت - رأس
sinking fund	وجوه استهلاکی
cofactor	هم عامل
isocost	هم هزینه
smooth	هموار
sophisticated <sup>۱</sup>	هوشمند



## نهايه

استفاده از ترسیم تعاملی	۵۹۵	اثرات تغییر در حدود قیود	۱۹۸
استفاده از جدول آخر ابتدایی	۲۳۵	اثر پارامتر جریمه R روی الگوریتم CSD	۵۱۶
استفاده از جدول دوگان	۳۳۳		
استفاده از شکل جایگزین شرایط K-T	۱۷۵	اثر مقیاس بندی تابع هزینه	۲۰۱
استقلال خطی	۷۲۸	اثر مقیاس بندی یک قید	۲۰۲
اصطلاحات LP	۲۵۱	آحاد امریکایی - انگلیسی	۱۴
اصل ایستایی انرژی پتانسیل	۴۳۲	احیای سنگ آهن	۸۲
افرازیندی ماتریسها	۷۰۴	ارتباط بین ابتدایی و دوگان	۳۲۹
الگوریتم بهینه سازی	۴۵۵	ارتباط دادن متغیرهای طراحی	۶۰۶
الگوریتم تصحیح قید (CC)	۵۶۷	ارتباط متقابل کاربر با برنامه IDESIGN	۵۸۲
الگوریتم تصحیح قید در هزینه مشخص		ارزش زمانی نقدینگی	۶۷۳
(CCS)	۵۷۳	ارزیابی عددی گرادیانها	۳۷۰
الگوریتم تندترین کاهش	۴۰۱	ارزیابی گرادیان ۵۸۶ ، ۶۱۵	
الگوریتم تندترین کاهش مقید بهبود یافته	۵۲۹	ارزیابی گرادیانها برای قاب دو عضوی	۶۱۶
الگوریتم جست و جوی یک بعدی با روش		آزمون برای فضای برداری	۷۳۴
بخش طلایی	۳۸۷	آزمون تحذیب یک مسئله	۱۸۹
الگوریتم سیمپلکس	۲۷۷	اس ال پی (SLP)	۴۷۳

- الگوريتم کاهش هزينه (CR) ۵۶۱ ، ۵۶۲
- الگوريتم گام I ۲۸۴
- الگوريتم گام II ۲۸۵
- الگوريتمهاي قابل اعتماد ۴۶۳
- الگوريتمهاي بهينه سازی طراحی تعاملی ۵۶۰
- الگوهای بسیار مطلوب ۷
- الگوی بهینه سازی طراحی ۵۶
- الگوی بهینه سازی طراحی استاندارد ۵۶
- الگوی بهینه سازی طراحی برنامه ریزی
- غير خطی استاندارد ۶۰۵
- الگوی تکامل سیستم ۵
- آماده سازی داده های تعاملی ۵۷۷
- انتخاب يك الگوريتم ۶۲۱
- انتگرال دوهامل ۶۵۰
- ب**
- بار کمانش ۴۸
- بار ناگهانی ۶۴۸
- باže عدم اطمینان ۳۷۸
- بخش طلایی ۳۸۴
- برازاندن منحنی درجه دوم ۳۹۱
- بردار ۱۷ ، ۲۲ ، ۶۹۸
- بردار تغییر طراحی ۴۶۶
- بردار ستونی ۶۹۸
- بردار سطري ۶۹۸
- بردار گراديان ۱۰۸
- بردارهای ویژه ۷۳۷
- بررسی تحذب يك تابع ۱۸۰
- بررسی تحذب يك مجموعه ۱۷۸
- بررسی تحذب يك مسأله ۱۸۳
- بررسی مقادير ویژه برای تشخيص شکل يك ماتریس ۱۲۲
- برنامه رایانه ای ۷۵۷
- برنامه ریزی پارامتریک ۲۹۸
- برنامه ریزی خطی ۲۳۷
- برنامه ریزی درجه دو برگشتی (RQP) ۵۲۴
- برنامه ریزی درجه دو دنباله ای (SQP) ۴۹۸ ، ۵۲۴
- برنامه ریزی غیرخطی ۳۶۱
- برنامه فرعی ارزیابی تابع مینیمم شونده ۵۸۲
- برنامه فرعی ارزیابی توابع قیود ۵۸۲
- برنامه فرعی ارزیابی گرادیان تابع مینیمم شونده ۵۸۲
- برنامه فرعی ارزیابی گرادیان توابع قیود ۵۸۲
- برنامه های خطی ۲۳۷
- بسامد تمواج امواج ۵۹۰
- بسامدهای طبیعی اصلی ۵۶
- بستار جمع ۷۳۳
- بستار ضرب اسکالر ۷۳۳
- بسط تیلور ۱۱۲
- بهبود جواب قابل قبول اصلی ۲۷۲
- بهبود مارکوارت ۴۲۳
- به دست آوردن روش سیمپلکس ۲۶۸
- به دست آوردن شرایط بهینگی ۱۲۷

پنداره‌های اصلی و مراحل روش	بهین دیگر ۲۷۲
سیمپلکس ۲۶۷	بهین فراگیر ۲۷۲
پیش ضرب ۷۰۰	بهینگی فراگیر ۱۷۶ ، ۶۰۵
<b>ت</b>	بهینه سازی ترسیمی ۶۲ ، ۲۸
تابع افت درجه دو ۴۳۹	بهینه سازی شکلی یک سازه ۶۶۶
تابع پیوسته ۲۳	بهینه سازی طراحی تعاملی ۵۵۵
تابع ضمنی ۶۰۹	بهینه سازی طراحی تعاملی سیستمهای مهندسی ۵۸۱
تابع کاهشی ۴۹۹ ، ۴۶۳	بهینه سازی طراحی عملی ۶۰۳
تابع کاهشی شنیجنی ۴۹۹	بهینه سازی متغیر پیوسته ۶۴۱
تابع مانع لگاریتمی ۴۳۹	بهینه سازی متغیر گسته ۶۴۲
تابع مانع وارون ۴۳۹	بهینه سازی یک بعدی با درون یابی درجه دوی جایگزین ۳۹۴
تابع محدب قطعی ۱۸۰	بهینه سازی یک کانال آب ۸۳
تابع هزینه ۲۷ ، ۳۳ ، ۶۰۶	بیشترین مقدار نقض قید ۴۹۹
تابع هزینه مصنوعی ۲۸۲	بی کران ۲۷۰
تاریخچه بیشترین نقض قید ۵۹۶	بیگ ام ۲۹۶
تاریخچه پارامتر همگرایی ۵۹۷	<b>پ</b>
تاریخچه تابع قید ۵۸۰	پارامتر جریمه ۴۹۹
تاریخچه تابع هزینه ۵۹۶	پاسکال ۳۷
تاریخچه توابع قیود ۵۹۸	پایه ۲۵۲
تاریخچه متغیرهای طراحی ۵۸۰	پذیرفتنی ۳۵
تبديل قید ۱۸۶	پس ضرب ۷۰۰
تحلیل اقتصادی ۶۷۳	پنداره اصلی روش سیمپلکس ۲۵۵
تحلیل پس بهینگی ۱۹۷ ، ۲۹۸	پنداره اصلی روشهای عددی ۳۶۶
تحلیل حساسیت ۲۹۸	
تحلیل حساسیت طراحی ۶۱۶	
ترانهاده یک ماتریس ۷۰۱	

توضیح قید با حداقل افزایش در هزینه	۵۷۳
توضیح قید برای افزایش مشخصی در هزینه	۵۷۲
توصیه آزاد	۳۰
ترسیم تعاملی	۵۸۰
توابع کاهاشی	۵۳۳
توابع مانع تعیین یافته	۴۴۰
توابع محدود	۱۸۲ ، ۱۷۹
توابع هدف	۳۳
توانمندی	۶۲۱
تیر	۷۹
تیرستون استوانه‌ای توالی	۸۵
تیر مکعب مستطیلی	۵۱۹
تیر یک سر گیردار	۸۵
ث	
ثابت فنر	۶۴۶
تعامل در بهینه‌سازی طراحی	۵۵۷
تعییر فیزیکی ضرایب لاغرانژ	۱۶۶
تعییر هندسی شرایط لازم برای مسائل با قید	
نامساوی فعال	۱۵۶
تعريف I.P استاندارد	۲۴۳
تعريف مسئله QP	۴۸۹
تعیین روش گرادیان کاهاش یافته	۵۴۰
تعییرات محدوده سنایع	۲۹۹
تعییر حدود قید	۲۰۰
تعییر ماتریس ضرایب	۳۲۰
تفاضل پس رو	۳۷۱
تفاضل پیش رو	۳۷۱
تفاضل مرکزی	۳۷۱
تفاضلهای محدود	۳۷۰
تقریب هسیان شبیه نیوتون	۵۲۷
تش	
تشش	۳۷
تشش شکست مصالح	۳۷
تشش کارکرد	۴۵۹
تشش مجاز	۴۹
جاست و جوی بازه یکسان	۳۸۱ ، ۳۷۹
جاست و جوی خارجی	۴۳۸
جاست و جوی خطی	۳۷۳
جاست و جوی خطی غیردقیق	۵۰۱
جاکوبین	۷۵۱
جاگذاری پس رو	۷۱۲
جاگزین جست و جوی بازه یکسان	۳۸۳
جبر برداری و ماتریسی	۶۹۵
جبر خطی	۶۹۵
جداسازی متغیرها	۶۴۶
جدول	۲۵۸ ، ۲۵۷
جرم	۶۴۶
جریمه (خارجی)	۴۳۸
جست و جوی بازه یکسان	۳۸۱
جست و جوی خطی	۷۶۷

- ج**
- چگالی مصالح ۴۹
  - چگونگی کار با قیود مساوی ۲۲۵
  - چندضلعی قیود ۲۵۰
  - چندضلعی محدب ۲۵۱
- ح**
- حد بالا و پایینی متغیرهای طراحی ۴۱
  - حدود منابع ۲۴۱
  - حدود حرکت ۴۷۳
  - حذفی گوس ۷۱۶، ۷۱۱، ۷۱۲
  - حذفی گوس - جردن ۲۵۵، ۲۶۰، ۲۷۸
  - حساسیت متغیرهای طراحی ۵۹۹
  - حساسیت نسبی ۵۷۹
  - حل بهین مسأله طراحی فتر ۵۹۱
  - حل تعاملی برای مسأله طراحی فتر ۵۹۳
  - حل زیرمسأله برنامه ریزی درجه دو ۴۸۹
  - حل شرایط لازم کان - تاکر ۱۶۷
- خ**
- خطوط تابع هزینه ۶۴
  - خطوط هزینه ثابت ۶۴
  - خطی سازی زیرمسأله ۴۶۴
  - خطی سازی مسأله ۴۵۳
  - خطی سازی مسأله مقید ۴۶۴
  - خواص بردار گرادیان ۳۹۶
  - خواص دترمینانها ۷۰۹
- جست و جوی**
- جست و جوی فیبوناچی ۲۸۴
  - جست و جوی یک بعدی ۳۷۲
  - جمع ماتریسها ۶۹۸
  - جواب ابتدایی از جدول دوگان ۳۳۳
  - جواب ابتدایی از جواب دوگان ۳۲۸
  - جواب اصلی ۲۴۹، ۲۵۱
  - جواب اصلی بهین ۲۵۱
  - جواب اصلی تباہیده ۲۵۱
  - جواب بهین ۲۵۱، ۲۶۸، ۲۷۷
  - جواب بهین مسائل LP ۲۷۲، ۲۵۴
  - جواب بی کران ۶۶
  - جواب عمومی به وسیله کاهش ۷۲۳
  - جواب قابل قبول ۲۵۱
  - جواب قابل قبول اصلی ۲۵۱، ۲۷۰
  - جواب قابل قبول اصلی اولیه ۲۸۱
  - جواب قابل قبول اصلی تباہیده ۲۵۱
  - جواب کلی سیستم معادلات ۷۲۳
  - جوابهای ابتدایی و دوگان ۳۲۹، ۳۳۰
  - جوابهای اصلی ۷۲۶
  - جهت "پایین تپه" ۳۶۹
  - جهت تندترین کاهش ۴۰۱
  - جهت قابل قبول بهبود یافته ۵۳۵، ۵۳۶
  - جهت کاهشی ۳۹۵
  - جهتهاهای کاهشی ۳۶۹
  - جهتهاهای گرادیان مزدوج ۴۱۱

روش تندترین کاهش مقید (CSD) ، ۴۵۲	۵
روش توامند ۴۹۸ ، ۴۵۳	دترمینانها ۷۱۷
روش دیگر برای کار با قیود مساوی ۴۶۳	درون یابی چندجمله‌ای ۳۹۱
روش دیگر برای کار با قیود مساوی ۴۲۵	درون یابی درجه دو ۳۹۳
روش دیگر برای کار با قیود مساوی ۳۲۶	دستگاه معادلات خطی ۷۰۶
روش دیویدان فلتچر پاول ۴۲۵	دستگاه معادلات همگن ۷۰۶
روش سیمپلکس ۲۵۵	دستورهای تعاملی ۵۸۴
روش سیمپلکس جایگزین ۲۹۶	دبالة فیبوناچی ۳۸۴
روش سیمپلکس دوگامی ۲۸۱	دوگانی در برنامه ریزی خطی ۳۲۲
روش شبې نیوتون مقید ۵۳۰	
روش کاهشی ۳۶۹	
روش گرادیان کاهش یافته عمومی (GRG)	
روش گرادیان کاهش یافته عمومی (GRG) ۵۴۰	رابطه بهنگام کردن بی اف جی اس ۴۳۰
روش گرادیان مزدوج ۴۱۱ ، ۳۶۴	رابطه سازی صحیح ۲۵
روش لولایی مکمل ۴۹۴	رابطه سازی کامل ۳۱
روش مرتبه اول ۳۹۵	رابطه سازی مسائل ۲۵
روش مرتبه صفر ۳۷۹	رابطه سازی مسائل بهینه سازی طراحی
روش مقایسه هزینه سالانه (AC) ۶۸۱	عملی ۶۰۴
روش نیوتون ۷۶۹	رابطه سازی مسئله ۳۹
روشهای ابتدائی ۴۵۱	راهبرد قید پتانسیل ۶۲۲ ، ۵۱۸ ، ۴۶۱
روشهای اجزای محدود ۶۰۷	رتبه یک ماتریس ۷۱۹
روشهای بهنگام مستقیم ۴۲۹	روابط بهره ۶۷۸
روشهای تبدیل برای طراحی بهین ۴۳۷	روش ارزش فعلی ۶۸۵
روشهای خارجی ۴۳۹	روش تابع جریمه ۴۳۸
روشهای شبې نیوتون ۴۲۴ ، ۳۶۴	روش تابع مانع ۴۳۸
روشهای شبې نیوتون مقید ۵۲۴ ، ۵۲۳	روش تحلیلی محاسبه اندازه گام ۳۷۵
روشهای عددی برای طراحی بهین مقید ۴۵۱	روش تصویر گرادیان ۵۳۹ ، ۵۳۸
	روش تندترین کاهش ۷۶۳

س	روشاهای عددی برای طراحی بهین نامقید ۳۶۱ روشاهای عددی محاسبه اندازه گام ۳۷۶ روشاهای عددی مسائل بهینه سازی ۳۶۱ روشاهای عددی مستقیم (جست و جو) ۴۵۴ روشاهای غیرمستقیم ۱۰۲ روشاهای کاهش بازه ۳۷۸ روشاهای لاغر از زین افزایش یافته ۴۴۱ ، ۴۴۰ روشاهای مرتبه دو ۳۹۵ روشاهای مستقیم ۱۰۲ روشاهای مستقیم بهینه سازی ۳۶۷ روشاهای مینیمم سازی نامقید دنباله‌ای ۴۳۷ روند تغییر اطلاعات ۵۷۹ ریشه‌های دستگاه معادلات غیرخطی ۷۵۵ ریشه‌های معادلات غیرخطی با مینیمم سازی نامقید ۴۳۶ ریشه‌های معادله‌های غیرخطی ۷۴۵
ن	زیرماتریسها ۷۰۴ زیرمجموعه ۱۸ زیرمسئله QP ۴۹۸ زیرمسئله برنامه ریزی درجه دو (QP) ۴۵۳ ، ۴۸۴ ، ۴۸۲ ریزمسئله تقریبی ۴۶۴ زیگراگ ۴۶۴ زین اسپی ۱۲۹
ش	شرایط بهینگی ۱۲۷ شرایط بهینگی برای توابع یک متغیره ۱۲۸ شرایط بهینگی توابع چندمتغیره ۱۳۴ شرایط بین رشته‌ای ۲۵ شرایط سویچی یا شرایط کمبود مکمل ۱۵۸ شرایط کافی برای مسائل مقید کلی ۱۹۱ شرایط کافی قوی ۱۹۲

ضرایب "سوق دادن" ۵۳۶	شرط لازم درجه اول کان - تاکر ۱۷۵
ضرایب لاگرانژ ۱۴۶ ، ۲۴۰	شرط لازم : قیود مساوی ۱۴۵
ضرایب هزینه کاهش یافته ۲۷۱	شرط لازم : قیود نامساوی ۱۵۴
ضرایب هزینه نسبی ۲۷۱	شرط لازم کان - تاکر ۱۵۷ ، ۱۶۶
ضرب اسکالر ۷۰۳	شرط لازم مرتبه اول ۱۲۸ ، ۱۵۸
ضرب ماتریسها ۶۹۹	شرط لازم و کافی برای تحدب توابع ۱۸۰
ضرب نقطه‌ای ۷۰۳ ، ۲۲	شرط لازم و کافی مرتبه دو ۱۸۸
ضریب ارزش فعلی پرداختهای سری یکنواخت ۶۷۸	شرط لازم دو برای بهینه‌سازی مقید ۱۸۸
ضریب ارزش فعلی پرداخت یکجا ۶۷۵	شرط مرتبه دو برای مسائل کلی ۱۹۰
ضریب برگشت سرمایه ۶۷۸	شرط تسلیم ۶۱۰
ضریب پرداخت یکجای مرابحه مرکب ۶۷۴	شرط کافی برای مسائل محدب ۱۸۸
ضریب تمرکز نتش و هل ۵۸۹	شرط کافی مرتبه دو ۱۳۵
ضریب سپرده وجوه استهلاکی ۶۷۷	شرط کاهش ۳۶۹
ضریب لاگرانژ ۱۵۱ ، ۱۶۰	شرط کاهشی ۵۰۳ ، ۵۰۲
ضریب مرابحه مرکب سری یکنواخت ۶۷۶	شرط لازم مرتبه دو ۱۳۰ ، ۱۳۵
ضریب یانگ ۴۸	شرط لازم مرتبه دو برای مسائل مقید کلی ۱۹۱
<b>ط</b>	
طراحی اولیه ۷	شكل جایگزین شرایط کان تاکر ۱۷۴
طراحی بهین متغیرهای گسته ۶۳۹	شكل درجه دو ۱۱۶
طراحی بهین یک سازه سه میله‌ای برای ارضی شرایط عملکرد چندگانه ۶۲۹	شكل کانونی ۲۵۵
طراحی بهین یک قاب دو عضوی ۶۲۷	شكل کانونی اولیه ۲۸۱
طراحی پایه تابلو ۶۷۰	شكل کانونی سیستم معادلات ۷۲۳
طراحی تیر ۶۹	شكل یک ماتریس ۱۲۲ ، ۱۲۱
طراحی تیر مکعب مستطیل ۲۰۸	<b>ض</b>
	ضرایب تبدیل ۱۵
	ضرایب حساسیت ۵۸۰

طراحی جزئیات سیستم	۶۰۵
طراحی ستون استوانه ای توخالی	۴۸
طراحی ستون یک منبع آب	۹۲
طراحی قوطی نوشابه	۴۰
طراحی کاینت	۴۳
طراحی مجموعه یک جعبه دندنه	
نہ سرعته	۶۶۸
طراحی مخزن استوانه ای	۱۳۸
طراحی مخزن کروی عایق شده	۴۶
طراحی مهندسی و تحلیل	۸
طراحی میله پرچم	۹۵
طراحی یک آویز دیواری	۲۰۴
طراحی یک خرپای دومیله ای	۲۷
طراحی یک سه پایه	۹۸
طراحی یک قاب دو عضوی	۶۰۹
طراحی یک میله پله ای پرچم	۶۶۹
طرح قابل قبول	۳۶، ۳۵
طرحهای بهین چندگانه	۶۶
طرحهای قابل قبول	۶۴
<b>غ</b>	
غیر اصلی	۲۵۱
غیر خطی	۲۵
غیر فعال	۶۰
غیر قابل قبول	۳۰
غیر متقاض	۷۰۳
غیر منفرد	۷۲۰
<b>ف</b>	
فرآیند نکراری	۵
فرآیند حد	۵۵۹
فرآیند حذفی	۷۰۷
فرآیند طراحی	۵
فرآیند طراحی چرخه ای	۵۶۰
فرآیند قراردادی	۱۰
فرآیند طراحی قراردادی در مقابل بهین	۹
<b>ع</b>	
عدد شرطی یک ماتریس	۷۴۰
علامت جمع	۲۱
علامت خلاصه شده	۴۶۵
علامت مشتق	۱۰۸
علاجم	۱۴
علاجم اختصاری برای ماتریسها	۶۹۷
علایم ماتریسی	۱۱۳
علایم نشان دادن قیود	۲۰
عملکرد عددی	۳۶۳
عمل لولایی جزئی	۷۱۵
عمل لولایی کلی	۷۱۴
عملیات سطر و ستون مقدماتی	۷۰۲
عناصر	۱۸
عناصر غیر قطری	۷۰۳
عناصر قطر اصلی	۷۰۲
عنصر لولا	۲۷۷

فرايند کاهش گوس-جردن در شکل	۷۲۶
جداولی	۷۳۳
فضاهای برداری	۱۵۴
فعال (محکم)	۳۶۷
فنون جست و جو	۱۹
فوق مجموعه	
ق	
قابل اطمینان بودن یک الگوریتم	۶۲۲
قابل قبول	۳۵
قابل کارکرد	۲۵
قابلیتهای برنامه آی دی زاین (IDESIGN)	
قابلیت	۵۸۵
قابلیتهای تعاملی	۵۷۶، ۵۷۷
قاعده کرامر	۷۰۸
قضیه اصلی برنامه ریزی خطی	۲۵۴
قضیه حساسیت تغییر قید	۱۹۸
قضیه ویرستراس	۱۰۶
قطاع خط	۱۷۷
قید	۴۵۷
قید اندازه گام درجه دو	۴۸۲
قید غیرفعال	۴۵۷
قید فعال	۴۵۷
قید محکم یا سفت	۶۰
قید مساوی	۱۵۱، ۶۰
قید نامساوی	۱۵۴
قید نقض شده	۶۰
ک	
کاربردهای بزرگ	۵۲۳
کارخانه تولید روغن گیاهی	۸۰
کاهش به تابع یک متغیره	۳۷۳
کاهش گوس	۷۱۲
کاهشی بازه عدم اطمینان	۳۸۶
کرانهای ساده	۴۱
کلی بودن الگوریتم	۶۲۲
کنترل بهین	۱۳
کنترل بهین سیستمهای برنامه ریزی	
غيرخطی	۶۴۳

- گ**
- ماتریس مثلثی پایین ۷۰۴
  - ماتریس مربعی ۷۰۳، ۶۹۷
  - ماتریس منفرد ۷۱۰
  - ماتریس واحد ۷۰۴
  - ماتریس هسیان ۱۱۰
  - ماتریسهای معادل ۷۰۲
  - ماتریسهای معین ۱۱۶
  - ماکریم محلی ۱۰۶
  - مانع (داخلی) ۴۳۸
  - ماینر ۷۱۰
  - ماینر اصلی ۷۱۰
- مباحثی چند در بهینه‌سازی طراحی عملی ۶۲۱
- ل**
- لاگرانژین افزایش یافته ۴۳۸
- م**
- ماتریس ۶۹۶
  - ماتریس اسکالار ۷۰۴
  - ماتریس افزایش یافته ۷۰۶
  - ماتریس پادمتقارن ۷۰۳
  - ماتریس ستونی ۶۹۸
  - ماتریس سختی ۶۰۸
  - ماتریس سطحی ۶۹۸
  - ماتریس شکل درجه دو تابع ۱۱۹
  - ماتریس صفر ۶۹۸
  - ماتریس ضرایب ۷۰۶
  - ماتریس قطری ۷۰۳
  - ماتریس مثلثی بالا ۷۰۴
- متغیرهای دوگانی ۳۰۳
- متغیرهای ساختگی ۶۹۶
- متغیرهای طراحی ۳۰، ۲۷
- متغیرهای طراحی صحیح ۶۱
- متغیرهای غیراصلی ۲۵۸
- متغیرهای متریک مقید (CVM) ۵۲۴

مسائل LP دوگان	۳۲۳	متغیرهای نامحدود	۲۴۲
مسائل QP اصلی	۴۹۲	مثالهای از بهینه‌سازی طراحی تعاملی	۵۸۷
مسائل برنامه‌ریزی خطی	۴۲	مثالی از یک مسأله بهینه‌سازی طراحی	
مسائل برنامه‌ریزی محدب	۱۸۸	عملی	۶۰۷
مسائل بی کران	۲۸۰	مجموعه	۱۷
مسائل حمل و نقل	۷۸	مجموعه بسته و کراندار	۱۰۶
مسائل طراحی فنر	۵۸۸	مجموعه طراحیهای قابل قبول	۶۰
مسائل غیرقابل قبول	۷۱، ۲۸۳، ۲۸۹	مجموعه قید	۱۰۵، ۶۰، ۱۸۲، ۱۸۸
مسائل کترل حداقل زمان	۶۶۰		۲۵۱
مسائل ماکریزم سازی سود	۶۲	مجموعه قید پتانسیل	۶۲۲
مسائل مقادیر ویژه	۵۳	مجموعه های محدب	۱۷۶، ۱۸۲
مسائل مینیمم سازی تلاش کترلی	۶۵۷	محاسبات عددی	۶۰۵
مشتق پذیر پیوسته	۲۳	محدوده تغییرات منابع	۳۰۸
مشتق گیری عددی	۳۷۱	محدوده تغییر پارامترهای طرف راست	۳۰۷
مشتق گیری یک شکل درجه دو	۱۲۴	محدوده ضرایب هزینه	۳۱۵
مشتقهای جایه جایها	۶۲۰	محصور کردن اولیه مینیمم	۳۸۴
مشتقهای جزئی تنش برشی	۶۱۶	مخزن استوانه‌ای	۴۷
مشتقهای جزئی تنش خمی	۶۱۸	مخزن تحت فشار استوانه‌ای	۸۸
مشخصات سیستم	۵	مخزن کروی	۱۳۶
معادله تعادل	۶۰۸	مسائل برنامه ریزی صحیح	۴۶، ۴۲
معادله‌های غیرخطی چندگانه	۷۴۹	مسائل برنامه ریزی محدب	۱۸۲
معنی هندسی ضرایب لاگرانژ	۱۵۰	مسائل بهینه‌سازی نامقید	۳۶۳
معیار توقف	۳۷۸	مسائل چند هدفه	۶۰۶
معیار توقف جست و جوی خطی	۴۰۳	مسائل طراحی بهین مقید	۱۴۲
معیارهای بهینگی	۱۰۲	مسائل طراحی بهین نامقید	۱۲۷
معین ثابت	۱۲۲، ۱۲۱	مسائل LP استاندارد	۲۴۱
		مسائل LP با جوابهای چندگانه	۲۷۸

نماش پارامتری یک قطاع خط	۱۷۸	ناحیه قابل قبول خطی شده	۴۷۱
نماد علمی	۱۶	ناحیه قابل قبول بی کران	۲۷۳
نگرشی بر روش‌های شبه‌نیوتن مقید	۵۳۲	ناحیه قابل قبول قابل قبول	۶۴
نگرشی بر الگوریتم CSD	۵۱۷	ناحیه قابل قبول محدود	۱۰۵
نگرشی بر الگوریتم SLP	۴۸۱	ناحیه قابل قبول محدود	۱۰۵
نقطه نامزد بهینگی	۱۲۶	ناحیه قابل قبول محلی (نسبی)	۱۰۵
نقطه منظم	۱۴۶	مینیمم محلی (نسبی)	۱۰۵
نقشه رایانه در طراحی بهین	۱۲	مینیمم محلی قطعی (اکید)	۱۰۵
نقشه رأس فرین	۲۵۱	مینیمم فراگیر قطعی (اکید)	۱۰۶
نقاط ناظم	۱۷۱	مینیمم فراگیر (مطلق)	۱۸۲
نقاط کان-تاکر	۱۶۰	مینیمم سازی ارزی پتانسیل کل	۴۳۲
نقاط عطف	۱۲۹	مینیمم سازی یک بعدی ، ۳۶۴	۳۷۳
نقاط ضعف روش نیوتن	۴۱۹	مینیمم فراگیر (مطلق) ، ۱۰۵	۱۰۵
نصب رایانه‌ای	۵۵۹	مقایسه سال مبنایی	۶۸۱
نصب و راه اندازی عددی	۵۳۳	مقایسه سه رابطه سازی برای کنترل بهین	۶۶۳
نقاط رأس	۲۵۴	مقایسه ارزش فعلی	۶۸۴
نقاط اندازی عددی	۵۳۳	مفهوم فیزیکی ضرایب لاگرانژ	۱۹۷
نرم افزار بپینه سازی طراحی تعاملی	۵۸۱	مفهوم چرخه	۷۴۶
نرم ایجاد	۲۲	مفاهیم مربوط به مجموعه بردارها	۷۲۸
نرم ایجاد	۳۷۰	مفاهیم اساسی مربوط به مسائل برنامه ریزی خطی	۲۴۶
ناهمگن	۷۰۶		

۵

- هسيان شكل درجه دو ۱۲۵  
هم عامل ۷۱۰  
همگرایي الگوريتمها ۳۷۰  
همگرایي فرآگير ۳۷۰  
همگرایي يك الگوريتم ۴۶۳

۶

- يک تابع هدف معتبر ۲۶  
يک شكل استاندارد الگو ۵۶  
يک فرآيند بهينه سازی عددی سازگار ۶۲  
يک نقطه و يا بردار در فضای " بعدی ۱۷  
استاندارد BFGS ۵۲۸  
ابتدائي LP ۳۲۲  
۹ (CADO)

نمودار جريان نقدينگي ۶۷۹

نمودار حساسيت تابع هزينه ۵۹۸

نمودار حساسيت قيود ۶۰۰

نيمه معين ثبت ۱۲۱ ، ۱۲۲

۷

- وارون با استفاده از حذف گوس-جردن ۷۱۸  
وارون با استفاده از حذف گوسی ۷۱۷  
وارون تقریبی هسيان ۴۲۵  
وارون يك ماتریس به وسیله هم عاملها ۷۱۶  
وجود جواب ۷۲۱  
وجود مینیمم فرآگير ۱۰۷  
وجود يك جواب بهین ۶۰۵  
وضعیت قید در يك نقطه طراحی ۴۵۷